



Т. Б. БАТЫГИНА

ХЛЕБНОЕ ЗЕРНО

АТЛАС

АКАДЕМИЯ НАУК СССР
БОТАНИЧЕСКИЙ ИНСТИТУТ ИМ. В. Л. КОМАРОВА

ACADEMY OF SCIENCES OF THE USSR
KOMAROV BOTANICAL INSTITUTE

Т. Б. БАТЫГИНА

ХЛЕБНОЕ ЗЕРНО

АТЛАС

Ответственный редактор
М. С. ЯКОВЛЕВ



ЛЕННИНГРАД
ИЗДАТЕЛЬСТВО «ЛАУЧА»
ЛЕННИНГРАДСКОЕ ОТДЕЛЕНИЕ
1987

Батыгина Т. Б. Хлебные зерна: Атлас. — Л.: Наука, 1987. — 106 с.

В книге изложены современные сведения о процессах, происходящих в цветке и плоде зерновых основных злаковых культур (пшеница, рис, ячмень, пшеница, овес и тритикале) как в норме, так и при воздействии неблагоприятных факторов внешней среды, а также при отдаленной гибридизации. Формирование репродуктивных органов рассматривается на клеточном, тканевом и организменном уровнях изучения системного подхода. Предложены некоторые методические рекомендации, касающиеся спирробиотического получения гаплоидов, выявление стадии автобионии зародыша в дробленой яйце. Библиогр. 277 наим. Табл. 127. Табл. 2.

Рецензенты:

Н. Н. ГУСЕЙН, А. А. ЯЦЕНКО-ХАМЛЕВСКИЙ

Batygina T. B. The grain of cereals: Atlas. — L.: Nauka, 1987. — 106 p.

In the book are presented the modern data on processes, occurring in the flower and the fruit-kernel of main cereals (wheat, rice, barley, maize, oats and tritcale) both normal and under the influence of damaging factors of the environment and at distant hybridization. The formation of reproductive organs is discussed at the cell, tissue and organism levels from the point of view of system approach. Some methodical recommendations are proposed as to different ways of getting of haploids and determination of the stage of the embryo autonomy and others. Bibliogr. 277 title. III — 127. Tabb. 2.

Reviewers:

N. N. GUSEIN, A. A. YACENKO-CHAMLEVSKY

ВВЕДЕНИЕ

Селекция как наука и физиология корректируются едицей степенью конкретности: она выходит от общих для малых единиц к более и различиях в генотипах, детализирует их, в соответствии с ее задачами, до сорта конкретизацию. В результате исследований она всецело опирается на анализ генотипа, физиологии, морфологии.

Н. В. Бакиник Терретические основы селекции растений. №., Л., 1968. Т. 1. С. 9

О значении злаковых растений в жизни человека написано много. Раскопки позволяют установить, что зерновые были введены в культуру на заре земледелия. Из первичных центров исходления земель они распространялись в новые районы вслед за расселявшимся человечеством. Вместе с опытом землепашцев накапливались знания о строении хлебных злаков. С помощью селекции удалось крепким образом изменить габитус растения, существенно повысив долю зерна в общих урожаях биомассы, создать сорта, отысканные из увеличение доз удобрений, повысить качество зерна и даже приступить к созданию новых сортов путем гибридизации.

Однако попытки дальнейшего иммешательства в жизнь растений ради повышения их продуктивности выявили необходимость привлечения злаков из области, которая еще недавно считалась сугубо теоретической. Речь идет об эмбриоплодии растений.

Необходимость привлечения эмбриологической информации при разработке селекционных программ или построении индустриальных технологий подтверждается, в частности, тем, что у растений органогенез продолжается в течение всего онтогенеза, а если говорить, например, о яровой пшенице, то процессы, находящиеся в поле зрения эмбриолога-ботаника, по своей длительности занимают две трети вегетационного периода: от заложения соцветия до формирования зерновки.

Перед учеными всего мира все с большей остротой ставится вопрос о новых нетрадиционных подходах и методах, которые позволили бы выявить все потенциальные возможности растительного организма и вместе с тем в более короткие сроки получить новые формы и сорта.

Индивидуальное развитие растительного организма и познание сущности и причин происходящих в этот период формообразовательных процессов — одна из важнейших проблем нашего времени. Эмбриология растений — наука о закономерностях зарождения и развития самых первых членов онтогенеза — переживает плогу расцвете, обусловленного общим прогрессом естествознания.

ния. Дальнейшее развитие биологии неизменно без знания первых этапов онтогенеза — эмбриологии. Вот почему она оказалась в центре внимания не только эмбриологов, но и генетиков, биохимиков, физиологов, цитологов, биофизиков и селекционеров, и является необходимой основой для экспериментальных и теоретических исследований, касающихся вопросов рецидукции. Кроме того, эмбриология располагает целым рядом фундаментальных открытых, имеющих широкий смысл в практику (циклическая мужская стерильность — ИМС, явление апомиксиса, отдаленная гибридизация и ряд других).

До недавнего времени селекционеры не могли определенно предсказывать результаты того или иного скрещивания, его осуществимость и репродуктивную способность потомства. Практически не поддавался контролю процессы, происходящие в цветке — оплодотворение, развитие эндосперма и зародыша, а также формирование тычинки и завязи. Совершенно очевидно, что возможностям управления отдельными этапами развития эмбриональных структур находится в прямой и тесной зависимости от уровня наших знаний о нормально протекающих в них морфогенетических процессых. Таким образом, описание эмбриологического развития на клеточном, тканевом и организменном уровнях неизбежная теоретическая основа для дальнейшего расширения и углубления исследований в области генетики и селекции. Любая работа, связанная с воздействием био- и биотических факторов на критические периоды в развитии цветка, также требует знания целостной картины событий, развивающихся на ранних этапах онтогенеза и определяющих весь дальнейший ход его развития.

Такие открытия XX в., какhaploidия, парасексуальная гибридизация и выращивание растений из соматических клеток, имеющие общебиологическое значение, особенно для практики сельского хозяйства, не могут быть использованы в полной мере без знания эмбриологии. Эффективно использовать различные методы исследования, такие как отдаленная гибридизация, выращивание гибридов зародышей на искусственной питательной среде, погибели, экспериментальный художник, влияние ионизирующих излучений и усиленный выращивание к т. д., также невозможно без глубокого знания эмбриональных процессов.

Иногда желая предсказать перспективы использования эмбриологии применительно к злакам — это легче решить тем, кто встретился с трудностями. Цело в том, что все процессы оказываются зависимы от условий среды, т. е., в частности, от времени прохождения полива, от применения гербицидов и т. д.

В связи с тем что все процессы, происходящие в цветке, конечным результатом которых является образование хлебных зерен, сложны и многогранны, приходится проиллюстрировать их большим числом рисунков и фотографий, составляющих «Атлас», в которых нашла отражение эмбриология некоторых хлебных злаков.

Рисунок, по выражению известного эмбриолога С. Г. Невагина, — «язык морфолога», он не только изображает происходящие процессы, но и вскрывает их глубину, динамику и их интегрированность.

Краткое описание всех эмбриональных процессов в главах данной работы было необходимо для изложения сведений, не отраженных в рисунках. Это позволит более глубоко понять различные аспекты формирования эмбриональных структур, принимающих участие в образовании хлебного зерна.

Многие исследователи неоднократно обращались к изучению эмбриологии хлебных злаков. Изданы монографии Я. С. Модилевского с сотрудниками об основных хлебных злаках, А. А. Чеботари — о кукурузе, Т. Б. Батышевой — о пшенице. Отдельные вопросы эмбриологии хлебных злаков освещены в работах как советских (В. Г. Александров, М. С. Яковлев, В. А. Поплубян-Арсентьев, С. Н. Коробкова, Т. В. Канделаки, В. Н. Башникова и др.), так и зарубежных (K. Norstog, A. Diholl, S. Russell, H. L. Mogensen et al.) ученых. Методиче-

ские сложности и большой круг вопросов, а также появление новых открытых и вопросов практики потребовали создания «Атласа», где рассматривались бы эмбриологические процессы основных хлебных злаков. Идея создания атласа «Хлебные зерна» принадлежит известному ботанику П. А. Баранчу.

Анализ литературы по эмбриологии хлебных злаков показал, что большинство процессов, происходящих при развитии эмбриональных структур, подчинено общим закономерностям, согласно закону яицеклеточных рядов Н. И. Вавилова. Поэтому автор в одних случаях умышленно показывает сходство протекания отдельных эмбриональных процессов у разных видов, и другое ограничивается лишь описанием таковых на одном хлебном злаке.

При написании книги автор встретился с большими трудностями, и частично с разной степенью наученности эмбриологии хлебных злаков. Поэтому автор не пренебрегает на полную изложение эмбриологии всех хлебных злаков; удельный вес глав оказался неподнаковым. Наиболее полно освещены эмбриональные процессы у пшеницы. Основное внимание уделяено описанию эмбрионального развития на цветковом уровне, однако успехи в области электронной и люминесцентной микроскопии также нашли отражение в данной работе. Кроме того, автор попытался осветить прикладные аспекты эмбриологии, где экспериментальный метод исследование (культура изодиородных зародышей, гаплоидия и т. д.) получил права гражданства. Более того, на основе разработанных автором с концептуальными принципами культуры и искусственных условиях (*in vitro*) различных генеративных структур — тыльника, зародыша и т. д. — предложен ряд хетодических указаний, которые могут найти применение в селекции. Например, выявлены различные способы получения гаплоидов и разработана схема снятия спирофигной и гаметофигной детерминации, установлены лежащие за закономерность — возможность зародыша — стадия, с которой зародыш в искуственных условиях на простой среде может закончить свое развитие и дать корхальное растение.

С позиций системного подхода, который автор разрабатывает последние годы при применении к эмбриональным структурам, все эмбриональные процессы детерминированы, большинство из них развивается сопряженно, при этом выделяются определяющие корреляции в морфогенетических процессах, обуславливающие специфический характер корхального проптекания эмбрионального развития. Прекращение такого единства приносит к нарушению гомеостаза, выражаемому в различных аномалиях как отдельных органов, так и всей системы растения в целом, где все подчинено единым, но определяемым законам развития.

Предлагаемый внеслужебный «Атлас» посвящен не только описанию отдельных эмбриональных процессов, происходящих в цветке и плоде (серповке) хлебных злаков (пшеницы, ржи, кукурузы, ячменя, овса и тритикале), но также и сопряженности яицеклеточных процессов с процессами формирования и функционирования отдельных побегов к растению в целом. Понятие закономерностей морфогенеза особенно важно для селекционеров, агрономов, которые судят о разведении растения по фенофазам.

Автор считает целесообразным для облегчения восприятия сути работы, как это принято при издании атласа, не цитировать в тексте первоисточники, а ограничиться списком литературы, благодаря которому можно получить более подробную информацию по интересующим читателям вопросам.

В «Атласе» использованы пригильевые рисунки, а также фотографии, заимствованные из отечественной и зарубежной литературы.

Автор сердечно благодарен А. А. Чеботарю и А. М. Моткович, приславшим сканографии, илюстрирующие ход мейоза у целиоидной и тетраплоидной ржи, а также В. Е. Отродниковой и А. А. Чеботарю, любезно предоставившим материалы по электронной микроскопии, характеризующие отдельные процессы в развитии мышиных яйцеклеток, ячменя и овса, семядочки кукурузы. За помощь

ративный материал, касающийся прорастания пыльцевых трубок, полученных методом люминесценции микроскопии, автор признателен А. Н. Фрумкиной и Н. Д. Тихенко. Автор признателен И. Н. Орловой за микрофотографии, освещающие некоторые процессы развития эндосперма и эндосперма тритикале. За материалы, предоставленные по эмбриологии тритикале, автор самую искреннюю признательность выражает Г. Я. Петрову. Я очень благодарна Л. И. Орлой, которая предоставила несколько микрофотографий И. Д. Романова и своих оригинальных, характеризующие приживленное состояние икрыни ищепицы, а также некоторые аспекты развития пыльцы при ГМС. Автор признателен В. К. Симоненко, предоставившему отдельные материалы и фотографии для раздела ГМС у злаков, а также сердечно благодарен С. А. Игнатьевой, С. В. Лукьянину и Н. И. Приходько за материалы, предоставленные ими по получению гаплоидов. Несомненно интересны иллюстрации различных стадий зародыша и проростка пшеницы, сделанные Н. Н. Рытовой с помощью сканирующего микроскопа, за что автор искренне ей признателен. Оригинальные рисунки О. А. Хедманн раскрыли сложные интимные процессы онкодифференции ячменя и тритикале, за что автор также глубоко благодарен. Работе выпала блаженство электронно-микроскопическим снимкам, любезно предоставленным И. Г. Шмарренным, которые включены в раздел «Развитие эндосперма», написанный совместно.

Я искренне благодарна всем сотрудникам Института растениеводства, любезно предоставленным мне для работы образцам различных видов злаков.

Автор признателен за замечания и ценные предложения ответственному редактору книги М. С. Яковлеву, редакторам А. А. Яценко Харченко и Н. Н. Цыбулеву, а также С. А. Рузникову, Ю. В. Гамалю, А. Е. Васильеву и Г. И. Савиной за консультацию и ценные советы по электронной микроскопии.

Автор сердечно признателен Н. Л. Монсенеен, М. Е. Русше, І. Н. Н. Schel, H. Kiehl, Van Lammeren за присланние световые и электронные фотографии по исследованию отдельных этапов развития пшеницы и ячменя, а также K. Norstog, S. Russell, A. G. Diboll, D. A. Lagesen за материалы, взятые из их работ, без которых были бы недостаточно полны сведения о некоторых аспектах эмбриологии злаков.

В «Атлас» включены некоторые методики научения отдельных эмбриональных процессов применительно к хлебным злакам. Они заимствованы из «Методических указаний...» (под ред. Л. И. Орлой⁴), разработанных сотрудниками Округа цитологии и анатомии Всесоюзного института растениеводства им. Вавилова, и из работы З. В. Абрамовой и Е. М. Есимбаевой (Селекция и семеноводство, 1973, № 3).

Издание юбилейного рода связано с большой технической работой по его подготовке, в которой принимали активное участие сотрудники Лаборатории эмбриологии Ботанического института им. В. И. Комарова АН СССР. Автор глубоко благодарен за советы и помощь особенно Г. Е. Коневской, а также Е. В. Апдроновой, Г. М. Анисимовой, В. Е. Васильевой, А. Н. Винтер, Е. В. Драгуновой, Л. М. Ротенфельд, И. И. Шамрову. За микрофотографии и цветные фотографии автор искренне благодарен Б. Т. Шелкову, за акварельные рисунки — Е. Н. Батыгиной.

Несмотря на возможные погрешности, имеющиеся в книге, автор надеется, что она будет полезна не только специалистам различных профилей, но и широкому кругу читателей. Кроме того, она может быть использована как учебное пособие для преподавателей, аспирантов и студентов.

⁴ Цитологическая и цитоэмбриологическая техника. — , 1982.

INTRODUCTION

Selection as a scientific discipline is characterized by the high degree of complexity: it borrows from general disciplines their methods and laws about plants and animals making them adapted up to the cultivar according to its needs. In managing heredity it is based entirely on the data of genetics, cytology and embryology.

A. I. Vavilov. Theoretical basis of plant selection. M.; L., 1938. Ed. 1-2-8

A lot has been written about the significance of cereals in human life. Excavations permit to establish that the cereals had been introduced in cultivation at the dawn of agriculture. From the primary centres of agriculture the cereals had spread to new regions in the wake of the settling mankind. Together with the experience of ploughers the knowledge of the cereal structure was accumulated. With the aid of selection it became possible to fundamentally change the plant habitus, significantly raising the part of corn in the whole yield of the biomass, to create the sorts receptive to the increase of fertilizer doses, to increase the quality of grain and even set to the forming of new sorts by hybridization.

However, the attempts of further interference into plant life for the sake of increasing its productivity revealed the necessity of getting data from scientific area which has recently been considered strictly theoretical. By this area is meant plant embryology.

The necessity of obtaining embryological information when working out selection programs or constructing industrial techniques is corroborated, in particular, by the fact that in plants organogenesis is continued throughout its ontogenesis. And if, for instance, we take spring wheat, the processes being in the centre of attention of embryologists botanists, by their duration take two thirds of the vegetative period: from the building up of the inflorescence up to the formation of the kernel.

For scientists of the whole world more and more urgent becomes the question of new, untraditional approaches and methods permitting to bring to light all potentialities of the plant organism, as well as to get new forms and sorts in shorter time.

The individual development of plant organism and cognition of the essence and reasons of the formconstructing processes is one of the principal problems of our time.

Plant embryology — the science on regularities of the origin and development of the first stages of ontogenesis is going through its flourishing period determined by the general progress of natural sciences. The further development of biology is impossible without the knowledge of the first stages of ontogenesis — embryology. That is why it appeared in the centre of attention not only of embryologists, but also of geneticists, biochemists, physiologists, cytologists, biophysicists and selectionists and is a necessary basis for experimental and theoretical investigations dealing with the problems of reproduction. Besides that, embryology disposes of a number of fundamental discoveries which can be widely introduced into practice (cytoplasmic male sterility — CMS, phenomenon of apomixis, distant hybridization and some others).

Up to recent time selectionists were unable to predict with certainty the results of some or other crossing, its possibility to be put into practice and reproductive ability of the progeny. As a matter of fact, the processes occurring in the flower —

the fertilization, the development of the endosperm and the embryo, the formation of reproductive organs were practically out of control. It is quite evident that the possibility of regulation of separate stages of the development of embryonic structures is directly and closely dependent on the completeness of our knowledge of the normal morphogenetic processes occurring in them. Thus, the description of embryological development at the cell, tissue and organismic levels is a necessary theoretical basis for further broadening and extending of investigations in the areas of genetics and selection.

Any work connected with the influence of biotic and abiotic factors at the critical periods in early ontogenesis also needs a knowledge of the entire picture of events developing at the early stages of ontogenesis which determine the whole further process of development.

Such discoveries of the XXth century as haploidy, parasexual hybridization and growing plants from somatic cells which are of all-biological significance, especially for the practice of agriculture, cannot be effectively used without the knowledge of embryology. Without deep knowledge of embryonic processes it is also impossible to make effective use of different methods of investigation, such as distant hybridization, growing of hybrid embryos on the artificial nutritive medium, polyploidy, experimental mutagenesis, influence of ionizing irradiation and the conditions of growing and so on.

Sometimes it is impossible to forecast the prospects of using embryology as applied to cereals - it is easier to decide to those who have met with some difficulties. The fact is that all processes appear to be dependent on the environmental conditions, that is, for example, on the time of watering or applying herbicides and so on.

In connection with the fact that all processes occurring in the flower and resulting in the formation of grains are complicated and many-sided, it became necessary to illustrate them by a great amount of drawings and photos which make up the «Atlas» where the embryology of some cereals is reflected.

A drawing, by the expression of a famous embryologist S. G. Navashin, is «the language of a morphologist», it not only illustrates the occurring processes, but also reveals their depth, dynamics and integrity.

A short description of all embryonic processes in the chapters of the given work was necessary for presentation of data not reflected in the drawings. This will enable the reader to understand more deeply the different aspects of formation of embryonic structures taking part in the building up of the corn.

Many researchers repeatedly turned to the study of embryology of cereals. The monographs by Ya. S. Modilevsky with his collaborators, by A. A. Chebnar — on maize, by T. B. Batygina on wheat have been published. Separate questions of embryology of cereals are covered in the works of both Soviet (V. G. Aleksandrov, M. S. Yakovlev and others) and foreign (R. Norstog, A. Diholl, S. Russell, H. L. Muggenthal and others) scientists. The complexity of methods and the great range of problems, as well as the appearance of new discoveries and requirements of practice called for the creation of the «Atlas», where the embryological processes of the main cereals would be considered. The idea of publishing an Atlas «The Grain of Cereals» belongs to the well-known botanist P. A. Baranov.

The analysis of literature on embryology has shown that the majority of processes taking place during the development of embryonic structures is submitted to general regularities according to the law of homologous rows by N. I. Vavilov. That is why the author in some cases specially shows the similarity of some embryonic processes in different species, and in others is restricted only by a description of them in one cereal.

The author met with great difficulties during the process of writing this book, in particular, with different degrees of knowledge of embryology of cereals. Therefore the author does not claim to have fully presented the embryology of all

cereals: the relative significance of the chapters has proved unequal. Most fully are described the embryonic processes in wheat. The main attention is paid to the description of embryonic development at the light level; the processes in the area of electron and luminescent microscopy, however, have also found their reflection in this work. Besides, the author has attempted to show some applied aspects of embryology where the experimental method of investigation (the culture of isolated embryos, haploidy etc.) has become established. Moreover, on the basis of theoretical principles of cultivation in artificial conditions (*in vitro*) of different generative structures worked out by the author and her colleagues (of the anther, the embryo etc.) some methodical advice has been recommended which could be applied in selection. For instance, various methods of obtaining haploids have been brought out, and there has been worked out a scheme of the effect of the removal of sporophytic and gametophytic determination. A new regularity has been established — the autonomy of the embryo — the stage from which the embryo is able to complete its development and produce a normal plant in isolated conditions.

From the viewpoint of systemic approach which the author has been working out for many years as applied to embryonic structures, all embryonic processes are determined. The majority of them develop in conjunction and certain correlations in morphogenetic processes determining the specific character of normal embryonic development are revealed. The disturbance of such conformity leads to the disturbance of homeostasis, which is manifested in various anomalies both of separate organs and the whole plant system, where everything is subjected to common, but quite certain laws of development.

The «Atlas» intended for the readers' attention is devoted not only to the description of the main embryonic processes occurring in the flower and the fruit (kernel) of the main cereals (wheat, rye, maize, barley, oats and triticale), but also to the embryonic processes being conjugated with the process of formation and functioning of separate shoots and the plant as a whole. The knowledge of the laws of morphogenesis is especially important for the selectionists, agriculturists who judge on the development of the plant by phenophases.

The author found it reasonable for the sake of easiness of perception, not to quote the original works, but to confine herself by the list of literature due to which it is possible to get a more detailed information on questions the reader is interested in.

In the «Atlas» are used original drawings, as well as photographs taken from native and foreign literature.

The author is heartily thankful to A. A. Chebotar, A. M. Meshkovich who have given microphotos illustrating the meiotic cycle in diploid and tetraploid rye and also to V. E. Ogorodnikova and A. A. Chebotar who have kindly presented the materials on electron microscopy characterizing the separate processes in the development of wheat, barley and oats anther. The author is very much obliged to A. P. Trunskina and N. D. Tichenko for the illustrative material dealing with the germination of pollen tubes obtained by the method of luminescent microscopy. The author is very much obliged to I. N. Orlova for microphotos demonstrating some processes of endosperm development and some aspects of embryo and endosperm development of triticale. By I. N. Orlova was also written the chapter «The method of preparation of the embryo sac of wheat, rye and triticale». The author brings her sincere thanks to G. Ya. Petrov for the materials on triticale embryology. The author is very thankful to L. I. Orel who has presented some microphotos by the late I. D. Romanov and her own original microphotos characterizing the vital state of wheat pollen and some aspects of pollen development in the case of CMS. The author is grateful to V. K. Simunesko who has presented some materials and photos for the chapter on CMS in cereals. The author is heartily thankful to S. A. Ignatova, S. V. Lukjanycuk and N. I. Prichodko for the materials on obtaining haploids.

There is no doubt, the illustrations of the cone of growth of wheat made by N. N. Rytova are very interesting and the author is very grateful to her. The original drawings of O. A. Khverdinich have revealed complicated and intimate processes of barley and triticale fertilization and the author is deeply thankful to her. The work has gained from electron microscopic photos kindly presented by I. G. Shmarayev, which are included in the chapter «The development of endosperm» written together. The author is sincerely thankful to all contributors of the Institute of Plantgrowing who kindly presented specimens of various species of cereals for our work. The author is very grateful for the remarks and helpful advice of the executive editor of the book M. S. Yakovlev, to the reviewers A. A. Yalchenko-Khmelevsky and N. N. Cvelev and also to S. A. Reznickaya, V. V. Garnalei and A. E. Vasiljev for their recommendations and important advice on electron microscopy.

The author is heartily grateful to H. L. Mogensen, M. L. Rusche, I. H. N. Schel, H. Kiefl, Van Lammeren for the light and electron photos on separate stages of *Hordeum vulgare* and *Zea mays* development sent by them and also to K. Norstog, S. Russel, A. G. Diholl, D. A. Larsen and others for the materials from their works without which the data on some aspects of cereal embryology would have been incomplete.

Some techniques of studying separate embryonic processes as applied to cereals are included into the «Atlas». They are taken from «The methodical recommendations...» (ed. by L. I. Orel*) developed and modified by the researchers of the Department of Cytology and Anatomy of N. I. Vavilov All-Union Institute, and from the work of Z. V. Abramova and E. M. Esimbayeva (Selection and Seedbreeding, 1973, N 3).

The preparation of the book like this is connected with much technical work in which actively participated the workers of the laboratory of Embryology of Komarov Botanical Institute of the Academy of Sciences of the USSR. The author is deeply thankful for advice and aid to G. E. Kolesova especially and also to E. V. Andronova, G. M. Anisimova, V. E. Vasiljeva, A. E. Vinter, E. V. Dragunova, L. M. Rotenfeld, I. I. Shamrov. The author is sincerely grateful for micro- and coloured photos to B. T. Shapkov, and for water-colours to E. N. Ratiyina.

In spite of the possible drawbacks which can be met with in the book, the author hopes that it will be useful not only for specialists of different profiles, but also to the wide range of readers. Besides, it can be used as a manual for teachers, post-graduate students and students.

* Cytological and cytogenetic techniques..., 1982.

I. ЦВЕТОК ЗЛАКОВ

Цветки хлебных злаков развиваются в колосках, которые в свою очередь собраны в общие соцветия — колос, метелку и початок (рис. 1—3). Обычно на each колоска формируются колосковые и цветковые чешуи, лодинкулы, пестик, тычинки (рис. 3).

Число цветков в колоске, так же как и число колосков в колосе, метелке и початке, варьирует у разных видов злаков. Так, каждый колосок ячменя — одноколесковый и образует одну зерновку, что является характерным признаком всех видов рода *Triticum*, в отличие от многоцветковых колосков пшеницы, овса и парных цветков рожь и кукурузы. Кукуруза отличается от других хлебных злаков тем, что она хотя и однодомное, но раздельнопольное растение. Мужские соцветия — метелки, женские — початки (рис. 2). В цветке колоска метелки кукурузы кроме тычинок, как правило, имеется недоразвитый пестик, а в цветках початка кроме нормально развитого пестика —rudimentарные тычинки. У кукурузы в 2-цветковом колоске початка плодоносят из них чаша оказывается верхней цветков. В колоске пшеницы развиты нормально не все цветки, есть и недоразвитые (их число варьирует и зависит от вида пшеницы), которые проходят только какую-то часть этапов развития. Например, у некоторых форм пшеницы в колоске закладывается более 10 цветков, но только 2—4 развиваются нормально, образуя зерновки.

Цветок злаков — единная сложная целостная интегрированная система, в которой в процессе приспособительной адаптации создались наиболее благоприятные условия для обеспечения полового размножения. Во время развития в цветке происходит дифференциация: развитых взаимосвязанно и взаимообусловлено функционирующих органов и структур, обеспечивающих зарождение и развитие нового организма.

Цветок злаков — сплюснутость стерильных (лодинкулы и цветковые чешуи) и fertильных (пестики и тычинки) структур. Пестик в свою очередь дифференцируется на нижнюю фертильную часть (заноз) и верхнюю стерильную (стиплик и рыльце). У большинства рассматриваемых хлебных злаков столбик отсутствует и формируется синичее цернистое рыльце. Исключение составляет кукуруза, у которой имеется длинный, слегка опущенный столбик, захватывающийся разросшимся рыльцем (рис. 2). В занозе различают гнездо и стенку. В гнезде заноза формируется семязачаток (семяпочка). Тычинки, как и цветки, являются структурами, в которых формируются мужские и женские половые клетки — гаметы. В занозе происходит оплодотворение и развитие зародыша — первые этапы жизни нового индивидуума.

II. РАЗВИТИЕ ТЫЧИНКИ

Формирование тычинки и пыльника — единый процесс развития сложной интегрированной системы. На ранних стадиях развития цветка закладываются околоследник. Первой формируется наружная цветковая чешуя, затем внутренняя, и почти одновременно с последней закладываются тычинки в нижних цветках колоска (рис. 4, А, Б). В верхних цветках колоска яложение тычиночных бугорков начинается позднее (рис. 4, В), когда в тычинках нижних цветков проходит мейоз (см. ниже). Развитие тычинки у *Triticum aestivum* I. — от яложения ее до формирования зрелой пыльцы — протекает в среднем в течение 3 нед.

В развитии пыльника различают 3 периода: премейотический, мейотический и постмейотический. В первый период пыльник характеризуется митотическойaktivностью; формируются стенка пыльника и пыльцевые гнезда. В мейотический период происходит дальнейшая дифференциация слоев стенки пыльника и мейоз в микроспороцитах (метаринских клетках микроспор), в результате чего образуются тетрады гаплоидных микроспор. В постмейотический период созревает пыльца, и, как правило, идет дегенерация отдельных слоев стенки пыльника.

Различают сформированную стенку гнезда пыльника, характеризующуюся окончательным, определенным числом слоев, специфичных для каждого таксона, и стенку гнезда зрелого пыльника — в момент вскрытия.

При созревании пыльника идет процесс дифференциации и специализации клеток всех слоев его стенки, в пятьюном совпадающей с мейотическим периодом.

На первых этапах развития тычиночини бугорок состоит из меристематических клеток (рис. 5, 1). Одновременно с обособлением проводящего ручка на поперечном срезе пыльника можно наблюдать образование 4 его лопастей (гнезд; рис. 5, 2—8). Каждая лопасть преобразуется в микроспорангий. 2 центральных гнезда составляют тело. Таки соединены между собой связником (рис. 5, 8, 18).

I. ФОРМИРОВАНИЕ СТЕНКИ ПЫЛЬНИКА

Различие строения ткани тесно связано с формированием отдельных слоев стенки, поэтому их изучение необходимо проводить сопряжено. В субапикальном слое меристемы каждой лопасти дифференцируются археспориальные щеточки, отличающиеся от остальных величиной, формой и структурой (рис. 5, 2—6). Деление археспория приводит к возникновению париетального слоя (рис. 5, 5), который в результате делений образует стенку пыльника (рис. 5, 7—11) к спиральной ткань, формирующую пыльцу в результате сложных преобразований (мейоз и др.) (рис. 5, 8—17, 19—34). Стенка пыльника у злаков характеризуется центроэктогенетическим типом развития и тапетумом, производимым из париетального слоя (рис. 5, 2—9, 19—24; 6). Стенка сформированного пыльника пшеницы состоит из экзотеции (эндодерма), эндотеции (фиброзный слой), одного среднего слоя и тапетума (1—2-ядерного) (рис. 5, 10, 11, 24; 6).

В процессе развития все слои стенки пыльника претерпевают значительные изменения. Стенка зрелого цицерника представлена экзотецием, эндотецием, средним слоем и тапетумом (рис. 5, 16, 17, 34). Средний слой у некоторых видов злаков сохраняется в виде дегенерирующих клеток.

Экзотеций (эндодерма) — наружный слой пыльника (рис. 5, 8—17), выполняет в основном энзиматическую функцию. На первых этапах развития его клетки стабилакуолизированы (рис. 5, 9—11), и в этот момент происходит кутинизация.

шия наружной оболочки клеток. Размеры клеток экзотеции значительно увеличиваются по сравнению с первоначальными. Все клетки связаны между собой плазмодесмами. Ядра клеток эпидермы удлиненные, у некоторых видов листственные. В цитоплазме клеток экзотеции имеются лейкопласты разнообразной формы, большее число митохондрий, сосредоточенных главным образом по периферии клетки, эндоплазматический ретикулум (ЭР), суберазвитый яшарят Гольджи, рибосомы, соединенные в полисомы и свободные. В зредых пыльниках экзотеций имеет сильно развитую кутикулу (рис. 5, 14—17).

Эндотеций (фиброзный слой) прилегает непосредственно к экзотеции (рис. 5, 9—17) и выполняет в основном функцию вскрывания индуктора. Клетки фиброзного слоя отличаются от эпидермы наличием хлоропластов (рис. 7—9). При развитии микростири у ячменя в клетках эндотеции обнаружена трансформация амилопластов в хлоропласты. Дальнейший ход формирования пыльцевого зерна сопровождается уменьшением числа крахмальных зерен, поглощенных в строме пластид рыбосте и развитием мембранный системы, состоящей из гран и межгранцентриальных тилакоидов. Плазмалемма протопласта имеет многочисленные инвагинации, связанные с ЭР. Ультраструктурная организация вакуолярных образований позволяет предполагать, что эндотеций богат гидролитическими ферментами. Ядра клеток фиброзного слоя по мере его дифференциации приобретают овальную или лопастную форму. Оболочка ядра имеет многочисленные поры. У пшеницы на стадии микроспоры в клетках эндотеция появляются фиброзные пястки (рис. 5, 14—17).

Средний слой на первых этапах развития пыльника почти ничем не отличается от клеток экзотеции и эндотеция (рис. 5, 9). Ядра клеток среднего слоя в мейозе сильно удлиняются и в процессе дальнейшего развития пыльника приобретают еще более вытянутую форму (рис. 5, 11, 13). Клетки среднего слоя связаны плазмодесмами друг с другом и с клетками тапетума. Цитоплазма клеток сильно вакуолизирована, в ней имеются пластиды (лейкофлазмы) (рис. 7, 8), крахмал отсутствует, слабо представлены аппарат Гольджи и митохондрии. Плазмалемма метаболически активна, на что указывают многочисленные инвагинации и выросты. Клетки и ядра среднего слоя в процессе развития деформируются, уплотняясь и удлиняясь. Признаки детерминации этого слоя отмечаются обычно во время деления ядер микроспор. Идентичность клеток среднего слоя сохраняется на поздних этапах развития пыльника (рис. 5, 16—17).

Тапетум — внутренний слой пыльника, прилегающий непосредственно к спорогененным клеткам и в дальнейшем — к пыльце (рис. 5, 9—17). Клетки тапетума имеют таблитчатую форму. У ячменя это радиальные стеки, щелочки пронизаны большим числом плазмодесм. Функция тапетума разнообразна: он обеспечивает поступление веществ к развивающимся микроспороцитам, микроспорам и пыльцевым зернам. Нарушение в дифференциации тапетума приводит к различным формам стерильности пыльцы. Тапетум у злаков секреторного типа, клетки его в отличие от клеток других злаков слабоактивны. На стадии мейоза его клетки становятся 2-, реже 3—4-ядерными (рис. 5, 11, 14). Ядра тапетальных клеток крупные, содержат несколько ядрышек. У большинства злаков в тапетальных клетках в период мейоза начинается секреторная активность, максимум которой приходится на фазу гладиоплазмогравитных микроспор. В этот период клетки тапетума богаты такими органеллами, как митохондрии, многочисленные свободные рибосомы, полисомы, аппарат Гольджи, пластиды, имеющие слаборазвитые тилакоидные системы, пемисфильные глобулы (рис. 10, 11). В экстра-плазматическом пространстве тапетальных клеток пыльников злаков в этот период обнаруживаются липиды, белки и спороциллы. Многоядерность клеток тапетума и ультраструктурная характеристика свидетельствуют о его высокой метаболической активности. На более поздних стадиях развития пыльники в тапетуме проходит снижение деятельности аппарата Гольджи,

который развивает ся и представлен небольшим числом диктиосом. Особенность талпетальных клеток — образование новой спороподелительной оболочки, формирующейся вокруг каждой клетки после деструкции первичной зернистой оболочки (на стадии тетрад микроспор). Окончательное формирование этой оболочки завершается во времени образования центральной вакуоли в пыльцевом зерне. Детальное исследование талпетума у ржи *Secale cereale*, овса *Avena sativa* и ячменя *Triticum aestivum* выявило наличие внутренней талпетальной и наружной периталпетальной спороподелительных пленок (оболочек). Числично на радиальных стенах клеток талпетума и на талпетальной пленке располагаются орбикулы (рис. 5, 14—17; 12—14), которые служат, по видимому, для прикрепления пыльцевых зерен и способствуют более легкому их отделению. Талпетальная пленка с орбикулами сохраняется в зерле пыльника. Орбикулы разных видов злаков различаются по величине и числу находящихся на единицу поверхности талпетальных клеток. Обычно размер орбикул обратно пропорционален их числу на единицу площади талпетальной клетки. Эти различия хороший диагностический признак. Одновременное образование спороподелительной оболочки с орбикулами вскругт талпетума и ячмень у микроспор, а также идентичность их химической природы являются примером сопряженного развития стеки пыльника, спорогенных структур и пыльцевых зерен. Во время мейоза в пыльнике зачатие, сутью называемое оболочки клеток, это слои. Первые признаки дегенерации первичной оболочки клеток талпетума обнаружены в конце мейоза. В зрелом пыльнике в результате разрушения протопластов в клетках талпетума происходит сближение внутренней и наружной частей пленки (оболочки). Последние вместе с орбикулами выступают гнездо пыльника, создаван сплюснутый мешок, в котором развиваются микроспоры и пыльцевые зерна.

2. МИКРОСПОРОГЕНЕЗ

В результате развития спорогенетической ткани в пыльнике образуются материнские клетки пыльцы (микроспорониды; рис. 5, 10, 11). Для всех злаков характерно своеобразное одностороннее расположение микроспоронидов, тетрад микроспор и пыльцевых зерен в пыльнике. В начальном периоде развития микроспорониды у всех злаков имеют характерную клиновидную форму. В результате расхождения их внутренних концов образуется полость гнезда пыльника, имеющая первоначально вид щели неправильной формы. В процессе дальнейшего развития микроспорониды щель быстро расширяется и округляется, и микроспорониды оказываются расположенным в один ряд в виде кольца, прилегающего к талпетуму (рис. 14, В). Для каждого вида злаков число микроспоронидов строго определено: у пшеницы стеригматический комплекс состоит из 4—6 микроспоронидов, у ржи — из 11—12, у кукурузы — из 4—5 (на поперечном срезе). Во время мейоза усиленно разрастается пыльник и значительно изменяется форма микроспоронидов. Характерная особенность цитоплазмы микроспоронидов злаков — наличие большого числа желчных вакуолей, возникающих в результате высокой активности диктиосом. У злаков процесс мейоза протекает скрыто (рис. 15, 1—7; 16, А—Ж). Профаза мейоза — занесла продолжительная фаза, что, вероятнее всего, обусловлено высоким ядерно-цитоплазматическим отношением. В анафазе хромосома I происходит редукция хромосом, тетрафаза приводит к образованию дихида, за интерфазой следует мейоз II, проходящий по типу митоза. Как в первом, так и во втором делениях у многих злаков передко наблюдается отставание хромосом при их расхождении (рис. 17), причем частота случаев заторможенного расхождения хромосом возрастает с увеличением плодности. Тип образования тетрады микроспор у злаков сукцессивный (последовательный) (рис. 5, 12; 15, 6—7; 16). В результате 2 последовательных делений образуется изобилитательная тетрада микроспор.

Перегородки в тетрадах всех зликов расположаются перпендикулярно стенкам гнезда, в результате все 4 яйцеклетки могут находиться в одной плоскости, и каждая будет прилегать к гигиетальному слою. Таким образом, в дальнейших пыльцевых зернах, происходящие из одной тетрады, располагаются рядом (рис. 14, Г). Тетрады микроспор зликов окружены толстой каллюзной оболочкой. Как было установлено для пыльники и яичника, каллюзная оболочка у микроспоронтных яйцеклеток начинает формироваться еще в превителловой интерфазе (рис. 5, А), и к началу мейоза микроспоронты оказываются изолированными друг от друга. Не отхождение, как у паразитов, электронно-микроскопические исследования пыльника яичника, проходит между пыльцевателемой и первичной яйцеточной стенкой спорогенных клеток.

Некоторые данные говорят о том, что в ходе мейоза начинаются специализации: властед и митохондрий и восстановление популяции рибосом. У яичника в пластидах крахмальные зерна отсутствуют. У кукурузы перед мейозом в микроспороцитах наблюдается большое число митохондрий, в то время как другие органеллы находятся в минимуме (рис. 18). Это свидетельствует об исключительной интенсификации энергетических процессов, что, вероятно, необходимо для осуществления 2 быстро следующих друг за другом делений мейоза. В микроспоронтах значительны изменения объема их ядер. Десминизированность хромосом в хейтлической профазе позволяет им сохранять высокую метаболическую активность. В стадии ст профазы митоза в профазе мейоза синтезируются РНК и белки, необходимые как для прохождения мейоза, так и для развития микроспор. Все это обеспечивает нормальную постмейотическую формирование микроспор. Любые нарушения как в стадии пыльниката, так и в микроспороцитах могут привести к прекращению или аномальному развитию микроспор. Это наблюдается при разных типах мужской стерильности.

Тетрады микроспоры вскоре после образования начинают обособляться; они также окружены каллюзной оболочкой. Позже между растворяющейся каллюзной оболочкой и пыльцевателемой всникает промежуточка, и можно наблюдать нечто другое состояние органелл по сравнению с микроспороцитами (рис. 19). В результате энзиматического расщепления каллюзных оболочек тетрада происходит их распад на отдельные микроспоры (рис. 5, 12; 15, 8, 9), которые проходят длительный (несколько дней) интерфазный период. В развитии микроспоры можно выделить 3 фазы: 1) невакуолизированной микроспоры (ее ядро занимает центральное положение), 2) вакуолизации микроспоры (ядро занимает раздвинтое положение по отношению к поре), 3) девакуолизации и усиленного роста микроспоры (ядро, как правило, расположено на стороне, противоположной поре).

В ходе первой фазы микроспоры увеличиваются в размерах, их ядра занимают центральное положение, цитоплазма сильно обогащена и слизью (рис. 15, 9; 20, 1). В дальнейших происходит вакуолизация микроспор, характер которой меняется в процессе их развития. В конце интерфазы ядро как вакуоли, слившись, образуют едину большую (рис. 15, 10—12; 20, 2—4).

В процессе формирования микроспоры значительно увеличиваются объемы цитоплазмы и ядра. Число ядрышек у различных видов зликов отличают. Вероятно, биосинтез белка в микроспорах на ранних стадиях развития обеспечивается главным образом рибосомами, образующимися в микроспоронтах в период младшей профазы мейоза I. В конце интерфазы в микроспорах обнаруживаются большая вакуоль и ядро, расположенные около стени пыльцевого зерна (рис. 15, 12; 21). В этот момент ядро достигает значительных размеров по сравнению со слабовакуолизированной микроспорой, заметно увеличивается объем ядрышек, в которых появляются маленькие ядринковые вакуоли.

В цитоплазме слабовакуолизированных микроспор питаницы, она же и рожки имеются в большом числе митохондрии, пластиды удлиненной или неправильной формы, лингосомы и гузырыки Гольджи, ЭР в основном гранулярного типа. В полости некоторых цистерн обнаруживаются сексофильные глобулы. В микроспорах кукурузы в этот период количество хлорофилларий резко снижено по сравнению с микроспорогенезом.

Основные структуры цитоплазмы вакуолизированной микроспоры злаков — мелкие митохондрии, аппарат Гольджи и ЭР, рибосомы, полисомы, различающиеся по размеру и частоте связанные с мембранными структурами, сферосомы и различные везикулы, образующие мультивезикулярные тела и преимущественно веретенояркий ЭР. О большой активности дыханием можно судить по значительному числу везикул вокруг цистерн. Цитоплазма микроспоры содержит липидные образования (рис. 21).

В оболочке ядра микроспоры имеются энзиматические ядра, местами ядерная оболочка распирается, образуя небольшие выросты, наблюдаются также непосредственный переход ядерной оболочки в каналы ЭР. В процессе развития ядра микроспор организацией пор меняется, что связано с передвижением различных веществ.

Изменения в микроспорах тесно связаны с образованием оболочки пыльцевого зерна и формирование единственный поры. У мышицы злаков пора имеет колычевидный ободок, окружающий поровое отверстие, прикрытое крылечкой (спиркулумом) (рис. 15, 37). Оболочка и крылечка состоят из 2 слоев экзина: внешнего — связки и внутреннего — пеканты, и интеги, которая в районе поры значительно расширена в виде промежуточного тела (рис. 15, 37, 21). Основной компонент экзина — лектоцеплюлоза, экзины — стероидные, относящиеся к классу терпеноидов. В ходе формирования микроспор и пыльцевых зерен возникают как количественные, так и качественные изменения в их оболочках. Сильное увеличение толщины экзина происходит в микроспорах в конце интерфазного периода, когда они значительно увеличиваются в размерах. Разные виды злаков характеризуются различным строением оболочки пыльцевого зерна.

Микроспоре и пыльце злаков присуща определенная полярность, проявляющаяся на ранних стадиях развития микроспор и сохраняющаяся до стадии зрелого пыльцевого зерна. Она проявляется в наличии 2 полюсов: внешнего (наружного) — в передней, обращенной в сторону тапетума, и внутреннего — в полости гнезда (рис. 15, 10—36; 20, 1—10), определяемом расположением ядра в микроспоре, в распределении цитоплазмы, органелл, включений и т. д. Определенное положение ядра в микроспоре и пыльцевом зерне может быть использовано в качестве ориентира при изучении их развития (например, движение щеток и ядер). Полярность зависит от ряда причин, в том числе от архитектоники пыльцевого зерна и самого пыльца. Оно обусловливает в сильной степени ход развития пыльцевого зерна.

3. РАЗВИТИЕ ПЫЛЬЦЕВОГО ЗЕРНА

В кс. об спорангии на этом этапе наблюдается дифференциация всех клеток, однако только в 2 нижних дисках каждого колоска происходит образование пыльцевых зерен (рис. 22). Остальные колоски недоразвиты, и пыльцевые зерна в них не образуются.

Формирование пыльцевого зерна начинается с деления сильновакуолизированной микроспоры (рис. 15, 13—19; 20, 4—5). В результате первого дифференцирующего деления образуются генеративная (меньших размеров) и негативная (больших размеров) клетки (рис. 15, 19—22; 20, 7, 8). Особенность первого митоза в пыльцевом зерне злаков — исходноврожденное образование клеточной перегородки. Электронное микроскопическое исследование показало, что

образовавшаяся стекла состоят из цепочек из каллюзы, которая сохраняется очень недолго (рис. 20, б). Поглощением каллюзы генеративная клетка оказывается отграниченою 2 плазмалеммами: своей и плазмалеммой вегетативной юношки. В начальном развитии пыльцевого зерна ядра вегетативной и генеративной клеток лежат рядом и по размерам, кроме ядрашек, не отличаются друг от друга. Объем ядрышка в ядре вегетативной клетки несколько больше, чем в генеративной. Эти клетки различаются ядерно-плазмемными отношениями. В цитоплазмах вегетативной клетки пыльцевого зерна пигменты имеют аммиачистые с крахмалом, число разнообразных по форме митохондрий увеличивается, меняется их морфология. Встречаются и другие органеллы и структуры (рис. 23). Анипрат Годжджи представление 4—б наравненными кристаллами и мелкими пузырьками. По сравнению с микроспорами он малоактивен. Характерная особенность данной стадии развития пыльцевого зерна — быстрый рост организма и их связь с ЭР. Помимо органелл в цитоплазме содержатся семипифильные образования, лизосомоидные структуры. Оболочка ядра вегетативной клетки имеет узкоголовые поры, связь с ЭР наблюдалась редко. На этой стадии развития интегина скончательно сформирована, плазмалемма образует в ее сторону глубокие инволюции.

Генеративная клетка окружена мембранный (плазмалеммой), в которой имеются поры. В генеративной клетке кукурузы все организмы находятся в трофиальной фазе развития и напоминают таковые меристематических клеток. Основная пренеллами являются митохондрии, пластиды встречаются редко и представляют собой симбиозитные мембранные структуры без крахмала. Анипрат Годжджи представлен в основном единичными диктиосомами. В генеративной клетке ржи содержатся митохондрии с хорошо развитой внутренней мембранный системой, трубчатый ЭР, диктиосомы и многочисленные свободные рибосомы. Микротрубочки появляются только в момент деления генеративной клетки. Пластиды отсутствуют.

Одна из интересных особенностей генеративной и вегетативной клеток злаков — их движение в пыльцевом зерне. В развитии пыльцевого зерна можно различить фазу девакуализации, во время которой и происходит перемещение клеток и их ядер в пыльцевом зерне. Ядро вегетативной клетки перемещается в район поры, тогда как генеративная клетка еще некоторое время остается за ее пределами (рис. 15, 20, 21; 20, 7, 8, 24). При этом ядро вегетативной клетки сильно увеличивается в размерах. Значительно увеличиваются и ядрышки, число которых возрастает. После перемещений ядра вегетативной клетки в район поры начинается усиленный синтез цитоплазмы вегетативной клетки, в ходе которого вакуоль сильно уменьшается (рис. 16, 28, 28; 21), появляется крахмал. Генеративная клетка имеет липидовидную форму, развернув ее у разных злаков могут парировать. Далее следует фаза движения генеративной клетки к ядру (рис. 15, 22; 20, 9, 10; 24), начинаящаяся сокрутления. Добыв до внешнего конца пыльцевого зерна (где расположается пора), генеративная клетка отходит от оболочки и располагается облизу ядра вегетативной клетки. В этот момент происходит интенсивный синтез цитоплазмы и образование крахмала и генеративной юношев; плавают постепенно уменьшаются, хотя полностью не исчезают. Затем наступает новая фаза развития, во время которой генеративная клетка и юноша удлиняются и движутся от ядра. Ядро вегетативной клетки также отходит от ядра, хотя и остается лежать некоторое время в пристенных скоп цитоплазмы (рис. 15, 23—28; 24). Объем ядрышка в ядре вегетативной клетки достигает максимального размера в моменте подхода генеративной юноши к ядру вегетативной клетки и продолжает оставаться большим до анафазы в генеративной клетке (рис. 15, 23—28; 24). При этом исходя из наблюдается увеличение числа ядрышек во время деления генеративной клетки. Различия в объеме ядрышек вегетативной и генеративной клеток исключительно говорят о неодинаковой интенсивности синтеза РНК в вегетативический период развития пыльцевого зерна.

4. ГАМЕТОГЕНЕЗ

Гаметогенез начинается с деления генеративной клетки (рис. 15, 25—31), в результате у всех змаков образуются спермии — клетки, которые имеют малое количество цитоплазмы, характеризующее у различных видов змаков. Форма спермии с момента их образования и до попадания в семяпроводную трубку сильно меняется: сразу после деления они слегка вытянуты и имеют 2 конца, различающиеся по форме (рис. 15, 37—38), а позже приобретают вытянуто-яйсиобразную форму.

По данным электронной микроскопии, ядро спермии состоит из электротранспарентной карнисомиры и заполнено плотно упакованным хроматином. Карнисомида содержит скопления гетерохроматина, рибосомных частиц и спиральных форм РНК и ДНК в виде тонких нитей. Оболочка ядра имеет множество пор, связанных с ЭР.

Цитоплазма мужских гамет состоит из гигиализма, основными органеллами являются митохондрии. Мембранные системы во всех организмах спермии развиты слабее, чем в генеративной клетке. Аппарат Гольджи также слаборазвит, имеются другие структуры и включения. Спермии ограничены 2 плазматическими оболочками: одна прилегающая гамете, другая — воспрепятствующая клетке. Спермии различных змаков отличаются по содержанию пластики. Так, у ряда они отсутствуют, а у кукурузы встречаются яйрески.

Цитоплазма спермии ряда содержит митохондрии, дактиносомы, свободные рибосомы, много микротрубочек.

Созревание гамет связано с образованием таких запасных веществ, как крахмал, белки и жиры, синтезированных в цитоплазме генеративной клетки. Генеративная клетка и спермии отличаются от воспрепятствующей клетки характером метаболизма, что находит свое выражение в числе оргanelл и запасных веществ. В связи с этим особенно интересны работы по изучению роли последних, в частности липидов, каротиноидов (табл. 1, 2) и углеводов, в генезисе пыльника. У яичника на стадии ранней профазы яйцеклетки в своих стениках пыльника имеются пластицы с крахмальными зернами, причем в клетках эндостения пластицы крупнее и преобладают в количественном отношении. Затем крахмал используется в процессе развития микроспор и на стадии сформированности покукковательных пыльцевых зерен в своих стениках пыльника он отсутствует.

Таблица 1

Состав каротиноидов в пыльцевые клетки (нал. %; по Кирниченко, 1985)

Стадия репродукции	Каротин	Ликоиды	Висцин-каптины	Ненасыщенные	Зеаксантин	Бакти-флавин
						Каротин
Профаза, начало 2-клеточные гигиализмные зерна	9.2 34.1	79.1 20.4	12.9 19.6	3.6 10.0	2.6 7.9	9.86 1.9%

Таким образом, развитие мужского спорангия характеризуется следующими особенностями: каждый микроспорангий имеет свою стенку, окружающую спорогониум ткань со всех сторон; развитие стенки гнезда пыльника происходит в центро-стремительном направлении: все слои стенки микроспорангия являются производными париетального слоя, который имеет двойное происхождение; температум, как и средний слой, представляет собой конечный этап дифференциации париетального слоя.

Развитие пыльцы змаков характеризуется целым комплексом специфических черт: однослоистым расположением шильцевых зерен в гнездах пыльника,

Жирноуглеродный состав липидов в пыльцевые яичники (мол. %; по Кириненко, 1965)

Жирные кислоты	Стадии размножения		Жирные кислоты	Стадии размножения	
	профаза мейоза	2-клеточ- ные пыльце- вые яични-		профаза мейоза	2-клеточ- ные пыльце- вые яични-
Лауриновая	0.3±0.01	0.6±0.15	Стеариновая	3.7±0.31	4.9±0.87
Миристиновая	2.4±0.16	3.4±0.07	Олеиновая	5.4±0.52	3.1±0.61
Пентадекановая	1.5±0.07	1.7±0.25	Линолевая	8.0±0.97	3.4±0.21
Цинниновая	20.0±0.64	21.6±0.07	Линоленовая	34.2±0.42	42.6±0.87
Гексадециновая	1.1±0.07	1.0±0.04	Арахидиновая	3.5±0.32	4.3±1.25
Пальмитиномоногеновая	Следы	Следы	Эйкозеновая	3.8±0.07	2.5±0.27
Пальмитолипиденовая	3.0±0.12	2.3±0.38	Эйкозадециновая	2.3±0.56	Следы
+ Менее 0.1 мол. %.			Эйкозатриеновая	10.5±0.87	8.6±0.90

корами, обращенными в сторону таптума, органическим образованием каллезных оболочек (гребней) и спороподлиниевой оболочки, определенным сопряженным полярным движением и положением клеток и их ядер в пыльцевом зерне и т. д.

III. РАЗВИТИЕ ЗАВЯЗИ, СЕМЯПОЧКИ И ЗАРОДЫШЕВОГО МЕШКА

I. ЗАВЯЗЬ

Гинецей злаков разделяют на нижнюю фертильную часть — завязь и верхнюю стерильную — рыльце (рис. 25, 26). В завязи формируется гнездо, в котором развиваются семяпочки (семянечки); завязь вытягивается и ныне меристематического бугорка, после чего начинается ее инвагинация (рис. 26, А, 2, Б, Г). Формирование и рост бугорка завязи происходят неравномерно, что приводит к дорсовентральности (асимметричности) ее строения с самого начала развития (рис. 26, А, Г, Б, Б, Б). Дорсальная сторона, обращенная к наружной цветковой чешуе, заметно разрастается, тогда как противоположная сторона растет медленнее (рис. 26). На самых ранних этапах развития цветки пшеницы и других злаков в основании его завязи появляются отдельные клетки своеобразной формы, расходящиеся около прокамбимального тяжа (рис. 27, А, Б; 28, А). Число их возрастает с развитием цветка и достигает максимума к моменту редукционного деления в мегаспоронце. Эти клетки имеют от 2 до нескольких иногда сливающихся ядер, т. е. деление идет без цитокинеза (рис. 26, Б). У кукурузы они могут делиться (рис. 28, Г), образуя на более поздних стадиях развития мелкие паренхимные клетки. По мере роста завязи «специфические» клетки оказываются все более удалеными от анекса (рис. 27, Б; 28, Б, Г). Положение их в завязи свидетельствует о том, что они являются клетками обхвата проводящего пучка. Их можно рассматривать как передвоящие клетки, осуществляющие передвижение веществ от проводящего пучка к спирогенным клеткам. В дальнейшем в завязи образуется хорошо развитая проводящая система. Она представлена 4 группами, 2 из которых (латеральные) идут в рыльце, а 2 (дорсальный и центральный) заканчиваются в завязи (рис. 29, А, Б). Центральный пучок (сливающийся из 2) у пшеницы и кукурузы контактирует непосредственно с гипостазой, образующейся в нупеллусе семяпочки (рис. 27, Б). На стадии зрелого зародышевого мешка за счет его разрастания клетки гипостазы сминаются, при этом проводящий пучок подходит к клеткам яйлаизы, контактирующим с антиодорантом.

2. СЕМЯПОЧКА

Сформировавшаяся семяпочка злаков состоит из относительно развитого вунделлуса (эхегаспорангий), 2 интегументов (шокровы) и энхронида (пыльцеход), образованного внутренним интегументом (эндогемом). Развитие занятически синхронизировано с развитием семяпочки — происходит ряд сложных морфогенетических преобразований. Формирование семяпочки начинается с образования бугорка, который возникает на брюшной стороне основания завязи (рис. 30, А). Морфологически семяпочка у птенциицы выявляется, когда она располагается по отвествению к основанию завязи под углом 45°, т. е. семяпочка изначально занимает наклонное положение к основанию завязи. Дальнейший рост вентрально-по краю завязи приводит к тому, что семяпочка оказывается еще более сдвинутой в боковое положение (рис. 30, Б). В этот период дифференцируются интегументы: сначала формируется внутренний, а затем — наружный (рис. 26, Б, 8, 9). Для злаков характерно вакуно-перитектикулярное расположение клеточных слоев в интегументах, что создает определенную прочность их строения. С момента образования внутреннего интегумента быстро разрастаются laterодиные области стенки завязи, формирующиеся в области рыльца (рис. 26, Б, 8—14). В результате дальнейшего сопряженного развития вунделлуса и интегументов микротипе семяпочки оказывается пакрическим в основании завязи. Этот процесс приводит к отклонению продольной оси вунделлуса еще на 35—45°, т. е. общий поворот семяпочки в целом составляет 80—90° (рис. 30, В; 32). Таким образом, изменение положения семяпочки является результатом неравномерного разрастания как вентральной стороны завязи, так и самой семяпочки, тогда как изменение ее формы и строения обусловлено в основном неравномерным ростом вунделлуса и интегументов. Для злаков характерно образование плаценто-халазы — соединение семяпочки с завязью, т. е. семяпочка отсутствует. Плаценто-халаза располагается на вентральной стороне завязи (рис. 32).

Следовательно, развитие завязи и семяпочки злаков идет очень специфично: отсутствует семяпокка, имеется плаценто-халаза, характерно дорсовентральное строение семяпочки и завязи и т. д. Все это свидетельствует о сложности определения морфологического типа семяпочки. Согласно имеющимся классификациям типов семяпочки, ее можно назвать апогоргической, поскольку ее художественное обращено к основанию завязи. По строению она приближается к анакамптико-халазии, однако в настоящее время ни одна из терминов, предложенных в литературе для обозначения типов семяпочек, не отражает полностью ее строения и развития, положения в завязи.

Нуцеллус семяпочки злаков различается по размерам у разных видов злаковых злаков. У кукурузы, пшеницы и ржи семяпочка криссионцептитная, у ячменя занимает промежуточное положение между криссионцептитным и тепунупцептитным типами (рис. 27, Б; 31, 33). На самых ранних стадиях развития семяпочки в период формирования археспория нуцеллус представлен однородными мелкими клетками. В процессе развития семяпочки происходит специализация и дифференциация одних клеток нуцеллуса и антиподов других. В период мегаспорогенеза в клетках нуцеллуса, прилежащих к метаспорам, появляются первые признаки деструкции. На стадии зрелого зародышевого мешка нуцеллус представлен эндодермой и различными типами нуцеллярных клеток, образующих 2 зоны: слабо- и сильноакумулированных клеток (рис. 33, А, В). Клетки эндодермы имеют кубическую или столбчатую форму (рис. 33, Б), все стекки клеток профилированы плаэмодесмами, за исключением наружных, примыкающих к клеткам интегумента. Клеткам эндодермы нуцеллуса свойственны липидные ядра, митохондрии, пластиды, много свободных рибосом, неизвестительное количество диктиосом, гранулярный ЭР (рис. 33, В). На 5—6-е сутки после оплодотворения нуцеллус шириной представлен в основном эпите-

дермой, клетки которой значительно вакуолизированы и дальните, чем клетки интегументов, сохраняют свою интегрированность к на последующих этапах развития семяпочки. У кукурузы клетки эпидермы нутцеллуса делятся периклинически, образуя многослойный пучёллярный комплекс. Все клетки нутцеллуса, расположенные под эпидермой, как показали исследования, имеют извилистые контуры и соединены также многочисленными плазмодесмами. Клетки нутцеллуса, лежащие непосредственно под эпидермой, слабовакуолизированы (рис. 33, А, Б); ЭР в них развит сильнее, чем в клетках эпидермы, но число других органелл меньше. Обычно в латеральных частях зародышевого мешка на стадии первых делений эндосперма слабовакуолизированные клетки образуют несколько слоев, в халазальной части они формируют более массивную ткань (рис. 33, А). Увеличение и рост завязи происходят главным образом за счёт делений, протекающих в халазальной части семяпочки (рис. 32).

За зоной мелких слабовакуолизированных клеток формируется зона нутцеллуса с сильновакуолизированными клетками. Они сосредоточены по всей периферии зародышевого мешка, контактируют непосредственно с ним и различаются по морфологии и структуре; в них происходит автолиз, т. е. разрушение всех компонентов клеток — образуется так называемая лизирующая зона нутцеллуса (рис. 33, 34). Сходный процесс наблюдается при образовании вакуолей на ранней стадии формирования зародышевого мешка (2–4-ядерной стадия развития). На первых этапах автолиза в клетках лизирующей зоны нутцеллуса образуются перинуклеарные пространства. В этих клетках еще различаются пластины, читтохромы, диктиосомы, рибосомы, фрагменты ЭР и ядра (рис. 34, 35). По мере развития зародышевого мешка органеллы в этих клетках нутцеллуса исчезают, однако еще сохраняются остатки ящерного материала (рис. 34, В, Г). В нутцеллярных клетках, примыкающих к зародышевому мешку на отдельных участках, разрушаются плазмалеммы и клеточная стекка, в результате чего образуются цитоплазматические каналы между соседними клетками (рис. 36). В нутцеллярной ткани, особенно в клетках, примыкающих к зародышевому мешку, обнаружено явление цитомиксиса (миграция ядер или его части, а иногда и цитоплазмы из клетки-донора в клетку-реципиент). Чаще всего миграция ядер происходит через цитоплазматические каналы (рис. 36, Б), но может идти и через разрывы в оболочке на месте плазмодесм.

Итак, образование в лизирующей зоне перинуклеарных пространств, локальная липогенерация отдельных участков клеточных стенок и плазмалеммы, а также явление цитомиксиса свидетельствуют об автолизе нутцеллярных клеток. Этот процесс сопровождается активной дифференциацией зародышевого мешка и структур, в нем образующихся.

Следует отметить, что автолиз не всегда заканчивается разрушением клеток, как показывают данные по развитию зародышевого мешка у кукурузы, в явлении липы утлом в дифференциации отдельных структур и может приводить только к возникновению вакуолей. Характерно, что в клетках эндосперма, контактирующих с лизирующей зоной нутцеллуса, обнаружены направления стенок эндосперма и цинулы, обращенные в сторону этого комплекса (рис. 34, А).

Указанные изменения в структуре клеток нутцеллуса, а также морфология клеток эндосперма, граничащих с нутцеллярным комплексом, позволяют рассматривать пучеллярные клетки как секреторные или передаточные. Они несомненно играют большую роль в транспорте веществ к развивающимся эндосперму и зародышу.

3. МЕГАСПОРОГЕНЕЗ

Археспорий. Мегаспороцит. Перед образованием категумента в субэндодермальном слое апикальной части пуцеллуса циценицы дифференцируется одна археспориальная клетка (рис. 37, *f*—*g*) состоящая из уже существующего ряда клеток расположенных подоль подлярной оси пуцеллуса (гипостазы). Клетки, находящиеся около гипостазы, также имеют определенную ориентацию, указывающую на связь с клетками халазальной части семяночки (рис. 37, *б*—*б*). Образование археспория сопровождается увеличением размеров клетки, числа органелл и мембранных систем. Археспориальная клетка дифференцируется в мегаспороцит — материнскую клетку мегаспор (рис. 37, *4*—*6*; 38; 39, *A*, *B*). В начальной стадии развития мегаспороцит мало отличается от археспиривальной клетки. Далее он увеличивается в размерах и у большинства злаков в профазе мейоза I принимает характерную для него цилиндрическую форму (рис. 37, *6*—*9*; 38, *1*—*2*; 39, *A*). На конечном срезе мегаспороцит имеет звездообразную форму, в нем четко выражена подлярность: в апикальной части в слабовакуолизированной цитоплазме располагаются пластиды, митохондрии, ЭР и другие органеллы, в базальной — цитоплазма более вакуолизирована и органеллы в ней единичны (рис. 39, *f*). В профазу мейоза I ядро мегаспороцита имеет большое ядрышко, прикрепленное к прерывистой ядерной оболочке. Стенка мегаспороцита отличается по ультраструктуре от стеклокомплексов прилегающих к нему нунцелярных клеток; в ней много фибриллярного материала и кислозондободного вещества, которое сосредоточено глиняным образом в апикальной стенке мегаспороцита (рис. 39, *B*, *B*). В апикальной части мегаспороцита имеются плаэмодесмы (рис. 39, *B*). Пластиды и многочисленные митохондрии имеют типичную для них округлую форму. В отличие от соседних нунцелярных клеток стромические митохондрии упрощены, кристаллы редкие и обычно периферические (рис. 39, *A*). В процессе развития зародышевого метка обычно наблюдаются изменения структуры митохондрий, а в пуцеллусе кукурузы они практически не меняются. Пластиды, в которых нет ламелл (лейкоглаусты), сходны с пластидами окружающих мегаспороцит клеток пуцеллуса. Отмечена низкая концентрация рибосом в профазе мейоза I мегаспороцита.

Особенностью развития мегаспороцита является образование в нем участков липидной активности, в которых обнаруживаются липидные тела и другие компоненты цитоплазмы. Мейоз и Мегаспороциты у большинства злаков длится несколько дней: мегаспороцит при этом характеризуется высокой биосинтетической активностью (интенсивное накопление крахмала и других включений). В результате мейоза I образуется диада, в которой химазаличная клетка больше, чем апикальная (рис. 37, *9*—*11*; 38, *2*, *3*), в результате мейоза II, также первично, четырьда мегаспор (рис. 37, *12*). У злаков тетрады обычно линейные, но встречаются и другие типы. У кукурузы отмечены случаи незавершенности деления в мейозе, вследствие чего возникает триада мегаспор (рис. 38, *3*—*7*; 40, *A*—*B*). Мегаспоры характеризуются высоким содержанием рибосомального РНК и сухожарных белков, что свидетельствует о высокой активности происходящих в них процессов. В строении оболочки (калилизоподобной) и в составе органелл и их концентрации в цитоплазме только что образовавшихся мегаспор различий не наблюдается. Однако вскоре после деления количество каллозы увеличивается в стеклах цефункционирующих мегаспор, что видно по интенсивности ее флуоресценции, и уменьшается в функциональной мегаспоре — до уровня слабой флуоресценции нунцелярных клеток (рис. 40, *B*). Большинство исследователей считают, что каллозоодержащая оболочка функционирует как молекулярный фильтр и неприменно связана с биосинтезом в развивающихся спорогенитных клетках.

Имеющиеся данные также говорят о том, что каллоза способствует определенной изоляции спорогенных клеток друг от друга. Универсальность этого процесса при мега- и микроспорогенезе у злаков и других цветковых растений указывает на существенную роль каллозы и других продуктов, входящих в состав оболочки, при образовании гаметофитов.

4. РАЗВИТИЕ ЗАРОДЫШЕВОГО МЕШКА

Развитие зародышевого мешка у всех злаков обычно происходит из хвоя зародышевой мегаспоры. З первых мегаспоры дегенерируют на определенном этапе развития семяпочки. Материнская клетка зародышевого мешка претерпевает значительные изменения как по форме, так и по размножению. Процесс образования функционарирующей мегаспоры характеризуется изменением положения стекловидных (рис. 40, A - B). Функционирующая мегасpora имеет определенную полярность: расположение ядра в халазальной части и специфическое распределение органелл и вакуолей (рис. 40, Г). В мегаспоре увеличиваются концентрации рибосом, достигающая уровня расположенных рядом плаэмоллярных клеток, а также количество ЭР. В функционирующей мегаспоре присутствуют разнообразные по структуре в связи с их редифференциацией митохондрии. Накопление числа пластид происходит за счет их деления. Форма пластид может быть чашевидной или удлиненной. В некоторых из них имеются митохондриальные зерна. В функционирующей мегаспоре по сравнению с мегаспорой цитом увеличивается число участков липитической активности, которые в дальнейшем сливаются в липидный комплекс. Из него образуется центральная вакуоль или вакуоли и плотный конгломерат пемнофильных глобул и остатков мембранных, что особенно характерно для стадии 2-ядерного зародышевого мешка, образующегося в результате первого деления мегаспоры. Плиазодесмы в оболочке мегаспоры встречаются крайне редко, в ее халазальной части. В стенах нефункционирующих мегаспор плиазодесмы отсутствуют.

В процессе развития одноклеточного одноядерного зародышевого мешка происходит дегенерация остиальных, нефункционирующих мегаспор, проявляющаяся в отложении плаэмматемы от стеклы и в деструкции тиринглазмы и органеала. В процессе разрушения наблюдаются различные изменения и в ЭР (рис. 41). У всех хлебных злаков зародышевый мешок сначала разрастается в сторону микротиле, в результате чего происходит смыкание остатков 3 нефункционирующих мегаспор (рис. 37, 14; 38, 9; 41, А; 43), и вследствие — в направлении халазы. Следует подчеркнуть, что дегенерирующая мегаспора, контактирующая с зародышевыми мешками, сохраняет свою целостность до конца всех и на стадии 2-ядерного зародышевого мешка в ней видны еще различные структуры (рис. 41, А). Вероятно, что свидетельствует о значительной роли липидирующих мегаспор в развитии зародышевого мешка.

Клетка 2-ядерного зародышевого мешка (рис. 37, 14; 38, 9; 41, А) характеризуется наибольшим числом рибосом, пластид и митохондрий. Последние дифференцированы, с хорошо развитыми кристаллами, или по-прежнему активно делятся. По сравнению с предыдущей стадией в зародышевом мешке значительно увеличивается количество ЭР, предшествующего грануляции ЭР¹ фаржани. На более поздних стадиях его развитие грануляризант ЭР¹ не обнаружено. В стадии 2-ядерного зародышевого мешка имеются единичные плаэмматемы. Дегенерация плаэмоллярных клеток, прилегающих к зародышевому мешку, в это время значительно усиливается. В результате второго деления образуется 4-ядерный зародышевый мешок (рис. 37, 15; 38, 10). Дегенерирующие мегаспоры на этой стадии представлены компактной часовой (рис. 37, 16; 42). К этому времени семяпочка сильно разрастается, края внутреннего интегу-

мента смыкается, образуя макроплазме (рис. 37, 18). В результате быстрого роста 4 ядерный зародышевый мешок почти достигает эпидермы кукурузы, а у кукурузы — нуделлярного колышка. В 4-ядерном зародышевом мешке ядра симметрично (по 2) расположены в полосах. В центральной части зародышевого мешка имеется большая центриальная вакуоль эпидерского прохождения; на этой стадии она достигает максимума развития (рис. 42). Более чистые вакуоны имеются также в халазальной части зародышевого мешка. Клеточная стекла зародышевого мешка на этой стадии развития не сколько утолщаются. Очень редко в ней выявляются гиперплазии. Органеллы бывают не делются, имеют сферическую форму. Края в митохондриях наблюдаются редко. Пластиды содержат мелкие крахмальные зерна, в цитоплазме много энзимов ЭР. Таким образом, клетка 4-ядерного зародышевого мешка характеризуется наибольшим его ростом, образованием центральной вакуоли и снижением биосинтетических процессов.

В результате третьего деления образуется 8-ядерный зародышевый мешок (рис. 38, 11) — ценогигант, имеющий 2 полосы, в каждой из которых по 4 ядра. Ультраструктурные исследования выявили, что основную его часть занимает центральная вакуоль, почти свободная на этой стадии развития от детинера рующих остатков эпидерского колышка (их можно обнаружить только в отдельных областях по периферии центральной вакуоли). При развитии одно из ядер каждого полюса движется в центр зародышевого мешка, после чего в нем начинается процесс клеткобразования. Таким образом, в результате сложных морфогенетических преобразований халазальной функционирующей мегаспоры формируется 7-ядерный зародышевый мешок,⁶ состоящий из яйцевого аппарата, центральной клетки с 2 ядрами и 3 антипод (рис. 37, 19; 38, 12). Итак, развитие зародышевого мешка у злаков идет по Polydiploid-типу. В результате дальнейшей дифференциации — специализации клеток формируется зрелый зародышевый мешок,^{**} варьирующий у разных видов злаков по размеру, форме, положению и секреции, а также по характеру сокращения и эндоклеткам (рис. 37, 17—19; 38, 13; 43). В синергиках выявляется цитоплазматический аппарат, число антипод увеличивается, в цитоплазме всех клеток происходят изменения, в частности появляются много лейкопластов с крахмальными зернами в яйцеклетке, центральной клетке и т. д. Все элементы зародышевого мешка имеют определенную подфункцию, расположение цитоплазмы и органеллы.

ЯЙЦЕВОЙ АППАРАТ

В зрелом зародышевом мешке яйцевой аппарат обычно состоит из яйцеклетки и 2 синергид (рис. 38, 19; 43, A, B; 45, A—B), которые лежат над яйцеклеткой у самого входа в зародышевый мешок. Синергиды имеют зубовидные выросты и линчатый аппарат. Последний представляет собой выросты оболочки базальной части синергид (рис. 45, A). Апикальные концы синергид опускаются внутрь зародышевого мешка, своими краями как бы пахтывая яйцеклетку, и ограничены листья гиперплазией. Изучение структуры синергид выявило, что в их апикальной части располагаются в основном вакуоли, а в базальной — ядро. Вокруг ядра, а также между ним и нижней антиподой сосредоточены крупные митохондрии, пластиды (без крахмала), мелкие липидные тела, хорошо развит ЭР (рис. 45, B). Ядро синергид крупное, сильно хроматизировано, содержит у разных видов разное число ядринок. Яйцеклетка у всех злаков лежит ниже синергид, смещена несколько в сторону и вдаётся в центральную клетку. Форма и размеры ее варьируют у разных

⁶ В таком зародышевом мешке лакуническое клеткобразование и дифференцируются все его основные элементы.

^{**} Такой зародышевый мешок «готов» к оплодотворению, все его элементы специализированы.

ядра. Яйцеклетки свойственна полиплория, отличная от таковой у синергид, — ядра распределяются в апикальной, а вакуоли в основном сосредоточены в базальной части клетки. Вокруг ядра в наиболее плотной цитоплазме локализовано значительно больше, чем в других клетках зародышевого мешка, ядро меньше, чем митохондрии, они разнообразны по форме и многие из них имеют крахмал; ликтисомы редки, но хорошо сферизированы. Имеются липидные тела и ряд других включений (рис. 4Б, Б). Ядро сильно хроматизировано. Тип хроматизации ядер у разных видов злаков различен. Число ядрышек в ядре может быть довольно большим, что говорит о высокой метаболической активности этих ядер. В состоянии интерфазы яйцеклетки, которое длится обычно несколько дней, происходят значительные морфогенетические изменения, в частности меняются число и состав органеллы, а также изменение состояния и увеличение размеров ядрышек. Оболочка яйцеклетки, так же как и у синергид, имеется в базальной части, в апикальной — представлена лишь плазматической. Все клетки яйцеклетки имают гаплоидный набор хромосом, в результате последующего оплодотворения яйцеклетки образуется диплоидная зигота.

ЛГНЯННАЯ КЛЕТКА

Центральная клетка — самая большая и пакующаяся цитоплазмой клетка зародышевого мешка (рис. 43, А, Б). Обычно в ее центре в густом тяже цитоплазмы расположены 2 полярных ядра. У большинства видов злаков в зрелом зародышевом мешке полярные ядра не сливаются, хотя у некоторых форм кукурузы отмечены случаи их слияния до оплодотворения. Большинство органелл в цитоплазме расположены главным образом вокруг полярных ядер. Они представляют заполненные митохондриями, ликтисомами, полисомами, низкокалорийными образованиями ЭП и включениями. Пластиды с высоким содержанием крахмала также сосредоточены в основном вокруг ядер. Форма и величина ядрышек меняется в процессе генезиса центральной клетки. Как правило, ядринки увеличиваются в размерах. В периоды интерфазы и тройного слияния происходит изменение не только формы ядринок, но и их состояния. Вероятно, это является показателем высокой синтетической активности центральной клетки и зародышевой клетки эндосперма и связано с яйконосными РНК и синтезом белка в цитоплазме. Данные по другим видам растений также говорят о том, что центральная клетка характеризуется максимальной синтетической активностью, что обусловлено функционированием белоксинтезирующей системы. В полярных ядрах у пшеницы и ржи отмечается много дополнительных ядринок, что также свидетельствует о высокой активности полярных ядер (рис. 44). Центральная клетка диплоида, после ее оплодотворения образуется триплоидный эндосперм. Высокая метаболическая активность центральной клетки и эндоспермий во многом обусловлена их трофической функцией в зародышевом мешке.

АНТИПОДЫ

Число и форма антипод в зрелом зародышевом мешке у разных видов злаковых варируют. Если в сформированным зародышевом мешке их обычно бывает 3, то в археях их насчитываются более 10 (рис. 45, А, Б). Число антипод, таким образом, увеличивается и перед «созреванием» зародышевого мешка (т. е. до оплодотворения). Однако процесс деления в антиподах у некоторых видов злаков наблюдается во время развития зародыша и эндосперма; в этих случаях число антипод может достигнуть 100 и более (например, у некоторых сортов кукурузы). В большинстве случаев число их

разрушение отмечается к 10–15-м суткам после опыления. У отдельных сортов кукурузы антиподы сохраняются в зрелой зерношке.

Очень часто антиподальный аппарат злаков характеризуется тем, что в его клетках проходят как эпитеоз, так и эндопитоз, поэтому антиподальные клетки в одинаково выраженным мере различаются по величине, форме и строению ядер; для многих из них характерно образование полихроматических хромосом. Обнаружено, что у тех сортов кукурузы, у которых антиподы сохраняются в зрелой зерношке, они представляют собой гигантскую массивную ткань; клетки ее содержат крахмал и мало отличаются от лежащих рядом клеток эндосперма. Интересной особенностью развития такой антиподальной ткани является образование вней яйдермы, не содержащей крахмала.

Несколько лет назад, занимавшиеся избрисиотехникой кукурузы, полагают, что существуют различные способы возникновения антипод у разных форм: образование гаплоидных антипод, формирующихся без аномалии митоза, и тетерогенных, где этот митоз каруплен. Этими авторами объясняется разную продолжительность существования гаплоидной и диплоидной антиподальной ткани в зерне кукурузы. В сильно выкаультированных антиподах обычно нет той структурной поляризации, которая обнаружена в клетках яйцевого аппарата. Ультраструктурное изучение антипод злаков выявило многочисленные органеллы: митохондрии, дихроматомы, осмиифицирующие я любые и хорошо развитый ЭР. Пластиды антипод не многочисленны и содержат незначительное количество крахмала (яичница, ишбеница).

Антиподы в отличие от клеток яйцевого аппарата имеют клеточную оболочку. У некоторых клеток антипод, расположенных в непосредственном контакте с клетками пузеллюса, образуются выросты различной формы и типов (рис. 34). У антипод гиацинты благодаря инвагинации клеточные оболочки имеют извилистые отверстия (рис. 46, Б). У яичника в стеках антипод, граничащих друг с другом, обнаружены поры, за счет чего формируется антиподальная ткань, представляющая собой клеточный спастигм.

Детальное ультраструктурное обогащение антипод, а также синергия (рис. 45, Б) позволяют рассматривать их как передаточные клетки, т. е. участвующие в короткодистанционном межклеточном транспорте. Хорошо развитая система ЭР, представленная извилистыми цистернами, свидетельствует об участии антипод в синтезе веществ белковой и углеводной природы. Полигиляидные ядра антипод, содержащие большое количество хроматина, несколько ядерных и имеющие инвагинации ядерной мембранны (рис. 46, Б), также подтверждают высокаконтактивное состояние антипод. Все сказанное выше позволяет считать, что антиподы представляют собой один из элементов сложной проводящей системы семязачатка, завязи, колоска, колоса к растению в целом. Они осуществляют связи между зародышевым мешком и развивающимися в нем зародышем и всей зачаткой и на более поздних стадиях развития зерношки.

Роль антиподального комплекса в развитии зерношки велика; его топографическое расположение, различное число антипод, разный способ их образования, разное время большой регенерации подтверждают, что этот процесс видоспецифичен и обусловлен всем ходом событий, происходящих при развитии эмбриональных структур, развивающихся в тесной взаимосвязи и представляющих собой сложную интегрированную систему, обеспечивающую в конечном итоге нормальное развитие хлебного зерна.

ОБОЛОЧКА ЗАРОДЫШЕВОГО МЕШКА

Элементы зародышевого мешка окружены оболочкой на протяжении всего процесса развития вплоть до образования в нем зародыша и эндосперма. Это подтверждается данными по выделению зародышевых мешков злаков путем макеражки семязачатка. Структура оболочки зародышевого мешка является

дискуссионным вопросом. Некоторые авторы полагают, например, что стена зародышевого мешка кукурузы состоит из тонкого внутреннего слоя «стеки» ранее функционирующей мезоспоры и наружных слоев оболочки — тонких ламелл, прижатых друг к другу, — остатков клеточных стенок нуделлюса, разрушенных и растворившихся гидростимулированными зародышами мешков. В процессе развития клеточная оболочка претерпевает значительные изменения. На стадии фертилизации ядерного эндосперма у шишки оболочка зародышевого мешка образует многочисленные выросты, формирующиеся как со внутренней поверхности, т. е. направляемые в сторону центральной закуски. Морфология выростов подтверждена оболочки зародышевого мешка сходна с морфологией так называемых секреторных лунок, обычно появляющихся в клетках в момент формирования косточных оболочек. Максимального развития выросты оболочки зародышевого мешка у шишки достигают к моменту формирования первых слоев эндоспермальных клеток (рис. 47); далее они не обогащиваются.

Особенность развития оболочки зародышевого мешка — отсутствие в ней плазмодесм, связывающих зародышевые клетки с клетками пупелдуза. Нужно отметить, что у кукурузы и ячменя в хилазильской части зародышевого мешка на ранней стадии его развития были обнаружены единичные плазмодесмы. Строение оболочки зародышевого мешка исследованных злаков (шишка, ячмень, кукуруза) сходно по структуре с оболочкой переднечашечных клеток, основная функция которых — короткодистантное передвижение нитей.

Анализ строения клеток семязачатка, завязи и зародышевого мезика показывает, что в процессе их развития происходят различные сложные морфогенетические преобразования, связанные с транспортом вещества. На всех этапах развития системы завязь — семязачаток — зародышевый мешок он осуществляется у растений различными структурами (тистолаза, переднечашечные клетки, проводящая система и т. д.). Координация всех сложных метаболических процессов, происходящих в зерновке, приводит к короткому формированию кончика злобного зерна.

IV. ОПЫЛЕНИЕ И ОПЛОДОТВОРЕННИЕ

Разные виды хлебных злаков различаются типами цветения (хизоматозный, колестигматозный и др.) и его характером (взрывчатый, спирюльный). Продолжительность цветения колоса обуславливается видом: так, у многоцветковой шишки в Ленинградской обл. цветение колоса продолжается 7—8 сут (рис. 48), у 1—2 цветковых — 2—3 сут. Тип и характер цветения в значительной степени зависят от экологических условий. Разные виды злаков характеризуются различным механизмом раскрытия цветка. У пшеницы преобладает лодико-сырный тип (рис. 48, 3), в случае отсутствия опыления происходит вторичное раскрытие цветка за счет расширения завязи — баварумный тип. Продолжительность раскрытия цветка у разных видов пшениц различная и колеблется от 5 до 30 мес.

Способ опыления — сложный процесс, включающий в себе 2 основные фазы — пропыленную (от покидания пыльцы из рыльца до походки пыльцевой трубки в зародышевый мешок) и двойное оплодотворение.

Программная фаза. Прорастание пыльцы происходит в результате взаимной активации пыльцы и рыльца. Обычно это начинается на рыльце злаков через несколько минут после опыления (рис. 49, 50). Для каждого вида злаков существуют оптимальные условия (влажность, температура), необходимые для прорастания пыльцевых трубок; так, для шишки в условиях Ленинградской обл. это 14—20 °C при влажности 80—90 %. Прорастание пыльцы

происходит вынужденным через апертуру (пору) интимы и дальнейшим ее разрастанием, в результате чего образуется пыльцевая трубка (рис. 49, A; 50, A, B). В нее переносится спермий и ядро бесклеточной щетки, которое обычно остается в цитоплазме черне и дегенерирует, что подтверждено электронно-микроскопическими исследованиями по ячменю (рис. 49, A; 50, B, Г). Размеры пыльцевых трубок варьируют у разных видов злаков (рис. 51). Пыльцевые трубы растут в тканях рыльца и столбика, раздвигая при этом плотно сожнутые клетки производящей ткани, что приводят к деформации последних, а при излишнем прорастании — к разрушению многих клеток (рис. 49, A; 50, A). В семянке кукурузы обнаружен секрет (дающий положительную реакцию на белки, гексозные полисахариды) в куколичках проводниковый чехлы после опыления, а также в области микропиле и купеллюса до опыления. Вероятно, он участвует в регуляции роста пыльцевых трубок и их трофике, что дает возможность регулировать число пыльцевых трубок, необходимых для оплодотворения. Рост пыльцевой трубки осуществляется в основном за счет ее кончика, в котором идет синтез веществ. На некотором расстоянии от него в цитоплазме пыльцевой трубки обособляются оба спермия и ядро несекретивной клетки. Таким исследование цитоплазмы пыльцевой трубки обнаружили в ней миогенические пластиды, осмиофильные глобулы и другие включения. Кроме того, в цитоплазме являются фибрillлярный материал, наличие которого, возможно, облегчает движение ядра несекретивной клетки и спермий в злаках. Известно, что любые формы движения связана с существованием микрофибрил и микрофиламентов, в состав которых входят белки актиномиозинового типа. По мере роста пыльцевых трубок в тканях рыльца и столбика спермии претерпевают изменения как по форме, так и по структуре (рис. 49, 50); у пшеницы в пределах каждой пары спермии обычно различаются размером и формой. Чаще они представляют лёгко- или чайкообразные, слабо или сильно скрученными в виде спирали структурами. Спермии разнохромосомных видов полиплоидного ряда пшениц различаются по размерам и строением (рис. 51).

Семяпочка у пшеницы по положению в завязи апотропическая, и путь пыльцевых трубок от рыльца до микропиле довольно длинный. Из столбика пыльцевые трубы проходят в завязь, проходя между ее стенкой и пирожковым интегументом; затем они достигают внутреннего интегумента, образующего микропиле, через которое пыльцевые трубы входят в зародышевый мешок (рис. 49, Б). Как в завязь, так и в зародышевый мешок могут входить не одна, а несколько пыльцевых трубок.

Двойное оплодотворение (синегамия^{*} и тройное слияние^{}).** Входя в зародышевый мешок, пыльцевые трубы испытывают свое содержимое в спиральцах, при этом одна из них или обе разрушаются (рис. 52, 53). Прогресс делегенерации спермий происходит в течение длительного отрезка времени и они сохраняются еще на стадии проэмбрио. Ядра синегамии расходятся на отдельные структуры, имеющие сходство с мужскими гаметами; часто их приписывают за спермии дополнительных пыльцевых трубок. Обнаружить спермий первой пыльцевой трубы трудно (рис. 52, А) из-за быстроты измельчения содержимого пыльцевой трубы в археикуте между яйцеклеткой гиператом в центральной клетке зародышевого мешка, откуда спермии «расходятся» в прогонимододанных направлениях. Через 30—40 мин сперматы пшеницы попадают в цитоплазму обеих клеток (рис. 54, 1). После проникновения в яйцеклетку спермий в течение 1 ч находится в ее цитоплазме, что дает возможность проследить все дальнейшие фазы его жизненного (рис. 54, 1, 2; 55, А). По пути к ядру яйцеклетки, находящейся в метафазе, в спермиях становится очевидно падение их хромати-

* Синегамия — обединение спермии с ядром яйцеклетки.

** Тройное слияние — объединение спермии с яйцеклеткой и ядром центральной клетки.

зания. Цитохимическое изучение процесса оплодотворения у ячменя выявило, что в ядре яйцеклетки после его контакта со спермием происходит бывшие структурные перестройки. Ослабляются связи ДНК с белками и усиливаются связи с липидными компонентами и, вероятно, с ядерной мембраной. Хроматин деконденсируется, переходя в диффузное состояние; только после такой перестройки начинается процесс объединения ядер танет.

У яицеклетки спермий имеет 2 явно различающихся по форме конца: широкий конец более рыхлый, чем узкий. Погружение спермия в деспирализацию его и ядре яйцеклетки, как правило, начинается с широкого конца, теряющего свою отвертку, что особенно является наблюдается при слиянии второго спермия с поллярными ядрами (рис. 53, Б). Весь процесс объединения спермия с широкой яйцеклеткой занимает 5–6 ч (рис. 54, 3–7). В этом процессе хроматин спермия постепенно деспирализуется, выталкиваются одно или 2 ядрачика, которые скрываются в женском ядрышке, а иногда остаются необъединенными (рис. 54, 7, 8).

Электронно-микроскопические исследования у некоторых видов ятмена показали, что спермии имеют плотное ядро, окружённое цитоплазмой. Последняя содержит органеллы, в основном митохондрии, диктиосомы, рибосомы, РНК, липидные тела и маленькие вакуоли (см. рис. 127). Слияние спермии с ядром яйцеклетки начинается с контакта цитоматических мембран. Попав в ядерные клетки, сперматии теряют свою цитоплазму, причем никаких различий органелл спермии не обнаружено. Вероятно, при сингегии мужская цитоплазма не входит в яйцеклетку. Сливание ядер спермии с ядром яйцеклетки с поллярными ядрами происходит после контакта ядерных мембранных образований мостиков между ними. После окончательного слияния спермии с ядром яйцеклетки энтоя длительное время находятся в интерфазном периоде, протекающем у птенцов 16–18 ч. В ядре энтои нельзя отличить мужской хроматин от женского, и поэтому в профазу энтои наступает как единое целое (рис. 54, 9; 55–60).

Процесс погружения спермия в ядро центральной яйцеклетки сходен с таким в яйцеклетке, но протекает значительно быстрее (рис. 54, 7–3; 55, Б). Если в цитоплазме яйцеклетки спермий птенники выходят около 1 ч, то в цитоплазме центральной клетки – 15–30 мин. Как уже отмечалось, поллярные ядра, как правило, до оплодотворения сближены, но не склеены. С началом контакта спермия с поллярными ядрами происходит их быстрое объединение, вследствие чего между ними можно наблюдать цитоплазму центральной клетки, которая затем дегенерирует (рис. 54, 4; 55, Б). Появление цитоглазматических «сахашат» может служить показателем начала объединения поллярных ядер, которое полностью еще не завершилось. Процесс их объединения со спермием происходит за 1,5–2 ч. У птенцов через 2–3 ч после оплодотворения, как правило, он уже завершен и в интерфазе видно ядро. Особенность этого процесса в центральной клетке – отсутствие объединения мужских и женских ядрышек в поллярных ядрах и разделение (асинхронное) вступление спермия в профазу внутри первичного ядра эндосперма (рис. 54, 5; 55). Появление объединение хроматин спермии и поллярных ядер центральной клетки происходит в метафизе (рис. 54, 6; 55, Б). Этот феномен асинхронного преобразования хроматина мужских и женских гамет по времени определяется у некоторых видов растений, в том числе и злаков, является общебиологическим. Некоторые исследователи объясняют это различиями темпов прохождения мужскими и женскими гаметами различных периодов (G_1 , S , G_2) митотических циклов.

Темпы прохождения синхронизированного спермии и яицеклетки, вероятно, дело в разных условиях, имеющихся в яйцеклетке и центральной клетке. В поллярных ядрах в момент контакта со спермии хроматин находится в диффузном состоянии, поэтому не проходят сложных перестроек, как в яйцеклетке, и процесс объединения спермии наступает быстро. По-видимому, разная склон-

рость процесса объединения спермии с женскими ядрами зависит также от плодности клеток: яйцеклетка имеет гаплоидный набор хромосом, а центральная клетка — диплоидный. Различные размеры и строение этих 2 клеток обусловливают также и то, что у них и период интерфазы разной длительности: в эиготе — около 17—18 ч, а в первичной клетке эндосперма — всего 0,5—1 ч. Период гибких эигот характеризуется значительными изменениями структур интерфазного ядра и цитоплазмы, что проявляется в замедленном росте эиготы и ее ядра, в характере вакуолизации, в почти полном исчезновении крахмала в яйлоцитах, в изменении распределения метаболитов и других органелл. В первичной клетке эндосперма в отличие от эиготы в период короткой интерфазы не происходит такие изменения: присутствуют пластины с крахмальными зернами и т. п. Различная продолжительность интерфазы в этих клетках объясняется, вероятно, разным характером процессов их дифференциации. Как было отмечено ранее, почевые клетки являются высокоспециализированными, а эигота, вступающая в митоз, характеризуется скорее признаками, присущими меристеме, и в определенном смысле — это потенция (рис. 56). В интерфазный период происходят сложнейшие морфоструктурные преобразования, в результате которых «стягивается» стедализация, присущая почевым клеткам. Сравнительное электронно-микроскопическое изучение цитоплазмы яйцеклетки у кукурузы до и после оплодотворения выявило изменение поляризации органеллы, формирование комплексов рибосом, увеличение синтеза РНК. Увеличение числа митохондрий к гластид в эиготе и изменение их внутренней организации свидетельствуют об интенсификации метаболической активности. Разный период покоя в эиготе и первичной клетке эндосперма у некоторых представителей пшеничных растений, вероятно, можно объяснить также различным строением этих клеток, которые в свою очередь обусловлены особенностью строения семяпочек, завязи и цветка в целом.

Процесс двойного оплодотворения у всех хлебных злаков происходит сходным образом (рис. 57—60). Различия наблюдаются лишь в форме, размерах и строении половых клеток. Так, у кукурузы в зародышевом мешке спермии имеют окружную, несколько пятиугольную форму (рис. 57, б), у ячменя и ржи все яйцевые клетки значительно меньше размеров, чем у пшеницы.

Таким образом, процесс двойного оплодотворения у злаков идет по идентичному типу, т. е. объединение половых ядер происходит до митоза. Следует отметить, что объединение спермии с яйцеклеткой центральной клетки не соответствует классическому прежиготическому типу. Первый этап, т. е. объединение спермии с ядром центральной клетки, происходит до митоза, что соответствует премитотическому типу. Второй этап, т. е. объединение мужского и женского хроматина, не происходит до митоза, поскольку хроматин спермии вступает в профазу раньше, чем хроматин половых ядер. Полное их объединение происходит в метафазе.

Исходя из этого, можно полагать, что в центральной клетке объединение половых гамет, вероятно, является ее отнести к проекционному типу оплодотворения, а весь процесс двойного оплодотворения характеризовать все же как премитотический.

Сопряженность процессов синтеза и тройного слияния. Несколько на различных уровнях синтеза и тройного слияния имеется корреляция в их протекании. Определенному состоянию яйцеклетки и эиготы всегда соответствует определенное состояние половых ядер и эндосперма (рис. 54, 59). Так, через 3 ч после оплывания в первичной клетке эндосперма пинакиды наступает профаза, а в яйцеклетке происходит объединение спермии с ядром яйцеклетки (рис. 54, б). Через 7 ч после оплывания эигота находится в лукос, а в эндосперме произошло первое деление. Эта корреляция мало подвержена влиянию внешних факторов и практически от них не зависит, т. е. детерминирована. Естественно, что имеется определенная взаимосвязь между конфигурацией и временем и процессе двойного

оглоществления. Скорость протекания эмбриологических процессов в целом зависит от внешних условий, поэтому процесс двойного оплодотворения может либо замедляться, либо ускоряться. Нарушение соприкосновенности процессов сингенитии и тройного слияния (рис. 61) может проявляться при экстремальных условиях, что часто вызывает аномальное развитие зародыша и эндосперма.

V. РАЗВИТИЕ ЗАРОДЫША

Оплодотворенная яйцеклетка — зигота — образуется в результате слияния гаплоидных гамет (см. рис. 55—58). Она представляет собой одноклеточный зародыш — новый растительный организм (спорофит) — на самой ранней стадии развития. В результате многочисленных делений и сложных морфогенетических преобразований он становится высокоорганизованным индивидуумом. Зигота — последняя интегрированная система с высокой метаболической активностью, что подтверждается световыми и электронно-микроскопическими исследованиями, выявившими в ней пластиды с крахмальными зернами, многочисленные митохондрии, рибосомы, ЭР и различные включения (сереброфильные телоны и т. д.). После оплодотворения зигота вступает в интерфазу (линей), во время которой в её происходит сложные преобразования (подробнее см. раздел «Опыление и оплодотворение»).

Среди однодольных растений зародыши злаков выделяются формой и строением (рис. 62). Такие специфические органы, как щиток, колеоптиль, мезокарп, колеориза, корончатоформированный эпикотиль, лигула, характерны только для зародышей представителей сем. Граминид (Gramineae). В литературе высказываются различные взгляды на морфологическую природу органов зародыша злаков. До сих пор дискуссионным остается вопрос о том, что представляет собой эпикотиль, колеориза, щиток: являются ли первичной корень зародыша главным или альтернативным. Зародыши хлебных злаков различаются по форме и строению, хотя в основном имеют большое сходство. Зародыши пшеницы, ржи, ячменя и овса относятся к фестукоидному типу развития, а кукурузы — к патникодному. У первых имеется эпикотиль, у последних он отсутствует. В зародыше злаков зародыш находится в пристенном положении и занимает «неправильную» часть ее общего объема. В зредой зерночке злаков зародыш соприкасается с эндоспермом только с одной стороны — тыльной, и не окружен его тканью, как у большинства однодольных (рис. 62, 15).

В развитии зародыша злаков можно выделить 2 этапа: первичной дифференциации (blastomerизация) и органогенеза, складывающегося из начального обособления зародышевых клеток органов и последующей их тканевой дифференциации (рис. 63). Нельзя провести границы между преэмбрионом, зрелым зародышем и прогростком, строение которого связано с образом жизни, а строение зародыша является ранней стадией прогростков, поэтому, чтобы понять морфологическую природу органов, нельзя рассматривать их в отрыве от их функций.

I. БЛАСТОМЕРИЗАЦИЯ

Через 1 сут после опыления зиготы, как правило, приступает к делению. Форма зиготы у разных злаков различна: у пшеницы она обычно грушевидная, имеет дорсовентральное строение. Вследствие неравномерной актинизации зиготы фигура первого деления, расположивающаяся наклонно к проходящей оси зиготы, оказывается симметричной к апикальному ее концу. В результате такого неравномерного деления, которое называется следствием полярности зиготы, образуются 2 первичные клетки (рис. 63, 1, 2; 22; 64, А, Б). Вторая кисточная пере-

городка также распологается наклонно, обычно в плоскости, перпендикулярной к первой перегородке, при этом верхний ее край соединяется с перегородкой, разделяющей клетки с 1-го (рис. 63, 3, 23, 24). Это деление, как и в нескольких последующих, тоже дифференцирующее. Для всех зваков характерна дорсовентральность строения зародышей уже с первых этапов их развития — эиготы. Определенную роль в ее становлении играет асимметричность структур (мезодермального мешка, соматичеки, зачатки), в которых они развиваются. Следует отметить, что дорсовентральность проявляется на всем протяжении формирования зародыша, исключая на следующих этапах все более ощущимое морфологическое выражение. Однако, если в процессе развития эиготы и прозимбрио она устанавливается вследствие различной степени растяжения клеточной оболочки на дорсовентральной и вентральной сторонах эиготы в прозимбре, то на этапах органогенеза дорсовентральность зародыша проявляется в специфической ориентации клеточных делений, в их частоте и в растяжении клеточных оболочек. В силу своей асимметричности зародыш зваков представляет собой большую трудность для изучения (см. подробнее «Методические указания», с. 81). Зародышу зваков присущ особый тип тетрады клеток (рис. 62, 1; 63, 4, 25). 4-клеточный зародыш в билатеральной плоскости имеет типично Т-образное строение, однако такое определение строения не отражает его действительной дорсовентральной структуры (рис. 63, 4, 24; 64, 5). Истинное взаимное расположение перегородок может быть выявлено лишь при сопоставлении картины деления прозимбре в дорсовентральных и билатеральных сечениях. В результате последующих делений образуется многоклеточный зародыш (рис. 62, 2; 63, 5—8, 26—28, 65). Электронно-микроскопическое изучение первых этапов его развития (рис. 66, 67) выявило, что все его клетки вакуолизированы; в клетках сусспензора вакуоли более круглых размеров. На этой стадии развития и цитоплазме клеток обнаружены пластида с крахмальными зернами, митохондрии и другие органеллы. Клетки эндосперма окружают зародыш и помогают придавать ему форму (рис. 67). На этой же стадии в зародышевом мешке еще сохраняется пыльцевое содержимое (рис. 66). Характерно отсутствие вакуолей между клетками развивающегося зародыша и окружающими его клетками эндосперма и нуделлюса (рис. 68, Б, Г). Между клетками зародыша полыхающие присутствуют (рис. 68, Д). В цитоплазме клеток зародыша по сравнению с эндоспермом наблюдается меньшая концентрация рибосом, диктисомы имеют пузырьки значительно меньших размеров (рис. 68, Г, Ж).

2. ОРГАНОГЕНЕЗ

В процессе роста и развития зародыша сильно изменяется его форма (рис. 62, 63). Во всех сложных преобразованиях в ходе органогенеза определяющую роль играют последовательные изменения ритма и темпа митотической активности в разных областях зародыша (рис. 62, 63). Эти различия обусловливают сферообразное положение к строение органов зародыша зваков. Так, где темп клеточных делений выше, клетки меньше и богаче цитоплазмой; там, где деления происходят реже, — крупнее и более вакуолизированы, беднее цитоплазмой. По степени окрепшности можно судить об очагах меристематической активности в развивающемся зародыше. Следует отметить, что в нем существуют определенные «свободные» митозы. В ходе развития зародыша, когда он достигает значительной степени дифференциации и формируются все его органы, меристемы обнаруживаются только в верхних их частях и в отдельных небольших зонах зародыша (рис. 63).

Через 5—6 сут после отъема разрастается одка из апикально-латеральных областей прозимбре и спиральному платенто-хилазы (рис. 62, 3, 6—8; 63, 9—13, 27,

28). Начинается образование соподчиненных зародыша злаков — щитка. Свое название этот орган получил благодаря щиткообразной форме (рис. 62, 10—15; 69). Клетки этой области зародыша активно делются, они несколько крупнее, чем клетки с противоположной стороны зародыша, где вскоре будет формироваться точка роста. Дальнейшее разрастание однотипных латеральных областей зародыша позволяет идентифицировать ее со щитком (рис. 62, 7—11, 13, 15). В это время значительное увеличение размеров клеток наблюдается и в центральной части верхушки зародыша.

Эмбриодерма, которая в зародыше пшеницы развивается базипетально, сперва дифференцируется в апикальной части зародыша, то вскоре распространяется в базальную область (рис. 63, 8—13).

В процессе последующего развития в зародыше происходит сложные преобразования, в результате которых щиток из латерального образования переходит в терминальное положение, свойственное зрелому зародышу (рис. 62, 11, 13, 15; 69). Форма и размеры щитка различаются у разных видов злаков. В процессе развития зерновки и при ее прорастании в щитке происходят значительные изменения. Щиток состоит из гетерогенных клеток. Несколько эпидермальный слой щитка, прилегающий непосредственно к эндосперму, имеет специфические форму и строение. В нем имеется большое количество бесковых тел в виде альбиносовых зерен и других включений. В щитке дифференцируется проходящая система. Основная функция щитка — осуществление связи между эндоспермом и всеми структурами зародыша. Посредством специализированного эпигеального слоя, в котором имеется большое количество ферментов, происходит изменение веществ, поступающих из эндосперма в зародыш, а в дальнейшем и в проросток. У некоторых сортов пшеницы и кукурузы он руминируется, в у кукурузы в нем могут образовываться желобки. Его можно рассматривать как передаточные и секреторные, они играют большую роль в транспорте веществ. На щитке у некоторых видов злаков формируется дигула (брюшная чешуя), представляющая собой вырост щитка (рис. 62, 13, 15; 69). Несколько позднее, после начала разрастания щитка, наблюдается увеличение митозов в зоне образования точки роста (рис. 62, 7—10; 70). Дальнейшее развитие этой области приводит к появлению перетяжки, разделяющей семядоллю и точку роста, а затем — к обособлению хилотектии и дифференциации листьев к точке роста (рис. 62, 9—11, 13, 15; 69). В процессе развития кончики листьев чаще приобретают конусообразную форму, та вершице его имеет оперстие, через которое появляется первый настоящий лист (рис. 69). Обычно на обеих поверхностях кончики сопротивляются большое число устьиц. Главная функция хилотектии состоит в защите конуса нарастания при «пробивании» корки почты прорастающим семенем.

Затемение хилотектии и дифференциация грохочебиального тканя в щитке совпадают во времени с началом образования главного зародышевого корня (рис. 62, 10, 11c; 63, 15, 16), поэтому область интенсивной окраски, а следовательно, и митотической активности видна в это время и в центральной части зародыша — в зоне образования корня. Корень закладывается эндогенно в базальной части зародыша и основании щитка, где начинается дифференциация проводимой. Наличие самостоятельных гистогенов плетинам, пергументам и чехликам у корня зародыша злаков позволяет полагать, что развитие корня у них можно отнести к закрытому типу.

У различных видов злаков в зародыше может закладываться разное количество эластичных (приятогенных) корней (рис. 63, 19). Так, у пшеницы их бывает 2—4, у ржи — 3—4, у кукурузы — 5. Овсяные и яровые сорта часто также различаются их числом. Происхождение дополнительных корней может быть различным. Так, у пшеницы (оизмы) пара корней образуется из гипокотиля, а у некоторых форм яровой — первая пара — из гипокотиля, вторая — из эпикотиля.

Эмбриогенез инициирует показывает, что чехлы и колеоптизы (корневое щитко-литце) возникают и развиваются как единое образование, и лишь в конце эмбриогенеза, когда зародыш созревает, происходит отделение колеоптизы от чехлика (рис. 62, 10–13). В клетках колеоптизы генетиды обнаружены аллерионовые зерна. Основная функция колеоптизы — защита зародышевого корня. Кроме того, она является источником воды и катализатором веществ, необходимых для роста корня (ядр корней) при прорастании. В этот же период изменяется и субстрат (подъескот) зародыша: клетки значительно увеличиваются и сильно вытягиваются. Самые нижние клетки суперкорня к моменту дифференциации колеоптиля (в иногда и несколько раньше) становятся пустыми и впоследствии слущиваются (рис. 62, 10б).

Этап биодинамики дифференцируется несколько позже, чем корень (рис. 62, 11б; 63, 16, 17; 69), и располагается на стороне, противоположной щитку, образуя чешуйчатый вырост (рис. 62, 18, 18б; 63, 18, 19; 69). Эпидерма не контактирует, как щиток, с эндоспермом; возможно, этим и определяется его функция. По характеру строения клеток от близок колеоптизе. У пшеницы (sort Диамант) в отдельных его клетках обнаружены аллерионовые зерна. Судя по изменению формы и размеров клеток при прорастании зерновки, он, так же как и колеоптиза, поставляет воду развивающемуся зародышу. Некоторые исследователи рассматривают эпидерму как вторую редукционную семядолю. Размеры и форма эпидермы различаются у разных растений: у кукурузы он отсутствует. Чисток, эпидерма, колеоптиль и колеоптиль представляют собой как бы один целое, внутри которого развивается будущий побег.

В цитодиазме клеток эпидермиста гипотеки обнаружены аллерионовые зерна, склонные к такому же щитку и колеоптизы. Различия в функциях щитка (выполняющего гаусториальную роль) и эпидермиста (исполняющего вылагу в момент прорастания зерна) позволяют понять и более позднее заложение в различные последующие, обусловленные разновременным проявлением функциональной активности щитка и эпидермиста. Следует отметить, что размеры эпидермиста, а также его отсутствие или наличие зависят от места и условий прорастания зерна или иной группы злаков и что эпидерма имеет существенное значение при прорастании зерновки.

Таким образом, эпидерма, колеоптиль и щиток представляют собой как бы единую структуру, окружающую зародышевый побег. В силу большого разнообразия точек зрения на структуру и функцию всех органов зародыша злаков эти вопросы обсуждаются в литературе более двухсот лет. В связи с расширением природы эпидермиста мы можем некоторые сопротивления, высказывавшиеся строителями апекса побега зародыша. Полученные данные о развитии зародыша спонгиции позволяют присоединиться к точке зрения, согласно которой апикальная часть зародыша может быть уподоблена апикальной меристеме стебля и рассматриваться как первый апекс побега растения. Функционирование этой меристемы дает либо одну, либо 2 семядоли, подобно тому как на вегетативном стебле возникают прикорневые листья. Противопоставить апикальный побег зародыша апикальной меристеме побега нельзя, так как они являются производными апикальной клетки ее. Семядоли — продукт деятельности апикальной меристемы зародыша, поэтому чисток и эпидерма можно рассматривать как семядоли и первухи, модифицированную пару листьев. Нельзя спутаться с тем, что не следует гомологизировать эпидермист с листом (семисемкой), поскольку он не имеет прокажиальных гиалей. У редукционных листьев (чешуйчатых) не образуется прокамбимальных тяжей, так как из-за редукции они не достигли состояния «критической массы», при котором начинается дифференциация проводящей системы; известно, что прокамбийный пучок возникает на определенном уровне дифференциации листового зачатка. На одном из этапов развития зародыша идет

дальнейшая дифференциация почек (плюмулы) (рис. 62, 17, 18, 13а, 15). Внутри нее дифференцируются листья, закладывающиеся валиком, число которых у разных видов злаков различно (от 2 до 4). Листовые примордии формируются акропетально, т. е. снизу вверх. Зачаточный побег представляется собой ось, на которой дифференцируются уши и междуузлия (рис. 70). Междуузлия сближаются и имеют вид пачки плоских дисков: при кистеркалярном росте в каждом междуузле формируется лист; размеры их зависят от вида растения, а также от условий произрастания, что практически обуславливает выгнуту растения. Рост конуса нарастания происходит за счет интегриальных клеток апикальной меристемы, находящейся на самой верхушке побега. Всю почку, т. е. зачаток побега, называют эндотипом, или пядесемиодольным колчом. Гипоколпий у злаков — это часть стебля в зародыше, расположенная под семядольным узлом, т. е. в месте перехода стебля в корень. В зародыше и приросте некоторых злаков имеется мезоботиль — часть почки, заслоняющая между «узлами» щиток и колептиль (рис. 63). Таким образом, зародыш злаков в зародыше представляет собой маленькое растение. Внешний признак его органов продолжает оставаться дисконсертным.

Для многих видов злаков характерно развитие назушных почек, из которых впоследствии развиваются боковые побеги (рис. 63, 19). Число назушных почек может быть различным у разных видов злаков. У пигепитис (мягкой) дифференцируются 2—3 примордия листа, при этом назушная почка, закладывающаяся во время образования листа позднее, ближе к концу нарастания, может дифференцирована.

Детальное исследование зародыша злаков, в т. ч. со стороны влияния других видов хлебных злаков выявило дорсовентральность строения зародыша, проявляющуюся как в специфическом расположении клеточных перегородок в преэмбрии, так и в сложных преобразованиях его организма, в которых направляющую роль играют последовательные изменения темпов эмбриогенетической активности в определенных областях зародыша, присущие клеточным делениям и различия в скорости роста и растяжения клеток. Весь эмбрион злаков — прекрасная иллюстрация того, что у однодольных злаков побег (точка роста) закладывается тервипадично, как и у двудольных (рис. 63, Б).

Смещение локуса точки роста в латеральное положение идет в эмбриогенезе различных групп однодольных с различной скоростью. У большинства притивных однодольных это смещение происходит в эмбриогенезе отвесительно к середине и поодиночке, поэтому его легко наблюдать. Например, у группы специализации, которых проявилась давно (злаки), дорсовентральность зародыша проявляется частично быстро, что содействует ложное впечатление, будто точка роста с самого момента ее появления формируется сбоку (рис. 62, 63, 71). В настоящее время некоторые французские исследователи выдвинули положение о том, что у однодольных могут встречаться различные варианты расположения локуса точки роста (локализации зоны) от терминального до латерального (рис. 71, Е—И). Однако необходимы детальные исследования разных этапов развития зародыша с применением новейших методов исследований для выяснения и уточнения этичесы.

Понимание эмбриогенеза злаков невозможно без учета особенностей эволюционного становления зародыша как однодольных, так и двудольных, а также филогенетического положения злаков (рис. 71, А—Д). Сравнительное изучение эмбриогенеза злаков и других однодольных показывает, что терминальное обование сеянца и латеральное — точка роста в зародыше злаков — налицо какующееся. Щиток (семядоля) с самого начала закладывается латерально, а точка роста — терминально, но в результате структурных морфогенетических преобразований внутри зародыша они изменяют свое положение в процессе эмбриогенеза, т. е. такое их положение в зрелом зародыше — вторичное.

Таким образом, в отношении происхождения яйца побега и морфологического значения семядолей, по-видимому, не существует глубоких различий между однодольными и двудольными. Эти различия эволюционно вторичные результаты специализации. Однако имеется точка зрения, что у большинства двудольных формирование почечки происходит при прорастании, тогда как у однодольных она дифференцируется в созревании (рис. 71, Е—И). Как показывают авторы, последовательное оптогенетическое ускорение, приводящее к формированию зародыша в созревании с почечкой, иже-которой несётся на листьями, происходит ускорение прорастания.

Свообразный способ развития и строения растения из эмбриона и наряду с особенностями органогенеза и строения зелёного зародыша позвоночлиных выделяют развитие зародыша злаков в особый Graminad (=Pooideae=Poaceae)-тип эмбриогенеза (рис. 71), что было подтверждено последующими исследованиями зародышами разных типов злаков. Таким образом, высокая специализация злаков проявляется в строении не только зелёного зародыша, но и в оригинальном способе его развития, поэтому Graminad-тип характеризуется специфическим положением серии калоидных (косячих) перегородок в раннем периоде развития зародыша с функцией сортировки органогенеза на следующих стадиях развития.

Эволюция злаков привела к высокой их специализации, которая выражается в дорсовентральности (асимметричности) строения их зародыша. Это проявляется с первых этапов развития нового организма — эритогам — и обуславливается дорсовентральностью строения тех структур (завязи, семяпочки, зародышевого мешка и др.), в которых формируется новый индивидуум.

VI. РАЗВИТИЕ ЭНДОСПЕРМА

Эндосперм занимает обширную часть зародыша злаков; в нем аккумулируются вещества (углеводы, жиры и белки), необходимые для развития нового организма. У злаков эндосперм выполняет в основном трофическую функцию и разделяется по строению у разных видов. В зависимости от соотношения белков, жиров и крахмала, а также от строения крахмальных зерен он бывает твердым или мягким. У овса, например, в зерновках, находящихся в состоянии полной зрелости, эндосперм остается мягким.

Эндосперм у злаков, как и у большинства цветковых растений, — результат двойного оплодотворения (тройного слияния) и имеет три глохидийный набор хромосом. Цитогенетический анализ растений-рекомбинаций, полученных из эндосперма и эмбрионов *in vitro*, подтверждает его полную природу, поскольку в ядрах клеток имеется 3n хромосом.

Развитие эндосперма у хлебных злаков происходит по двухфазному (ядерному и ячеечному), характеризующемуся тем, что на первых этапах его формирования имеется свободноядерная стадия, т. е. деление ядер идет без цитокинеза (рис. 72, 73). После достижения определенной плотности ядер в цитоплазме ценоциты начинаются кроющего клеткообразование. Тёмы развития эндосперма у разных видов хлебных злаков в основном сходен, хотя и отличает их условий прорастания.

Ядерная стадия развития эндосперма. Рассмотрим особенности развития эндосперма у разных видов злаков. Почти у всех видов это первичное ядро приступает к делению намного раньше зиготы (рис. 72, А—В). У ишеницы первичное ядро эндосперма делится через 2—3 ч после опыления, у ржи — через 3—5, у ячменя — через 6—8, у кукурузы — через 2—4 ч после тройного слияния. Как правило, деление начинается в микро-

микрарной части зародышевого мешка, где ранее находилось первичное ядро эндосперма. При этом первому делению располагается обычно первичная кукурузно-яичная яйцеклетка. С помощью метода выделения целых зародышевых мешков (см. «Методические указания») было выяснено, что у ржи и пшеницы деление первичного ядра происходит в латеральной части семяпочки, т. е. на стороне, противоположной гладиоло-халазе. Через 6—7 ч после опытания уже имеются 2 ядра эндосперма (рис. 72, Б). В результате второго деления, которое происходит в направлении, перпендикулярном по отношению к первому, образуются 4 ядра (рис. 72, В). Данные, касающиеся распределения ядер в зародышевом мешке после первых из делений, несколько противоречивы, поэтому необходимо дополнительные исследования. У большинства хлебных злаков первые деления ядер в эндосперме проходят синхронно; число синхронных делений в значительной степени зависит от вида и сорта (например, у пшеницы). В отдельных случаях с помощью метода выделения зародышевых мешков выявлены определенные тенденции к асинхронности делений (рис. 73, В).

В семени эндосперма вместе с паракитаем общей массы цитоплазмы происходит увеличение числа ядер к образование центральной и микропилярной пахуслей. Высокий темп первых делений выражается в их коротком интервале времени, проявляющемся в сильной хроматизация интэрфазных ядер, в наличии большого числа ядрышек (от 3 до 5) разной формы и размера (рис. 72, Г). Последующие деления протекают медленнее.

Особенность ранних стадий развития эндосперма у пшеницы — неравномерное распределение ядер в латеральных частях ценоцита (с горизонтальной и вертикальной стороны). Большая часть их сосредоточена со стороны гладиоло-халазы. Вероятно, это можно объяснить взаимодействием эндосперма с актинидами, а также с проводящей системой семяпочки, расположивающейся в ее калазальной части. Несколько позднее на этом этапе наблюдается равномерность ядер в ценоците наблюдается в микропилярной части семяпочки (рис. 74, А - В). Она различна у разных видов злаков. Так, у спелой *Triticum dicoccum* плотность ядер в микропилярной части в 3 раза выше, чем в остальных частях эндосперма, у ржи — в 4—5 раз. Различна и вакуолизация цитоплазмы в разных частях семяпочки, что особенно хорошо выявляется при окраске гидрохроматическими красителями.

Электронно-микроскопические данные позволяют, что в первый день после опыления в ценоцитах ценоцита эндосперма формируются вакуоли (рис. 75, А, Б). Оргanelлы представлены незначительных числом диктиосом, митохондрии и пластид, последние практически лишены внутренней мембранный системы (рис. 75, В, Г). Некоторые пластиды имеют маленькие крахмальные зерна, число которых параллельно у разных видов злаков. РР представлена параллельными гистергами и колыбелообразными структурами.

В ценоцитах эндосперма наблюдаются группы ядер, одновременно находящиеся на последовательных фазах митотического цикла — так называемые китотические волны. Они обнружаются вскоре после первых делений ядер в ценоците эндосперма и, как правило, у пшеницы и ржи направлены от микропилы к халазе (рис. 74, А). В конце ядерной стадии эндосперма отмечаются перетянутые митотические волны, которые могут распространяться в разных направлениях.

Особенность развития первоначального эндосперма — перемещение ядер в пристенном слое цитоплазмы, образование вакуолей и последующая десаккулялизация. Таким образом, ядерная стадия эндосперма злаков характеризуется следующими особенностями: различной степенью синхронности первых делений; обращением ценоцитной структуры с большим числом ядер; неоднаковой плотностью их расположения, обусловленной разным ядерно-цитоплазменным соотношением в разных частях ценоцита, и полиморфизмом ядер. Все это можно объяснить различным темпом делений, зависящим от строения зародышевого

мешка, его дорсовентральность (асимметричность) и неизредственность (одинаковый только один из материальных частей ценоцита с мицентро-халеозой). Основной причиной образования полиморфных ядер, пропадающей еще в большей степени на клеточной стадии развития эндосперма, являются нарушения чистоты, которые можно классифицировать как функциональные и структурные.

Клеточная стадия развития эндосперма. Переход эндосперма в следующую стадию — клеточную — обычно начинается у большинства видов злаков через 40–50 ч и продолжается несколько дней после опыления (рис. 74, A). В этот период в цитоплазме ценоцита пшеницы (около 100 ядер, иногда более) обнаруживается большое число пластид различных размеров, характерной чашеобразной формы и кольцеобразных на поперечных срезах. В них появляются мелкие крахмальные зерна. При этом увеличивается число дихотомом в аппарате Гольджи и крат в митохондриях.

Вопрос об образовании клеток в эндосперме злаков остается дискуссионным. На примере различных видов пшеницы было показано, что процесс клеткообразования начинается с возникновения фрагментов как между сестринскими (сограничивающими), так и несестринскими (несограничивающими) хроматинами эндосперма, т. е. путем цитокинеза (рис. 76). Формирование клеток начинается в разных частях эндосперма, обычно раньше в микропильной части (рис. 74, A; 76, B, В); темпы деления в микропильной и халазальной областях заметно ускорены. На высокую активность этих районов указывает также и увеличенное количество РНК, что свойственно ткани с повышенным уровнем жизнедеятельности.

Этот этап развития характеризуется утолщением оболочки зародышевого мешка, формированием на ней многочисленных выростов (протуберансов), микропильных и цитоплазму ценоцита эндосперма и достигающих иногда границ центральной вакуоли (рис. 77, A; 78, A, B). Максимального развития они достигают к моменту появления клеточных стенок, а после завершения образования 1–2 слоев эндоспермальных клеток выросты оболочки исчезают. Основу таких выростов составляют гликозаминогликаны, глюкоза, кукурбутин, кератин, используемые при последующем формировании оболочки зародышевого мешка. Плазмалемма эндоспермального ценоцита гладкая и краска также имеет извращающиеся (рис. 77, B, В).

Процессы лавакуляции и образования клеточных стенок в эндосперме — сложные и еще дискуссионные. Ввиду разной структуры микропильной, халазальной и материнской частей ценоцита заложение клеточных стенок в них идет неоднаково. Образование стенок в микропильной части, так же как и в материнской к халазальной происходит центроцентриально, т. е. от оболочки зародышевого мешка в сторону вакуолей — центральной и микропильной (рис. 76; 78, A–F). Стенки между всеми ядрами в последней закладываются почти синхронно. Процесс образования стенок в материнских частях, согласно представлениям, полученным на данных электронной микроскопии в сочетании со световой, протекает следующим образом. Во внешнем тонком слое цитоплазмы ценоцита сначала происходит постепенное увеличение вакуолизации, ядра перемещаются в сторону центральной вакуоли (рис. 76, A, B); далее радиально закладываются стенки, которые идя вдоль доходят до тономаста (рис. 78, B; 79, A, B). Ядра делются, после чего стеки формируются в тономастовых напряжениях, соединяясь друг с другом и завершая процесс образования клеточной оболочки (рис. 78, В). Изучение по ультраструктурному уровню процесса образования клеточных стенок показало, что в нем принимают участие пузырьки, являющиеся производным фундукционирующего аппарата Гольджи и ЭР. На основе сложения этих пузырьков формируются стеки клеток в эндосперме (рис. 79).

После того как сформированся первичный слой клеток, во внутренней части

цитоплазмы ценоцита, граничащей с тоноплазмой, лежат свободные ядра (рис. 78, В). Образование второго, третьего и последующих слоев происходит скользким образом (рис. 78, Г; 80, А—Г). В результате активных делений во всех частях эндосперма центральная вакуоль заполняется клетками и полностью исчезает (рис. 81, А—В). Интересная особенность формирования клеток — отложение калотом в их стенах (рис. 77, Г).

3-и и 4-е сутки после опыления характеризуются началом синтеза крахмала в покрывающих первых крахмальных зерен А-типа в клетках эндосперма. До недавнего времени считалось дискуссионным вопрос об образовании и происхождении малых (Б-типа) и крупных (А-типа) крахмальных зерен у язиков. Электронно-микроскопические исследования выявили, что оба типа крахмальных зерен образуются в пластидах.

Процесс клеткообразования и исчезновения вакуоли заканчивается у хлебных злаков к 5—7-м суткам после опыления, хотя деление ядер и яйцеклеток продолжается.

Вторая стадия развития эндосперма — клеткообразование — характеризуется формированием клеток и яйцевидным увеличением их массы, разрастанием самой завязи (рис. 82). На данном этапе сильно изменяется цитоплазма клеток, что проявляется в разных частях эндосперма в неодинаковой степени: с вакуолизацией и в различном сопровождении пропелла, большинство которых находится в активных состояниях (рис. 79). Часто встречаются крупные многоядерные митохондриальные клетки, возникшие разделением цитоидиев.

Вскоре после завершения образования клеточного ядра (10—12-е сутки) начинается дифференциация алейрононого слоя (рис. 83, А), клетки которого приобретают специфическую форму с характерным типом вакуолизации. Ультраструктурные изучения алейрононого слоя показали, что в цитоплазме его клеток содержится большое число дифференцированных органелл (рис. 83, Б) — митохондрии и пластиды; большинство последних содержит крахмальные зерна. Аппарат Гольджи представлен незначительным числом диктиосом. Наблюдаются гликогеновые капли, глобулы и кристаллы (рис. 83, Б). По мере дифференциации алейрононого слоя значительно изменяются как форма клеток, так и строение оболочки и цитоплазмы. Оболочки сильно утолщаются, хотя все клетки алейрононого слоя снедилены плазмодесмами. Лишившиеся оболочек окружают каждое алейрононое зерно, а крахмальные гранулы исчезают. Все алейрононые зерна заполнены амилоидных белков, в которых находятся глобулы и кристаллы. В клетках алейрононого слоя сосредоточено большое количество ферментов, которые способствуют гидролизу запасных веществ эндосперма.

Следует отметить, что у цветков и у некоторых других видов злаков наблюдается образование субaleurонового слоя (рис. 83, А, В), который по характеру вакуолизация и включений напоминает алейрононый. Его развитие происходит позже — к 10—15-м суткам после опыления. Затем в них идут значительные изменения, связанные с исчезновением глобул, гликогеновых капель и с появлениею крупных крахмальных зерен, в результате чего стоящие на лежащие ниже клетки крахмалистого эндосперма (рис. 83, В). Вероятно, многие исследователи, рассматривавшие зародышевые алейроночки, пришамают субaleurоновый слой за алейрононый, поскольку на ранних стадиях развития они сходны по морфологии. Однако разные виды хлебных злаков имеют разное число алейрононых слоев.

Нельзя отнести, что некоторые клетки эндосперма, в частности пищевые, также отличаются по своей морфологии от остальных клеток эндосперма. Это клетки в микропилялярной области эндосперма, призывающие к развивающемуся зародышу, и клетки вентральной области эндосперма в зоне бороды, характеризующиеся более плотной цитоплазмой, большим количеством клеточных органелл и своеобразием развитием системы ЭР (рис. 84).

На 10-е сутки после опытания, когда в периферических слоях эндосперма прекращается деление, во всех клетках эндосперма начинается белковый синтез (рис. 85). Существуют различные точки зрения относительно механизма синтеза и химогенеза запасных белков у злаков. Все гипотезы основаны на данных электронной микроскопии. В настоящее время большинство исследователей склоняется к тому, что система ЭР играет основную роль в белковом синтезе (рис. 85, В). Аппарат Гольджи, по-видимому, также принимает участие в синтезе белковых зерн. Запасные белки, как показывают большинство исследователей, складываются в полостях гексагонов ЭР (рис. 85, В). Это характерно для эндосперма ячменя, кукурузы, пшеницы и овса. Таким образом, все эти данные свидетельствуют о том, что специфических органелл «протопласта», в которых синтезируется белок, в эндосперме злаков нет. В процессе развития зарева происходит увеличение размеров белковых зерн, а также их числа. В результате увеличения количества белка в клетке наблюдается сближение, а в дальнейшем, по-видимому, и объединение белковых зерн (рис. 86, А).

Образование крахмала в центральной клетке пыльцы обнаруживается спустя 10–12 суток после оплодотворения и сохраняется в течение всего развития эндосперма. Крахмал, возникший на первых его этапах (1-е сутки), исчезает в процессе первых этапов формирования (рис. 86, В). На 3–4-е сутки после опыления вновь появляются мелкие крахмальные зерна в амилопластах, оставшаяся часть стroma синтезена ямко-, ярмовых структурах. При последующей дифференциации крахмальные зерна становятся липкозидными и занимают весь объем амилопласта; обычно они круглые, поэтому их классифицируют как зерна А-типа (рис. 86, Б–Д). Как известно, в эндосперме злаков имеются крахмальные зерна и краевого размеров (крахмальные зерна Б-типа). Показано, что они, как правило, позже зерен А-типа (рис. 86, Б–Д). Детальные электронно-химические исследования эндосперма пыльцы показали, что синтез мелкозернистого (Б-типа) и круглозернистого (А-типа) крахмала происходит в ямко-, ярмовых структурах, поэтому говорить о чисто генетическом происхождении зерен Б-типа нельзя (рис. 86, В–Д). Было установлено, что гранулы мелкозернистого крахмала образуются в амилопластах, отпочковывающихся от пластид, имеющих зерна А типа; зерна Б-типа формируются на 10–15-е сутки после опыления. Развитие крахмальных зерен на А- и Б-типы имеет условный характер, поскольку ямкотип размера зерен Б-типа могут быть обмислены более поздним началом их синтеза.

Итак, на начальных этапах эндоспермогенеза (ядерная стадия и начало клеточной) осуществляется процесс дифференциации и формирования эндосперма (у пшеницы, ржи и ячменя он длится 5–6 сут). С 5-х по 10-е сутки после опыления происходит увеличение числа клеток эндосперма и их размножение. С 10–12-х суток начинается заполнение клеток эндосперма крахмалом и белками; от соотношения последних зависит тип эндосперма (крахмалистый или стекловидный). Таким образом, идет «нейтрализация» зерна, который приподняется до 15–20-х суток (молочная стадия). К концу фазы молочной спелости содержание воды снижается до 50–70 %, большинство растворимых форм соединений переходит в запасные. В это время зародыш пыльцы и ржи способен к прорастанию, т. е. актинометрическим определением скажете где зародыш от материального организма. Затем происходит заходление процесса налива зерна и наступает фаза восковой спелости. В этой фазе содержание воды снижается до 20–30 %, размер зерна еще не уменьшается, но оно затверждает. Образование крахмала и белка прекращается. В эту фазу при неблагоприятных температурных условиях зерно способно прорастать на расление. Далее наступает фаза поздней спелости, который характеризуется сокращением размеров зерна и снижением содержания воды в нем до 15–20 %.

VII. ПЛОД И СЕМЯ

Плод злаков — зерновка, односемянный, с тонким пленчатым или кожистым околоплодником (перикарпий), гладко облегающим семя. На центральной стороне плода в месте срастания краев плододольника часто образуется верхушка, коротко выраженная по всей длине зерновки. Имеется рубчик (рис. 87, I, II).

Большую часть зерновки занимает эндосперм, макушум — зародыш и покровы. В зрелой зерновке у различных видов злаков эти соотношения склонны (так, например, в зерновке ржи зародыш составляет 3,7 %, эндосперм — 77,3, а покровы — 18,6 %). Покровы зерновки состоят из перитектии и семенной кожуры. В перитектии имеются: покрытая кутикулой наружная эпидерма, состоящая из основных и радиальных специализированных клеток, образующих медуллы и т. д. (эпикарпий); другие или несколько слоев частично слегка измененной паренхимы; частично разорванные паренхимы; гиперечные клетки, вытянутые по направлению длиной оси зерновки и имеющие одревесневшие плотные ниточки; у некоторых видов образуется хлорифиллоносный слой (мезокарпий); остатки внутренней эпидермы в виде одревесневших клеток, вытянутых параллельно длиной оси зерновки (трубчатые клетки) (эндокарпий). В прогрессе развития зерновки клетки внутреннего и наружного интегументов, образующих семенную кожуру, деформируются и сдавливаются. Внутренний интегумент с обеих сторон покрыт кутикулой и содержит питмент, дающий положительную реакцию на жирные вещества.

Основные запасные вещества зерновки хлебных злаков. Они находятся в эндосперме, который может быть твердых, мягких и т. д. Различные его типы от твердого до мягкого характерны для видов рода. Твердый эндосперм в свою очередь бывает различной плотности, что обусловлено соотношением в нем белка и крахмала. По химическому составу запасные вещества зерновки отличаются у разных видов злаков. Основные компоненты — углеводы, белок, жир; основные энергетические вещества — углеводы, которые у большинства хлебных злаков занимают в зерновке больший объем. Так, например, в зерновке ржи в среднем содержится 82 % углеводов, у кукурузы (крикмистей) — более 82, у ячменя — 83 (в % на сухое вещество). Все эти показатели относительны, поскольку виды, формы и сорта существенно различаются способностью этих компонентов.

Химический состав зерен хлебных злаков очень сложен. По многолетним данным биохимической лаборатории ВИРа, основные хлебные злаки характеризуются следующими показателями (в % на сухое вещество; по: Ильин, 1961).

	Семена ржи	Пшеница прямая	Ячмень	Овес
Крахмал	51,8—62,6	52,0—71,0	41,7—69,7	35,9—49,4
Белок	9,0—18,1	19,4—24,8	7,0—14,7	9,6—13,7
Жиры	1,6—1,9	Сред. 2,6	1,7—4,6	3,1—6,6
Кислотами	2,3—2,5	> 2,5	1,7—3,1	11,4—14,2
Зефа	1,9—2,0	1,5—2,1	2,0—3,1	3,8—4,7

Крахмал. Поскольку пятый компонент в углеводах — крахмал (на пример, у ржи из 82 % углеводов крахмал составляет около 60 %, сахароза — 5, фруктоза — 3, глюкоза — 0,3, клеятинка — 2,5, гептозаны — 8,8 %), и он же — важнейший источник питания людей (пшеничная мука в среднем на 7/4 состоит из крахмала), остановимся на его строении подробнее. Крахмал

представляет собой 0·14 Д глюкан-полисахарид, содержащий около сотни гликозидных остатков. Крахмальные зерна имеют разную форму, но чаще бывают сферические, линзовидные или яйцевидные. Как было отмечено ранее, запасной крахмал синтезируется в гликоцидах (амилоцидах). Формирование крахмального зерна начинается в так называемых образовательных центрах стромы пластид.

Данные светового и электронного микроскопов показывают определенную сложность крахмальных зерен. Показывают, что они возникают вследствие чередования 2 углеводов — амилазы и амилотектина. Они имеют различный показатель преломления, что хорошо видно в поляризованном свете, вызванным двойным излучением. Крахмальную зерну придают свойства сферокристаллических глыбок в поляризованном свете и виден в пересечении лучей черный крест в его центре (так называемый мельтийский крест). Известно, что сложность в крахмальных зернах хлебных злаков в силу степени зависит от суточной ритмии. Другая особенность крахмальных зерен — их коллоидные свойства.

Крахмальные зерна бывают простые — они содержат одно крахмальное зерно (ржь, пшеница) и сложные — в амилопласте синтезируются несколько крахмальных зерен (соль, рис). Разделяются они в размерами: так, у пшеницы и ржи они мелкие — 2—9 мкм (В-тип) или крупные — 25—40 мкм (А-тип), у кукурузы в семениках только мелкие — от 5 до 30 мкм.

Следует отметить, что форма и размеры крахмальных зерен и значительной степени обусловлены видовой принадлежностью. Поскольку крахмальные зерна составляют большую долю муки, то по их структуре можно легко установить, из какого зерна хлебного злака получена мука. Структура и форма крахмальных зерен, их расположение в клетке и сопоставление с другими химическими катионами (например, белком) могут быть диагностическим признаком для селекционных целей.

Анатомическое изучение эндосперма некоторых хлебных злаков показало, что они различаются сложностью системы крахмала (сложный — простой) — белок, т. е. выражаются мозаикой эндосперма, являющейся видоспецифической. Такие особенности не только для определения видов злаков, но и для отдельных сортов; не может быть использован в селекционной практике для определения характеристики сорта и выявления хлебопекарных качеств.

Соотношение различных типов крахмала (простого и сложного, крупного — А типа и мелкого — В-типа), белка и липидов определяет структуру зерновки (стекловидность и мучистость) и ее выполнимость (из пшеницы со стекловидными типами зерна получают муку кручинку, из которой изготавливают макаронные изделия и хлебную крупу). Любое нарушение этого соотношения приводят к шумности зерновки, а нарушения синтеза крахмала В-типа — к невыполнимости. Поэтому выявление химических перегородок в развитии эндосперма, связанных, в частности, с синтезом запасных веществ (например, крахмала), дает возможность устранить нарушения, вызывающие аномальное развитие зерновки.

Белки. Самой ценной составной частью хлебного зерна — белки. Различные виды хлебных злаков различаются качественным составом белков; в состав комплекса входят и небелковые вещества — аминонуклеин, яичные и ненасыщенные другие. В эндосперме злаковых являются следующие белки: яичные, глобулины, глобуламины, глутенины, глиадины и др. В хлебопекарных производстве наиболее важны глиадин и глутенин. Особенно ценные белки эндосперма налицо в тех важнейших аминонуклеинах: китинга, изолейцине, лисидине, метионине, яизине, трофине, триптофане. Соотношение ковалентных, входящих в состав белкового комплекса, различно. Задисульфидные белки представляют аморфными и кристаллическими отложениями. Форма белковых включений разнообразна, во общем она сферическая, а величина их колеблется

от 0,2 до 20 мкм. Белковые тела имеют аморфный хатрикс, который, пасифиер у пшеницы, содержит кристаллоид белковой природы и аморфный цебельковый глобул, состоящий из фитина. Для эндосперма злаков характерно наличие специальной инфильтратической зоны, в клетках которой выделяются наибольшее количество белковых тел — глютеновых зерен, поэтому эти зерн в эндосперме получили название альбиносовых. Из-за своих малых размеров альбиносовые зерна в эндосперме злаков на стадии уровня почти не различимы.

Жиры. Во всех структурах зернишки отличаются жирные массы. Кроме них в зернышках некоторых видов злаков содержатся и жироподобные вещества (например, стигостерин). Стерины играют большую роль в образовании витамина Д. Поскольку в жирных маслах имеются в значительном количестве ненасыщенные кислоты (например, у ржи до 62 %), то масла, находящиеся в эндосперме злаков, особенно ценные для человека, так как они обладают способностью растворять холестерин, вызывающий инфаркт сердца.

Жиры зерн являются обычно в липидных ячейках и представляют собой глобулы различной величины. Обычно они очень мелки и в световом микроскопе выглядят, как точки, преломляющие свет. Видимо о происхождении и месте образования липидных глобул является дискуссионным. Большинство исследователей склоняется к тому, что глобулы образуются в гиалинизации. Липидные глобулы отождествляют с ортоселажи (сфероселажи), в которых находятся триглицериды, связанные с триглицеридами. Естественно, что основной компонент трибуг — лизиды.

На химический состав зерновок злаков боле всего влияние оказывают условия, в которых произрастают растения, и это в свою очередь оказывается и на высокочешущести зернояди. Интересным фактом является наличие в щупле зерна большого количества белка, масла и золы, а крахмала — меньше, чем в хлебе высокочешущих, т. е. соотношение крахмалов меняется, но незначительно.

Неподражаемое значение зерновых злаков, жиров и углеводов в жизни растений, особенно на первых этапах онтогенеза хлебных злаков — в зернояде, поскольку фактически они определяют весь дальнейший ход развития этих растений, играющих столь большую роль в жизни человечества.

VIII. СОПРЯЖЕННОСТЬ ОРГАНООБРАЗОВАТЕЛЬНЫХ ПРОЦЕССОВ В ОНТОГЕНЕЗЕ

Вопрос о взаимосвязях различных морфологических процессов — один из важнейших в морфологии: исследование идет на уровне организма, органа, ткани и клеток. Для хлебных злаков еще нет достаточно постного представления о сопряженности эмбриологических процессов с процессами формирования и функционирования отдельных побегов и растения в целом. Познание закономерностей онтогенеза важно и для селекционеров, и для агрономов, которые судят о растении по фенофазам. Знание сопряженности морфогенетических процессов необходимо при определении по вышешим морфологическим признакам периодов наивысшей чувствительности растения к действию пограничных факторов, при изучении отдаленных гибридов, при возникновении мужской стерильности, получении гаплоидов и т. д. В связи с этим важно определить критические периоды в развитии эмбриональных структур (тычинка, пестик) при различных условиях выращивания. Это позволит подойти к управлению отдельными этапами онтогенеза.

Известно, что онтогенез начинается с зиготы, поэтому с биологической точки зрения несомненно правильнее рассматривать все этапы онтогенеза начиная

с энзимами, синтезом в селекционной практике призвано освещить фазы в жизни развития с момента образования зерновок (рис. 88,* 89**).

Развитие сорняка сопровождается переходом всевидимого злака побега в репродуктивное состояние. Берегущий алиекс преобразуется во флиральный, при этом протекают сложные морфогенетические преобразования.

На первых этапах органогенеза идет процесс дифференциации конуса нарастания, выражющийся в образовании различных тканей. Обычно он проходит очень быстро — в течение нескольких дней. У пшеницы первый этап завершается развертыванием 2—3-го листа (рис. 88, 2; 89; 90). Этот этап отличает в значительной степени от качества зерна, поскольку питание происходит и позже, за счет эндостерма; однако генетическое значение имеет и условия, в которых протекает это развитие. Продолжение первого этапа, т. е. троих зерен и развитие герных листьев, в экстремальных условиях часто приводит к образованию ахимерных растений.

Второй этап органогенеза характеризуется дальнейшей дифференциацией конуса нарастания на узлы, междуузловые стебли и примордии листьев (рис. 88, 3; 89). На этом этапе в пазухах листьев закладываются бугорки оси 2-го порядка. Листовые примордии на конусе нарастания развиваются в акроцентрическом порядке. Продолжительность первого и второго этапов органогенеза в значительной степени определяет число метахимерных органов, узлов, междуузлий, листьев, что в свою очередь в будущем определяет габитус растения. Условия прохождения первого и второго этапов в основном и определяют весь дальнейший морфогенез.

На третьем этапе органогенеза происходит дифференциация оси соцветия, кроющих листьев (бракетов) и покровителя (конец фазы кущения и начало выхода в трубку). Конус нарастания на этом этапе у злаков значительно увеличивается, образуются сегменты (членки) оси соцветия. Текущее прохождение этого этапа определяется как число членников в колоссе, так и нормальное развитие верхних его сегментов. Неблагоприятные условия на этом этапе приводят не только к сокращению числа членников в колоссе, но и к генной гибели всего цибиса. Это наблюдается при засухе, длительной отщепе и т. д.

Четвертый этап характеризуется появлением на оси соцветия в пазухах членников (бракетов, примордии придаточных — хлопьевых чешуй) бугорков, листьев или веточек соцветия, конусов нарастания 2-го порядка (рис. 88, 4; 89; 91). К этому времени прекращается дифференциация листьев на плавной оси шибера. Таким образом, на этом этапе дифференцируются оси 2-го порядка (членки) с четко выраженными точками роста (рис. 89).

Позднее, в фазе созревания происходит замедление оси 3-го порядка — цветочных бугорков, сопровождающееся появлением наружной цветковой чешуи (пятый этап органогенеза — рис. 89; 91, 2—4). Он характеризуется началом образования и дифференциации цветков. Вслед за наружной цветковой чешуйей появляются 3 тычиночных бугорка и лодикula (рис. 89; 91, 4—7). Спустя некоторое время в центре между тычиночными бугорками формируется пестичный бугорок; почти одновременно с ним в виде валика высыпывается внутренняя цветковая чешуя. Таким образом, этот этап характеризуется дифференциацией хлопьевых чешуй и зачатием цветков, которые в колосе обычно покрывают тычинки и пестики нижних цветков. Тычинки и пестики на этом этапе различия в пределах как колоса, так и каждого колоска, который претерпевает значительные изменения. В начале пятого этапа у пшеницы тычинки в нижних цветках колоска имеют вид бугорков, и в конце его наблюдается образование

* Так как фазы развития всех узлов и стеблей в целом длителны, мы используем для обозначения приведенных в селекционной практике термин «фаза созревания».

** Этапы органогенеза даются из злака, разработанной Ф. М. Куперман (1977), поскольку в этой газете также рассматривается вопрос о морфогенезе колоска, интересующий сельского хозяйства, действие на этапы относительно усилено.

4-гнездного пыльника и тычиночной щиты. В звяжи и начале этого этапа формируется семяпочка, а в конце его происходит приворот ее к пыльнику: растет внутренний край наружной цвятковой чешуи, давший впоследствии зачаток оси (рис. 89; 91, 8, 9). В пыльнике в это время интенсивно дифференцируется скелет микроспорангия, в нем различаются 3 слоя клеток (рис. 91, 16, 18). Позже быстро разрастается края пестичного бутерка, в результате чего он приобретает бокаловидную форму. При интенсивном делении клеток из внутренней (по отношению к наружному стержню) стороны стенки звяжи формируются семяпочки, в которой дифференцируется археспориальный щиток (рис. 91, 14—16). Далее изменяется положение семяпочки по отношению к стенке звяжи и наружной (цвятковой) чешуе. В это время в сеянчике можно наблюдать заложение висика внутреннего интегумента. Наружный интегумент дифференцируется несколько позднее, когда уже хорошо различимы приграничные внутренние.

К концу этого этапа в пыльнике наблюдается окончательное формирование стени в субробогемной ткани, в семяпочке происходит деление по линии дифференциации археспория (рис. 91, 8—16). Первое можно узание стебля пристанавливает рост, второе начинает разрастаться. Сочетание к этому времени достигает 0,5—0,7 см длины. А в колоске меткой пшеницы *Triticum aestivum* сорта Димант к этому времени уже имеются 4—6 достаточно хорошо сформированных цветков (у этого гибрида могут закладываться до 10—12 цветков, но формируется зерно лишь в 2—5 цветках в зависимости от условий). У *T. tectorum* и *T. dicoccum* якобы развиваются 8—10 цветков, развитыми оказываются только 1—2. С самого начала формирования цветков можно отметить разные темпы развития нижних и верхних колосков. В дальнейшем этот разрыв в темпе увеличивается, и недоразвитые верхние цветки отмирают. Таким образом, пятый этап характеризуется началом дифференциации генеративных структур в цветке.

Шестой этап органогенеза (фаза стеблевания) — дальнейшее развитие соцветия и его элементов (рис. 89; 92, 1, 7). Этот этап — один из важнейших, так как определяет весь дальнейший ход формального протекания образования побочных цветков — гамет. В эту фазу разрастаются 3-е и 4-е междоузлия стебля. Колос у мягкой пшеницы к концу фазы разрастания достигает 1,5—2 см длины. На данном этапе развития значительно увеличиваются размеры тычинок (пыльника), звяжи, лодикул, а также цветковых чешуй, формируются оси на цветковых чешуях. Во всех цветках колоска колоса клет дифференцируется тычинками и пестичными бутерками. В пыльниках и семяпочках проходит процесс хакро- и мегаспорогенеза (рис. 91, 16—18). Как правило, у гибридов этот процесс происходит синхронно, хотя иногда отмечается ускорение хакроспорогенеза, что наблюдается в у шротных злаках. В результате чайоза образуются тетрады микро- и мегаспор (рис. 89; 92, 10, 16). Эта фаза развития очень длительна и занимает обычно несколько дней. Стадия развики пыльника на этом этапе является наиболее оптимальной для получения гаплоидов.

В конце фазы стеблевания и в фазе колоночения наступает седьмой этап органогенеза. На этом этапе наблюдается значительное увеличение размеров колоса и всех его элементов, особенно увеличиваются семяпочки и звяжи. В это время образуются и разделяются индивидуальное зерно и зародышевый мешок (рис. 89, 93, а—г). Следует отметить, что распад тетрад микроспор на отдельные микроспоры и образование материнской клетки зародышевого мешка происходит либо в конце первого этапа, либо в начале седьмого. Таким образом, на седьмом этапе органогенеза, который длится у пшеницы более 10 сут, идут сложные эмбриологические процессы как в тычинке, так и в звяже. В результате микроспора, образовавшаяся при распаде тетрахида, претерпевает сложные процессы вакуолизации и десакуолизации, образуя в конечном счете 2 юнгетичное индивидуальное зерно, а зародышевый мешок проходит путь от одноклеточного одноядерного до сформированного 7-клеточного 6-ядерного. Особенностью этого этапа является то, что токсигенез завершен, но оплодотворение еще

не может произойти, так как необходимо время (от 2 до 5 сут) для созревания пыльцевых элементов (рис. 93, в¹, в²). Это важно знать селекционерам при работе по гибридизации. Таким образом, к концу седьмого этапа с помощью эмбриологических методов можно выявить все основные изменения, наблюдающиеся при развитии мужских и женских репродуктивных структур (наприимер, мужскую стерильность).

Усиление прорастания (согание, осеменение, полифестечность и т. д.) в значительной степени определяют плодотворность соцветия. При слабой оплодотворности цветники безответственно вытесняются в длину, и колос становится рыхлым. При более интенсивном освещении, высокой температуре, повышенной влажности почвы и воздуха развивается и,ятный колос.

Восьмой этап органогенеза характеризуется дальнейшей дифференциацией зародышевого мешка и пыльцы. Продолжительность этого этапа зависит от вида злака. Он совпадает у пшеницы с колошником, у кукурузы — с выбрасыванием стиландий, у овса — с выпадением метелки. В пыльцевом зарое происходит деление генеративной клетки, в результате чего образуется 3-клеточный пыльца, состоящая из генеративной клетки и 2 клеток спермии (рис. 90; 93, в¹, в²). В зрелом зародышевом мешке идет дальнейшая специализация половых клеток (рис. 93, в¹, в²). Обычно у злаков в восемьмом этапе тычинки еще зеленые — незрелые, а завязь не имеют «распущенных» рылец.

Зрелую пыльцу и зрелый зародышевой мешок, готовые к оплодотворению, можно обнаружить на следующих, де в я т о м этапе (рис. 90, 93), характеризующемся процессы цистерни и оплодотворения и образования нового организма. В процессеосьмого и девятого этапов происходит сильный рост колосковых и цветковых чешуй, ветей и колоскового стержня. К концу девятого этапа соцветия достигают максимальной величины. Отсутствие оптимальных условий для развития даже в течение нескольких часов приводит к ярко выраженному нарушению формирования всех генеративных структур и их элементов, особенно пыльцы, поэтому в конце этапа можно выявить результативность опыления и оплодотворения. В случае отсутствия последних наблюдаются высыхание и дегенерация неоплодотворенных цветков.

Таким образом, результатом дальнейших фаз развития (процессы оплодотворения, эмбриогенеза, эндоспермогенеза), соответствующих шестому-девяносто второму этапам органогенеза, является образование и развитие нового спирофита в материнском организме.

На де с я т о м этапе проходят процессы роста и формирования зерновки. В течение нескольких дней завязь злаков значительно увеличивается, еще сохранив зеленую окраску. На этом этапе ведущая роль в образовании соковьи триядеходит зародышу и эндосперму. Зародыш семени пшеницы в фазе холодающей стадии характеризуется уже сформированным щитком и отеком побега (см. рис. 62, 63, 90). У мягкой пшеницы сорта Лиамант конец этой фазы наблюдается через 8—10 сут после опыления. Одни из четких признаков окончания фазы молодчайшей стадии — возможность прорастания зернушки. Необходимо отметить, что на этом этапе формирования зерновки зародыш становится автономным, т. е. независимым от материнского организма. Это особенно важно знать селекционерам для работы при отдаленной гибридизации. С этой стадии развития зародыш может быть извлечен из зерновки и посажен в культуру *in vitro*. На простой безгормональной среде он пройдет весь дальнейший ход развития, сформируются все остальные структуры, в результате чего образуется нормальный проросток. Это один из методов преодоления несовместимости при отдаленной гибридизации. Десятый этап в значительной мере зависит от условий, в которых он протекает. При губительных условиях (недостаток питательных веществ, влаги и т. д.) зерновки часто оказываются непупыми, недоразвитыми. На одиннадцатом этапе происходит окончательное формирование зародыша. В это время в эндосперме усиленно накапливаются питательные вещества

и ведут сложные преобразования в его структуре (синтез белков, жиров и углеводов). В фазе посевной спелости завершаются все биохимические и структурные изменения, обеспечивающие переход зерновки в состояние покоя. Обычно уничтожены эти процессы примерно через 20—25 дней после оплодотворения. Когда фаза посевной спелости завершена, сорные, например, могут быть высажены сразу же после обмолота. Этот этап обычно называют «спадом» сезона.

Таким образом, в процессе прохождения десятого и одиннадцатого этапов формируется плод — зерновка, в которой большая часть занята эндоспермом и меньшая — зародышем. Последний у всех злаков представляет собой миниатюрное растение, имеющее почечку — плюмule, состоящую из нескольких листьев к апексу побега, корня (корней), щитка, колеоризи, лигулы, энзигласту (у кукурузы он отсутствует). Различные виды злаков различаются числом ядоцентрических почек и корней в зародыше.

Последний, двенадцатый этап органического характеризуется прогрессивным превращением питательных веществ в запасные. Он завершается полной зрелостью семян. Особенность этого этапа — уменьшение содержания воды в зернах. В это время определяются масса и однородность семян, влияющие на репродуктивность растений. Таким образом, продуктивность зависит от нормального протекания всех этапов и в первую очередь от сопряженности и корреляционной зависимости всех процессов и интенсивности злаков.

IX. ЭМБРИОЛОГИЧЕСКИЕ ПРОЦЕССЫ ПРИ ОТДАЛЕННОЙ ГИБРИДИЗАЦИИ

Отдаленная гибридизация растений имеет, как известно, большое теоретическое и практическое значение, однако использование этого метода в селекции связано с рядом трудностей. Главные из них — несекрециаемость и стерильность гибридов. Проблемы несекрециемости давно привлекали внимание многих исследователей, тех не менее в этом вопросе остается много неясного. Несколько причин неудачи переносимых и несовместимости при отдаленной гибридизации и значительной степени помогает знание эмбриологии.

В настоящем время можно выделить ряд общих закономерностей развития, присущих процессам, происходящим при отдаленной гибридизации. Несовместимость может выражаться на 3 этапах: 1) при взаимоотношении пыльцы и пыльцевых трубок с цветками нестника, 2) во время двойного оплодотворения (самоплодия и тройное слияние), 3) при развитии зародыша и эндосперма. Выявление несовместимости на последующем этапе не всегда связано с протеканием процессов на предыдущем: например, отнюдь не всегда нормальный рост пыльцевых трубок не всегда обеспечивает успех двойного оплодотворения.

Способствование характера нарушений эмбриональных процессов с нормальным ходом развития позволяет выделить 2 основных типа: обратимый и необратимый. К первым относятся такие отклонения, которые не нарушают гомеостаза в системе пыльца — пыльцевая трубка — яйцеклетка — эндосперм — окружающие материнские ткани схематички и завязи; связанные они в основном с общей замедлением темпа развития и в редких случаях — с ускорением развития всей корреляционной системы. Ко вторым относятся нарушения, находящиеся в корреляции в развитии тех или иных структур и процессов, происходящих при их протекании. Эти отклонения выходят за границы схематичности. Необратимые нарушения в свою очередь можно разделить на несколько групп, которые могут встретиться на 3 указанных выше этапах.

Взаимодействие пыльцы и пыльцевых трубок с тканями пестика (нарушения, связанные с прирастанием пыльцы к росткам пыльцевых трубок). Несовместность пыльцевых трубок и пестика при скрещивании *Triticum monococcum* с *T. aestivum* проявляется, например, уже через 15—30 миц после опыления. Около 75 % пыльцы прорастает, большинство пыльцевых трубок образует воздушные («бульбы»), некоторые из них при прорастании сливаются; часть пыльцевых трубок прекращает рост (рис. 94). В блекальную часть пыльцевой трубки перемещаются сперматии, что никогда не встречается в норме. При обратном (реципрокном) скрещивании большинство пыльцевых зерен откладывает на рыльце и прирастает лишь единичные, также драхматические аномалии. Аномалии роста пыльцевых трубок могут иногда проявляться в их обратном росте — по направлению к рыльцу.

Сингамия и тройное слияние. а) Нарушения, связанные с аномальными взаимоотношениями сперматозоидной губки в плодости зародышевого мешка и механизмом расхождения спермии (рис. 95, 96); например, один или несколько сперматии задерживаются в сингамии, где постепенно лизируются (эндосперм не образуется); все сперматии показываются в центральной клетке; эйдесперма не оплодотворена — зародыш не образуется (рис. 9б, б, В). б) Нарушенные корреляции при сингамии и тройном слиянии. Такого рода аномалии при отдаленной гибридизации встречаются довольно часто, что связано как с нарушением общего течения сингамии и тройного слияния, так и с корреляцией между ними. Например, при скрещивании *T. monococcum* с *T. aestivum* (сорт Диакант) через 3 ч после нанесения пыльцы иногда можно наблюдать спермии на обоих женских ядрах, тогда как при оптимальном опылении через 3 ч мы видим совсем иную картину (рис. 96, А, Б). В данном случае происходит как общая задержка процесса оплодотворения, так и нарушение корреляции в развитии яйцеклетки и первичной клетки эндосперма. Сходную картину мы наблюдали и через 7 ч после опыления (рис. 97). Нередко при отдаленных скрещиваниях в зародышевый мешок входят 2 и более пыльцевых трубок (рис. 98). В обоих случаях нарушается корреляция, которая приходит к дальнейшему несовместимому и разрыванию зародыша и эндосперма, если они вообще образуются, и в конечном счете — к их гибели.

Развитие зародыша и эндосперма. При развитии гибридного зародыша и эндосперма также встречаются 2 вида нарушений: обратимые и необратимые. К саморегулирующим (обратимым) процессам в развитии зародыша и эндосперма можно отнести те, которые связаны с замедлением или ускорением их общего течения развития. Такие нарушения встречаются перед гибридизацией. К необратимым процессам относятся нарушения корреляций при развитии зародыша и эндосперма. Такие аномалии при гибридизации встречаются довольно часто. Так, например, через 6 сут после опыления можно видеть хроматический зародыш, а эндосперм при этом все еще обогащается ядерными.

Следует остановиться на тех аномалиях, которые встречаются при развитии гибридного зародыша и эндосперма. В эмбриогенезе, как уже было отмечено ранее, имеются 2 этапа: бластомеризация и органогенез (см. раздел «Развитие зародыша»). При отдаленной гибридизации нарушения могут проявляться на обоих этапах развития. При этих критических периодах развития гибридного зародыша могут быть различные фазы его развития. Они видоспецифичны. Например, при реципрокном скрещивании *T. monococcum* с *T. aestivum* и *T. aestivum* с *T. turgidum* нарушения отмечаются в течение всего эмбриогенеза. В разных драмбюрии они выражаются в нарушении митозов, т. е. в выбросе хроматина, образовании мостов, заложений перегородок и темпов деления в различных клетках зародыша. Эти сдвиги в развитии яйцеклеток. Более существенные аномалии (массовое нарушение митозов, сильное изменение текста деления клеток в различных частях зародыша и т. д.) наблюдаются в развитии гибридного зародыша на разных этапах органогенеза. Все это приводит к нарушению

дифференциация, в искажении формы зародыша и его отдельных органов (рис. 99). Эти аномалии сначала локализуются в районе шейки, а затем распространяются и на другие структуры зародыша (рис. 99, 13, 14), что приводит к его гибели.

Почки всётча при одноклеточной гибридизации реципрокные скрещивания эффективны в одноклеточной гибридизации, например при скрещивании *T. monosaccatum* с *T. melilotum* гибридный зародыш в большинстве случаев погибает в своем развитии на стадии перехода от клеточервячного к протобиогенезу (рис. 99, 13, 14). При обратном скрещивании у большинства зародышей обычно наблюдается формирование всех органов, однако как их заложение, так и развитие протекают аномально (рис. 99, А). Чаще всего встречаются зародыши с сильно измененным плодом, который может быть разной формы и величины. Проводящий система в гибридном зародыше иногда совершенно отсутствует, а если развивается, то очень слабо; при этом можно видеть лишь небольшие участки грануломатального ткани. Кроме того, отмечается аномальное развитие точки роста (рис. 99, А). У гипоморфных зародышей почки всегда формируются короче. В этих случаях в зародышах относительно хорошо развит эндосперм, хотя в нем также наблюдаются многочисленные аномалии. Особенность гибридных зародышей — наличие в их клетках большого количества крахмала как на ранних, так и на средних этапах эмбриогенеза, что свидетельствует о нарушении метаболизма, поскольку в норме это не наблюдается.

При отдаленной гибридизации сильные нарушения отмечаются при образовании эндосперма на всех этапах его развития в связи с аномальным течением митозов (выбросы фрагментов хромосом, образование мостов, отрывание целых хромосом, неконтактное их расхождение и т. д.), приводящих к нарушению синхронности деления, заложению кисточных стенок и темпов развития эндосперма. Кроме того, аномалии митозов в эндосперме приводят к образованию реституционных ядер неправильной формы с большим количеством хроматин. Полиглоидизация ядер в гибридном эндосперме происходит, вероятно, в результате эндокитоза и образования реституционных ядер. Могут формироваться многоядерные клетки, различающиеся величиной, строением (характером вакуолизаций и т. д.) и полиморфизмом ядер. Все указанные выше аномалии могут наблюдаваться в разных частях эндосперма, иногда они представляют собой ткани, состоящие из отдельных фрагментов, не связанных между собой.

Особого внимания при гибридизации заслуживает процесс дифференциации алейронового слоя. Как известно, этот слой у злаков фиксируется под поверхностью клеток эндосперма и является физиологически активным слоем, играющим большую роль в общем метаболизме зародыша. При одноклеточной гибридизации нарушения в формировании алейронового слоя проявляются в изменении его числа, в иногда и в полном отсутствии.

Представляет интерес обнаружение нескольких рядов клеток алейронового слоя в эндосперме в районе шейки зародыша; в этом случае алейроновый слой существует между зародышем и эндоспермом, что нарушает нормальную между ними взаимосвязь.

Большинство аномалий отмечены в образование запасных веществ в эндосперме, что выражается как в химическом составе крахмала и белка, так и в их биохимическом составе. Нанесение электрофореза выявлено в гибридном эндосперме нарушение спектрофотометрии крахмала и некоторых белков, а также появление новых белков, отсутствующих у родительских форм. Изменение спектрофотометрии 2 типов крахмала (А и Б) в белковых тел при отдаленной гибридизации приводит к мозаичности строения эндосперма и его функциональному нарушению.

Главной причиной аномального развития зародыша и эндосперма при отдаленной гибридизации — нарушение синхронности их развития. Это нарушение может проявляться на разных этапах формирования, причем характер и степень

выраженности аномалий при различных скрещиваниях недиспергичны. При разработке методов получения жизнеспособных семян при несомненных скрещиваниях важно учитывать не только характер нарушений, но и время их проявления.

Для создания новых форм зерновых культур наилучшее перспективное явление получение гибридных растений между рожью и ячменем, между пшеницей и ячменем. В настоящее время особенно популярна селекция, выявляющая присоединение дигиаллоидных линий с использованием гаплоидогенотипа *Hordeum vulgare*. При скрещивании *H. vulgare* с *H. chilense* в зародышевых мешках проявляют аномальную хромосому *H. chilense*, в результате чего формируются гаплоидные зародыши *H. vulgare*. Как указывали исследователи, наиболее сложный проблема в этой работе — получение растений из гаплоидных зародышей, которые прекращают развитие на очень ранних стадиях. Гибридологические исследования выявили сильные нарушения в эндосперме, приводящие к полной гибели зародыша. Этот пример — прекрасная иллюстрация того, что развитие гибридного зародыша обусловлено развитием эндосперма. Для выживания таких зародышей необходимо извлечь их из семян, поэтому метод культуры изспиревации зародышей — один из наилучших перспективных для преодоления неспособности к размножению, к только эмбриопотенции может дать селекционеру точные сведения, да каких этапах развития необходимо извлекать зародыш (об использовании метода культуры *in vitro* см. подробнее в разделе «Практические аспекты гибридологии»).

Существуют различные гипотезы, объясняющие причину неспособности различным видам. Одна из наиболее вероятных причин — исхолдинг иммунологических отношений между тканями материнского растения, пыльцой и пыльцевыми трубками, гибридизующим зародышем и эндоспермом, что приводят к нарушению регуляции развития как отдельного органа, так и всей системы в целом, поэтому нет оснований утверждать, что ингибирует развитие только эндосперм или зародыш является причиной гибели гибридных семян.

Морфологические картины подводят устремить не только то, на каком этапе проявляется неспособность, но и свидетельство ее механизмами. В последнее время на основании имеющихся данных по электронной микроскопии и пачхимии предложены гипотезы, объясняющие взаимодействие в системе пестик—пыльца. Согласно этой гипотезе, белки в другие вещества, содержащиеся в стекле пыльцы, являются носителями информации. Макромолекулы, спрятанные в стекле пыльцы, являются носителями информации. Макромолекулы, спрятанные в стекле пыльцы, являются носителями информации. Макромолекулы, спрятанные в стекле пыльцы, представляются как система, считывающая информацию пыльцы. Обе системы работают под контролем генетического кода пыльца (генома). От степени соответствия действия этих 2 систем зависит успех пропаганды первых этапов оплодотворения. Усложнив в этой области эмбриологию еще раз иллюстрируют, что изучение отдельных этапов оплодотворения пыльцы генетической базой или работ в области генетики в селекции.

Следует отметить, что как характер, так и степень выраженности рассмотренных выше нарушений (например, в случае прямых и обратных скрещиваний) различны, и в каждом отдельном растении, используемом в качестве материнской формы, выделяется специфическое взаимодействие гибридных и материнских тканей и разных органов.

1. НЕКОТОРЫЕ АСПЕКТЫ ЭМБРИОЛОГИИ ТРИТИКАЛЕ

Тритикале — новая перспективная зерновая культура, полученная от гибридного скрещивания ржи с ячменем. В настоящее время находит все ее носители в нашей стране составляют свыше 200 тыс. га. Новая гибридная зерновая культура привлекает внимание исследователей своей высокой потенциаль-

ной продуктивностью (многокомпонентность, многоцветность и т. д.), устойчивостью к болезням и вредителям, повышенным содержанием в зерне белка и аминокислот, высокой отзывчивостью на внесение удобрений. Однако из-за генетической нестабильности, выражющейся в чередовании и слабой видоизменности зерновок, эта культура пока еще не нашла широкого применения. Исходиши дальнейшие эмбриологические исследования различных форм тритикале, проявляющихся в различных природных условиях СССР. Зависимые эмбриологические процессы позволяют выявить основные закономерности и критические периоды в их развитии. Все это даст возможность искать причину низкой зерновой продуктивности и приблизить к возможности управления отдельными этапами онтогенеза.

Разные формы тритикале характеризуются различным числом аномалий и их характером. Они могут встречаться на разных этапах формирования эмбриональных структур и быть обратимыми и необратимыми.

Развитие пыльника у тритикале происходит по Umbelliferae-типу, и аномалии в ее развитии не наблюдаются (рис. 100). Основные нарушения касаются формирования спорогенетической ткани и образования пыльцевых зерен (рис. 100—102). При лукфлеренции спорогенетической ткани эти аномалии наблюдаются при воздействии яичников, которая за одном и том же этапе не развития либо формируется со всех сторон спорогенетической ткани, либо ее образуется совершенно (рис. 100, 2—5). Такое явление было обнаружено у *Triticale* АД 537. Былиые нарушения наблюдаются в мейозе, связанные с аномальными его протеканием. Некоторым фирмам тритикале, например АД 537, присуща асинхронность развития спорогенетической ткани в пыльнике, что приводит также к асинхронности формирования пыльцевых зерен и их полиморфизму. Нарушения проявляются и в положении пыльцевых зерен по отношению к стелке пыльника: либо торой в сторону талусума, либо торой внутрь гнезда пыльника. Такая особенность наблюдается при развитии пыльнико *Triticale* АД 537 (рис. 100, 8). Процесс спермогенеза происходит без видимых аномалий. Обично в пыльниках тритикале образуется много дефектной пыльцы (рис. 101, 102). У некоторых форм тритикале, например у АД 537, встречаются пыльники, бывшие часть которых содержит стерильную пыльцу (рис. 102, А). У *Triticale dicoccoides* × *Secale cereale* обнаруживаются пыльники, в одном гнезде которых проходила полная дегенерация спорогенетического комплекса, а в другом формируется спиральный коротышка иньца, по различной форме и размерам (рис. 102, Д, Е). Сопряженное изучение фенологических фаз и эмбриологических процессов, в частности пыльника, показало у *Triticale* АД 537 не только различные ячейки, но и очень замедленный темп его созревания с такими же у рожи и пшеницы. Одна из причин низкой плодовитости тритикале — отсутствие достаточного количества жизнеспособной пыльцы в период опыления; подсчет стерильной пыльцы в зрелых пыльниках *Triticale* АД 537 выявила, что она составляет 31.1 % по относению к фертильной при 7.7 у пшеницы и 2.8 у рожи.

Развитие завязи и семяпочки. В отличие от развития мужских репродуктивных структур развитие женских происходит без особых аномалий (рис. 103). Все процессы идут в замедленном темпе. Единичные нарушения сопряжены к периоду дифференциации архестория и формирования зародышевого мешка, которые касаются в основном клеток ткани пупеллуса и проявляются в их дегенерации на разных этапах развития. Наблюдалась активизация будделярной ткани, окружающей зародышевый мешок, в результате чегошло разрастание зародышевого мешка будделярной тканью. Впоследствии такие синаптоциты и завязи дегенерировали. Эти аномалии могут также влиять на продуктивность тритикале.

Процесс оплодотворения (прогамма фаза). У тритикале, как и у пшеницы и рожи, пыльца начинает прорастать сразу же после попадания

на рильце пестика (рис. 104). При самоопылении у *Triticale* пильцевые зерна прорастают быстрее и более дружно, чем при перекрестном опылении. При последнем у пшенично-ржаных амфидицидий, за исключением гексаплоидного тритикале АД Никадакта, пильцевые зерна прорастают менее чиновски, чем при самоопылении. Особенно медленно прорастает пильца и растут пильцевые трубки в тканях рильца у полиплоидного сеялокотрикума АД 350 и вторичного гексаплоидного тритикале АД 206, у которого массовое прорастание пильцевых зерен при перекрестном опылении наблюдается только через 2 ч после опыления.

При прорастании пильцевых зерен у тритикале наблюдаются различные аномалии, выражющиеся в следующем: пильцевые зерна образуют катоевидные пильцевые трубки, которые впоследствии лопаются; образуются спиральвидные пильцевые трубки, не внедряющиеся в ткани рильца; фертильные двупоровые пильцевые зерна прорастают 2 пильцевыми трубками. Кроме того, можно наблюдать прорастание пильцевых зерен, содержащих дегенерирующие тяжеловодные или гаметовидные спермии. Значительная часть пильцевых трубок у всех образцов тритикале, как и у пшеницы и ржи, врастает в ткани рильца и растет по направлению к завязи. Однако наблюдаются массовые аномалии, которые проявляются в нарушении роста пильцевых трубок (рис. 104): пильцевые трубки закручиваются спирально в тканях рильца и остаются в них содержимого пильцевого зерна и прекращении их роста; изменяется направление роста пильцевых трубок, когда они растут в тканях рильца в сторону, противоположную сечечке. Эти типы нарушений, возникающих при прорастании пильцевых зерен и росте пильцевых трубок, встречаются почти у всех форм *Triticale*. В зависимости от генотипа образца и способа опыления (перекрестное или самоопыление) преобладает тот или иной вид нарушений.

Процесс оплодотворения (сигнифик и тройное слияние). Процесс двойного оплодотворения у изученных форм тритикале обычно идет в аномальном темпе и по презигматическому типу (рис. 105, 7—8). Форма *Triticale* АД 206, у которой наиболее полно изучен процесс оплодотворения, характеризуется незначительным числом аномалий, проявляющихся при прорастании пильцевых трубок, слиянии гамет, а также при первом делении в первичной клетке эндосперма (рис. 105, 9, 10).

Развитие зародыша и эндосперма. Развитие зародыша тритикале, так же как у ржи и пшеницы, протекает по Граминид-типу (рис. 106). Аномалии наблюдаются на стадиях как бластомеризации, так и органогенеза. Критический период в эмбриогенезе тритикале, например у формы АД 537, — стадия перехода от бластомеризации к органогенезу. Нарушения проявляются в темпах митотической активности в разных зонах зародыша, что приводит к аномальному развитию всех его органов. Часто наблюдаются разрастание и увеличение отдельных органов и подавление развития других, а иногда — полное отсутствие их дифференциации. Отставание в темпах развития происходит с первых этапов гибридного зародыша, и наиболее существенное — в период органогенеза. Однако у некоторых форм тритикале зародыш может развиваться нормально (рис. 106), например у АД 537 и АД 216.

Эндосперм у тритикале развивается по пуккарильному типу, и обычно у большинства форм с большими аномалиями, наблюдающимися на разных его стадиях (рис. 106, 7—3; 107; 108). На ядерной стадии наблюдаются типичные картины аномалий митоза: анафазес отставание, нерасхождение митотических фигур, асинхронное расхождение хромосом, единичные и множественные хромососные мости, трехполюсные митозы. В результате этих нарушений образуются полиглайдные и анеуплоидные ядра эндосперма различной формы и величины с большим числом ядрышек (рис. 108). Эти аномалии встречаются и на более поздних стадиях развития эндосперма при заложении в нем клеточ-

ных струкок. Такое течение эмбриоя иногда приводит к развитию аномальных полиморфных ядер, а в дальнейшем — к атетотипии хроматина и дегенерации отдельных клеток и областей эндосперма (рис. 108, А, Е—З). Одна из особенностей развития эндосперма тритикале *T. dicoccoides* × *S. cereale* — нарушение распределения ядер, а в дальнейшем — и клеток в разных зонах эндосперма. У этой формы тритикале обнаружено сосредоточение большого числа ядер эндосперма в микропиллярной зоне эндоспермального центрила (рис. 108). Чрезмерная плотность ядер в этих районах в свою очередь ведет к нарушению энзиматических действий, в результате чего образуются полигондные ядра и нередко идет дегенерация хроматина и цитоплазмы (рис. 108). Такое аномальное развитие эндосперма сопряжается с развитием и дифференциацией гибридного зародыша тритикале. У некоторых форм тритикале, например АД 206, наблюдается относительно нормальное развитие зародыша (рис. 106), что естественно приводит к нормальному развитию зародыша.

Характерными для развития эндосперма тритикале являются аномалии в скелете запасового крахмала и белка, что, как выявляют некоторые авторы, связывается с высокой активностью амилазы.

Основная причина многочисленных нарушений в развитии зародыша тритикале — изменение детерминированных корреляций между зародышем и эндоспермом и материнскими тканями. Так, аномальное приложение дноНГФ оплодотворения (неполное расхождение спаринес в женских клетках) приводит к тому, что митохондрии ядра остаются неоплодотворенными (рис. 110, А, Б); второй сперматид либо дегенерирует в синергиде, либо может сплититься с ее ядром, образуя долголингвальный синергидный зародыш (рис. 110, Б). Отмеченные явления в развитии эндосперма у тритикале особенно отчетливо видны на выделенных зародышевых чешуйках (см. «Методические указания»).

Все указанные выше аномалии, встречающиеся при формировании гибридных зародышей и эндосперма, приводят к нарушению гомеостаза, существующего при нормальном оплодотворении.

Таким образом, все нарушения, которые наблюдаются при формировании эмбриональных структур, связанны с лентической нестабильностью новой гибридной культуры и могут проявляться на разных этапах ее оплодотворения. Эти аномалии при развитии эмбриональных процессов сходны с аномалиями, имеющимися при отдаленной гибридизации, и являются видоспецифичными.

Знание критических периодов в развитии эмбриональных процессов позволяет применить различные методы воздействия для синтеза этих нарушений (например, внесение микрэлементов в период развития пыльника — в конце фазы кущения — начале фазы трубкования).

Х. НАРУШЕНИЕ ПРОЦЕССА ФОРМИРОВАНИЯ РЕПРОДУКТИВНЫХ ОРГАНОВ В РЕЗУЛЬТАТЕ ВОЗДЕЙСТВИЯ НЕКОТОРЫХ ФАКТОРОВ

Исследование реакции растений на действие каких-либо факторов среды позволяет скрыть критические периоды на разных этапах онтогенеза. Выявление этих периодов приближает нас к возможностям управления генетидиодиальным развитием организма. Современное изучение организогенеративных процессов необходимо для использования экспериментального метода в этой области. Следует подчеркнуть, что любые факторы среды больше всего влияют на развитие генеративных органов (тычинка, пестик); при неблагоприятных условиях этот процесс нарушается, что снижает генеративность растения и фактически определяет урожай. Потери урожая зерна зависят от длительности действия неблагоприятных условий.

гоприятных факторов (высоких температур и засухи); в фазе кущения это уменьшение числа продуктивных побегов кущения и некрая закладывающихся колосков из колосов; в фазе трубкования — повреждение ткани закладывающихся цветков в температурных клетках; в фазе цветения — нарушение процессов опыления и оплодотворения; в фазе налива зерна — снижение его массы.

1. ВЛАЖНОСТЬ ПОЧВЫ И ВОЗДУХА

Вопрос о роли избытка или недостатка влаги и влагоемкости расселен решается по линии поиска критических периодов, когда отклонение указанного фактора от оптимума способно снизить урожай. Только после того как наряду с агротехническими методами регулирования и учетом урожая были использованы эмбриологические, исследователи смогли ответить на вопрос, привлекают ли изменения селекционеров в течение длительного времени.

Были установлены границы критического (в отношении обеспечения влагой) периода у различных видов хлебных злаков. Такими периодами оказались и развитие пыльника зерна и формирование пыльцы. Снижение урожая зерна при засухе связано с возрастанием количества стерильной пыльцы, являющейся в результате нарушения регуляторного действия. Процесс микроспорогенеза наиболее подвержен губительному влиянию засухи (принцип необратимо), поскольку образуется стерильная пыльца.

При длительном и глубоком дефиците влаги возникают нарушения и в женской генеративной сфере. Было установлено, что у ячменя при полной засухе в большинстве случаев деформируется зародышевый мелок и может наступить полная дегенерация всех эндоспермов. Наблюдается так называемый процесс зарастания зародышевого мелка. Заслуживает внимания и факт снижения степени нарушения микроспорогенеза в условиях недостатка воды в почве при высевах дополнительного количества зерна. Эффективное защитное средство в критические периоды — вскорневая подкормка растений, защищающая от недостатка воды в почве, хлоросодержащими (в частности бором) в период формирования репродуктивных органов.

В период спорогенеза тоже губителен избыток влаги в почве, который может иметь место при непропицаемых изобивах, во время дождевых дождей и при блокировании грунтовых вод. Например, затопленные шенчицы начинают с фазы выхода в трубку приводят к резко выраженной чернозернице.

Влажность воздуха также определяет урожай зерна. Эксперименты показали, что в период формирования цветка и его элементов наиболее опасна воздушная засуха. Дефицит влаги в период формирования гамет резко снижает fertilitéность пыльцы, что приводит к бесполию большого числа цветков и к чернозернице.

2. ТЕМПЕРАТУРА ПОЧВЫ И ВОЗДУХА

При относительно кислодной почве, что имеет место на северных границах возделывания хлебных злаков, физиологи уделили достаточно внимание изучению этих процессов роста и развития растений. Наблюдение за реакцией растений пшеницы (сорт Диамант) на снижение температуры в почве до 6—7 °C в различные периоды влагоемкости показало, что на холодной почве их развитие резко задерживается (на 6—14 сут); колосья формируются мелкими, снижается число цветков и зерен. Таким образом, охлаждение почвы в период формирования цветков является критическим.

Характер формирования соцветий, спорогенез и гаметогенез при разных температурных режимах в почве (8—10 или 15—20 °C) значительно меняются. При 8—10 °C митотическая активность в конусе наростаний пшеницы уменьшается

в 2 раза по сравнению с нормой. Эмбриологические исследования показали, что на холодных почвах уменьшаются размеры зачатка и сезамоидита, а это обычно выражается в щуплости зерновки. На холодной почве протекают задержки формирования зародышевого яичка, наступающего позднее на 7—8 сут по сравнению с этим процессом на теплых почвах. Особенность развития растений, выращенных на холодных почвах, — явление большей количества крахмала в яйцеклетке. Мужские генеративные структуры — пыльники — развиваются без существенных отклонений, если не считать более замедленного цветения и незначительного уменьшения размеров пыльцевых зерен. Сумма эффективных температур для нормального спорогенеза неодинакова для сортов и форм различного происхождения. Например, сибирские шелшицы, естественно, требуют меньше тепла, чем индийские.

Высказываются противоположные точки зрения на причины различных аномалий, наблюдавшихся при развитии генеративных структур, при выращивании растений в условиях повышенных температур. Некоторые исследователи считают главной их причиной нарушение в холодных почвах азотного и фосфорного питания. Другие полагают, что одна из важнейших причин снижения урожая — недостаточное образование витаминов В₁, ЕР и др. Экспериментально подтверждено, что внесение никотиновой кислоты оказывает подобательное влияние на урожай пшеницы.

Перегрев почвы в южных районах, как правило, сопровождается засухой. Это приводит к резкому подавлению всех процессов жизнедеятельности растения и очень часто — к их гибели, поэтому исследование состояния развивающихся генеративных органов в условиях высоких температур одна из важнейших проблем, особенно в южных районах нашей страны при производстве зернеделия. В данном случае отрицательное действие высоких температур воздуха обычно усиливается обезвоживанием растений в условиях засухи почвы, что, естественно, и вызывает нарушение формирования генеративных структур. Экспериментами было установлено, что повышенная температура воздуха нарушает развитие генеративных органов у пшеницы. Нанесение чувствительным периодом в онтогенезе растения к высокой температуре оказалось прямым фактором колоса (V—VI этапы организогенеза; см. раздел «Сопряженность организогенетических процессов в онтогенезе»). Аномалии обнаруживаются главным образом при развитии пыльника: в мейозе — неправильное расхождение хромосом и асинхронность десинхроны клеток во втором мейотическом делении, неоднородное и аномальное строение цитоплазмы. Все это снижает жизнеспособность пыльцевых зерен. Повреждения пыльника, нанесенные при воздействии высоких температур, обычно приводили к увеличению стерильности колоса, уменьшению его плодоношести и тем самым к снижению урожая.

Следует отметить, что развитие женских генеративных структур происходит без особых аномалий. Изучение физиологи-биохимических процессов в колосах в условиях повышенных температур выявило значительные изменения: возрастание температуры тканей, ослабление интенсивности дыхания, снижение содержания глиcosидов и макроэлементного фосфора. Все эти нарушения оказались главным образом на развитии половых клеток; оказалось также, что корневая подкорка микроэлементами (цинк, бор, кобальт) благоприятно влияет на развитие генеративных структур и является одним из возможных путей ослабления их повреждения у пшеницы при высокой температуре воздуха.

3. ИНТЕНСИВНОСТЬ ОСВЕЩЕНИЯ

Данные эмбриологии доказали, что снижение освещенности в полуденные часы — с 29 до 16 тыс. лк — приводит к резким нарушениям в развитии генеративных органов, особенно в первом воздействии на начальную стадию формирования тычинок — при образовании археспориальной ткани. Снижение интенсивности освещения до 6–8 тыс. лк (при норме 4 тыс. лк) в период редукционного деления ведет к стерильности цветков. Однако аналогичное уменьшение интенсивности света после редукционного деления почти не отражается на формировании генеративных структур, т. е. в качестве урожая.

Васкориссан выделяет кислым при слабой освещенности заметно снижает ее ограждающее действие: например, при слабой освещенности урожай зерна может снизиться на 50 %, при опрыскивании же растения 1 %-ным раствором калия снижается только на 23 %. Помогают, что калий играет большую роль в обмене веществ и способствует притоку питательных веществ в соцветие.

4. ЭЛЕМЕНТЫ МИНЕРАЛЬНОГО ПИТАНИЯ

Энергичные поиски критических периодов в минеральном питании позволили установить те переломные моменты в жизни растений, когда ощущается сенная потребность в каких-либо элементах.

Так, дефицит азота в фазе кущения приводит к резкому уменьшению числа колосков у всех видов злаков. У пшеницы исключение азота из питательной среды в этой фазе (заложение колосковых почек, т. е. развитие колоска) ведет к резкому снижению урожая. В отдельных случаях были установлены факты полной стерильности колоса пшеницы сорта Диамант при недостатке азота в питательной среде в период заложения колоса. При достаточном количестве азота в почве в фазе кущения обеспечивается нормальный урожай зерна, дополнительное же внесение азота перед фазой цветения существенно повышает завязываемость зерен. Исследователи единодушно пришли к выводу, что в первый форшлаговый период ячменя расщепление испытывает резко выраженную потребность в фосфоре, что совпадает с прохождением синтетической стадии. При отсутствии фосфора на этом этапе развития урожай зерна снижается по сравнению с контролем в 2–4 раза. При этом резко уменьшается масса одного зерна. Уничтожение исключительного фосфора из питания в этот период оказывается на процессе шелушения и оплодотворения цветков; ухудшается процент зачатываемости зерен.

Дискуссионным продолжает оставаться вопрос о критическом периоде (первой недостаточности калия) при формировании генеративных органов растения. По одним данным, пшеница более всего нуждается в этом элементе только в фазе кущения, но других — в период дифференциации тамарофиты и начальную гаметогенеза (фаза стеблевания и колошения). В последних случаях потребность в калии связывают с усиленным оттоком глауклических веществ в соцветия.

В образовании урожая хлебных злаков и повышении устойчивости растений к неблагоприятным факторам среди большую роль играют микробиомаенты. Известно, что при «медном» гомодании растения пшеницы, обработаны торфяных почвах, часто не способны перейти к дифференциации колоса, продолжают усиленно куститься, однако отмечены случаи формирования обнажений, которые оказываются уродливыми и недоразвитыми, не дающими зерна. Бор давно известен как элемент, крайне необходимый для формирования генеративных органов и осуществления оплодотворения. Его отсутствие приводит также к аномии, яному проглатыванию. Установлено, что при недостатке бора резко нарушаются процессы образования колоссов, их выход из трубки, а также диф-

формализации пыльцев (рис. 111). Число яичников в кистове уменьшается, меняется окраска цветков в кистове и нарушается развитие тыльника.

Развитие тыльника при недостатке бора. Специальные эксперименты показали, что особенно острая необходимость в боре у злаков существует во время микроспорогенеза. Этот этап является критическим в развитии тыльника растений, испытывающих борное голодание. На примере опыта сорта Димит было выявлено, что темпы дифференциации репродуктивных структур на среде без бора значительно ниже, чем на среде с бором: так, в герилу случае за 25–26-е сутки с яицами вегетации тыльник представлял меристематическим бугорком, тогда как в горле в нем имеется дифференцированная стелла, состоящая из 3–4 слоев и спорогенной ткани. Через 30–32 сут в нормах растений, выращенных без бора, наблюдается дифференциация слоев их стеллы и спорогенной ткани, в то время как в горле заканчивается яйцо, а в стелле тыльника идет сложная специализация всех слоев. Кроме гипоплазии развития тыльника и тыльника у растений, не получающих бора, обнаружены значительные нарушения в спорогенной ткани и в стелле тыльника (рис. 112). Многие ядра спорогенных клеток полиплоидные (рис. 112, А, Я, Д), образовавшиеся, вероятно, в результате эндомитоза. В отдельных гнездах тыльника наблюдается хроматическое явление, предстающее в виде гиацинтов с большим количеством ядрышек (рис. 112, Г). В апохалических тыльниках часто обнаруживается цитомикоз (рис. 112, Б). Особенность развития спорогенной ткани — неравномерное деление в отдельных ее клетках. На ранних этапах развития спорогенной ткани образование оболочек спорогенных клеток часто нарушено, иногда они не формируются совсем (рис. 112, В, Г).

В тыльниках наряду с клетками, в которых нарушаются нормы, имеются отдельные участки с относительно нормальными развивающейся спорогенной тканью. Однако в дальнейшем на разных этапах мейоза обнаруживаются различные аномалии (перескакивание хромосом к ходжам, вмбрис хроматина, образование гигантских микроспор — рис. 112, Е).

Нарушения в митозе и мейозе в спорогенной ткани происходят в дальнейшем в полной дегенерации гнезд пыльников и к отмиранию всей тыльники. Вследствие этого у растений, выращенных без бора, полностью отсутствуют тыльники (рис. 113, А, Б).

Развитие жасминовых генеративных структур при недостатке бора. Этот процесс идет также в замедленном темпе; например, через 48 сут после посева пародиантенный мешок у растений, выращенных без бора, находится на 2-ядерной стадии. В то время как в норме формируется 7-ядерный 6-ядерный зародышевый мешок. Развитие его протекает в основном нормально, отличаются лишь единичные случаи нарушения редукционного деления, в результате чего происходило аномальное образование женского гаметофита. Дегенерация зародышевого мешка и его элементов наблюдалась на самых поздних стадиях развития зародышей и явила ся, по-видимому, следствием того, что они не были оплодотворены. Отмечены яичницей растений, выращенных на среде без бора, нормальной тыльницой других растений (вышеупомянутые зачатывания зародышей). Таким образом, стерильность конюса в условиях недостатка бора является следствием яичников, присоединяющихся к тыльнику.

Нарушение репродуктивной сферы при недостатке бора наблюдалось и у конюна (рис. 113, А). Следует отметить, что все хлебные злаки очень чувствительны к недобыванию борного обмена. Ячмень, кукуруза и пшеница отличаются наибольшей потребностью в боре по сравнению с другими видами злаков.

Существует 3 метода применения бора: предпосевная обработка семян, внекорневая подкормка и внесение в почву. Все они используются с учетом свойств почв и условий, в которых выращиваются растения. Однако в настоящем время установлено, что в результате предпосевной обработки семян борной щелочью

урожай ячменя значительно повышается на различных почвах почти в 3 раза по сравнению с контролем. Аналогичные явления наблюдаются и при обработке бором сорняк кукурузы. Метод внекорневого питания может быть использован в любой период роста и развития растения. Было выявлено особое значение внекорневой подкормки в фазы колошения и цветения. Цитосамбринотехнические данные показали: необходимо бора для формирования оболочки пыльцы, а также стеригии, в которых с помощью флуоресцентного анализа установлено его наличие. Недоразвитый пыльца, липкий и отрицательно-фрикционный гибриды, не содержит бора.

Внекорневая подкормка бором способствует резкому повысению фертильности пыльцы при отдаленной гибридизации (например, у пшенично-ржаных гибридов). Борная кислота усиливает притяжение пыльцы к рост пыльцевых трубок). Кроме того, такие ахидиоды характеризуются низкой изерпенностью и щупальстостью зерноток, в которых отмечается синергетический гидратированный эндоэксосфер.

Спрыскивание 0,05 %-ных растворов борной кислоты раз в неделю начиная со времени выхода растений в трубку резко повышено число колосков в колосе и изерпенность всех колосьев (число зерен в одном колосе увеличилось с 1,4 до 41,3).

Отяжеленные нарушения в пыльнике у разных злаков при недостатке бора выражены, вероятно, изменениями в нуклеиновом обмене. Опыты, проведенные с переносом нуклеиновой кислоты в питательный раствор, не содержащий бора, выявили, что изменения в пыльниках пшеницы в значительной степени могут быть устранимы, и тогда образуются пыльники, в которых развиваются большие количество нормальной зерной пыльцы. Таким образом, профилактика генеративных органов у хлебных злаков осуществляется на основе синтеза нуклеопротеидов в комплексе с питанием метаболизмом минеральных элементов, в частности бора. Стерильный колос формируется вследствие нарушения синтеза нуклеопротеидов на стадии микроспорогенеза.

Особенно остро ощущается потребность растений в боре в условиях высокой температуры и недостаточной влажности почвы. Помимо криогенными периодами и развитию репродуктивных структур являются мейоз, оплодотворение и щупальобразование, то внекорневая подкормка бором при засушливых условиях особенно важна в эти периоды.

Недостаток меди проявляется в снижении кущения злаков, подсыхании кончиков листьев, в задержке формирования репродуктивных органов, приводящих к «пустоверности» колоса. Очень чувствительны в недостатку меди ячмень, яровая и озимая пшеница и белые сорта овса. Медь реагирует на внесение меди озимая и яровая рожь. Дискуссионным остается вопрос о притяжении больших различий в чувствительности растений к недостатку меди, однако следует отметить, что имеющиеся сведения свидетельствуют о значительном влиянии «жеды» удобрений на качество урожая, проявляющемся у хлебных злаков в увеличении количества белка в зерне, а также в весомой прибавке урожая. Например, на болотных почвах Латвийской ССР после применения лигнитных отходов, из которых содержится медь, получены значительные прибавки урожая овса — с 4 до 9, яровой пшеницы — от 2 до 5, ячменя — от 2 до 3,4 ц/га.

Способность меди повышать холода- и морозустойчивость растений имеет большое значение для хлебных злаков, особенно для кукурузы в пшеницы, в связи с приближением их в северные районы.

Х. ЦИТОПЛАЗМАТИЧЕСКАЯ МУЖСКАЯ СТЕРИЛЬНОСТЬ

Стерильность пыльцы, вызванная цитоплазматическими факторами, носит наименование цитоплазматической мужской стерильности (ЦМС). Свое название ЦМС получила потому, что этот признак наследуется по материнской линии, через цитоплазму ийоцелектки, т. е. передается спермиями, т. е. через мужского родителя. ЦМС возникает в ходе эволюции цветковых и проявляется обычно в погодных растений спонтанно. Она обусловливается отредактированными ядерно-цитоплазматическими отношениями и выражается в дегенерации большинства пыльцевых зерен и яичников на определенных этапах их развития (рис. 114, 115). У многих видов, наиболее четко это показано для кукурузы, признак ЦМС, или стерилизующие свойства цитоплазмы, закодирован в митохондриальном геноме, а у некоторых видов растений ЦМС связана с геномом ядра. Этот вопрос еще не совсем ясен, поскольку некоторые исследователи полагают, что ЦМС обусловлена вирусной природой.

В настоящее время это явление обнаружено у сотен видов растений и используется в связи с гетерозисом для получения гибридных семян первого поколения по принципу восстановления. Отцовская линия, как правило, несет доминантные гены и при массовой гибридизации восстанавливает fertilitetность в потомстве. Таким образом, массовые гибридные семена, можно получить гетерозисное потомство и fertilitetные семена, дающие высокий урожай растения.

Наиболее четко этот признак изучен у кукурузы, где, кроме источника стерильности — стерильную линию, можно путем обратных гибридизаций скрещивания геренситет любую женскую линию на стерильную основу, т. е. сделать ее стерильной. Генетические условия получения стерильной линии — различные рецессивные мутантные гены st_1 , st_2 в гомозиготном состоянии и соединение их в запоте со стерильизующей цитоплазмой. Растения такого типа обрезают abortивную пыльцу, в то время как их семяпочки спонтанно нормальны и fertilitetны.

По генетическим признакам и реакция на различные линии, закрепляющие в потомстве признаки ЦМС, и линии, восстанавливающие fertilitetность, а также по характеру и времени abortivnosti пыльцы выделяют различные типы ее стерильности: текасский — I-типа, московский — M-типа, «С»-стерильность пыльцы у кукурузы и др.

Источником ЦМС у пшеницы могут служить различные виды этилопса и такие виды пшениц, как *T. Aegilops*, *T. glaucospermi*, *T. compactum*, *T. agrestis*, *T. dicoccoides* и др. Восстановление fertilitetности у пшеницы осуществляется полигенной системой главных факторов и генами-кодификаторами.

Характерным цитологическим признаком развития стерильной пыльцы для большинства растений является начало деструктивных процессов в постмейотический период, т. е. сразу же после оплодотворения микроспор из каллюзной оболочки заград. У кукурузы, в частности текасского типа стерильности, это выражается в ненормальной вакуолизации цитоплазмы микроспор и в отсутствии развития центральной вакуоли; дифференцирующего митоза не происходит. При других типах стерильности, как например S-типа у кукурузы, развитие идет до образования 2-ядерного пыльцевого зерна, а затем наступает его дегенерация.

Дальнейшее эмбриологическое исследование ЦМС у кукурузы выявило, что фаза вакуолизации микроспор наиболее уязвима при развитии пыльцевого зерна.

Изучение патологии мужской стерильности у различных культурных растений показало, что кроме стерилизации пыльцевых зерен в практике проекто-

дит несигнально. Для пыльцевых зерен с ЦМС характерны аномальность всасывания генеративных и vegetативных клеток, тирратагия карбонатазы ядра vegetativной клетки, нарушающие движение генеративной клетки, нарушение движения ядер в микроспоре и vegetativной клетке. Кроме того, пыльце ЦМС отличается уменьшение количества крахмала, а также плюсом ядер и патоглазмы.

Характерный признак развития пыльника при ЦМС — задержка лизиса таллусального слоя клеток, а для многих растений с ЦМС свойственна его гипертрофия, многоделение и активное разрастание в пользу гнезда пыльника. Это наблюдается у пшеницы, серго, подсолнечника, сахарной свеклы и т. д.

Все указанные выше нарушения приводят к тому, что к моменту созревания пыльца у кукурузы, пшеницы, рожь, пшеницы и других видов растений с ЦМС наблюдается масса «пустых» ядер (без цитоплазмы и ядер) в дегенерирующих пыльниках.

В настоящее время интенсивно ведутся работы по изучению генетической, цитологической и эмбриологической природы ЦМС. Это явление открывается у все новых видов культурных растений и широко используется в селекционно-семеноводческой практике для массового получения гибридных семян первого поколения.

При исследовании ЦМС нужно помнить, что пыльник — сложная интегрированная система, где развитие пыльцы тесно связано с окружающими его тканями (стебелька цветника), поэтому изучать это явление необходимо усилиями специалистов различного профиля — генетиков, селекционеров, цитологов и обязательно эмбриологов.

XII. ПРИКЛАДНЫЕ АСПЕКТЫ ЭМБРИОЛОГИИ

I. НЕТРАДИЦИОННЫЕ МЕТОДЫ И ПОДХОДЫ В СЕЛЕКЦИИ, ТЕРМИНОЛОГИЯ

Все более пристальное внимание для получения новых форм и сортов заслуживает создание экспериментальных систем, которые давали бы воспроизводимые результаты при строго определенных условиях. Моделью для изучения механизма дифференциации и путей морфогенеза в системе воспроизведения является культура растительных яиц, органов и зародышей (эмбриокультура). Применение этого экспериментального подхода открывает новые перспективы для создания форм растений, а также для изыскания и управления генотипами. В связи с этим особый интерес представляет разработка теоретических основ культивирования *in vitro* как vegetативных, так и различных генеративных структур, таких как биотин, зерноз, семядочки, зародыш, яйцо-спирм и др. В настоящем время широко обсуждается, например, значение стадий развития генеративных структур, используемых в культуре *in vitro*, состоящие двойников растений, приводятся данные относительно влияния различных биогенных факторов на морфогенез, отыскиваются возможные способы образования эмбрионов и т. д. Однако в подавляющем большинстве случаев мы не можем пока с достоверностью сказать, например, какой будет выход репродуктивов из пыльника, по какому пути морфогенеза пойдет их развитие, почему пути морфогенеза различны у разных видов, какая стадия зародыша является оптимальной для эмбриокультуры и т. п.

В большинстве случаев, к сожалению, генеративные и репродуктивные структуры и их элементы не рассматриваются экспериментаторами как сложные интегрированные системы, поэтому мало изучаются их гене-

зиг, морфогенетические и морфофункциональные корреляции, обусловливающие специфику развития отдельных органов. Используя метод культуры клеток тканей и органов, экспериментатор-селекционер не должен забывать, что работает не просто с клеткой, тканью или органом, а с частью целого организма, т. е. с системой, где все подчинено определенным законам развития. В результате разработанного системного подхода применительно к генеративным структурам, используемых в культуре *in vitro*, на них сформулированы отдельные теоретические положения. Этк разработки могут быть применены в селекционной работе.

Прежде всего то избежание разночтения и понимания тех процессов, в которых пойдет дальнейшая речь, мы предлагаем использовать единую терминологию для различных, связанных с вопросами морфогенеза процессов, происходящих *in vivo*, *in vitro*, поскольку они универсальны. Он сегодня — индивидуальное развитие организма от зарождения до взрослости схематично. Типичность (умка) — свойство клетки (или шесток), имеющей все морфогенетические возможности (т. е. весь потенциал), присущее данной особи, и реализующееся различными путями морфогенеза. Конечный результат проявления этого свойства, его стадии и формы реализации могут быть различными и обусловлены степенью топотипичности клетки (или клеток). Степень топотипичности клеток видоспецифична и определяется совокупностью факторов и в первую очередь системой (ткань, орган, организм), из которой вытащена клетка (клетки). «Критическая масса» — наименьшая масса для ядрах клеток, необходимая для процесса дифференциации отдельных эмбриональных структур. ДиФФеренциация (дифференцировка) — процесс, при котором относительно однородное становится все более различным. Дифференциация может происходить на субмолекулярном, молекулярном, надмолекулярном, клеточном, тканевом, органном и организменном уровнях. Дедифференциация — процесс, при котором относительно различное становится все более однородным. Дедифференциация может происходить на субмолекулярном, молекулярном, надмолекулярном, клеточном, тканевом, органном и организменном уровнях. На клеточном уровне дедифференциация — процесс, способствующий снятию специализации, т. е. утраты приобретенных различий в переходе к меристематическому состоянию. Детерминация — процесс развития клетки (или клеток), предопределенный условиями, свойственными организму. Понятие детерминации генетически сопоставлять не только и не столько с различными клетками, сколько с их взаимодействием в ходе реализации систем (зародыша, мышечка, щитовидки и т. д.). «Синтез» детерминации главным образом связано с нарушением междуклеточных связей и т. д. Морфогенез — формообразовательный процесс различных структур (не только органов), совершающийся на субмолекулярном, молекулярном, надмолекулярном, клеточном, тканевом (гистогенез), органном (тканогенез, ризогенез) и организменном (эмбриогенез, эмбрионогенез, темногенез) уровнях. Инициальная клетка — шестка, дающая начало тканям, органам, организмам. Эмбриональная клетка — инициальная клетка, образующаяся в результате амфимиксиса (зигота). Эмбриональная клетка — (эмбриогенная клетка и др.) — инициальная клетка, дающая эмбрион и непосредственно или через каллус. Зародыш — билобирная структура (с сопротивленным развитием апексов побега и корня) с самыми первыми этапами своего развития, образующаяся в результате посового процесса. Эмбриогенез — процесс развития зародыша, образующийся путем амфимиксиса, т. е. объединения гамет. Эмбрионид (зародышеголовокрылой структуры, двенадцатый зародыш и т. д.) — билобирная структура (с сопротивленным развитием апексов побега и корня) с самых первых этапов развития, образующаяся всекуляльно из соматической и половых клеток (в случае амфимиксиса). способы ста-

образования различны. Эмбрионогенез (эмбриогенез,* соматический эмбриогенез) — процесс развития эмбриона. Автоматность зародыша (см. с. 66). Гематогенез — процесс развития почки: 1) вегетативный гематогенез — процесс развития вегетативной почки; 2) репродуктивный гематогенез (генеративный, флюорачный) — процесс развития цицетической почки. Ризогенез — процесс развития корня. Эмбриональный и стволовой комплексы (ЭКК, эмбриогенные массы, прозимброногенные скопления, микрокаллусы и т. д.) — комплекс разноидущих клеток, который может индукционировать эмбриоиды, преобразовываться в эмбриоид или давать почки и корни. Каллусное существо — процесс образования каллуса из клеток вегетативных и генеративных органов.

В связи с разночтением термина «каллус» становится на нем более подробно. Каллус — гетерогенная структура (система), образующаяся в результате пролиферации клеток на раневой поверхности отдельных структур растительного организма. Чаще он состоит из неоднородных клеток (ЭКК), генитальность которых может быть различна, что и обуславливает их разные пути морфогенеза (эхбрионогенез, органогенез и гистогенез). Не совсем точным является представление о каллусе как аморфной структуре или ткани, возникшей путем неорганизованного роста. Каллус представляет собой гетерогенную категориальную систему (не обязательно ткань), поскольку формируется, как правило, из проходящих клеток генеративных или вегетативных органов. Его морфогенетические потенции видоспецифичны и могут меняться в процессе генеза и в определенной степени от различных факторов (температура, влажность, время культивирования и т. д.). Имеются факты, позволяющие утверждать, что морфогенетические потенции как самого каллуса, так и его составных элементов — группы клеток — и их регенерационная способность, а также пути морфогенеза могут быть различны (органогенез, эмбрионогенез или гистогенез). Всё это в значительной степени определяется уединенными выращиваниями каллуса, а также характером связи между группами в каллусе, что в свою очередь обусловлено их формой, размером (крупнотканей различных ЭКК и т. д.).

Вероятно поэтому по сложу использовать так много различных терминов («морфогенетический каллус», «очаг дифференциации», «зоны вторичной дифференциации», «компактный эмбриотинный каллус», «заслоненный каллус» и т. д.) для обозначения групп клеток в каллусе, имеющих регенерационные потенции, реализующиеся различными путями морфогенеза (эмбрионогенез, органогенез и гистогенез). Предлагаем эти структуры именовать эмбриональным клеточным комплексом, добавляя к нему различные определения, подчеркивающие его специфику, — ЭКК «белый», или «зеленый», «желтый», «компактный» и т. д.

Необходимо отметить, что многие исследователи неоточно используют для описания морфогенеза в культуре *in vitro* такие термины, как «эхбрионогенез», «адеквативный зародыш», «эндогенез», «тиногенез» и др.

Под термином «эхбрионогенез» следует, очевидно, понимать только развитие полового зародыша, и для развития эхбрионидов правильно использовать только термин «эхбрионогенез». Эмбриосиги под термином «адеквативный зародыш» поникают двицентрические зародышы, возникающие из разных клеток эхробионтового меска, нуцелуса или интегумента, помимо основного (полового) зародыша, защищающего определенное положение в зародышевом мешке. Этот термин не следует использовать для эмбрионидов, формирующихся в каллусах и сусцепционной культурах, поскольку неизвестно, какой из них — если любой.

* В сюда стоит встечаться с различными в литературе терминами, используемыми различными авторами для обозначения одних и тех же структур.

в какой — дополнительный. Сотнико существующей терминологии, бывшего (так ботаник, так и зоолог) подразумевается под «андротенозом» (мужской партеногенезом), так же как и под «гигиогенозом» (женский партеногенез), развитие растений из гаметы, поэтому применение термина «андрогенез» для обозначения процесса образования гаметических растений *in vitro* из энзимовир и пыльцы неправильно.

Термины «дифференциация» и «дифференцировка» во сути отражают одно и то же, так же как и термины «дифференциация» и «дифференциация». Вероятно, поэтому термины «раздифференциация» и «дифференцировка» употреблять не стоит, так как это вносит двусмысленные сплохи в понятие процесса дифференциации. Кроме того, термин «дифференциация» не совсем учен еще и потому, что он не отражает сущности явления, поскольку нет абсолютного признака к исходному состоянию. Термины «дифференциация» и «дифференцировка» являются, по видимому, вариантах перевода единственного латинского слова *differētia*, что служит еще одним доказом для применения только термина «дифференциация», т. е. более правильного перевода.

Следует также отметить и то, что термин «антропенез» (антос — существо, генезис — происхождение) неправильно использовать применительно к пластиде, так сказать, писавши и т. д., поскольку этот термин в других значениях не отражает сути явлений, которые обычно вкладываются в это название.

2. ИСПОЛЬЗОВАНИЕ РАЗНОВОЗРАСТНЫХ ЗАРОДЫШЕЙ (ЭМБРИОКУЛЬТУРА)

Изучение всех этапов развития зародыша злаков — необходимая теоретическая предпосылка прикладных исследований, таких как преобразование лесобиомассы при отдаленной гибридизации, получение гиппоподукции, выбор оптимального срока уборки урожая, сокращение периода покоя семян и ряд других. Культура зародышей на ранних стадиях эмбриогенеза является одной из сложнейших, а вместе с тем важнейших проблем современной биологии, в частности экспериментальной ботаники, генетики и селекции. В большинстве работ по культуре зародышей последние используются изолированными генонуклеотидами на относительно поздних стадиях развития и процессы на материнском организме основной путь формируются. До сих пор никому не удавалось вырастить зорксальные растения и уссониевые культуры *in vitro* из изолированной яйцеклетки зародышей на самых ранних этапах их развития. Вопрос о самостоятельности зародыша растений обсуждается в литературе в связи с вынесенными проблемами данной, однако, как правило, решается однобоко. Зависимость зародыша от материнского организма рассматривают либо только в аспекте физиологической самостоятельности (метаболическая независимость) и способности прорастания, либо только в аспекте морфогенетических взаимоотношений с яйцеклеткой. Следует отметить, что подбор среды выращивания зародышей производят без учета стадий развития как самого зародыша, так и окружающих тканей, которые имеют свою специфику на каждом этапе.

В связи с этим при формулировании системного подхода к проблеме дифференциации зародыша растений мы рассмотрели 3 аспекта: 1) зародыш как и любой объект, это система, состоящая из определенных структурных элементов, между которыми существует строго определенные морфофизиологические корреляции; 2) дифференциация зародыша протекает в системе зародыш — окружающая среда (как правило, среда — ткани материнского растения); 3) зародыш любого растения — система также и потому, что он принадлежит системе зародышей определенного типа, например к Гампелю. При этом выделенный тип зародыша входит в общую систему классификации зародышей цветковых растений. Зародыш как организм относится к определенному виду, роду, семейству, порядку и т. д., т. е. к системе.

Системный подход к дифференциации зародыша позволяет выделить ряд критических стадий в эмбриогенезе цветковых растений, в том числе и стадию автономности.* Под автономностью в геогерическом (абстрактном) смысле мы понимаем независимость организма от всех внешних факторов среды, включая материнский организм. Говоря об автономии зародыша как нового организма, мы рассматриваем независимость его от материнского организма. Таким образом, автономность зародыша — особое структурно-функциональное состояние, отражающее его независимость от окружающих тканей и проявляющееся в его способности завершить нормальный эмбриогенез вне материнского организма и развиться в нормальное растение. Следует выделить полную автономность, при которой зародыш просток (т. е. новый организм) не зависит от тканей материнского организма. Полная независимость достигается по завершении прорастания и образования проростка, т. с. когда все связи с материнским организмом (плодом, семенем) исчезают. У различных видов эта связь прекращается в разное время, что обусловлено конкретным строением семени (шелихи, перистерма, петикульса и т. д.) и посева (плодоподобной оболочки). Учитывая, что взаимодействия зародыша с материнским организмом очень сложны и многосторонни, следует выделить относительную автономность зародыша (т. е. независимость относительно конкретных факторов материнского организма — гормонов и других физиологически активных веществ, углеводов и т. д.).

В этом смысле становление автономии — сложный длительный многоступенчатый процесс. В каждом конкретном эксперименте, когда мы ставим задачей приблизиться к управлению процессом становления автономии, для удобства познания мы расчленяем этот процесс на отдельные ступени, подразумевая под ними определенную связь зародыша с материнским организмом. В связи с этим следует приступить к понятию стадии автономии, являющейся в основном количественным и временем выражением зависимости зародыша от «материнского» фактора. Стадии автономии можно выявить методом культуры *in vitro*, когда мы моделируем условия материнского организма. Она может рассматриваться как один из этапов автоко-*инициации* биофункции, характеризующийся комплексом морфофизиологических показателей, специфичных для каждого вида растений. Вероятно, можно говорить о прогрессии автономизации эмбриогенеза и рассматривать ее у отдельных таксонов как направленный процесс эволюции живых систем. Естественно, как это цитатой, стадии автономии зародыша для разных цветковых будет сонервенно различна, поскольку определяется и окончательной генетикой, специфичной для каждого вида. Под генетикой в данном случае мы понимаем все разнообразие структур материнского организма, которые окружают питому и зародыш и обуславливают как специфику их строения и развития, так и особенности формирования проростка и растения в целом. Например, в развивающемся и зрелом семени яланы имеется хорошо развитый эндодерм (у орхидных он вообще не образуется). Резинобразные и физиологически активные вещества, находящиеся в сажеши и наоде и играющие большую роль в развитии зародыша и проростка.

Особо следует отметить, что развитие растений в эмбриокультуре у различных видов начинается со стадии, когда зародыш становится независимым от экзогенных гормонов, т. с. в нем к этому времени имеется определенный уровень эндогенных регуляторов роста, обеспечивающих в сочетании с другими веществами дальнейшую вертикальную дифференциацию зародыша и его прорастание.

* Подробнее см. работы Т. Б. Еанигай и др. в 1974—1986 гг.

Экспериментальные данные свидетельствуют, что автономность зародыша у злаков проявляется в момент формирования пыльца и аукса побега (точки роста) (рис. 116).

Перспективным направлением и селекции, как было указано, является гибридизация. Известно, что гибридные зародыши часто гибнут в зародышевом мешке и поэтому для успешного дальнейшего развития необходимо извлекать зародыши из зародышевого мешка и высаживать их на искусственную питательную среду. Экспериментатор должен знать, что в культуре *in vitro* зародыши размножаются в нормальном состоянии лишь в том случае, если он будет извлечён из стадии автономности. Сегодня нам известны условия культивирования, при которых проявляется относительная автономность зиготы или зародыша, выделенного на более ранних стадиях развития. Эти зародыши гибнут, либо отдельные их клетки пролиферируют (анатомично делятся), обрезая каллюс.

В настоящие времена перспективное получение гаплоидных линий ячменя с использованием при гибридизации гиблогибридосера *Hordeum bulbosum*. Эмбриологические исследования показали, что при скрещивании *H. vulgare* с *H. bulbosum* в зародышевом мешке происходит элиминация (исчезновение) хромосому *H. bulbosum*, в результате чего получаются гаплоидные зародыши *H. vulgare*, которые способны диплоидизировать. Своевременная изоляция зародышей в культуре *in vitro* и успешная диплоидизация полученных растений даёт возможность создать гомозиготные линии, которые представляют собой ценный исходный генетический материал для селекции (рис. 117). Таким методом и этой работе явилась гибель гаплоидных зародышей на ранней стадии их развития вследствие ранней детерминации эндосперма. В естественных условиях гаплоидные зародыши в зерновках не смогли бы пройти дальнейшую нормальную дифференциацию, не достигнув стадии автономности и погибнуть вследствие вскорымального развития эндосперма и нарушение корреляции между развивающимися гаплоидным зародышем, эндоспермом и материнскими тканями. Вычитав зародыш и поместив его в пробирку, мы компенсируем недостаток эндосперма добавлением в среду различных физиологических активных веществ, в частности горючих, и добиваемся тем самым относительной автономности зародыша уже в искусственных условиях (имеется в виду автономность гаплоидного зародыша относительно горючих). Таким образом можно преодолеть несовместимость при отдаленной гибридизации между зародышем и эндоспермом в окружающих тканях.

Детальное исследование автономности гаплоидных и диплоидных зародышей ячменя, осуществившееся во Всесоюзном селекционно-генетическом институте в Орле С. Ф. Лукьяновик и С. А. Игнатовой (1980), выявило ряд интересных закономерностей их развития. Установлено, что диплоидный зародыш становится автономным к 13—14-му суткам после оплодотворения, когда достигает размеров более 2 мм. Эмбриологические исследования подтвердили, что это — стадия формирования пыльца и точки роста (аукса побега). Гаплоидные зародыши таких размеров не могут перейти к дальнейшей дифференциации на простой биогорючальной среде, не которой шло нормальное развитие диплоидных зародышей. Они нуждались в средах с добавлением различных физиологически активных веществ. Эти среды были разработаны авторами института (см. работу «Методы культуры тканей в практике селекции растений», 1980), в котором в настоящее время с помощью гибридизации с гиблогибридосером *H. bulbosum* получены новые формы ячменя. В условиях Алма-Аты эти сроки несколько другие, что в первую очередь связано с генетикой сорта.

Работы по выявление автономности зародыша ячменя также подтвердили, что эта фаза индивидуальности является одной из важнейших фаз эмбриогенеза, с которой зародыш проходит нормальную дальнейшую дифференциацию и

развившееся в нормальном растении. Исследования, проводимые в Ботаническом институте им. В. Л. Комарова АН СССР в лаборатории эмбриологии по комплексному изучению автогенности у различных цветковых растений, позволили не только впервые вскрыть новый признак (свойство) — автономность, но и указать возможные пути управления отдельными этапами эмбриогенеза. Таким образом, выявление нового признака — автономности зародыша является иллюстрацией положения, когда теория и практика идут рука об руку и могут рассматриваться как один из новых подходов к традиционной технологии селекции. Следует еще раз подчеркнуть, что детальное исследование эмбриогенности изучаемого объекта дает возможность перейти к научному обоснованию подбора сред для культивирования гипергенных структур, в том числе зародышей.

В последнее время зародыш азаков используется как объект для получения массового количества регенерантов. В этом случае берут либо зародыш на разных стадиях развития, либо отдельные его пртаты. При их культивировании на различных средах образуется каллус, который используется как материал для получения регенерантов разного происхождение. В отдельных случаях до генов на искусственную среду на изолированный зародыш, соответственно на целое растение воз действуют различными факторами (облучение, температура и т. д.). Это также является одним из нетрадиционных приемов получения большого количества генетически неоднородного материала для создания новых форм и сортов растений.

Для использования эмбриоскульптуры в селекционных целях желательно применять системный комплексный подход, который и позволил нам выделить стадию автогенности. Он охватывает только при определенных сочетаниях разнообразных способов и методов (описываемые и экспериментальные): изучение эмбриогенеза и динамики и сопоставление кинетики морфологических процессов с кинетикой физиологических процессов, происходящих в зародыше; изучение процесса формирования зародыша во взаимосвязи с окружающими тканями материнского организма; сращивание зажигомеристий роста и дифференциации зародыша *in vivo* и *in vitro*; использование в качестве объектов исследований лиц растений, контрастирующих по гену эмбриогенеза (например, по числу сомядолей, клеточному или ценоцитному строению про-эмбрио, наличие или отсутствие эндосперма, переклермы и т. д.); моделирование условий для каждого этапа развития зародыша и проростка. Такой подход позволяет глубже понимать механизмы дифференциации, моделирование эмбриогенеза и, следовательно, управление онтогенезом в целом.

3. ИСПОЛЬЗОВАНИЕ ПЫЛЬНИКОВ ДЛЯ ПОЛУЧЕНИЯ ГАПЛОИДНЫХ РАСТЕНИЙ

Как известно, получение гаплоидов *in vivo* и *in vitro* из мужских и женских генеративных структур, таких как пыльник, завязь, сеянечник и др., имеет огромное значение для создания новых форм и сортов растений и, в частности, хлебных злаков.

Все исследования, проводимые с использованием гипергенных структур в культуре *in vitro*, в частности пыльников, тесно связаны со сложнейшей проблемой морфогенеза. Несмотря на то что вопросами получения гаплоидов из пыльника занимались многие исследователи (Бутенко, 1964, 1975; Sunnelerland, Dunsell, 1975; Ходлов, Тырнов и др., 1976; Лукьянов, Ишевова, 1981; Maheshwari et al., 1982; Ли Чан, 1983; Лукьянов, 1983; Суканов, 1984, и др.), продолжает оставаться нерешенным, из каких микроспор и пыльцы образуются гаплоиды: из нормально развивающейся (участвующей в оплодотворении) или аномальной пыльцы и микроспор (детерминирующих на разных этапах

своего развития}, определенный процент которых в силу периморфизма^{*} пыльцы перед присутствует в сформированном и зрелом пыльнике. Далее к споровыми постается вопросы: какие клетки нормальной пыльцы участвуют в формировании гаплоидов; какая стадия пыльника, взятого из цветка растения (пропицавшего в естественных условиях) для посадки в культуру *in vitro*, является оптимальной для получения гаплоидов из нормальной пыльцы, т. е. какая стадия микроспорогенеза (включая образование микроспор) и развития пыльничного зерна (2- и 3-клеточная) более эффективна и насколько она детерминирована. Является ли эта стадия видоспецифической? Возможно ли экспериментальным путем (т. е. воздействием различных факторов на растение, отдельный цветок или пыльник) наценить детерминацию с целью получения большего количества гаплоидов из пыльников, получающихся в норме? И какое тогда будет оптимальная стадия воздействия? Не ясно также, какой тип аномальных пыльцевых зерен (возможно, правильнее называть их аномальными структурами) развивается в гаплоиды. Какова роль гетерогенности и генеративной клеток пыльцы в случае с 2- и 3-клеточными пыльцевыми зернами? В образовании эмбрионов при формировании гаплоидных растений? Каковы пути морфогенеза (эмбрионогенез или гаметогенез) при образовании гаплоидов и какими они зависят от стадии развития пыльника (спорофитной и гаметогенитной детерминации)? Какие пути (эмбрионогенез, гаметогенез) и способ (без ЭКК, через ЭКК) являются более эффективными для получения гаплоидов? Все приведенные выше вопросы говорят о том, насколько сложна эта проблема и как много нужно еще знать, чтобы подойти к управлению морфогенезом.

В литературе данные о способе образования гаплоидных растений пыльцы, микроспоры, особенно об их генезисе, фрагментарны. Для получания единичных гаплоидов у некоторых культур, например злаков, необходима трущаяся работа — посадка тысяч пыльников в культуру *in vitro*.

Известно, что у злаков, несомненно, на большое количество пыльцы в пыльнике (например, у ржи сорта Ярославка — 11 000—12 000 пыльцевых зерен, у тритикале пшеницы Ленинградка — 3000—3100, у ярового ячменя Рассвет — 3300—3500, а у кукурузы — 1,5 млн пыльцевых зерен), выход гаплоидов очень мал и исчисляется обычно десятками или несколькими процентами.

Проблема получения гаплоидов — морфофункциональная проблема, поэтому для ее решения вопросы должны решаться учеными разных областей и в первую очередь эмбриологами.

Необходимо еще раз уточнить понятия «микроспора» и «пыльцевое зерно». Микроспора (спорофит) — клетка с гаплоидным набором хромосом, образованная в результате редукционного деления. Стадия микроспоры длительна и продолжается до первого митоза. Для удобства можно выделить следующие фазы развития микроспоры: 1) непакулированная микроспора (если ядро занимает центральное положение); 2) выкулипакулированная микроспора (ядро и вакуоли занимают различное положение по отношению к ядру); 3) девакуолизированная микроспора (ядро расположено на стороне, противоположной поре). Такое деление на фазы необходимо учитывать, так как, несмотря на то что в литературе о стадии микроспоры, ее детализируя ее, последователь зачастую приходит к ложному выводу в точности быть и его результаты. Следует отметить, что с началом деления микроспора начинает прорастать, т. е. она переходит к стадии формирования пыльцевого зерна (гаметофила). Следует указать, что в 100 риме пыльцевое зерно злаков имеет 2 стадии развития — 2- и 3-клеточную, а не «2-» к «3-ядерную», как часто пишут. Этот момент принципиально важен при рассмотрении поступления гаплоидов из зрелых пыльников, поскольку,

* Использование термина «морфогенез» вместо «генетоморфозис» несочет, так как геномы могут возникать из пыльца различного размера, в том числе и из пыльцы типа S (гаметофор).

касаясь вопросов дифференциации пыльцевого зерна, исследователь имеет дело не с одной клеткой, а со сложной системой клеток пыльцевого зерна.

Однако, как было указано выше, в пыльнике имеются различные формы и процент аномалий. Количества яйцеклеток, а также характер и премы их проявления генетически детерминированы и видоспецифичны. Размах хроматидной изоморфности количества яйцеклеток также поддается спецификации. Так, например, у некоторых видов злаков известны случаи изменения полигамии пыльцы и образование в них зародышевых мешков, что может быть одной из причин образования гаплоидов, как показано некоторыми исследователями. Кроме того, встречаются ахроматильные пыльцевые зерна, представленные многоядерными или многоядрочными образованиями. При формировании многоядрочных образований первый ядро часто бывает не дифференцирующим (форме), а равным.

Следует отметить, что существует генный контроль, обусловливающий видоспецифичность развития спорофита и гаметофита. В пользу этого говорят экспериментальные данные о спорофитной детерминации — способности микростора к культуре *in vitro* к развитию по определенному пути морфогенеза (Суханов, 1964; Тутин, Суханов, 1981).

Пред измениния формирования растений путем воздействия, в частности, рентгеновским излучением на споро- и гаметогенез пшеницы впервые была выдвинута Л. Н. Дедоне (1930, 1960). Позднее другими исследователями (подробнее см.: Багыгин и др., 1975) в различных объектах было установлено, что эффект воздействия зависит от периода развития генеративных структур. Наиболее чувствительной у большинства растений оказалась стадия хейбоза. Например, была выявлена корреляция: процент нормальной пыльцы резко снижается при облучении растений с длиной дня на стадии хейбоза.

В связи с тем что возникновение гаплоидной разы также связано с процессом хейбоза, особое внимание уделяется его изучению. По современным литературным данным, существует его генный контроль, фундаментальные основы которого разрабатываются в Советском Союзе и за рубежом. Анализ сведений о мейотических мутациях (мейотических) привел к выводу о сходстве характера мутаций при нарушении мейоза у растений и животных. Выделено 7 клеточных этапов мейоза — вступление в хейбоз, конъюгация гомологичных хромосом, мейотическая рекомбинация, хингзообразование, расхождение гомологов, цитокинез, второе деление мейоза, в отклонении которых установлен конкретный генный контроль (Гусубовская, 1983). Рассматриваются 3 шага мейотических генов: 1) пыльчатые ценные блоки мейоза, 2) контролирующие отдельные этапы в пределах этих блоков и 3) этапы, запускающие второе деление мейоза и выключающие его. Выявлен ряд закономерностей генетического контроля мейоза: относительно автономный контроль указанных выше 7 последних этапов и принцип парархии действия генов в ходе мейоза. Многие естественные аномалии развития пыльцы, по предположению И. Н. Голубинской (1983), представляют собой фикспрованные хейтотические мутации, а полученные в эксперименте их проявления являются фенокопиями.

Эти исследования делают возможным экспериментальное получение множества аномальных структур и регуляцию характера митоза в микросторе, проходящего к образованию мужского гаметофита (2- или 3-ядерного пыльцевого зерна).

Некоторые данные (Ремпикала, 1981) говорят о том, что в ходе мейоза происходит дефференциация пластин и хихонидий и восстановление полупрозрачности рибосом. У кукурузы перед мейозом "микроспородатах" наблюдается большое количество митохондрий, в то время как другие органеллы находятся в минимуме (Коробова, испубл. данные). Это свидетельствует об исключительной спецификации энергетических процессов, что, вероятно, необходимо для

сочетанием 2 быстрых следующих друг за другом делений мейоза. В микроспороцитах происходит значительное изменение объема их ядер. В отличие от профазы мейоза в профазе мейоза синтезируются РНК и белок, необходимые как для продолжения самого мейоза, так и для развития микреспор. Вероятно, биосинтез белка в микроспорах на разных стадиях развития обеспечивается главным образом рибосомами, образующимися в микроспороцитах и периодически профазы первого деления мейоза. Все это обеспечивает нормальное постмейотическое формирование микреспор. Любые морфобиохимические нарушения на этих этапах развития как в стенке пыльника, так и в микроспороцитах могут привести к прекращению развития или аномальному развитию микреспор. Это наблюдается при разных видах мужской стерильности.

Таким образом, мейоз, а, возможно, и более ранние стадии развития генеративных структур являются якобы теми стадиями, воздействие на которые каким-либо фактором, в том числе используя разные среды в культуре *in vitro*, можно изменять детерминацию дальнейшего развития спорогенетической ткани.

Для получения гаплоидов, вероятно, можно использовать 3 пути (путь,² или 3 возможность): 1) естественные аномалии, имеющиеся в пыльнике (рис. 118, А), 2) искусственно вызванные аномалии (рис. 118, Б), 3) корректирующиеся микреспоры в пыльцевые зерна (рис. 118, В).

I. Получение гаплоидов из естественных аномалий. В пыльнике цветковых растений имеются гаплоидные аномалии в развитии микреспородии, микреспор и пыльцевых зерен. Их характер, количество и время проявления детерминированы и видоспецифичны. Аномалии могут проявляться в: нарушении полярности микреспор и пыльцевого зерна, нарушении характера митоза (место дифференцирующего тройчатки равномерный), нарушении ориентации пыльцевого зерна в пыльниковом гнезде, в образовании многоядерных или хлопьяобразных структур различной пloidости, изменениях секреции пыльцевого зерна в обрастворении в нем зародышевого мерцка и т. п.

Например, у злаков имеется специфическое расположение микреспор и пыльцы в гнезде пыльника (одновременное расположение микроспороцитов, передняя микреспор и пыльцевых зерен, обращение их порами в сторону танегхума). На стадии распада тетрад на отдельные микреспоры и дифференциации нормальной пыльцы отмечено вспомогательные структуры, которые часто располагаются в центре пыльничного гнезда, не имея контакта со стенкой пыльника и некоторые из них начинают активизироваться благодаря посадке пыльника в культуру *in vitro*, давая гаплоиды.

Некоторыми исследователями показано, что определенный процент гаплоидов у отдельных видов цветковых растений связан исключительно с определенными генами аутоматической «пыльницы», имеющейся в пыльнике.

Китайские исследователи, детально изучавшие у пшеницы зависимость образования гаплоидов от стадии начинки от премейотической до 3-ядерной (3-клеточного пыльцевого зерна, — Т. Б.) стадий пыльника при посадках в культуру *in vitro* (посажено 15000 пыльников), подчеркивают, что при культивировании пыльников на стадии зреющей 3-клеточной пыльцы гаплоиды развиваются только из аномальной пыльцы. Таким образом, исп. без пыльники злаков на начальных стадиях развития (без дополнительного воздействия, за счет посадки в культуру *in vitro*), экспериментатор работает с растениями-гаплоидами, образующими первого из аномальной (дефектной) пыльцы. Подтверждением этого является также и тот факт, что все оставшиеся микреспоры у большинства цветковых и травянистых зерна в культуре грубоизмельченные обычно тибнут.

² Не следует путать эти пути с путями морфогенеза (—pathways).

11. Получение гаплоидов из искусственно вызванных аномалий. Этот способ состоит в насаждке в культуру *in vitro* пыльцевых яиц разных фазах, на которых было оказано прямое воздействие различными факторами и.т.к. ко времени через донорное растение. В этих случаях, как мы полагаем, снимается детерминация нормального хода микрородопленты и образование пыльцы, в результате чего получается большой процент различных, искусственных вынужденных аномалий.

Для получения аномалий из исходного гермальной спорогенной ткани могут быть использованы такие факторы, как среда, температура, биологически активные вещества, магнитные поля, облучение и т. д. Так, воздействие лазером или концентрированным импульсным белым светом на одногодичной стадии пыльцы (микроспоры, — Т. Б.) позволяет увидеть гаплоидов. Сходные результаты были получены при воздействии на пыльцу аксиальных видов растений высокой температурой. Для изменения спорофитной и гаметофитной детерминации возможны следующие варианты воздействия: 1) деспорное растение; время воздействия может быть различным: кратковременные — на один этап развития растения (либо выход в трубку, либо цветение и т. д.) или длительные (пролонгированные); в значительной степени это зависит от фактора воздействия, а также от вида растения; 2) локальное — на шийник или соцветие, на изолированный спиритесный комплексы. Независимо от способа воздействия, во всех случаях, вероятно, снижается детерминация нормального хода микрородопленты и развитие эндевого зерна. В результате этого спорогенная ткань, которая в норме (т. е. в естественных условиях) дала бы гермальную фертильную пыльцу (способную к оплодотворению), при воздействии на нее дает аномальные структуры с разным строением, многодерные, многоклеточные и т. д.

Можно предположить, что у большинства цветковых растений, в том числе у злаков, оптимальный фазой для искусственного индуцирования аномалий, а значит, и облучения наибольшего выхода гаплоидов, является стадия яйцозы, а в некоторых случаях и более ранняя стадия в развитии спорогенной ткани.

Современные данные, касающиеся идерно-кинетических откосов, продолжают исследование митотического цикла, скопростегион РНК, активности белков стимулирующей системы и т. д. у разных покрытосеменных, показали, что спины, происходящие в яйце, части детерминированы еще в премейотической фазе.

Следует отметить, что при воздействии факторов на гибридные формы надо всегда учитывать, что течение мейоза у них происходит с большими аномалиями.

Классификация различных типов аномалий заставляет спектрального цикла, поскольку характер их развития, вероятно, обусловливает определенный тип морфогенеза, по которому идет дальнейшее образование гаплоидов. В связи с отсутствием детальных исследований по выявлению механизма образования известных гаплоидных аномалий, а также и их классификаций, в настоящем время трудно сказать, на какую стадию яйцозы циклособразование воздействовать, чтобы получить максимальное количество гаплоидов. Однако для отдельных видов известно, что разные группы генов обуславливают различные фигуры аномалий. Самый простой пример — это аномалии (многопластиничные, митотические и др.) неясно, поэтому остается непредсказуемым и путь морфогенеза (гибриодогенез или геммогенез через червя каллус), т. е. путь воспроизведения гаплоидных растений. Следует подчеркнуть, что эмбриошаблон иссомиации является более ярким и ясным путем для получения гаплоидов, поскольку он связан не только со сложным многоступенчатым процессом морфогенеза через каллус и сущие геммогенеза, требующим трудоемкого процесса сред и пересадок, но и с гетерогенным однородным материалом. Однако не исключено, что в дальнейшем для более эффективного получения гаплоидов можно будет сопоставить оба пути, т. е. из однотипного пыльцевого зерна или мицел-

спермы способна получить каллюс (калькуляция), а потом вызвать образование множества колоний эмбриоподий.

[Наши представления об оптимальной стадии циклического, под действием гормонов из семени выхода гаплондов, в определенной степени соглашаются с некоторыми литераторами данной темы. Например, китайскими учеными было показано, что чем более ранняя стадия развития пыльника берется для посадки в культуру *in vitro*, тем больше пыльцы с равным делением (т. е. анилиний) образуется в выращенном зерне пыльника щепетильной, тем, следовательно, больше получается гаплондов. При этом частота равного деления пыльцы зависит от того, какое в пыльнике ее зерно. Кроме того, как указывается в литературе, культивирование *in vitro* пыльников на стадии хромозом показывает образование склонных к многоделенных клеток, т. е., как мы называем, изменение характера деления яйцеклетки. Заслуживает внимания и тот факт, что существует зависимость между стадиями развития пыльника, выходом каллюса и процентом образования яицеклеток гаплондов.

Таких образов, используя пыльники цветковых, в частности злаков, на ранних стадиях развития при аксиоматическом воздействии (выносящая генетику пыльников в культуру), исследователь получает растения-гаплонды, вероятно, из искусственно выведенных геноматичных структур.

III. Получение гаплондов из исходно нормальных микроспор и пыльцевых зерен. Получение гаплондов из 2- и 3-клеточного пыльцевого зерна возможно, но связано со сложным процессом дедифференциации таких высокоспециализированных клеток, как вегетативная, генеративная и гаметы-спермии. Это в определенной степени относится и к поздним стадиям развития микроспоры. Поскольку, этот путь получения гаплондов реален, но в настиншее время очень сложен. Если гаплонды и образуются из нормальной пыльцы, в их формировании могут участвовать вегетативная и генеративная клетки, либо одна из них, либо даже гаметы (рис. 119).

Следует подчеркнуть, что с нашей точки зрения это пока только теоретические соображения, поскольку стимулируют детальные исследования по генезису структур, образующихся в культуре *in vitro*. Кроме того, первое и даже второе деление генеративной клетки или спермии в пыльцевом зерне еще не говорит о том, что их производные будут обязательно участвовать в образовании гаплондов регенераторов. Как известно, возможна их эмиграция на разных этапах развития гаплоида.

Для изучения гаплондных растений из похода нормальных (число видоизменений) микроспор и пыльцевых зерен необходима разработка специальных методик для выделения супротогенных комплексов, пыльцы из пыльника, спермии и их соединка без стенки пыльника в культуре *in vitro*. Особенно скрупулезно будет разработка такого метода для культивирования зерной пыльцы. Это дает возможность получении только гаплондных растений, поскольку в их образования не будут участвовать склон материнского организма — стеки пыльника, что обычно создает дополнительные трудности, так как могут получаться и цегаплондные регенеранты.

Получение гаплондов вышеуказанными путями представляет собой сложный индукционный процесс, поскольку связан с концепцией регенерации, что в свою очередь связана с дедифференциацией и дифференциацией.

Следует остановиться на некоторых методических неточностях, которые, в нашей точке зрения, вносят определенную путаницу в трактовку стадий пыльника, используемого для получения гаплондов. Эмбриологически приемлемая идентификация стадий развития пыльника имеет большое значение как теоретической, так и с практической точек зрения.

Большинство исследователей определяют фазу развития пыльника перед посадкой путем пресмыкания их в ацетокармине. Естественно, что они определяют эту стадию по большинству пыльцы, которую они видят в пыльнике, но она не

дает гаплоиды (без воздействия). Малыш прошагт аномалий обнаружить эскимускированных жгутиков склоне, стекла и пыльца, которые делают некоторые исследователи. Большинство исследователей полагают, что они получают гаплоиды в этом случае из потенциально нормально развивающихся микроспор и пыльцы. Подтверждением сказанного является то, что авторы ссылаются на различные пути образования гаметоидов (А. В. С. Д.) и основных только из нормально развивающейся пыльцы. Вероятно, в этом и кроется неточность определения гаметоидов, поскольку на самом деле они образуют гаплоиды из аномальных микроспор в пыльце. Кроме того, отсутствие в литературе характеристики пыльцевых клеток и исследователей считают развитие эхбриондов как из аномальных структур, так и из генетически нормальных, а также всего генеза регенерантов и настаивают время не дает возможности присоединиться к типу зрения исследователей, считающих, что стадия микроспоры является оптимальной для получения большого количества гаплоидов. Между тем с эхбриологической точки зрения это легко объяснимо. Помимо вышеуказанной стадии развития пыльника при посадке его в культуру *in vitro* начинает «работать» дефектная пыльца. Подтверждается это также тем, что для получения единичных гаметоидов необходима посадка пыльников в культуру *in vitro*, а также фактами, свидетельствующими, что чем более ранняя стадия развития пыльника берется для посадки, тем больше образуется гаметоидов.

Следует еще раз подчеркнуть, что стадии развития пыльника, используемые для получения гаметоидов (рис. 118, A - B), у различных цветковых в определенном смысле видоспецифичны. Притчами видоспецифичности являются: разный тип образования стенки пыльника (разное число слоев, различие их происхождение и т. д.); я отсюда разное ее строение на одной и той же стадии развития микроспоры и пыльцы; разный тип формирования тетрады (сукцессивный, суммитический); разный тип строения тетрады (изобилатеральный, тетрагональный) и т. д. Однако, несмотря на вышеуказанное, вероятно, можно говорить об универсальности стадии развития пыльника для выведения к получению оптимального количества гаплоидов из исходно нормально развивающейся спорогенной ткани (рис. 118, b).

В настоящие времена пыльники являются структурами, наиболее часто используемыми и экспериментальной эхбриологии не только для изучения гаметоидов, но и для изучения проблем морфогенеза. Этому способствует то, что в существе в пыльнике находят отражение основные морфогенетические процессы растения в целом (например, передование поколений). Более глубокое направление изучение пыльника как модельной системы позволит быстрее разработать способы управления морфогенезом стачала в искусственности, а затем и в естественных условиях обитания растений. Это в первую очередь касается получения гаплоидов (рис. 120, 121). Несмотря на то что пыльник является сложной интегрированной системой, с методической точки зрения пыльник исключительно более простая модель для исследования *in situ*, *in vivo* и *in vitro*, поскольку при изучении пыльника легче выявить и моделировать отдельные морфогенетические процессы и их корреляции. Для более успешного изучения пыльника как модельной системы необходима прежде всего разработка методических основ его изучения: унификация терминологии стадий развития, унифицированное изучение путей морфогенеза при культивировании пыльника у различных видов цветковых растений, изработка вопросов согласованного изучения всех структур пыльника, пыльника и женской репродуктивной сферы растения и, наконец, разработка основных проблем, затрагиваемых в исследовании и в данном случае связанных с получением гаплоидов. В связи с этим были разработана определенная стратегия исследования: 1) изучение пыльника *in vivo* и *in vitro* в динамике, в сочетании с изучением кинетики биохимических процессов; 2) исследование пыльники в естественных условиях с уче-

том биологии развития всего растения и особенно ауксиналии, 3) изучение тканек у видов, контрастирующих по способу опыления (наприм. хамомелия и клематисия), 4) соотношение фактов, полученных при изучении развития тканек в естественных условиях и при ее культивировании *in vitro*, 5) моделирование условий для каждого этапа развития пыльника с учетом данных, полученных и результате комплексных морфофункциональных и генетических исследований.

Предложеный «блок изучения» дает выход на «блок уточнения», что позволяет вскрыть критические периоды (в том числе и оптимальную стадию развития для получения гаметид) в развитии тканек, обусловливающие специфическое развитие отдельных ее структур (микроспоры, цильи и т. д.). Все это дает возможность своевременно предупредить спредедствами факту размножения либо для нормального развития пыльника в условиях культуры *in vitro*, либо для получения гаметид и т. д. Введение определенных триггеров в среду при культивировании пыльников на различных этапах их развития у различных видов покрытосеменных позволяет выявить морфогенетические потенции различных видов пыльника, а также пути морфогенеза (эмбриондегенез, органогенез, гистогенез), по которым пойдет развитие (рис. 123).

4. ПУТИ МОРФОГЕНЕЗА В ЕСТЕСТВЕННЫХ УСЛОВИЯХ И В КУЛЬТУРЕ *IN VITRO*

Важным моментом для понимания путей морфогенеза и способов образования различных морфологических структур *in situ*, *in vivo* и *in vitro* является характеристика их инициальных клеток. Например, интимальные клетки эмбриодии, как показал анализ литературы, меристематич., о чем единогласно заявлено также и по ultraструктуре. Они сходны также с зиготой, лактей головной зародыша, к клеткам зародышевого мешка, пупеллуса и яйтогемигамта, образующими эмбриодии (одновременно зародыша) в случае яйлокинеса. Инициальные клетки *in situ* и *in vitro* часто связаны с нарушением связей на определенном этапе их развития с окружающими клетками (например, исказование цитоскелета). Передко это обусловлено, как показали ultraструктуры, деформацией радиальными процессыми в окружающих тканях. Можно полагать, что имеется универсальность строения всех инициальных клеток, лежащих в основе организма, независимо от их специфиности.

Независимо от того, какие структуры (репродуктивные или вегетативные) используются для регенерации растений, перед исследователями встает вопрос, какими путями морфогенеза идет регенерация растений. В связи с необходимостью упрощения и моделирования отдельных этапов онтогенеза все большее внимание уделяется выявлению и изучению путей морфогенеза в системе воспроизведения у различных видов цветковых растений как в естественных условиях, так и *in vitro*. До настоящего времени докусационные явления, сходные с теми *in situ*, *in vivo* и *in vitro* и каковы они.

В результате разработанного нами системного подхода применительно к изучению эмбриогенеза структур была установлена универсальность путей морфогенеза *in situ*, *in vivo* и *in vitro* (рис. 122). Независимо от типа культивируемых структуры (или ее части) (генеративной и вегетативной), от способа ее регенерации (головной и ахенальной) и от условий прорастания и бриофизиологии *in situ*, *in vivo* и *in vitro* может реализоваться 4 путями: эмбриондегенез, эмбриогенез, органогенез (тегмоценез, разогенез, гемомортизигенез) и гистогенез, не считая аномалий морфогенеза (рис. 123). Воспроизведение растений в культуре *in vitro* может идти любым из 3 путей морфогенеза (эмбриогенез, эмбрио-

идотенез, гемморизонез), которые сопровождаются, естественно, этическими гистогенезом и праногенезом. Все эти пути могут осуществляться разными способами и иметь различные морфогенетические проявления при получении регенератов. Реализация конкретного пути морфогенеза как в естественных условиях, так и в культуре *in vitro* детерминирована, т. е. в значительной степени определяется генетическими и физиологическими характеристиками индивида, от которого получен исходный материал, а также условиями выращивания, например соотношением цитокинов: гауксик. Пример, при культивировании генеративных и вегетативных структур большинства злаков и писца обнаруживаются все 3 пути морфогенеза, в то время как у лотоса, недавно же из состава среды и различных структур, используемых в культуре *in vitro*, только один — эмбриогенез, у орхидий гемморизонез, который способен развитие орхидных в естественных условиях.

Б. КРИТИЧЕСКАЯ МАССА

Критическая масса — неизбежная закономерность прохождения любого пути морфогенеза (эмбриогенеза, эмбриоденеза, праногенеза и гистогенеза) как *in situ* и *in vivo*, так и *in vitro* (рис. 124). Дифференциация эмбриональных структур и организма в целом может сопровождаться образованием нескольких критических масс, которые определяют «шаги факторов», необходимый для осуществления одного из путей морфогенеза и явлюющихся видоспецифичными. Например, возникновение эмбриоида в камбусе обычно предшествует формирование первой критической массы (эмбрионального яйцеклеточного комплекса — ЭЖК). Вторая критическая масса — масса инцизионной клетки — предшествует делению. Третья критическая масса (например, глобулярия стадия эмбрионда) необходима для его дифференциации — затухания эхбрюшерии, так же как и для полового зародыша. У большинства цветковых четырьмя критическая масса необходима для образования семядолей и т. д. Почти аналогичную ситуацию можно наблюдать при эмбриональных процессах *in situ*. Основное отличие — зародышший этап (первая критическая масса — ЭЖК) — сложная интегрированная система, в которой дифференцируется энота (перед делением) — вторая критическая масса (—эмбриоидная клетка), преобразующаяся в зародыш. В системе моркови установлена корреляция между степенью дифференциации эмбриоидов, их инжинирингом и степенью разбавления инбоксата, т. е. критической массой клеток.

Все рассмотренные выше вопросы — общебиологические, и для целей управления отдельными этапами онтогенеза необходимы широкие теоретические разработки, которые могут быть успешно выполнены только специалистами разных наук — селекции, генетики, морфологии, эмбриологии, цитологии, физиологии, биохимии и т. д. Сегодня уже трудно представить себе, что проблема воспроизведения растений и созданию новых форм и сортов хлебных злаков решалась бы без участия ботаника-эмбриолога. Необходимо создание целевых комплексных программ с привлечением учёных указанных специальностей.

Кроме рассмотренных аспектов, где совершенно необходимо знание эхбрюшерии, можно упомянуть еще и следующие: определение жизнеспособности эноты; применение метода пыления в оплодотворении в культуре *in vitro*; использование нутриентной и интегументальной оболочки эмбрионии; микробиологическое размножение с помощью отдельных ксантильных структур в культуре *in vitro* (пыльников, семязачатков и т. д.); создание новых форм растений из камбуса (в том числе под действием различных факторов), получение по различным реиндуцирующим структурам (зародыш, плодник и т. д.); создание

бялка растительных тканей ценных видов хлебных злаков (из различных генеративных структур); сокращение и снятие периода покоя семян с учетом стадии витиономности зародыша и др.

Все перечисленные подходы и методы позволяют интенсифицировать селекционный процесс.

XIII. МЕТОДИЧЕСКИЕ УКАЗАНИЯ

I. НЕКОТОРЫЕ ОСОБЕННОСТИ МЕТОДИКИ ЭМБРИОЛОГИЧЕСКОГО ИССЛЕДОВАНИЯ ХЛЕБНЫХ ЗЛАКОВ

При эмбриологическом исследовании злаков обычно используют ту же методику, что и при изучении большинства других растений (Нарации, 1934; Гроцкая, 1960). Вместе с тем злаки имеют ряд специфических особенностей. В связи с этим была усовершенствована техника эмбриологического исследования и разработаны некоторые новые способы подготовки материала (Романов, 1970а, 1970б; Батыгина, 1974; Абразова и др., 1981).

Ниже описаны используемые нами наиболее рациональные приемы подготовки и наиболее эффективные методы фиксации и окраски материала. Изучение можно проводить как на постсеменных препаратах, так и на зреющих. В некоторых случаях отдельные процессы быстрее и удобнее изучать на живом материале.

Для исследования самых ранних стадий развития цветка и его элементов производят фиксацию всего колоса. После образования члеников колоса фиксируют отдельные колоски. На более позднем этапе развития колоса (после кипения и в процессе калошения), когда колосковые и цветковые чешуй легко снимаются, удаляют их пинцетом. Чешуй снимают очень осторожно, так как легкое надавливание на завязь или пильник ведет к повреждению и получению искалеченных структур.

Для одной фиксации берут цветок с нескольких одинаково развитых колосов, тычики и завязи — из 2–3 цветков средней части колоса. В верхних цветочных колосках, а также в верхних цветках колоска завязи и пильники отстают по развитию, передко остаются недоразвитыми, и это пригодно для многих различий анизомии.

Иногда довольно трудно точно определить и найти нужную стадию изучаемого процесса. В этих случаях применяется метод темпоральных фиксаций, предложенный М. С. Нарашкиным (1934). Промежутки между последующими фиксациями устанавливают в зависимости от продолжительности каждого процесса. В некоторых случаях для установления необходимости момента фиксации цветка какой-либо конкретной стадии предварительно делают серию временных ацето-карминовых препаратов. В качестве фиксирующей жидкости можно использовать различные фиксанторы. Наиболее употребительные в обращении — фиксанторы Карпина и ФАЛ. Хорошие результаты дает фиксатор Карпина ($6 : 3 : 1$) и его комбинация ($3 : 1$), обладающие способностью быстро проникать в объекты с отуплением и восканным пигментом, характерными для злаков, и потому они часто используются при изучении почти всех эмбриологических процессов в злаках. Для исследования отдельных органов, например процесса опыления, лучше использовать смесь Нарашкина ($10 : 4 : 1$), а для изучения отдельных эмбриональных структур — и другие фиксирующие жидкости. Об этом будет рассказано ниже. Учитывая, что фиксации является весьма ответственным моментом, независимо от метода следует соблюдать следующие условия:

1. Перед фиксацией материал (в склоне наличия опущения и воскового налета на завязях) предварительно помещают на 1–2 мин в раствор мочевины —

0,5 г/100 см², или сахара — 1,0 г/10 см², или в смесь 96%-ного спирта с уксусной кислотой (3 : 1), или же в 70%-ный спирт.

2. Лучшие результаты дает холодный фиксатор, поэтому в жаркую погоду пребирики призывают между лягушками (если фиксация проводится в поле).

3. Заменяют фиксатор смесью торцей через 20—30 мин.

4. В фиксаторе Карнуда материал держат не более 2—3 ч, после чего промывают в 100%-ном спирте до исчезновения запаха уксусной кислоты (1,5—2 ч при 3—4кратной смене спирта). Если обстоятельства не позволяют, можно оставить на 1—2 сут.

5. В фиксаторе Навашина материал держат от 1 до 24 ч.

6. Строго выдерживают соотношение объемов материала к фиксатора, которое должно быть не менее чем 1 : 10.

7. Нужно следить, чтобы материал не лежал на поверхности и был полностью погружен в фиксирующую жидкость.

В случае применения смеси Карнуда материал промывают в 100%-ном спирте и подвергают следующей проводке: через 100%-ный (I) спирт — 60 мин, через 100%-ный (II) спирт — 60 мин, через смесь I (спирт 75%, хлороформ 25%) — 2 ч, через смесь II — 2 ч, через хлороформ — 1—2 ч, через хлороформ III — 1 ч. Далее переносят в чистый хлороформ и заливают парафином.

На рекомендации различных авторов мы предпочитаем следующую методику обезвоживания в проходку через смеси (при фиксации смесью Навашина): промывка в воде в течение 1,5—2 ч, проводка через 10%-ный спирт — 10 мин, 20% — 20 мин, 30% — 30 мин, 40% — 40 мин, 50% — 50 мин, 60% — 60 мин, 70% — оставлять на ночь, 80% — 60 мин, 90% — 60 мин, 96% — 60 мин, 100%-ный (I, II) — 60 мин, проводка через смесь I (спирт 75%, хлороформ 25%) — 2 ч, через смесь II (50% и 50%) — оставлять на ночь, через смесь III (20 и 75%) — 2 ч, проводка через хлороформ (I, II) — 1—2 ч в заливку парафином. Парафин лучше брать с точкой плавления 54—56°C, а для гонадных срезов — 60—62°C.

Для цитохимических реакций можно использовать смесь Карнуда и пекторых других.

Одни из самых развитых пальцы можно изучать при помощи ацетобарбитурового метода. Более подробно эта методика будет описана ниже. Для окраски препаратов используют следующие красители: гемоканавилет по Ньютона, танин—хлорное железо—сафранин по Нагаи-Сузу, гематоксилин по Гейденгайну, Эрлеху и Целлефельшу, истинной фуксин по Мощлевскому. Эти красители, кроме того, лучше всего использовать с различными подкрасками уксусной, оранжевым Ж, кипро-коринтом. Для выявления ДНК и РНК препараты окрашивают реакцией Шиффа и по Уина (рис. 125).

Говоря о фиксации и окраске, нельзя не отметить те особенности методики, которые способствуют более привлекательному изображению отдельных эмбриогенальных структур звезд.

Ряд исследуемых структур (зияль, сексуальная, зародышевый холмок, зародыш) имеет дорсально-центральное строение. Поэтому такие структуры следует изучать в дорсально-центральных, билатеральном и трансверсальном сечениях. Без сопоставления срезов, сделанных в разных сечениях, крайне трудно понять развитие некоторых структур сложно. Кроме того, отдельные моменты развития лучше изучить на трансверсальных срезах, чем на продольных (например, расположение мышцы и гнезда пальника и образование яичника).

Многие структуры (яйцевой аппарат, пигментные ядра, актиподы и др.) расположаются как и на одной продольной оси, но в разных уровнях, поэтому их надо изучать на серии срезов в разных плоскостях. В связи с этим на рисунках лучше давать «сдвинутый» срез, на котором изображаются все структуры, хотя они и лежат на разных уровнях. Один медленный срез через зияль, сделанный в билатеральном, дорсово-центральном или трансверсальном сечениях,

не отражает положение в строении всех ее структур. Это касается и изучения материала под электронным микроскопом; при этом необходимо дивить схематизмы при малом увеличении схему или фотографию для ориентировки в представляемых микрофотографиях.

К сожалению, большая часть исследователей не обращает должного внимания на то, в каком сечении они изучают те или иные структуры, а это приводит к разной трактовке наблюдаемых явлений, к противоречивым выводам и затрудняет анализ существующих данных.

Генеративные структуры. Для исследования ранних стадий развития генеративных структур злаков фиксируют весь колос, для более поздних — отдельно пыльники и завязи. Изучают пыльник в 2 сечениях — продольном и попечевом.

Для исследования развития пыльника следует использовать как постоянные, так и временные препараты (срезки шириной 10—15 мкм). Изучение микростроегенеза и выявление различных корреляций в развитии всего пыльника следует проводить на постоянных препаратах, окрашенных гематоксилином по Цеффельду, Эрлху и Гайдгейну, а также реактивом Шиффа с подкраской антиглюкозом. Некоторые моменты развития яйцеклетки (например, расположение ядер в клетке, формальность) изучали в интактарии и на живом материале, используя при этом культуру *in vitro* (жизнеспособность пыльцы). В связи с тем что развитие пыльца характеризуется рядом статистических особенностей, которые плохо выражаются на постоянных препаратах, следует использовать методику, разработанную И. Д. Романюком и его сотрудниками (Романюк, 1970а, 1970б; Абрамова и др., 1981).

По настоящему времени практически нет совершенной методики изучения микростроегенеза и развития женского гаметофита на живом материале. Вследствие этого женские генеративные структуры изучают в основном на постоянных препаратах. Это необходимо еще потому, что завязь и все структуры, развивающиеся в ней, имеют сложное строение.

Как уже было отмечено, при дорсовентральности строения семяпочки, а также зародышевого мешка и его замкнутой особой оправе цеободомо обратить на расположение завязи в блоке. Исследование завязи, семяпочки и зародышевого мешка проводили в основном в 3 плоскостях — билатеральной, дорсовентральной и трансверсальной. Единственный ориентир на завязь для определения плоскости сечения — бороздка, а в семяпочке — положение пыльцево-халазы и расположение в ней проводящей системы. На медиальных дорсивентральных срезах очень хорошо видна вена плашево-халаза, а в арх — длинные витки спиральных сосудов. При косых срезах обнаруживается часть пыльцево-халазы, а в ней просматриваются лишь отдельные фрагменты ветвей сосудов.

Расположение синергид, яйцеклетки и половых ядер в зародышевом чехле ишееаници с самого начала их образования проявляется только при соопоставлении срезов, сделанных в разных плоскостях. Для ранних стадий развития завязи и семяпочки лучшими являются фиксаторы Навашки и Карнуа. Толщина срезов может колебаться от 10 до 15 мкм. Для изучения редукционного деления можно использовать реактив Шиффа с подкраской антиглюкозом и генцианинголом с подкраской оранжевым Ж и др.

Как мы уже отмечали, методика для изучения женской генеративной сферы на временных препаратах далека от совершенства. Тем не менее некоторые данные были получены какими-то, так и другими исследователями (Моррисон, 1950, и др.).

Для приготовления давленого препарата на предметное стекло берут завязи, фиксированные по Карнуа или по Навашки, с предварительной обработкой смесью 96 % этилового спирта и медной уксусной кислоты (3 : 1), окрашенные реактивом Шиффа по Фальгену (при гидролизе III—15 мкм). Затем лезвием бритвы завязи разрезают на 2 половинки по бороздке, кладут срезанной

поперечностью вверх и прикрывает покровным стеклом, которое легко надавливает карандашом с резаком на конце. Эту процедуру можно сделать осторожнее кончиком палочки, прелинейтельно накрыв препаратор фильтронадкой бумагой. Недостаток описанного метода состоит в том, что в тонкую ткань замыкающие структуры часто обнаруживаются.

Временные препараты приготавливают и другим способом. Сначала гидролизуют семиночки из яичных яиц с помощью препаративных игл под биокулярной лупой. Навесение гравидят в 5—10%-ном растворе сахара, чтобы семиночки не ссыпались. Потом семиночки фиксируют по Карнгу и Навашину, обрабатывают по Фейльету или ацетокарбоном и исследуют дальнейшие препараты под микроскопом.

Процесс оплодотворения. За 2—3 сут до открытия цветка в утренние и вечерние часы производят кастрацию, при этом удаляют нижние и верхние коготки. В средних развитых коготках оставляют только 2—3 щелевых (число щелей определяется видом хлебного злака). Очищают цветок пыльцой, собранной со зрелых колосов за 1 ч до опыления, или снегожеобранной пыльниками ярико-зеленого цвета, покишенными в щелевки.

Материал после опыления фиксируют темперально: вначале через каждые 5 мин в течение 1,5 ч, а затем в течение 1 сут через 1, 2, 3, 4, 5, 6, 7, 8, 10, 12, 14, 16, 18, 20, 24 ч. Фиксацию материала производят по Навашину и Карнгу.

Процесс оплодотворения, как правило, начинают исследовать с прорастания пыльца на рыльце. Для прослеживания всего хода пыльцевых трубок в занозах приготавливают постоянные препараты. Срезы делают тонщиной от 7 до 15 мкм. Окрашивают препараты гематоксилином по Гейнертайду и фуксином по Модлевскому с подкраской антитрюном. Использование этих красителей позволяет проследить весь ход пыльцевых трубок и рыльце и занозы. Вымыть пыльцевые трубки можно с помощью люминесцентного микроскопа (рис. 49, В). Для исследования структуры спермиев в вымытых трубках применяют реакцию Фельтена с подкраской антитрюном. Для выяснения пути содержимого пыльцевой трубки в зародышевом мешке и положения в нем спермиев занозы разрезают в поперечном и 2 сечениях: дорсовентральным и латеральным. Толщина срезов может варьировать в зависимости от вида пшеницы (от 15 до 25 мкм). Для всестороннего изучения процесса оплодотворения следует использовать несколько красителей.

Гематоксилин и гемцианин могут с различными подкрасками хорошо выявлять структуру зародышевого жгутика, однако лучшие результаты можно получить при использовании гемцианинголета с подкраской брандом Ж (что позволяет выявлять члобочки клеток и ветчатый аппарат сперматид). Для изучения структуры ядер клеток зародышевого жгутика и спермиев предпочтительнее использовать реактив Шеффера, а для выявления ДНК и РНК — метилгриоциприна по Уэлли.

Эмбриогенез. Первую фиксацию занозы производят через 1 сут после опыления. В дальнейшем этот интервал выдерживают в течение 30 сут. Следует иметь в виду, что занозы в первые дни после опыления фиксируются плохо. На поздних стадиях развития зародышей приходится делать наклоны занозы или снимать часть покровов, или же отрезать верхнюю часть зародыша, чтобы удалить проникновение фиксатора. Лучший фиксатор в данном случае — смесь Карнгу и Навашина для изучения средних и поздних стадий эмбриогенеза лучше притоплен.

Зародыши злаков очень трудны для исследований. Для составления правильного представления об эмбриогенезе злаков следует изучать строение зародыша в 3 плоскостях: дорсовентральной, латеральной и трансверсальной (рис. 126). Для получения дорсовентрального среза зародыша бирюзовка занозы (в дальнейшем зерновки), спадающая в плюсневом по съезду изломею с областью плаценто-халазы, должна быть расположена параллельно лезвию

микротомного ножа, а при латеральной — перекондуктулярно. При трансверсальных срезах микротомный нож пересекает завязь, образуя по отложению в бороздке угол в 90°.

Положение перегородок в преэмбрии и процессы заложения и развития органов зародыша (например, «семянечки» локуса отхода побега из терминального положения в латеральное) можно выяснить лишь при сопоставлении срезов, сделанных в разных плоскостях. Плоскости срезов уточняют путем сопоставления топографического взаиморасположения зародыша, элементов семяпочки и завязи.

Для изучения стадий развития зародыша срезы делают толщиной от 5 до 35 мкм, однако в срезах, толщина которых не менее 25–35 мкм, структуру зародыша и других элементов зародышевого мешка можно наблюдать на одном срезе и легче избежать ошибки при подковывании их строений. Более поздние стадии предпочтительнее изучать на срезах, толщина которых не превышает 10–15 мкм. Это позволяет лучше исследовать анатомию зародыша и специфику клеток и тканей в разных его зонах. Кроме того, ранние этапы эмбриогенеза изучают в семяпочках, извлеченных с помощью сеткой или из завязи и зафиксированных по Ньюстону или Каргуга. Для того чтобы избежать «склонения» семяпочек, их изыскивают в изотоническом (5–10% нок) растворе сахара.

Для окраски препаратов можно применять гентианвиолет (с подкраской синим Ж) и танин—эмигрос жинсао—сафранин и другие красители. Последний окраска очистки контрастная, дает ясный рисунок клеточных оболочек, цитоплазмы и ядра.

Эндоспермогенез. Фиксации по Каргугу после вымачивания проходит темпом: через 3, 3.5, 4, 4.5, 5, 7, 8, 10, 12, 18, 24, 30, 36, 42, 48, 60, 72 и далее через 24 ч в течение 30 сут. Такие интервалы позволяют детально исследовать деление ядер эндосперма, расположение перегородок, образование вакуолей и т. п. Формирование эндосперма изучают и осматривают на продольных срезах настоящих прекиротов, толщина срезов которых составляет 10–15 мкм. Для изучения ранних стадий развития эндосперма можно использовать гентианвиолет по Ньюстону без подкраски и танин в хлорном железе—сафрагин и другие красители.

Некоторые этапы развития эндосперма можно исследовать на пленках эндосперма, извлеченных из семяпочек по жеодике, разработанной Т. Ф. Петровой (1958, 1970).

Крахмал в генеративных структурах выявляют с помощью полизиатицеских фильтров в растворе Люголя. Для обнаружения катехолов используют антикатехол синий с последующим габбодением во флуоресцентном микроскопе в 5–10%-ном растворе сахара.

Пектиновые оболочки выявляют рутедием краском. Палисане жира определяют суданом III и IV.

Для более тонкого и глубокого изучения отдельных эмбриональных процессов и структур ниже приведены подробные методики, разработанные З. В. Абрамовой, И. Н. Оравой, М. А. Вишняковой, Л. Н. Константиновой, Л. И. Орой и В. Ф. Сторожиковой (цит. по: Цитодиагностическая и цитоэмбриологическая техника..., 1982*).

Методика подсчета хромосом в пыльцевом зерне. «Хромосомы в пыльцевом зерне удобнее считать во время первого митоза. У различных растений митотические деления в пыльцевых зернах наблюдаются в разное время суток, а это зависит прежде всего от температурных факторов. Поэтому время сбора

* Приведенные в цитатах библиографические ссылки см. в указанной работе.

материнка устанавливается экспериментально для каждого объекта (известно, что при теплой погоде житоз начинается в более ранние часы и протекает активнее). Размер пыльников, и пыльцевых зернах которых можно обнаружить первый житоз, зависит от объекта исследования.

Окращивание ацетокармином. Способ приготовления препарата зависит от размеров пыльника. Крупный пыльник помещается на предметное стекло в каплю ацетокармина, у него отрезается широкий конец и содержимое шлифуется в крашителе. Ободочки пыльника удаляются, после чего каплю красителя с материалом накрывают покровным стеклом. Мелкий пыльник целиком помещается в каплю ацетокармина. Приготовленный препарат несколько раз патривается под пламенем спиртовки. При этом необходимо следить, чтобы подогреваемая жидкость не залипала. Избыток ацетокармина убирается фильтровальной бумагой после того как пыльца окрасится. Мелкие пыльники заряжаются при нагревании в красителе и легко раздавливаются при постукивании синькой по покровному стеклу. Если одного постукивания недостаточно, можно, накрыв препарат полоской фильтровальной бумаги, слегка на него надавить, не допуская при этом смятия материала.

Для более интенсивного окрашивания хромосом в пыльцевом зерне бутонов с пыльниками, находящимися в гнездовой стадии деления, лучше зафиксировать в фиксаторе Карнуа (3 : 1) или Батталья (5 : 5 : 1 : 1) и уже затем окрашивать. В стадии метафазы первого житоза после окрашивания ацетокармином ярко-красные хромосомы четко видны на фоне светло-розовой цитоплазмы (с. 16–22).

Техника исследования мейотических хромосом в микроспорогенезе культурных злаков, «Поведение хромосом в мейозе» дает возможность судить о характере конъюгации, а следовательно, степени томоцитоза хромосом исследуемых форм, о цитологической стабильности, помогает делать выводы о генетической полипloidности гамет и причинах стерильности микроспор.

Для приготовления хороших препаратов яйцетических хромосом следует выделять спороклетки материнских клеток пыльцы из покровов пыльника в каплю 45 %-ной уксусной кислоты. Удалив ободочки пыльника с предметного стекла, нужно равномерно распределить выделенные материнские клетки пыльцы, слегка размешав содержащее их тонкой претарошальной щеткой. Каплю с материалом накрыть покровным стеклом. Легкое надавливание на него делает прозрачные клетки достаточно плоскими, а хромосомные конфигурации — доступными для наблюдения в большем количестве материнских яиц пыльцы другого пыльника. Способ выдавливания содержимого пыльника описан выше.

Обработка материала. Фиксация. В районе Ленинграда материнки следует фиксировать с 8 до 10–11 ч утра, я же это, например в Дербенте, в 5–6 ч утра. Выбирают растения в фазе выхода в трубку, когда колос находятся еще глубоко в трубке. Для определения нужной стадии мейоза следует обобрать колосок из трубки и извлечь пыльник из колоска, сидящего в середине колоса. Окращивают пыльник, нагревая его 3–4 раза почти до кипения в капле ацетокармина на предметном стекле, раздавливают, предварительно накрыв его покровным стеклом, и просматривают. Обнаружив нужную стадию мейоза, в фиксирующую жидкость опускают весь колос или фиксируют только по 2–3 срединных колосков с каждой стороны колоса, аккуратно обламывая их с уступов колоскового стержня. Для более быстрого и успешного проникновения фиксирующей жидкости ости с верхними частями колосковых чешуй лучше всего срезать пожнивками. Следует иметь в виду, что в колосках, сидящих ниже и выше срединной части колоса, пыльники несколько отличают по стадиям мейоза от пыльников срединных колосков.

Обычно материал фиксируют в смеси Карнуа (3 : 1) в течение нескольких

(3–5) часов, затем переносят в 70 %-ный спирт на 1 сут, после чего помещают в новую порцию 70 %-ного спирта и оставляют в нем до момента исследования.

Окрашивание. При необходимости исследовать большое количество материала удобнее окрашивать пыльники ацетокармином. Препараторы лучшего качества получаются из материала, фиксирующего во Ньюкомере, так как три фиксатора легче добиться равномерного уплотнения препарата клетки, а следовательно, наилучшего распределения хромосомных конфигураций в метафазной пластинке.

Освобожденные от колосковых и цветочных частей зафиксированные пыльники помещают в фарфоровый тигель с кусочками канифоли ацетокармина. Тигель нагревают последовательно 5–7 раз над спиртовкой, не доводя ацето-кармин до кипения и полного испарения. Накрывают тигель часовым стеклом и оставляют в нем материал не менее чех на 1 сут при комнатной температуре. Окрашенный материал можно оставлять в тигле под часовым стеклом и течь не 2 нед. добавляя при частичном испарении несколько капель ацетокармика. Качество окраски при этом не ухудшается.

Для детального исследования конфигураций мейотических хромосом пыльники лучше окрашивать по Фёльгену. Освобожденные от колосковых и цветочных частей пыльники переносят на фиксатор в дистиллированную воду, затем их спаскаивают в 1 л. растворе соляной кислоты и помещают в 50 %-ную саличную кислоту (от прощалки) не 20 ми. для гидролиза. После этого пыльники помешают в реактив Шиффа 1–2 ч. Окрашенные хромосомы приобретают интенсивный фиолетовый цвет, а цитоплазма клетки остается бесцветной или с единичным розовым оттенком. Хромосомы кукурузы хорошо окрашиваются только по Фёльгену.

Приготовление и резервация. После окрашивания пыльников ацетокармином каждый из них пропылают на предметное стекло последовательно в 2–3 каплю 45 %-ной уксусной кислоты, отсыпав загрязненную осадком ацетокармина уксусную кислоту полоской фильтровальной бумаги.

Окрашенный по Фёльгену пыльник сразу переносят в канилю 45 %-ной уксусной кислоты на предметное стекло и выделяют материнские клетки пыльника из гнезд пыльника следующим образом: придерживая один конец пыльника пинцетом, отрезают лезвием беззубой бритвы другой его конец и проводят тонкой упругой иглой в направлении от пинцета к отрезанному концу пыльника. Чтобы распределить материнские яйцеклетки пыльца равномерно, содержащее канилю смеся размельчают иглой. Канилю закрывают покровным стеклом, на которое кладут полоску фильтровальной бумаги, и очень легко надавливают на него, не допуская скольжения покровного стекла по предметнику. Просматривают препарат. При недостаточном уплотнении яйцеклеток легкое надавливание на покровное стекло повторяют.

Для работы с временным препаратом в течение 1–2 дней можно окантовать покровное стекло расплавленным парафином. Предварительно следует тщательно удалить уксусную кислоту вокруг яйца фильтровальной бумагой, а затем, окунув конец шпателя в расплавленный парафин, легко пронести им по граниам покровного стекла. При работе с таким препаратом необходимо следить за сохранностью карафионовой окантовки.

С помощью приведенной методики, проверенной нами на роже, пшенице, пшенично-ржаных гибридах, междуцветных имфидиологах именем, тритикале и кукурузе, представляется возможным определить число бивасетов и унивалентов, тип конъюгации хромосом, число хизазу, вторичные ассоциации хромосом, число микроядер в тетрадах микроспор и другие детали микропорогенеза у культурных злаков» (с. 45–51).

Методики исследований пыльцы и пыльцевых трубок на рыльце и в пестике различных растений. «**Окрашивание пыльцевых трубок ацетокармином.** Для окрашивания используются ацетокармике, приготов-

лесной по стандартной методике, или смесь его с глицерином в равных частях. Предварительно фиксированные по Карпю или другими фиксаторами пестики помешаются в эпоксидарезину или в смесь его с глицерином и слегка подогреваются (не доводить до кипения). Время окрашивания может сильно варьировать в зависимости от объекта.

В результате мыльцевые трубы окрашиваются в красный цвет и хорошо видны на светло-розовом фоне проходящей ткани пестика.

Окрашивание хлопчатобумажным синим и нальцевых трубок волокн (Watkins, 1942). Чистые питательные по сравнению с рыльцами столбиков других растений тонкие, поэтому нет необходимости его нагревать. Растворяется 0,5 г хлопчатобумажного синего (cotton blue) в 100 см³ лактофенола (молочная кислота + фенол + глицерин + вода — все в разных количествах). Фиксированные рыльца окрашиваются на столе в растворе кристаллов. В случае нефиксации дифференцируют их в лактофеноле. Для приготовления постоянного препарата рыльца можно заложить в глицерин-желатину или, обработав спиртом и кислотой, — в бальзам.

Для сохранения препарата и течение нескольких суток края покровного стекла окантовывают расплавленным парафином.

Окрашенные в синий цвет мыльцевые трубы хорошо видны на фоне прозрачной прощающей ткани столбика. На рыльце пестика мыльцевые зерна, образовавшие мыльцевую трубку, бесцветны. Непроросшие мыльцевые зерна окрашены в синий цвет. Сосочки рыльца часто также окрашиваются.

Исследование роста мыльцевых трубок в пестиках при наблюдении в ультрафиолетовом свете. В последнее время при исследовании характера прорастания мыльцевых трубок в тканях пестика широкое применение нашел метод люминесцентной микроскопии. Он сочетает в себе быстроту приготовление препаратов с простотой исследования. С помощью люминесцентной микроскопии в довольно короткие сроки как на живом, так и на фиксированном материале можно проследить за особенностями прорастания мыльцевых трубок и возможными нарушениями их роста в случаях несовместности при скрещиваниях или самоопытности (будавидные налеты на мыльцевых трубках, их ветвление, поворот в обратную сторону и т. д.).

Метод основан на специфической способности флуорохрома анилинового синего соединяться с каллой, которая входит в оболочки мыльцевых трубок и образует каллюзные пробки.

Препараты надо наблюдать сразу после изготовления. Исследование проводится с помощью люминесцентных микроскопов МУФ-2, МУФ-3, с лампами ДРП-250 или СВЛ-120А, фильтрах УФС-3 или УФС-6, пропускающими УФлучи в области 365 нм. Можно также использовать осветитель ОИ-18 с любым микроскопом (фильтры те же).

Приготовление препаратов мыльцевых трубок альбакор в стобике после окрашивания флуорохромом и наблюдение их люминесценции в ультрафиолетовом свете (Lalcutte, 1967). Свежесобранные или фиксированные рыльца слабо загревают в лактофеноле на предметном стекле, затем несколько раз рыльца промывают дистиллированной водой (лактофенол и вода отгибаются фильтр-шилковой бумагой). После оттягивания фильтровальной бумагой последней порции воды на пестик линзкой накрывают раствором анилинового синего и закрывают покровным стеклом.

Для приготовления раствора флуорохрома используются только поддастрируемый анилиновый синий. Сначала готовится 0,05 М раствор К₂HPO₄, в котором растворяется анилиновый синий (0,1%). Первоначально раствор красителя имеет густой синий цвет. Для его подщелачивания (увеличения pH от 9 до

12) необходимо остохрять по каплю добавлять 1-2% раствор сухого калия или аммиака до получения светло-зеленого раствора.

Наблюдение рыхлых и стоминков под микроскопом может проводиться либо в растворе красителя, либо в 50%-ном растворе глицерина в воде» (с. 56, 57).

Исследование живой пыльцы злаков. «В каплю 5—10%-ного раствора сахарозы в воде на предметном стекле помещают пыльник, который разрезают лезвием биметаллической бритвы на 2 половинки. Из каждой половинки содержимое пыльника выдавливают в раствор. Стенки гнезд пыльника остаются в капле раствора, чтобы избежать раздавливания пыльцевых зерен. Каплю раствора с содержащейся в ней пыльцой закрывают покровным стеклом. Препарат исследуют под микроскопом. При увеличении объектива $\times 40$, окуляра $\times 10$ в пыльцевом зерне хорошо видны ядра с ядрышками, вакуоли и некоторые органеллы цитоплазмы. Иногда можно наблюдать движение цитосклозы. В растворе сахарозы можно наблюдать стадии развития пыльцы начиная от тетрад микроспор и весь процесс вакуолизации одноядерного пыльцевого зерна (микроспор, — Т. Б.), первый митоз, генеративную клетку и vegetативное ядро (в пыльцевом зерне, — Т. Б.). Дальнейшие фазы развития пыльцевых зерен (до и после второго митоза) на живом материале наблюдать невозможно, так как интенсивное накопление крахмала делает протопласт пыльцевого зерна непрозрачным.

В тетрадах микроспор, рассматриваемых в растворе сахарозы, хорошо видны каллозные оболочки и каллозные гребни.

Выявление каллозы анилиновым синим с последующим наблюдением под флуоресцентным микроскопом. Применительно к злакам этот способ окрашивания модифицирован Н. Д. Романовым. Им обработка оптимальная для пыльцы злаков соответствует флуорограмма.

Для исследования могут быть использованы свежие и фиксированные пыльники. Готовится 0,0025%-ный раствор водорасстворимого анилинового синего и 0,15 М раствор K_2HPO_4 (рН 8,2). Содержимое пыльника выдавливаются иглой в капли раствора на предметном стекле. Стенки пыльника удаляют. Объект закрывают покровным стеклом.

Анилиновый синий поглощает витаминный краситель и при средневизуальном значении рН является витаминным красителем. Для того чтобы проводить наблюдения продолжительное время и пыльце свое зерно при этом оставалось живым, в каплю раствора с флуорокрасителем добавляют каплю 5—10%-ного раствора сахарозы.

Наблюдение ведется под флуоресцентным микроскопом либо к общему микроскопу приставляется люминесцентный светильник ОИ-18. При наблюдении рекомендуется использовать фильтры УФС-6, пропускающие ультрафиолетовые лучи 365 нм. Анилиновый синий окрашивает каллозу и густ желтовато-зеленую флуоресценцию.

Выявление каллозы микроспор и тетрад в 5—10%-ном растворе сахарозы. Благодаря тому что показатель преломления у каллозы несколько ниже, чем у раствора сахарозы, каллозную оболочку микроспоропитов и тетрад можно наблюдать в светодиодном микроскопе. Каллозная оболочка микроспоропитов и тетрад микроспор блестит и золотится.

Пыльники кукурузы помещаются в каплю раствора сахарозы на предметном стекле. Верхушку пыльника отрезают лезвием бритвы и выдавливают тонкой иглой его содержимое. Закрывают покровным стеклом. Остатки стени пыльника лучше поставить под покровным стеклом, чтобы предотвратить раздавливание микроспоропитов и тетрад.

Присветление пыльников злаков для исследования расположения пыльцевых зерен в гнездах. Пыльники, счи-

рииши в момент цветения (содержащие зеленую пыльцу), фиксируемые или свежие, разрезаются по схеме на 2 ткани под бинокулярным микроскопом МБС-1. Половинки пыльников помещают в 5—10 %-ный раствор KOH в воде или в 5—10 %-ный раствор KOH в 70 %-ной спирте (последний обеспечивает более быстрое пропитывание).

После пропитывания половинки пыльников помещают в глицерин, разбавленный водой в отношении 1 : 1, лактифенол или 50 %-ный раствор молочной кислоты. В этих растворах материал находится и во время микроскопического исследования.

благодаря тому что щелочь, используемая для прогревания, разрушает протоплазматическую оболочку пыльника, последняя становится оптически прозрачной и через нее можно наблюдать слой пыльцевых зерен, высевающий пыльцевое гнездо изнутри. Пыльцевые зерна зажимы прикреплены к тканому и при правильном приготовлении препарата слой их не разрушается, пыльцевые зерна лежат на месте образования.

Чтобы приготовить раствор азотофенола, смешивают 20 г химически чистой кристаллической карболовой кислоты, 20 г молочной кислоты, 10 г глицерина и 20 г дистиллированной воды. Смесь сохраняют в склянке из темного стекла.

Окраска пыльцы кукурузы для подсчета фертильных и стерильных пыльцевых зерен (Cowles, 1971). 1 г пыльцы растворяют в 50 мл дистиллированной воды и кипятят 3 мин. К раствору добавляют биминоди и иодистом калии (0,3 г I₂ и 1 г KI в 100 мл воды), затем 14 мл 1 н. соляной кислоты. Раствор следует хорошо перемешать. Горячий раствор переливают в небольшую колбу, из которой его удобно брать стеклянной пипеткой. Перед приготовлением препарата раствор разогревают на водяной бане.

Пыльцу из пыльника помещают на предметное стекло, на нее насыпают каплю разогретого раствора. Пыльцу следует равномерно распределить в капле, после чего все закрыть покровным стеклом» (с. 51—64).

Окрашивание клеточных оболочек алциновым синим. «Алциновый синий относится к красителям с широким диапазоном действия. Он окрашивает кислые мукополисахариды, каллезу, клеточные оболочки, оболочку пыльцевых зерен и некоторые другие клеточные компоненты.

Механизм окрашивания алциновым синим до конца не раскрыт. Считают, что процесс взаимодействия связан с карбоксильными группами — COOH (Пирс, 1962; Колонский, 1976).

При исследовании окрашивания алциновым синим оболочек растительных клеток установлено, что окрашивающее действие красителя блокируется при воздействии пектиназой и метилированием, но восстанавливается при деметилировании. На основании этого предполагают, что окраска клеточных структур основывается на связи красителя со свободными группами галактуроновой кислоты, входящей в состав пектиновых веществ (Вельс, 1968). Кроме того, свободные карбоксильные группы имеются и в другом компоненте матрикса клеточных оболочек — гемицелюлоzoах, в состав которых входит урсусовая кислота (Гидрокуроновая и глюкуроновая) и которые также могут вступать во взаимодействие с алциновым синим.

Алциновый синий может быть рекомендован для исследований оболочек растительных клеток как самостоятельный краситель, а также в качестве подкрашивющего реагента. Хорошие результаты дает окрашивание препарата тематоксидином Эрлиха или Гайдеггера с последующей подкраской алциновым синим.

Окрашивают карафлоневые и замороженные срезы после фиксации их жидкостями Карзуа, Ньюкомера или формалиновых фиксаторов.

Среды, открытые после окраски тематоксидином, поглощают в 0,1 %-ный раствор алцинового синего в 3 %-ном растворе уксусной кислоты на 1—2 мин.

Можно производить окраску только алгиновыми синами. В этом случае пресмы избавляют от парафина, обрябатывают спиртом и водой и погружают в краситель на 1–2 часа. Затем промывают в дистиллированной воде и дифференцируют в 6 %-ном растворе спирта, промывают в водопроводной воде, обсаживают в спиртах и после обработки аспиролом заключают в бальзам. В результате клеточные оболочки окраиваются в ярко-голубой цвет (с. 85).

Фиксация и заливка пыльников растений для электронно-микроскопических наблюдений. «В настоящее время наиболее распространенный метод сохранения тканей для исследования — в электронном микроскопе — метод двойной фиксации, т. е. фиксации в глютаральдегиде с последующей дофиксацией в четырехокиси осмия. Этот метод сочетает в себе преимущества обоих фиксаторов. При такой фиксации сохраняется структура органелл ткани плаэмы и наибольшее полно сохраняются химические компоненты, чем при фиксации только четырехокисью осмия. Дополнительная фиксация тканей в четырехокиси осмия стабилизирует некоторые лейтальные линзы и большую часть фосфорилидов.

Перед фиксацией с помощью светооптического микроскопа определяют фазу развития пыльников. Для этого из каждого бутоника вынимают пыльник как часть его и окрашивают в ацетокармине. Установив фазу развития на одном пыльнике, оставшиеся фиксируют 2,5 %-ным смесевым криогуашенным раствором глютаральдегида на 0,1 М фосфатном буфере (рН 7,1–7,3) при комнатной температуре в течение 1,5–3 ч или оставляют в холодильнике при 4 °C на ночь (16 ч). Зафиксированный материал промывают охлажденным до 4 °C 0,1 М фосфатным буфером (рН 7,1–7,3) не менее 3 раз, держа по 1 ч в каждой смеси или оставляют в 3-й смеси на ночь при 4 °C. Затем пыльники дофиксированы 2 %-ным раствором четырехокиси осмия, кристаллизованной на том же буфере, что и фиксатор, при 4 °C от 4 до 16 ч. После дофиксации материал промывают охлажденным 0,1 М фосфатным буфером или повторяют сразу в 30 %-ный этап при 4 °C на 10 мин. Обезвоживание происходит сначала в спиртах возрастющей концентрации, затем в смеси спирта с ацетоном и в абсолютном ацетоне в следующем порядке: 50 %-ный спирт — 15 мин, 70 %-ный — 15 мин, 85 %-ный — 15 мин, 96 %-ный — 15 мин, 100 %-ный спирт — 30 мин, смесь абсолютного спирта и абсолютного ацетона (3 : 1) — 30 мин, 1 : 1 — 30 мин, 1 : 3 — 30 мин, абсолютный ацетон первый раз — 1 ч, второй раз — 1 ч.

До 96 %-ного спирта обезвоживание проводят при 4 °C в холодильнике, даже если обработка проходит при комнатной температуре.

Если в процессе фиксации материал требует дополнительного контрастирования, то его окрашивают 2 %-ным раствором уранилацетата в 70 %-ном спирте в течение 3–16 ч при 4 °C.

Обезвоженный материал помещают в смесь абсолютного ацетона и эпоксидных смол (эпика или аралдит) на ночь (16 ч) в термостат при 37 °C. Затем добавляют ошунь часть смолы и оставляют при той же температуре на 6 ч. После этого на ночь оставляют пыльники с материалом без пробок, и смола добавляют ошунь часть смолы и оставляют в термостате при 37 °C на 4 ч или при комнатной температуре на ночь.

Далее материал заливают в свежую смолу (эпик или аралдит) в желатиновые капсулы или в яичные яй-пол таблеток. Прогревка и полимеризация проводятся в термостате при температуре 37 °C 1 сут., затем при 60 °C еще 1 сут.

Этот шаг заливки готовят по прописи Уилки (1975)» (с. 88, 89).

Сходным образом фиксируют материал для изучения завязи, семипочки, зародышевых почек, зародыша и эндоцерма.

Приготовление препаратов целых зародышевых мешков пшеницы, ржи и тритикале. «Методики, включающие макерацию тканей семипочек. Эти способы основаны на разрушении оболочек клеток фермен-

ткань целлюлозой, пектиновой, а также комплексом ферментов иммуноглобулиновых желез проградицей улитки, условно называемым цитазой.

Материяль тканей семяпочек применяется в исследовании излов как с мелкими, так и с крупными семяпочками. Если работают с яйцами, содержащими большое количество сраинительно мягких семяпочек (например, виды семейства *Solanaceae*, *Roraceae*, *Asteraceae* и др.), целесообразно материализовать ткани семяпочек и приготовить их суспензию, состоящую из сократических клеток и зародышевые мешки. С покорюю центрифугирования из суспензии выделяются наиболее тяжелая фракция, содержащая зародышевые мешки.

Этот метод разработан на кафедре генетики и цитологии Саратовского университета и с успехом применяется в других лабораториях.

Метод С. С. Хохлова, М. И. Зайцевой и Н. Г. Куприяновой. Зафиксированые ацеталкоголем (1:3) яйца помещают в насыщенный раствор дигутилксилового эфира, затем обмакивают их дистиллированной водой. Препаровальной иглой семяпочки отделяют от плаценты под лупой и опускают в пробирки с цитазой. Объем жидкости должен превышать объем семяпочек не менее чем в 2 раза. Пробирки, плотно закрытые резиновыми пробками, ставят в штатив, закрепленный на оси электромотора. Вращение пробирок происходит так, что жидкость с материалом перемещается вдоль пробирки. Оптическое число оборотов электромотора 10—20 в 1 мин. Материяль тканей семяпочек наступает через 24 ч. Цитаза отделяется после 3-минутного центрифугирования (5000 об./мин). Материал промывают, истрихивают осадок, в дистиллированной воде и снова центрифугируют. В тех же пробирках суспензию клеток прогревают квасцами в течение 3 мин, обмакивают дистиллированной водой и окрашивают в азотокармин. Каждая операция сопровождается центрифугированием и удалением надосадочной жидкости. Время окрашивания в азотокармине устанавливается эмпирически. В пробирку с окрашившимся материалом добавляют несколько капель смеси ледяной уксусной кислоты и глицерина (1:1). Суспензию материала в смеси ледяной уксусной кислоты и глицерина помешают пипеткой на предметное стекло и накрывают покровным, кисуя временем прокаррат. Среди клеток, расположенных в один слой, встречаются зародышевые мешки.

Метод М. И. Салиевой и В. П. Левковского. После академической ферментативной кальциации (Хохлов и др., 1978) проводится хранение каждой семяпочки в отдельности. Эта методика пригодна для видов со сравнительно крупными семяпочками, например для ложных злаков.

Материяль данных злаков фиксируют по Чемберлену (сплав фиксирующей жидкости см. на с. 89). Материал через 1 сут после фиксации переворачивают в 70 %-ный этиловый спирт или оставляют в фиксаторе, где он может находиться 1—3 мес. Ферментативной обработке предшествует окрашивание материала по Фельтену. Для этого зафиксированные колоски промывают дистиллированной водой 4—5 ч. Гидроэзки проводят в 3 этапах: в 1 н. HCl — 1.5 ч, в 5 н. HCl — 1.5 ч, в 1 н. HCl — 1 ч. В реакцию Шиффа материал выдерживают в холодильнике 16—17 ч. После окрашивания его промывают в 3 порциях сернистой воды по 30 мин в каждой порции. Затем промывают водопроводной водой в течение 3 ч и подкращивают цитоплазму клеток гематоксилином Эрлиха (1.5 ч). Далее следует прокывка дистиллированной водой 1—2 ч.

Заряды натягивают на колосковых и цветочных чешуй и помещают в цитазу, где оставляют их на ночь (17—18 ч) при комнатной температуре. Зародышевые жгутики выпадают, оставляя их острыми припаянными иглами на покровах семяпочки.

Данный метод позволяет приготавливать и постоянные титальные препараты зародышевых мешков. Для этого высушенные зародышевые мешки переносят при помощи капилляра на влажную фильтровальную бумагу, находящуюся на

предметном стекле. Обезвоживание зародышевых мешков проводят в спиртах возрастающей концентрации: 50 %-ный, 70-, 96- и 100 %-ный. Капли спирта наносятся на зародышевый мешок и затем оттикается фильтровальной бумагой. Таким же образом спирт меняют на кислоту. В каждой из этих жидкостей зародышевые мешки выдерживают по 10 мин.

Далее зародышевые мешки сбирают с фильтровальной бумаги тупой прокрашивальной иглой с каплей более густого, чем обычный, канадского бальзама на конце и переносят на чистое предметное стекло с новой каплей канадского бальзама обычной консистенции. Материал закрывают покровным стеклом. Препаратор сушит в термостате при температуре 1 сут.

Для материации тканей семяпочки можно использовать и другие приемы. Так, П. Г. Кукриников (Хохлов и др., 1978) предлагает применять для этой цели ряд процедур, включающий нагревание материала в 4 %-ном растворе железоаммонийных квасцов до 70 °C, выдерживание при этой температуре в течение 15 мин, промывку материала в 2 порциях дистиллированной воды при той же температуре, охлаждение во второй из них до комнатной температуры, обработку в 75 %-ном растворе (от продажной) соляной кислоты в течение 1 ч и центрифугу и несколькоих порций дистиллированной воды при комнатной температуре в течение 6 ч.

Методы выделения зародышевых жгущих без макерации и тканей семяпочки. Способ извлечения эндоспермальной пленки нескольких видов липовых и пленки разработали Т. Ф. Петрова (1970), отмечая, что извлечение удается лучше, если материал фиксируется жидкостями, содержащими формалин.

М. Д. Беннет с соавторами (Bennet et al., 1975), исследуя зародышевые жгушки культурных злаков (ашешка, рожь, ячмень, тритикале), вычленяли их после фиксации материала этилкетоном (1 : 3). Авторы отметили, что лишь некоторые зародышевые мешки удавалось извлечь целиком. Они обрезали семяпочки по Фельгену, оставляя материал в растворе Шиффа в течение 2 ч (с предварительным горячим гидролизом в течение 12 мин.), прокартировали семяпочки под сухой, затем подкрайнивали зародышевые жгушки уксусным или сморгоневым карбонатом. Наблюдения вели га временных препаратах.

Следует заметить, что фактором, вызывающим частичное разрушение зародышевых мешков, здесь мог быть горячий гидролиз.

Учитывая опыт предыдущих исследователей, мы разработали следующие методы приготовления препаратов зародышевых мешков культурных злаков (ашешки, ржи, критецкое).

1. Колбасы фиксируют по Чемберлену и оставляют в фиксирующей жидкости на 1–3 сут. Далее материал переводят в 70 %-ный этиловый спирт. Перед окрашиванием по Фельгену зиязги освобождают и промывают в дистиллированной воде 17–18 ч (в течение 12 ч). Для гидролиза материал оставляют в 1 л. HCl на 1,5 ч, затем в 5 л. HCl на 2 ч и снова в 1 л. HCl 1 ч. После этого зиязги оставляют в реактиве Шиффа на 17–18 ч в холодильнике. Вычленение проводят в капле смеси глицерина с водой (1 : 1) на микроскопе МБС-1 при низком освещении объекта в увеличении 12,5×2. Для этого очень тонкими препаратировальными иглами, заточенными химическим способом (Ярошевская, 1978), раздвигают оканчие тканей стенок зиязги, а затем в ткань семяпочки от интраплазматической стороны и удаляют их. Зародышевый чехлик заметен на фоне выращенных соматических клеток благодаря интенсивной окраске антиподольного комплекса. Вычищенный зародышевый мешок подкрашивают в ацетокармине, предварительно убрав с предметного стекла кликерин фильтровальной бумагой, не задев зародышевый мешок, насколько это возможно сделать. Зародышевый мешок оставляют в капле ацетокармина 2–3 мин, удаляют ацетокармин фильтровальной бумагой и наносят на зародышевый мешок каплю раствора Гейера (Freytag, 1961) (способ его приготовления см. ниже), который

частично дифференцирует препарат, просвечивает его и является хрестом заливающей средой. Такой препарат, подобный Ганцеру или Желатиновому, может храниться несколько лет.

II. Материал, зафиксированный по Чемберлесу, хранят в фиксаторе или 70 %-ном этиловом спирте. Вынимают зародышевые мешки до окрашивания завязей. Делают это в какие фиксирующей жидкости или спирта. Выделенные зародышевые мешки скрепляют пропионовых гематоксилином по Хендерсону и Лу (Hendersen, Lu, 1968), используя первый из 4 предложенных авторами способов, т. е. окраивая объект смесью растворов А и В гематоксилина и железосакминальных квасцов (рецепты их см. ниже). Смесь готова к употреблению не ранее чем через 1 сут (*). Окрашивание происходит очень быстро. В случаях микрокраинизации применяют дифференциацию 0,5 %-ной раствором железосакминальных квасцов в 50 %-ной пропионовой кислоте. Добавившись хорошего окрашивания, оттягивают жидкости и заносят на зародышевый мешок каплю раствора Гойера. Объект покрывают покровным стеклом.

С помощью разработанного нами метода удается высекать зародышевые мешки пшеницы, ржи и тритикале начиная с 2-ядерной стадии (длина такого объекта 0,1 мм) до 7 сут и более после оплодотворения (длина такого зародышевого мешка около 1 мм). Зародышевые мешки на всех фазах развития удается высекать цельными: в отдельных случаях теряются одна или несколько ямки.

Рецепты реагентов.

Фиксатор Чемберлена состоит из 90 частей 50 %-ного этилового спирта, 5 частей формалина (продолженного) и 5 частей ледяной уксусной кислоты.

Раствор Гойера: подогревают 10 см³ дистиллированной воды (до кипения не доводить), в неё растворяют 6 г химически чистого гуммиаребика, 32 г глицерина и 40 г хлоралгидрата; среда сразу же готова к употреблению.

Пропионовый гематоксилин состоит из 2 %-ного гематоксилина в 50 %-ной пропионовой кислоте 1 : 1 (раствор А).

Железосакминальные квасцы приготовлены растворяя 1 г железосакминальных квасцов в 200 мл 50 %-ной пропионовой кислоты (раствор В).

Ацетосакмили: для приготовления маскующего раствора Кармина в 45 %-ной уксусной кислоте следует взять 1—2 г кармина на каждые 100 мл 45 %-ной уксусной кислоты и виноград в течение 3—4 ч в колбе с обратными холодильниками; раствор профильтровать горячим.

Гематоксилин Эрлиха: 2 г гематоксилина растворяют в 100 мл 96 %-ного спирта, добавляют 10 мл уксусной кислоты, 100 мл глицерина, 100 мл дистиллированной воды и 3 г азотиновых квасцов; оставляют на свету, пока смесь не станет темно-красной, затем сохраняют краситель в хордце закупоренное теплой посуде в темном месте.

Реактив Шиффа: 1 г основного фуксина для фуксин-серигистой кислоты растворяют в 200 мл кипящей воды, охлаждают до 50 °С и прибавляют 20 мл 1 н. HCl; охлаждают до 25 °С и крибаивают 1 г сухого метабисульфита натрия ($\text{Na}_2\text{S}_2\text{O}_5$) или бисульфита натрия (NaHSO_3), затем першипают в колбу с хорошо кристаллизованной пробкой, плотно закрывают и хранят в темноте; через несколько часов раствор начнет обесцвечиваться, и через 24 ч станет бесцветным или слабо-желтым. Только в таком виде он готов к употреблению; хранить краситель следует в темном месте при температуре 0—4 °С.

Сернокислая вода: к 200 мл проточной воды прибавляют 10 мл 10 %-ного раствора метабисульфита натрия и 10 мл 1 н. HCl; в работе используют только свежеприготовленный раствор.

1 н. HCl: 8,3 мл концентрированной HCl разбавляют до 100 мл дистиллированной водой.

Способ химической заточки препаровальных ножей. Принимая за основу способ, описанный А. С. Ярошевской (1978), мы рекомендуем, прежде чем приступить к заточке, заменить толстые иглы в лабораторных

препаровальных иглах самыми тонкими швейными иглами. Для этого керн пластыря держатся нагревается над спиртовкой и из него вынимается пластина и сразу вставляется тонкой иглой. Нагретая пластина обжимается пинцетом, а затем педыциами.

Для химической заточки в короткую пробирку, закрепленную в липативе над спиртовкой, наливают 3—5 мл концентрированной язотной кислоты и нагревают ее до кипения. Работы проводят в вытяжном шкафу. Заскив держатель иглы дгигирическим пинцетом, спускают острое ее 50—70 раз в кипящую кислоту, не дотрагиваясь кончиком до дна пробирки. При этом поверхность иглы покрывается слоем цинковой чешуи с цианом. На удалении, опускают иглу 2—3 раза в пробирку с концентрированной соляной кислотой компанией температуры. Поверхность иглы становится гладкой и блестящей. Кончики приточенных таким способом игл в несколько раз тоньше концов швейных игл, что необходимо для таких манипуляций, как выделение зародышевых мешков» (с. 68—74).

2. МЕТОД ДОЛГОВРЕМЕННОГО ХРАНЕНИЯ ПЫЛЬЦЫ

Для хранения пыльцы при сверхнизкой температуре ($-195,8^{\circ}\text{C}$) используют жидкий азот, который наполняют термосы различных систем; для длительного хранения используют емкость Дьюара.

Пыльцу, предназначенную для длительного хранения, собирают в исход во время массового цветения растений, вытряхивая ее из щитников, или в лаборатории споровидных колесцев или жгутиков. В последнем случае под споры с водой, в которой ложатся срезанные соцветия, подкладывают лист глянцевой бумаги и регулярно, через 10—15 мин, собирают свежую пыльцу. Пыльцу необходимо тщательно очистить от остатков стекок щитников и поместить в полистироловые или полизэтиленовые пробирки объемом 3—5 мл, которые следует плотно закрыть пробками. Чтобы пробки при погружении в жидкую азот не высаждали пыльцу, их следует заклеить липкой лентой или завязать ниткой. После этого пробирки немедленно погружают в жидкий азот, пакетный в бисерной термосе. Быстрое погружение позволяет избежать кристаллизации воды в циклогазме пыльцевого зерна. В термосе пыльцу доставляют в лабораторию и помещают в сосуд Дьюара. В жидким азоте пыльца может храниться долго — от нескольких дней до 1 года и более без потери жизнеспособности.

Существенное условие сохранения жизнеспособности пыльцы — методика ее разграждения. Пробирки с пыльцой по мере надобности вынимают из сосуда Дьюара и в термосе с жидким азотом доставляют в исход или в теплицу. Перед опылением предварительно кастрюлеванных щитков пробирку с пыльцой вынимают из жидкого азота и для быстрого размораживания немедленно погружают на 1—2 мин в теплую воду ($30—37^{\circ}\text{C}$). При таких условиях сбора, хранения и размораживания пыльца остается жизнеспособной и обеспечивает нормальное, довольно высокое завязывание семян.

Длительное хранение пыльцы при сверхнизкой температуре дает возможность скрещивать разновременно цветущие растения, пересыпать пыльцу в другие научно-исследовательские учреждения, проводить опыление растений в осенне-зимний период в фитогорне в теплице, что способствует интенсификации селекционного процесса (Абрамова, Есимбасова, 1973).

3. МЕТОД ОПРЕДЕЛЕНИЯ ЖИЗНЕСОСТОЙКОСТИ ПЫЛЬЦЫ ПО ПРОРАСТАНИЮ ЕЕ НА РЫЛЬЦЕ ПЕСТИКА

Метод особенно удобен для работы с теми растениями, у которых рыльце состоит из малого числа слоев прозрачных клеток, как например у япенец, ржи, ячменя и других культур.

Пыльцой изучаемого растения опыляют рыльца 5—10 вполне жизнеспособных пестиков. Через 20—30 мин после опыления (опылять можно свежесобранные соцветия и цветки, оставшиеся в воду) рыльца пестиков пыльцой или покрытыми с острыми концами осторожно отрезают и переносят в каплю ацетона или на предметное стекло.

Приправильной иглой осторожно расправили рыльце пестика в ацетоне, покрывают покровным стеклом и рассматривают под микроскопом. Затем подсчитывают число пыльцевых зерен, образовавших на рыльце пестика длинные пыльцевые трубки, зерен с короткими пыльцевыми трубками, а также зерен, не проросших и лопнувших. Подсчитывают на рыльцах не менее 5 пестиков (Абрамова, Кащинский, 1968).

Различные методы позволяют более детально познакомиться со строением генеративных структур (рис. 127).

ЛІТЕРАТУРА*

- Краснова З. В., Венябисов Е. М. Метод для определения хроматичности пшеницы. — Селекция и сорняки. — 1970, № 3, с. 72.
- Краснова З. В., Карлинский О. А. Руководство к практическим занятиям по генетике. Л., 1968. 191 с.
- Краснова Л. Н., Орлов Л. Н., Орлова Н. Н. Цитогенетические методики для селекционно-генетической практики. Л., 1971. 24 с.
- Краснова Л. Н., Борисов И. И., Васильева М. А. и др. Методические указания по цитогенетической и цитохромогенетической технике. Л., 1981. 116 с.
- Лапшин Н. А. Флора растений зарыбленных местностей в водоемах пшеницы, рожи и тритикале. — Тр. по практи. ботан. генет. и селекции, 1960, т. 74, с. 21—24.
- Александров В. Г. История развития и корфологии зарыбленных зерновых злаков типа ячменевых. — Собр. бота. изв., 1953, № 4, с. 24—35.
- Александров В. Г. Об организации цветка злаков трибы ячменевых. — В кн.: Вопросы генетики зарыбленных культур. М., 1955, т. III, с. 139—149.
- Александров В. Г., Александрова О. Г. Об анатомических притягивающих приспособлениях цветка и пыльника зарыбленных зерновых. — Тр. по практи. ботан. генет. и селекции, 1936, т. 2, с. 25—42.
- Лапшин В. Ф., Мордкович С. С., Сабадко Л. Г. Типичные нарушения развития мужского генератива у пшеницы. — Физиология и биохимия зерна растений, 1978, т. 10, вып. 6, с. 451—456.
- Бончуков В. Н. Цитогенетика стадийных типов пшеницы. I. Выбраконес при сортировании пшеницы рожи и ячменя. — Зерн. ботаника, 1963, т. 20, № 1, с. 3—15.
- Бончуков В. Н. Выбор температуры на развитие азотфиксированной ткани у зерна. — В кн.: Удобрение растений. М., 1961, ч. 1, с. 198—200.
- Биталь Н. Ф. Система надежности в отборе новых сортов растений. — В кн.: Системы надежности алгоритмов. Киев, 1977, с. 136—141.
- Биталь Н. Ф., Кудерская Ф. М., Поттерсон М. А. Особое облучение вегетирующих растений и перспективы использования его в селекционстве и генетике. М., 1976. 72 с.
- Биталь Н. Ф. О состоянии потовых элементов в процессе спонтанного обрачения у зерна. — В кн.: Генетика ячменя. Всесоюз. конф. с-ва: Тез. докт. (Ленинград, май 1957). М.; Л., 1957. вып. 8, с. 45—46.
- Биталь Н. Ф. Минерализация и развитие пыльцевого зерна у пшеницы. — Докт. АН СССР, 1962, с. 142, № 6, с. 1205—1208.
- Биталь Н. Ф. Проблема гибридогенеза у пшеницы. — Тр. Всесоюз. ин-та / АН СССР. Сер. VII, 1962, вып. 5, с. 201—205.
- Биталь Н. Ф. Процесс оплодотворения при гибридизации и роде *Triticum* L. — Бот. журн., 1946, т. 31, № 10, с. 1461—1479.
- Биталь Н. Ф. Синантезис в роде *Triticum* L. (о связи с вопросами однодомистости и стадийной гибридизации у злаков). — Бот. журн., 1944, т. 30, № 4, с. 480—490.
- Биталь Н. Ф. О поискености штаммов нового типа гибридогенеза. Агробиология. — Докт. АН СССР, 1968, с. 186, № 6, с. 1488—1492.
- Биталь Н. Ф. Барыгина Г. В. On the possibility of separation of a new type of embryogenesis in *Aegilops* — Rev. rech. et biol. vég., 1969, t. 22, N 3—4, p. 235—241.
- Биталь Н. Ф. Барыгина Г. В. Some peculiar features of microsporogenesis and development of the female gametophyte in wheat. — Ann. Univ. of AGRAR, 1971, t. 9, p. 46—60.
- Биталь Н. Ф. Эмбриогенез пшеницы. II. — 1974. 206 с.
- Биталь Н. Ф. О некоторых закономерностях формирования при регенерации растений из уточ — В кн.: Редкая науч. конф. «Вопросы вопросы регенерации растений». Махачкала, 1979, с. 13—14.

* Список литературы приводится в сокращенном виде.

- (Батырева Т. Б.) *Bulygina T. B. Embryology of wheat.* — Proc. Indian Natl. Sci. Acad. Pt. 1978b, vol. 44, p. 13—29.
- (Батырева Т. Б.) *Bulygina T. B. Embryological processes at Cisalai hybridization in Gramineae family.* — Proc. Indian Natl. Sci. Acad. B, 1978b, vol. 44, p. 30—42.
- Батырева Т. Б. Системный подход к приближене дифференциации зародыша покрытосеменных растений. — В кн.: Тез. докл. VIII Всесоюз. конф. по эмбриол. растений (12—13 октября 1982 г.).: Проблемы генетогенеза, оплодотворения и эмбриогенеза. Таджик., 1983а, с. 25—26.
- Батырева Т. Б. Практические аспекты эмбриологии. — В кн.: Тез. докл. VII съезда слепых Всесоюз. биол. с-ва. Л., 1983б, с. 260—267.
- (Батырева Т. Б.) *Bulygina T. B. Applied aspects of embryology.* — In: Proc. 8th Int. Symp. Sex Transf. in Seed Plants. Fertile and sterile. Wageningen, 1983, p. 185—190.
- Батырева Т. Б., Ашмарин Г. К. Гистогенез плацента у пшеницы. — В кн.: IV съезд эмбриологов: Тез. докл. по эмбриогенезу растений. М.: ИЛ, 1963, с. 6.
- Батырева Т. Б., Бутенко Р. Г. Морфогенетические закономерности зародышей покрытосеменных растений (на примере рода *Rosaceae* L., Rosaceae). — Ботан. журн., 1981, т. 66, № 11, с. 1531—1546.
- (Батырева Т. Б., Васильева Р. Е.) *Bulygina T. B., Vasileva R. E. Experimental study of embryo differentiation in angiosperms.* — Acta Soc. bot., 1981, vol. 60, N 1—2, p. 257—263.
- Батырева Т. Б., Васильева Р. Е. Системный подход к приближене дифференциации зародыша покрытосеменных. — Октябрьск., 1983а, с. 14, № 3, с. 304—311.
- Батырева Т. Б., Васильева В. Е. Активность зародыша как этап явления макроизменений онтогенеза. — В кн.: Тез. докл. VIII Всесоюз. конф. по эмбриол. растений (12—13 октября 1982 г.). Проблемы генетогенеза, оплодотворения и эмбриогенеза. Таджик., 1983б, с. 37—38.
- (Батырева Т. Б., Васильева Р. Е.) *Bulygina T. B., Vasileva R. E. System of reproduction of Orchids and some other examples of Dactylorhiza maculata L.* Sovj. — In: Proc. 8th Int. symposium. Symp. fertilization and embryogenesis in eudicots plants. High Tatras, June 14—17, 1982. Bratislava, 1983b, p. 27—33.
- Батырева Т. Б., Васильева В. Е., Коробова С. Н. Появление плацентных трубок при биотех- и генетических гибридизациях. — Докл. АН СССР, 1981, т. 268, № 6, с. 1482—1485.
- Батырева Т. Б., Милетьевская Т. Е. К эмбриологии рода *Rosa* L. — В кн.: Актуальные вопросы эмбриологии покрытосеменных растений. Л., 1979, с. 89—95.
- Батырева Т. Б., Милетьевская Т. Е., Васильева В. Е. Проблемы морфогенеза *in vivo* и *in vitro*. — Ботан. журн., 1978, т. 63, № 1, с. 87—111.
- Батырева Т. Б., Герасим. С. А., Амелько Г. К., Жуков М. С. Генетика мужских спарантиев Стамбульской и Риссарабес. — Ботан. журн., 1966а, т. 48, № 8, с. 1108—1120.
- Батырева Т. Б., Троицкая Е. А., Асмолов Г. К. Некоторые данные о развитии мужского спарантия пшеницы при отсутствии бора. — Ботан. журн., 1966, т. 51, № 12, с. 1751—1754.
- Батырева Т. Б., Фролова Т. Е. Постэмбриония у *Fragaria ananassa* (Розовые). — Ботан. журн., 1979, т. 64, № 6, с. 792—804.
- Бурен Л. М. Родоптие алигатора растений и их продуктивность. Л., 1984. 260 с.
- Бутенко Р. Г. Экспериментальный морфогенез и дифференциация в культуре растений. М., 1975. 16 с. (Типографские факты, Т. 30).
- Бутенко Р. Г. Использование культуры пшеницы в сельскохозяйственной науке и практике. — С.-х. книжка. 1979, т. 14, № 3, с. 306—316.
- Будилов Н. Н. Гибрид обильнозернистый пшеницы *Triticum vulgare* Vill. с однозернистой *T. turgidum* L. — Тр. бюро по селекции, 1913, т. 6, № 1, с. 1—19.
- Будилов Н. Н. Значение генетической и генетической гибридизации в селекции и хибридизации. — Изв. АН СССР. Сер. биол., 1954, № 3, с. 543—613.
- Вызолова В. Е., Батырева Т. Б. Культивирование и цитогенетика геномного лотоса, выделенного из разных стадий развития. — Физиология растений, 1981, т. 28, № 2, с. 315—327.
- Временные методические указания по технологиям селекционного процесса с использованием теплицы, климатических камер, камер пневматической температурой и другого вегетационного оборудования в целях сокращения сроков выведения новых сортов риса. Краснодар, 1979. 39 с.
- Гайдуков Ю. Н. Структура и развитие яичек фасоли. I. Стадии и механизмы. — Ботан. журн., 1981, т. 66, № 6, с. 1061—1098.
- Гайдуков в селекции. М., 1976. 221 с.
- Гореликова-Папашова Е. Н. Плодообразование первого, генетика и генетический процесс у покрытосеменных. — Гр. ботан. ин-та АН СССР. Сер. III, 1951, вып. 2, с. 294—316.
- Гореликова-Папашова Е. Н., Батырева Т. Б. О ходе спонтанной гибридизации яиц при оплодотворении у яицок. — Докл. АН СССР, 1973, т. 204, № 1, с. 223.
- Гладышев Г. Н. Справительное цитогенетическое исследование макроизогенеза и разви-тия мужского гаметофита пшеницы, ячменя и пшеницы выведенных гибридов. Автореф. дис. ... канд. биол. наук. Саратовск., 1967. 18 с.
- Годубовская И. В. Генетический контроль инициоза: Автореф. дис. ... докт. биол. наук. Пушкин бирск, 1983. 32 с.
- Годубовская И. В., Шишкова Н. В. Контроль формирования и функции цитогенетического аппарата. — Цитогенетика и генетика, 1981, т. 15, № 1, с. 77—87.
- Гурик А. П. Цитогенетические аспекты. — Изв. Типографии с.-х. акад., 1953, вып. 1, с. 39—54.

- Долгов Э. И., Болычев Т. Б. Автоматность зародышей риса. — В кн.: Тез. докт. VIII Всесоюз. конф. по избранным разделам «Проблемы генетики, генотипирования и гибридизации», 12–15 октября 1962 г. Ташкент, 1963, с. 1–172.
- Долбыш И. Д. О видении растений в стадиях развития из химических позиций. — Докл. АН СССР, 1959, т. 70, № 6, с. 1073–1056.
- Донников Н. Ф., Еланкина Г. Н. Анализ ultraструктурных различий ядрышек. — Тверь, 1960, 455 с.
- Долыч Л. Н. Опыт экспериментального изучения искусственных мутаций у яровицы путем реагирования колпачка засосьев. — Тр. Всесоюз. съезда РС Генет., селекции, генотипирования и гибридизации, 1960, т. 2, с. 35–41.
- Долыч Л. Н. Чувствительность различных фаз яровых и мятых к гомогенпротеину изодилическим. — Тр. Института химии Национального научно-исследовательского института генетики и наследственности (биологические науки). М., 1960, с. 101–123.
- Джексон Б. А. Патогенетическая систематика. М., 1965. 377 с.
- Джексон-Хьюитон О. А. Оплодотворение при гибридизации гибридов видов рода Стебель. — Бот. журн., 1967, т. 62, № 6, с. 759–771.
- Дородилов В. Ф. Новые ботанические формы зерновых пшениц. — С.-х. биология, 1968, т. 3, № 3, с. 345–349.
- Дородилов В. Ф. Пестлицы Закавказья. — Тр. института ботаники, генетики и селекции, 1972, т. 47, вып. 3, с. 1–22.
- Дородилов В. Ф., Кирюшин А. А. Потребность в боре яровой пшеницы в КЧРФ в селекционе. — Земледелие, пищев. промысл. Бакал. и.и., 1960, № 1, с. 129–131.
- Дубинин И. М. Культурные растения и их бородавки. Л., 1971. 760 с.
- Дубинин А. А., Король А. Б. Рекомбинация в эволюции и селекции. М., 1965. 460 с.
- Дубинин А. Б. Засухоустойчивость зерновых злаков в различных фазах их развития. Свердловск, 1948. 128 с.
- Дубинин А. Б. Роды. М., 1961. 302 с.
- Дубинин А. Б. К гигиеническому аспекту зерновок пшеницы и ее гибридов. — Изв. АН СССР. Сер. биол., 1965, № 6, с. 818–838.
- Дубинин А. Б., Дубинина С. Ф., Наполеонова В. Д., Шаренов А. М. Использование гибридов для интенсификации процесса излучения складчатого катерина в селекции пшениц. — Докл. НАУКНИИГ. 1963, № 7, с. 9–11.
- Дубинин А. Б. Развитие зародыша и засасывания у пшеницы, консистенция бобов и редиса. — Тр. Института гигиенической химии СО ССР. Сер. VII, 1967, вып. 4, с. 211–269.
- Дубинин Г. В. Отдаленные и близкие связи в ее эволюционной истории. — Бакал. 1969. 161 с.
- Дубинин Г. В. Избранные труды. М., 1971. 304 с.
- Дубинин А. Б. Особенности анатомии форм пшеницы, обладающих антигигиенической мужской стерильностью. — В кн.: Вопросы антигигиологии. Л., 1969, с. 27–28.
- Дубинин А. Б. Электронно-микроскопическое биохимическое исследование генетических признаков яровых пшениц сортов: ... Автореф. дис. ... канд. биол. наук. Краснодар, 1985. 19 с.
- Дубинин А. Б., Коричко Е. В., Чабордя А. А. Ультраструктура пшеницы Новобели. — Ученые С.-х. института агробиологической науки: особенности дифференциации глянца. — Физиология растений, 1977, т. 24, вып. 4, с. 751–757.
- Дубинин А. Б., Коричко Е. В., Чабордя А. А. Плодогендер зерновок яровой пшеницы в селекционном Бордиге. — Ученые С.-х. института агробиологической науки: ... Физиология растений, 1978, т. 25, вып. 1, с. 113–119.
- Дубинин А. Б. Роды: генетические и поэтические. М., 1982. 272 с.
- Дубинин А. Б., Недюкс Г. М., Сидоренко Л. Г. Структурно-функциональные характеристики растительной клетки в процессах дифференциации и десифференциации. — Краснодар, 1980. 113 с.
- Дубинин С. Н. Формирование зернового гигиенического определителя, развитие зародыша и засасывания кукурузы. — В кн.: Культурные формы СССР. М., 1962, с. 151–176.
- Дубинин С. Н. О влиянии гонитической землеройки зерновок на формирование урожая пшеницы. — Докл. АН СССР, 1954, т. 97, № 6, с. 1061–1084.
- Дубинин В. А. Физиология яровой пшеницы. М., 1990. 206 с.
- Дубинин Ф. М. Морфофункциональные растений. М., 1977. 256 с.
- Дубинин И. М. Электронное микроскопическое изучение процесса микропоглощения у ячменя Hordeum distichus L. — Автореф. дис. ... канд. биол. наук. М., 1978. 23 с.
- Дубинин И. Н. Достижение совершенства в селекции высокопродуктивных сортов овощной пшеницы. — В кн.: Итоги и перспективы развития генетической науки в СССР. М., 1969, с. 63–76.
- Дубинин С. Ф. Роль этиотипа роста в развитии землеройки зародышей ячменя. — Наук. журн. физ. Всесоюз. сельско-хозяйств. ин-та, 1982, вып. 4 (46), с. 44–47.
- Дубинин С. Ф. Разработка приборов на видео для изучения гигиенических явлений и практике: Автореф. дис. ... канд. биол. наук. М., 1983. 18 с.
- Дубинин С. Ф., Наштина С. А. Методы культуры тканей и органов в селекции растений. Одесса, 1980. 21 с.
- Дубинин И. Н. Некоторые вопросы антигигиологии определителей у злаков. — Селекция и семеноводство, 1950, № 9, с. 11–23.
- Дубинин В. Ф. Влияние температуры и шажности, влаги на образование фертильной пыльцы, ultraструктурные пшеницами и зернотычинками в гибридах, обладающих антигигиенической

- тподвійством. — В кн.: Отдаленное гибридизование в семействе злаковых. М., 1965, с. 155—180.
- Макарова Л. Эндокриология покрытосеменных. М., 1964, 440 с.
- Макаров И. А. Цитогенетические и цитохимические различия зерновых гибридов у разных по генотипу форм ржи. — Укр. ботан. журн., 1968, т. 25, № 2, с. 78—90.
- Марковская Е. С., Окунько Н. Ф., Хубрак М. И. и др. Цитозимбриология основных злобивых зерновых. Кийв, 1958, 236 с.
- Морфологія і фізіологія: морфізація, анатомія і лімбріолотія / Під ред. К. Н. Міфера. М., 1962, 286 с.
- Мішанчук А. М., Чуботарєв А. А., Років. Кіївськ., 1966, 192 с.
- Місюків М. С. Методична література з гібридизації для селекційних цілей. М., 1964, 363 с.
- Петкевич З. Д. Вивчення стерильності у мушках стертильних форм жуків з цитогенетичної підстави. — Інформ. бібліографія з цитогенетики та мікробіології, 1968, к. 5, № 4, с. 62—63.
- Попков В. А. Показання устойчивости растений к сплощению и интенсивности цвета в кризисной период. — Зап. Дендрар. с.-х. инст., 1969, вып. 9, с. 5—16.
- Попков В. А. Потребность пропаганды науки о цвете и форме в разные стадии развития. — В кн.: Медиаузовское съездование по гибридизації в зонах ССР. М., 1957, с. 38—59.
- Посуточний А. Н. Пісочниця: Ботаніка. М., 1965, 568 с.
- Осередникова В. Ф. Структура таємливих підвидів пшениців *Triticum aestivum*. Секція генетич. Агенція наук. — Тр. по прикл. ботан., генет. і селекції, 1977, т. 60, вып. 2, с. 99—121.
- Осередникова В. Ф. Структурно-функциональні особливості клітини (цитотула) сільськогосподарських рослин I. — Тр. по прикл. ботан., генет. і селекції, 1980, т. 67, вып. 3, с. 150—153.
- Осередникова В. Ф. Субмікрометрические изменения тканевого пыльника ржи *Triticum aestivum* в онтогенезе. — Тр. по прикл. ботан., генет. і селекції, 1983, т. 74, вып. 2, с. 27—32.
- Осадчук В. Ф., Ахматова М. Н. Планы различных условий пропаганды и селекции на земледельческом производстве у пшеницы. — В кн.: Морфосинез растений. М., 1961, т. 2, с. 223—231.
- Орлік Л. Н. Цитогенетика земляничної стерильності кукурудзи і інших культур. Гродненск, Л., 1972, 48 с.
- Ораско Н. Н. Цитогенетическое исследование гексаплоидных Trileteae: Автореф. дис. ... канд. биол. наук. Л., 1972, 21 с.
- Ораско Н. Н., Аверьянова Н. А. Развитие мукунистрической сферы у пшеницы. рожи и тритикале. — Тр. по прикл. ботан., генет. і селекції, 1960, в. 24, с. 6—15.
- Ораско Н. Н., Аверьянова Н. А. Применение препаратов цитина избирательных методов гибридизации и тритикале: Методические указания. Л., 1968. (в печати).
- Петров Г. Я., Борисова Е. А. Аномалии в развитии мужской генеративной сферы у *Triticum* L. — В кн.: Развитие мужской генеративной сферы растений (морфологічні чорні аспекти). Співредкол., 1983а, к. 60—67.
- Петров Г. Я., Борисова Е. А. Микроспорогенез и развитие мужского гаметофиита у тритикале *T. Coss.* — В кн.: Программа повышения уровня яйцеклеток и качества семян зерновых культур. Пермь, 1980, с. 95—104.
- Петров Е. А. Развитие зародышевого мужского интегрального пшеницы. — В кн.: Отдаленное гибридизование в семействах злаковых. М., 1968, с. 115—129.
- Петров Е. Р. Влияние окружности корневой системы на формирование колоса пшеницы. — В кн.: Морфосинез растений. М., 1961, т. 1, с. 142—145.
- Петров Е. Ф. Метод присоединения потенциальных вибрисометрических препаратов яйдосфер. — Ботан. журн., 1970, т. 55, № 11, с. 1602—1605.
- Петро Ф. Г. Гігантські мікрофілами. М., 1962, 202 с.
- Піоробікова-Армандій Н. А. Використання зібрисометрії для генетики і політики. — Тезис. Гд. докт. сілв., 1961, вып. 44, с. 32—38.
- Піоробікова-Армандій Н. А. Цитозимбріологія покритосеменных растений. М., 1970, 508 с.
- Піоробікова-Армандій Н. А., Цимрук Н. В., Малюхін М. А. Микроспорогенез в склерофілу у дигонійній і тетраплонійній сільській ржи Білоруської. — В кн.: Стадіальні гібридизації і погінськість. М., 1970, с. 177—187.
- Пономарев А. Н. Цистогенез і оплоднення злаків. — Чист. зоог. Перм. гос. ун-т., 1964, т. 18, с. 115—129.
- Прасолова М. Н. Ботаническая микробиология. М., 1968, 296 с.
- Протасевич Р. Г. Морфологічно-анатомічні особливості растень з мужською стерильністю. — Наук. та техніка, 1984, с. 126.
- Репінкою С. А. Цитогенетика фізіологічно розвиваючихся пшениць. М., 1984, 273 с.
- Рогізька І. В., Ораско Н. Н. Пшенично-ржавільні мікробіології. Л., 1977, 279 с.
- Розєєвна Р. Ю. Злаки. М., 1957, 638 с.
- Романюк Н. Д. Особливості розвитку пыльці злаків і залежність їх для некодонів генетичного походження. — Генетика, 1971а, т. 5, № 10, с. 11—26.
- Романюк Н. Д. Розвиток пыльці пшениці по набору хромосом на живому матеріалі. — Вісн. Біології рослин рослинництва, 1966, чис. 16, с. 38—46.
- Романюк Н. Д. Мікробіологічна техніка. М., 1954, 350 с.
- Савченко М. К., Петрово Є. Р. Морфологія конлюкантів пшениці (Hordeum vulgare L.) і особливості їх розвитку. — Техн. журнал., 1963, т. 48, № 11, с. 1623—1628.

- Соколова Б. Р., Белых В. Е., Сергеев Л. В. Биохимические особенности листьев овсяной культуры с цитокининовой стерильностью. — Тр. ботанического института АН СССР, 1968, т. 2, № 3, с. 22—23.
- Сорокин М. К. Развитие зерновых злаков: генетика и экология при изменении температуры. Автореф. дис. ... канд. биол. наук. Л., 1961. 15 с.
- Сорокин М. К. Цитокининогенные исследования злаковых культур. — П. вкл. Матер. Всесоюз. симпозиума по чирбингам и растений. Киев, 1968, с. 204—207.
- Сорокин М. К. Физиологическая ultraструктура тканевых клеток НМС. — Формы кукурузы и их физиологические закономерности. — Цитология и генетика, т. 14, № 5, 1960, с. 36—42.
- Система наследственности клеток. Киев, 1977. 168 с.
- Соколов Ф. Д. Влияние избыточного увлажнения почвы на развитие в различные периоды их развития. — Физиология растений, 1960а, т. 7, вып. 3, с. 269—275.
- Соколов Ф. Д. Влияние избыточного избытка питательных веществ на устойчивость хлебных злаков к водостою почвы в почве в различные периоды их развития. — В кн.: Физиология устойчивости растений. М., 1960б, с. 402—405.
- Сорокин М. К. Изучение цитокининовой стерильности у пшеницы. — В кн.: Гетерозис в растениеводстве. Л., 1968, с. 60—80.
- Сорокин М. К. Изучение цитокининовой стерильности у пшеницы. — В кн.: Гетерозис в растениеводстве. Л., 1968, с. 60—80.
- Станник К. Б. Изменение в структуре узловых пропил гигиеници и изменения в зависимости от условий кишаринового питания. — Докл. ВАСХНИЦ, 1959, вып. 13, с. 32—37.
- Толстиков А. Д. Пропихивание макроэпидемией. М., 1961. 133 с.
- (Ботаническая А. Л.) Толстиков А. Л. Outline of the classification of flowering plants (Magnoliophyta). — Biol. rev., 1960, vol. 46, N 3, p. 359.
- Томаш В. П. Образование зерновок. М., 1977. 507 с.
- Трофимов Е. А., Вышеславко Г. Б. Влияние избытка бора на формирование проростковых и генеративных органов пшеницы. — Тр. Ботан. ин-та / АН СССР. Сер. IV, 1970, вып. 20, с. 22—38.
- Трофимов А. М. Яровые (зимовки, классификация, следование). Л., 1972. 295 с.
- Трофимов А. Морфология и генетика. М., 1964. 262 с.
- Удинон Ф., Филиппов И. Росс растений и дифференцировка. М., 1964. 512 с.
- Устапава Е. Н. Р. изучение злаковой стерильности у кукурузы. — Докл. АН СССР, 1959, т. 127, № 3, с. 681—692.
- Федорец Л. Г. Биение суховек из развивающихся яицек в зерновках пшеницы. — В кн.: биология пшеничного зерна у растений. М., 1961, с. 100—105.
- Фургал О. Н. Амброзия и А. А. Ильинь Б. К., Доронинова Т. В. Агрономические краеведческие пробы зерна пшеницы и ячменя. — Тезис. АПК СССР. Сер. биол., 1962, № 6, с. 16—19.
- Хаджимов М. Н. Генетические основы антиспиральнойной культурой стерильности. — В кн.: Генетика. Теория и практика. Л., 1968, с. 23—46.
- Ходаков О. А. Процесс зернового заготовления в ячмене (*Hordeum vulgare* L.). — Укр. ботан. журн., 1969, т. 26, № 5, с. 120—121.
- Худак М. И. Энзимные показатели генетических растений. Киев, 1963. 120 с.
- Худак М. И. Цитокининогенные и цитокининовые исследования процесса оплодотворения у пшеницы и ржи. — Цитология, 1961, т. 3, с. 189—196.
- Хансен Д. А. Семя: его развитие и физиологические свойства. М., 1958. 280 с.
- Наглядность и цитосубстратные техники (для исследования культуральных растений): Методические указания. Л., 1962. 120 с.
- Хитрович и элементы лаборатории. М., 1975. 452 с.
- Шагинян Забирягашевские и макро-биохимические основы определение и оплодотворение растений. Краснодар, 1962. 266 с.
- Чижик Н. Д. Отдаленная гибридизация растений. М., 1964. 432 с.
- Чубаков М. А., Бугаева Р. Р., Красавина О. Н., Кафедра Б. И., Акимови Н. Н. Технология яиц и генетика пшеницы рожьи. М., 1962. 90 с.
- Чубаков А. А. Эффекты гибридизации кукурузы. Книжник, 1972. 58 с.
- Чумак В. Р. Биология цветения и цитогенетическое исследование родов *Triticum* L.: Автореф. дис. ... канд. биол. наук. Книжник, 1969. 19 с.
- Шульгин М. Н. Мицеллы В. А. Мицеллы и сельском хозяйстве. М.; В., 1957. 291 с.
- Шмидт И. Г. Ультраструктурные изучение эндосперма *Triticum aestivum* L. на стадии клеточно-образования. — Вкл. Научно-технический бюллетень, 1962, № 118, с. 24—25.
- Шмидт И. Г. Ультраструктурные изучение начальных этапов развития эндосперма *Triticum aestivum* L. — Тр. по пром. ботаник., генет. и селекции, 1965а, т. 74, с. 15—21.
- Шмидт И. Г. Ультраструктурные агрегативные ядра эндосперма пшеницы *Triticum aestivum*. — Биол. Всесоюз. ин-та растениеводства, 1965б, вып. 134, с. 19—21.
- Энгу Е. Агресивные зерновых растений. М., 1966. 558 с.
- Яблоне М. С. Морфологические типы зерновица и филогения злаков. — Докл. АН АриССР, 1948, т. 8, № 3, с. 132—134.

- Яковлев М. С. Структура зигоморфии и зародыша злаков как систематический признак. — Тр. Ботан. ин-та АН СССР. Сер. VII, 1960, вып. 1, с. 121—218.
- Яковлев М. С., Спирлер Л. Л. Влияние ростовых веществ на образование гигантозидызмного зародыша у пшеницы. — Извест. академии, 1964, т. 20, № 2, с. 187—194.
- Яковлевская А. С. Исследование онтогенеза зародыша с помощью сканирующего электронного микроскопа. — Вестн. МГУ. Сер. 16, Биология, 1978, № 1, с. 40—44.
- Arber A. The Gramineae: a study of grasses, bamboos and grasses. Cambridge, 1934. 480 p.
- Avery G. S., Jr. Comparative anatomy and morphology of embryo and seedlings of maize, oats and wheat. — Biol. Gaz., 1930, vol. 99, N 1, p. 1—39.
- Banerjee U. C. Ultrastructure of the tapetal membranes in grasses. — Orlaya palynol. 1967, vol. 7, N 2/3, p. 366—377.
- Barnard G. Histogenesis of the inflorescence and flower of *Triticum aestivum* L. — Austral. J. Bot., 1954, vol. 3, N 4, p. 1—20.
- Batyrynskij D. Problems of morphogenesis in situ, in vivo and in vitro. — In: Proc. Int. Symp. Plant tissue and cell culture application to crop improvement, Olomouc, Czechoslovakia, 24—29 September 1964. Olomouc, 1964, p. 268.
- Bennet M. D., Ross M. K., Smith G. B., Baileya M. W. Cell development in the anther, the ovule and the young seed of *Triticum aestivum* L. var chinensis spring. — Phil. Trans. Roy. Soc. London B, 1973, vol. 266, p. 39—48.
- Bennet M. D., Smith J. B., Barcroft J. Early seed development in the Gramineae. — Phil. Trans. Roy. Soc. London B, 1976, vol. 272, N 96, p. 109.
- Bennet O. T. The development of the wheat spike. — J. Agr. Res., 1926, vol. 32, N 6, p. 445—451.
- Breibreiter J. L., Macumber S. K. Cultural studies of the polyploid population effect and the self-incompatibility inhibition. — Amer. J. Bot., 1961, vol. 48, N 6, p. 457—464.
- Brown W. The grass embryo — a rebuttal. — Phytotaxonomy, 1965, vol. 15, N 3, p. 271—284.
- Battrose M. S. Submicroscopic development and structure of starch granules in cereal endosperm. — J. Ultrastruct. Res., 1960, vol. 4, N 3—4, p. 281—297.
- Battrose M. S. Ultrastructure of the developing wheat endosperm. — Austral. J. Biol. Sci., 1968, vol. 16, N 3, p. 305—317.
- Battrose M. S. Ultrastructure of the developing aleurone cells of wheat grain. — Austral. J. Biol. Sci., 1968b, vol. 16, N 4, p. 768—774.
- Battrose M. S. Ultrastructure of barley aleurone cells as shown by freeze etching. — Planta, 1971, vol. 96, N 1, p. 13—20.
- Campbell W. P., Lee J. W., O'Brien T. P., Smart M. G. Endosperm morphology and protein body formation in developing wheat grain. — Austral. J. Plant Physiol., 1981, vol. 8, N 1, p. 5—19.
- Carriére K. Das Antherentapetum von *Zea mays*. — Österreich. bot. Z., 1951, Bd. 108, N 1, p. 85—96.
- Cass D. D. Structural relationships among central cell and egg apparatus cells of barley as related to transmission to male gametes. — Acta Soc. bot. pol., 1981, vol. 60, N 1—2, p. 177—180.
- Cass D. D., Jensen W. A. Fertilization in barley. — Amer. J. Bot., 1976, vol. 63, p. 82—90.
- Cass D. D., Petley D. J., Robertson R. L. Aspects of megasporogenesis in *Hordeum vulgare*. — In: Abstr. 8th Int. Symp. Sex. Reprod. in Seed Plants, Ferns and Mosses. Wageningen, 1974, p. 19.
- Chandra K. Morphological studies in the Gramineae. III. On the nature of the gynoecium in the Gramineae. — J. Indian Bot. Soc., 1963, vol. 42, N 2, p. 252—259.
- Diboll A. G. Fine structural development of the megasporophyte of *Zea mays* following fertilization. — Amer. J. Bot., 1968, vol. 55, N 7, p. 897—906.
- Diboll A. G., Larson D. A. An electron microscope study of the mature megasporophyte in *Zea mays*. — Amer. J. Bot., 1968, vol. 55, N 4, p. 391—402.
- Drehouský G. Beiträge zur Morphologie und Entwicklungsgeschichte der Pollenkörner. — Österreich. bot. Z., 1966, Bd. 115, S. 241.
- Eames A. J. Morphology of the angiosperms. New York, 1961. 518 p.
- Ferguson J. B. Cytoplasmic male sterility. — Bot. Rev., 1971, vol. 36, p. 241.
- Embryology of Angiosperms. Berlin, 1981, t. 26, 830 p.
- Evera A. D. Development of the endosperm of wheat. — Ann. Bot., 1970, vol. 34, N 136, p. 547—566.
- Experimental embryology of vascular plants / Ed. B. M. Johri. Berlin etc., 1982. 272 p.
- Filcher R. G. Observations on the electron layer with emphasis on wheat. — Ph. D. diss., Monash Univ., Clayton, Victoria, Australia, 1972.
- Franke W. W., Herath W., Woude W. J. van der, Moore D. J. Tubular and filamentous structures in pollen tubes: possible involvement of glial elements in protoplasmic streaming and vectorial migration of secretory vesicles. — Planta, 1972, vol. 105, N 4, p. 317—341.
- Fukazawa H. Biochemical mechanism of pollen abortion and other alterations in cytoplasmic male-sterile wheat. — Rep. Kikihara Inst. Biol. Res., 1962, vol. 13, p. 107—111.
- Gulinski S. J. Ein Beitrag zur Entwicklungs geschichte des Androeceums und des Gynoeciums der Gräser. — Bot. Centralbl., 1893, Bd. 55, N 5—6, S. 129—135.
- Guignard J. L. Recherches sur l'embryogenie des Graminees: rapports des Graminees avec les autres Monoacetylcladones. — Ann. sci. naturel. Bot., 1951, t. 2, p. 491—610.

- Guigourd J. L. Les cotylédons des Monocotylédones. — Bull. Mus. nat. hist. naturel., 1984, N 1, p. 19—27.
- Guigourd J. L., Mezire J. C. L'embryon des Graminées. Phyletmorphology, 1971, t. 20, N 2, p. 190—197.
- Gunwara P. E. S., Price J. S. Transfer cells. — In: Dynamic aspects of plant ultrastructure. London, 1974, p. 441—481.
- Hagenauer R., Schneider M. B. New results on plastid content of generative and sperm cells of cereals. — In: Abstr. 8th Int. Symp. Sex. Reprod. in Seed Plants, Ferns and Mosses. Wegenstorf, 1984, p. 29.
- Herczeg H., Hartl Baude F. Embryologische und histologische Studien an einkaryotischen Dicotylen. II. *Pinguicula vulgaris* L. und *P. alpina* L. — Öster. Bot. Z., 1957, Bd. 106, N 5, S. 567—587.
- Herczeg-Borsig F. Pollen embryogenesis: a model for plant morphogenesis. — In: Proc. Int. Symp. Plant tissue and cell culture application to crop improvement. 24—29 September 1984. Olomouc, 1984, p. 267—298.
- He Döggengärg, Oettinger Jansen. Response of wheat anthers at different developmental stages to in vitro culture. — Ann. Rep. Inst. Genet. Acad. Sci., 1982, p. 29.
- Hegelmaier F. Zur Entwicklungsgeschichte monocotyledonarum Körnernebnet Beobachtungen über Bildung des Samendeckels. — Bot. Z., 1874, S. 39—44.
- Held A., Majorkiewicz M. Rozwój i wyzrodnienie aparatu antyprzelotowego u *Triticum durum* Desf. i *Triticum vulgare* Vill. — Acta Soc. bot. pol., 1984, vol. 11, n. 3, p. 603—609.
- Heslop-Harrison J. Cell walls, cell membranes and protoplasmic connections during anthesis and pollen development. — In: Pollen physiology and fertilization. Amsterdam, 1966, p. 39—47.
- Heslop-Harrison Y., Heslop-Harrison J., Reger B. J. The pollen-stigma interaction in the grasses. I. Pollen-tube guidance and the regulation of tube number in *Zea mays* L. — Acta bot. neer., 1985, vol. 24, N 2, p. 193—211.
- Hu R. M., Jenkins E. Mings-Barley. — Plant Sci., 1980, vol. 60, N 1, p. 279—289.
- Hu S. Y., Zhu C., Xu L. Y. Ultrastructure of male gametophyte in wheat. 2. Formation and development of sperm cell. — Acta bot. sinica, 1981, vol. 23, p. 65—91.
- Jacques-Fabre H. Les Monocotylédones n'ont pas de cotylédon. — Bull. Mus. nat. hist. naturel., 1982, Adautsonia, N 4 (1—2), p. 3—40.
- Jensen S. J. Monoploid production by chromosome elimination. — In: Applied and found. asp. of plant cell tissue and organ culture. Berlin etc., 1977, p. 299—339.
- Jones R. J. The fine structure of barley aleurone cells. — Planta, 1969, vol. 86, N 4, p. 359—375.
- Karlaftis G., Cass D. B. Ultrastructural aspects of sperm cell formation in rye: Evidence for the cell plate involvement in generative cell division. — Phyletmorphology, 1976, vol. 26, p. 36—45.
- Kihara H., Horii T. The behavior of nuclei in germinating pollen grains of wheat, rice and maize. — Züchter, 1966, Bd. 36, S. 145.
- Kihara H., Matsuyama J. Different compatibility in reciprocal crosses of *Avena* with special reference to tetraploid hybrids between hexaploid and diploid species. — Jap. J. Bot., 1932, vol. 6, N 2, p. 245—265.
- Kluwen J. J., Hill R. D. Comparison of starch from tritcale and its parental species. — Cereal Chem., 1971, vol. 48, N 6, p. 647—654.
- Kocot E., Mszyczko S., Sowa W. The ultrastructure of seed endosperm storage proteins in several botanical forms of wheat (Triticum). — Bull. Acad. pol. sci. Sér. sci. biol., 1978, vol. 26, N 12, p. 839—841.
- Koeder K. V. A stain for pollen sterility determination. — Nijsze genetyczne kongresy, 1971, N 45, p. 132.
- Krause F. J. Entwicklungsgeschichte der Frühblüte von Hordeum, *Triticum*, *Bromus* und *Poa*. — Jahrb. Wiss. Bot., 1933, Bd. 77, N 3, S. 733—809.
- Lewings C. S., Pring D. R. Molecular basis of cytoplasmic male sterility of maize. — In: Physiological Genetics / Ed. Scandalee J. C. New York, 1979, vol. 5, p. 171.
- Lewis D. Incompatibility in flowering plants. — Biol. Rev., 1960, vol. 24, N 4, p. 472—491.
- Metherell P. An introduction to the embryology of angiosperms. New York, 1954, 453 p.
- Moxon D. J., Norstog K., Stone B. A. Early stages in the development of wheat endosperm. I. The change from free-nuclear to cellular endosperm. — Austral. J. Bot., 1975, vol. 23, N 2, p. 311—326.
- Moxon D. J., Stone B. A., Jeffery C., Norstog K. Early stages in the development of wheat endosperm. II. Ultrastructural observations on cell wall formation. — Austral. J. Bot., 1977, vol. 25, N 6, p. 589—612.
- McCull M. A. Development, anatomy and homologies in wheat. — J. Agric. Res., 1934, vol. 48, N 4, p. 289—321.
- Merry J. Studies on the embryo of *Hordeum sativum*. I. The development of the embryo. — Bull. Barley Bot. Club, 1941, vol. 68, p. 365—368.
- Moxon D. J., Norstog K., Stone B. A. Early stages in development of wheat endosperm. I. The change from free-nuclear to cellular endosperm. — Austral. J. Bot., 1975, vol. 23, N 2, p. 311—326.
- Rogers D. G., Stone B. A., Jeffery C., Norstog K. Early stages in development of wheat endosperm. II. Ultrastructural observation of cell wall formation. — Austral. J. Bot., 1977, vol. 25, N 6, p. 587—612.
- Mühln J. J., Staggs P. R. The synthesis of proteins in normal and high lysine barley seeds. — In: Cereals / Eds. Lundström D., Wynn Jones R. G. London, 1979, p. 28—29.

- Mogensen H. L. Double fertilization in barley and the cytological explanation for haploid embryo formation, embryoless caryopses and ovule abortion. — *Carlsberg Res. Commun.*, 1982, vol. 47, p. 313—354.
- Mogensen H. L., Maxine Lovell Rusche. Quantitative ultrastructural analysis of barley spores. I. Cytotoxic and mechanism of cytoplasm and organelle reduction and the question of sperm diapsis. — *Protoplasma*, 1985, vol. 128, p. 1—13.
- Morrison J. W. Fertilization and postfertilization development in wheat. — *Can. J. Bot.*, 1955, vol. 33, N 2, p. 168—176.
- Morrison J. N., O'Brien T. P. Biochemistry and fine structure of developing wheat aleurone cells. — *Planta*, 1975, vol. 122, N 2, p. 101—116.
- Morrison J. N., O'Brien T. P. Cytokinesis in developing wheat grain: Division with and without a tracheoplast. — *Planta*, 1976, vol. 130, N 1, p. 57—67.
- Morton R. K., Racine C. K., Samselton J. R. Enzymes and ribonucleic acid associated with the incorporation of actin into proteins of wheat endosperm. — *Biochem. J.*, 1964, vol. 91, N 3, p. 389—396.
- Muszyński S., Karim J., Durlewska M., Grzmedka M. The ultrastructure of endosperm in rye (Secale cereale L.) as revealed by scanning electron microscopy. — *Thill. Arch. pol. sci. Ser. sci. bio.*, 1976, vol. 24, N 6, p. 449—460.
- Norstog K. Early development of the barley embryo: fine structure. — *Amer. J. Bot.*, 1972, vol. 59, N 2, p. 123—132.
- Norstog K. Nutritive during early embryogenesis in barley: fine structure. — *Bot. Gaz.*, 1974, vol. 135, p. 97—103.
- Pankow D., Gaffenberg H. Studien über die Anlagerung der Achselknospen und Blattprimordien bei Gramineen. — *Planta*, 1960, Bd. 52, N 6, S. 629—643.
- Parker M. L. Protein body inclusions in developing wheat endosperm. — *Aust. Bot.*, 1980, vol. 16, N 1, p. 29—36.
- Parker M. L. The structure of mature rye endosperm. — *Aust. Bot.*, 1981, vol. 17, N 2, p. 181—186.
- Perceval J. The wheat plant. London, 1921. 403 p.
- Pernot J. C. Nucleus bodies of seeds: ultrastructure, biochemistry, biosynthesis and degradation. — *Phytochemistry*, 1978, vol. 17, N 9, p. 1473—1480.
- Pope M. The time factor in pollen tube growth and fertilisation in barley. — *J. Agr. Res.*, 1937, vol. 54, p. 525—529.
- Raghavan V. Experimental embryogenesis in vascular plants. London etc., 1970. 603 p.
- Rudolph E. F. Developmental morphology of the caryopsis in maize. — *J. Agr. Res.*, 1936, vol. 53, N 12, p. 881—916.
- Reeder J. The embryo in grass systematics. — *Amer. J. Bot.*, 1957, vol. 44, p. 756—768.
- Roth J. Histogenese und Entwicklungsgeschichte des *Triticum*-Embryos. — *Flora*, 1957, Bd. 144, N 2, S. 163—213.
- Roth J. Histogenisis and morphological interpretation of the grass embryo. — In: Recent advances in biology. Montreal, 1961, p. 96—99.
- Russell S. O. Fine structure of megasporophyte development in Zea mays. — *Can. J. Bot.*, 1975, vol. 53, N 10, p. 1093—1110.
- Sargent E., Arber A. The comparative morphology of the embryo and seedling in the Gramineae. — *Ann. Bot.*, 1915, vol. 29, p. 161—222.
- Sax K. Behavior of the chromosomes in fertilization. — *Genetics*, 1918, vol. 3, p. 309—327.
- Schel J. B. H., Kiff H., Lammeren A. A. M. van. Interactions between embryo and endosperm during early developmental stages of maize caryopses (*Zea mays*). — *Can. J. Bot.*, 1954, vol. 62, N 12, p. 2842—2853.
- Schreier M. B. The ultrastructure of sperm cell in Trifoliate. — In: Fertilization and embryogenesis in eudicots plants. Bratislava, 1983, p. 101—104.
- Schoof A. Embryologie der Angiospermen. Berlin, 1927—1929. 684 S.
- Shah C. K. Green embryo—a SEM and histochemical survey. — 10: Abstr. Eth. Int. Symp. Sex. Reprod. in Seed Plants, Fruits and Noses, Wageningen, 1984, p. 52.
- Simpson E., Snape J. W. The use of doubled haploids in a winter barley programme. — In: Proc. Fourth Int. Barley Genetics Symp. Edinburgh, 1984, p. 22—29.
- Soukup R. L'origine du grain vegetatif de la tige et le question de la clorofyllinité du cendysku des Monocotylédones. — *Ann. sci. naturel. Bot.*, 1954, t. 15, p. 1—30.
- Sukhomanglam N. C., Kasha K. J. Selective chromosome elimination during haploid formation in barley following interspecific hybridization. — *Chromosoma*, 1973, vol. 42, p. 111—125.
- Swamy B. G. L. The embryo of monocotyledons: a working hypothesis from a new approach. — In: Plant embryology. New Delhi, 1962, p. 113—123.
- Thompson W. P., Cameron D. R. Chromosome numbers in functioning germ cells of species hybrids in wheat. — *Genetics*, 1929, vol. 13, p. 456—469.
- Thigpen R. V. *non*. Observations anatomiques sur le cendysku des Graminoes. — *Ann. sci. naturel. Bot.*, 1973, t. 15, p. 237—276.
- Tyrnow V. S., Sukhomanglam N. C. The problem of endogenesis in vitro genetic control. — In: Int. symp. Plant tissue and cell culture application in crop improvement. Olomouc, 1984, p. 38.
- Velenovsky J. Vergleichende Morphologie der Pflanzen. Prague, 1907. S. 279—721.
- Watkins A. E. Genetic and cytological studies in wheat. — *J. Genet.*, 1927, vol. 18, N 3, p. 307—325.
- Zampolski G. Wheat—Wallerstein Lab. Commun., 1967, vol. 2B, p. 343—358.
- Zhang Z. P. Ultrastructure of the early endosperm in Zea mays with cytoplasmic male sterility (CMS). — In: Abstr. 8th Int. Symp. Sex. Reprod. in Seed Plants, Fruits and Noses. Wageningen, 1984, p. 29.

ОГЛАВЛЕНИЕ

	Стр.
I ВВЕДЕНИЕ	5
INTRODUCTION	9
II ЦВЕТОК ЗЛАКОВ	13
III РАЗВИТИЕ ЭМБРИОПИКИ	14
1. Формирование стелки пыльника	14
2. Микроспорогенез	16
3. Развитие пыльцевого зерна	18
4. Гаметогенез	20
IV РАЗВИТИЕ ЗАВЯЗИ, СЕМЕНЬЮРКИ И ЗАРОДЫШЕВЫГО МЯШКА	21
1. Завязь	21
2. Семянка	22
3. Мегаспорогенез	24
4. Развитие зародышевого мяшка	25
V РАЗВИТИЕ И ОПЛОДОНОВЛЕНИЕ	29
VI РАЗВИТИЕ ЗАРОДЫША	33
1. Гипотекомерияция	33
2. Органогенез	34
VII РАЗВИТИЕ ЭНДОСИСИМА	36
VIII СОЛЯРНОСТЬ ОРГАНООБРАЗОВАТЕЛЬНЫХ ПРОЦЕССОВ И ОПТОГЕНЕЗ	45
IX ЭМБРИОЛОГИЧЕСКИЕ ПРОЦЕССЫ ПРИ ОТДАЛЬНОЙ ГИБРИДИЗАЦИИ	49
1. Некоторые аспекты эмбриобиологии гибридов	52
X НАРУЖНЫЕ ПРОЦЕССЫ ФОРМИРОВАНИЯ РЕПРОДУКТИВНЫХ ОРГАНОВ В РЕЗУЛЬТАТЕ ВОЗДЕЙСТВИЯ НЕКОТОРЫХ ФАКТОРОВ	56
1. Каплюстка почты и влагуха	56
2. Температура почты и влагухи	58
3. Интенсивность освещения	58
4. Элементы генеративного питания	58
XI ГИТОПЛАЗМАТИЧЕСКАЯ МУЖСКАЯ СТЕРИЛЬНОСТЬ	61
XII ПРИКЛАДНЫЕ АСПЕКТЫ ЭМБРИОЛОГИИ	62
1. Необходимые методы и подходы в селекции, терминология	62
2. Искусственное размножение завязей (эмбриональный)	63
3. Генетическая гибридизация для получения гибридных растений	68
4. Цитогенетика в промышленных условиях и в культуре in vitro	75
5. Биотехнология мяса	76
XIII МЕТОДИЧЕСКИЕ УКАЗАНИЯ	77
1. Некоторые особенности методики эмбриологического исследование злаковых	77
2. Метод длительного хранения пыльцы	91
3. Метод определения жизнеспособности пыльцы до прорастания ее на различной почве	99
ЛИТЕРАТУРА	99
	101



J



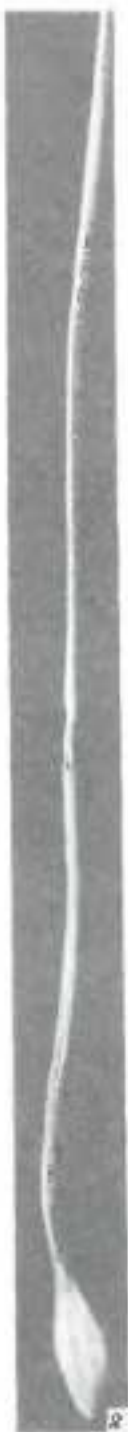
1



3

Рис. 1. Некоторые виды злаков: пшеницы (1 — справа налево: *Triticum aestivum* L., мягкая бескостяя, *T. dicoccum* (Schnell.) Schneid., *T. dicoccum* Desf. (2 колоса), *T. aestivum*, Obstinate); ячмень (2 — *Hordeum vulgare* L. (*H. vulgare* subsp. *distichon* (L.) Keng.)) и формы тритикала (3 — АД СОИ-3-10, 3¹ — АД Накаткиевы).

1 — колос (сигнатива), 2 — колосок, 3 — пшено.



2



3



4

FIG. 1. (*Oryzopsis millegrana*).

B

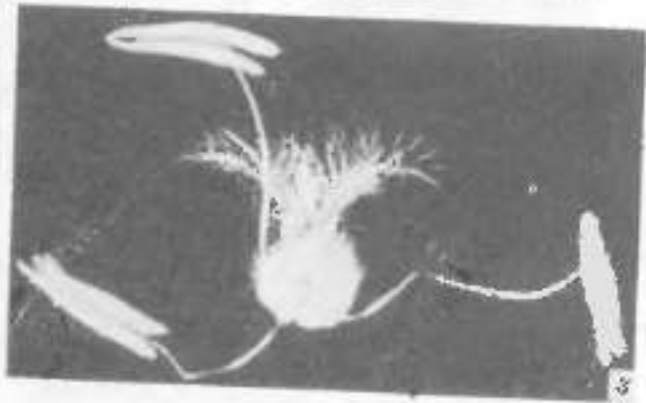


FIG. 1 (*Apodinocoma*).



FIG. 1 (epichlorophyllin).

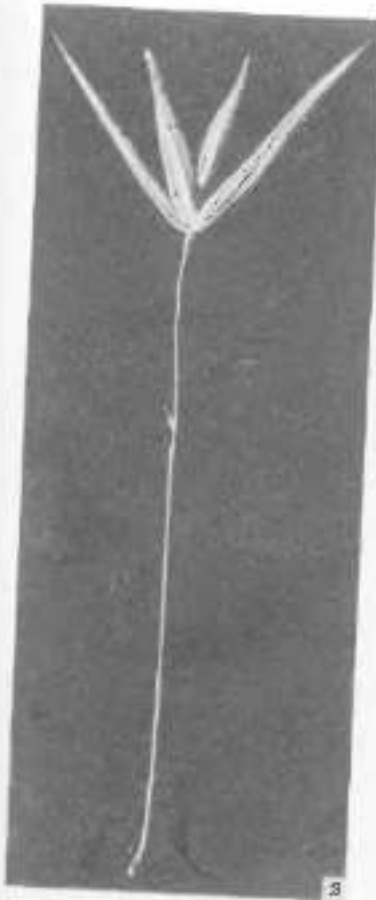


Рис. 2. Некоторые части раст. (A — *Secale cereale* L.), овса (B — *Avena sativa* L.) и пшеницы (C — *Triticum vulgare* L.).

1 — колосок; 2 — чешуя (заслонка); 3 — колосок и 2 — чешуя; 4 — 5 — устьица зерна; 6 — 7 — устьица зерна; 8 — пыльцевые шаржи, спускающиеся из верхнего щитка; 9 — устьица с тончайшими листами и 10 — мелкие волоски. (С Гильде, 1929).



FIG. 2. (*Oryzopsis secunda*)



Pl. 2 (hypothecatum).



FIG. 2. (*Impedimenta*).

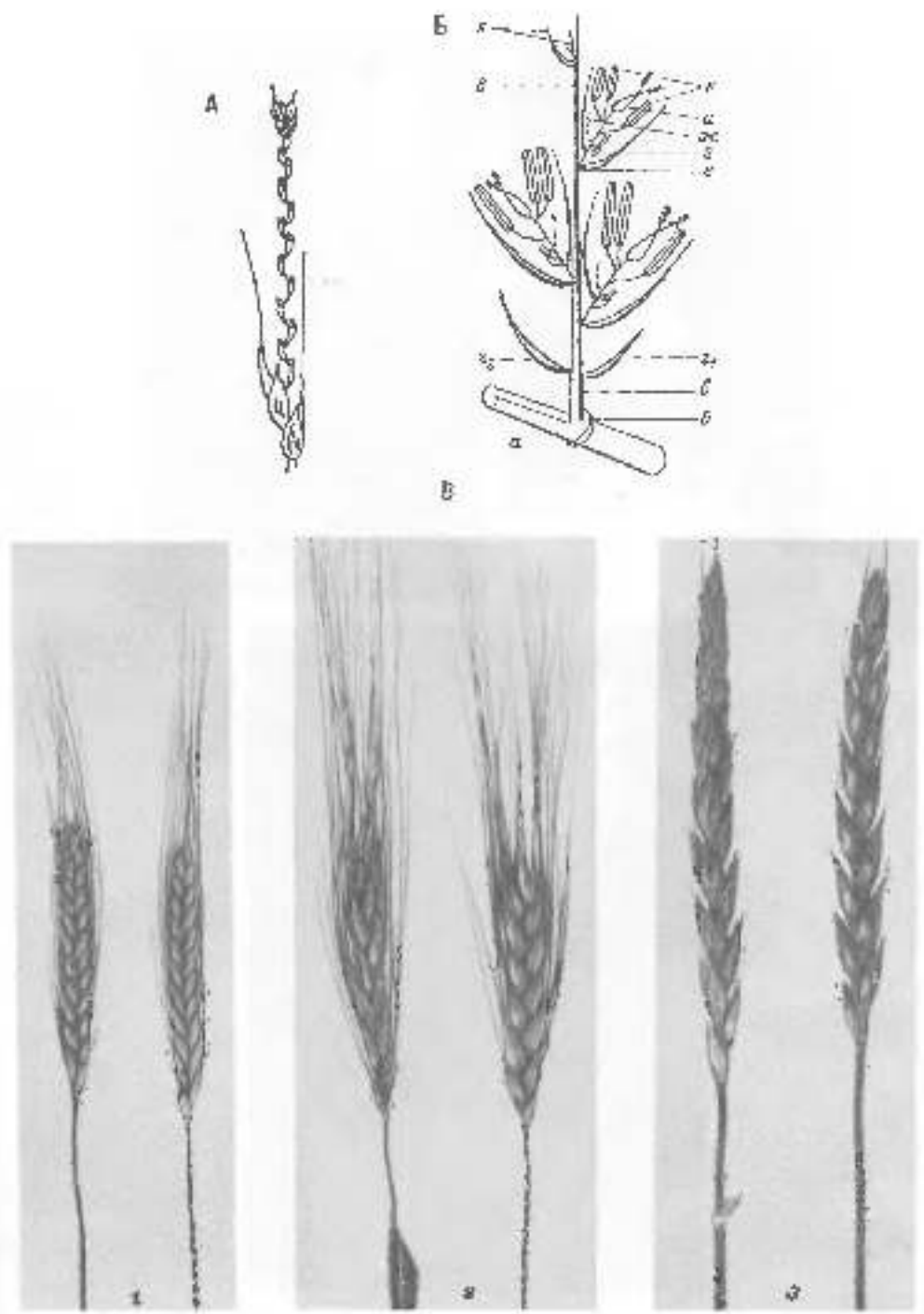


Рис. 3. Схема строения колоска (A) в Злаковом семействе (Б) злаков (по Смирнову, 1962);
В — некоторые представители голонголондного ряда пшениц (по Башкировой, 1974).

α — бахромчатый архитектон; β — рудимент зерноделного листа; γ — нижняя кильчатая пилосомчатая чешуя; δ — ось колоска; ε — верхняя широкосемянная чешуя; ζ — верхняя зерноделная чешуя; α — прямостоячие пшеницы; β — сидячие; γ — узкоколосые; δ — колоски с широкими чешуйками; ε — колоски с узкими чешуйками; ζ — колоски с широкими чешуйками; 1 — *Triticum turgidum* L. (2n = 14); 2 — *T. durum* (Schrebk.) Schneid. (2n = 28); 3 — *T. aestivum* L. (2n = 42).

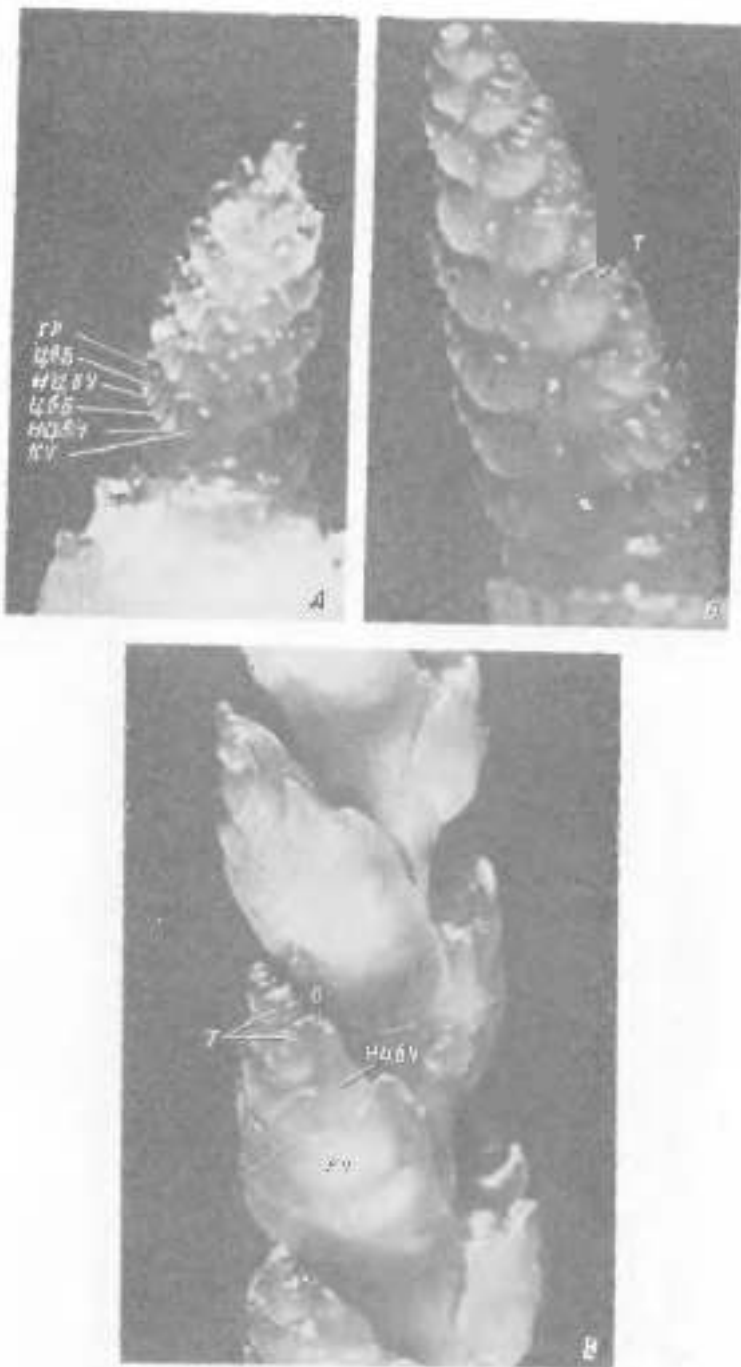


Рис. 4. Формирование кедровой шишки японской лиственницы в фазе пыления в хрустуле.

A — видимые внутренне и наружные чешуйки конуса, имеющие верхнюю часть чешуек бутонов и нижнюю часть с кельюками. *B* — то же в верхних чешуках конуса. *C* — наружные чешуйки конуса; *ГР* — кельюка; *ГР* — чешуя ряда; *НДС* — наружная чешуйка конуса.

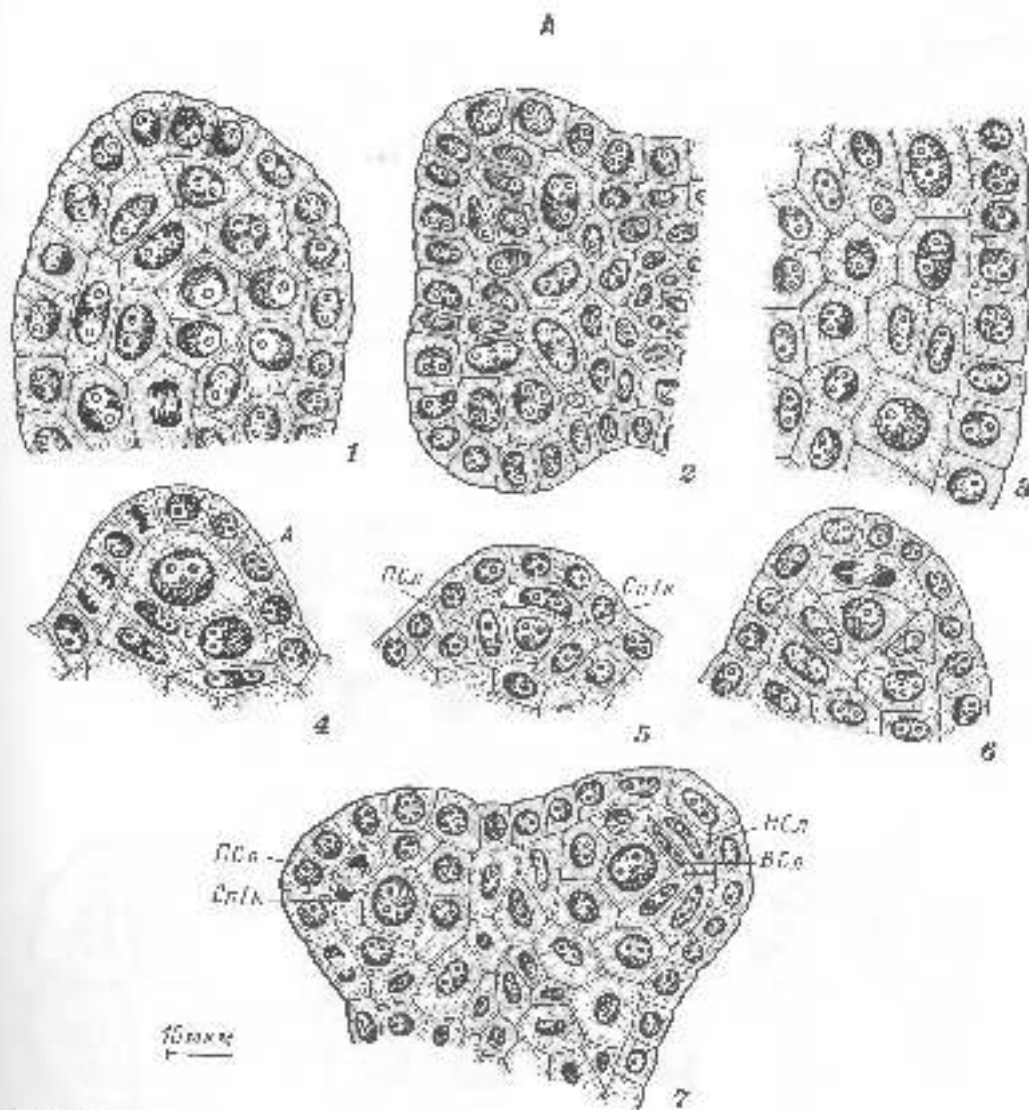
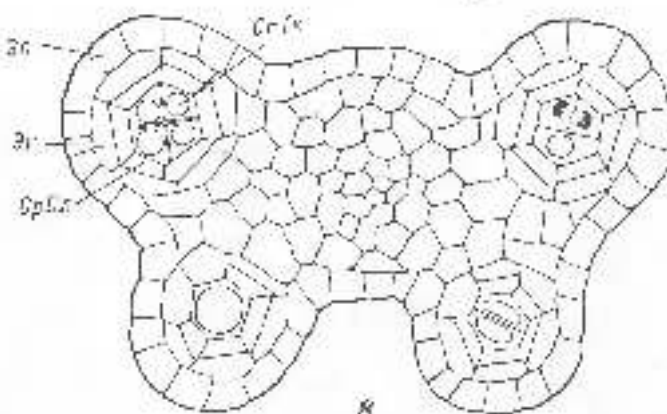


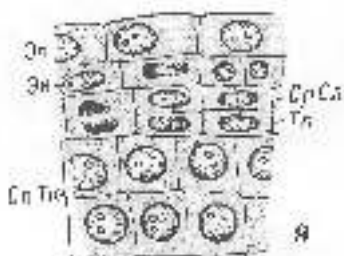
Рис. 5. Развитие генеративных стадий кораллового пестника *Pycnoclavella tenuispora* (A — по Батыревой, 1974) и культуры LR (по Кодибони, 1962) (бронзовые и погруженные среды).
 А — аракесийский, БСа — внутренний слой, ПСа — периферийный слой, БСс — перистийный слой, Сп/к — спорангий, Тк — ткань, Бб — базис, Ап — апикальный (околопузы). 1—5 — созревание в ткани; 6—7 — созревание в ткани.

A

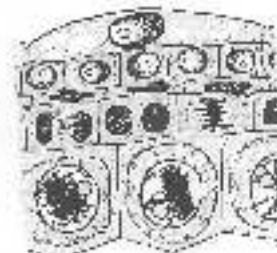


B

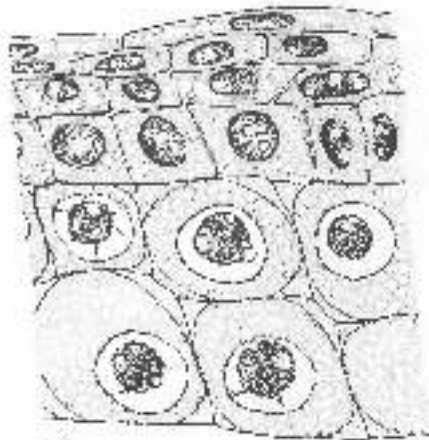
Diagram B



9

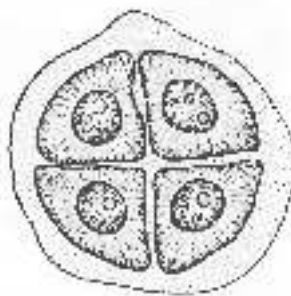


10

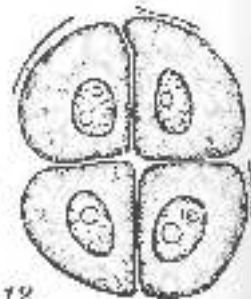


11

FIG. 5 (continued).



12



A

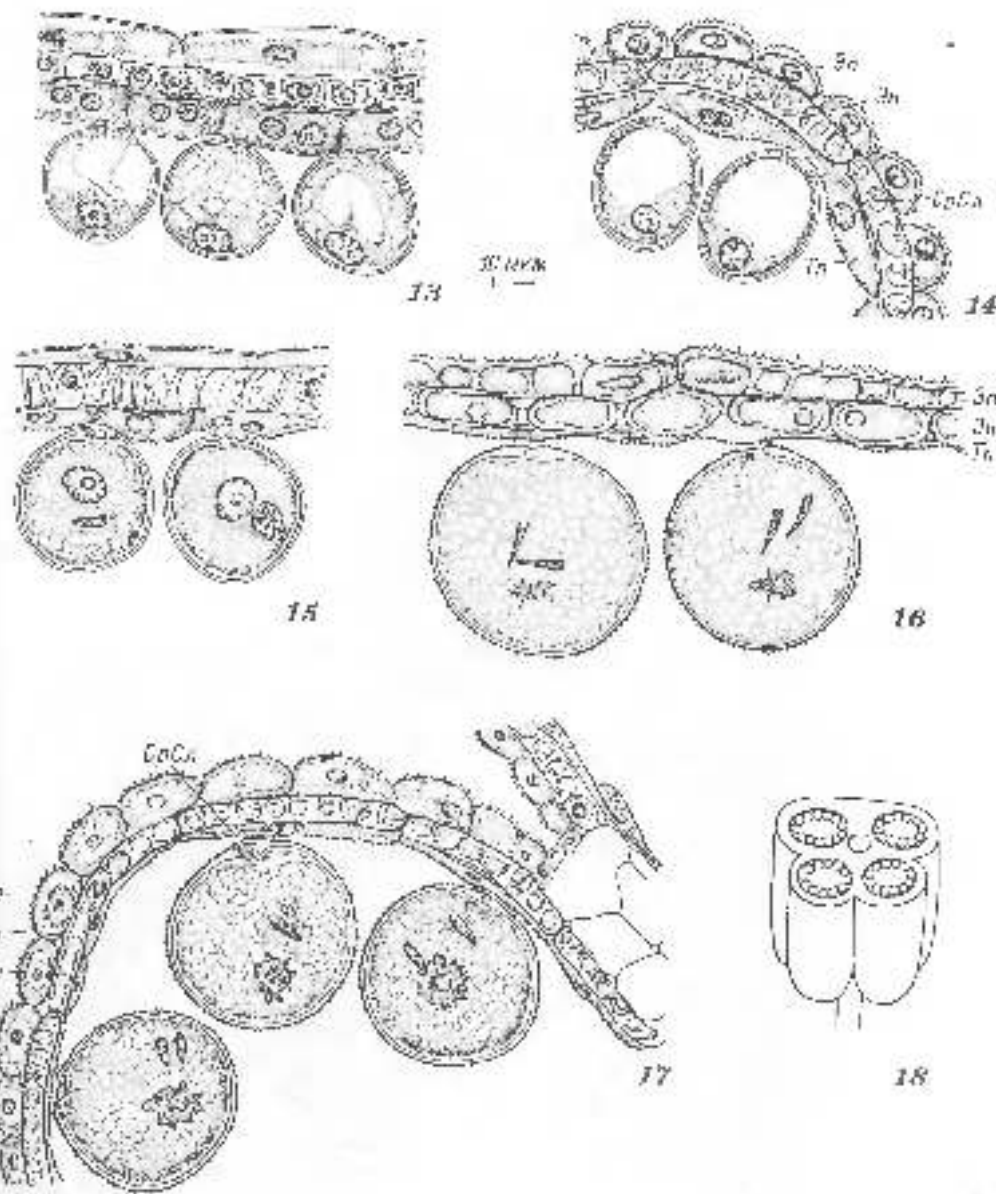


FIG. 5 (продолжение).

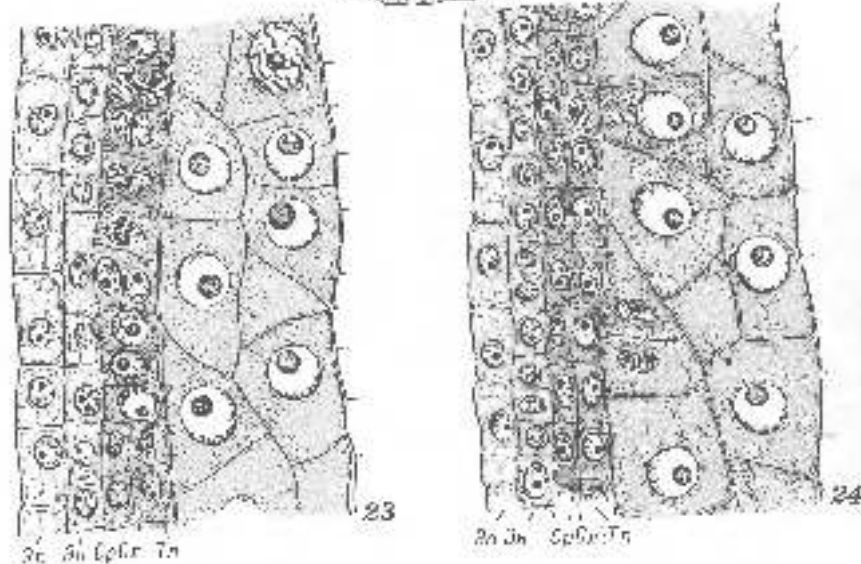
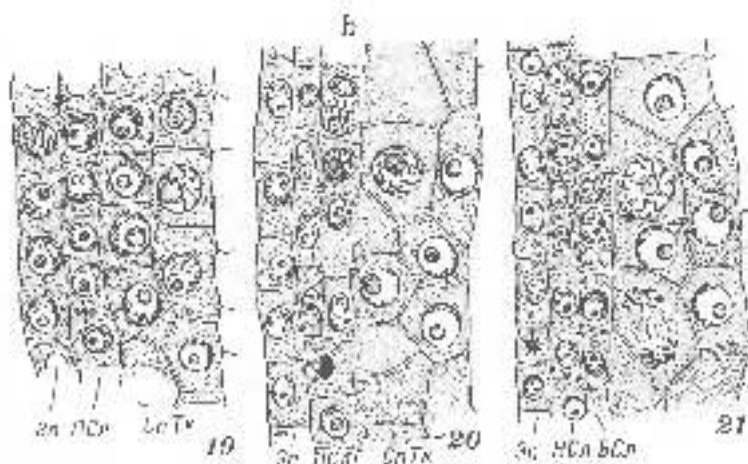


Fig. 5 (continued)

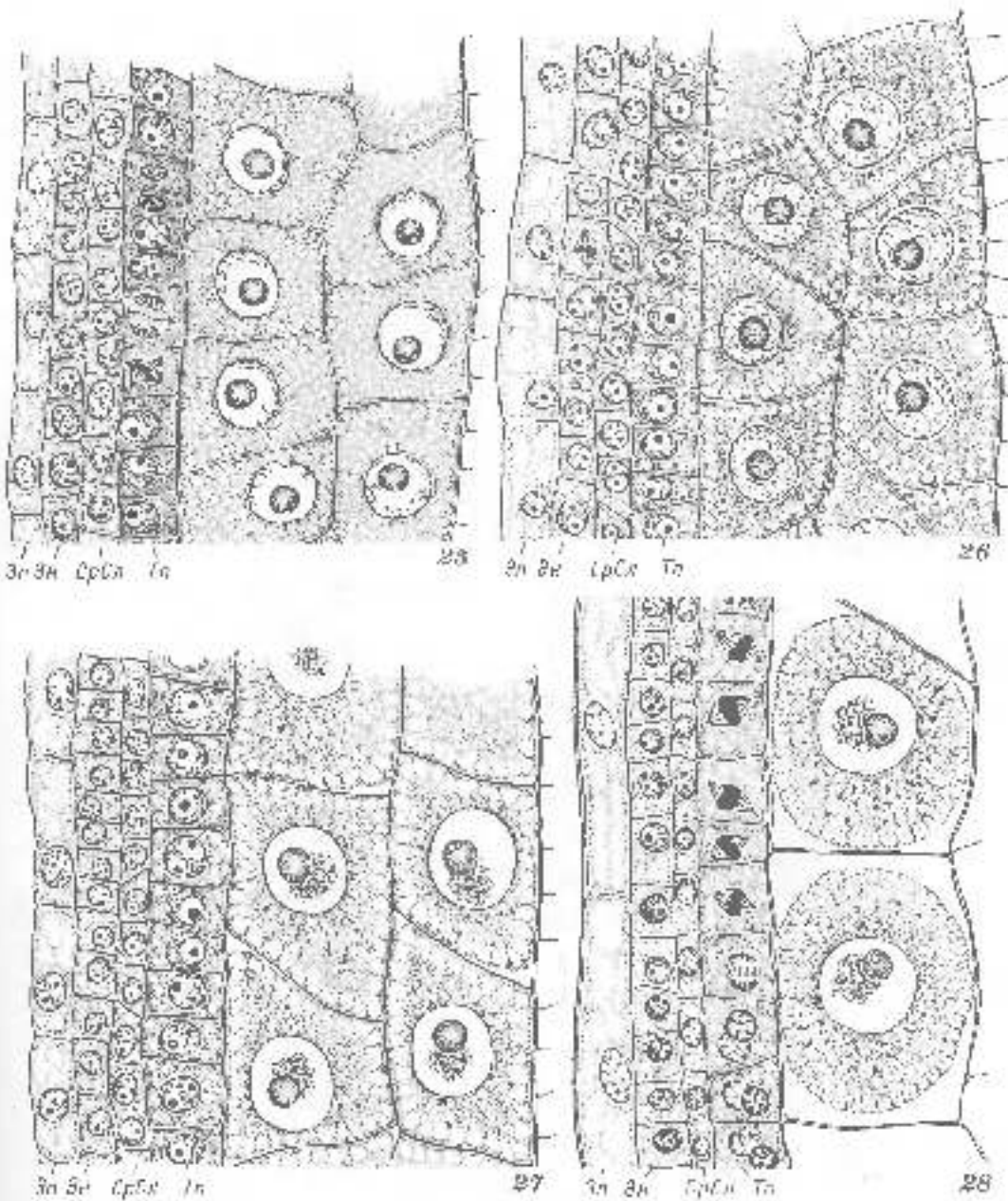
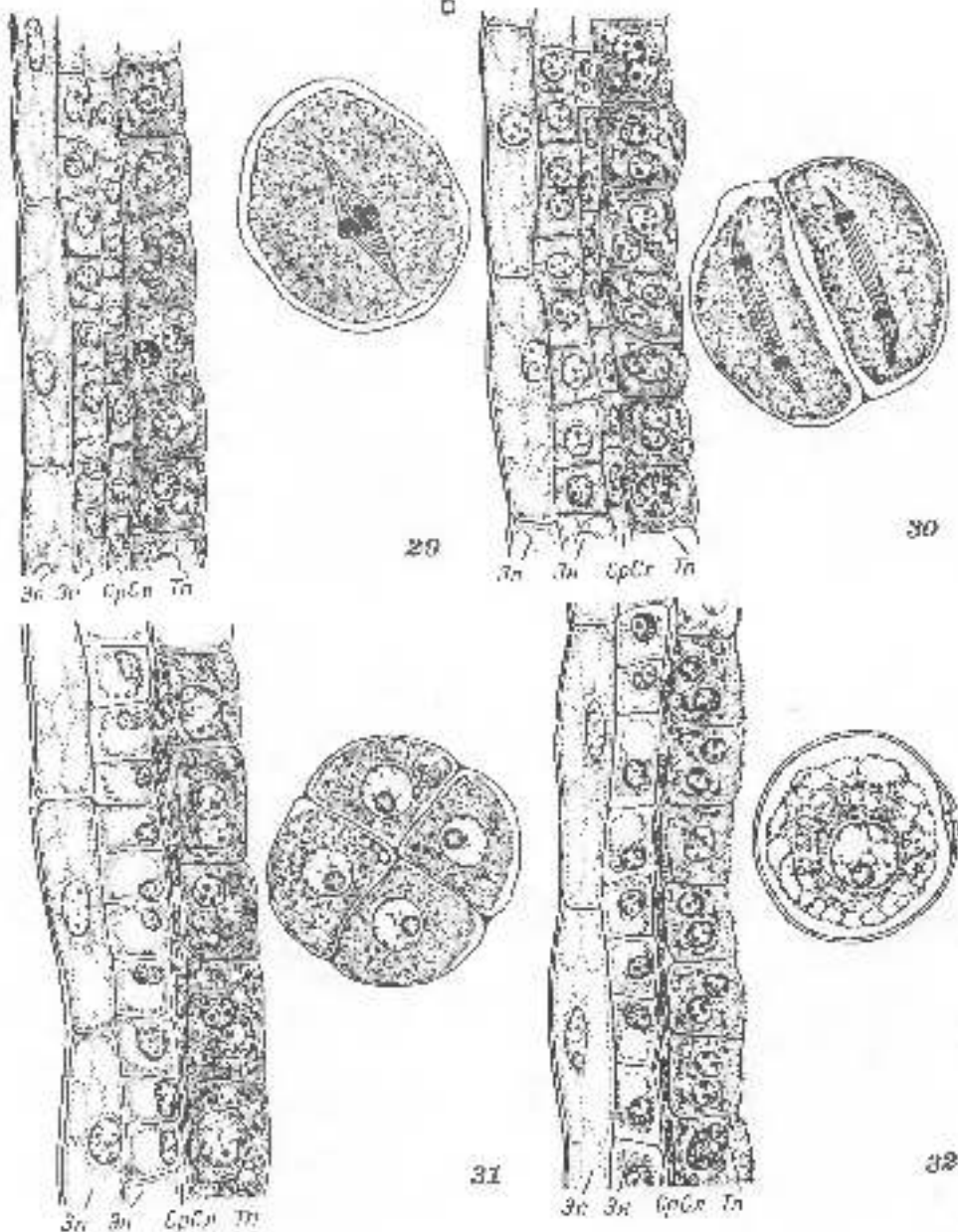


FIG. 5 (lipid membranes).



Пл. 5 (продолжение).

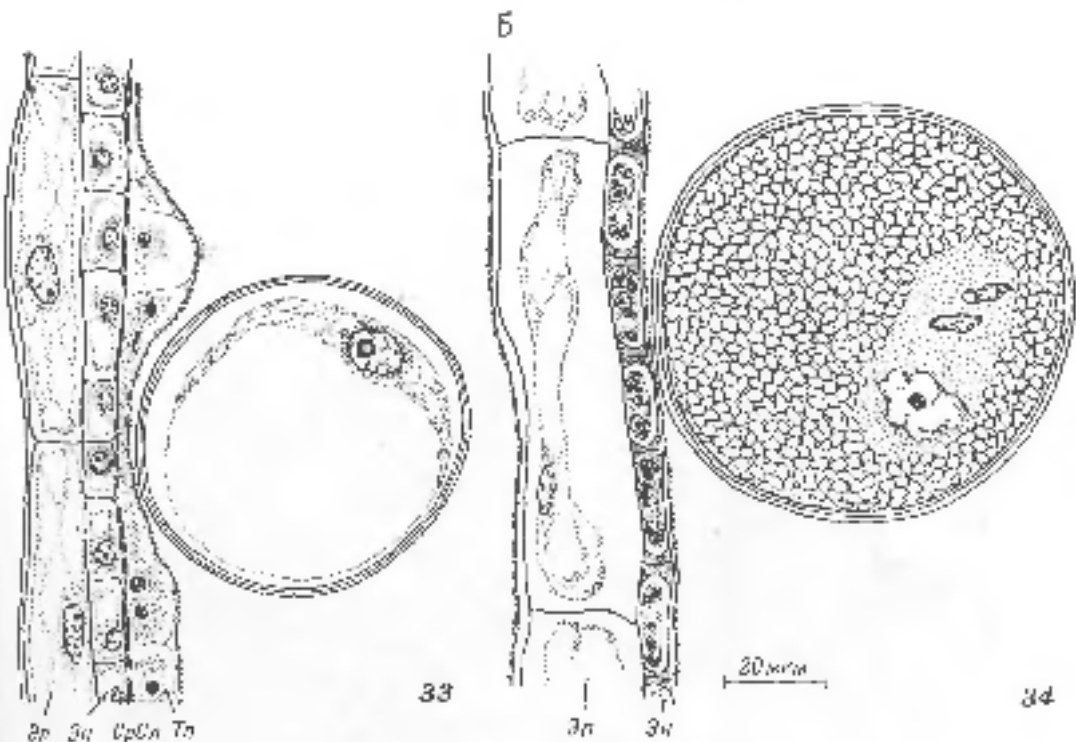
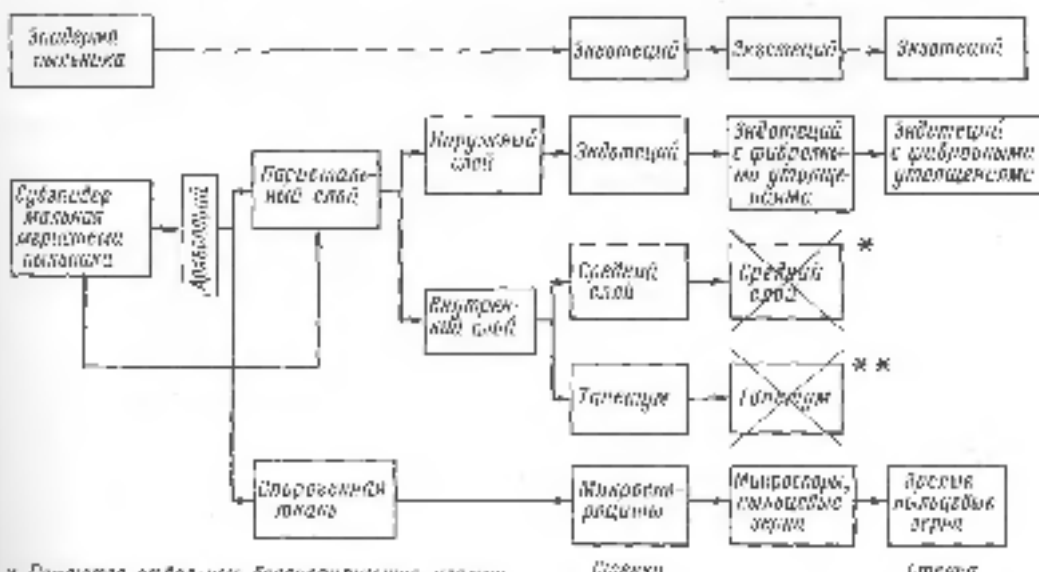


Рис. 5. (продолжение).



и становится отдельное бактериорудиментное клеточное ядро в цитосоку пыльничка ватности спорополос - эпидермис с орбитами.

Сплошной спироэпидермальный покров

Использует зернистый покров

Рис. 6. Схема развития диффузии.



Рис. 7. Фрагменты волокон соединительной ткани, окруженные ядрами макрофагов и гранулем (по Курбатину, Шептуху, Логинову).

В — волокно; М — макрофаги; Е — гранулема.

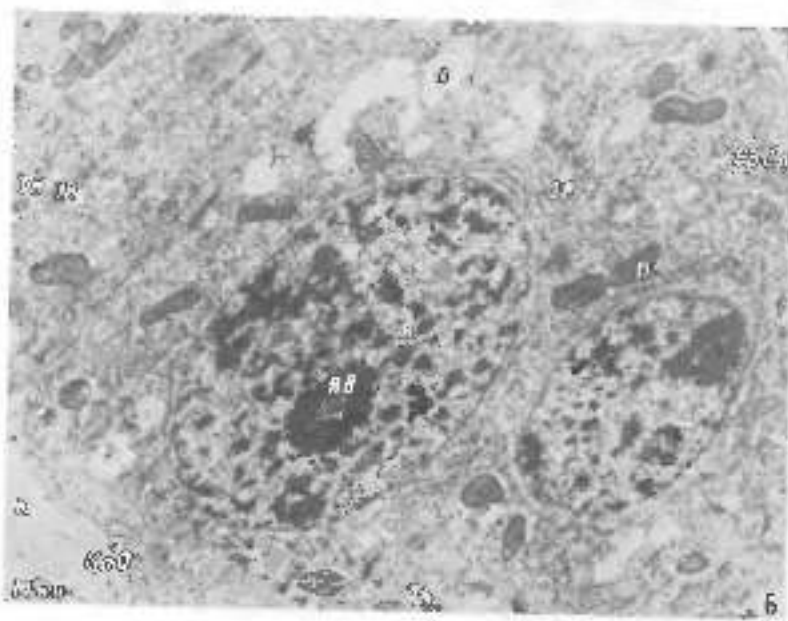
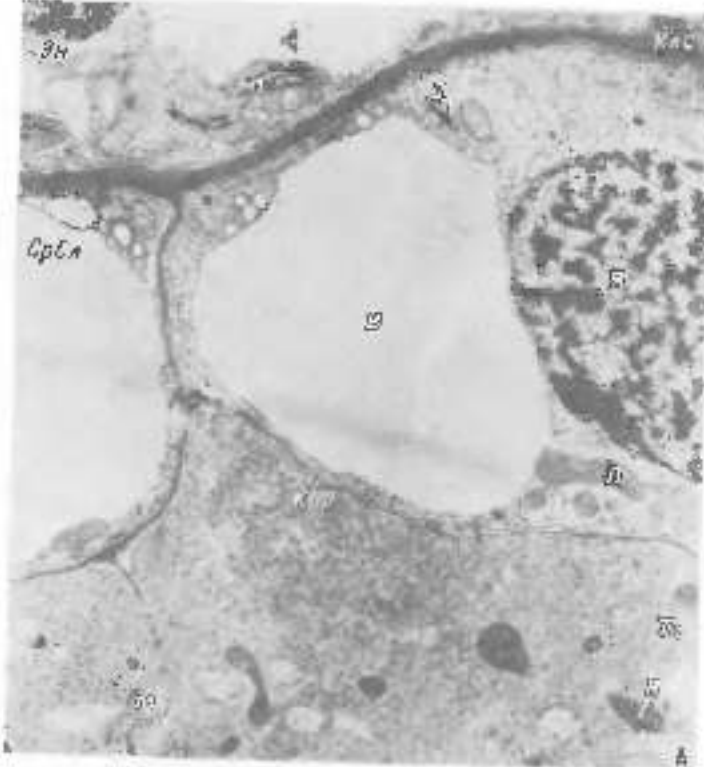


Рис. 8. Фрагменты структуры гибели гианектона рыб в фазе инфекции ($\times 10000$). (По Огородниковской, 1963). А — так же со стороны грибковой оболочки; Б — по стороне гибели цианохрома. В — кадулин, Х — халлон, Я — куринино. Остальные обозначения как на рис. 5, 7.

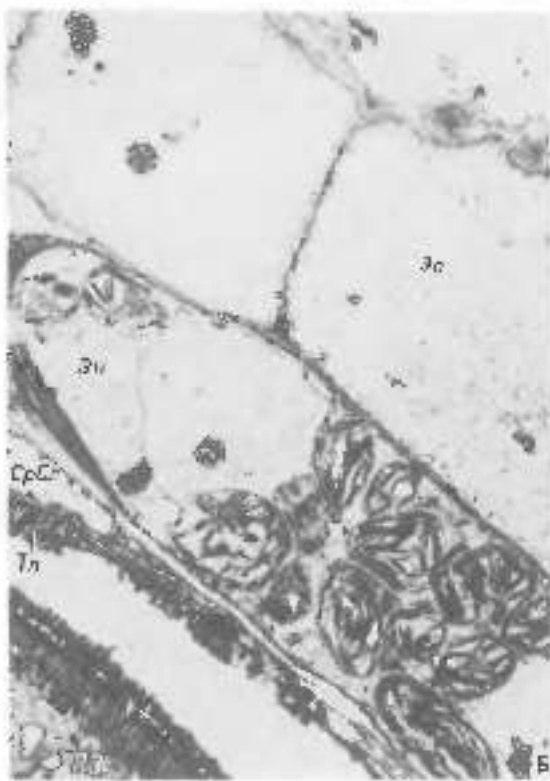
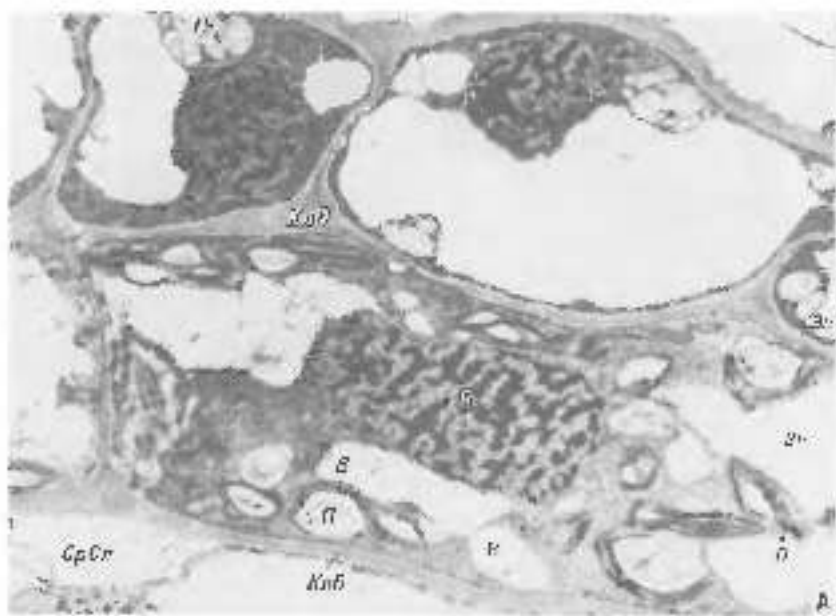


Рис. 9. Фрагмент стебля растения кукурузы в фазе тетрад микроскоп (A — по Огаревчиковой, неопубл. работы) и в фазе 2 клеточного синтеза зарек (B — по Чечигаря, 1972).

Видно ячеечное деление, межклеточную, срединную слои, тканевые и почвенные зарек (Овал. $\times 2500$). В2 — влагоцене зарек; Зс — зоногеноз; В — вегетативная. Остальные обозначения как на рис. 5, т. 6.

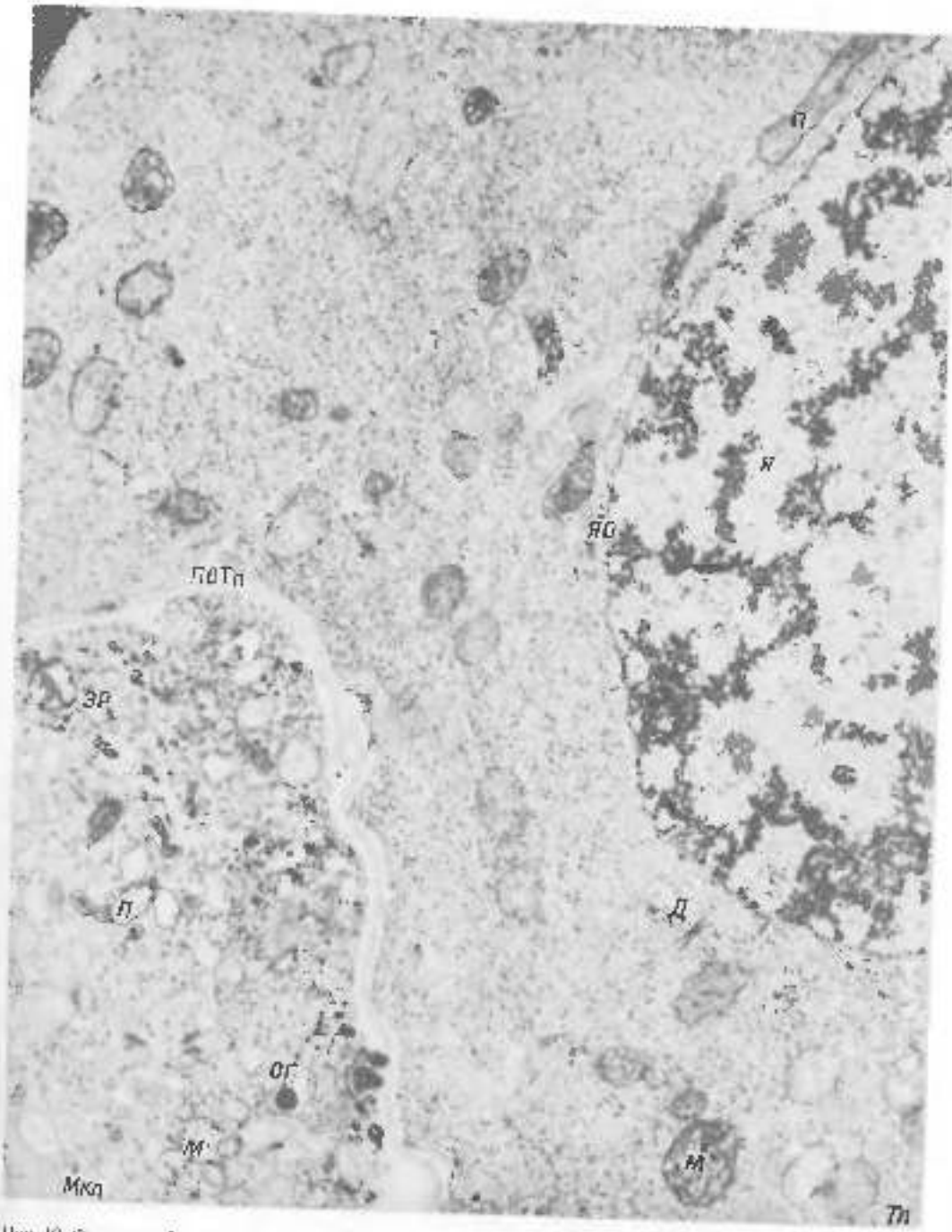


Рис. 10. Соседние клетки трахеи и микроворсинки пыльника пшеницы (сорт Диаген) к 25015) на стадии профазы мейоза ($\times 6014$). (По Столяникову, 1969).
ЗР — зерногенератор, ОГ — огнеподжигающая губка, ПВТп — передняя область конца членутца, П — парь, АГ — актинидий оболочки. Остальные обозначения как на рис. 5, 7.

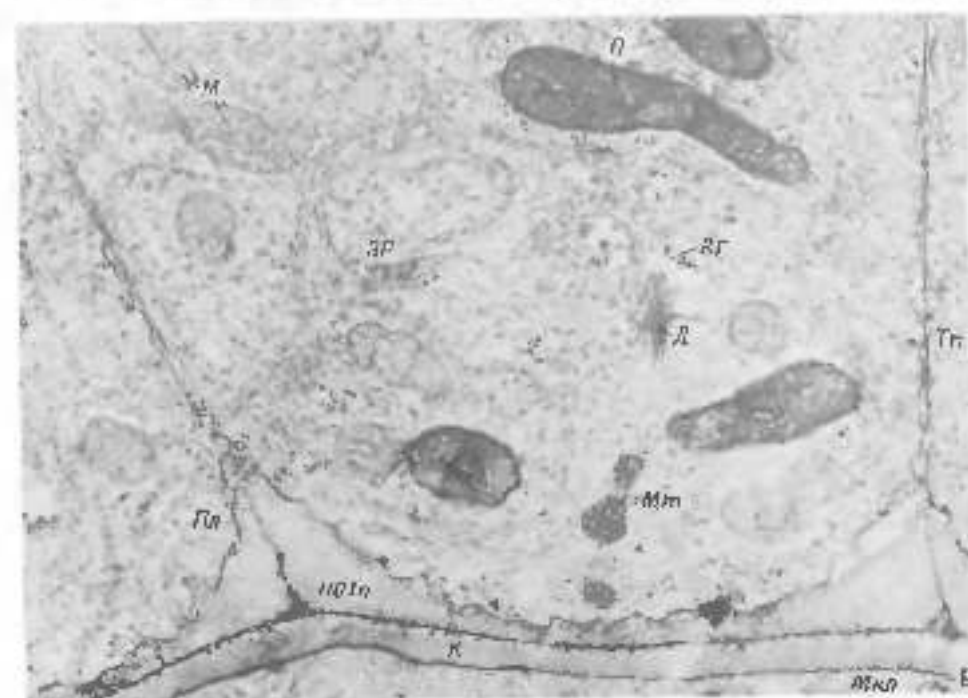
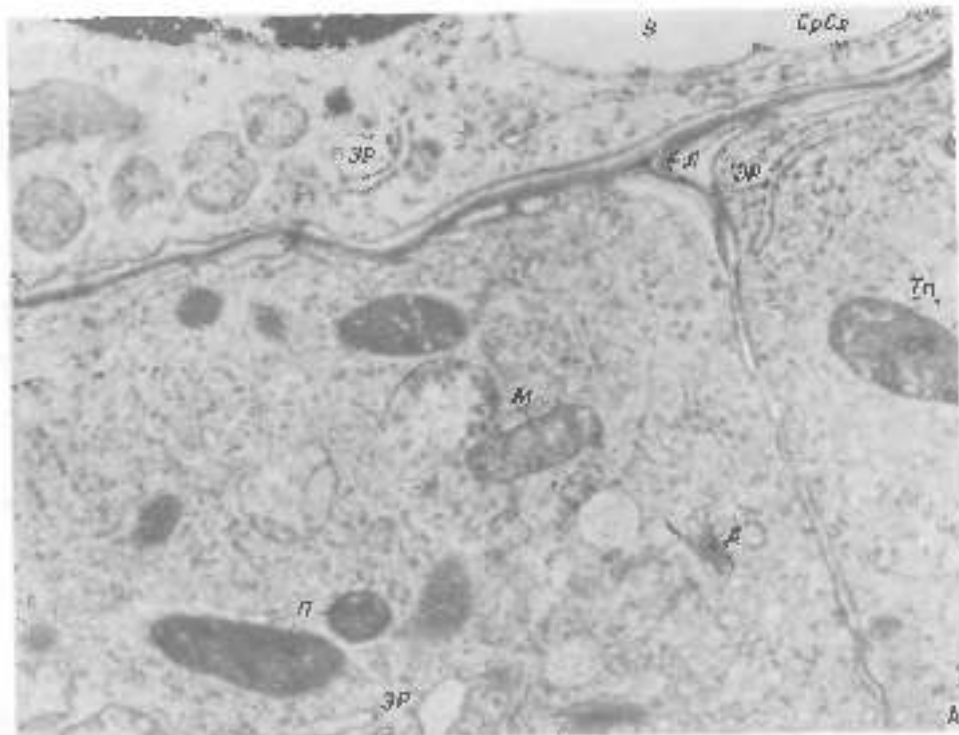


Рис. 11. Танегиадиные клетки пшеницы ржи в фазе яйценосческого цветения в микропоровиках [По Гироджинской, 1980].

A — со стороны срыва (см. $\times 10000$); *B* — со стороны микроспоронта ($\times 9000$). *РГ* — вакуоли Гольдрица, *К* — каллоза, *Л* — липиды, *Мн* — микровилль, *Пз* — плацентальная, *Тн* — танегиум. Остальные обозначения как на рис. 5, 7, 8, 10.

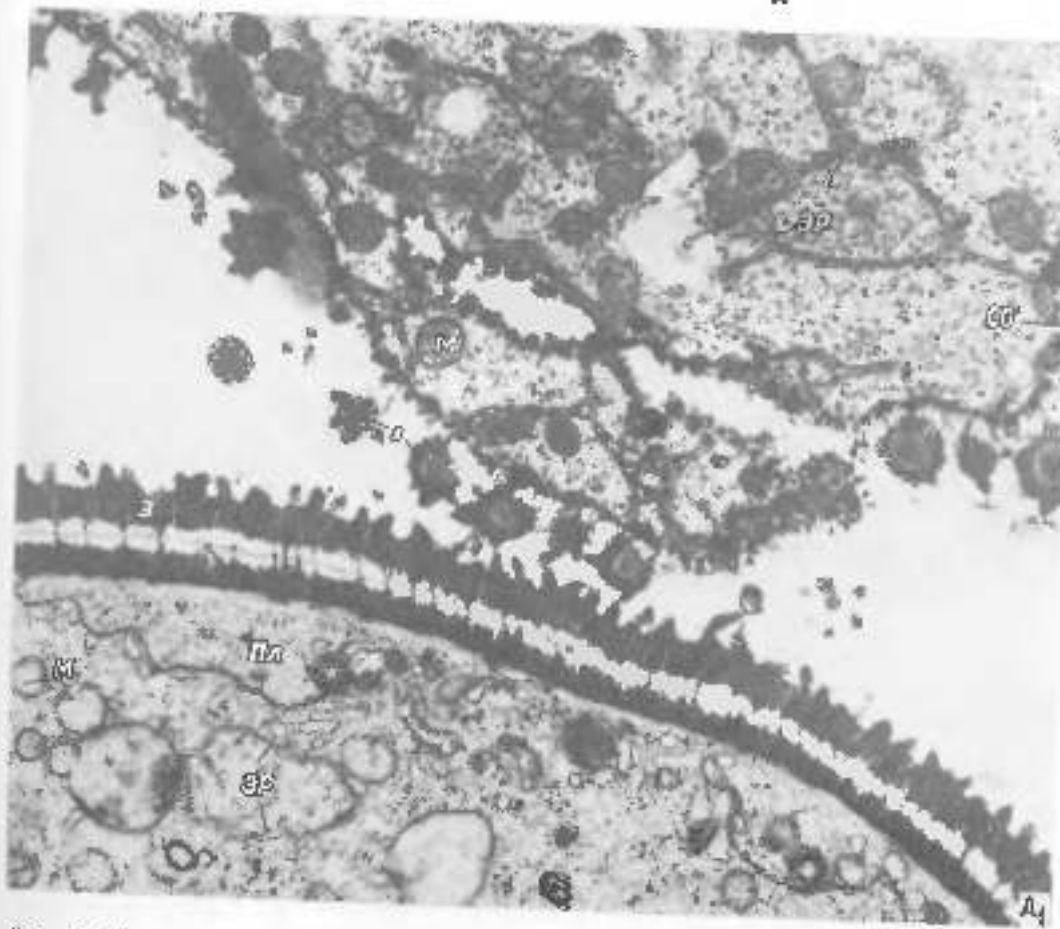
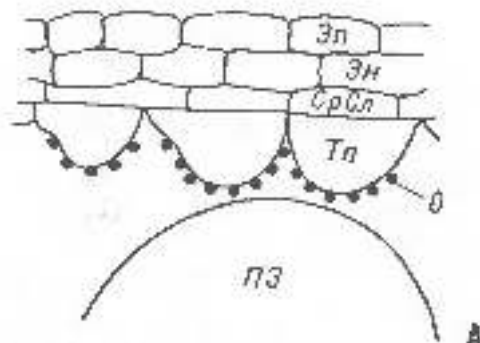


Рис. 12. Фрагмент клеток тонкого пелетума целинки пшеницы (сорт Цимлянка х 25019) на границе минероспермия (A, A₁, E) (захвачены прибором). (По Огородникову, 1980).
*a*₁ и *b* — х 10 000. О — орбакула, ГР — грунтовая ткань, СП — симплексклеточный оболочка, Э — эндоц. Остальные обозначения как на рис. 7, 9, III, II.

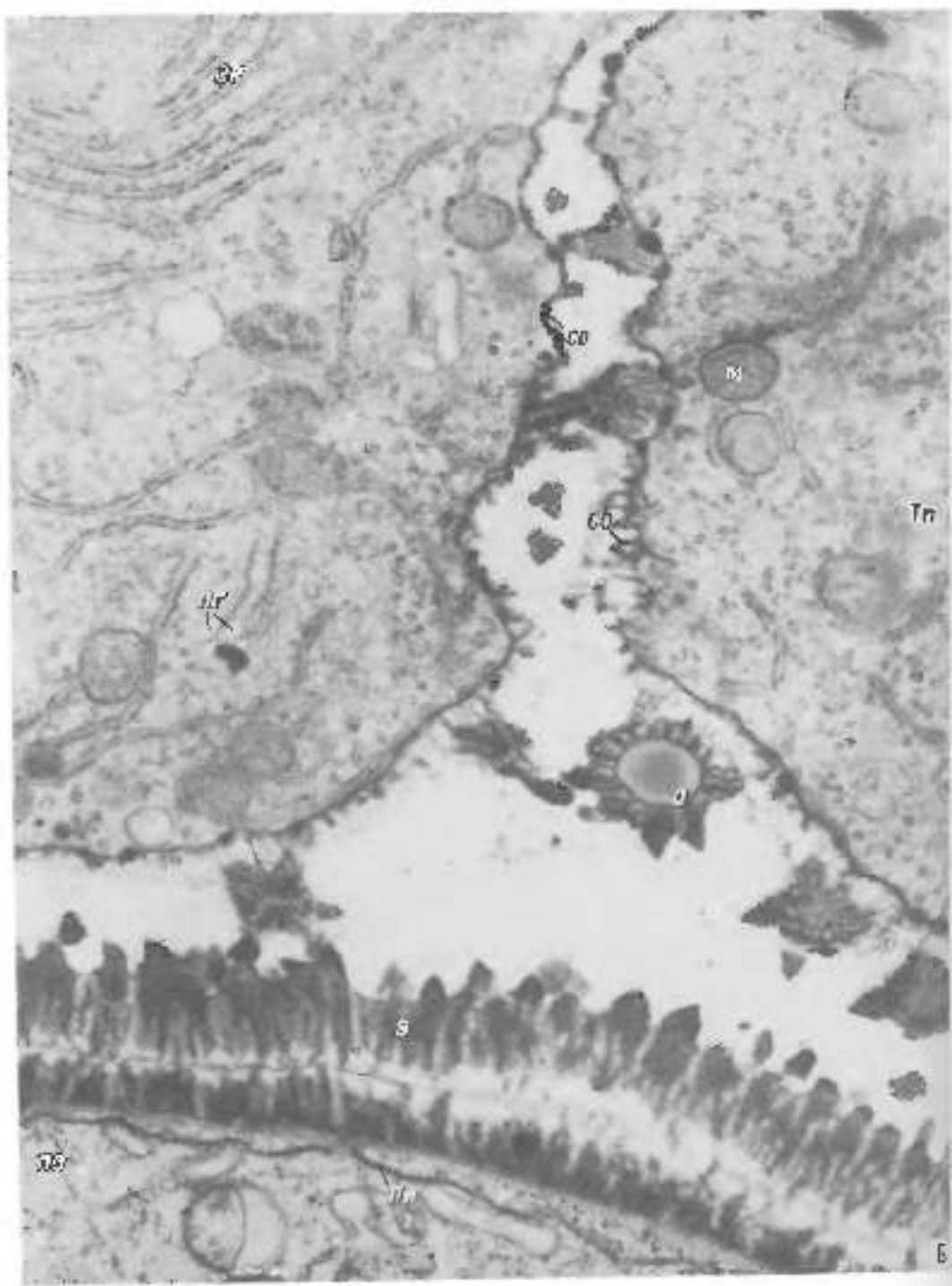
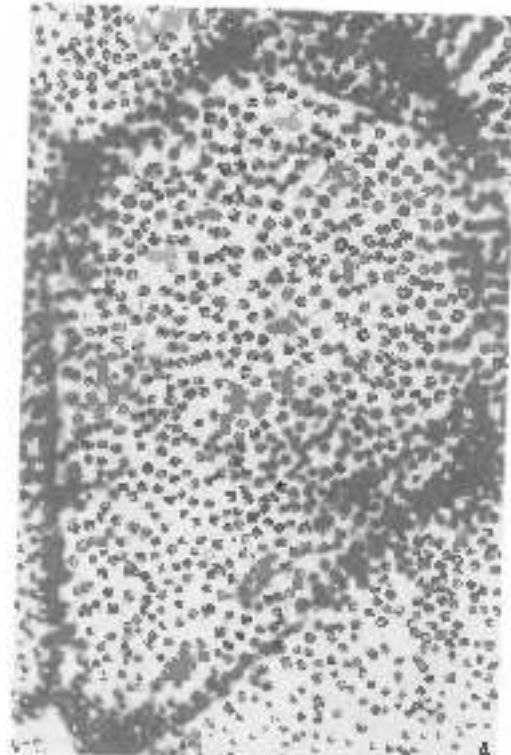
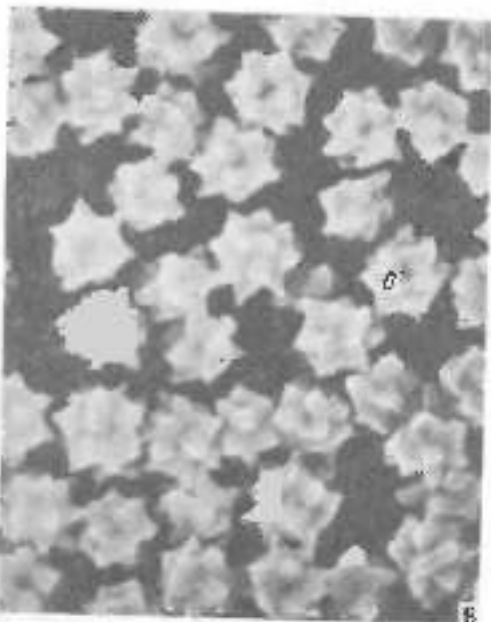


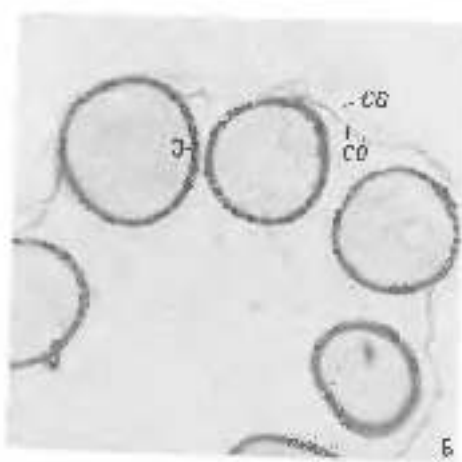
Fig. 12 (*Opisthoscelides*).



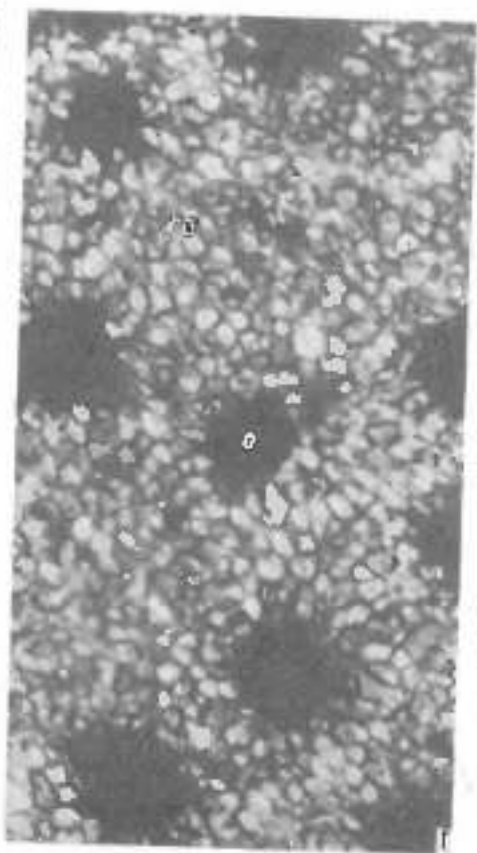
A



B



C



D

Рис. 13. Спороидоспиральная оболочка телозельной клетки пыльника приводят (после обработки в центрифуге синей кровью) (По Степановой, 1976, 1978).
А, В, Г — вид с поверхности ($\times 50$, $\times 5000$, $\times 18000$); Е — микротом синих спорадин с 2-х летними гипервегетирующими деревьями. Обозначения: 200 нм (см. 12).

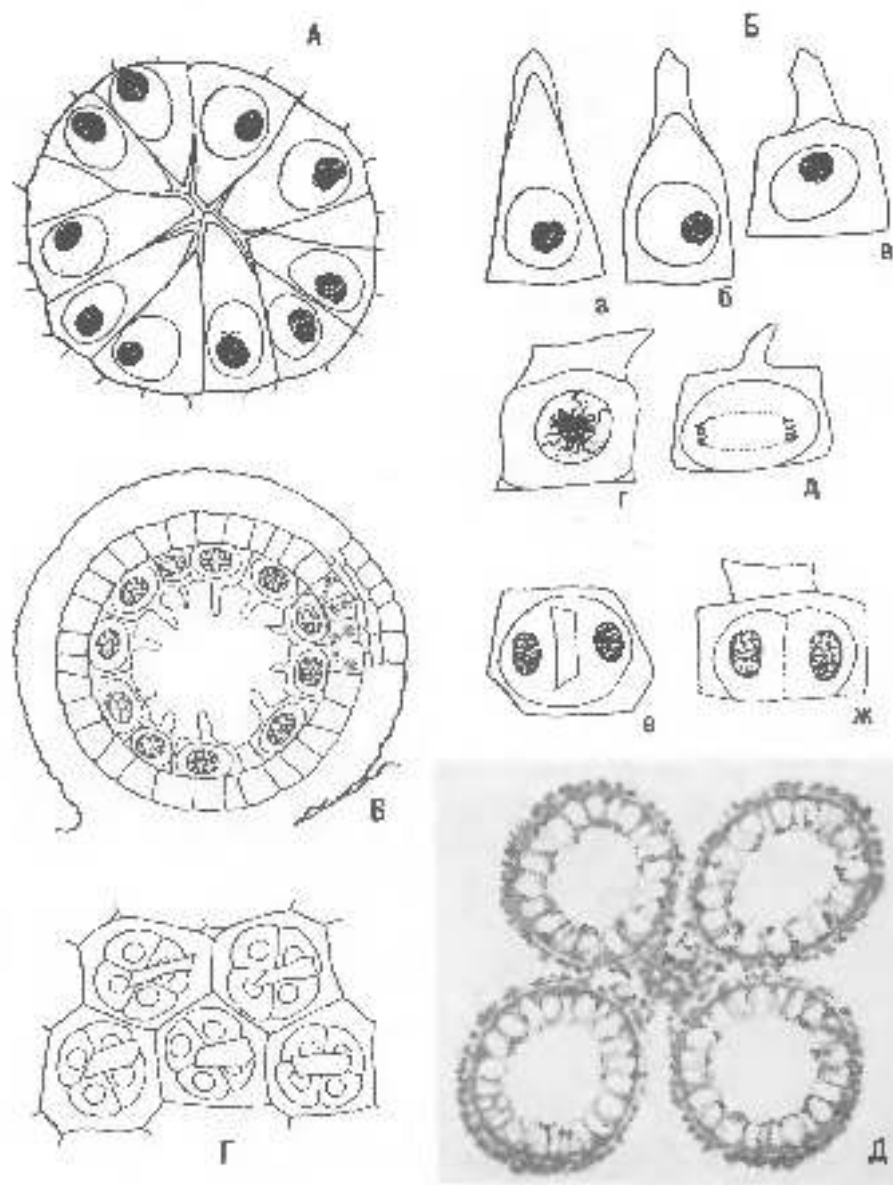


Рис. 14. Образование яйцеклеток раков. (По Неканту, 1921).

А — поперечный срез спорогенного комплекса рака в начале профии яйцекл.; в парах яиц попутческое склоне хризосин. у внутренней юною хицропериодиты и юные полиморфные клетки; Б — поздний хицропериодит и яйцекл.принимает у рака в — в — образование гребен из внутреннего края микроспороиды, заполняющегося коллоидом, и исходящее (фрагм. по юной яицки биа поларных щупалей); в — яицекл.принимает и наружу яичник профии на внутреннем срезе юной яицки; яйцекл.принимает яйцо с ее наружной стороны; яйцекл.аттакция коллоид. в пасших радиах микроспороиды, в — анафазе I деления; пролихи микроспороиды микроспороидальные; яйцекл.оболочки яиц тонкие, с тремя яицами; в — внутренний срез яицки (периодич. зачатитиальный гряз); в — гелофлан 1 меск.; вид микроспороиды в яицки в внутреннем срезе (иногда яицки зачатитиальный гряз); в — яйцекл. на промежуточном срезе яицки, яйца в се яицки лежат в пасших радиах; коллоидная оболочка листка спиробозой яицки; в — индивидуальный срез гнезда яицких рака во стече яичник профии яицки (изогни); Г — участок слоя гнезда рака, габлюсский с его зачатитиальной оболочкой, коллоидные оболочки тегра яйцекл. максимум яицких гнезд, широкими их граници проширеяты и яицки переп.; Д — поперечный срез яицких рака на стадии микроспороиды; в эзигене пасших радиах зерна расплодояты в зоне сок. на суб. юной (серебро нагреванием) ($\times 340$).

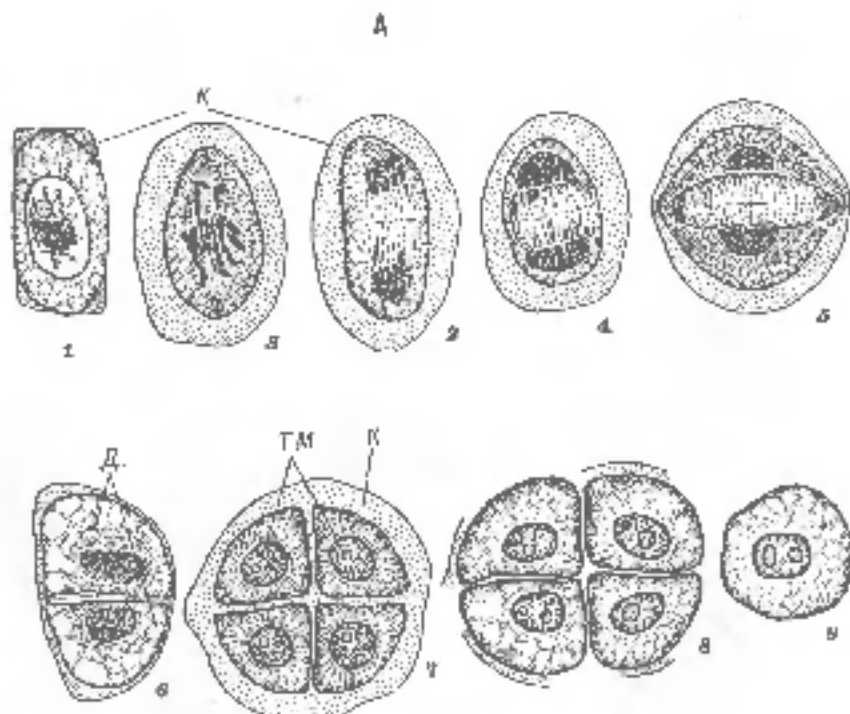


Рис. 15. Микроспорогенез и развитие пыльцевого зерна у лycopодия (А-Д, 57) — по Баталовской, 1964), осиц (Е-Н, 58) — по Позднебий-Архангельск, неопуб. данные) и эоизотеи (Б-Г, 58) — по Петрушиной Аричильди, 1976); пыльцевые зерна и строение зерна у спорангия (Г, 67, 68) и риза (Д — 59, 70). 1146 Синтаксис, Стаси. 1981). А-8 — СЭМ, Г, Д — ТЭМ.

B — аксигиды, *БКа* — первичная кианная клетка, *ГКа* — генеративная клетка, *Д* — антера, *В* — пыльца, *К* — каплюса, *Бр* — краевиды, *Сп* — спорогон, *Би* — бирюзина, *ГМ* — гипогиади умерикопод., *БВКа* — буроволосковые киантические клетки, *БСп* — буроволосковые спорогон, *З* — зерно, *БРКа* — буро-вегетативная клетка, *БГКа* — бирюзово-гипогиадиальная клетка, *БМ* — ядро микроспорангия, *БСп* — зерно спорогон.

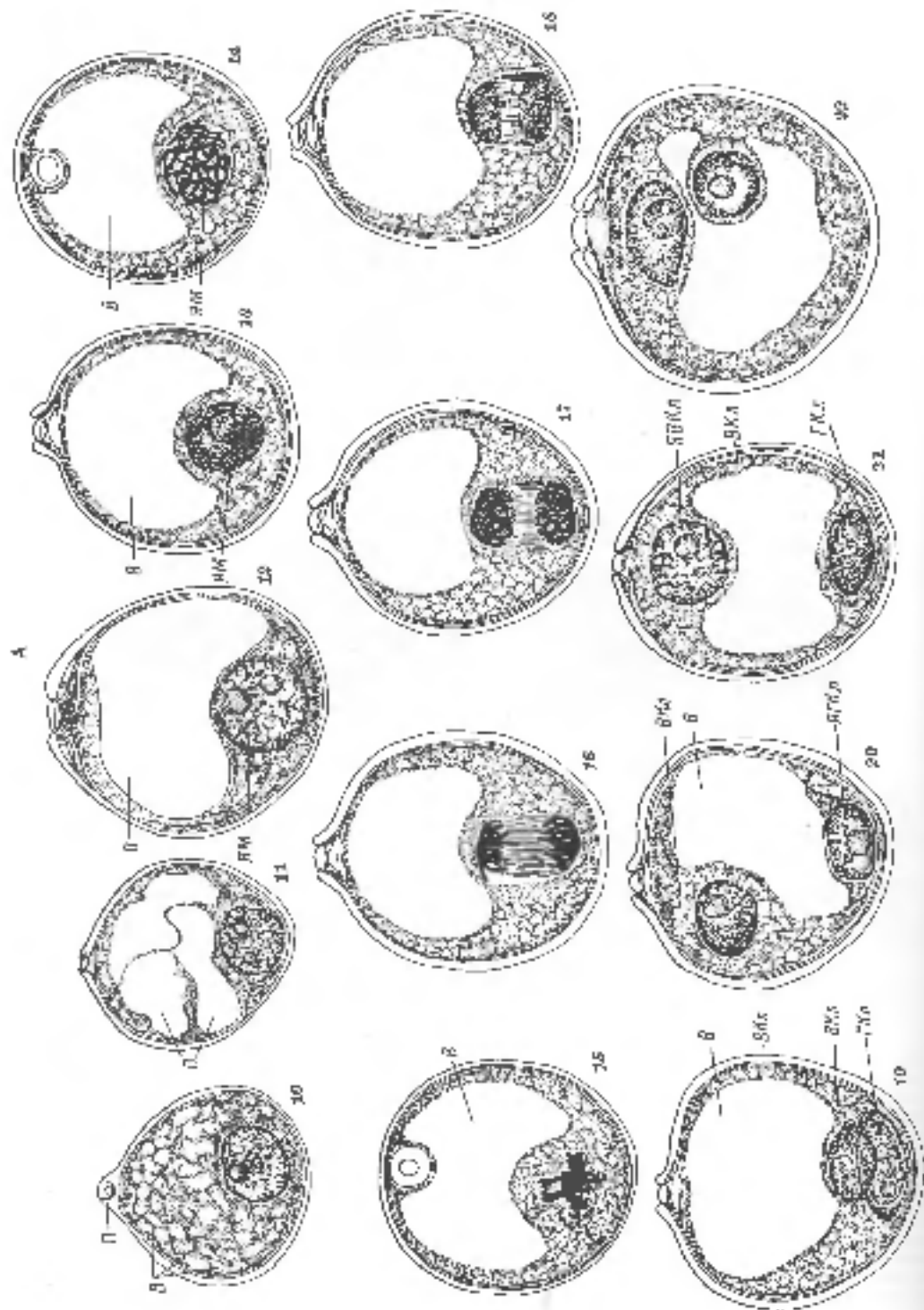
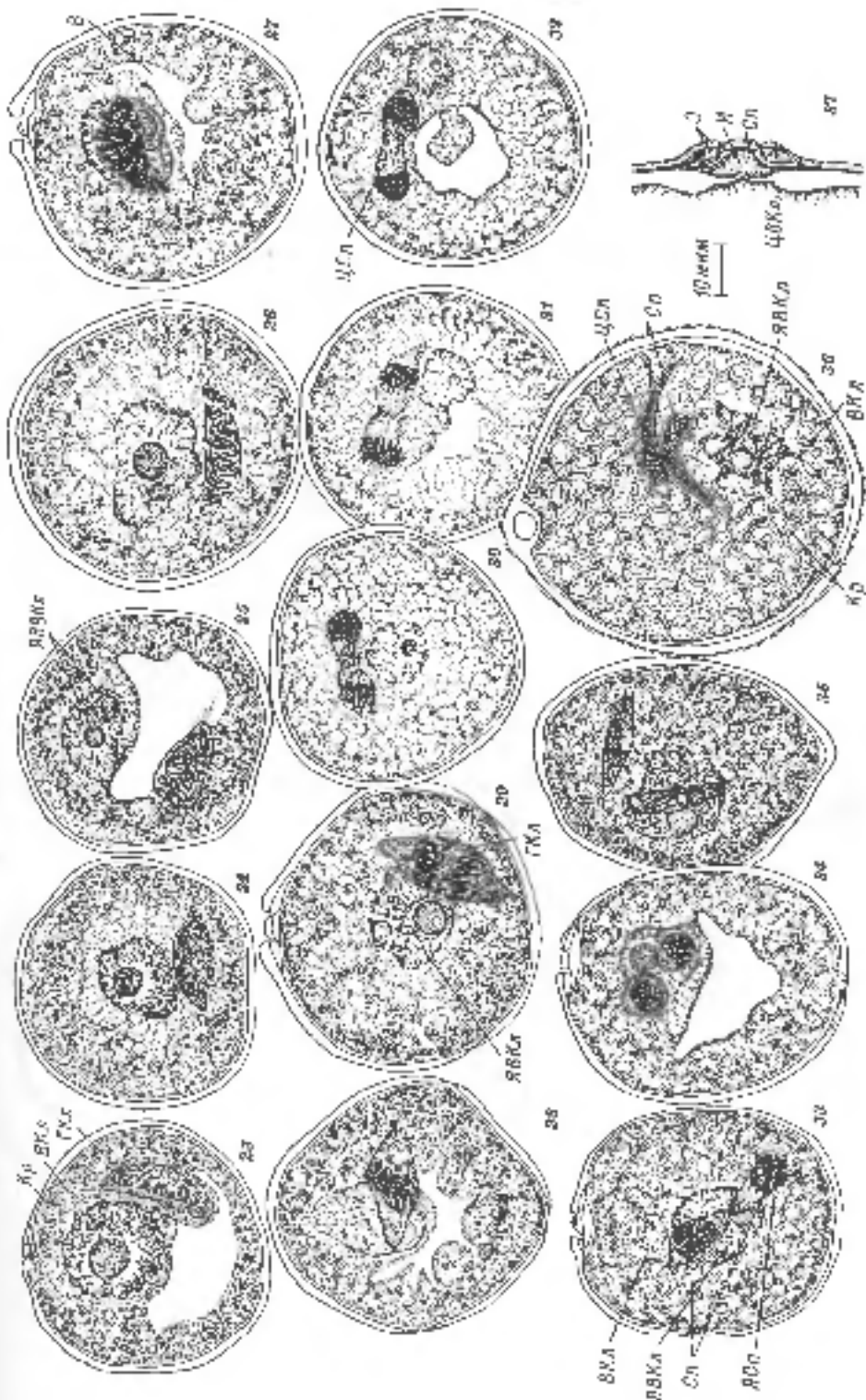


FIG. 2. (Continued.)

A



230. 15 (цитохромозомы).

б

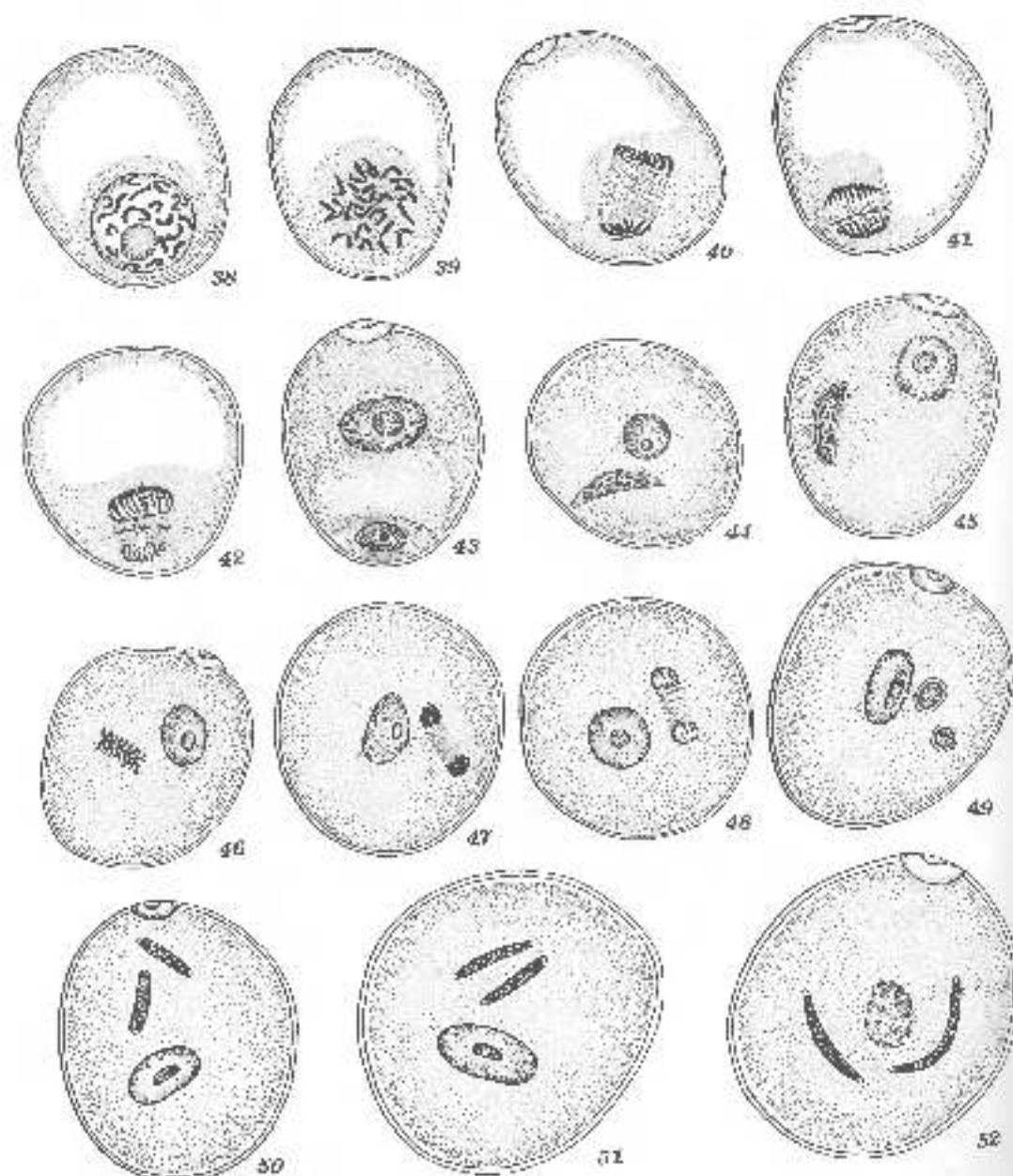


Рис. 15 (продолжение).

B

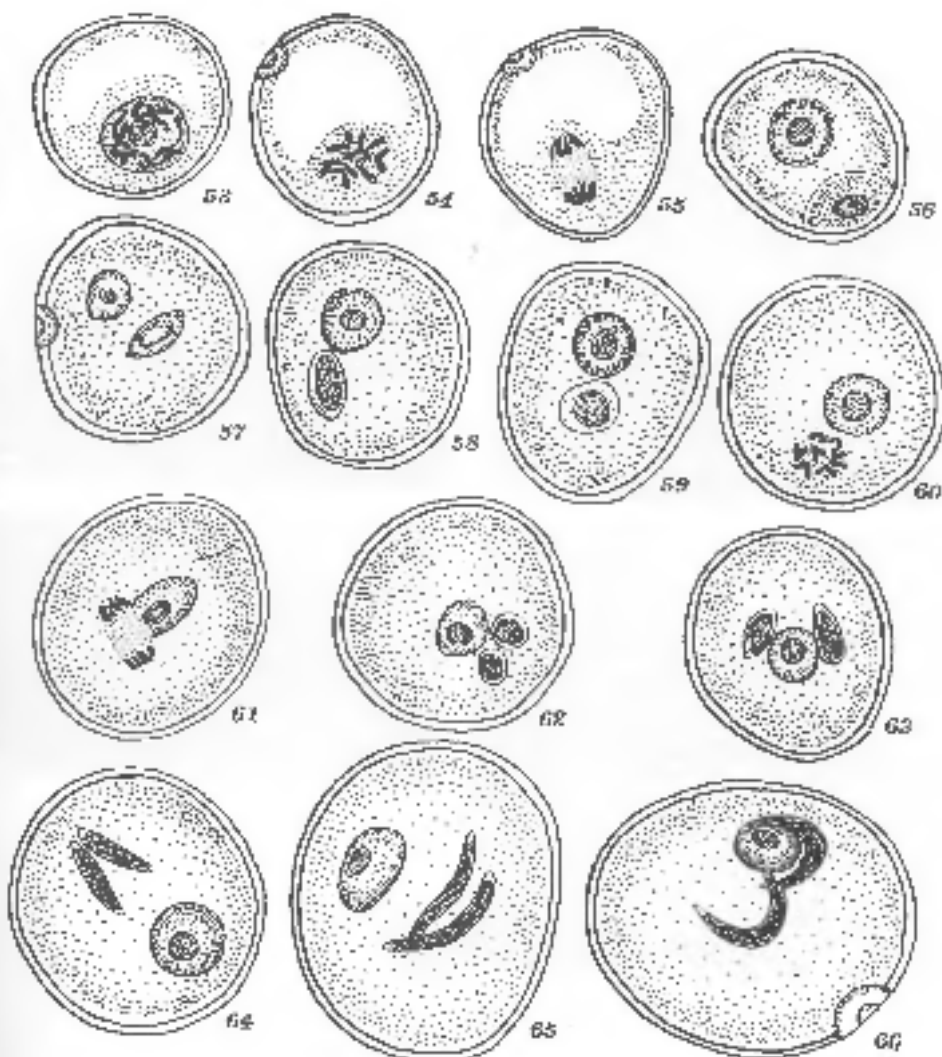
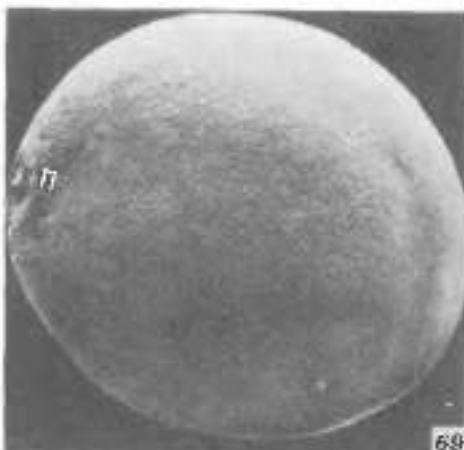


FIG. 15 (продолжение).



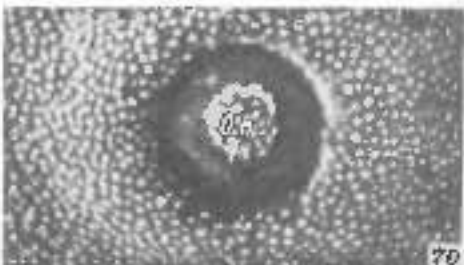
67



68



69



70

FIG. 15. (*In�uduczenie*).

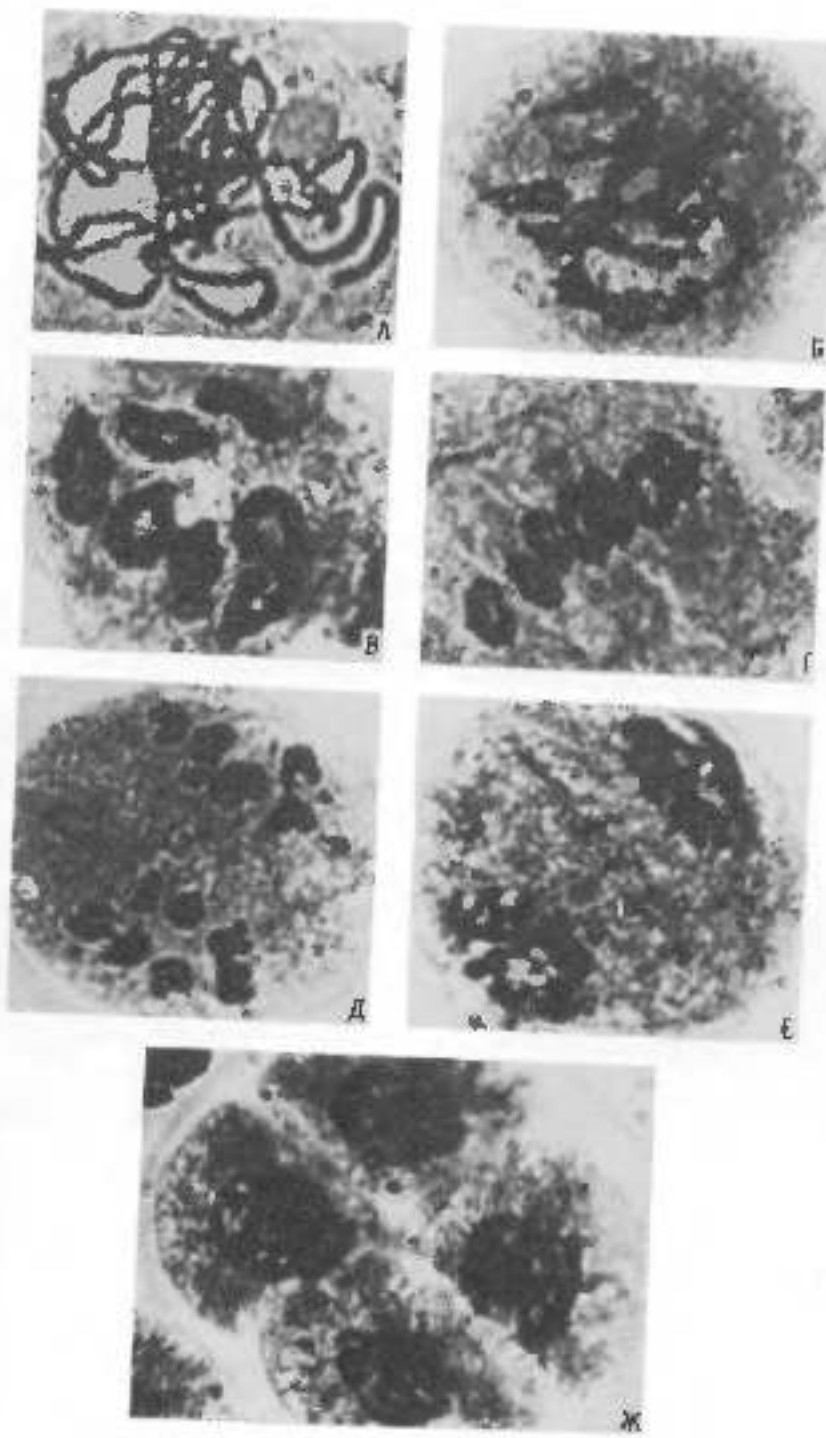
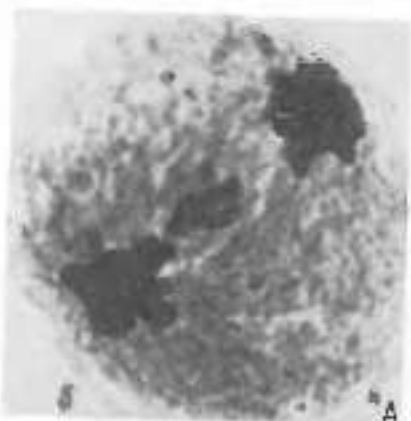
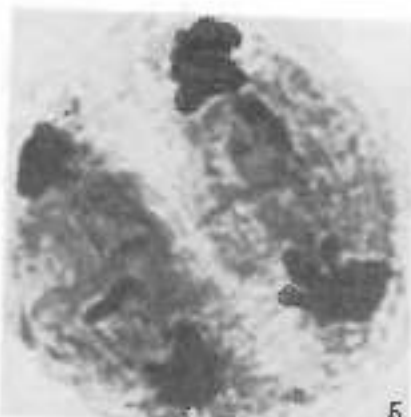


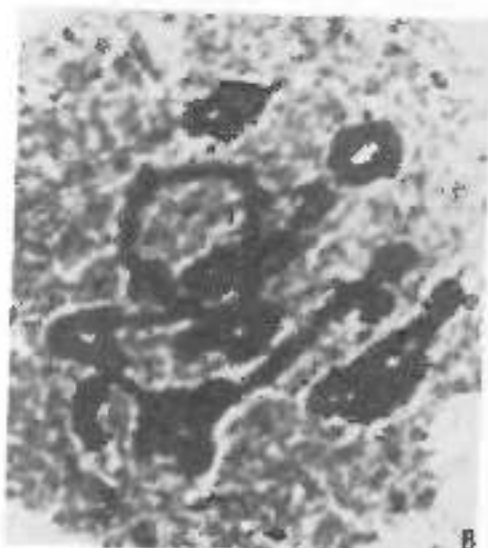
Рис. 16. I и II деления мейоза в микроспорангиях циклоспорицкого рода. (A: Мещникова, Неботарев, 1976).
 А — пахтено, Б — гипотетика, В — дегенерирующие яйцеклетки 7 амбельских биомассеток, один из которых ассоциирован с хроматидами, Г — четвертица I, Д — инфаза I, Е — телиофора I, Ж — фаза микроспор.



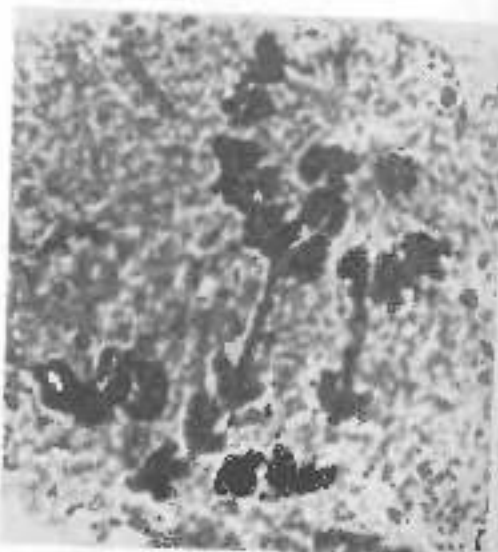
A



B



C



D

Рис. 17. Отложения гиарогина в мелкозернистых рядах. (По Малинович, Себолару, 1970).
А — задержка гиарогина между палочками в стадии I; Б — задержка гиарогина в стадии II; В — залегание гиарогина между хлоритовыми, альбитовыми и другими типами зерен кристаллических носителей;
Г — хроматические частицы в зоне

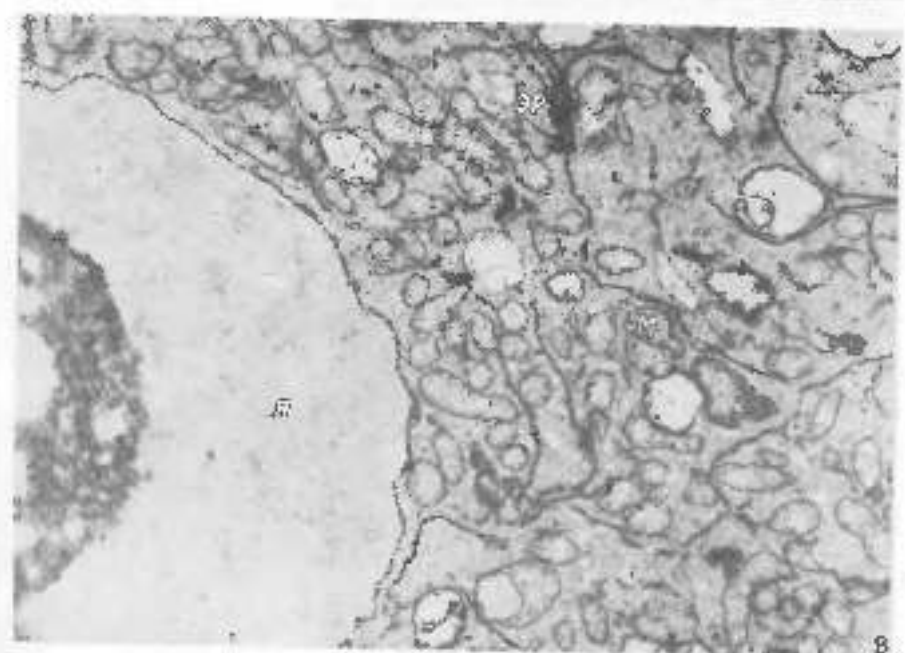
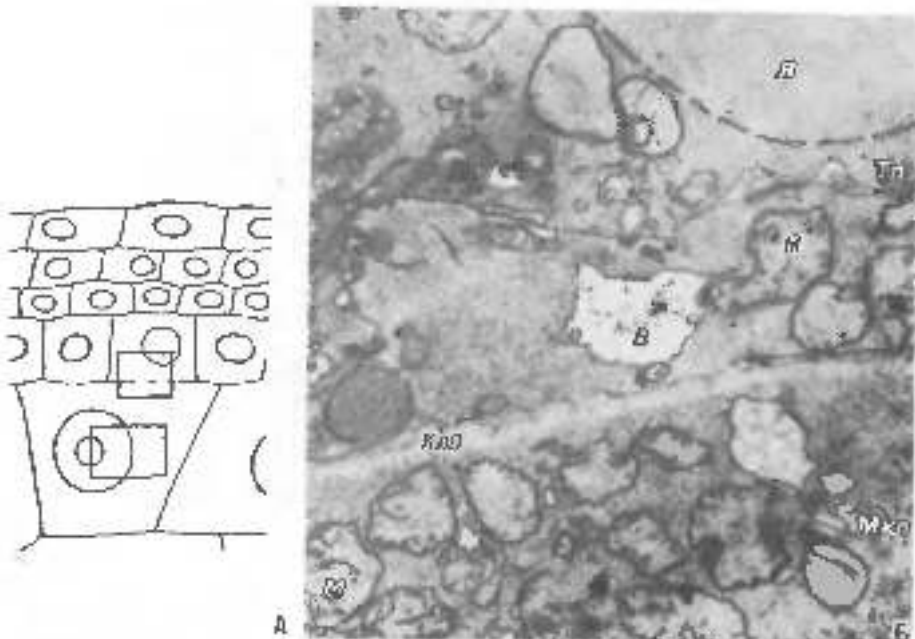
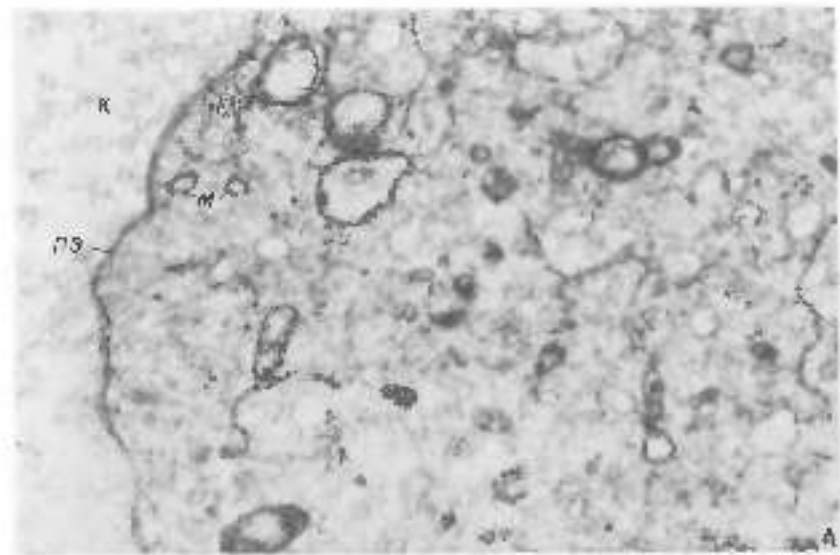
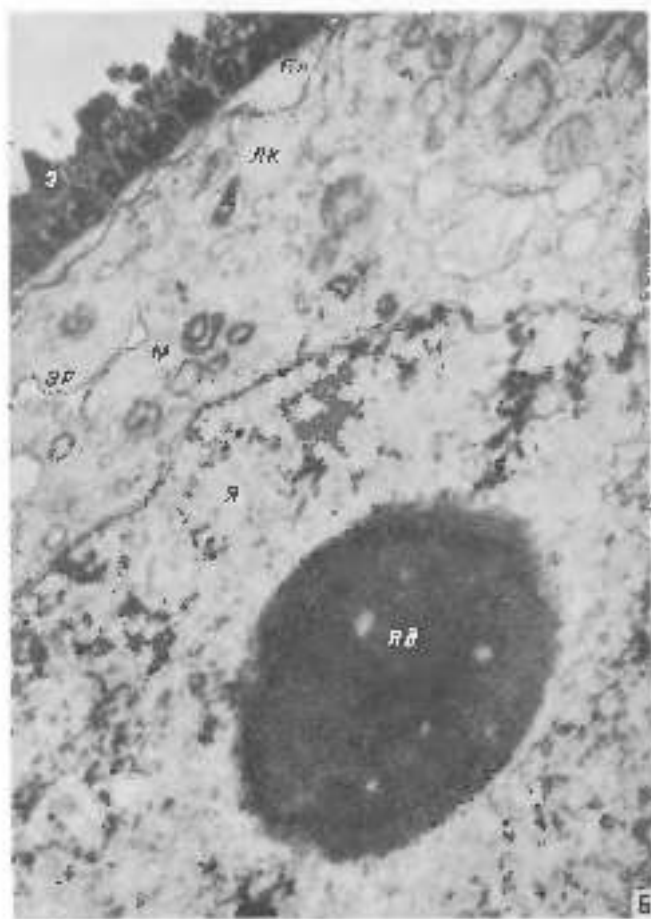


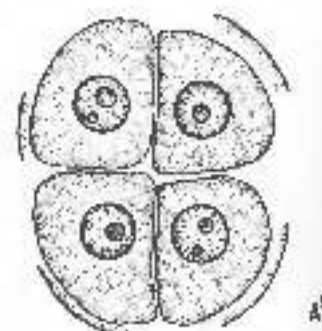
Рис. 18. Фрагмент микроспоронгия с кукурузы (по Кирпичникову, присоедин. автора) А - схема расположения микроспоронгия в кукурузе (пресеканный срез). Б - фрагмент микроспоронгия и тромбоксанной в нем пластинки кукурудзы. В - фрагмент микроспоронгия. Обозначения как на рис. 7, А, Б.



A



B



A'

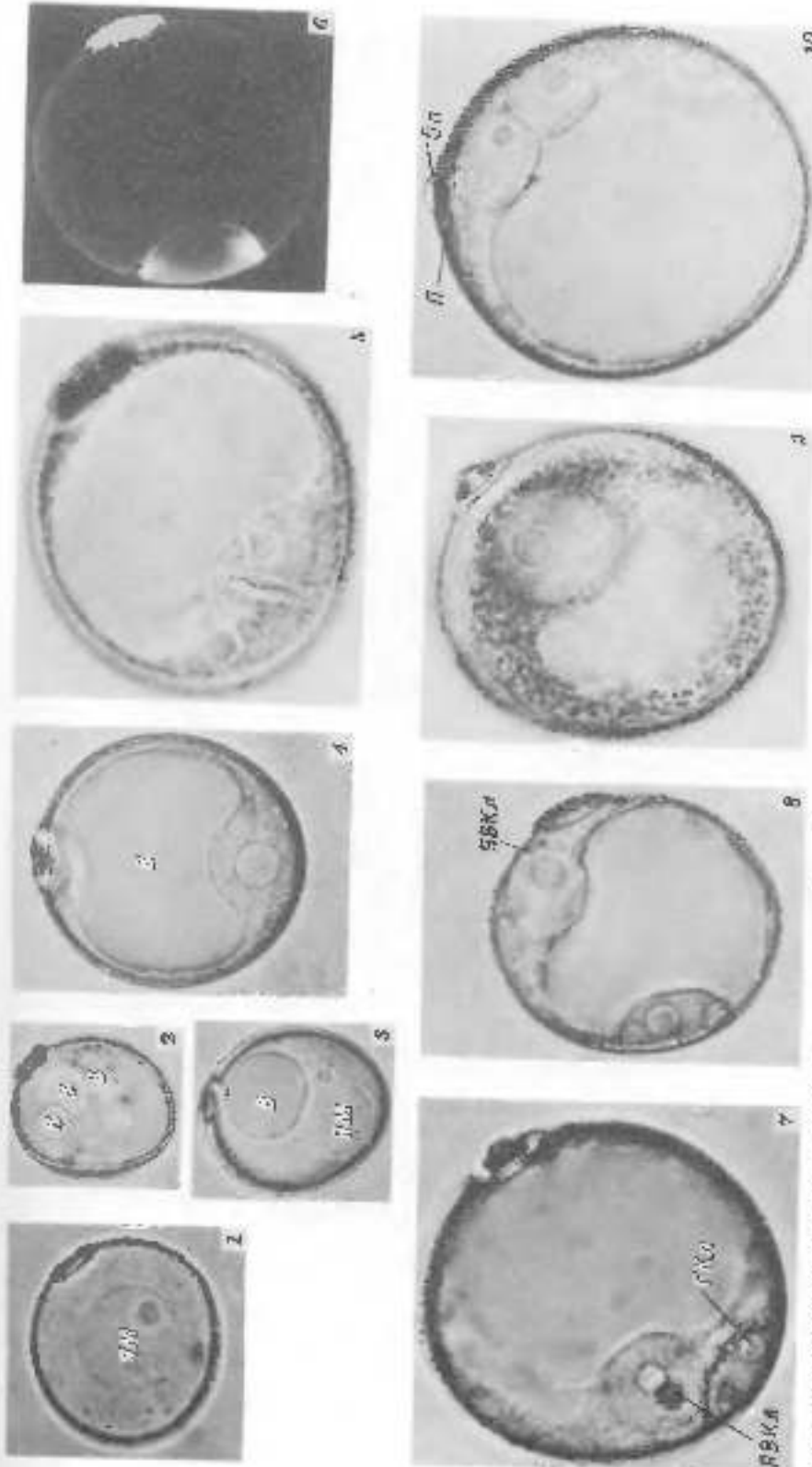


B'

Рис. 19. Фрагмент тетрады микроспор цветковых (А, А') — сорг. Дианант к 20(119) и фрагмент микроспоры овса (Б, Б'). (П. Осторогинский, Голубь, Завьял). ТЭМ.
Р2 — принципиальная обозначение как на рис. 7, 8, 10—12.

FIG. 22. Основные фазы развития яйца *Trichomyces* (по Родионову, 1973). Числа, стоящие в скобках, — время от начала инкубации до появления соответствующей стадии, в часах.

1 — яйцо с перегородкой и яйцевитом. 2 — яйцо с яйцевитом, но без перегородки. 3 — яйцо с яйцевитом, но без перегородки. 4 — яйцо с яйцевитом, но без перегородки. 5 — яйцо с яйцевитом, но без перегородки. 6 — яйцо с яйцевитом, но без перегородки. 7 — яйцо с яйцевитом, но без перегородки. 8 — яйцо с яйцевитом, но без перегородки. 9 — яйцо с яйцевитом, но без перегородки. 10 — яйцо с яйцевитом, но без перегородки. 11 — яйцо с яйцевитом, но без перегородки. 12 — яйцо с яйцевитом, но без перегородки. 13 — яйцо с яйцевитом, но без перегородки. 14 — яйцо с яйцевитом, но без перегородки. 15 — яйцо с яйцевитом, но без перегородки.



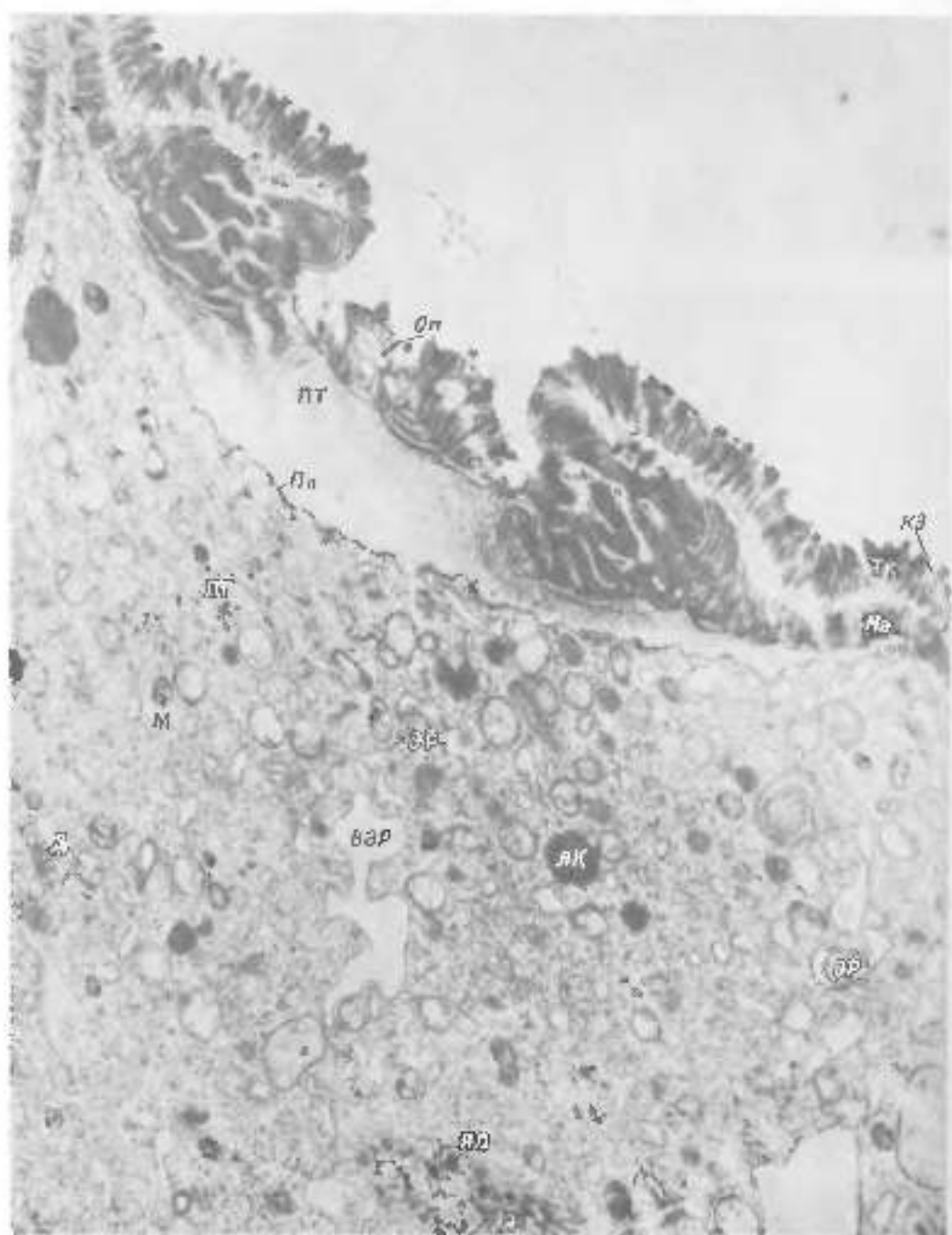
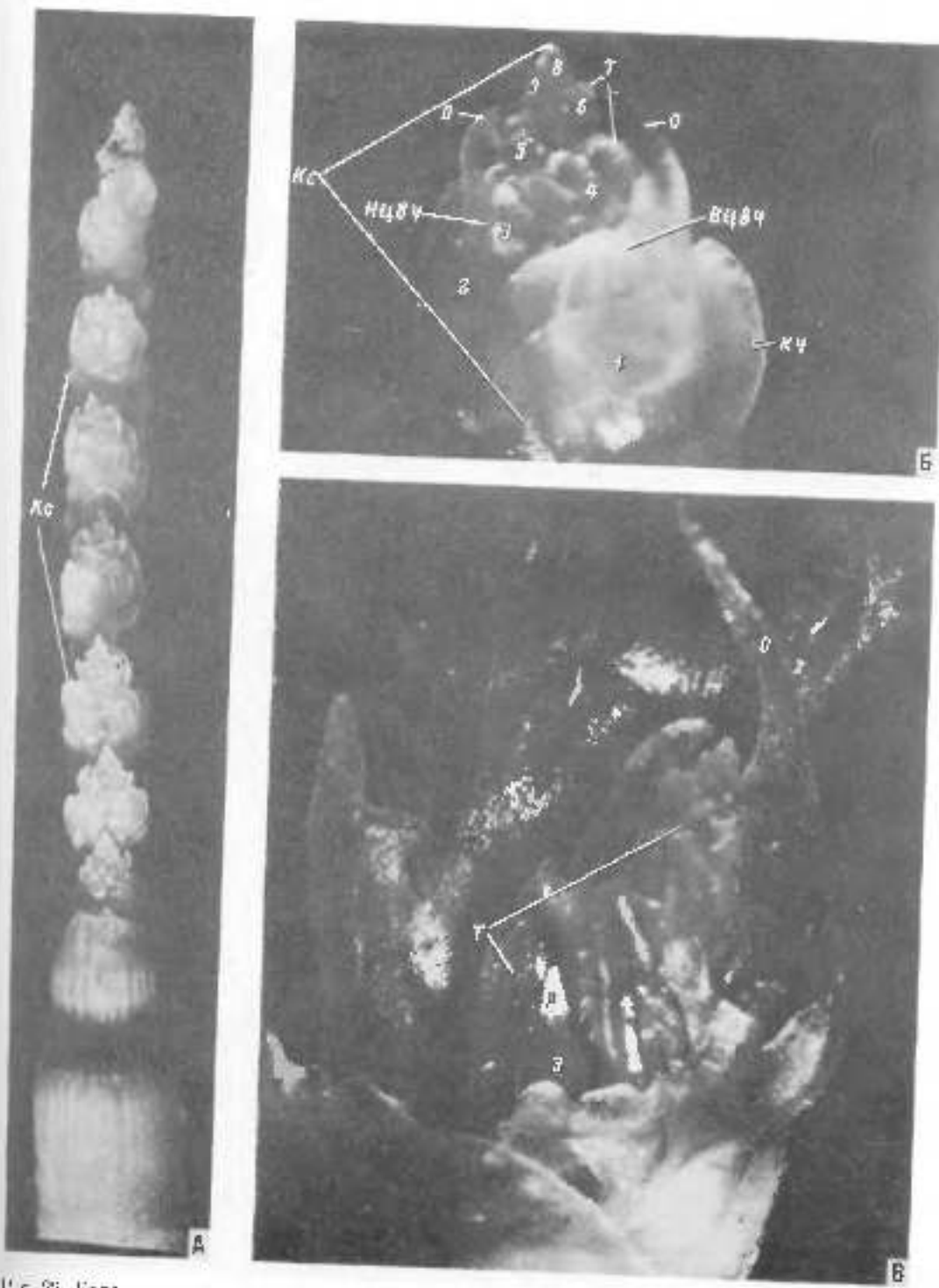


Рис. 21. Фрагмент электронного изображения (шаг 25/18) в рабочем масле ($\times 7600$). (По Степанянской, Петровой, Шимоне). ТЭМ.

БМР — ворушеобразное расположение эпидермических волосков, КР — куколичные, ВК — взрослых яиц, МИ — имаго яиц, Оп — оперкулум, ПГ — пупарий Гемолиза, ПГ — примежуточное яйцо, Тк — тентакул, ББ — базифронтальная зона. Остальные обозначения как на рис. 7, 8, 11.



Ил. 22. Колеса линейки на стадии фрагментации почвогрунтовых лярв (*A*) и отдельный келиосом (*B*, *H*). (По Батыревой, 1974).

З - линзы, КЧ - келиосом, Р - риджес. 1-5 - номера скелетных элементов, обозначенных как на рис. 4.

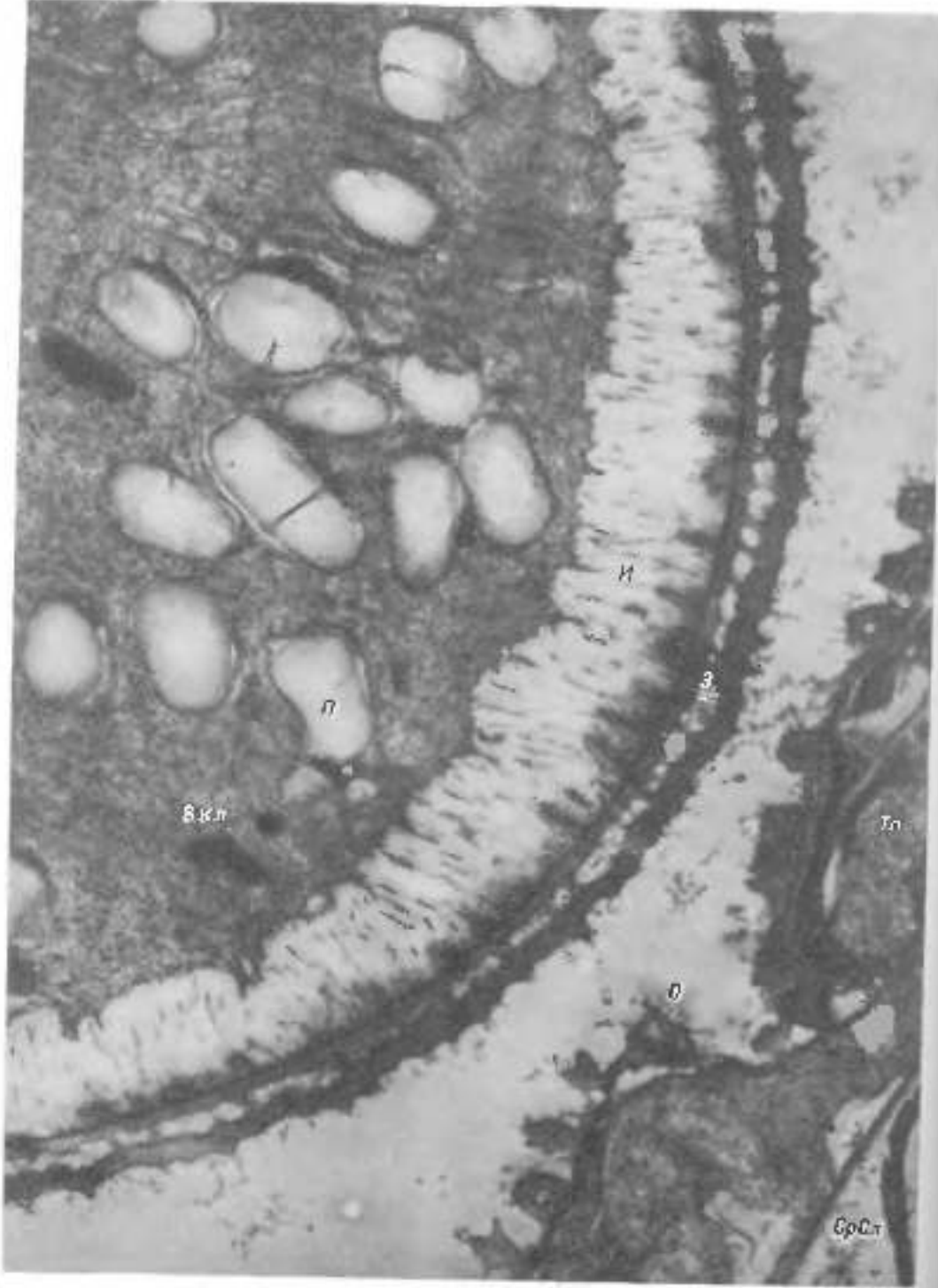


Рис. 23. Фрагмент завязи зерна пшеницы (сорт Диамант к 25019) в фазе деления гегеморитовых клеток (По Огородникову, посмущ. дополн.). ТЭМ.
Внешняя и внутренняя оболочки; в цитоплазме — пластинки с крупными краquelльными зернами. Ядро — включение. П — ядро. Остальные обозначения так же на рис. 7, 12.

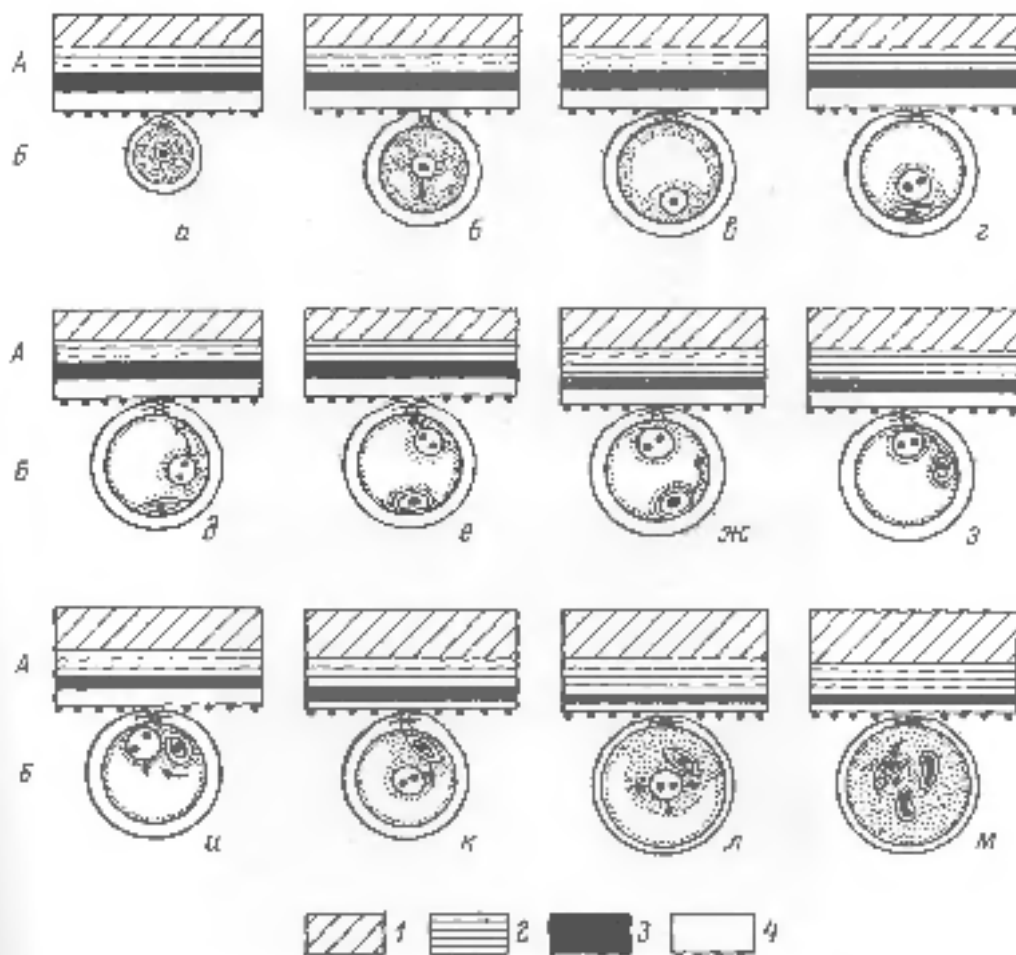
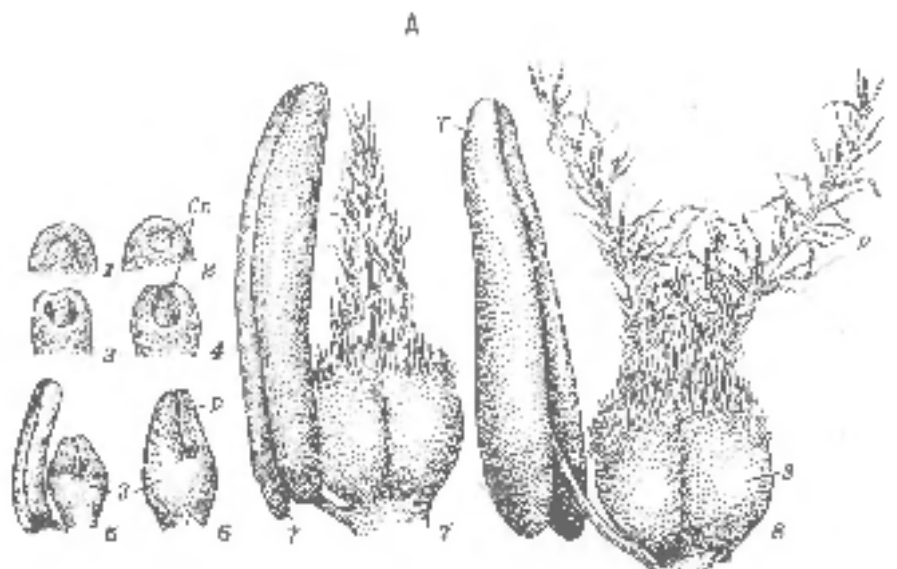


Рис. 24. Положение клеток и ядер в микроспоре и пыльцевых зернах цветков Торения. (По Балысовой, Гаккаевой, 1986).

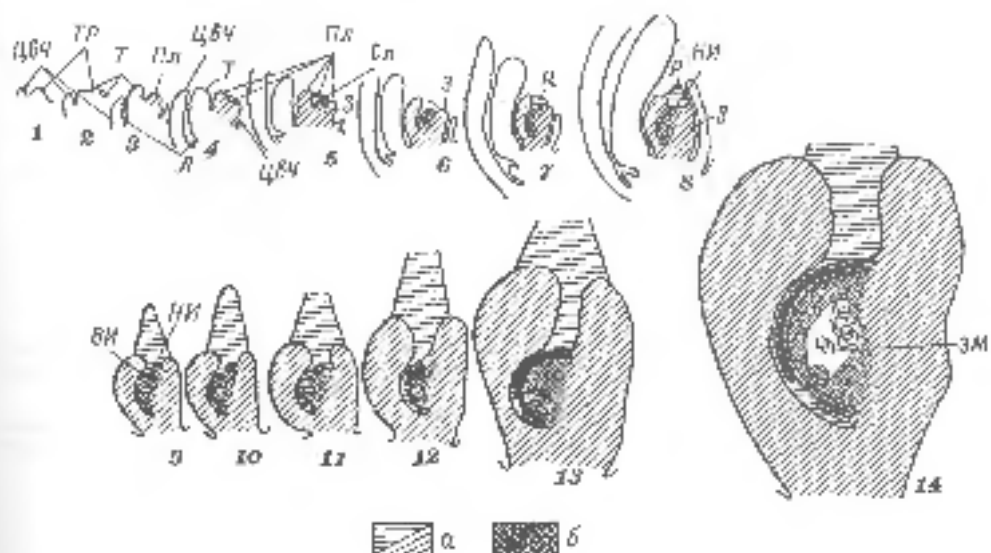
A — стена пыльцевика, *B* — микролопти, выпущенное зерно, *C* — зародыш, *D* — чистоклетка, *E* — средний спир, *F* — центральная преблекулями. Схематичные изображения ядерок и ядер. *a* и *и* — последовательные стадии развития от микроспоры до зрелого инактивированного ядра.



Рис. 26. Стадии (1—4) развития постнатального личинкового покрова у лягушки, B — брюшко, E — головка, J — хвостик, P — рукоце, T — спинка.



Б



а б

Рис. 26. Развитие яичника (девочки) (А, 1—8) и семявыносящих протоков (Б, 1—14) (согр. Диамант). (По Багыгиной, 1974).

БН — внутренний интегумент, ЗМ — зародышевый мешок, ЕИ — наружный интегумент, ПЛ — плацодии, Сп — сенполиаке, ТР — туникаости, ПЛЧ — плацодиев чешуй, а — яйцо, б — сенполиаке. Окончательное обозначение яицких ячеек на рис. 25.

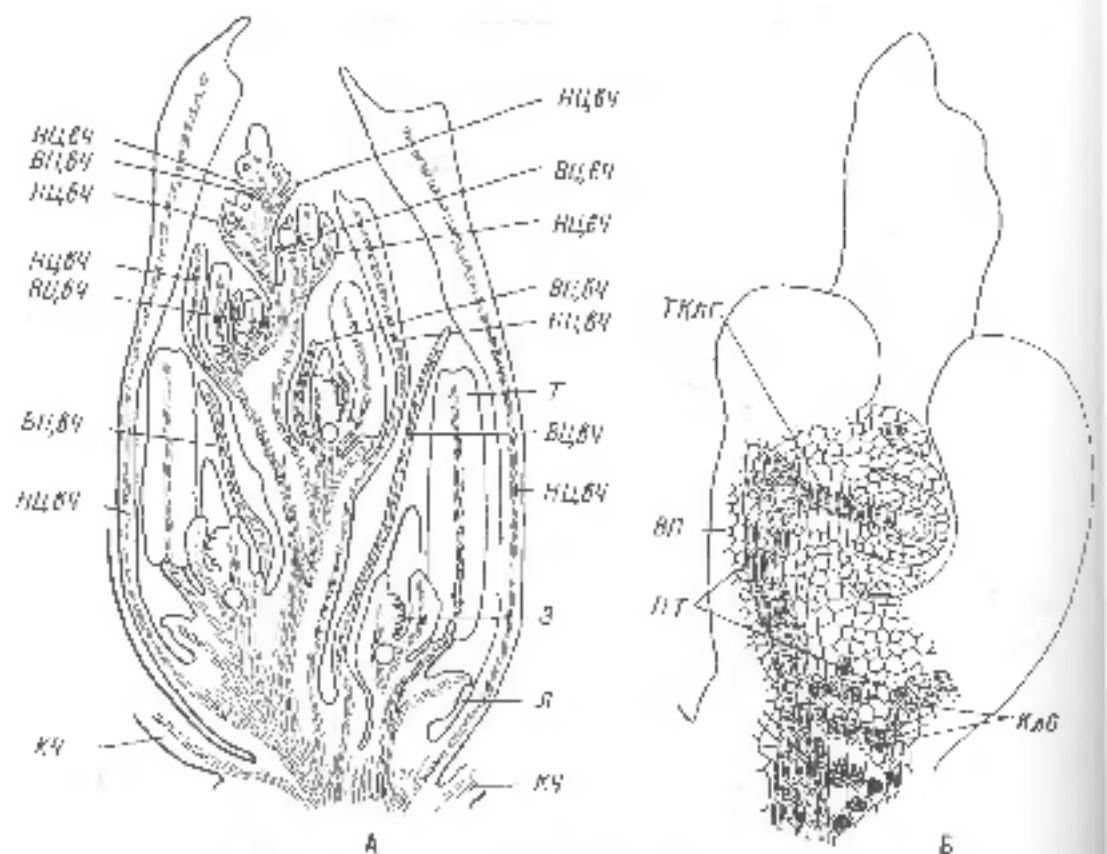


Рис. 27. Поперечный срез грибера птицелии, состоящего из 6 слоев, из различных стадии развития (окраски нестиллюминесцентных клеток обозначена — передвигающимися кляссы) (A) и зернистый лист с гидрацией магнитографом (B). (По Батыгиной, 1974).

БЛ — искуственная пластина, *ВДЧ* — внутренняя синеколючешуйка, *КлБ* — влаги обильен, *А.Ч* — колициорная чешуйка, *ВДвЧ* — наружная пыльцевая чешуйка, *ЛТ* — промежуточный ткань, *ТКлГ* — ткань листья клетки спицестанды. Остальные обозначения как на рис. 25.

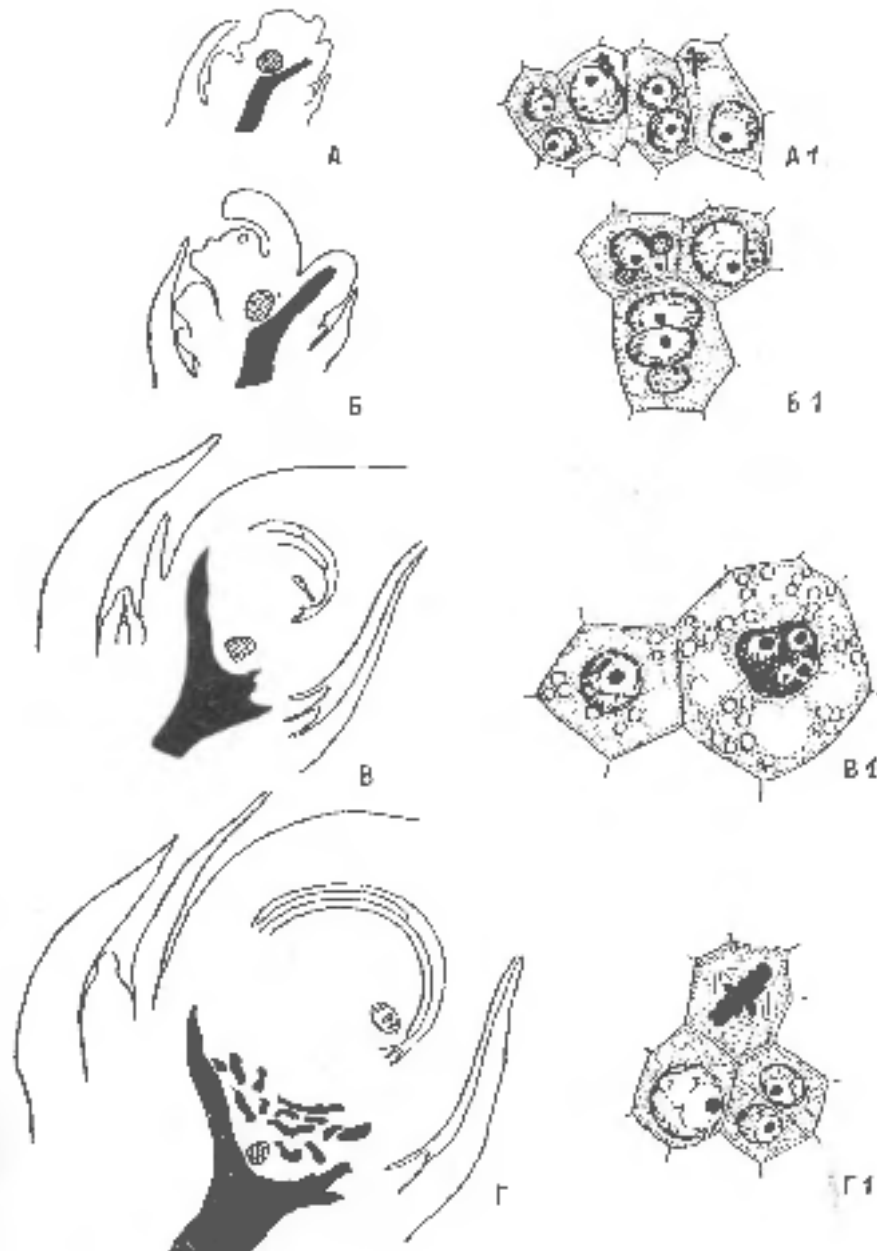


Рис. 26. Схема строения хлебного колоска и цветка кукурузы на разных стадиях развития. (По Коробовой, 1982).

А — характеристический бутон растения; Б — язичковоприцельный цветок; В — интаспорцид; Г — 4 зеленый зачаток зародышевый чешуй (защитниковая зона передаточных клеток); А1, Б1, В1, Г1 — поперечные срезы при помощи усилителя.

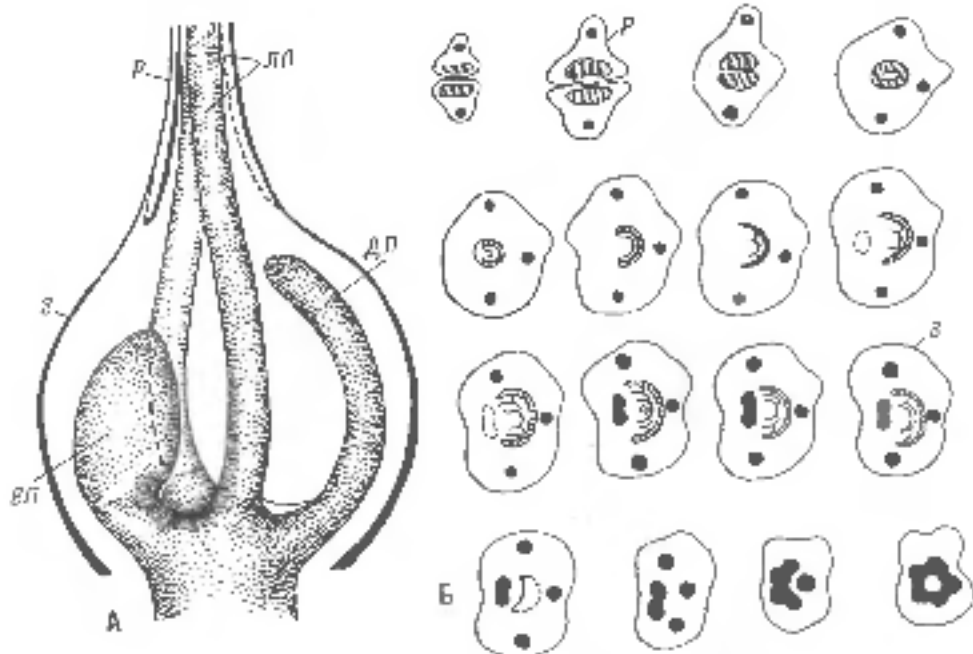


Рис. 29. Проводящая система зародыша личинки. (По Батыгиной, 1974).

A — продольный разрез; *B* — поперечные срезы зародыша. *AP* — антериальный пучок, *VPL* — вентральный пучок. Остальные обозначения как на рис. 26, 27.

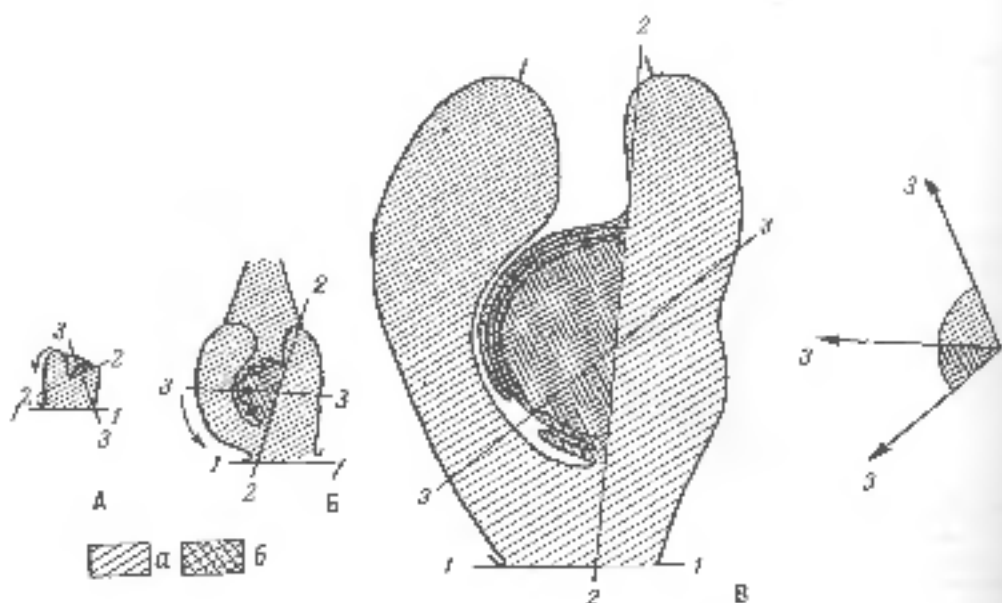


Рис. 30. Схема сокращения симметрии личинки в ходе ее развития. (По Батыгиной, 1974).

A — стадия меристематического бутылка, *B* — археспицальная лягушка, *C* — зрелый зародыш личинки. 1—1 — основные зиготы, 2—2 — гипогенные зиготы, 3—3 — продольная ось индивидуен. Штрихи *a*, *b* то же, что и на рис. 26.

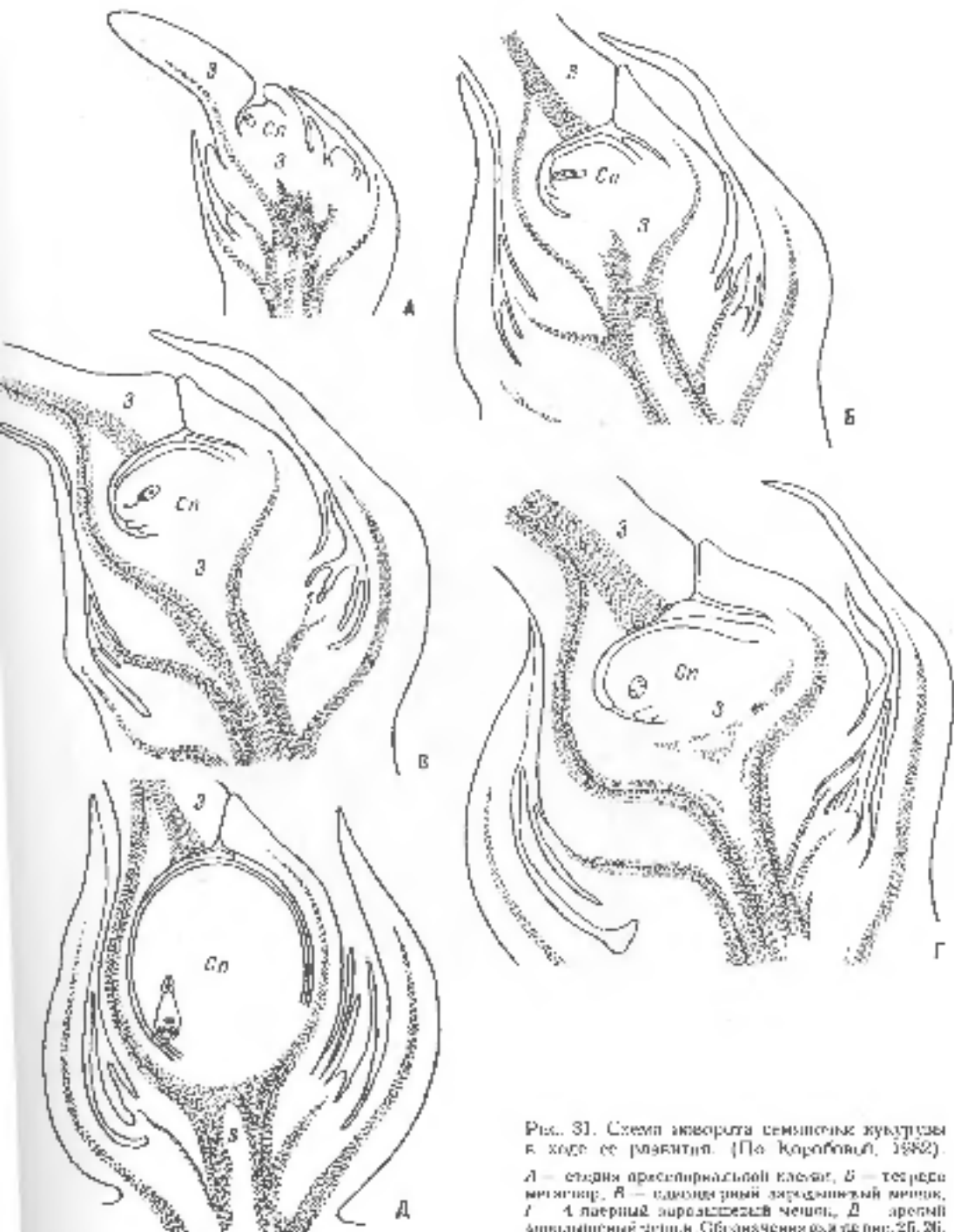


Рис. 31. Схема аквирита семиподъязычных жуков из хода ее развития. (По Коробковой, 1982).

A — стадия пресептинальной клетки, *Б* — тертериальный митоз, *В* — однодиагональный эквивалентный митоз, *Г* — 4-летний зародышевый чешот, *Д* — зрелый бесподъязычный чешот. Сокращения описаны на рис. 2б, 2б.

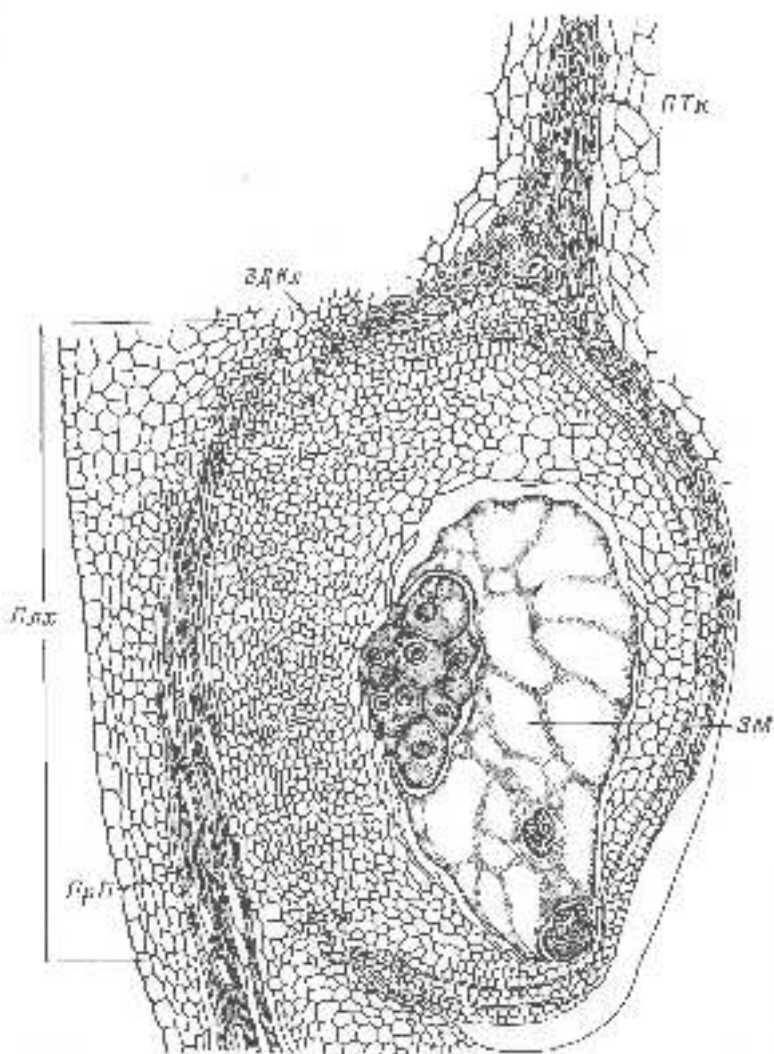


Рис. 32. Сокращение между величиною угла покрова эпидермисом гранулярной оси и зоной зернистости клеток. (По Сапчакову, Петровой, 1963, с изменениями).

ГЛК — гранулярный пласток, ЗМ — зернистые клетки, ПЛ — пласточечного характера, ГЛХ — промежуточный пласток, ПЛ — пласточечный гнездо.

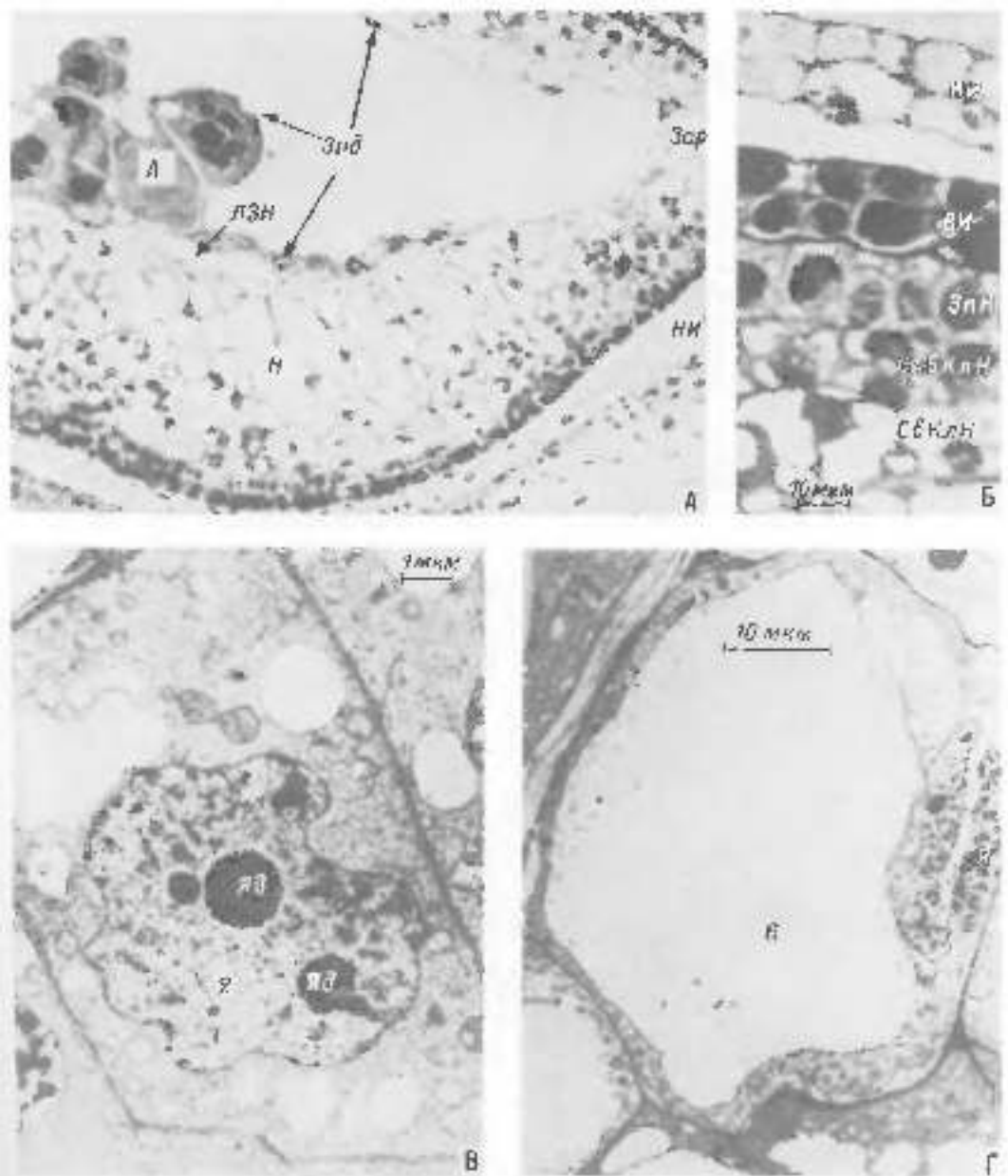


Рис. 33. Стадия 2 развития миелина в ганглиях и спинальных ганглиях птенцов курека. (По Norstog, 1974, с изм.).

A — продольный срез спинного (ССКН) и головного (ТМКН) мозга; *B* — поперечный срез спинного мозга (ВИ, ЗПН); *Г* — поперечный срез ганглия (ЗРД); *Д* — ядро оптической нервной клетки; *Е* — ядро периферической нервной клетки; *Ж* — ядро периферической нервной клетки с миелином; *З* — миелиновые волокна; *И* — миелиновый волоконный мембранный комплекс; *К* — миелиновый волоконный мембранный комплекс; *Л* — миелиновый волоконный мембранный комплекс; *М* — миелиновый волоконный мембранный комплекс; *Н* — миелиновый волоконный мембранный комплекс; *О* — миелиновый волоконный мембранный комплекс; *П* — миелиновый волоконный мембранный комплекс; *Р* — миелиновый волоконный мембранный комплекс; *С* — миелиновый волоконный мембранный комплекс; *Т* — миелиновый волоконный мембранный комплекс; *Ч* — миелиновый волоконный мембранный комплекс.

Рис. 34. Разрушение пакуажированных клеток гипotalамуса, приставленных к дородительскому пушку, в образование отделяющей зоны. (По Norstog, 1974, с изм.). ТЭМ.

Гипоталамический листок гипotalамуса, покрытый синапсидермой. Фрагменты мицеллярной мембранный мозговой ткани, фиброзный материал и липидный слой. Справа — пестрина зондом-мозг.

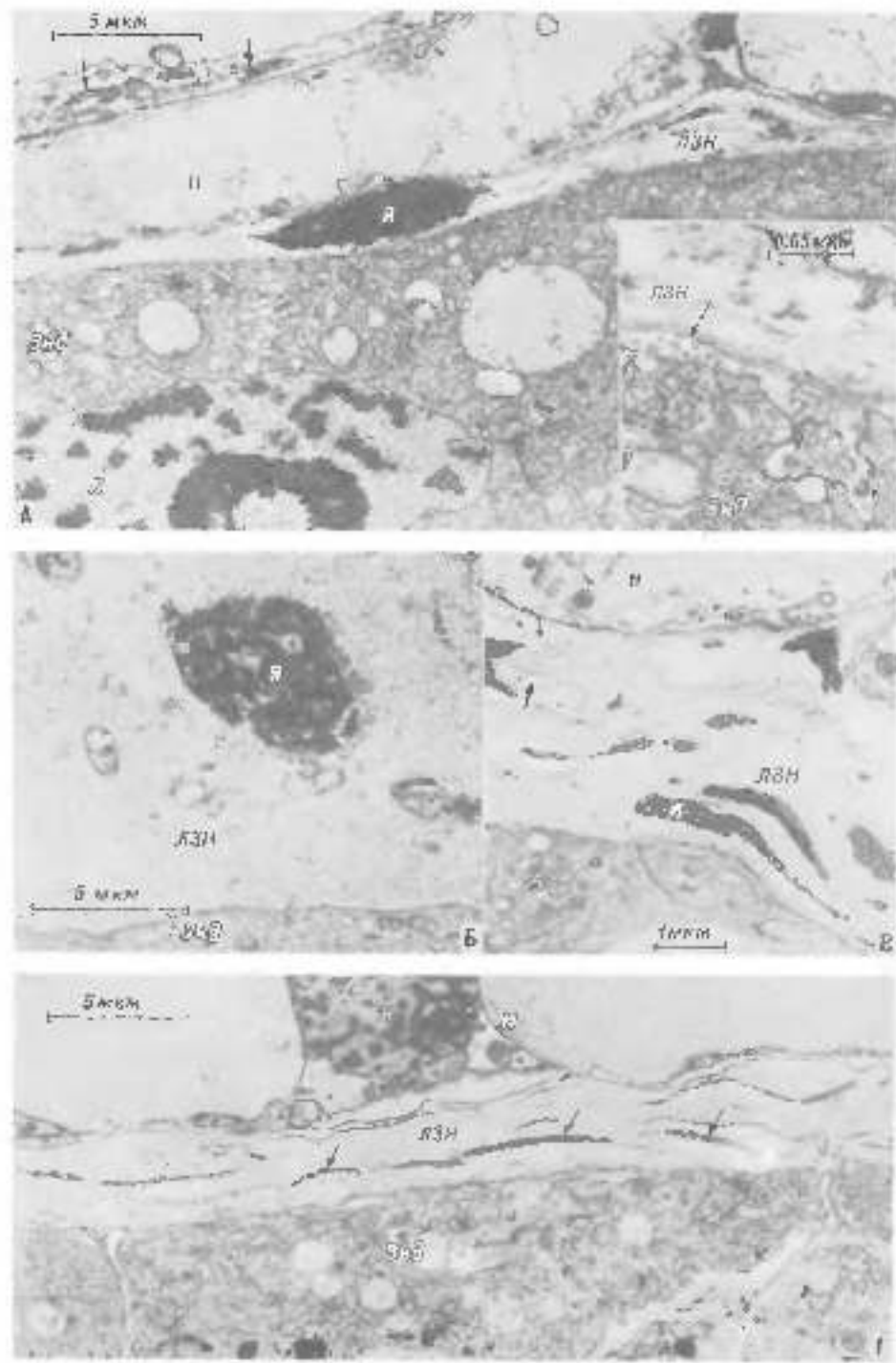


Рис. 34 (продолжение).

четкого ретикулума (стрека между ядрами); нижеследующий синусидиальный стебок эпителиальных (больших стебков) и папиллярных (маленьких стеблов); Б — фрагмент дистортующей зоны, проникающей в синусидиальный резервуар; гранулы; Г — фрагмент пупулации в синусидиальном ядре; антиподальные клетки, проникающие в дистортующую зону, содержит в кистоморные ядра; Д — слой разрушенных пульсарных клеток (стеклов); Е — фрагмент с дистортующей зоны, окраинный с клетками Эденикского, ядро в суспензии; теснотокрашенные тельца (стрека) — ядробозоиды, дегенерирующие ядра. Обозначения как на рис. 33.

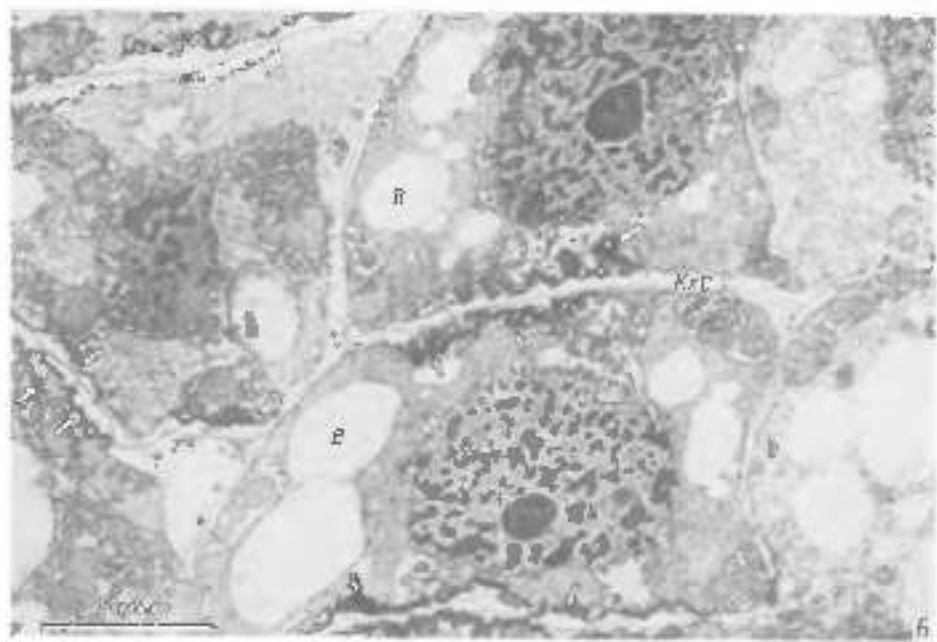
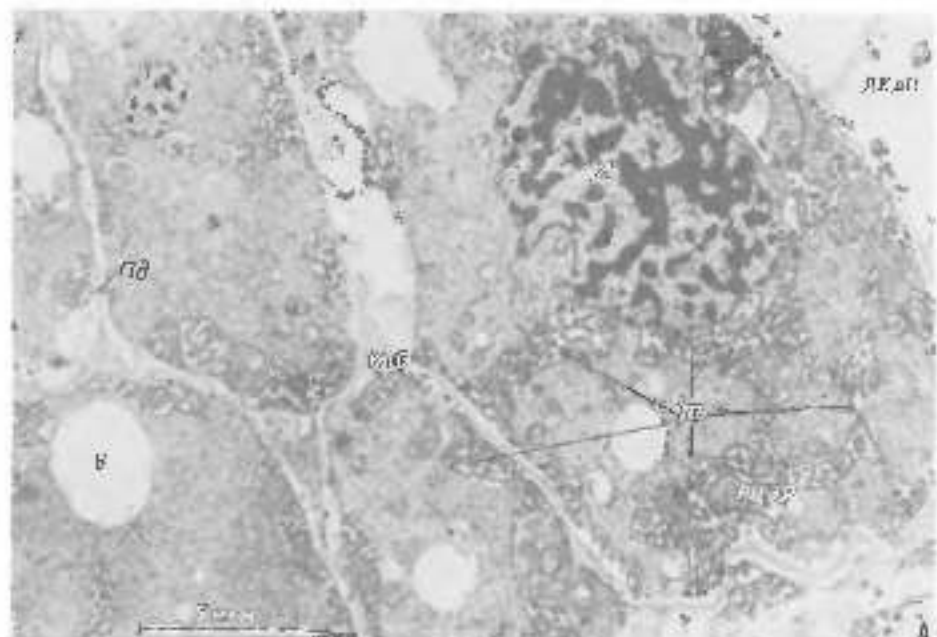


Рис. 36. Биоустановленные изменения нейрональных перегородок через 1–2 сут после атаксии (A, B); электронно-микроскопические фотографии иллюстрируют различные стадии их гипертезы. (Тю Шимарину, леонтьев, панагидзе)

Перегородки пространственно пересекают и растягиваются в диапазоне 30° и сокращаются в диапазоне 30° в зависимости от состояния и строения тканевых клеток (паренхима, начальник лимфатических разрастаний, клетки-столбцы). В — вакуоли, КМК — клетомегалические ядра, ПМК — плавающие митохондрии, ВМК — перинуклеарные приструктуры, РЦДР — расширенные цистерны эндоплазматического ретикулума, Я — ядро.

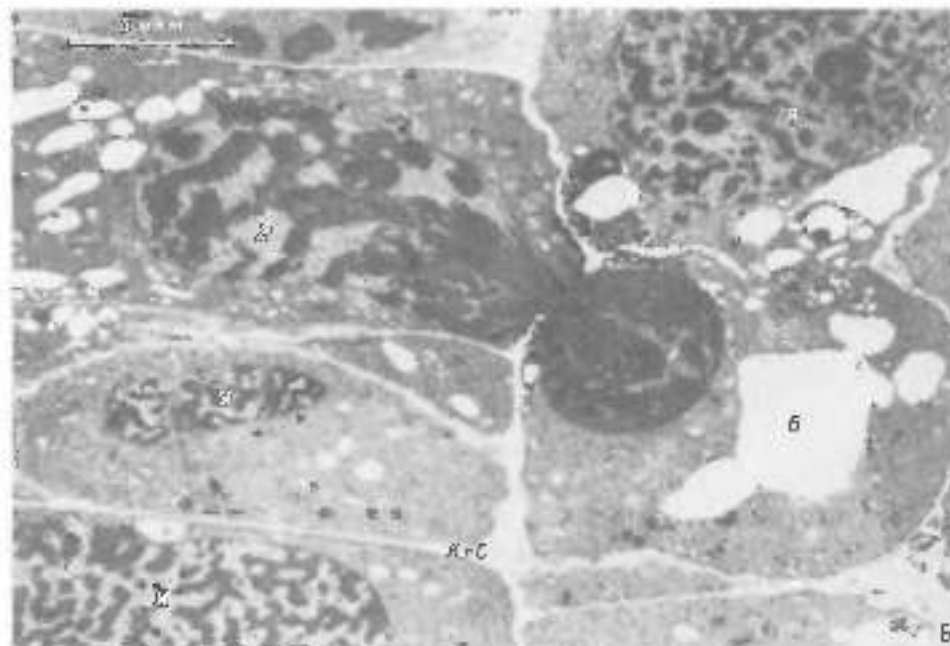
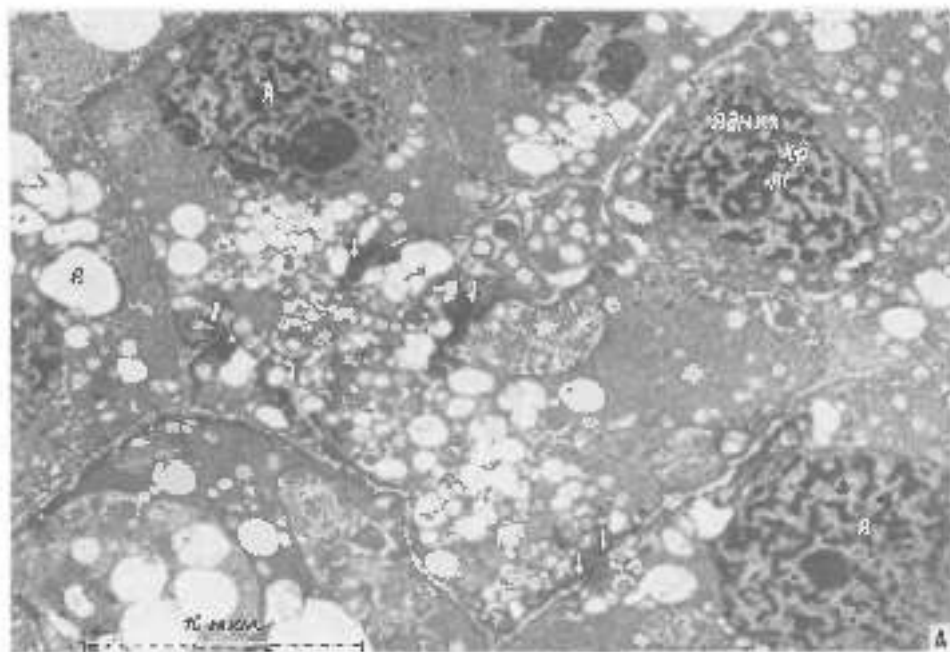


Рис. 11. Внутренне деградирующие клетки гепатоцита моряка через 1—2 сут после отравления (по Шварцеву, исходя из данных). ТЭМ.

А — обширноядные цитоплазматические вакуоли («сиреневые»), обогащенные гликогеном и липидами; Б — зонозные пограничные ядра (ядерные «спинки»). Синкапные участки пластичных структур. А — карбонатный барьер; Б — ядринко-гликогеновые включения. Гистологический окраска см. как на рис. 2а.

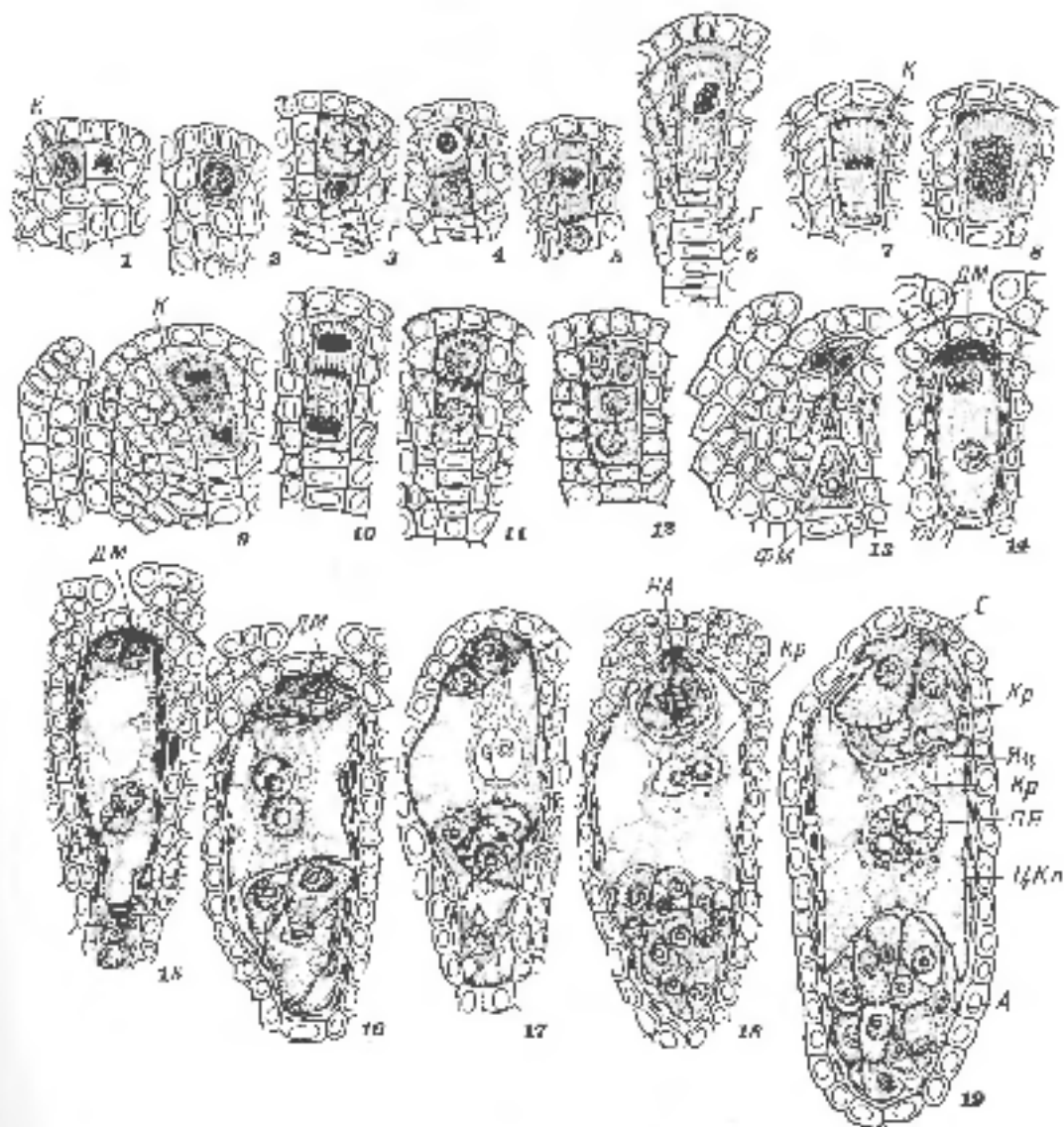


Рис. 37. Мегаспоронекущий размножение зародышевого яйца в гланциии. (По Бахтиной, 1974).
 1—5 — краепородные клетки, 6 — мегаспорангий, 7, 8 — прификс, 9 — ядрофибр Г лейкои, 10 — гемофил Г лейкои, 11 — пластика, 12 — зигота Мегаспор, 13 — дескапсирующее зародышевое яйцо с краепородными клетками, 14 — 5-ядерный «рифтовый» яйцеклетка, 15 — 4-ядерный чехолюбивский яйцеклетка, 16 — сформированный 7-ядерный 8-клеточный зародышевый яйцеклетка, 17—19 — созревание зародышевого яйца. А — апикаль, Г — гинекий, АМ — дегенерирующий антеридий, К — каштанка, Кр — краепородные клетки, РА — поганчатый аппарат, РК — покрытие яйца, С — склерозия, ФМ — фунгинизирующая метаспора, ЦКЛ — центральная клетка, КЦ — яйцеклетка.

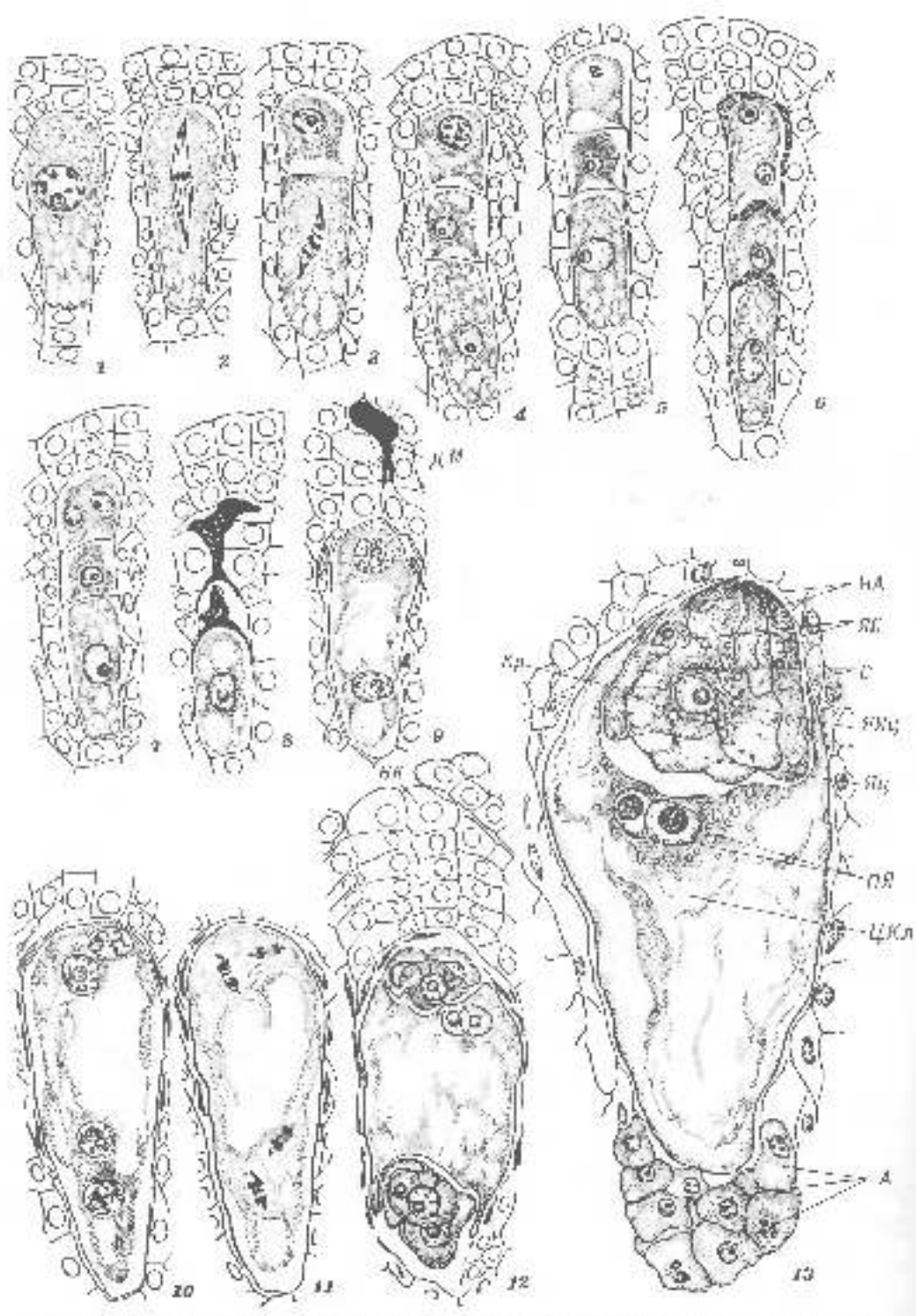


Рис. 36. Мегалопорозис и различные ларвогенеративные стадии у куколки. (По Коробовой, 1962).

1 — яйцокоридит, 2, 3 — образование дна и интегуляция, 4—7 — образование гряды интегуляции, 8 — фиксированная голова с заднегрудным и грудонефритическим макроподитом, 9 — макроподит и грудонефритический макроподит, 10 — 9-ядерный хоредицит с 2-мя яйцами, 11 — пахинеяльные яйца и 9-паярное зародышеское мешко, образование бокалурита, 12 — сформированный корицовый яичник, 13 — яичный кориценин в яичнике. ПК — пупаллерный колпачок, РЕ — наружный туннельный, ЯИЦ — ядро яйцекладов. Остальные обозначения как на рис. 37.

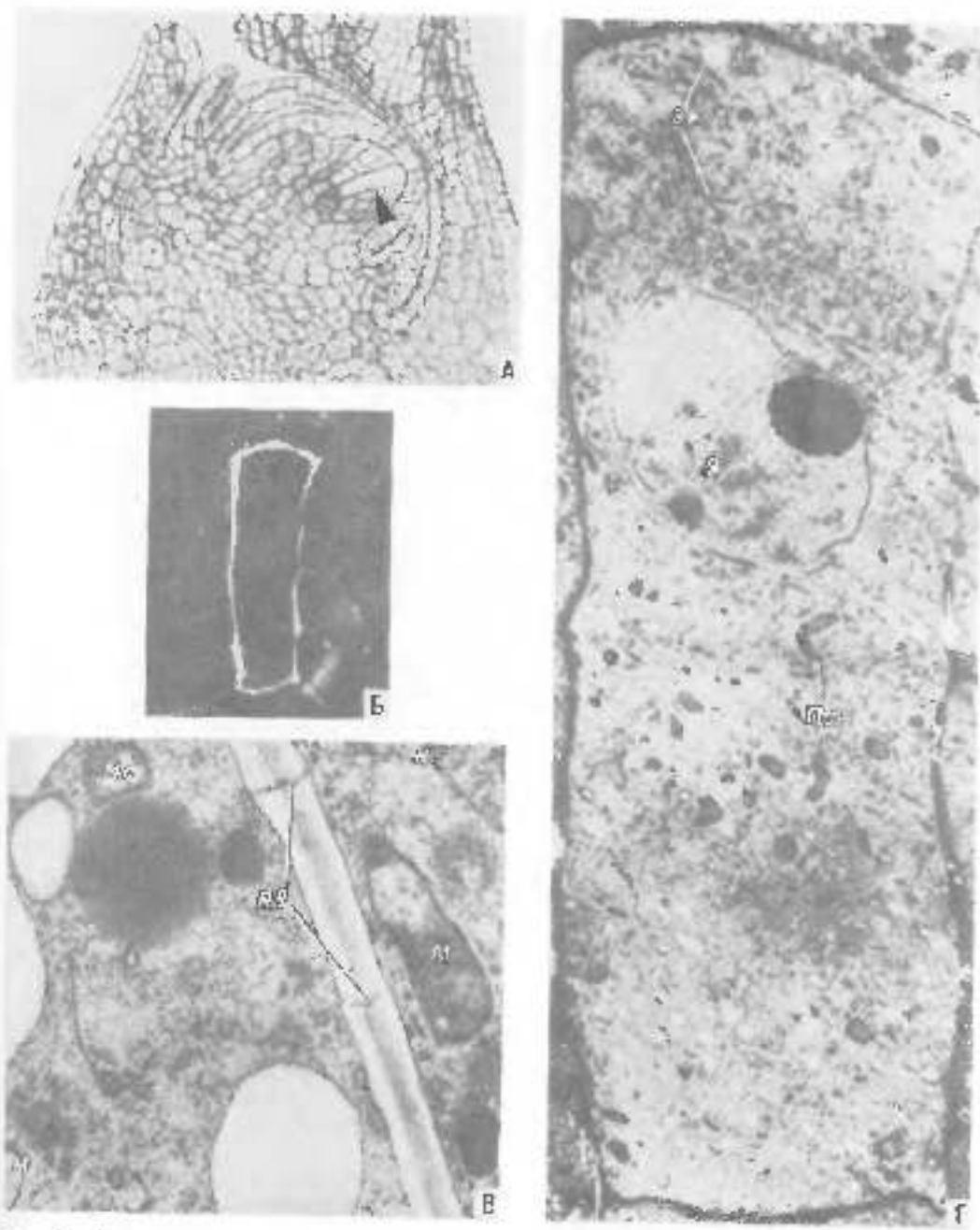


Рис. 36. Молодой проросток кукурузы и его строение. (По Кюнел, 1979, с изм.). А — СМ, Б — ФМ, В, Г — ТМ.

А — сенепечка с неизспироцитом (барельеф). Б — флуоресценция кианозина в коллагеновой структуре ксилопороски ($\times 720$). В — пектиновая субекточка межспироцита в холиногенной его части, видима плазмодемой ($\times 31600$). Г — проделанный цикл межспироцита, визуализирующий его плауриновую ($\times 4000$). М — митохондрия, НС — хлоропласт. ПД — плазмодема. ЗР — эпидермический роговидный. Остальные обозначения даны на рис. 33, 35.

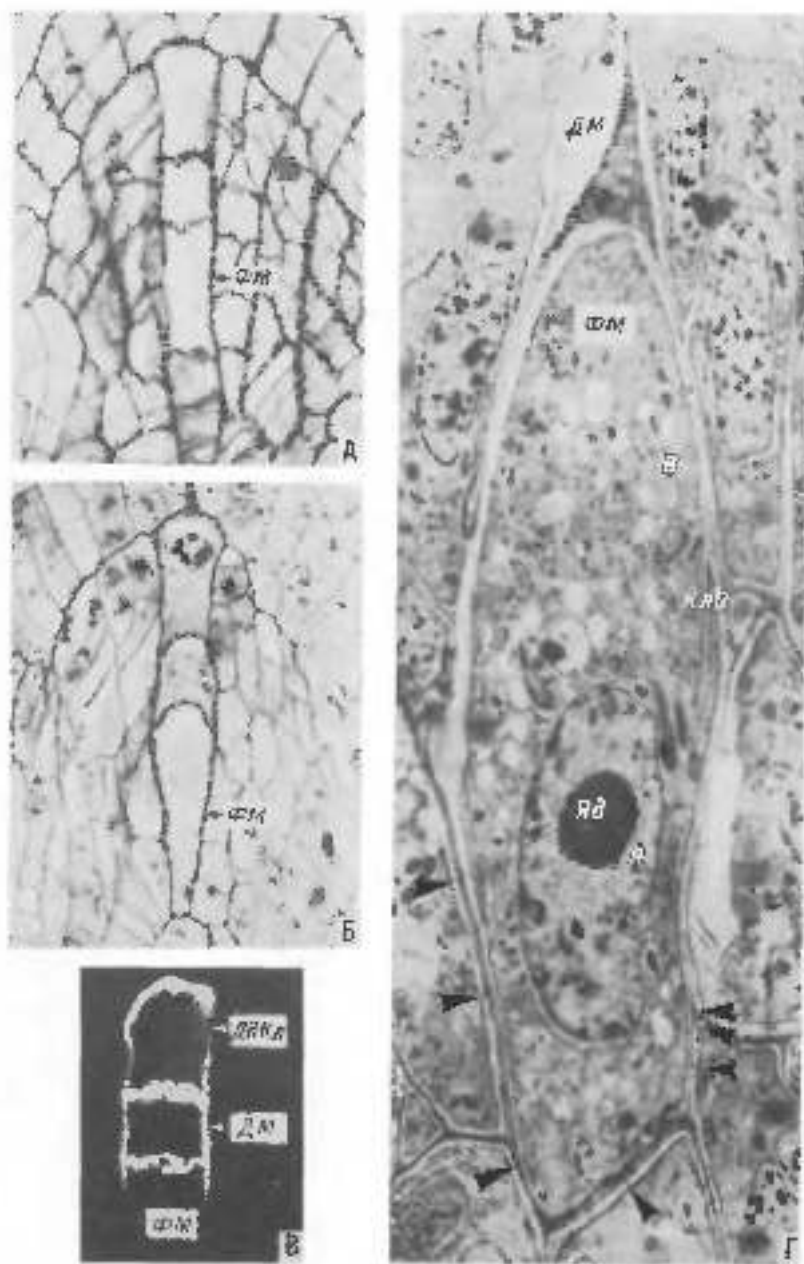


Рис. 40. Грибда мегастигм куккурузы. (По Розе), 1975 г. вкл.) ГМ.

А — грибда мегастигм при разширении функционирующей мегастигмы ($\times 720$); Б — грибда мегастигм при разширении функционирующей мегастигмы ($\times 675$); В — фагулярные и каллосы в клетках ядра нефункционирующей мегастигмы ($\times 3150$); Г — панцирь функционирующей мегастигмы в соколиной шине (отделение стрелками); Е — панцирь, ДФК — единица клетки, ДМ — разширение мегастигма, Коб — клеточная оболочка, ФМ — функционирующая мегастигма, Яд — ядро. Остальные обозначения как на рис. 38—39.

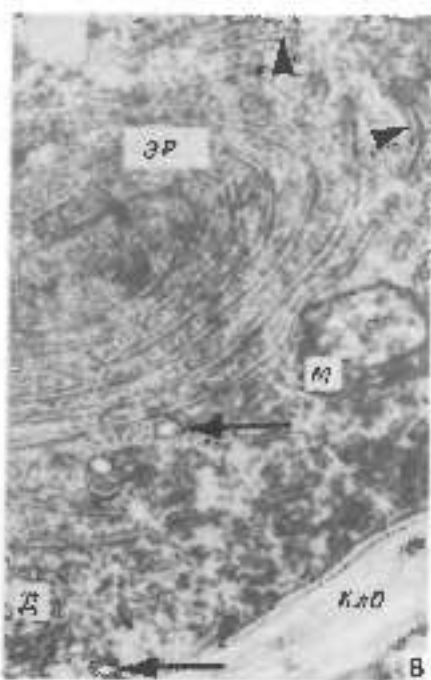
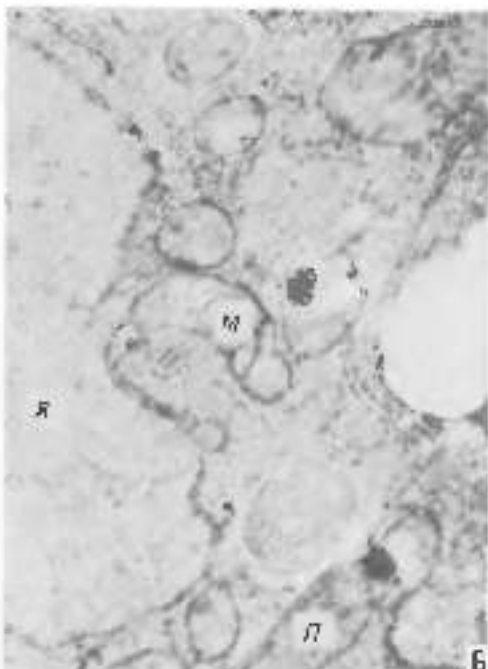
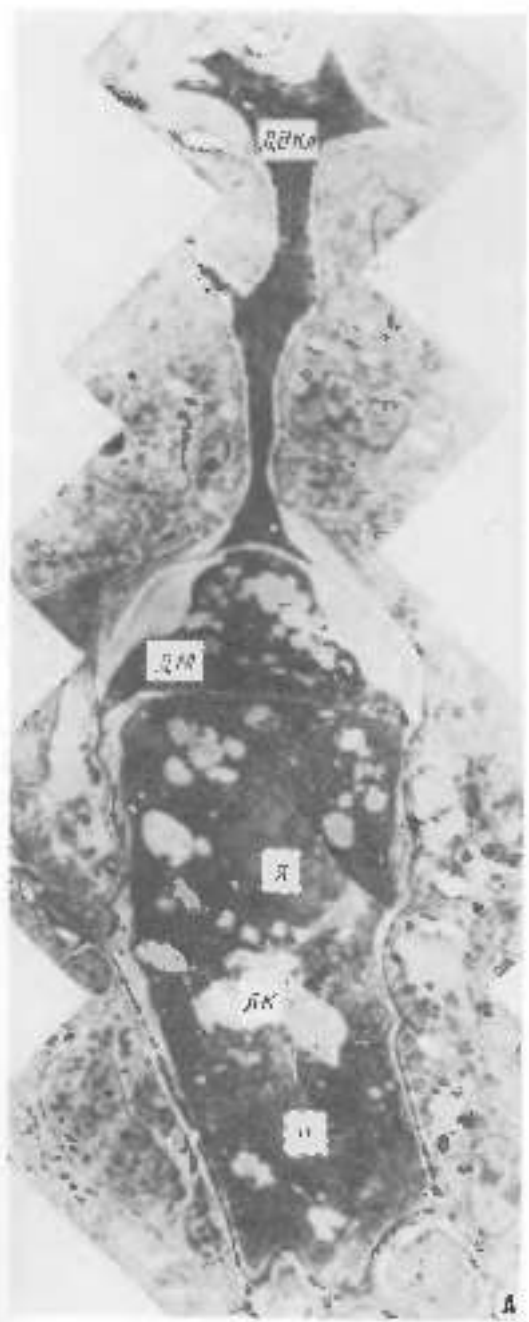


Рис. 41. 2-ядерный эпидермальный мигрант кекурумы (По Енисею, 1979). ТЭМ.

А — 2-ядерный зародышевый чешуй, вычленяющийся изогнута в клинок кир-клетки, ядра не обособлены (хроматосомы) (Х 2500). Б — фрагмент 2-ядерного зародышевого чешуй с цитосолой, богатой рибосомами, и хорошо развитыми остатками ядер (Х 25000). В — начало дифференциации эпидермальной стволовой клетки (диплопод), содержащей диплопод, окруженных из пузырьков (ориент.) напоминают яйцами в стенке (Х 5000). А — антиглюкозид, Б, В — гистохимическое об染ение. АБ — антигемагглютинин, В — пасынки. Остальные обозначения те же на рис. 35, 37, 39, 40.

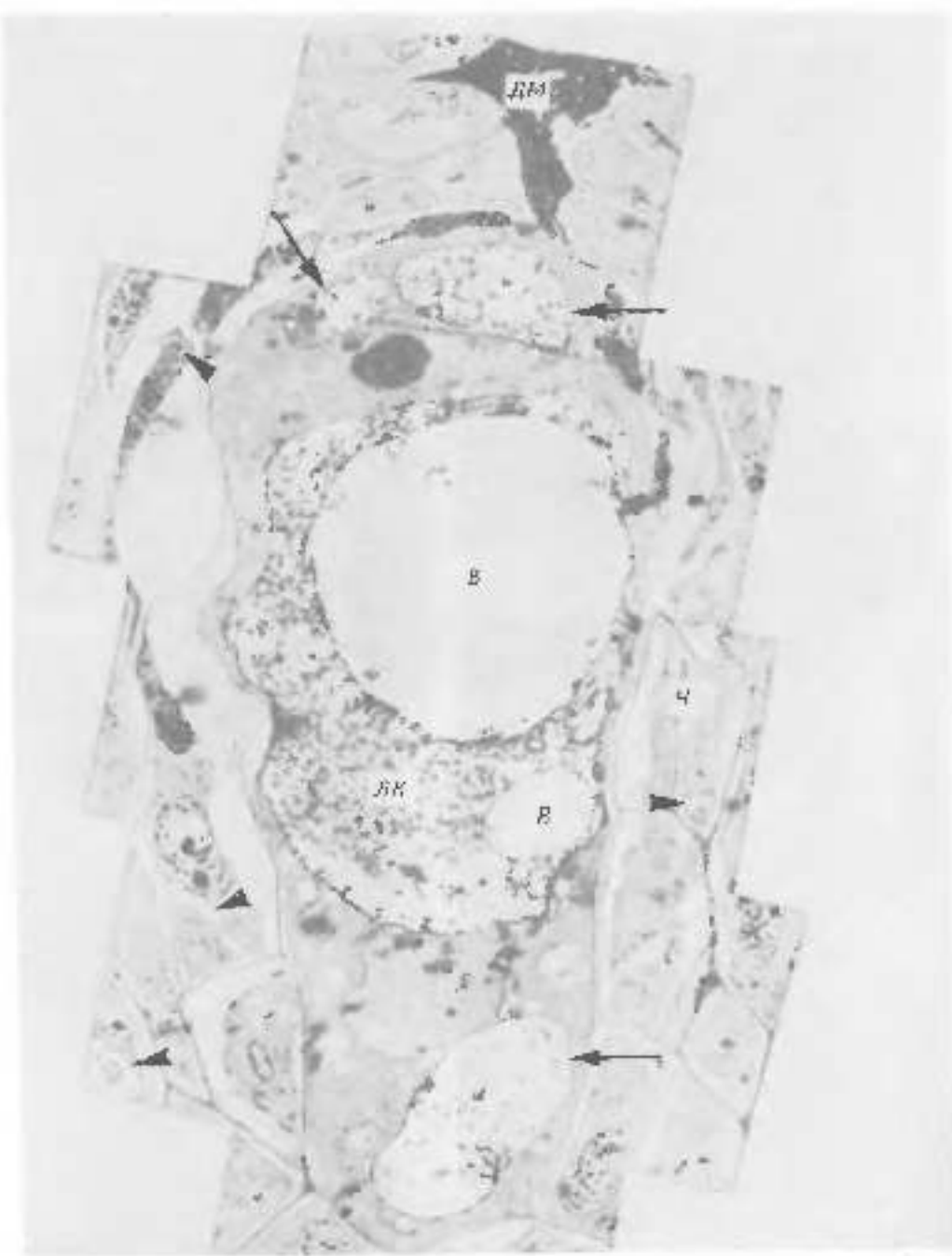


Рис. 42. Задернивший зародышевый эмбрион кукурузы ($\times 2700$). (По Russell, 1979). ТЭМ.

Задернивший метаморфоз узловых кистей, лежащих пристебельные дегенерированные участки; в центре приподнято разопицел зиготический комплекс обозревается большая центральная ячейка; видно членение антиплодной плаэмоциты (стрелки), и ясные трусливые признаки сгущения, увеличиваются число пауков (кончики стрелок) попадающие в зону (ср. с рис. 33, 34). БК — линиянан кисти. Обозначения как на рис. 33, 37, 40.

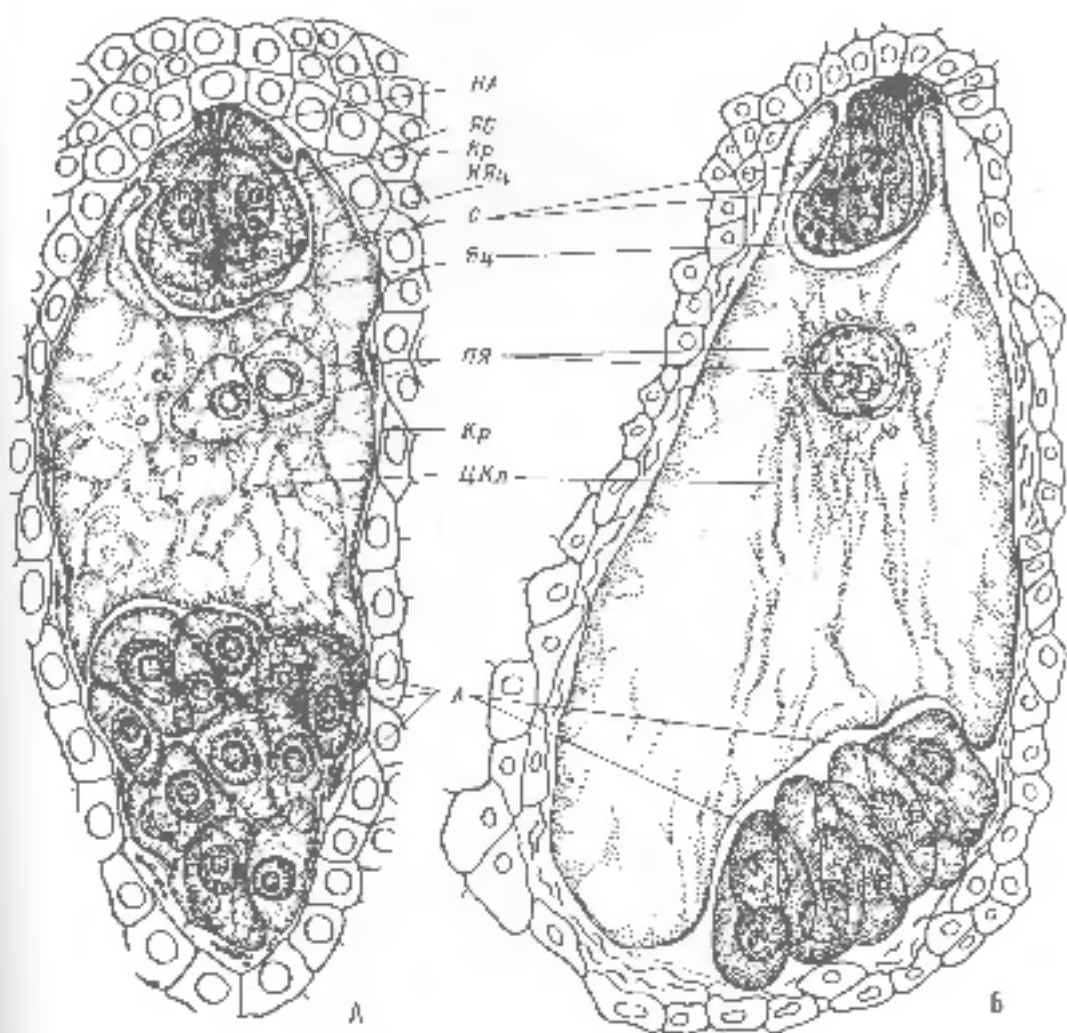


Рис. 43. Знродышевый щёлк шелкопряда. (По Тицкиной, 1974).

А — продольный («фильм»), Б — поперечный (полученное по Г. Г. Дентону). Обозначения как на рис. 37, 38.

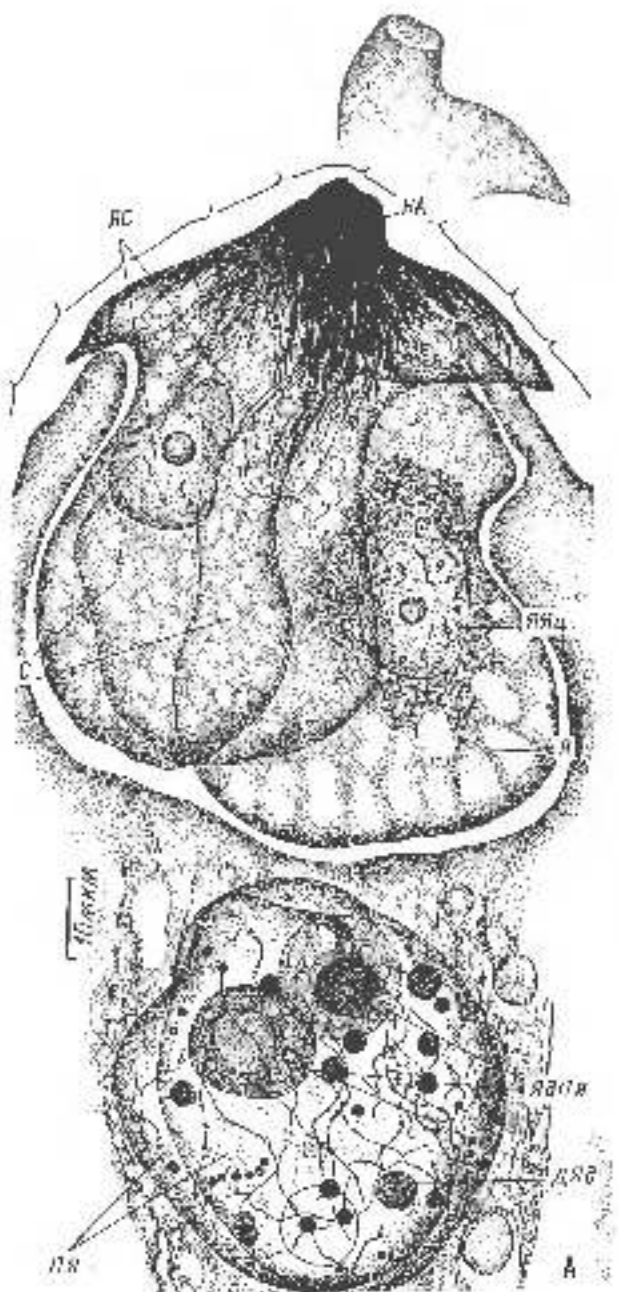
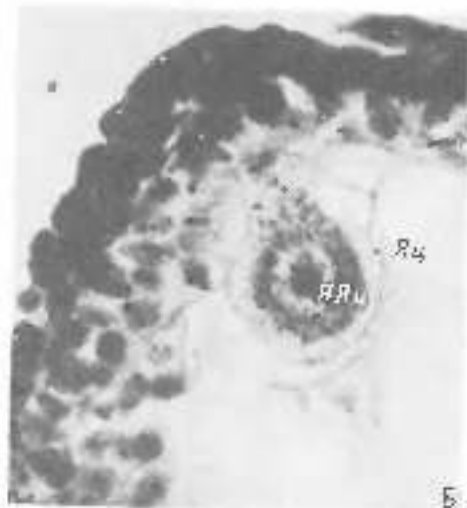
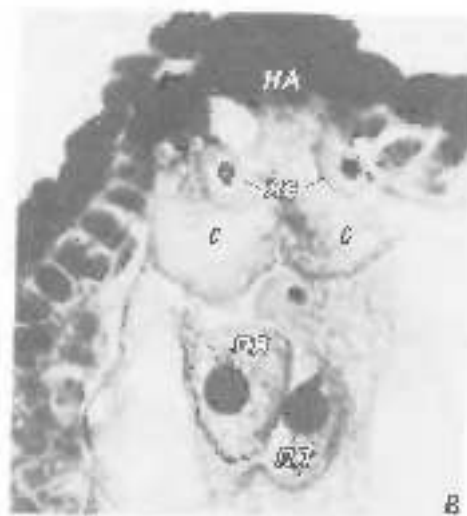


Рис. 44. Всхождение яиц арктического хариуса по генезу: схема Гейнрихса (А); 2 последовательных среза (альфа, окраска гематоксилином по Гебдигейну; профиль, по Фёльструу) (Б, В) и схема в профиль (по Фёльструу, окраска пектином) (Г). 11-6 Зиминой (1974).

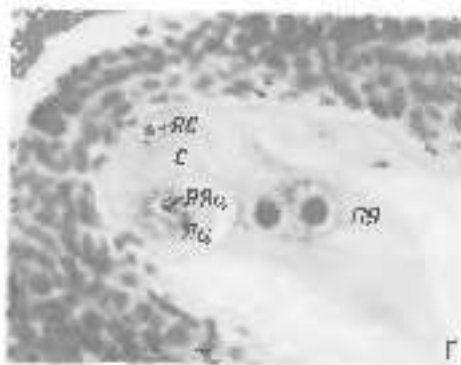
Всхождение аппарат в чисто цитоплазматической клетке с полипирамидальными ядрышками (на рисунке изображено одно из ядер); вокруг ядра — детали верхней части гипернатрии (гипернатрия и лубиниуский ядрышки). ДЗВ — диплоконденсированные ядрышки, ЯДР — ядроядные полипирамидальные ядрышки. Остальные обозначения как на рис. 37, 38.



Б



В



Г

FIG. 44. (continued).

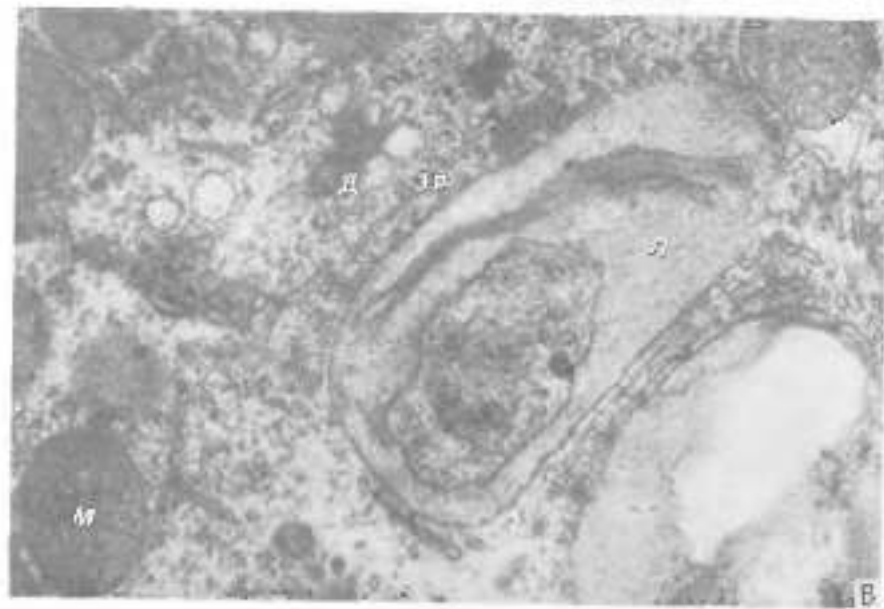
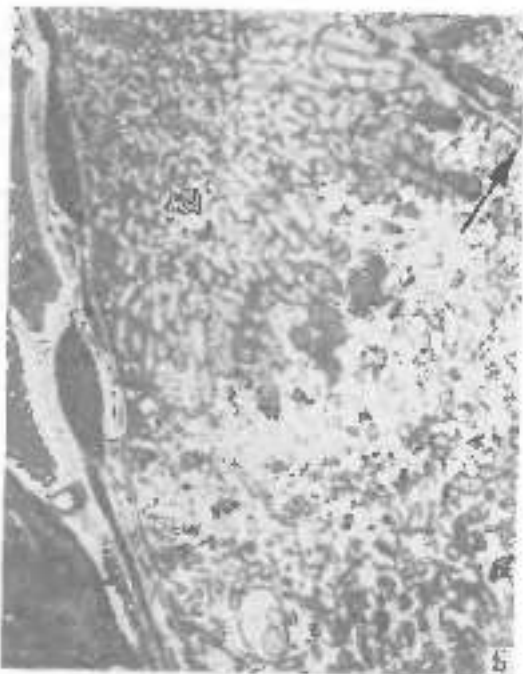
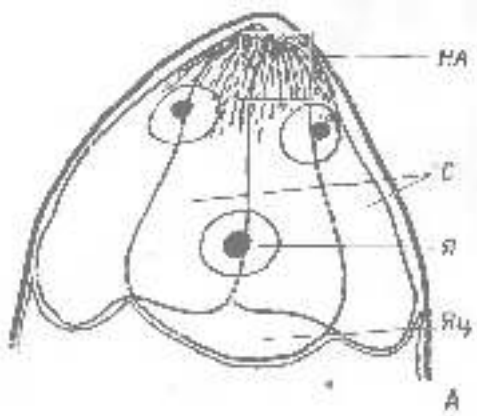


Рис. 45. Схема микроскопической части зернодревесного мешка злаков (A), эпидермальный аппарат и суперфильм кукурузы (Б — по Bishoff, Larsen, 1966, с изменениями; $\times 2700$) и участок гипоцотиального эпидермального кукурузы около царя (В — по Чебетарко, 1972). ТЭМ.
h — покровный супергриф, обильно прутствует (известковый гидрат); вспомогательная стена — облицовка для обр. супергрифа (большая скрипка). Обозначения как на рис. 37, 39, 41.

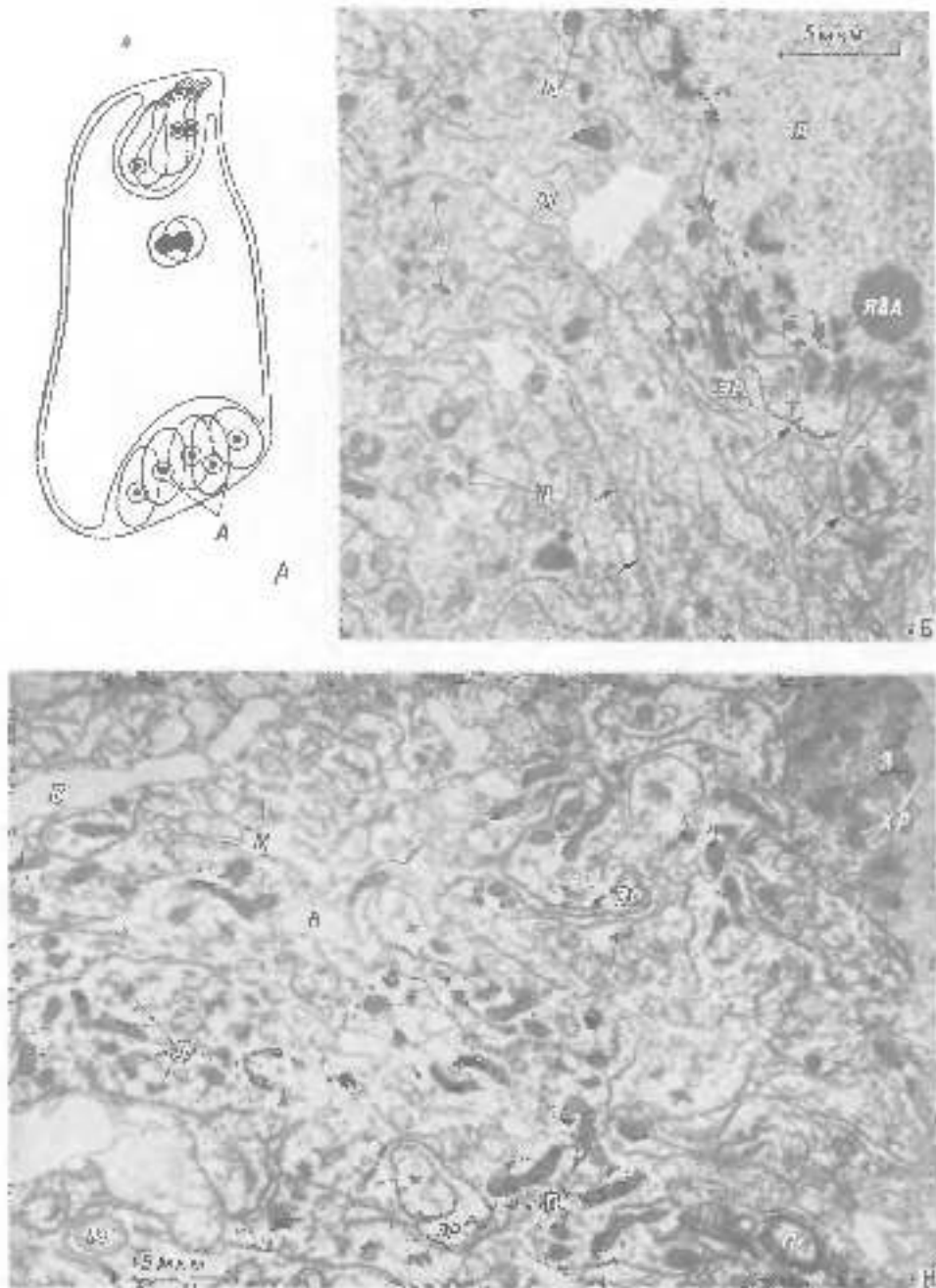
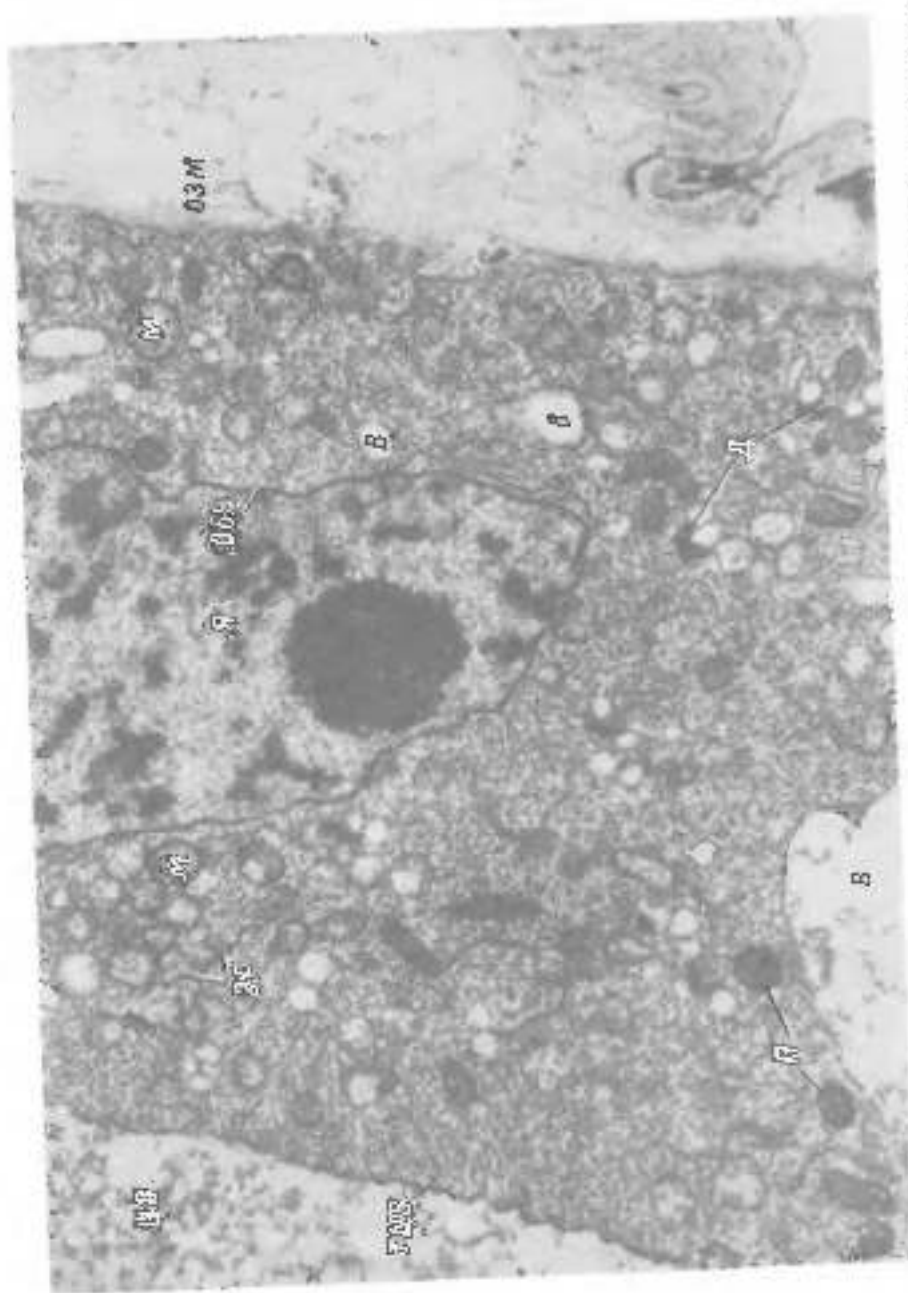


Рис. 46. Схема расположения ядерной кариоплазмы в зародышевом ядре птицы (A) и участки средней антиподальной полосы зародышевого ядра птицы и первые сутки после овывания (Б, В). (По Шиморину, 1962 год, с изменениями). ТЭМ.

Матричные струкции становятся насыщеными гидратированными волокнами – фиброзными, гемиглеканогликозидными и нуклеиновыми кластерами [6], цитоплазма характеризуется наличием мелких вакуулей, боди – ядерных признаков: антиподал, эндоподал, рибосом, пластид. В ядре преобладают состояния РНК [6]. НВД – ядреное птичье. Оставшиеся обозначения рек. на рис. 45, 3Б, 3Б, 41.

the α -fetoprotein was present in the cytoplasm of the tumor cells. The tumor cells were arranged in nests and cords. The tumor cells had large nuclei with prominent nucleoli. The cytoplasm was pale and contained some granules. The tumor cells were arranged in nests and cords. The tumor cells had large nuclei with prominent nucleoli. The cytoplasm was pale and contained some granules.





A



B

Рис. 48. Плодоношательные фазы (спелость и отцветение) у сорняка горца Лимакова. (По Батыгиной, 1974).

A. Е — раскрытое цветков в средней части колоса; B. I — выбрасывание пыльцы к раскрытию тычинок; 2 — цветок, 3 — участок реснички колоса покрыты прикрепленной пыльцевыми деревушками; 3 — шишечка.

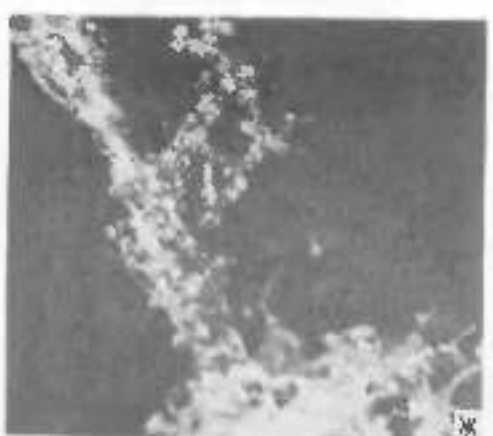
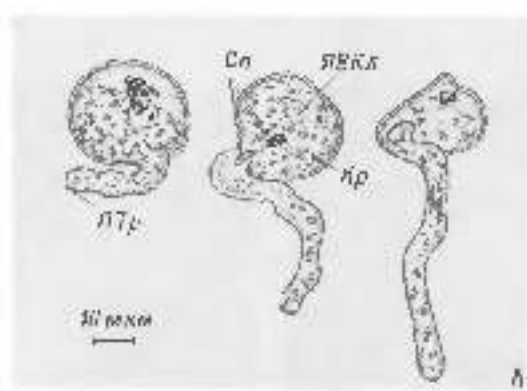


Рис. 46 (приложение)



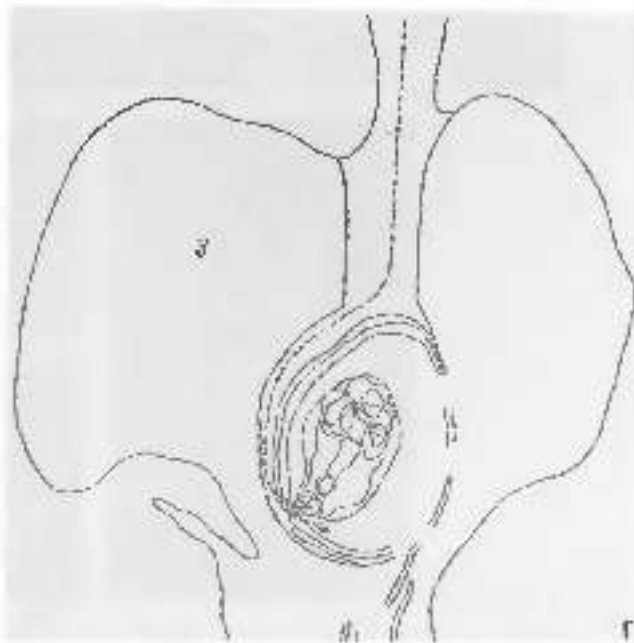
A



B



C



D

Рис. 49. Прорастание пыльцы и рост спорангийных трубок в тканях цветков (A—B — по Батыгиной, 1974; B, Г—Д — по Фрунзиной, 1971) и путь приближения спорангийных трубок к зонам деления (Г — по Батыгиной, 1974).

ДРР — дeterminate meristem нарост предсердно-корой ткани эмбриона. З — зона. НР — накапл., ПТр — пыльцевая трубка. Сп — спорангий. ЯВКЛ — ягра нестатической клетки.

Д

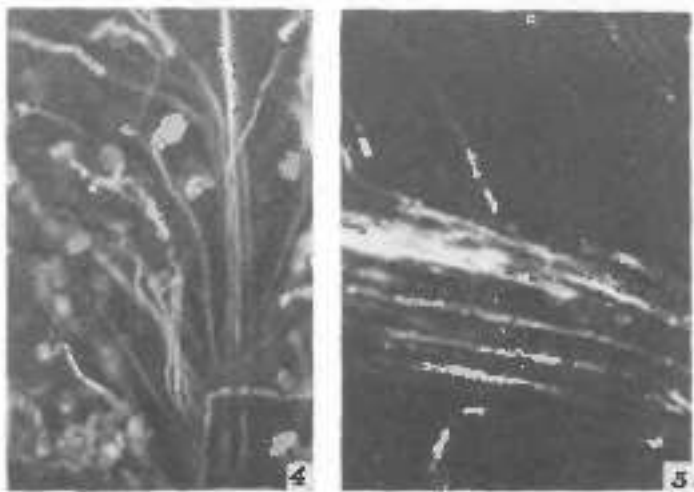
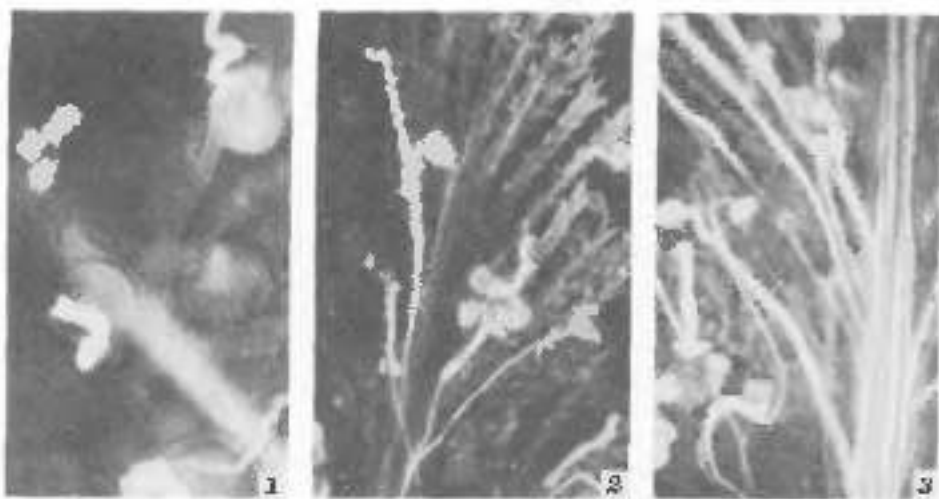


Рис. 3б (приближение):

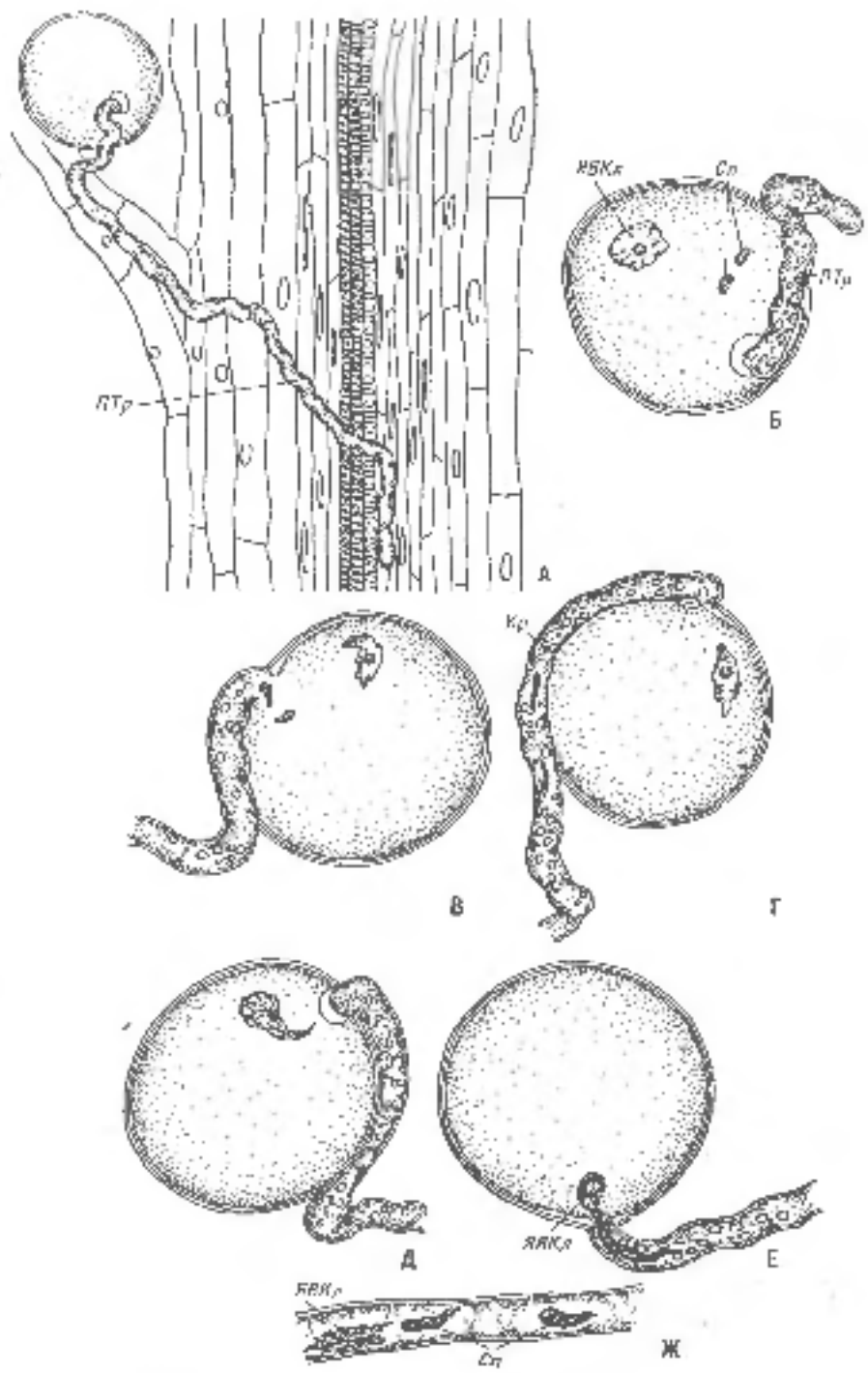
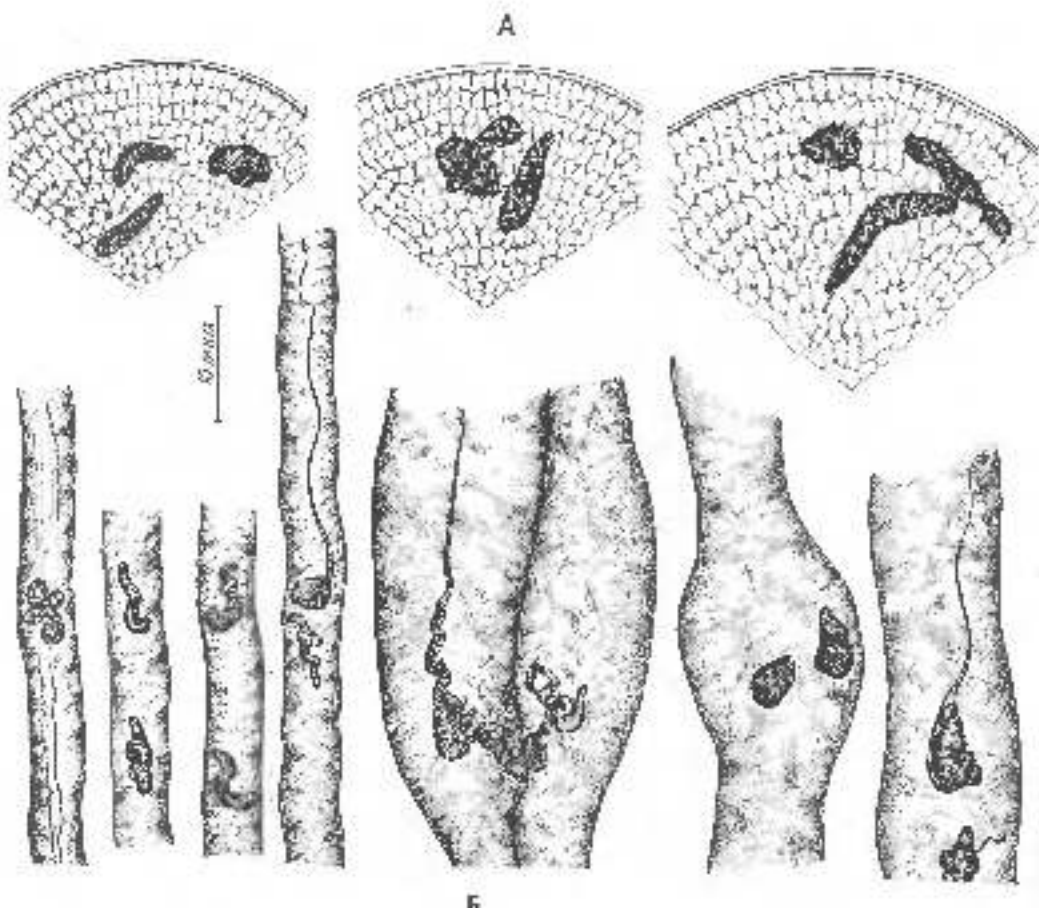


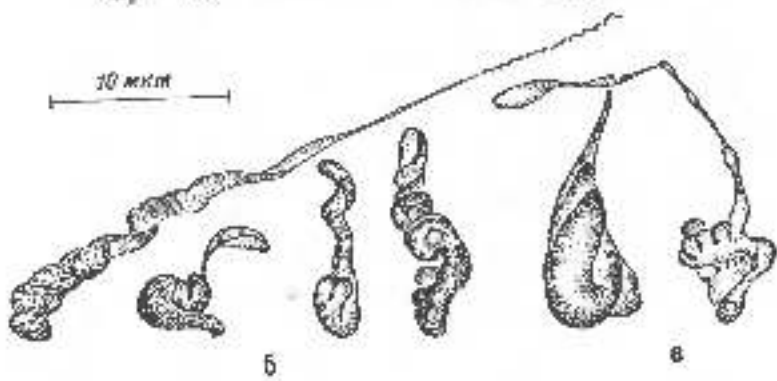
Рис. 50. Прорастание пыльцевого зерна и рост пыльцевой трубы кукурузы (А—Ж).
Обозначения как на рис. 49.



Б



б



в

Рис. 51. Пыльцевые зерна (данные векторы), пыльцевые трубы (А) и споры (Б) у различных видов шишкиц. (По Батырзиной, 1974, с изм.).

а — *T. tenuissimum* тонкососоцвет., б — *T. tenuissimum*, в — *T. aculeatum*. (По Фельгену, с подкраской лизтгрипом).

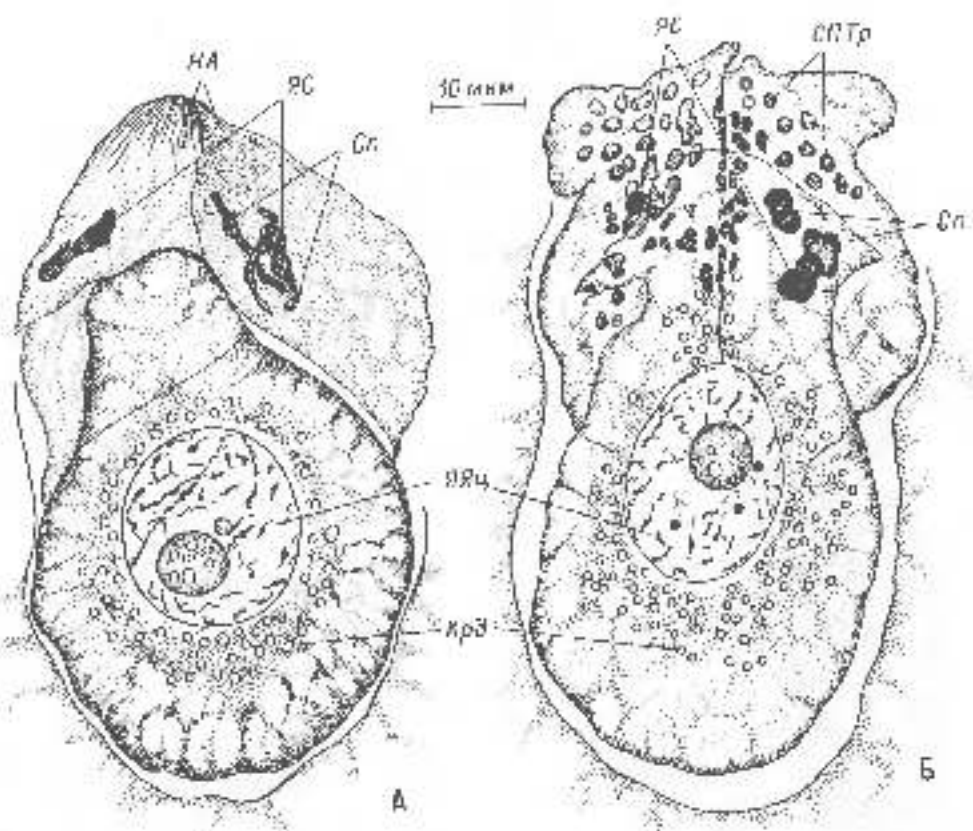


Рис. 102. Эпіціїк апарат *Tylecodon pellucens* через 20 мін після оплітки. (По Батієвій, 1974).

Украска. А — по Фільгену, з подскраюв. лінггреном; виден егматичний апарат, Б — по Модилевському, позначені таукінські зруби — к межі кинки к обов'язковим. Крд — прокардальні артерії, НА — егматичний апарат, Сп — спорангій, СЛТр — позаду таукінські зруби, ВЯц — ядро гемізигом, ЯБЧ — ядро яйцекостки.

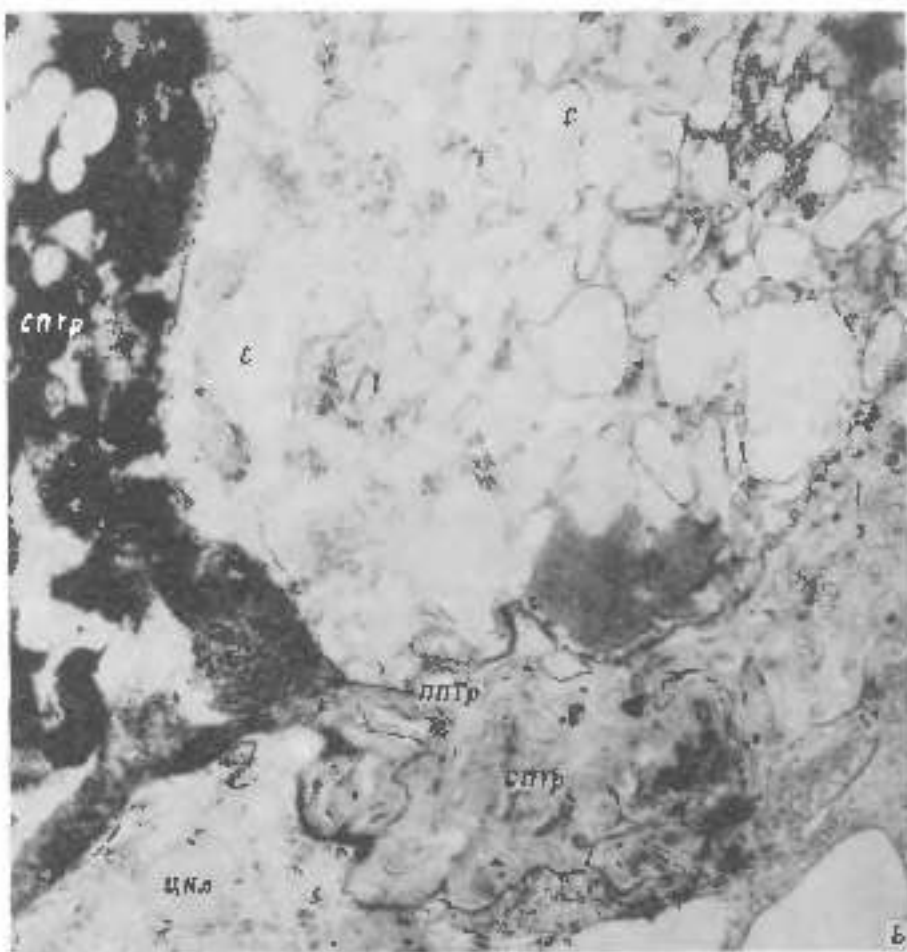
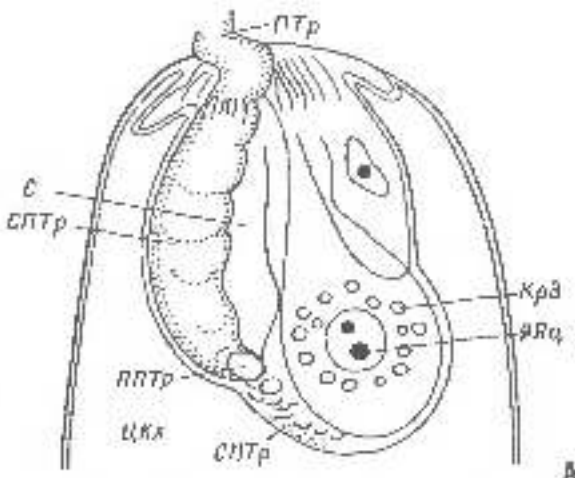
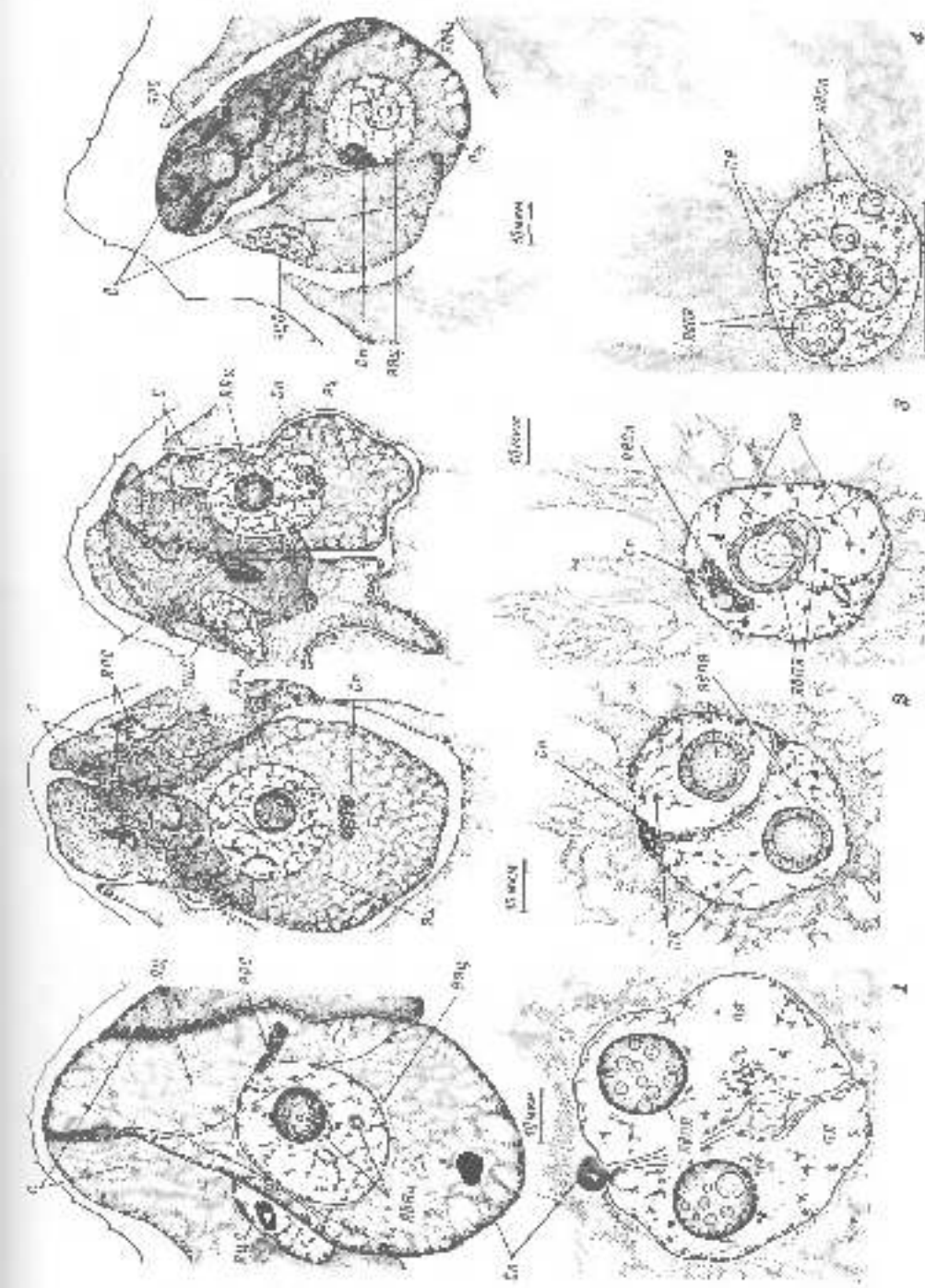


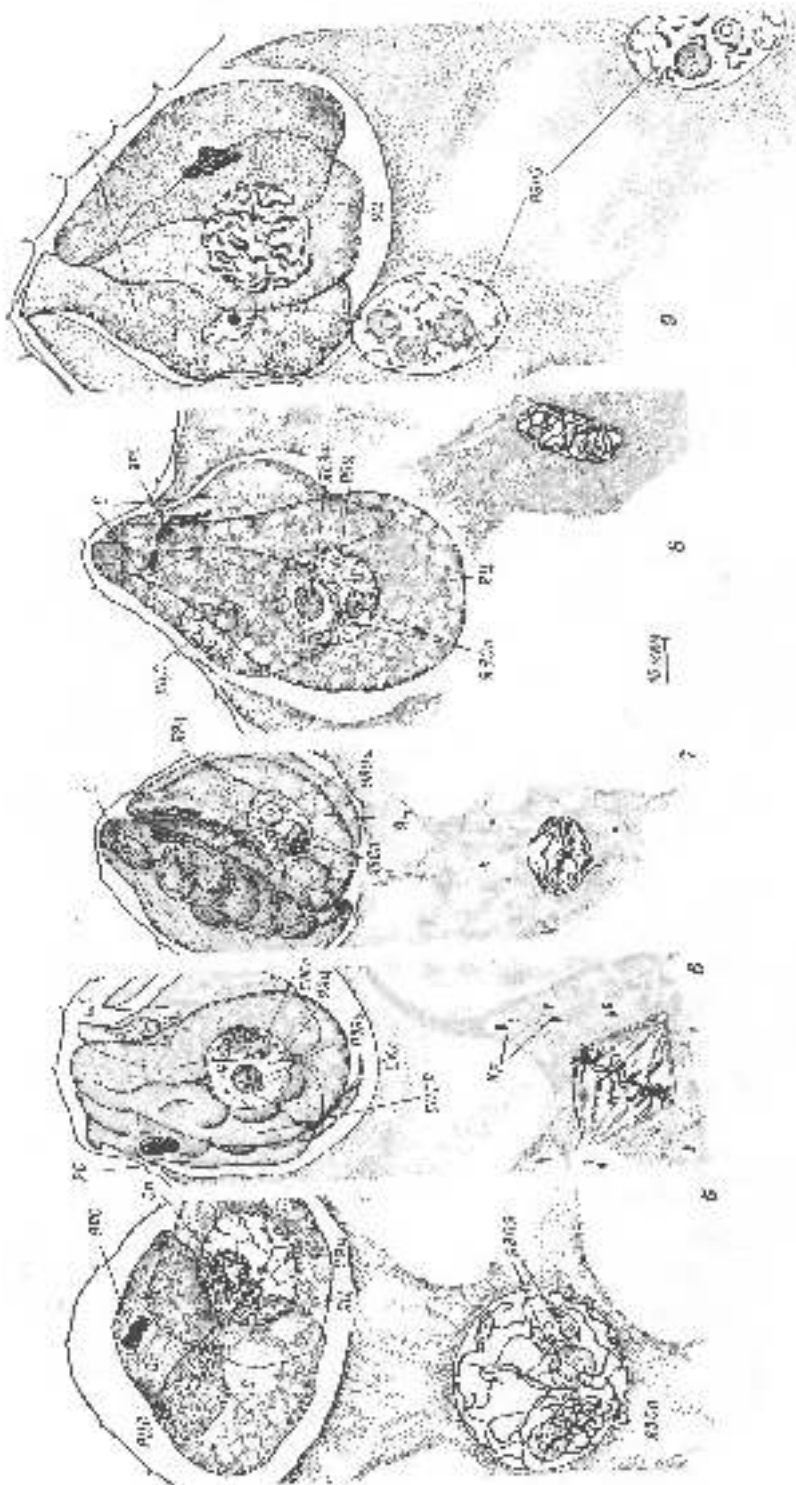
Рис. 51. Вхождение пыльцевой трубки и излияние содержимого я зародышевый каштан кукурузы. (А — по Коробовой, 1972; Б — по Чебетарин, 1972).

А — схема и Б — электронная микроскопия (X 80000) макропиляэрной части зародышевого каштана. НПТр — нерастворимая пыльцевая трубка, ПТр — растворимая трубка, С — спираль, ЦКх — цитоплазматическая клетка. Остальные обозначения как на рис. 52.

Рис. 34. Зоны в яйце *Sphaeromilus* (по Батагиной, 1974).



Описания на рисунках 1—10. — 1 — яйцо с яйцевым мешком; 2 — яйцо с яйцевым мешком и яйцеводом; 3 — яйцо с яйцевым мешком и яйцеводом, с выделенным яйцом; 4 — яйцо с яйцевым мешком и яйцеводом, с выделенным яйцом и яйцеводом; 5 — яйцо с яйцевым мешком и яйцеводом, с выделенным яйцом и яйцеводом, с выделенным яйцом; 6 — яйцо с яйцевым мешком и яйцеводом, с выделенным яйцом и яйцеводом, с выделенным яйцом и яйцеводом; 7 — яйцо с яйцевым мешком и яйцеводом, с выделенным яйцом и яйцеводом, с выделенным яйцом и яйцеводом, с выделенным яйцом; 8 — яйцо с яйцевым мешком и яйцеводом, с выделенным яйцом и яйцеводом, с выделенным яйцом и яйцеводом, с выделенным яйцом и яйцеводом; 9 — яйцо с яйцевым мешком и яйцеводом, с выделенным яйцом и яйцеводом, с выделенным яйцом и яйцеводом, с выделенным яйцом и яйцеводом, с выделенным яйцом; 10 — яйцо с яйцевым мешком и яйцеводом, с выделенным яйцом и яйцеводом, с выделенным яйцом и яйцеводом, с выделенным яйцом и яйцеводом, с выделенным яйцом.



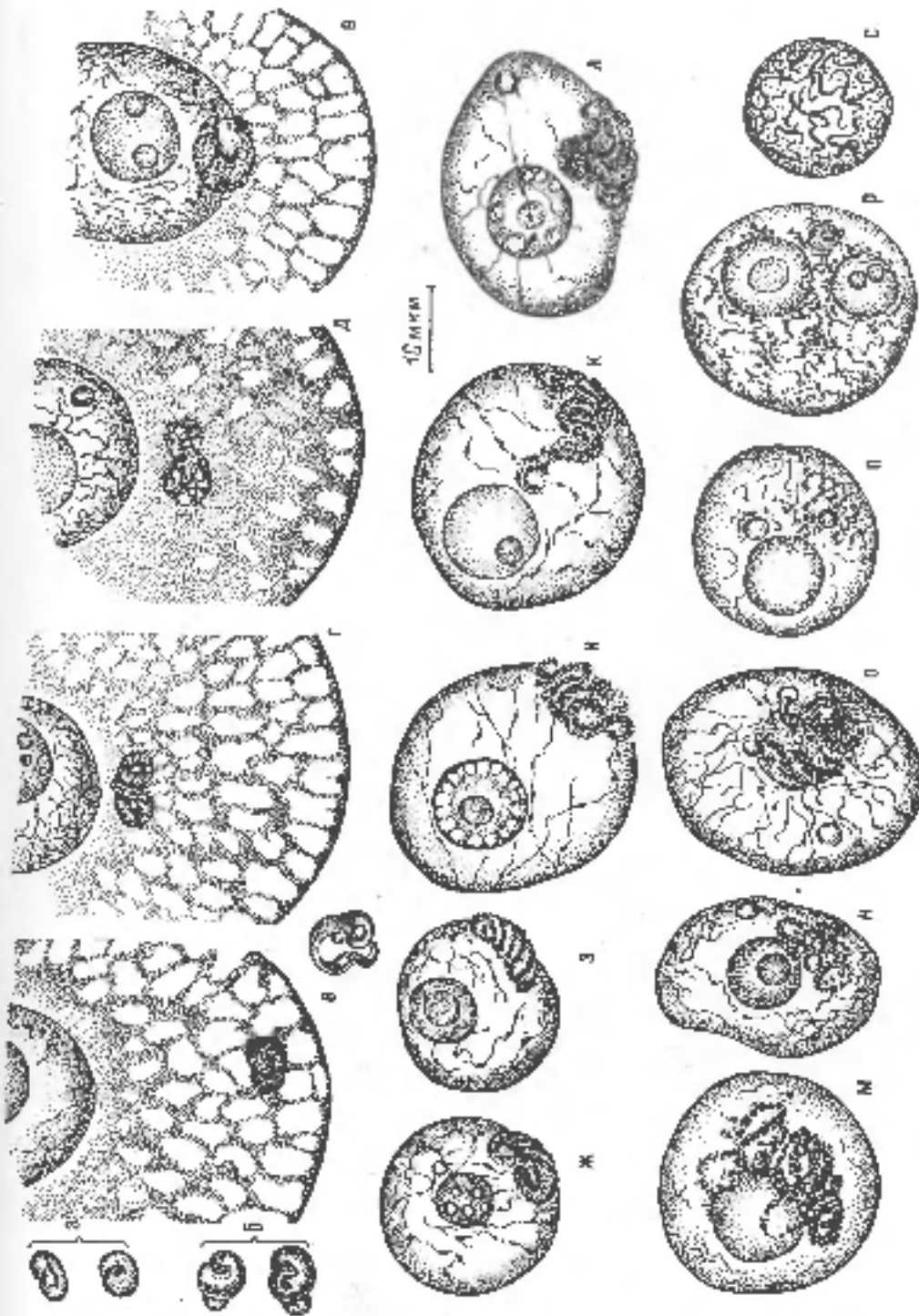


Рис. 76. Двупольное оплодотворение у пшеницы. (По Барыкиног, 1974)

Б

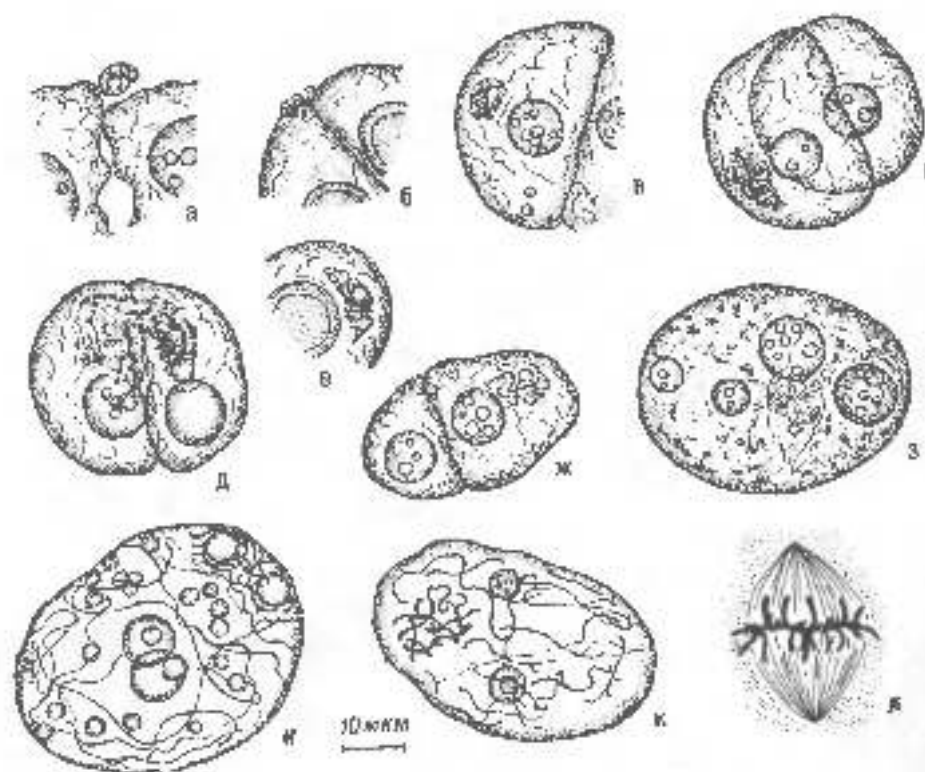


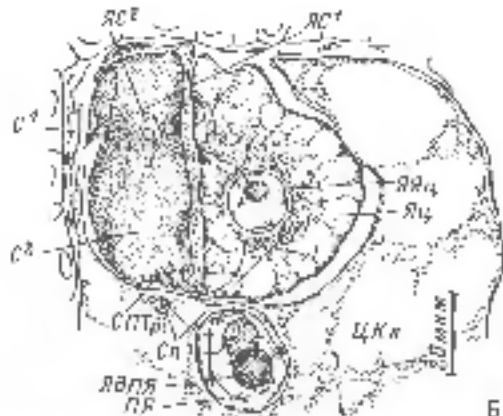
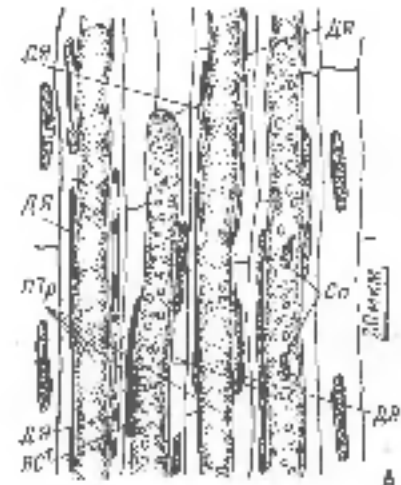
Рис. 56 (продолжение).

А - предпредставительные фазы измельчения форм и структуры (переход от акрокератин к зигомиктинской маске); а - полного сокращения в ядром инвазионной (пресубдитинской или гастродитинской) клетки; б - Т-образное сокращение из-за сокращения; в - Т-изогнутые, внутри них спорозоиты; г-г - Т-изогнутые, спорозоиты в пневматозу; ж-ж - спорозоит с ядром пневматозу; ж-ж - Т-изогнутые, внутри них спорозоиты (фиг. а, б, в, ж, ж - Т-изогнутые, и - Т-изогнутые); з - ядро кисты; т - десоссем и вакуоли; е - приблизительная форма Т-изогнутых (по Фельтену, с цицакской и электронной); б - предпредставительные фазы измельчения форм и структуры спорозоита от перехода в ядром центральной клетки до полного сокращения: это с полными ядрами и сокращенными ядрами; а, б - спорозоиты из гранулы 2 поколений морф. в, в, в, в - спорозоиты сокращенные с одним полуреглан ядром; д - спорозоит сокращается сразу с обеими полуреглан ядрами; е - ядро окраинной кисты эндоспория в антифазе; е, ж - приблизительная форма Т-изогнутых; ж - метафазы эндоспории (а-б - Т-изогнутые, в, ж, ж - Т-изогнутые).



Рис. 56. Зимняя кукуруза (52×70 микр.), окруженный цитоплазмой метатранзитивной клетки к не инкапсулированно (расщеплено (выделено) с пупылем). (По Новиков, 1972). ТЭМ.

В — вакуоли (осторожно не пересекать), Р — ядро ячменя (отделено наследственной мутацией), А — кисти-
химиды, Н — пупылье, ОГ — овощнодомашний гифус, П — пласты (побольшее окружение), Я — парс-
т с 2 пушечками (Яб, одна из них отмечена стрелкой). 4×3300 .



A

Б



В

Г

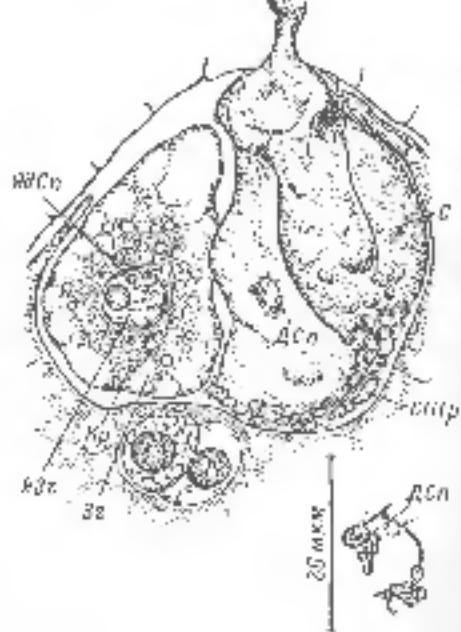


Рис. 57. Процесс вегетативации у кукурузы.
(По Егоровской, 1962).

А — пять якако трубки почвенных морковок, расположенные по пропагандной окончательно склонившись в направлении чешуи зародышевого листка через 19.5 ч после опыления; спираль заложена в виде кольца из двух ядер; В — то же через 24 ч после опыления; раковина приподнята (зародыш крепится к раковине яйцеклетки); Г — то же через 32 ч.

Хромосомы сконцентрированы в виде сидячей грушей в определенном положении ядра, где расположены растянутые хромосомы, и над хромосомами лежат в линейном порядке ядра, если не считать: Г — то же через 20 ч после опыления; стадии спирания с концом из погодных ядер закончилось, мужское и женские яйцеклетки гибнут (такова характеристика для оппозиториальных ядер кукурузы, хроматиновые систмы), и дальше проходит с ними чешуя еще не покрыта, потому что яйцеклетки, и потому 2 яйцеклетки; к концу оппозиториальный яйцеклетки яйцеклетки 2 погодные яйцеклетки первая, сперматык которой сконцентрированы в плоскостях спираль, вошли через первую спираль, вторая — оппозиториальная — через яйцеклетку, ее сперматык (обнаженные яйцеклетки яйцеклетки) дегенерируют. ДСи — диплоидитический спираль, ДБ — диплоидитическая паре клетки профиллярного ядра, Зс — хроматы, ОПИЯ — оппозиториальный полиплоидный ядро, НТр — погодный трофобласт, С¹ — спираль, в которой вошла погодная трубка, С² — перезрелая спираль, Сп — сперматык, ЦЛК — центральная луковица, РД — радиальная луковица, РМЛФ — яйцеклетка полиплоидного ядра, НС¹ — паре первых спиральных яйцеклеток (проблематичный), НС² — ядро второй спиральной яйцеклетки, ННК — паре яйцеклеток. Остальные обозначения как на рис. 49, 52, 54.

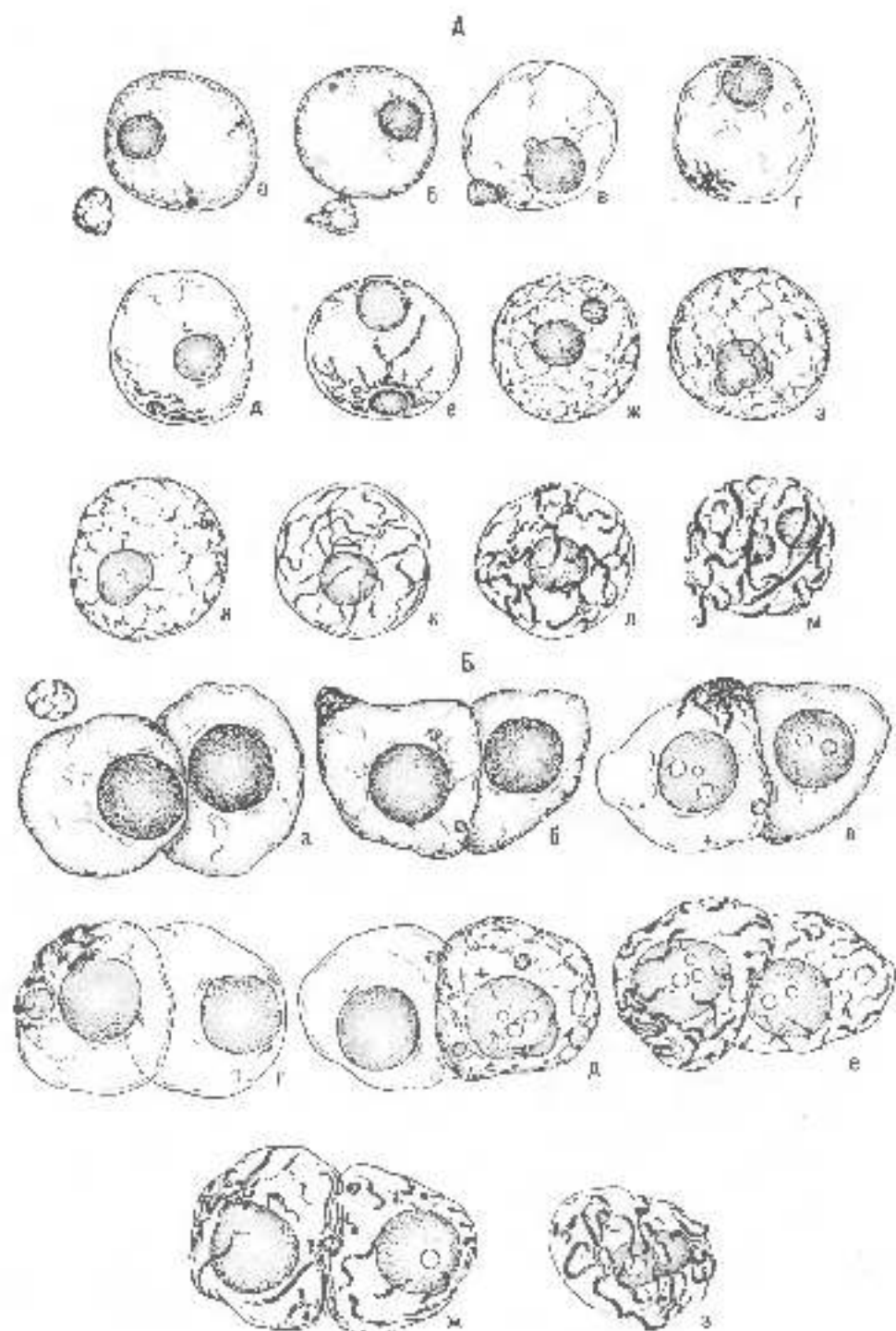
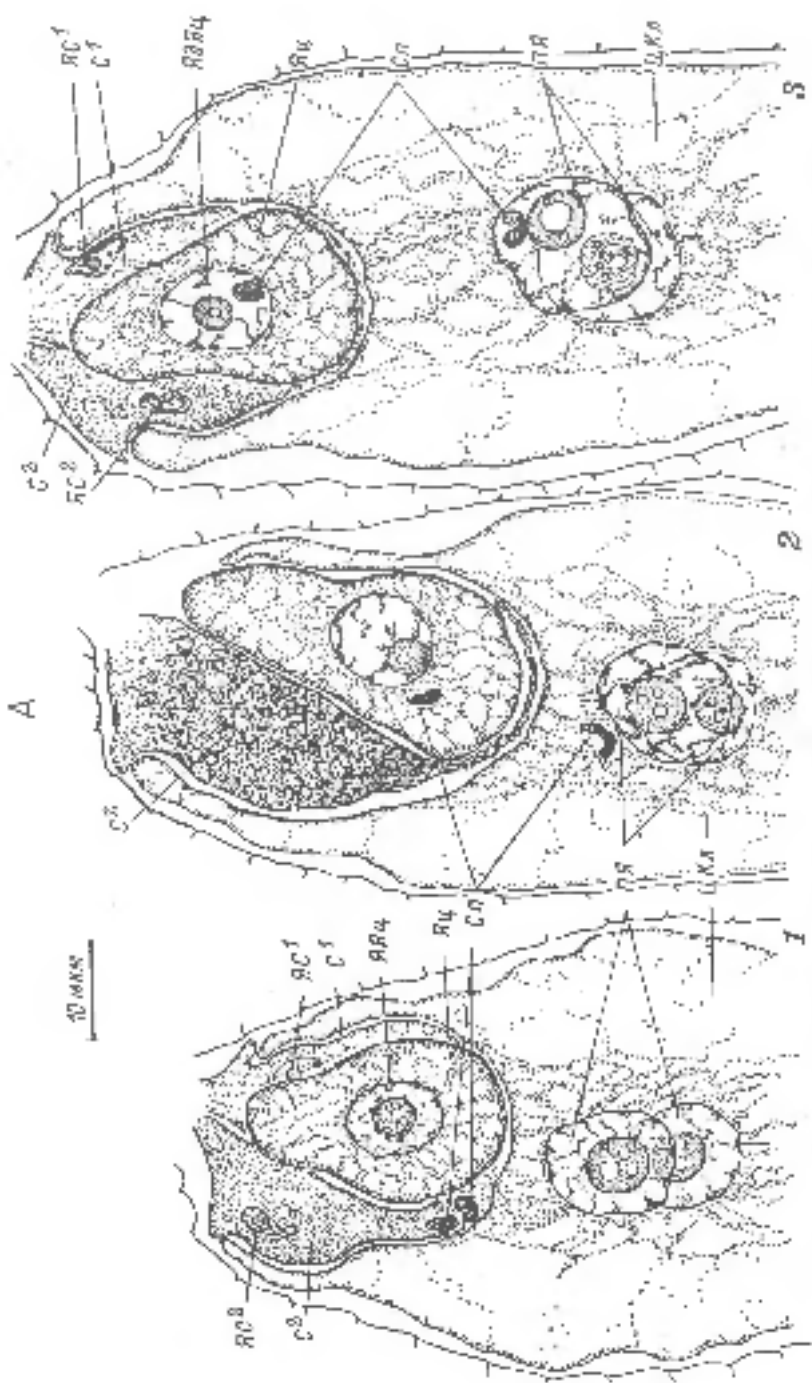


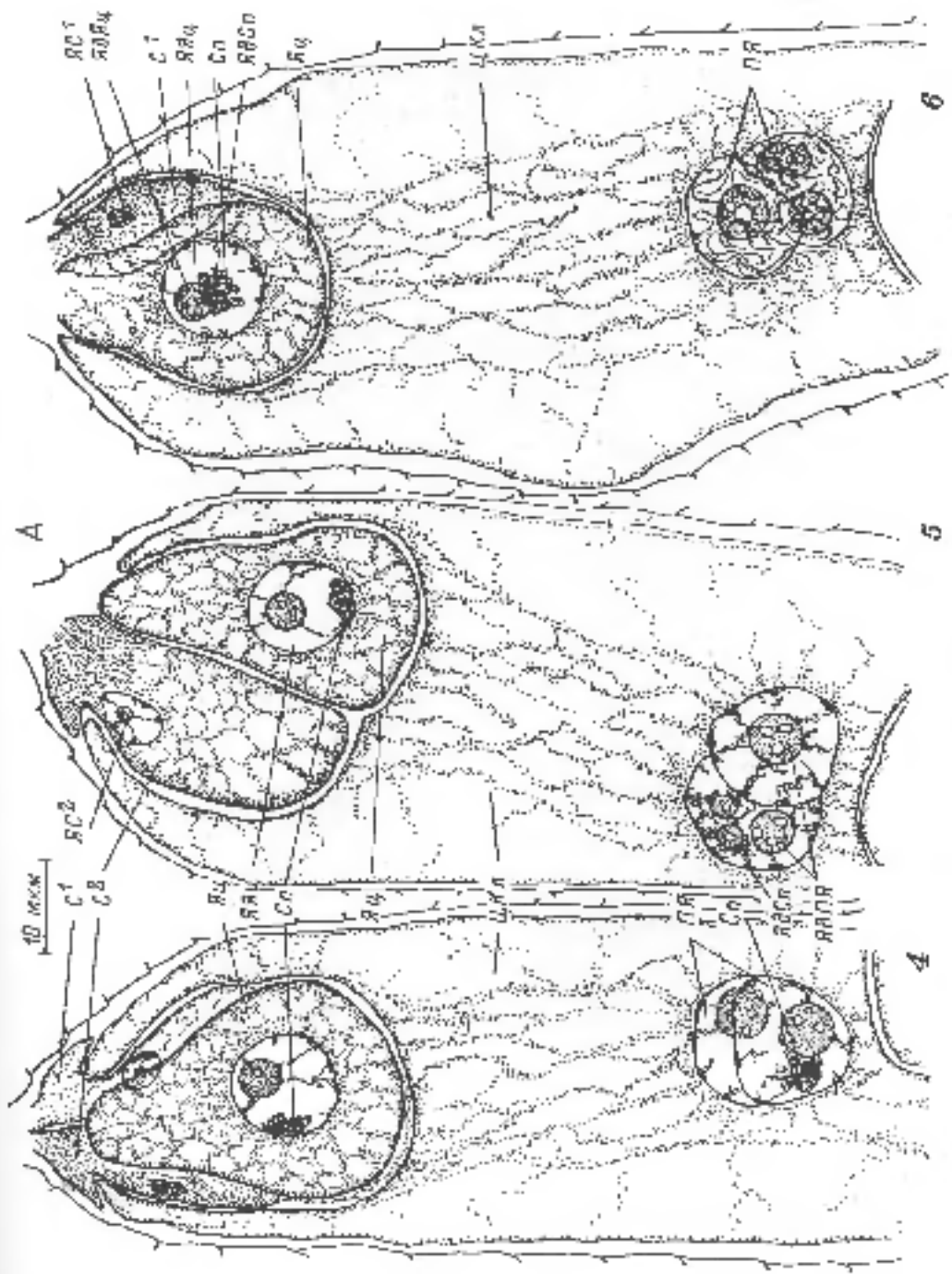
Рис. 58. Двойное оплодотворение у кукурузы. (По Коробковой, 1962).

А - первые зачательные фазы: инвазия бородавки в структуру яйцеклетки от пыльца сопровождается выделением пыльцевого сока из яйцеклетки (а - небольшое число сперматоцитов с яйцеклеткой, б - яйцеклетка и профаза деления полярных телоклеток); Б - погружение яйцеклетки в структуру сперматоцита и инвазия его в яйцеклетку центральной клетки до полного слияния с губчатыми яйцеклетками (в-г) - образование полярных телоклеток сперматоцита с яйцеклеткой на половых глохидиях, д-з - профаза деления яйцеклетки перед началом удвоения яйцеклетки.



PROBLEMS OF POLYMERIZATION. II 299

FIG. 53 (continued).



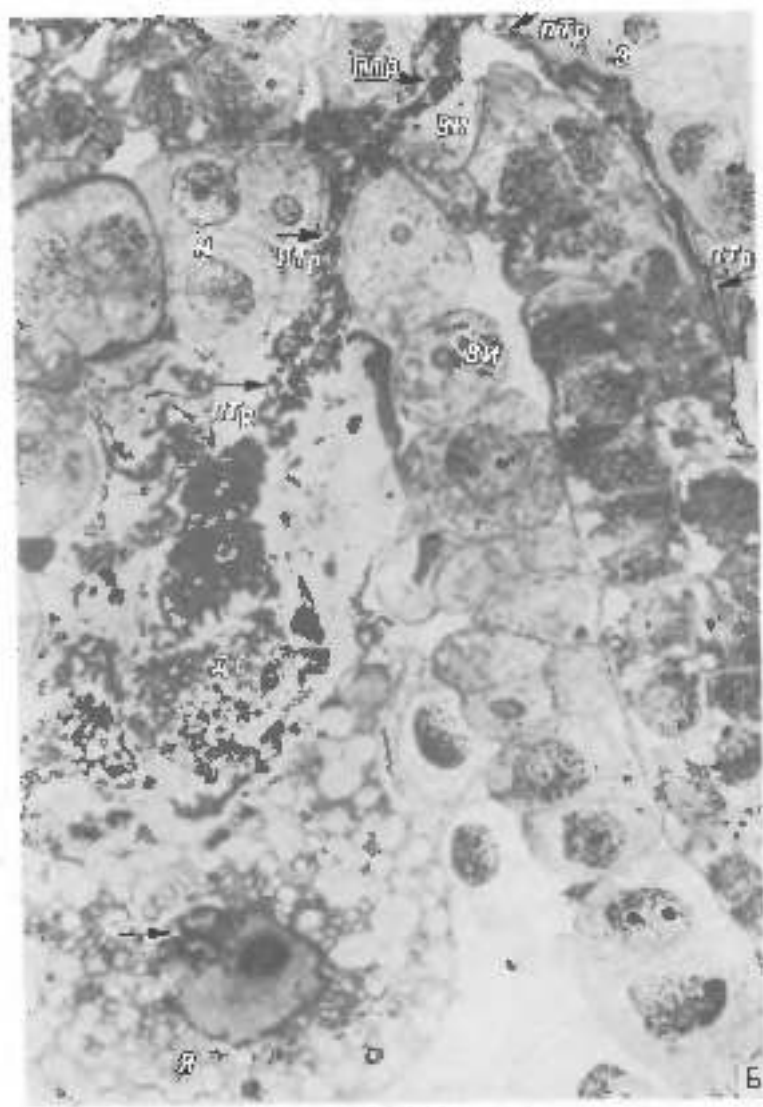


Рис. 59 (предварительная).



Placoid epidermis.

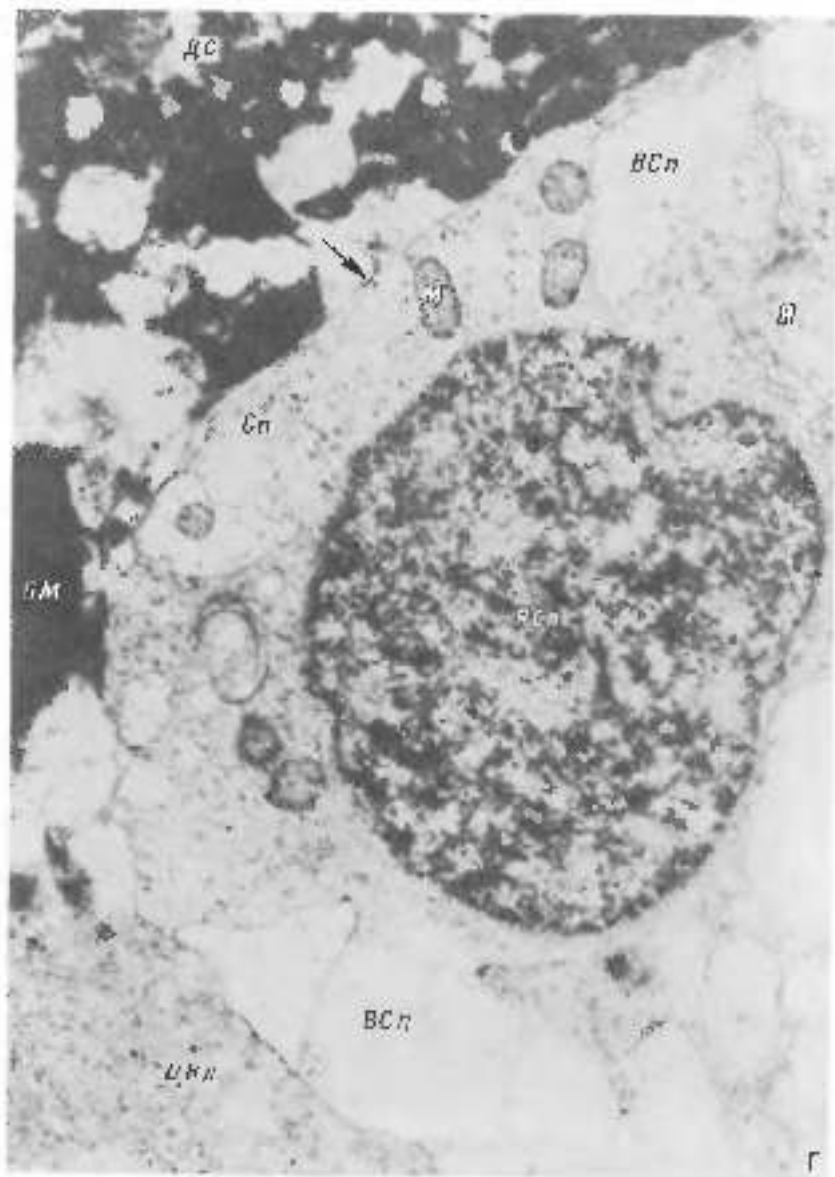


Рис. 181. (продолжение).

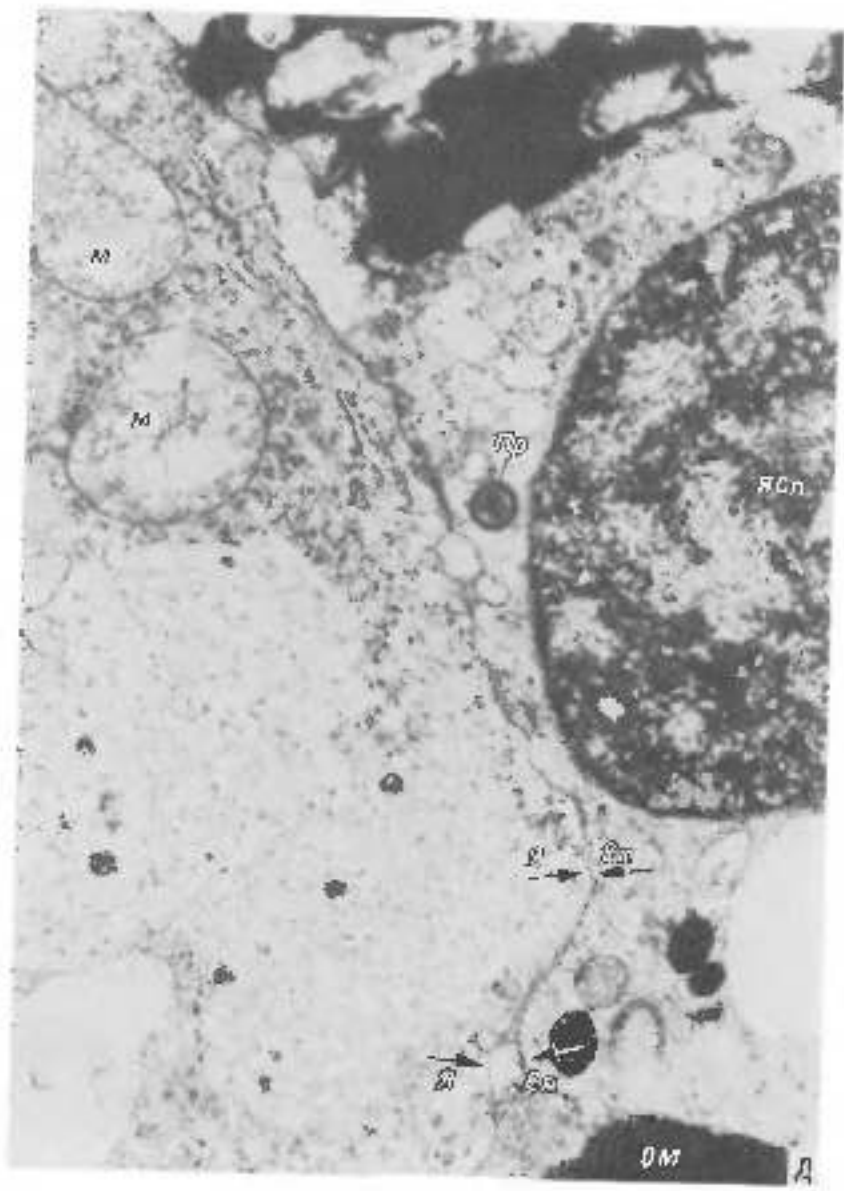


Рис. 59 (продолжение).

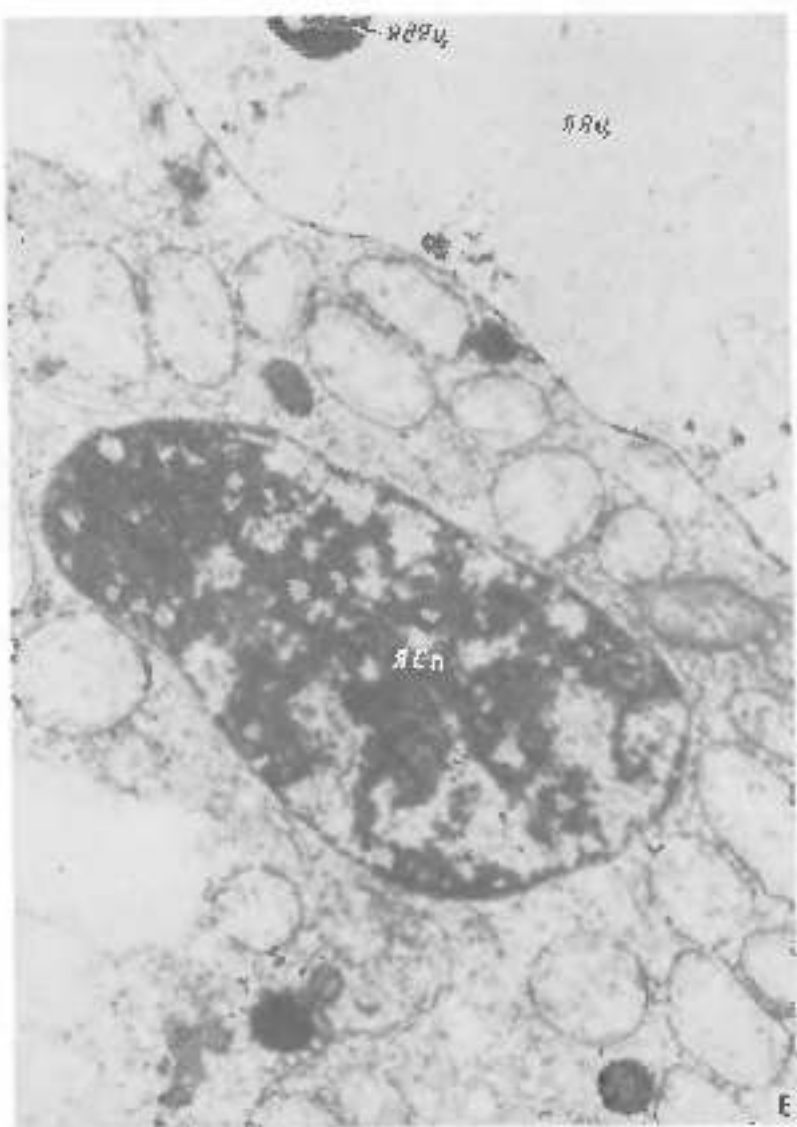


Fig. 59. (ipodoxacene)

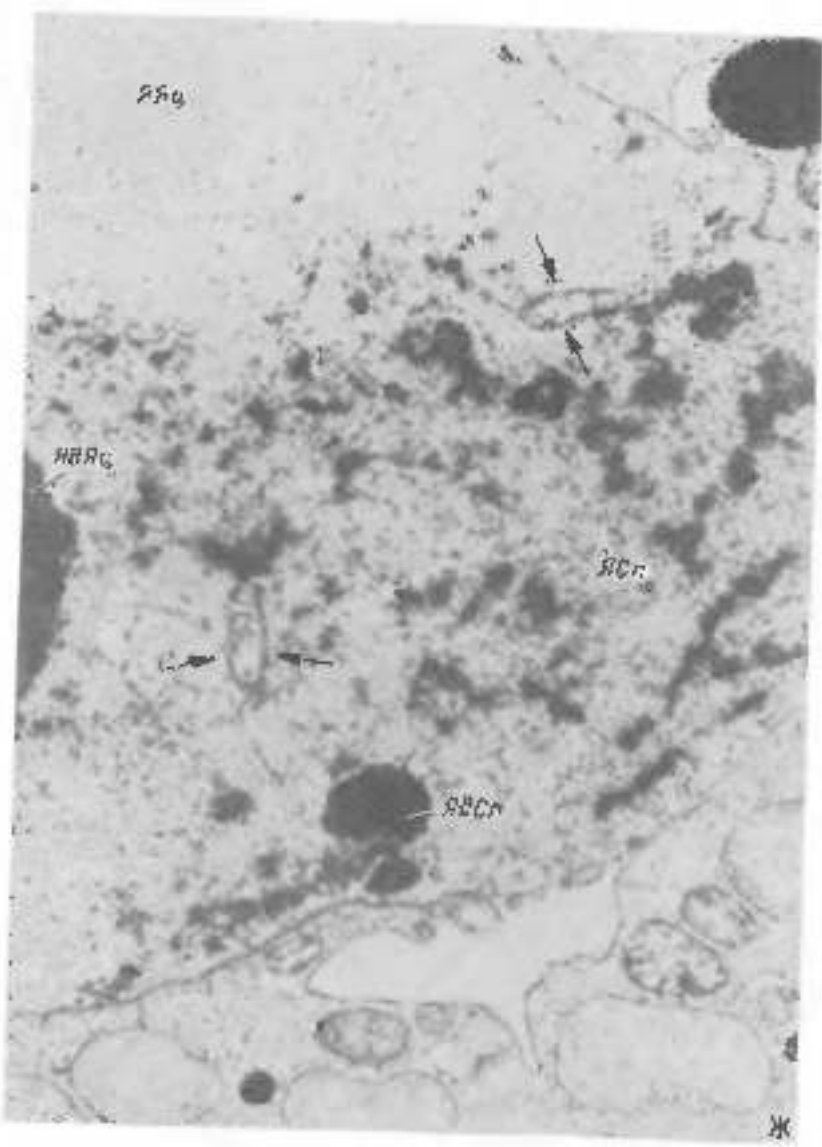


Рис. 59 (продолжение).

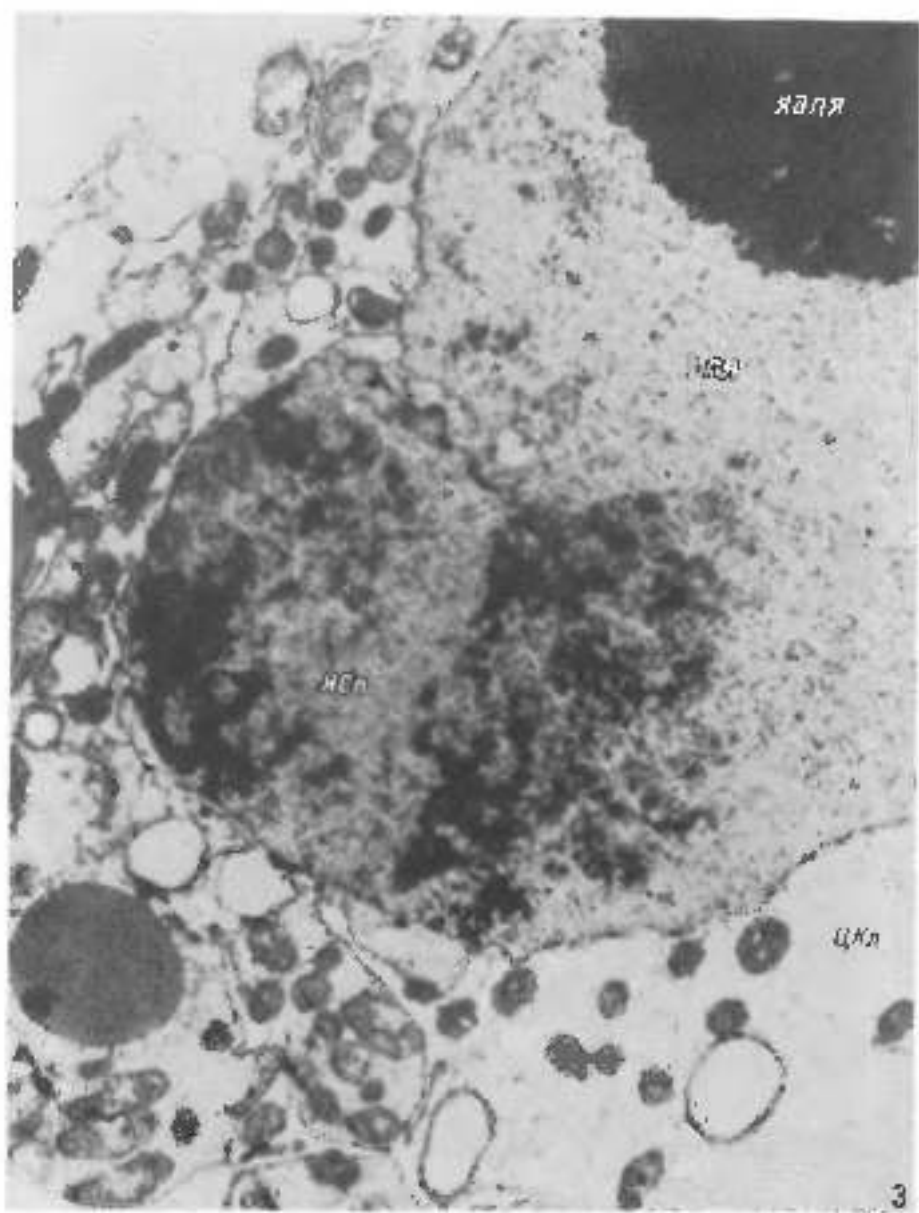


Рис. 5в (приблизительно).

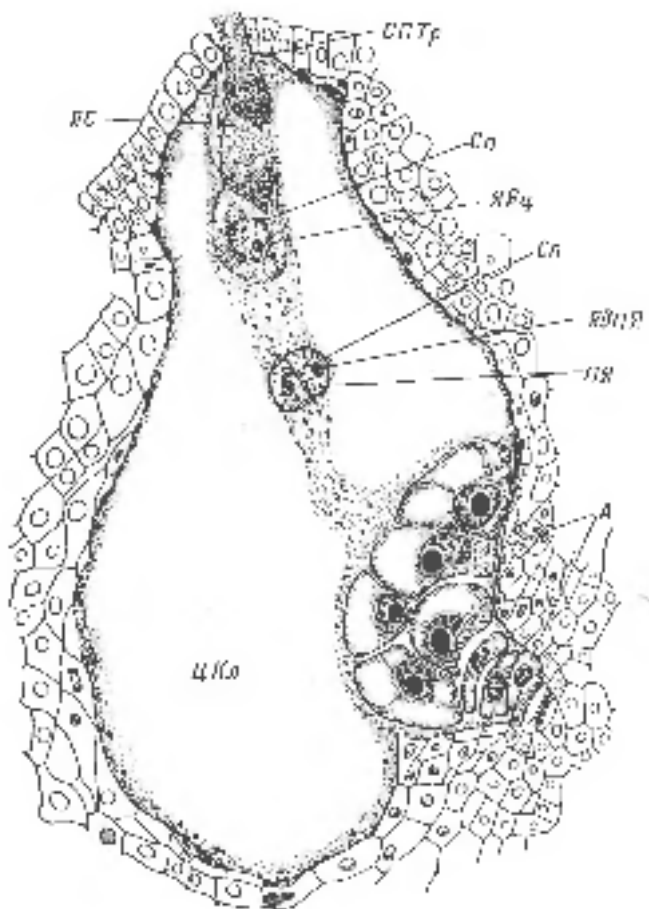


Рис. 61. Двоярусне гомеодіїтичне у риб. (Цо Мешекати, Чебетарю, 1976).
А — антлер. Обозначення як на рис. 54, 57.

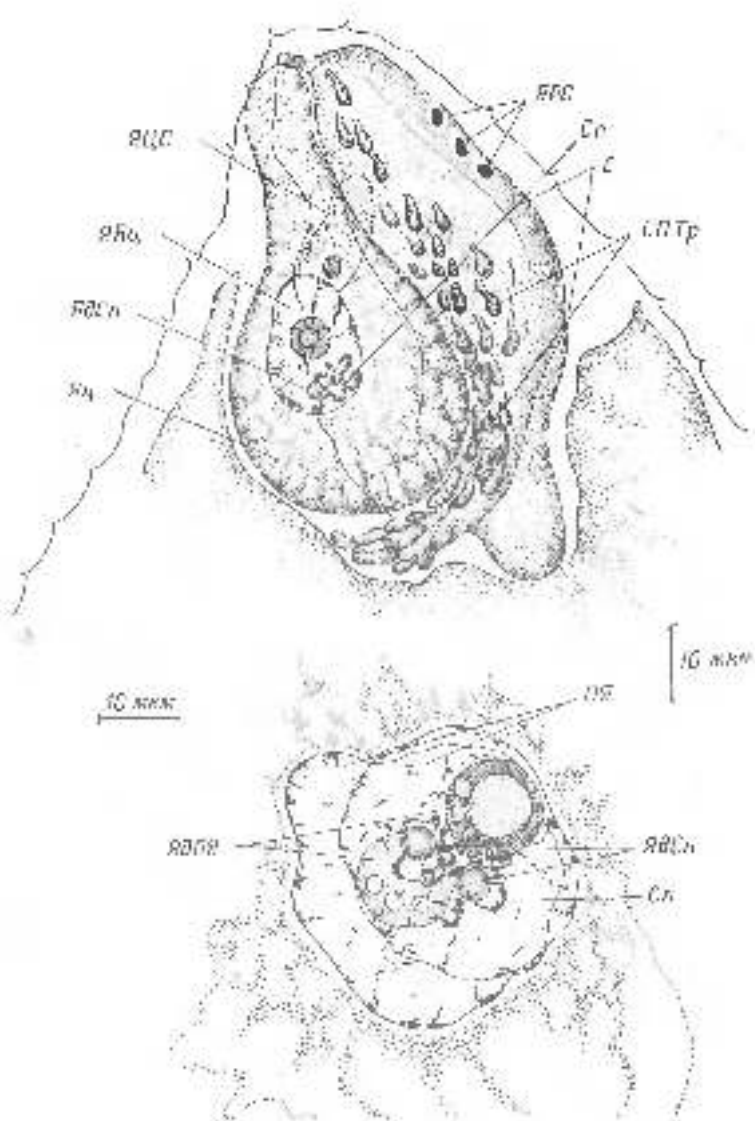


Рис. 61. Видовая плея зараженного кишечника *Tsetsefly* показана через 4 ч после инъекции (выраженное сильнорогие симптомы и трупного состояния). (По Бахчанян, 1974).

По Фейлану, с некоторой коррекцией. Обозначения как на рис. 54.

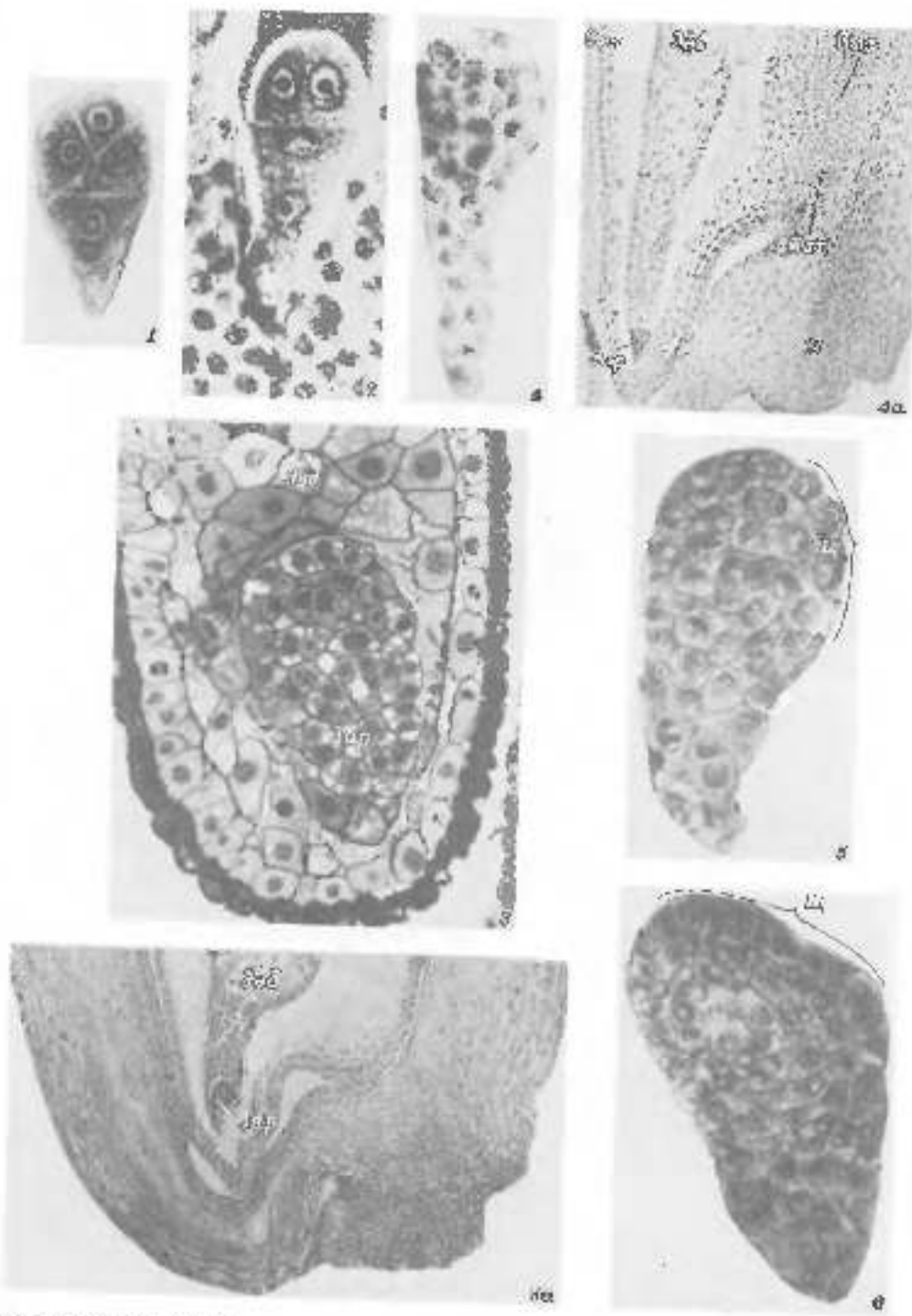


Рис. 62. Развитие зародыша плоскотели и его положение в гемеци. (1, 2, 4—15 — по Батыревой, 1974,
3 — по Шварцеку, неопубл. личнаго).

1, 2 — синхронный зародыш в дорсоконцентрическом и кватерниальном срежингах; 3 — разные стадии
развития зародыша; 4—19, 18 — различные этапы сдавливания деталей зародышей при высушивании; 10, 11, 12, 13, 14 — зародыш в пластилине; 15 — зародыш в бородавке.

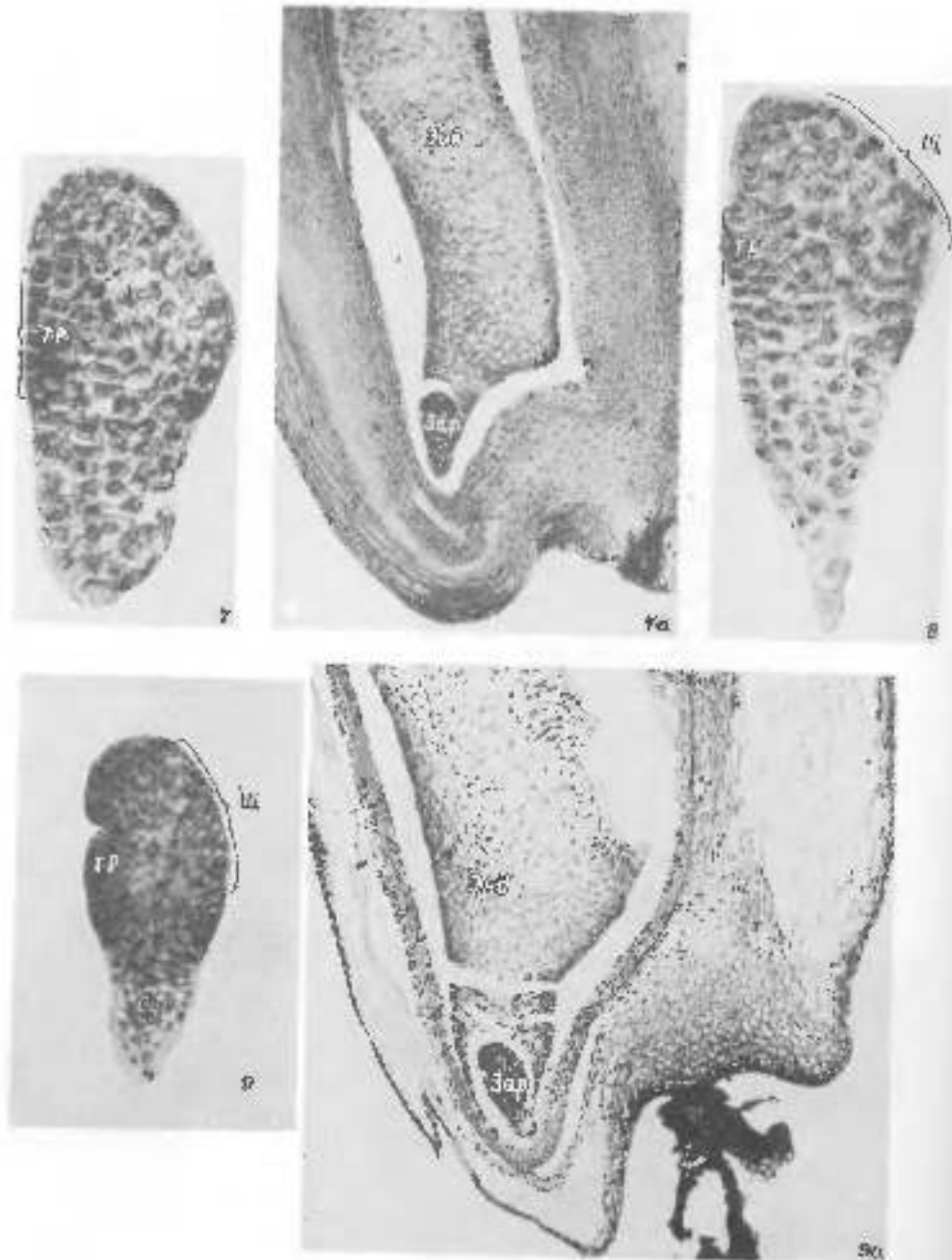


Рис. 17 (продолжение).

жинка, *Зад* — заднеклювий, *Жаркод* — скрипящий мандибуль, *Кл* — клювоногий, *Кр* — края клюва, *Л* — лагуна, *Мб* — изподний мандибуль (периархи), *Нз* — гипобранхиальная, *Пс* — пронадничий гаструх, *Ск* — скелетика, *Су* — супраренал (адреналин), *Тр* — тarsus, *Ч* — коракидий чешуя, *Ш* — щиток, *Эп* — эпифизи, *Эп* — эпифиз.

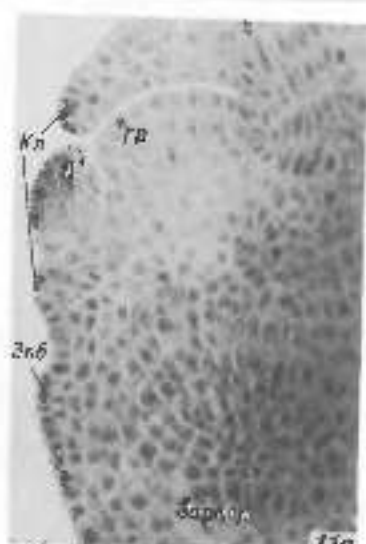
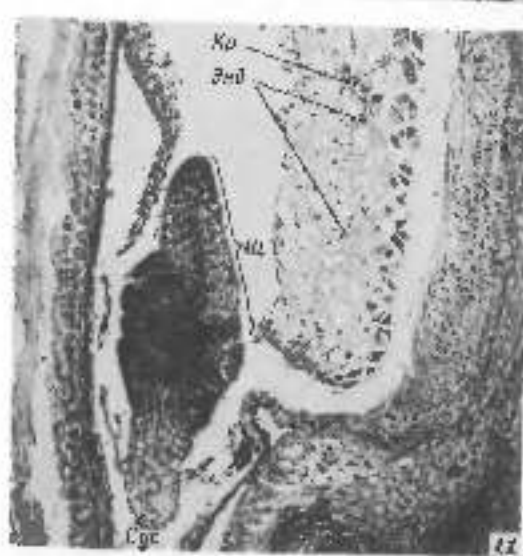
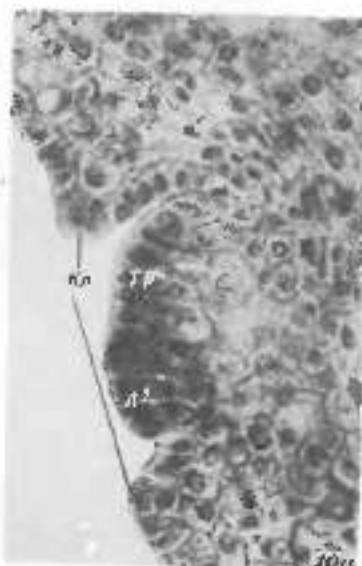
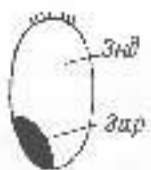
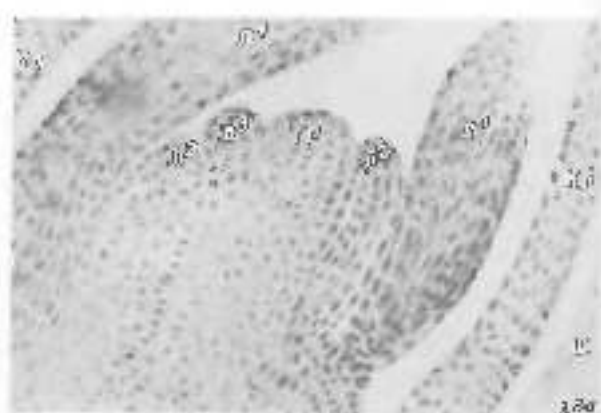


Рис. 11 (инфильтрант).



12

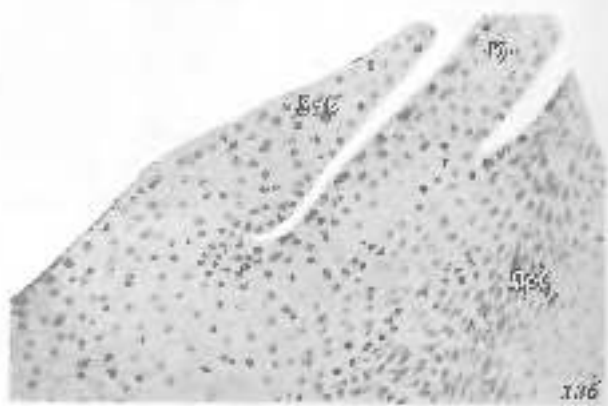


12

12a



13



13



13

Рис. 69. Инфреталамус.

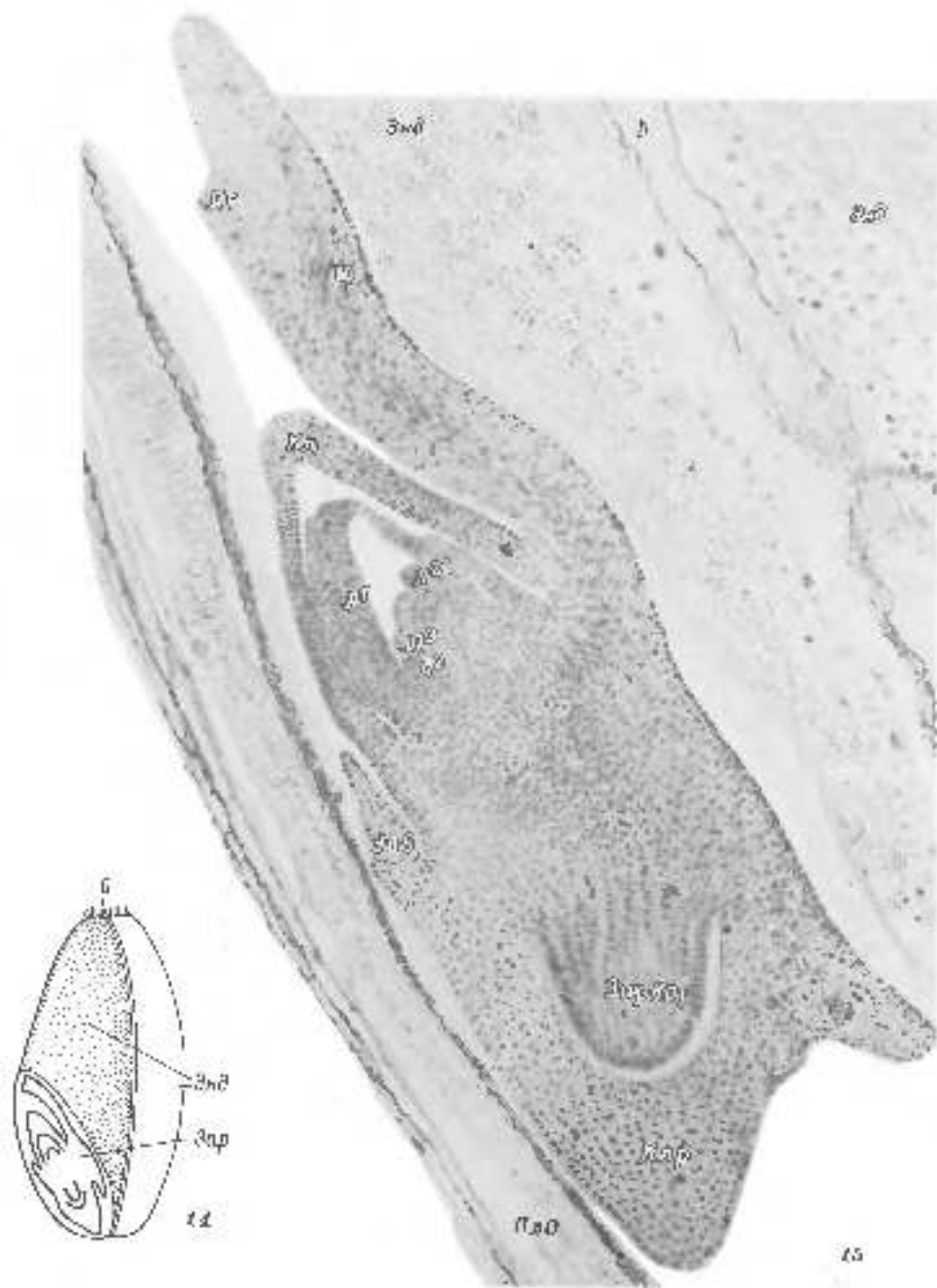


Рис. 62 (нриблескене).

A

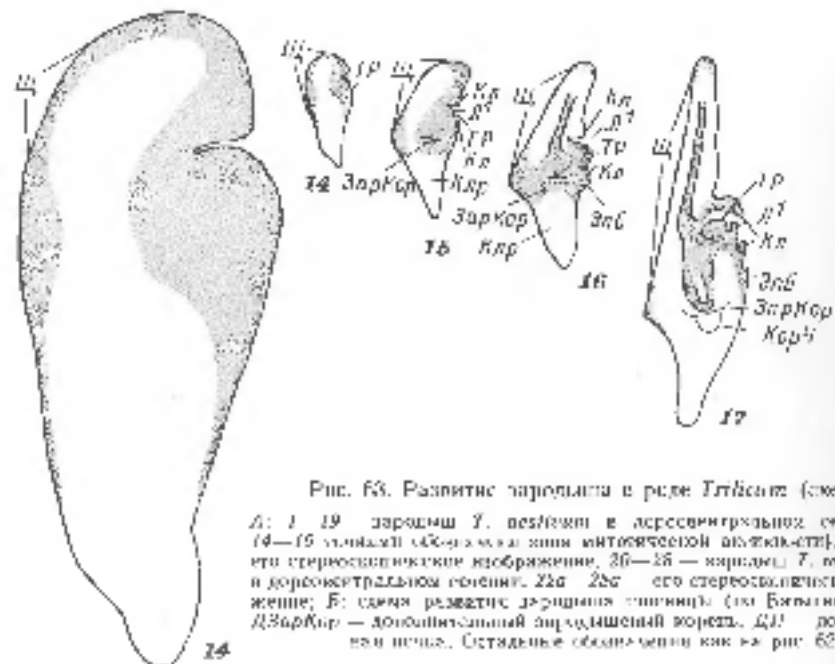
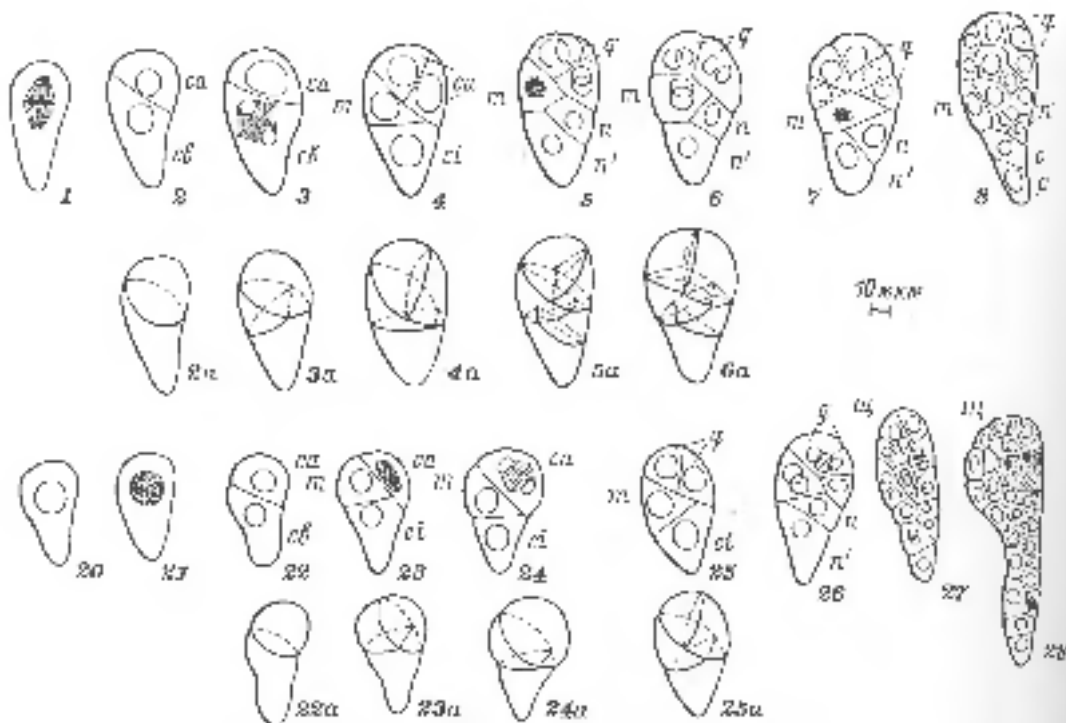


Рис. 63. Развитие гипофиза в роде *Eptesicus* (скew).

A: 1—19 — зародыш *T.* пестички в десмосимметричных сечениях (из 14—15 членов оболочкицииции юнговской выстука-сти). 20—26 — это стероидные изображения; 26—26 — кариаты *T.* пестички в десмосимметричном сечении; 22a—26a — это стероидные изображения; Б: скажи развитии гипофиза (из Богдановой, 1974). ДЗаряд — дополнительный заряженный конус. ИП — дополнительная печень. Оставленные обозначения как на рис. 62.

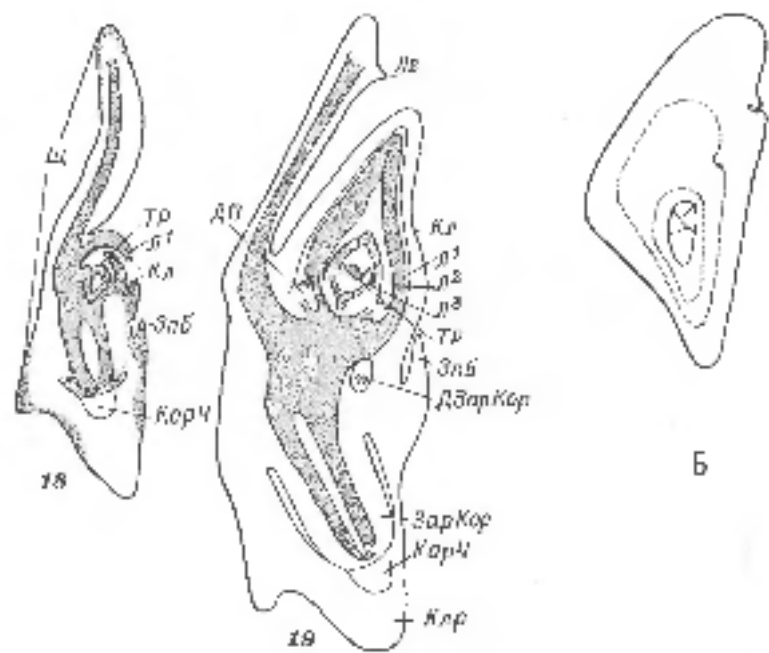
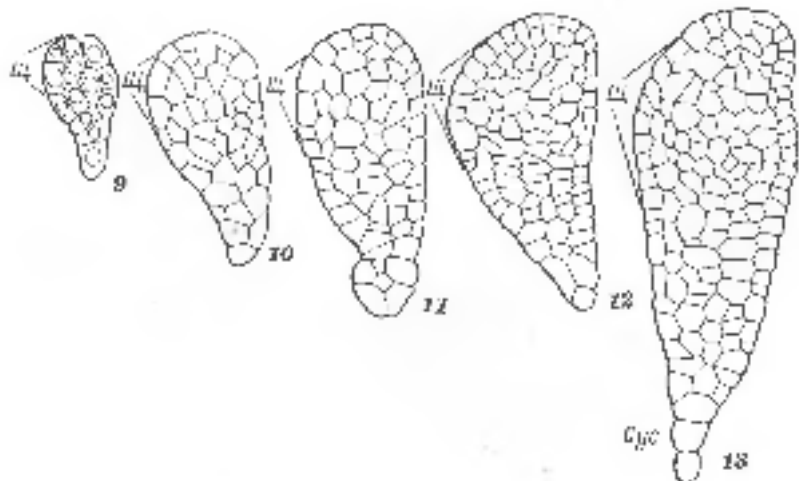


Рис. ГГ (продолжение).

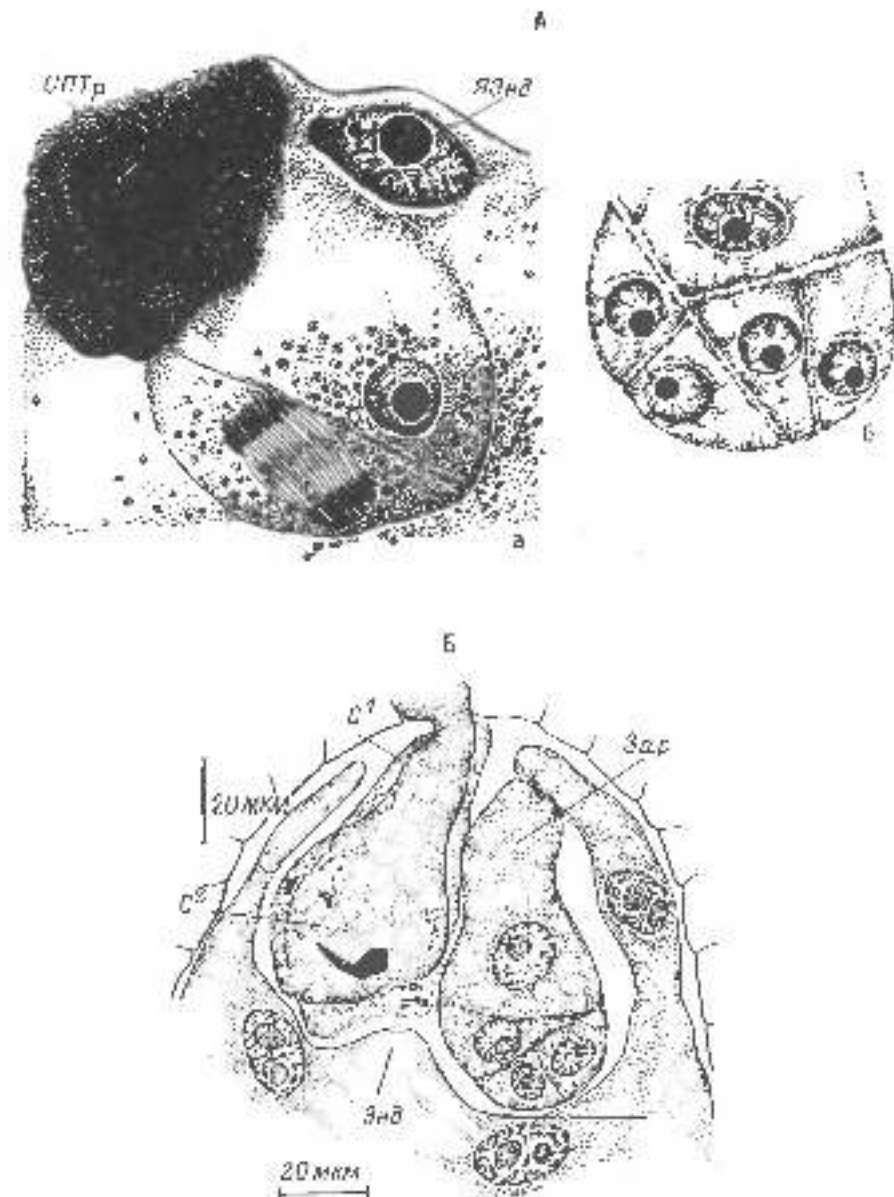


Рис. 61. Ранние стадии развития зародыша кукурузы. (А — по Дебетару, 1964; Б — по Коробковой, 1961; В — по Schell et al., 1964, с изм.). А, Б — СМ; В — ТЭМ.

А и - 2. Узконогий зародыш; Б — б-капитальный зародыш; В — киано-хроматический зародыш и щерни мезонита; Г — ри-бактериальный зародыш; Д — зародышек яичника; Е — яйцо после оплодотворения (тегматальный сперм); Базальные зелёные зоны зародыша — большие, слизковесульцианробинин (стрелки); краевые зелёные зоны верхушечные зонодоры и эпидоры (зигомиты (стрелки)); Ж — зародыш; З — яйца после оплодотворения (хиантозиты (стрелки)); І — зародышевый мешок; К — яйца эпидоров яйцеклада — дистальная часть яйцеклада; Красные зонодоры (стрелки); Л — яйцеклады; М — яйца яичника (стрелки); Н — яйца яичника; О — яйца яичника (кончик стрелки); П — яйцеклад; Я — яйцеклад; ЯД — яйцеклад; ЯЭД — яйцеклад.

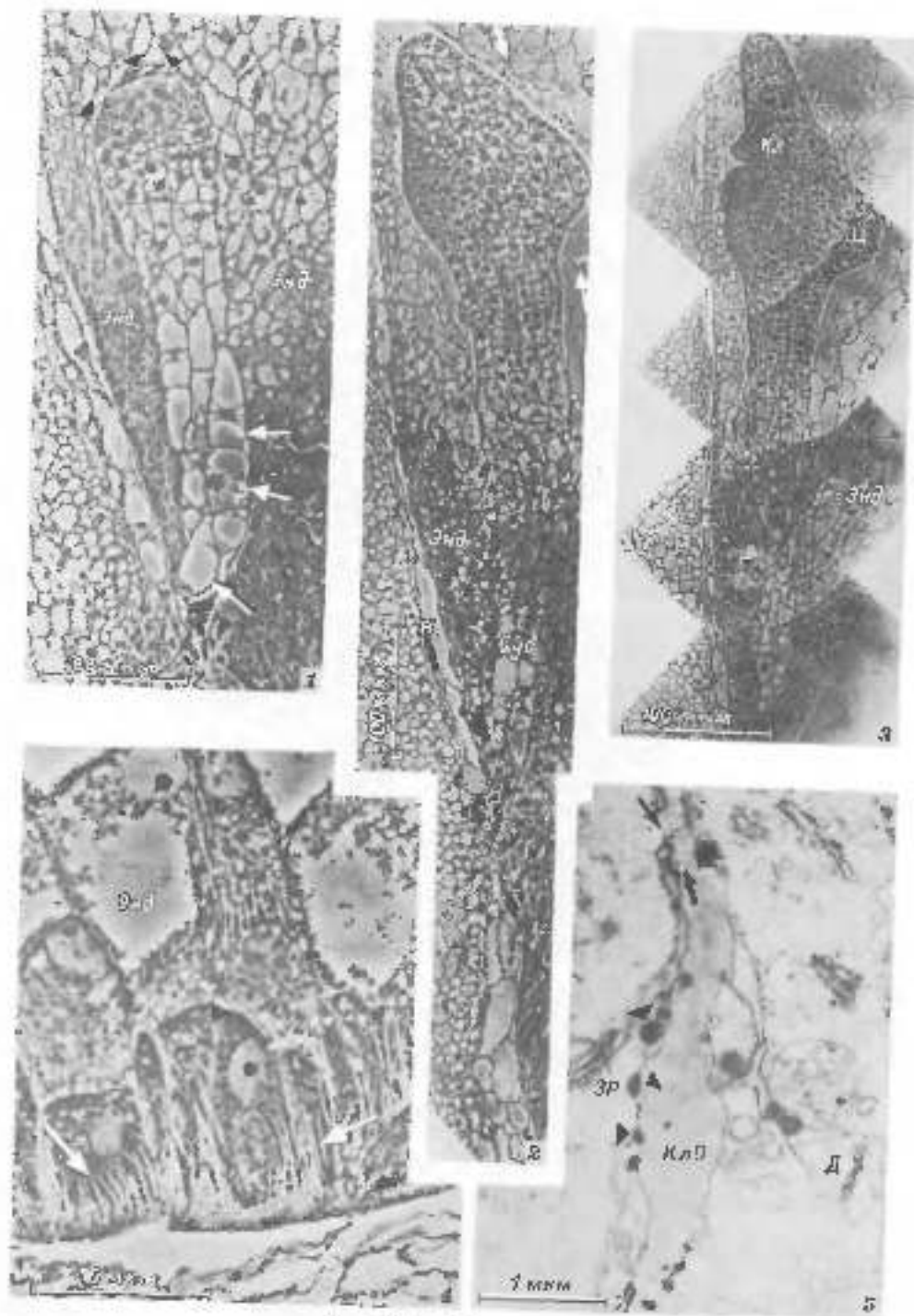


Рис. 64 (приложение).

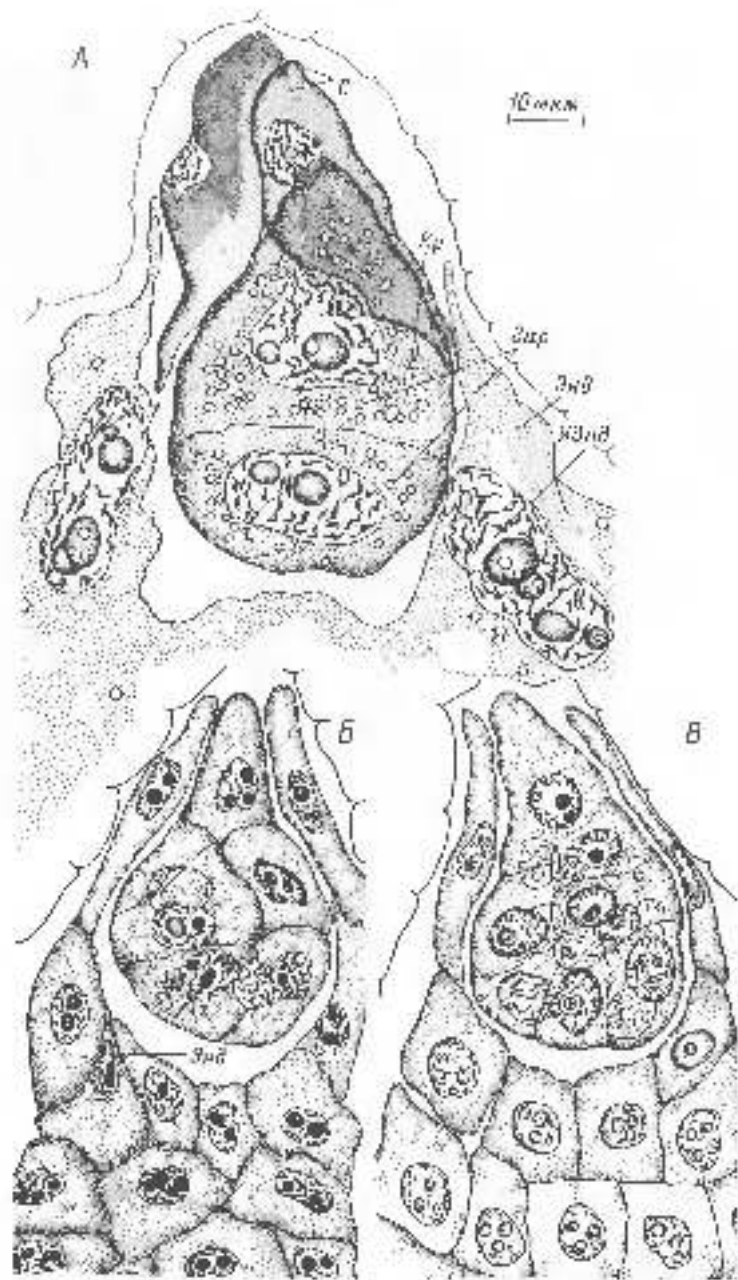


Рис. 65. Развитие зародыша и эндосперма пшеницы на разных стадиях развития. (По Бальтикой, 1974).

А - 2-клеточный зародыш (2-кл.), Б - 16-клеточный и В - 15-клеточный зародыш. Обозначения как на рис. 62, бс.

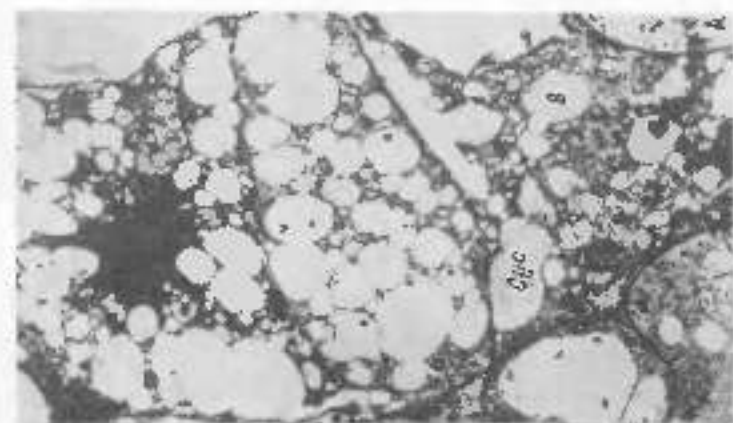
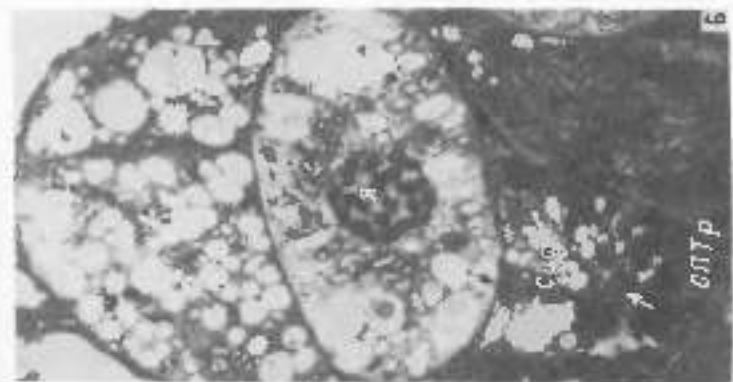
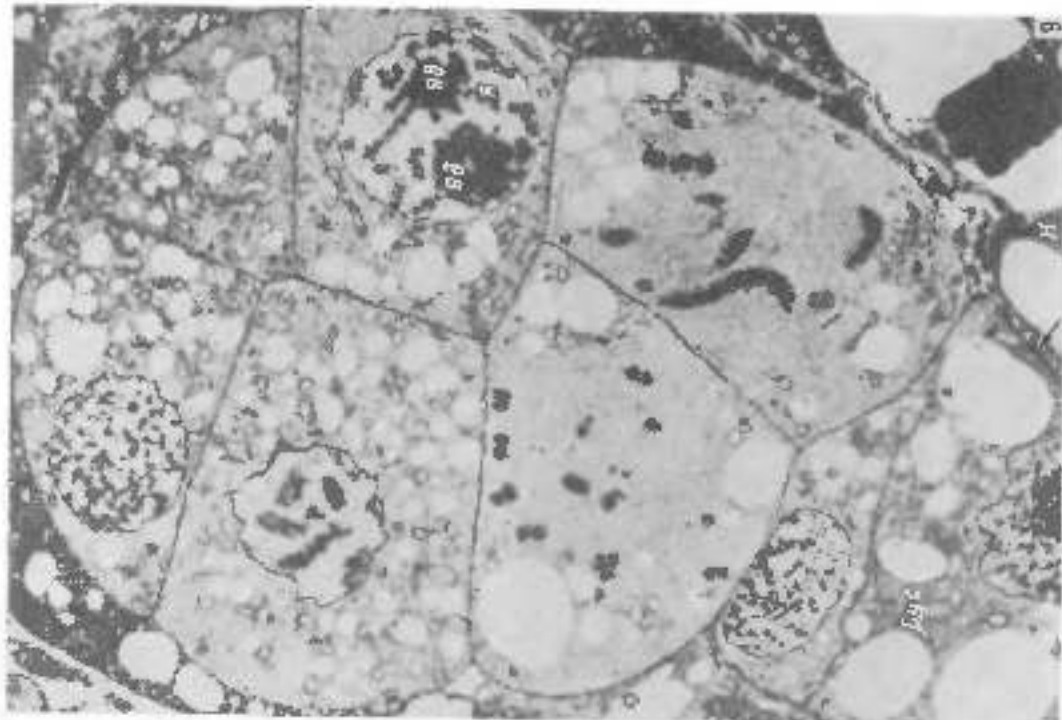


Рис. 6. Зародыш № 1764 (U2) Xerostog. 0.2 с инж. ГЭМ.

А — краевая зона, включая периферийную зону (1000 \times 4500), содержит ванесенные гранулы, ядра, ячейки, вакуоли, гликоген, пигментные включения и другие структуры. Б — центральная зона (1500 \times 4500), имеет широкую периферийную зону, состоящую из гранулированных клеток с ядрами, ячейками, вакуолами, гликогеном, пигментом и другими включениями. В — центральная зона (1500 \times 4500), имеет широкую периферийную зону, состоящую из гранулированных клеток с ядрами, ячейками, вакуолами, гликогеном, пигментом и другими включениями. Г — краевая зона (1500 \times 4500), содержит гранулы, ядра, ячейки, вакуоли, гликоген, пигментные включения и другие структуры.

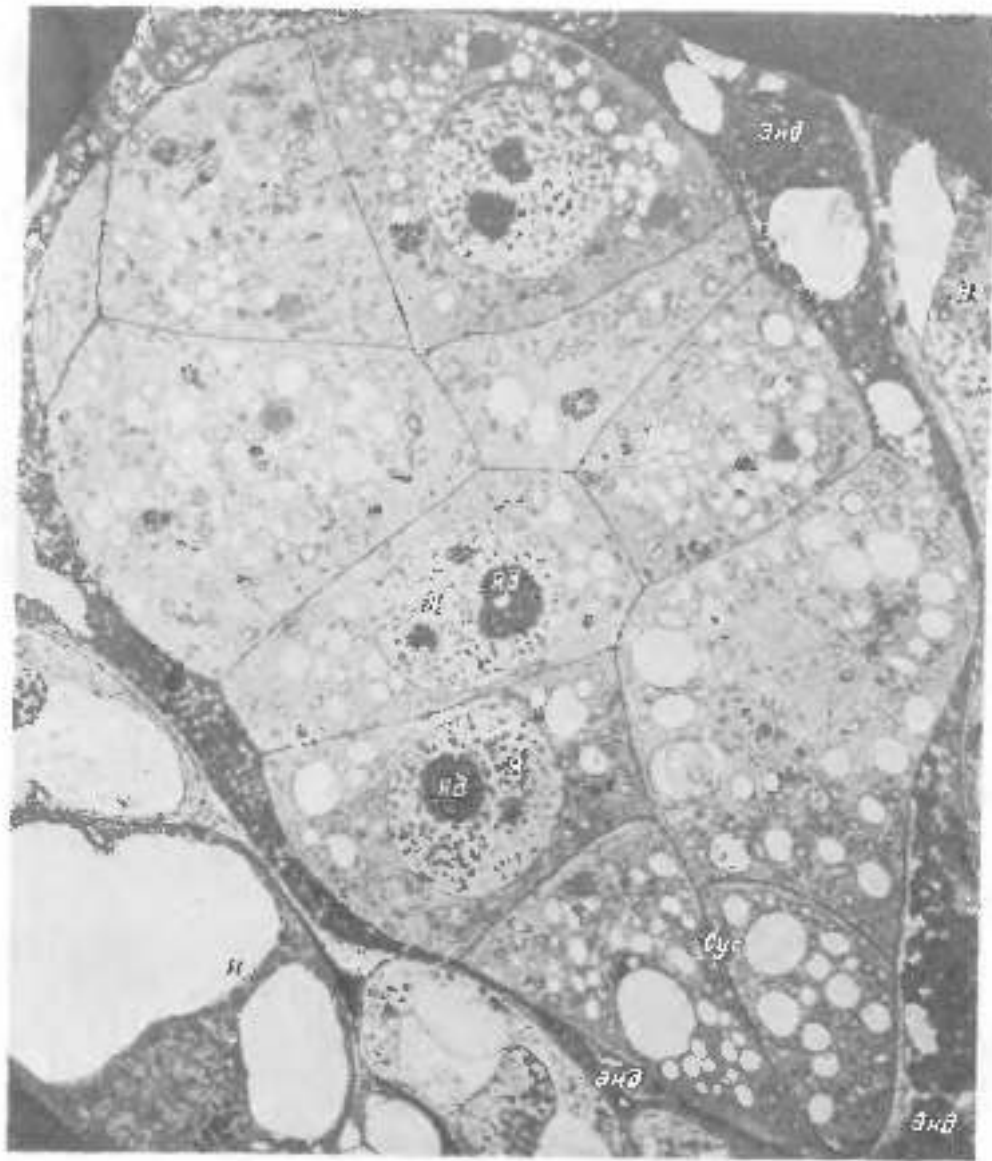


Рис. 67. Зародыш листа. (По Norstog, 1972, с изм.), ТЭМ.

20 клеточный зародыш, на рис. 11 видно: распределение пыльцевой и краевой кирильца различен, но склон к тому же виду в суперпозиционном районе; инфлювиум окружает зародыш, биодифференцирующий контур зародыша с пустым центром ($\times 2500$). Н — некроз, БД — биодифференцированные клетки (см. рис. 62).

Рис. 68. Микророгатый район листа: эпидерис и зародыш ($1-7$). (По Norstog, 1972, с изм.), ТЭМ.

1 — микророгатый район листа; *2* — фертильный контрактингулятор с пыльцовыми гипоконидами (струйными); *3* — однорядные пыльцевые трубки между эпидермальными пыльцовыми гипоконидами и осмысливательными аппаратами ($\times 2000$); *4* — микророгатый зонд суперпозиции 8-клеточного зародыша, включая стенку будущего риккеттиса с пустым центром, цитоплазматические обнажения, митохондрии и цитоскелетные суперпозиционные клетки краевого и краевого членковидных фибрин ($\times 11400$); *5* — суперпозиционная плита 20-клеточного зародыша, соединяющая членки членкоидов; *6* — эпидермальные клетки, в которых имеются кирильцы; *7* — участок клеток 20-клеточного зародыша (зародыша) в участке ячеек эпидермальной тканевки. В них выделена граница первичного эндодифференцированного рогатого.

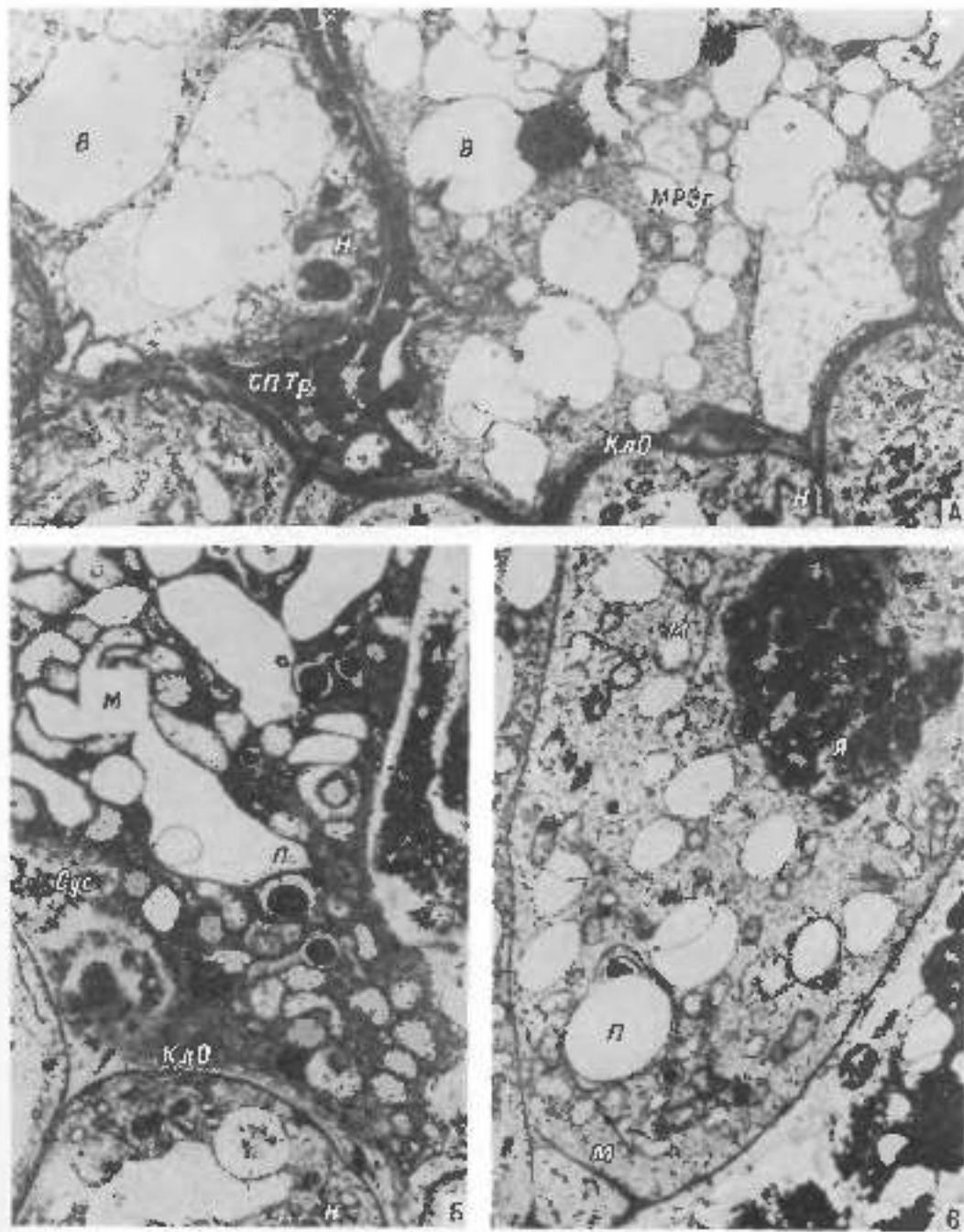


Рис. 48 (продолжение).

зум (бокалы спирал), рибосомы, десмосомы, тонким листом и клетки эндотерма ЗР. Видны, неустойчивые рибосомные включения в пучинке дистальных корней (х \times 27000); Д — участок инвазионной и пищевой матки З-клеточного зародыша, падение гемолизом (стрипка) (х \times 39000); Е — участок интимы некротизированной тонкостенной рибосомы (х \times 39000); Ж — участок интимы ЗР-клеточного зародыша, отмеченный погоды (ср. с рис. Г), нарушение плавания и потери плавких включений засыханием рибосом (стрипка) и разрывом митохондрий по сравнению с числом в размерах этих органелл в клетках эндотерма (х \times 39000). ГРП — гранулированный эндоплазматический ретикулум; Л — ликнитоз; КДО — косточная оболочка; М — митохондрии; МРФг — макрофаги природной иммунитета; П — пластина; Пб — плювиоплатина. Сокращение обозначения одинаков на рис. 48, 49.

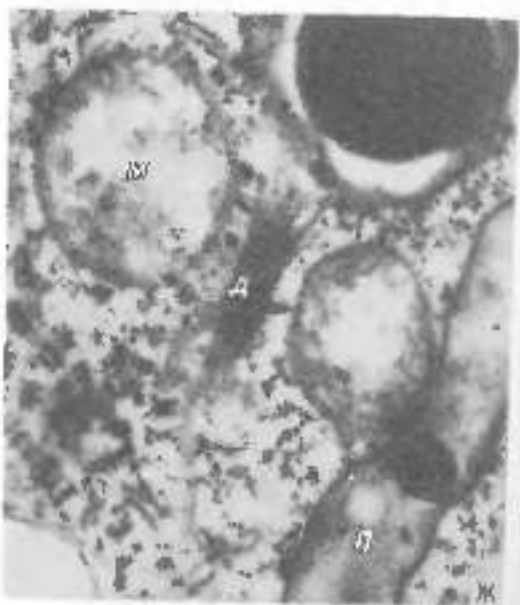
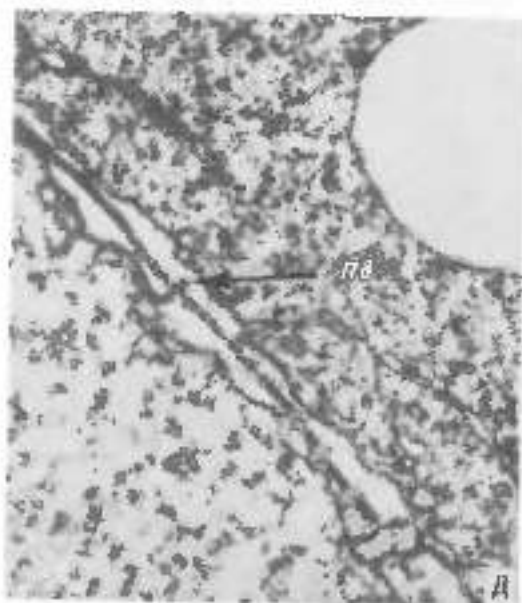
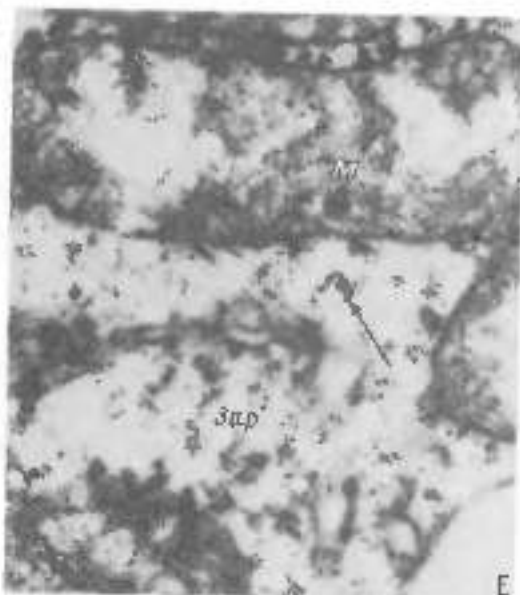
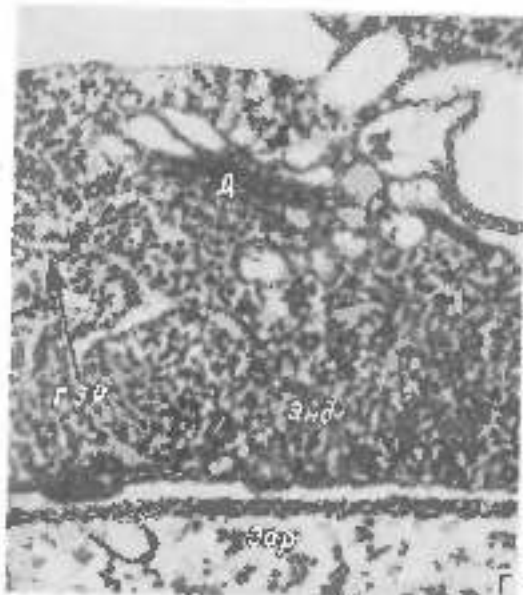
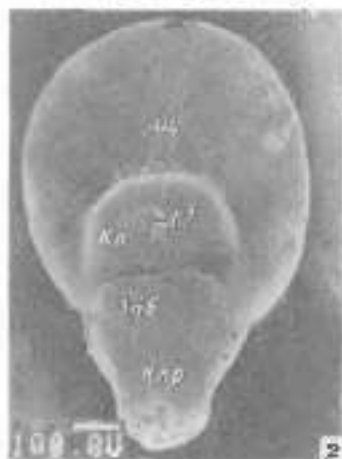


Рис. 68 (внеклеточное)



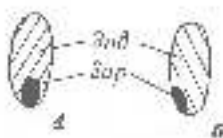
1



2



3



4



5

Рис. 69. Развитие зара-
льных личинок из яиц эла-
тической стадии дифференци-
ации органов за почки из
циферцевидных (1—3 —
по Раттакан, 1968; 4, 5 —
по Баскак, 1974, СМ).

Общий индекс развития, вычис-
ленный из индексов (1—3)
из зрелой яйценоски (3); по-
глубине зародыша (1—3); в
ниже — края яйца (4) и
сбоку (5); продольный срез
зародыша из яйценоски (1) и
из яичной мешковины (5). Зар —
зародыш, ЗарКор — зародыш
шестой корени, БР — мозги-
нус, Кер — кистеопул., ОЛ
— 1-й и 2-й яйцевые полочки,
НР — нервная, ТР — текка
ретиа почечки, НР — нерв,
Зарн — яйцеклетка, Зар — зар-
одыш.

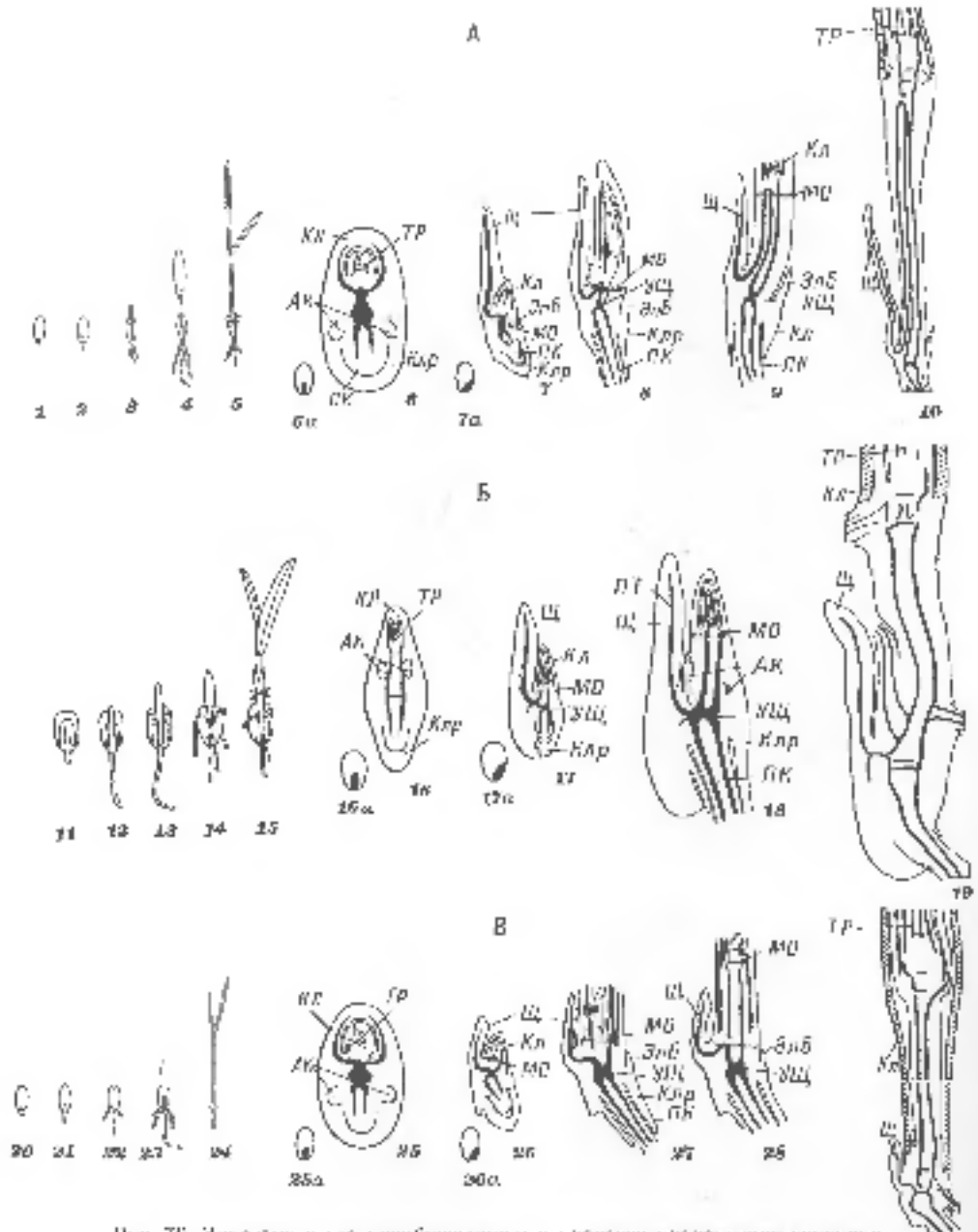


Рис. 76. Зародыш и его преобразование в процессе образования позвонков. (По Аусту, 1930; McCall, 1934, с изменениями).

A. Аверт-зародыш, **B.** — зародыш тела, **C.** — зародыш хвоста. **1—5, 11—16, 20—25** — аналогичные стадии предрасагиных зародышей; **6, 10, 20** — соуды (латеральные) зародыша хвоста; **6a, 16a, 20a** — зародыш в положении в ней эмбриональной (хвост, спиральная); **7, 17, 26** — средний (дигитоганглийский) зародыш на зародышах; **7a, 17a, 26a** — зародыша в положении в ней зародыша (хвост, обзор); **8, 18** — средний зародыш через 24—30 ч после начала прорастания зародышей; видим начальную форму будущего нервного канала и прилегающих тканей; **9** — полость; **9** — прорастание через 8 сут после начала прорастания зародышей; видно удаление оси между листами прорастающих пластины; **10, 15, 29** — фрагменты прорастающих, вытянутых рукояток (латеральных языков); **10** — рост к расположенным углам к скелету побега, шейка и другим структурам; **15** — прорастание; **27** — прорастание через 7 сут после начала прорастания зародыша; **28** — видим начало смыкания; **29** — исчезновение кинкетки между нервными ярусами; **AR** — задненервный ярус, **KR** — кильчатный, **Ker** — колевидный, **MO** — миригематическая область, **NC** — передний хордальный (зародышевый) краешек, **TP** — точка роста, **TA** — узел шейки, **W** — шейка, **Zab** — зибонит.

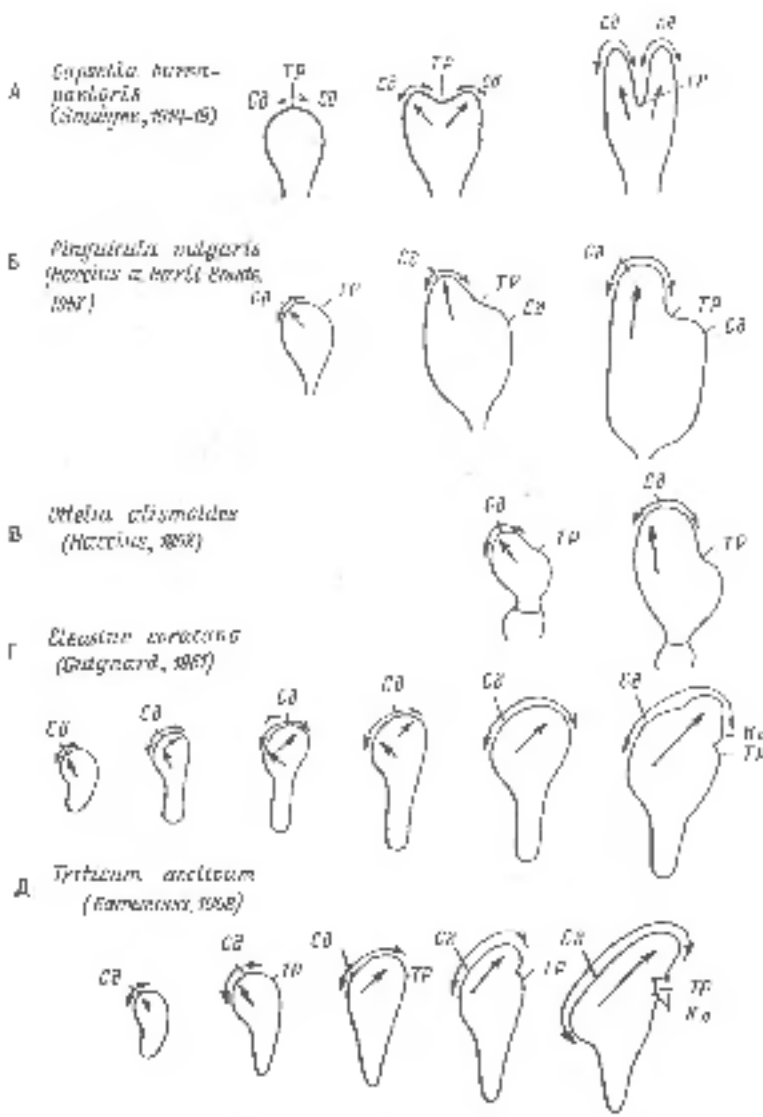
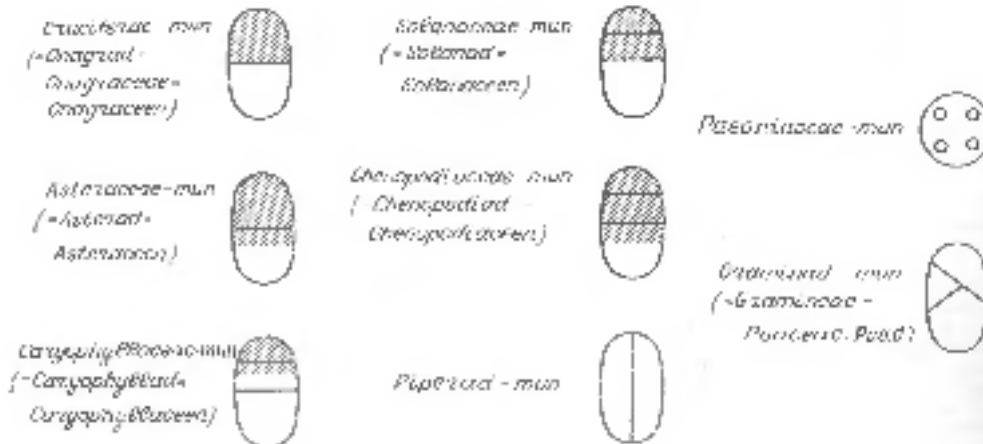
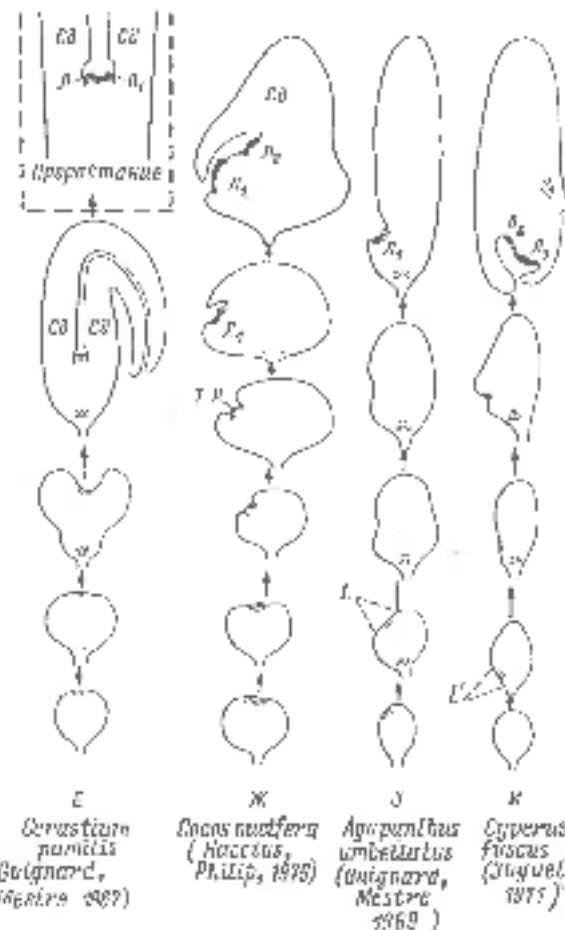


Рис. 71. Эмбриональное становление однодольности (*A—D*) и типы развития зародыша под действием рассеянной (*E*). (*A—D*, *K* — по Батыгиной, 1974, с изменениями; *E—H* — по Сирнгард, 1984, с изменениями).

A — рождение растения у двудольных *Cyperus longus*; *B* — пребиотическое разведение одной из семядолей у однодольного *Pinguicula vulgaris*; *B—D* — разрастание семядолей и смещение листка побега в каскадных положениях *Molinia clismoides* (*B*), *Elymus caninus* (*C*); *Triticum aestivum* (*D*); *E* — рождение гипокотиляя у однодольного *Carex sylvatica*; *H* — раскрытие 2-й семядоли и смещение зерна побега в каскадное положение у *Carica papaya*; *Z*, *H* — латеральное апиллярное движение побега у однодольных *Zizaniopsis miliacea* (*Z*) и *Cyperus rotundus* (*H*). Кривая приведена за *K*, проекция которой с сильным заворотом побега в сторону зарастиания зародыша, защищирована, именуемая [введенной центр] на *E—H* кинетической. *Кл* — кинетика, *И*, *Л* — листья побега, *Сд* — семядоли, *ТР* — точка роста (здесь побега).



K

FIG. 71 (Involucellaceae).

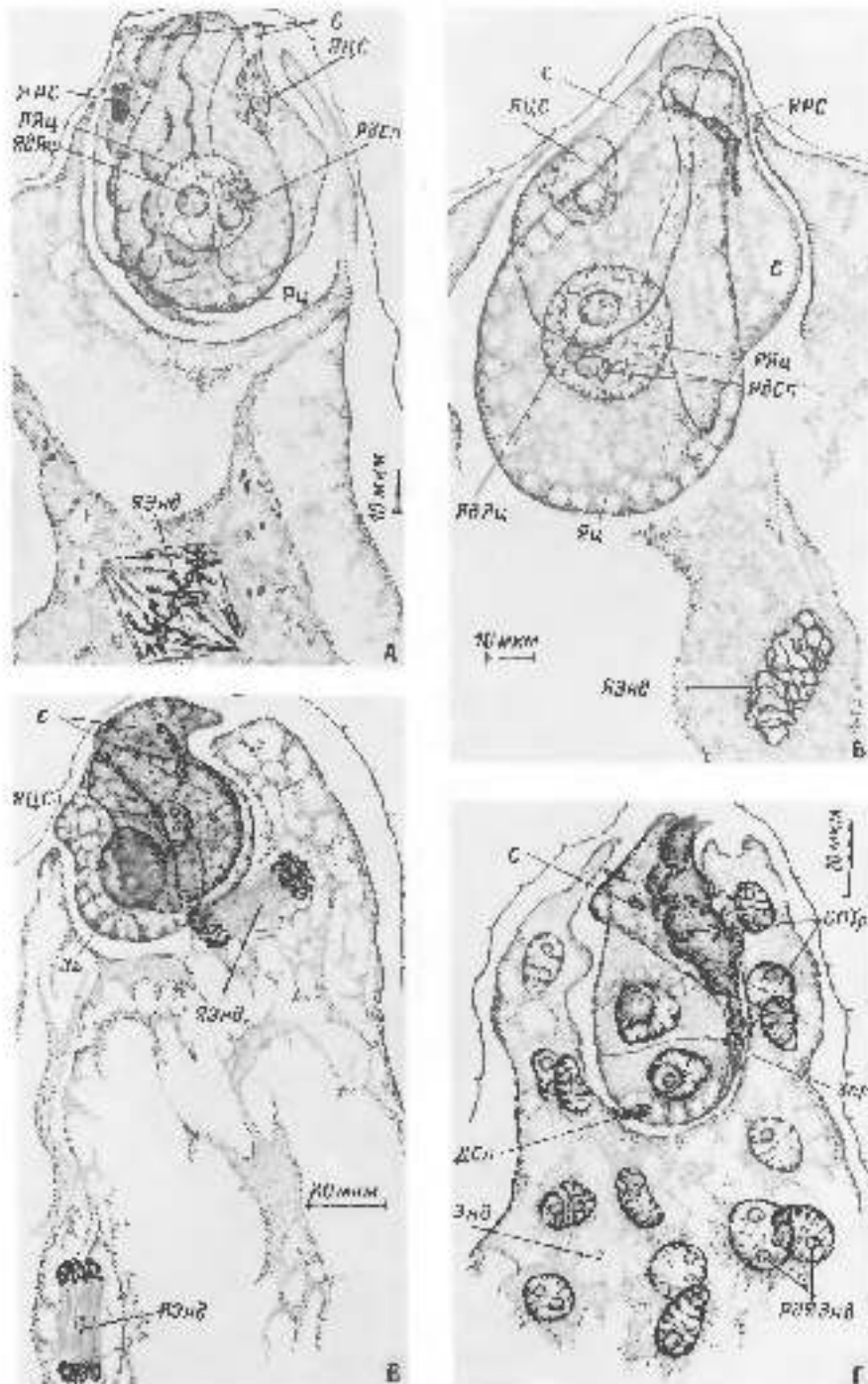


Рис. 72. Вентральная часть зародыша мешка *Trifolicea millovescens* (A—E — по Батыревой, 1974) и *Zeo laevis* (Л — по Коробовой, 1982).

А — через 5 ч, Б — 7, В — 8, Г — 38 ч (зародыш изображения инфицирован). Яйцо — яйцоцит, С — синибрюса, СНтр — сидеробрюссы пищевой трубки, Энд — эндоцерин, ЯДСп — яйцоцит спермиев, ЯДСпш — яйцоцит спермии чистогенитрия, РБС — яйцо разрушенной сперматиды, Яе — яйцеклетка, ЯИС — ядро яйцелей спермиев, ЯИСп — ядро эндоцерина, ЯБи — яйцо яйцоблестки, ЯБиш — яйцоблестки яйцеклетки.



Рис. 72 (амебоидные).

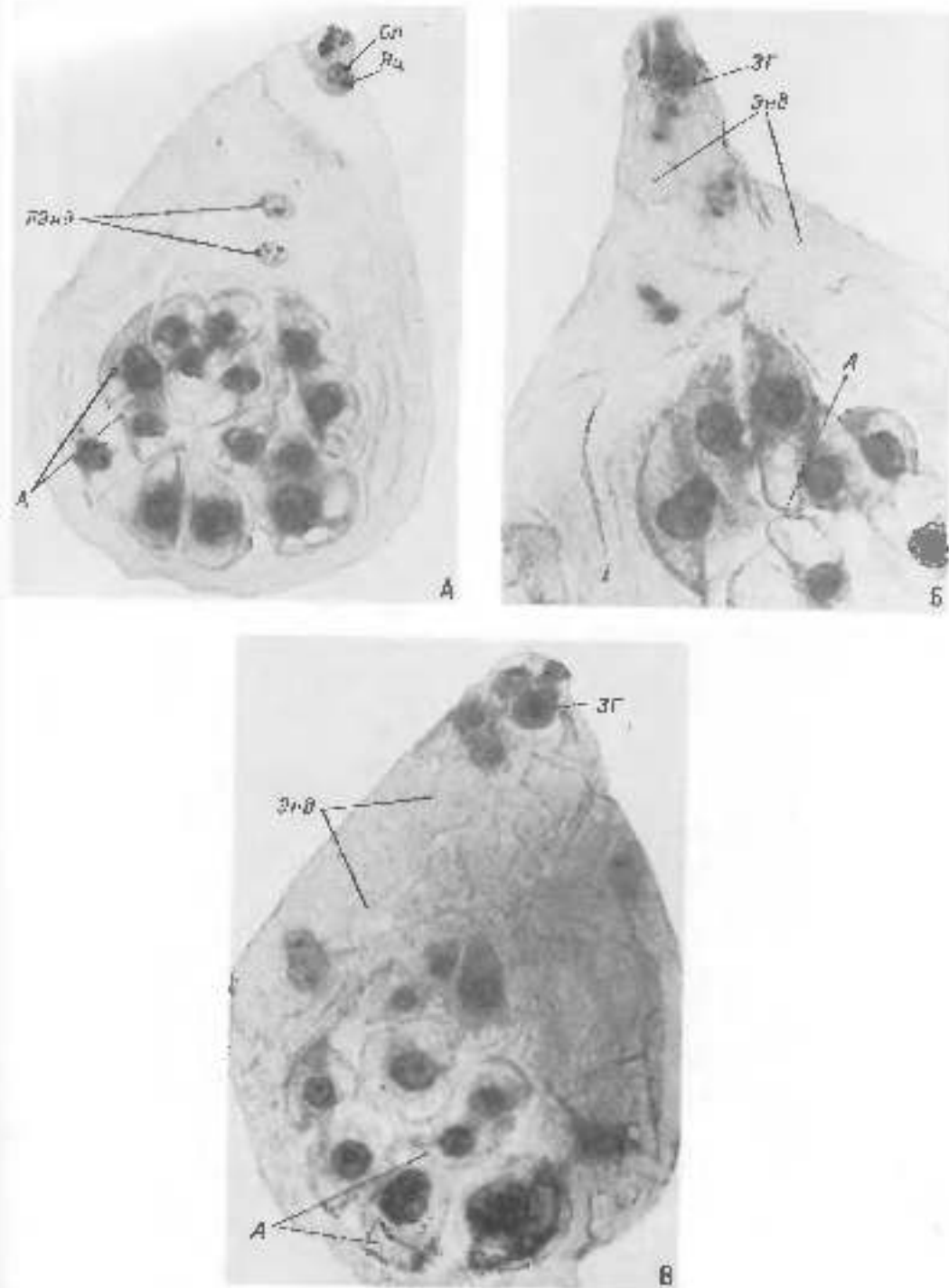


Рис. 73. Изоглоссальный энтомофаунный мухом личинка *Glossina fuscipes* на различных стадиях развития эндостерна. (По Орловой, Аванескиной, 1983).

A — на стадии первого личинки в яйцекладке. *B*, *C* — на стадии первичных послеличинковых личинок.
A — антеннальная ямка, *Cn* — синерий. Остальные обозначения как на рис. 72.

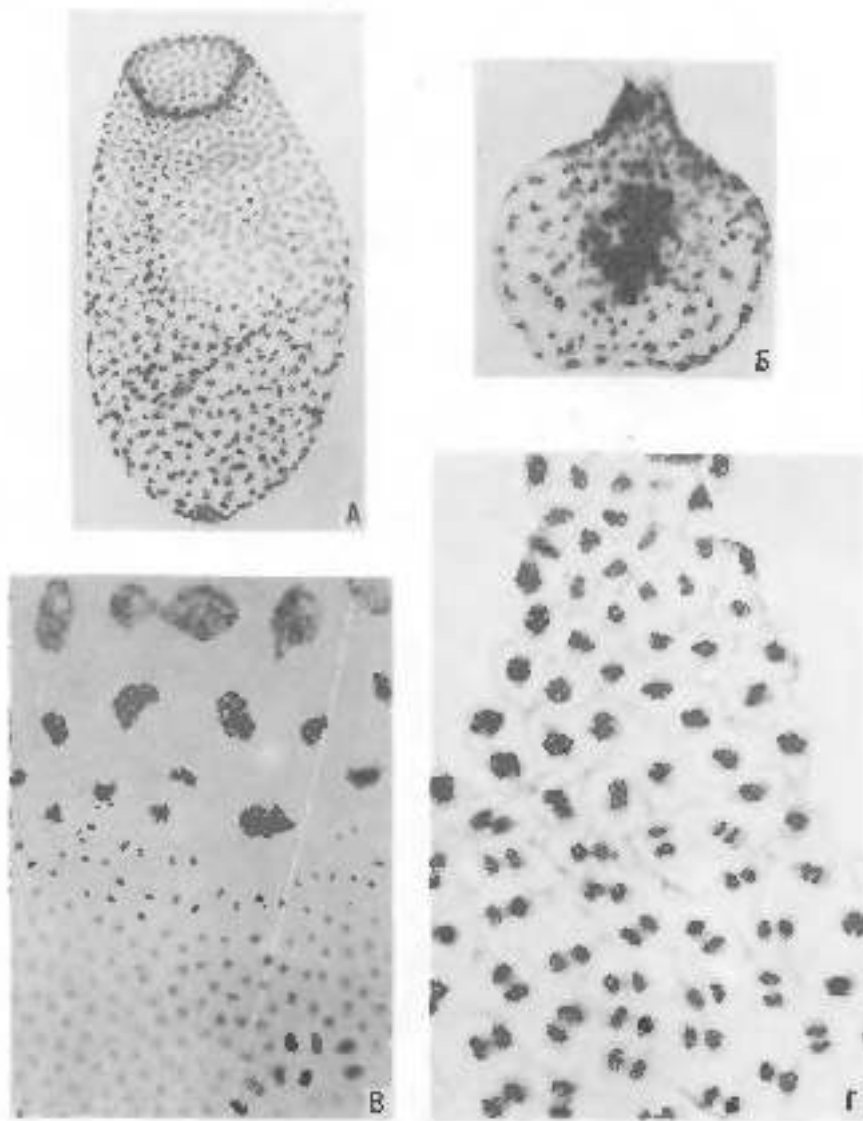


Рис. 74. Первые стадии развития эндоклерса. (По Пятровой, 1970; тотальные препараты). СМ.
 А — целий эндоспериальный пессум, Б — многочленильные энтиподы с волнистодисками изречи,
 В, Г — яйца пистилия в зиготерии.

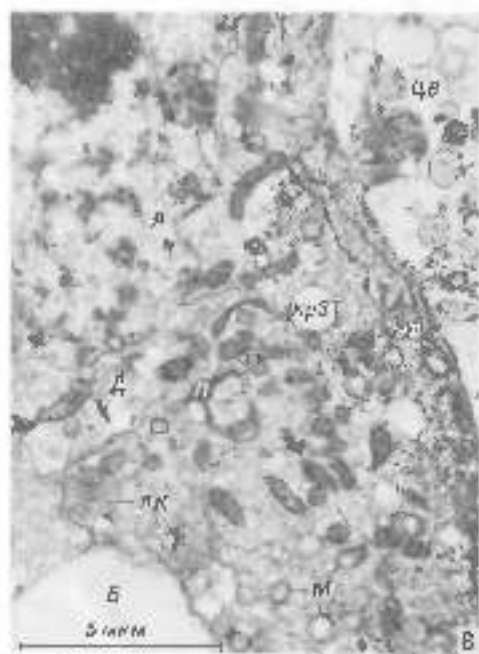
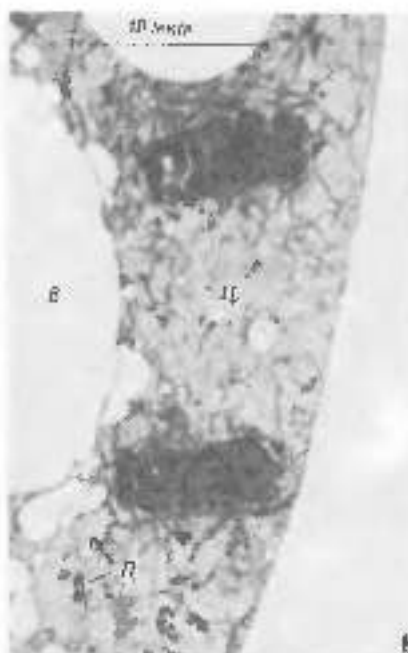
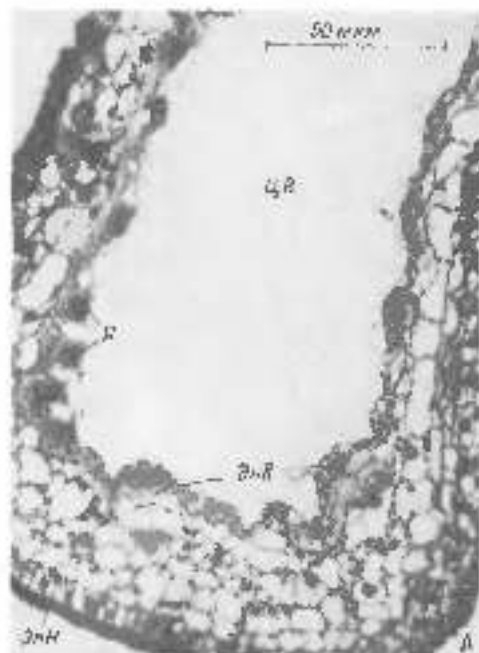
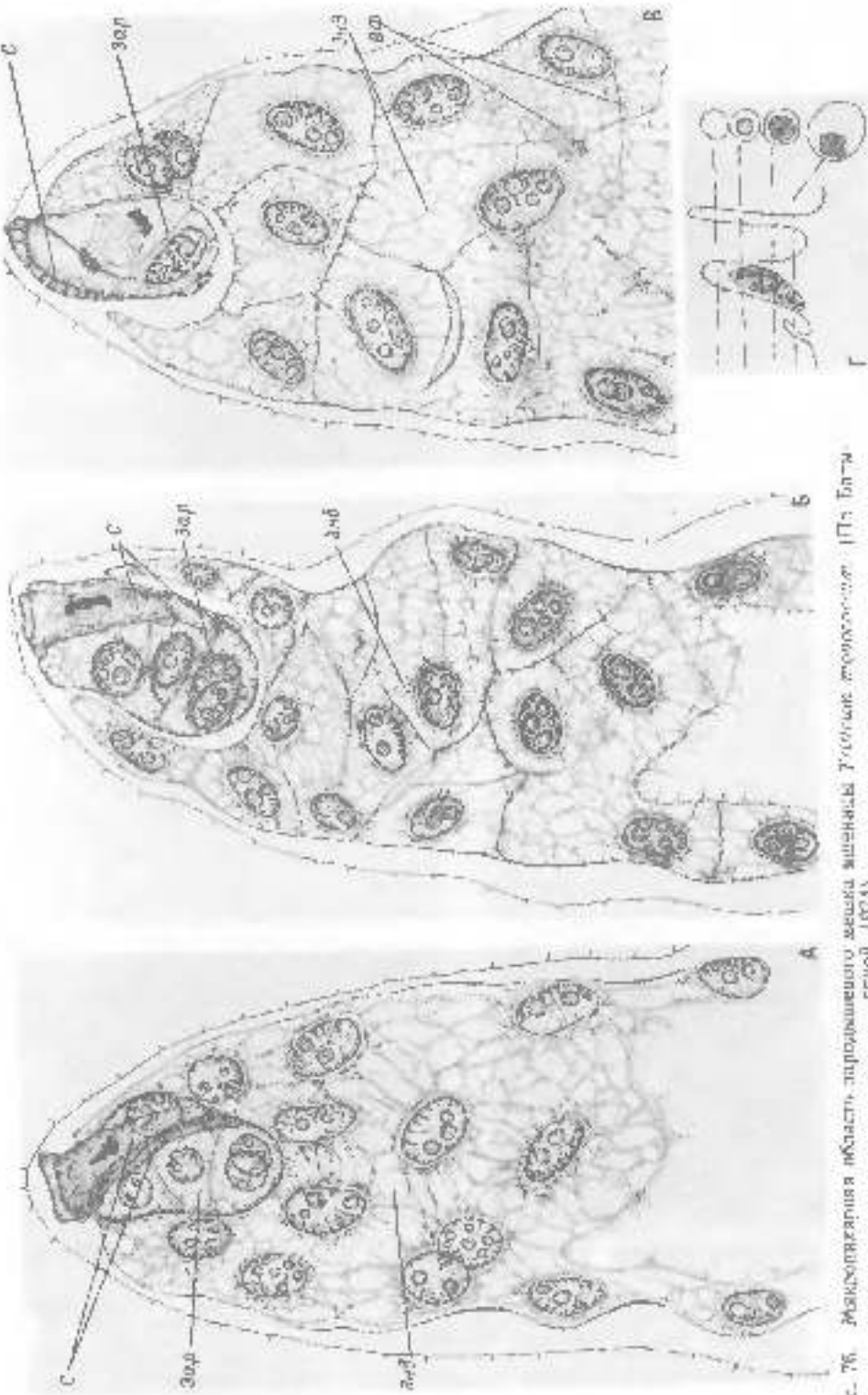


Рис. 7Б. Продольные срезы эмбриона зебрафиш на ядерной стадии развития в первые сутки после откладки. (По Шкларину, Леонтьеву, Магнусу). (А, Б — СМ; В, Г — ТЭМ).

А — привильный трехмерный, симметричный продольный эмбрион, состоящий из кольбеты, расположенной впереди, и яйца в центре; Б — обратный анатомический срез с яйцом впереди, расположенным за кольбетой, яйцом и фрагментами из образовавшихся яйцовых пластинок; В — несимметричный эмбрион с асимметричным яйцом и яйцом из кольбеты; Г — симметричный эмбрион, состоящий из яйца впереди, яйцом и яйцом из кольбеты; Д — яйцо; Е — яйцо; КРД — краевая зона яйца; ГК — яйцо из кольбеты; М — яйцо из кольбеты; ОБ — оболочка зародышевого яйца; Р — яйцо; П — яйцо; ЦВ — центральные яйцоболты; ЗИ — яйцоболт; ЧП — спиральная яйцоболт; ЗР — яйцо зигматических раздражений; Я — яйцо.

Жизнь в стадии гипертрофии яйцеклеток. Фиг. 7. — Остистые клетки в яйцеклетках. Г. — яйцеклетка с яйцеклеткой-внешностью. Д. — яйцеклетка с яйцеклеткой-внешностью. Е — яйцеклетка с яйцеклеткой-внешностью. Ж — яйцеклетка с яйцеклеткой-внешностью. К — яйцеклетка с яйцеклеткой-внешностью. М — яйцеклетка с яйцеклеткой-внешностью. Н — яйцеклетка с яйцеклеткой-внешностью. О — яйцеклетка с яйцеклеткой-внешностью. П — яйцеклетка с яйцеклеткой-внешностью. Р — яйцеклетка с яйцеклеткой-внешностью. С — яйцеклетка с яйцеклеткой-внешностью. Т — яйцеклетка с яйцеклеткой-внешностью. У — яйцеклетка с яйцеклеткой-внешностью. Ч — яйцеклетка с яйцеклеткой-внешностью.

Рис. 76. Аспидонема макралитическая (Борисов, 1954).



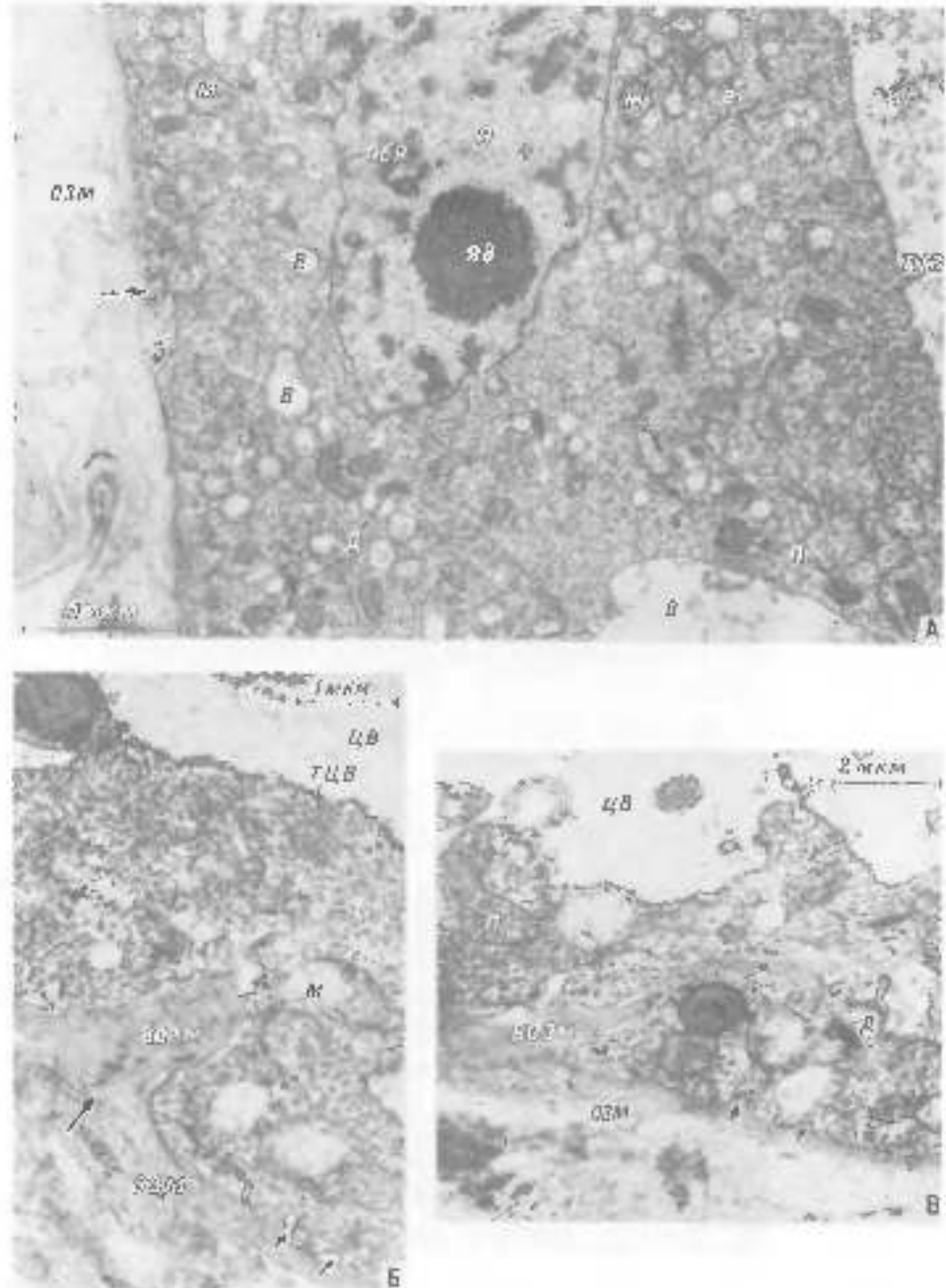


Рис. 27. Проделанные краем зародыша личинки (A—C) на стадии 64 ядер и первые сутки после оплодотворения (по Ширлеру, 1968). Квадратные скобки коперечные срезы разделяются вертикально приподняты (Г) на разные стадии ее развития (по Morrison, O'Brien, 1970). А, В — ТЭМ, Г — ФМ. Слева перед первым препаратом вспомогательная линия места микробиологического сканирования отраженной части позади яйца изолирована. 1 — рога побочного зародышевого герма в первые посл. сутки оплодотворения; 2 — побочное зародышевое ядро; 3 — интегрированное ядро (1—2 сутки посл. оплодотворения); 4 — периферический ядро; 5 — ядро зародышевого эндодермы и участок энзимов, выделяемых из 3—4 суток посл. оплодотворения (Волчак, Струлеи — ядро субслипидной периферической мембраны; хроматин — хроматиновые фрагменты); ВСМ — первые обособленные зародыши своего тела; М — микрорубец; ОЗМ — оболочка яйца; ГСМ — генетическая сублимационная зона; ТЦВ — теснотолистчатая центральная венула; Ри — ядро рибосом.

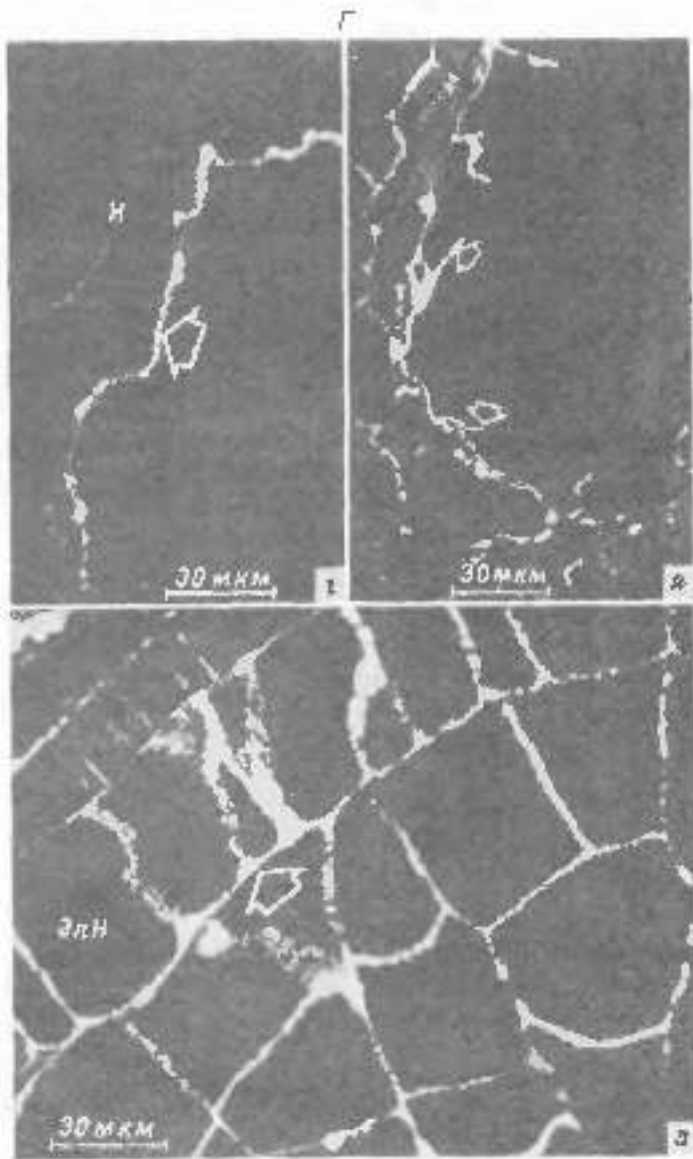


Рис. 77 (см. вклейку).

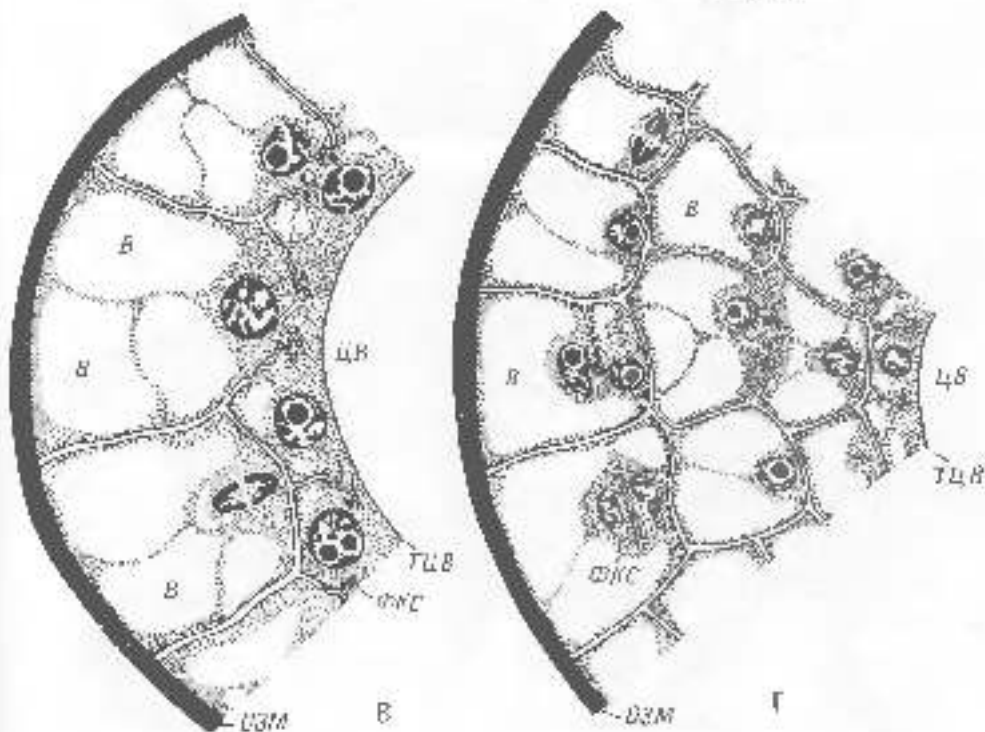
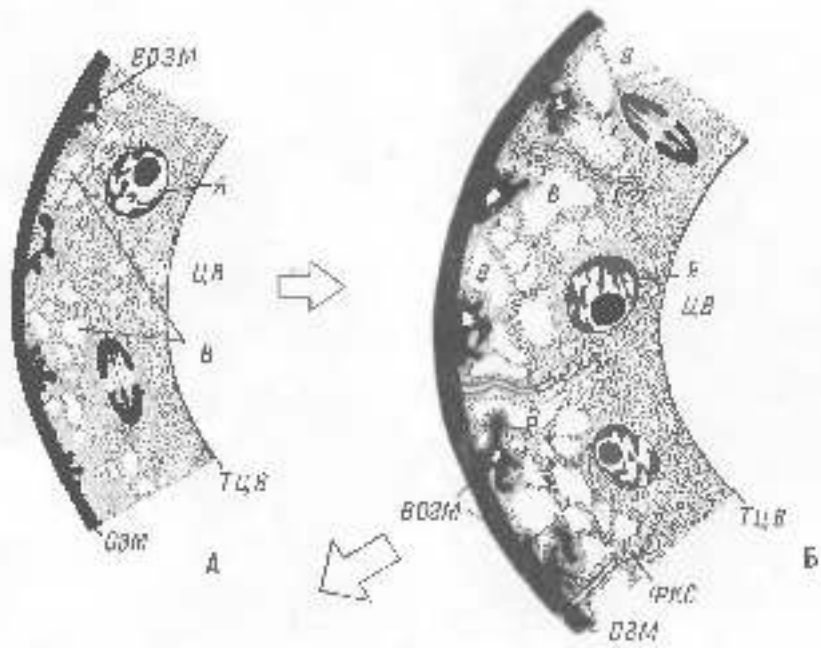


Рис. 78. Схема процесса кристаллообразования в залежах пылеватых гипситов (А - Г). (По Шагареву, 1983). ТЭМ.

ФКС — формирующаяся флокулированная структура. Остальные обозначения как на рис. 76, 77.

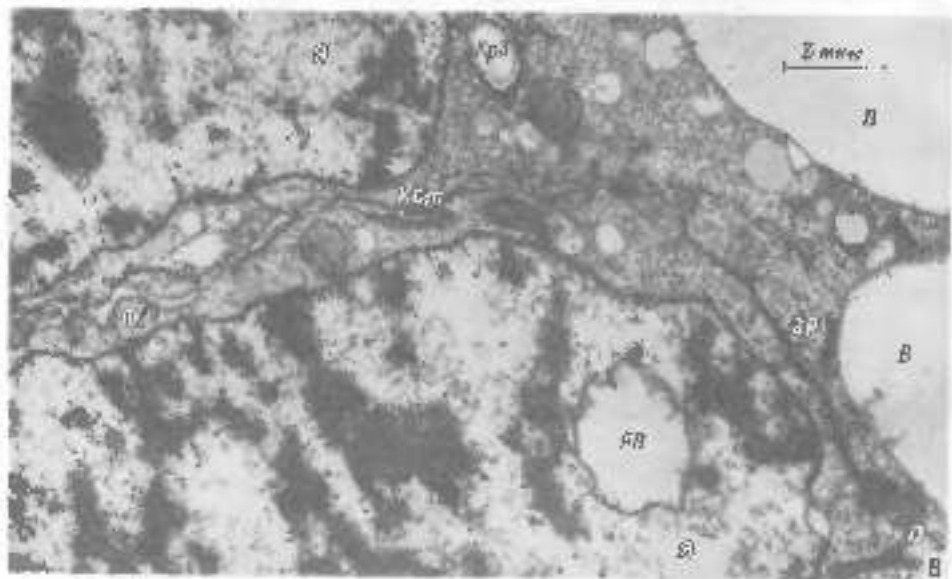
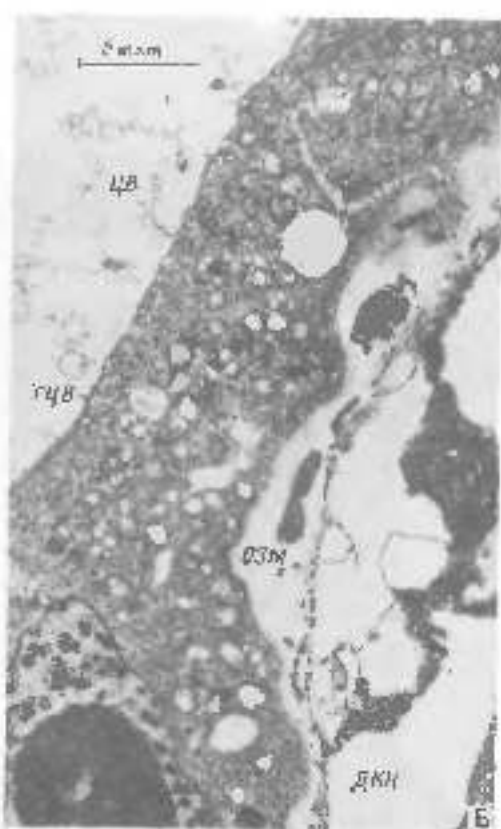
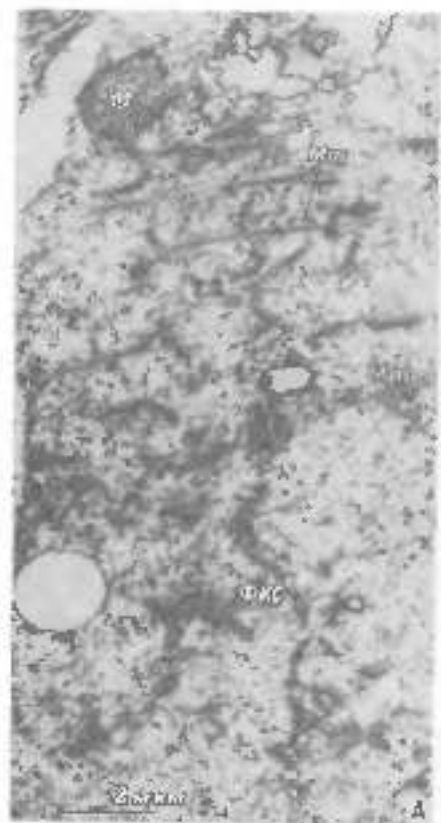


Рис. 78. Участки эндоспермальной пигментации в период зародышевого генеалогического стадии.
(А, Б — по Шварцену, 1993; В — по Шварцену, неопубл. данные). ТЭМ.

А — участок эндоспермальной пигментации, прилегающий к центральной вакуоле и содержащий фрагменты яичной мембраны (имеющие микротрубочки флагеллосомы), ориентированные перпендикулярно к стенке; Б — фрагментированная яичная стена, занятая пигментом, пронизывающим промежуточные и оболочные зоны вакуоли; В — участок стадии между пестрополоской и кариолитом. ДКН — дегенерирующая яичная вакуола; КСТ — яичниковая стена; ЛВ — яичная вакуола. Остальные обозначения как на рис. 75, 77, 76.

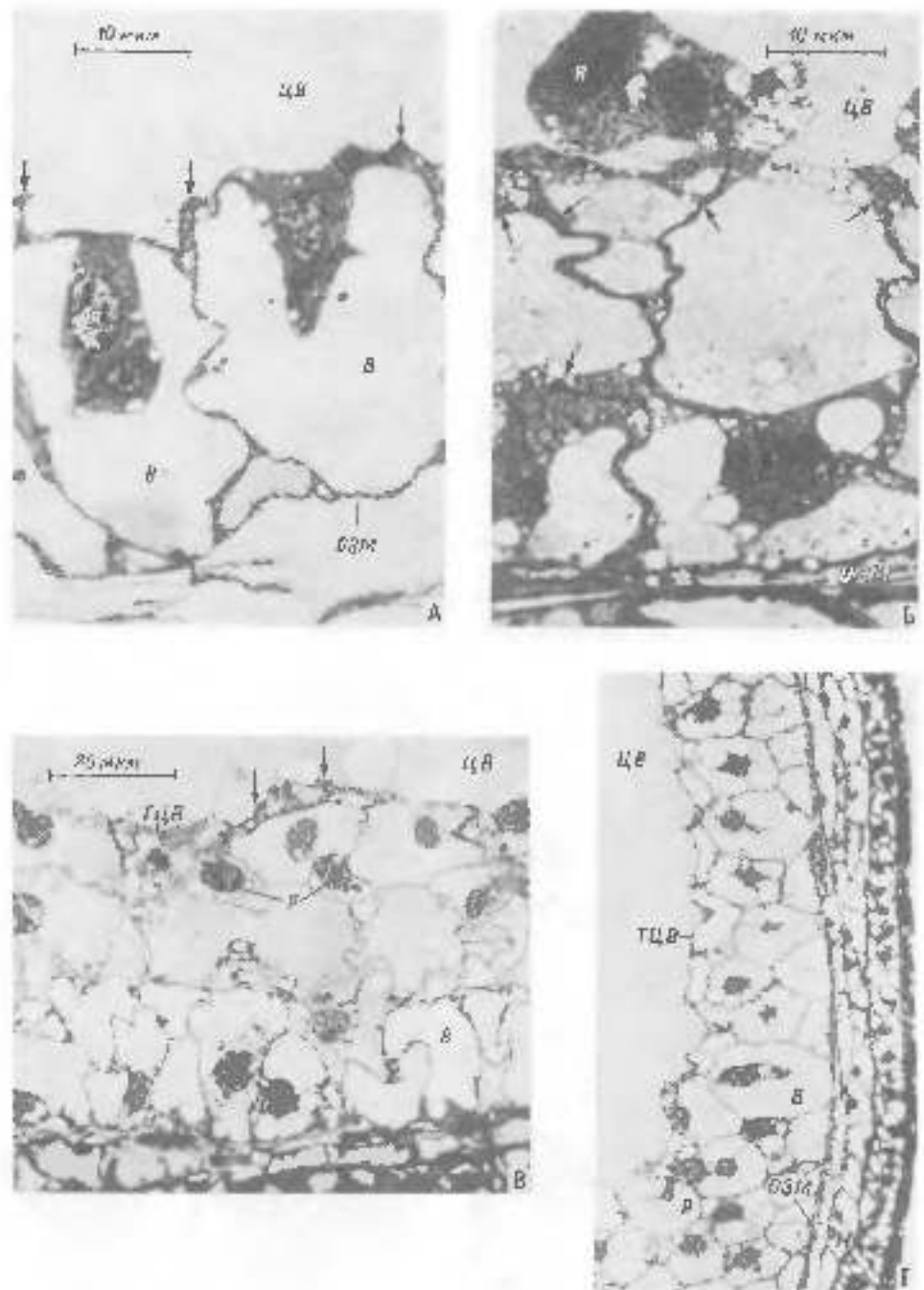


Рис. 50. Участки зреющейся крестоцветной пыльцы на различных этапах ее развития (среди них оптическая). (По Шварцу). Б — 1983 из А, б, Г — пересубъ. звонки
А, Б — формирование первых и вторых членов эндоспермогенных клеток (2—3-я стадии после опыления).
Б, Г — формирование 3—5-го членов кинетик (3—4-я стадии после опыления). (Стрелки — неизученные хлесточные структуры). Обозначения как в рис. 7б, 77.

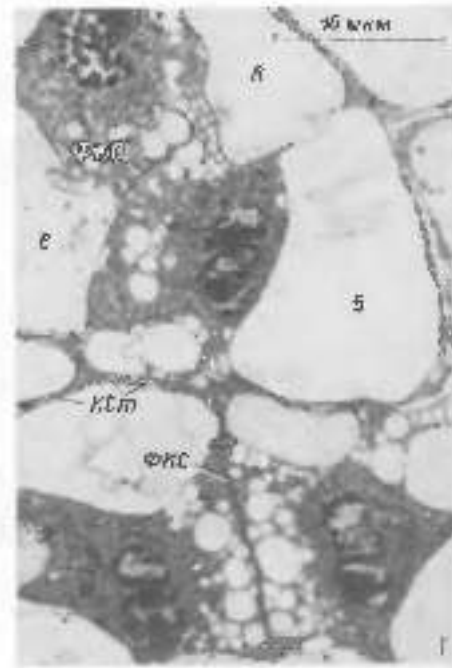
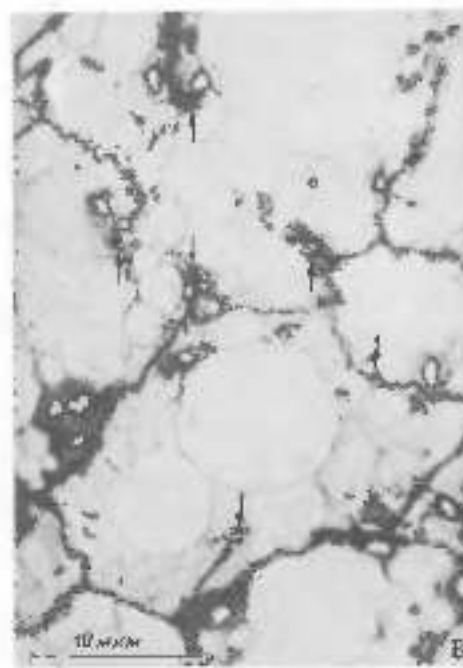
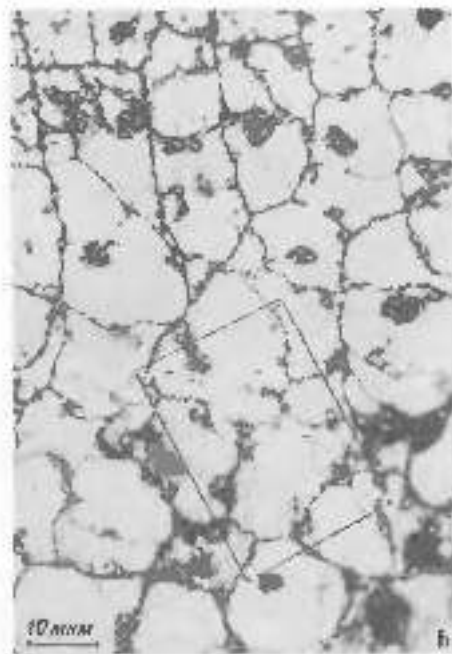
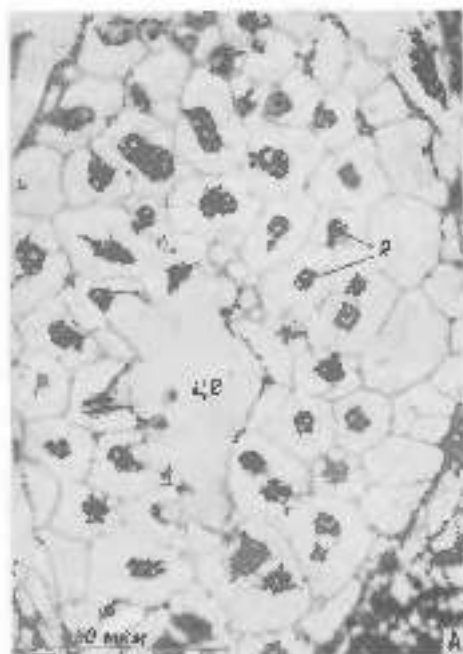
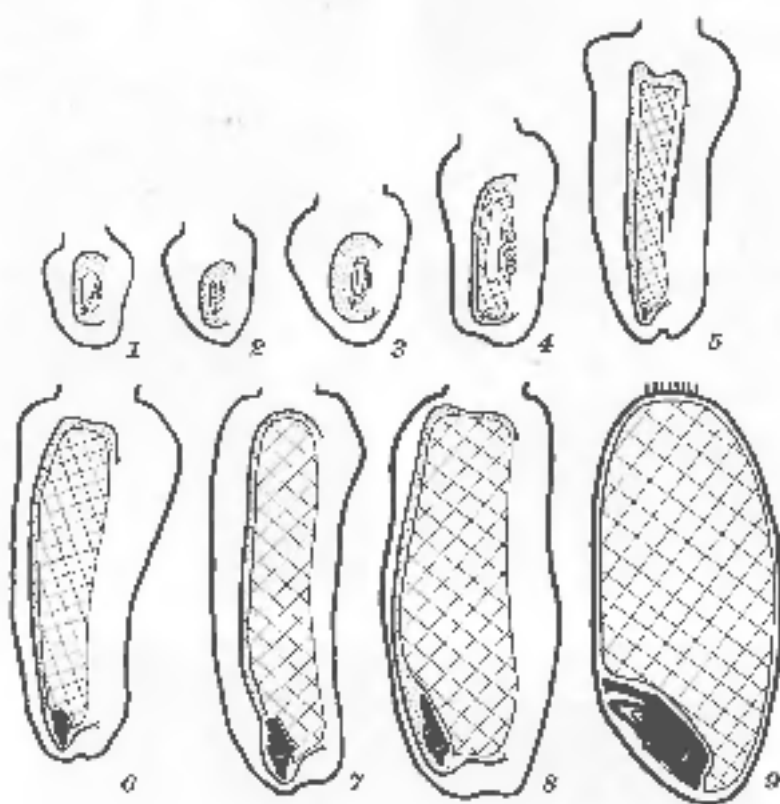


Рис. 81. Развивающие участки эндосперма цианобактерий. (По Шварцену, Кеопубли, Ландину). СМ.
 А — пластины гибкого и роста пластов, 3-и сутки после опыления, первые 2—3-дневные α -флюоресцентные
 пятни (проверенный срок); Б, В — эндосперм в конце фертилизации яйцеклеток из 5-6 суток после
 опыления (конкретные срезы); в центральных районах эндосперма становятся яркоизлучающими кистевидные
 струкции (гелевые), фиксирующиеся на месте центральной яйцеклетки (яйцеклетка в ряде за 6-дн при большом
 увеличении на В); Г — гифоидные элементы эндоспермов из 4—5-и сутки после опыления; выделены
 волокна с ядрами и окантованные гиалоплазмой и клетками. Обозначения как на рис. 76, 77—79.



[Solid black rectangle]	Задерг	[Hatched rectangle]	Интраэументы	[Cross-hatched rectangle]	Нукеллус
[Solid black rectangle]	Задерговиц	[Hatched rectangle]	Эндосперм	[Cross-hatched rectangle]	Антиспобы
[Solid black rectangle]	Дегенерирующие антиспобы				

Рис. 82. Пояснительные флаги различных зародышей и зародышевых в зародышевые интенции (сорт 'Линкен') после опыления.

1 — через 5—6 ч, 2 — 1 сут, 3 — 2, 4 — 3—4, 5 — 7—8, 6 — 9—10, 7 — 11—12, 8 — 13—15, 9 — 25—30 ч.

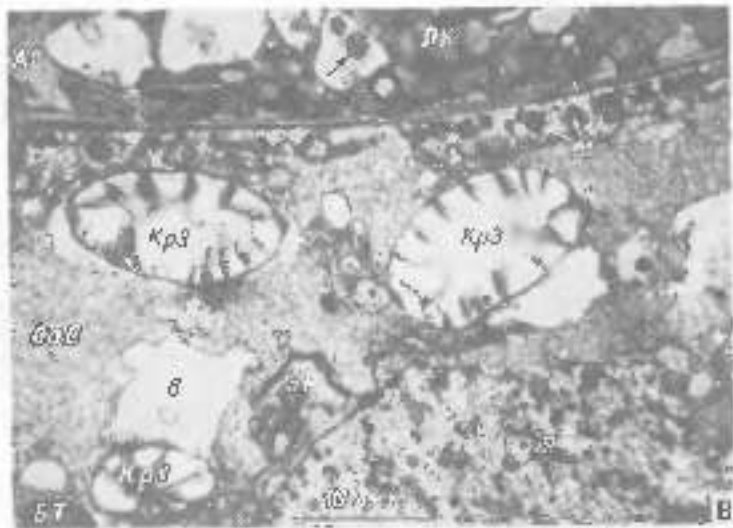
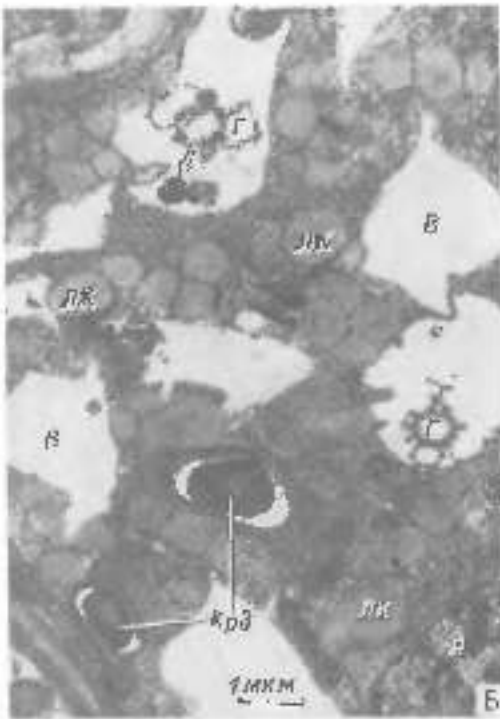
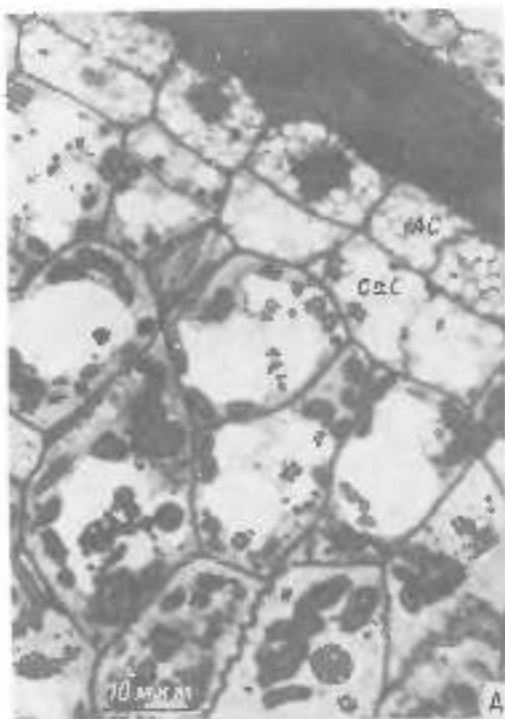


Рис. 83. Алефритовый и субалефритовый слои иннервации пигментки. (По Шакарееву, неопубл. данные). А — ГМ, Б, В — УЗМ.

А — периферический район иннервации в конце 3-8 недель после рождения (гистогенез ахтон алефритового и субалефритового слоев включается от места связи, расположенных глубже); Б — цитоплазма ядер алефритового слоя; В — фрагмент яблока алефритового и субалефритового слоев иннервации на 20-е сутки после опадения. Справа изображены формирующиеся конъюнктивы. АС — алефритовый слой, бт — боковинный слой; Г — глаукона, СГС — субалефритовый слой. Цистолитах обозначены как «+» или «/»

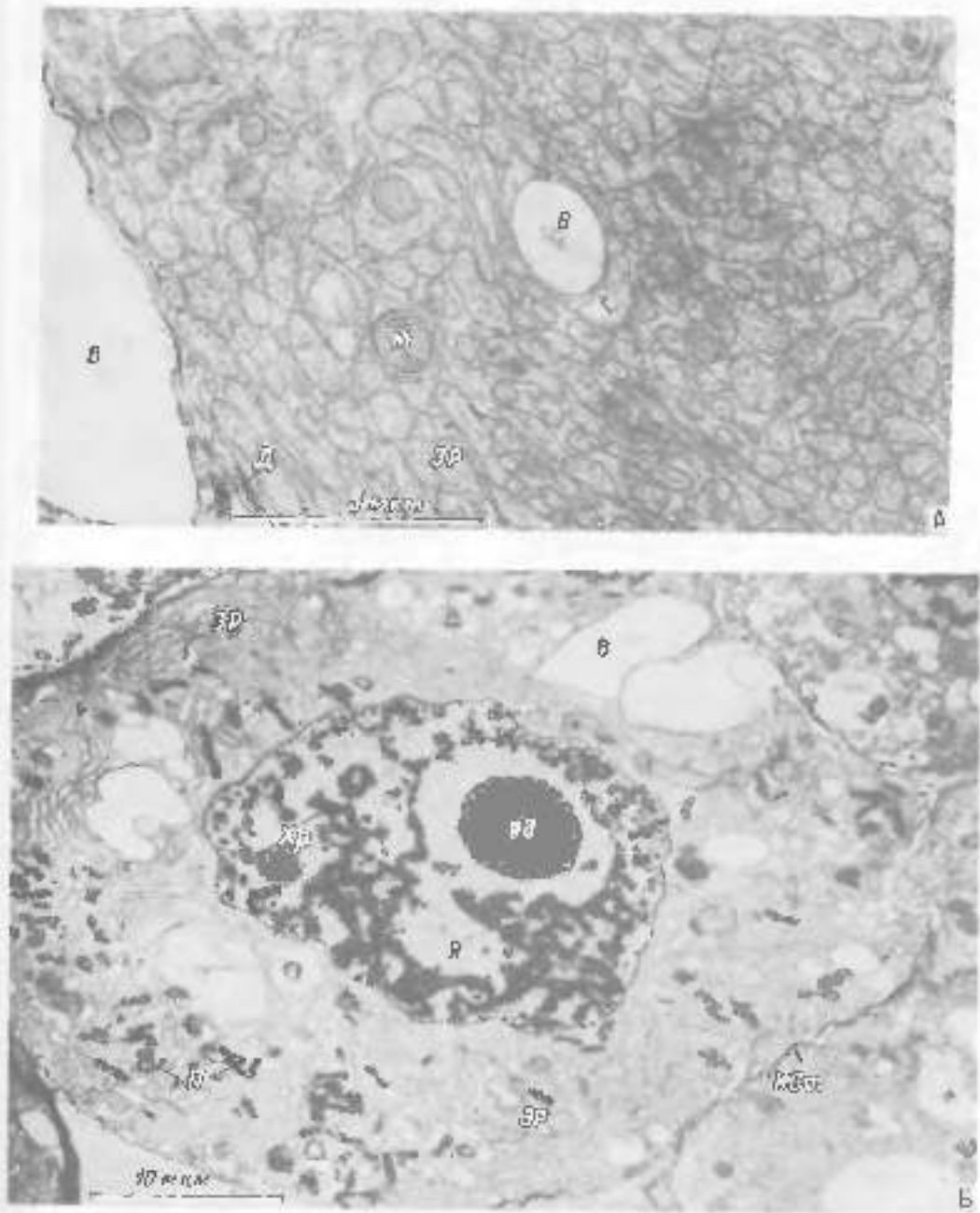


Рис. 84. Клетка эндодермы плавника из 10-е сутки после откладки (A, B). (По Шварцу, немногие, 1976). ТЭМ.

Фрагмент ядра, омкнутый спиралью эндоплазматической сети в зоне складки зернист., видно сплошное гранулированное вещество (гомогенное ЗВ), хроматин разноконтрастный. ХР — хроматин. Особые обозначения как на рис. 77, 79.

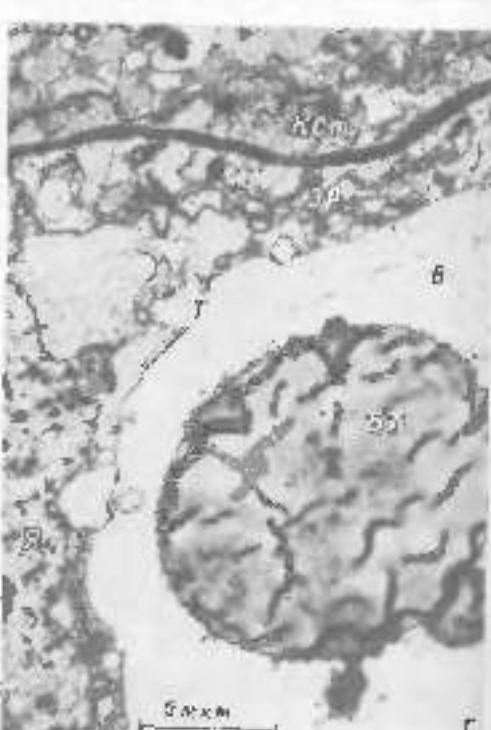
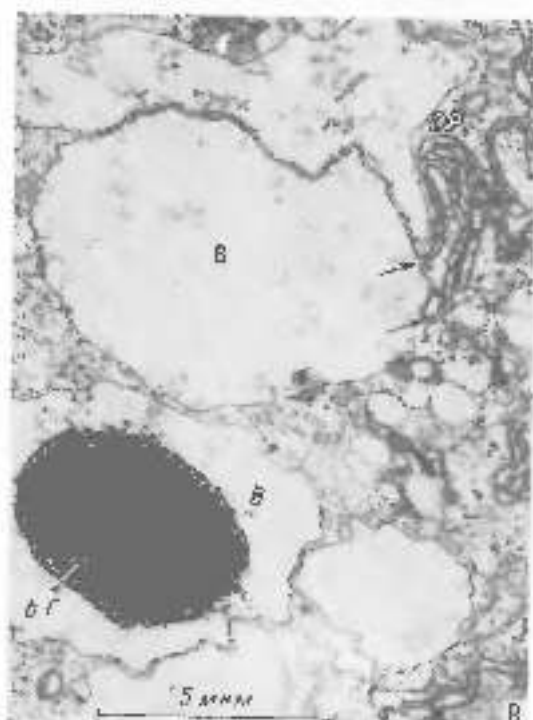
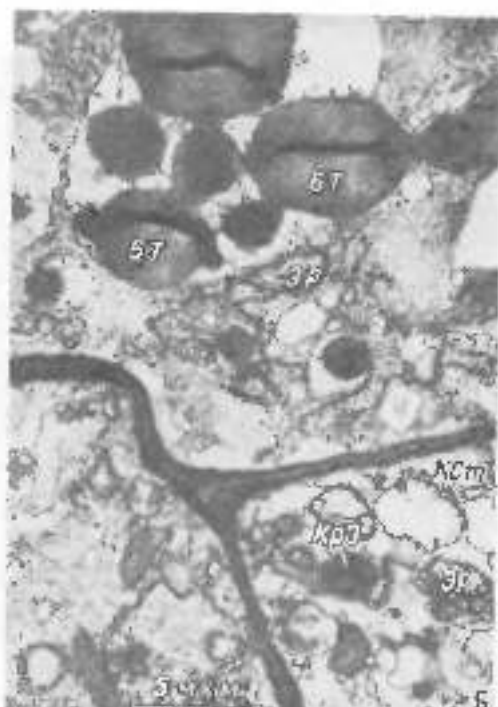
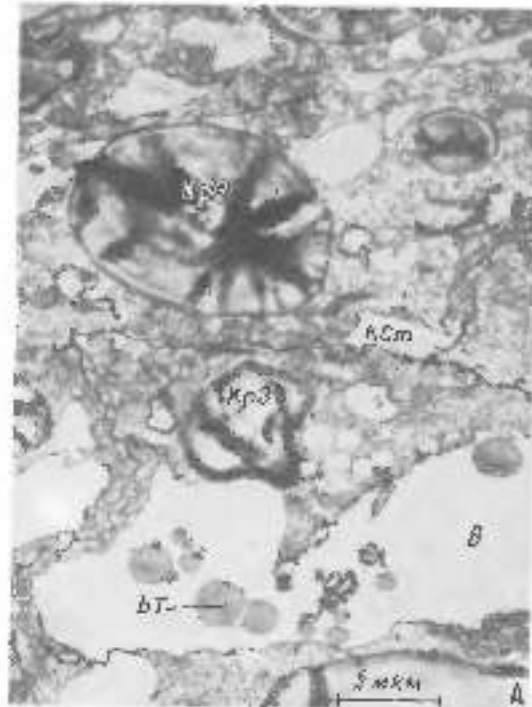


Рис. 15. Участки крахмалистого эпидермала геккона. (Ю. Шварцак, магн. 20000). ТЭМ.
 А — обрывинные белосы (области III-го поколения). Б — белосы тела и нормоформированные, в — неформированные (стадия) митоблан ЭР — участок стигмата запасного белка — и тонкодесертинuous — Г — скопление белосов тела, в виде яиц (ю. где группами появляются). ЛТ — базальные тела, Т — тонкий лист. Остальные обозначения как на рис. 15, 17, 18.

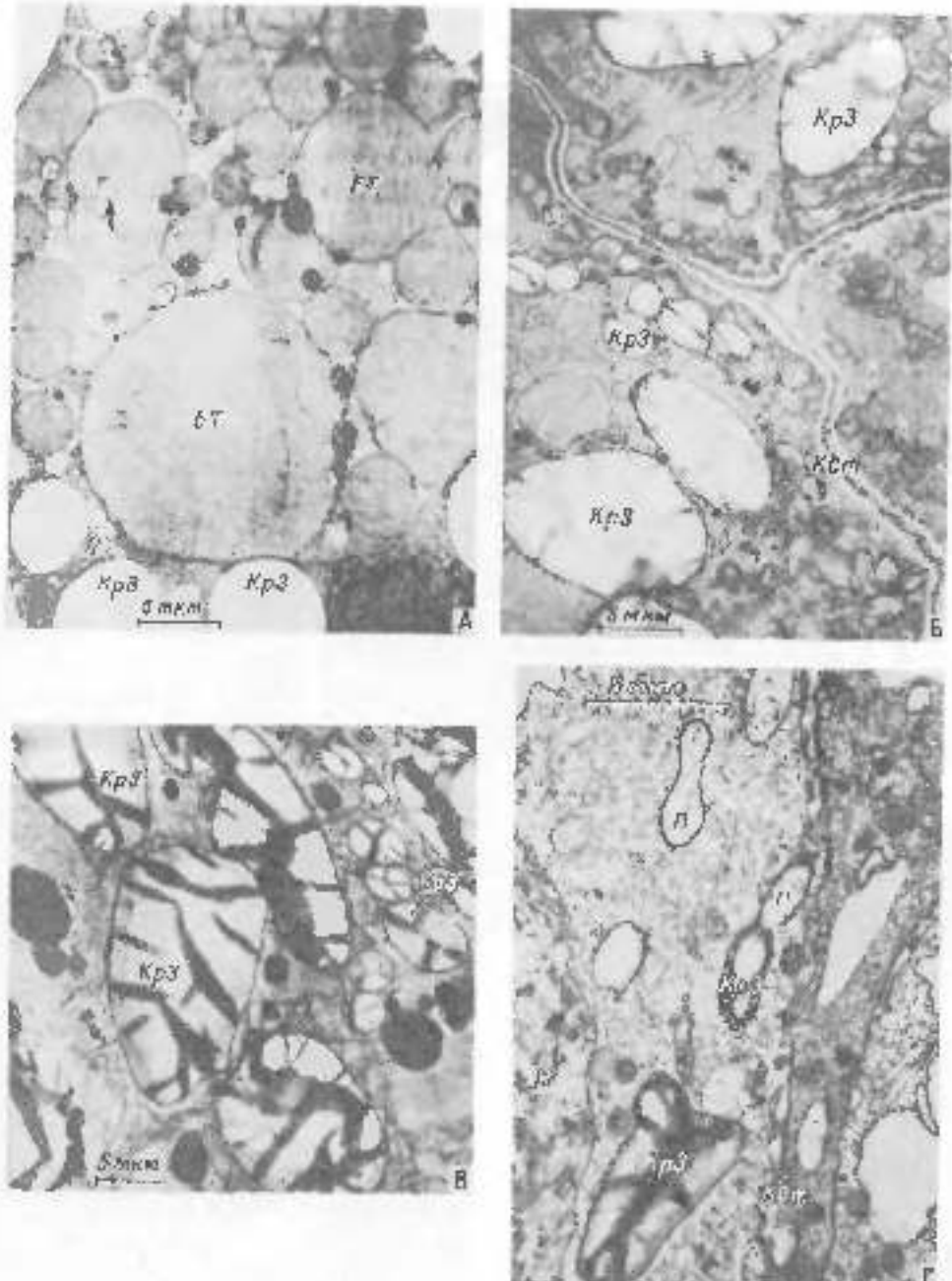


Рис. 86. Участки краевидного эндостерика гиппокампа. (По Глазареву, Желтубл., Левинеу, ТЭМ). А — крупные и мелкие белого цвета стекловидные инкапсулированные гемицелии (стекловидные, редко волнистые границы между эпендимой или кальцифицированной тканью через 6—8 недель после синапсии); Б—Г — краевидные звездчатые гемицелии (мелкие звездчатые в типе Кюбे путем цепи определения); Д — волнистые границы на контактирующей поверхности коры Сирингмонаса 20, μ —25 на плоскости и 51—53 — восковый блокнот; 1 — пренергетический краевидный, 2 — гранулярный фракции А (сева 130—500 нм), З — ронуле фракции Б-точка (18—20 мкм) (Х 1000), в скоплениях оксидированых побеговятся изменения формы краевидных границ; на плоских инкапсульных границах границ. В-типа стекловидные болту оправления, исчезают краевидные для стекловидных кальцификаций (граница гемицелия борозды; Ж — слоистая структура краевидных границ (25 нм) (подтверждение в азотном), Х 5000); Э — краевидные границы гемицелии 24-го (бесцветные звездчатые границы) (Х 3000); Желтые скопия разрушившиеся гемицелии (белые), п — выявление. (Гр. Фуксову и др., 1979, 1982). Описанная тут как во рис. 76, 79, 80.

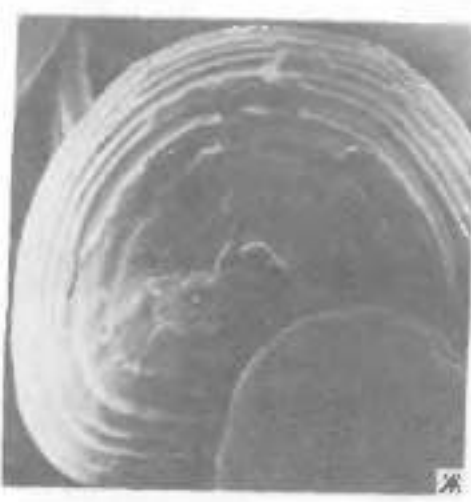
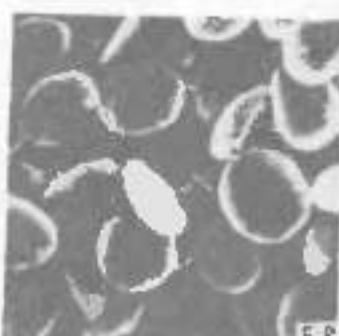
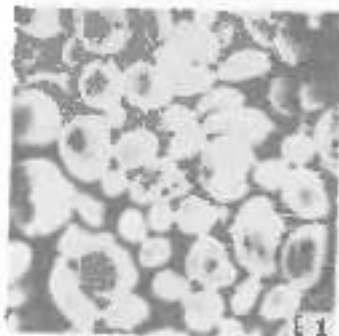
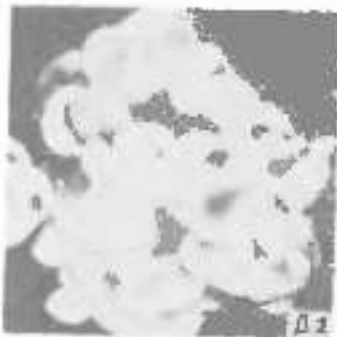


Рис. 83. (при увеличении).

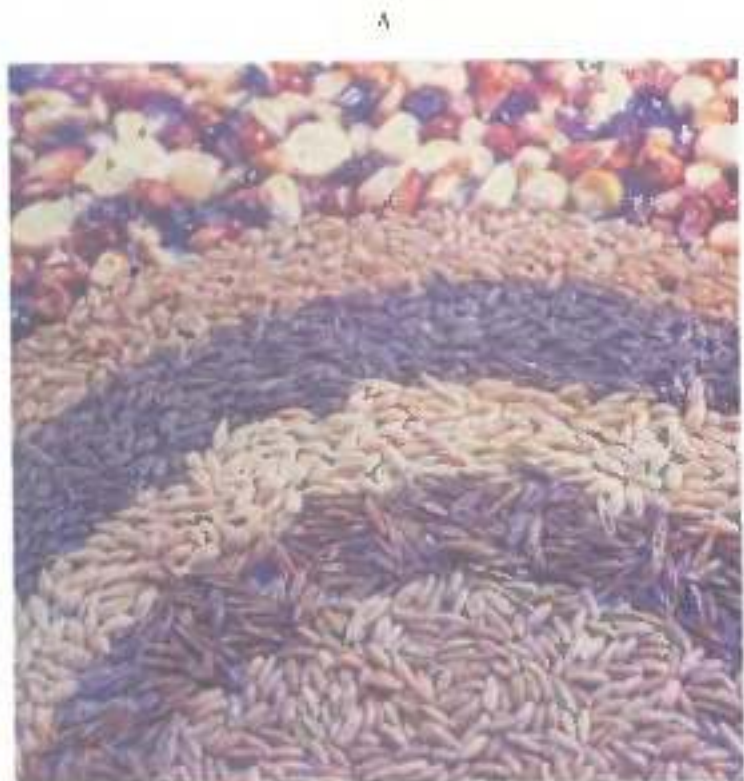


Рис. 87. Зерновки различных видов злаков (сверху вниз): рожь, овес, пшеница (схематич. и персп.), кукуруза (А, А') и схема строения зернелек ячменя (Б — по Эслу, 1969, 1980; В — по Иванову, 1961; Г — по Трофимовой, 1973).

Б — пшеница: 1 — общий вид зерновок, II, III — продольный срез зернелек, IV — вид поверхности зернелеков; 1 — бородавка, 2 — краевидный отод. срез, 3 — плодоножка, 4 — пыльник, 5 — эндосперм, 6 — ядро; Г — кукуруза; Д — кукурузные зерна; 8 — трубчатая кукуруза, 9 — перистая кукуруза; Е — конусные зерна; В — овес; І — схема вид. зернелека, II — продольный срез зернелека, III — поперечный срез зернелека (І—ІІI — слой наруж. зернелеки, 5, 6 — синтез. конура, 7 — азотроногл. губ., 8 — зернодерни; І — пшеница, 1 — общие зернелеки, II — продольный срез зернелека, III — поперечный срез зернелека (данными ученицы (І — центральная часть зернелека (внутрен. слой), 2 — щетинки и конусы нижних тубулуксонов), 3 — пыльник); 9 — общесп. ядро; 9 — азотроногл. губ., 10 — краевидный отод. срез.)

A

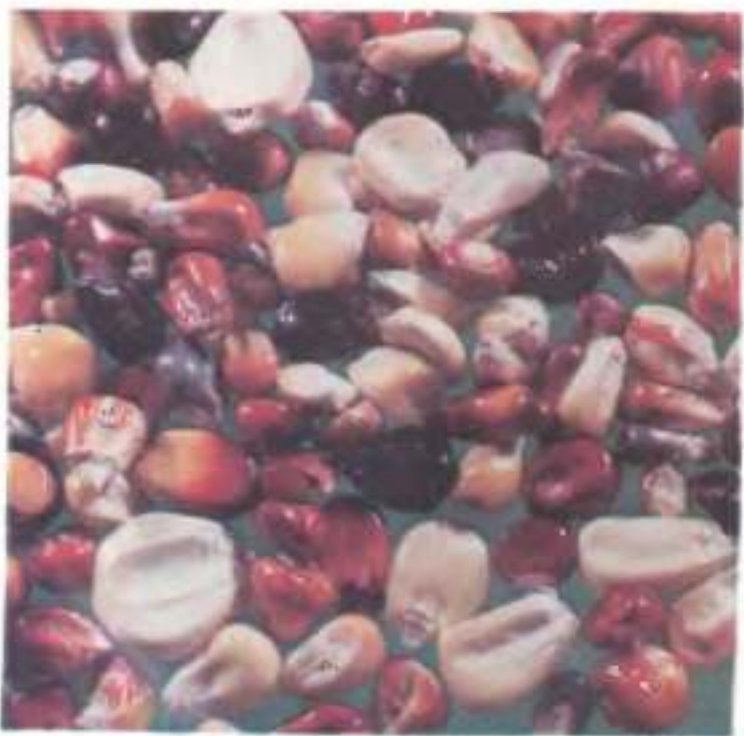
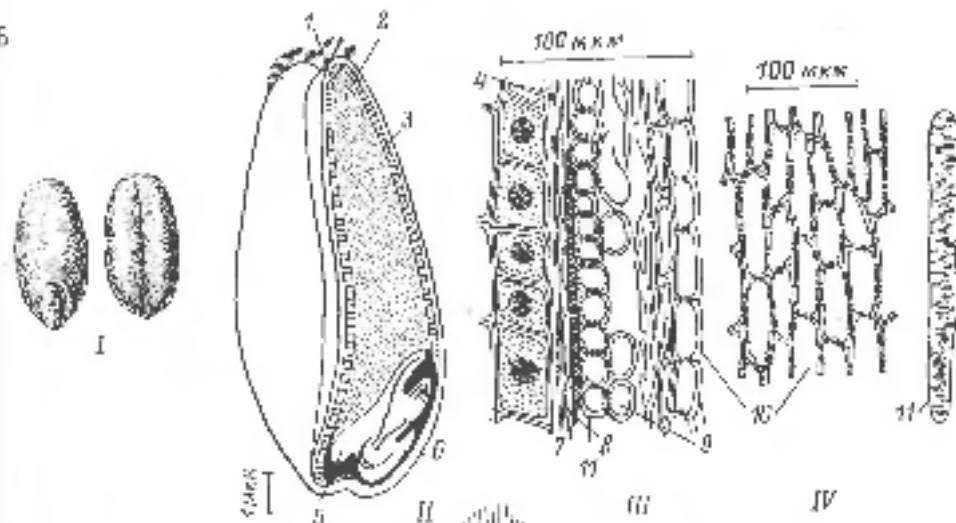
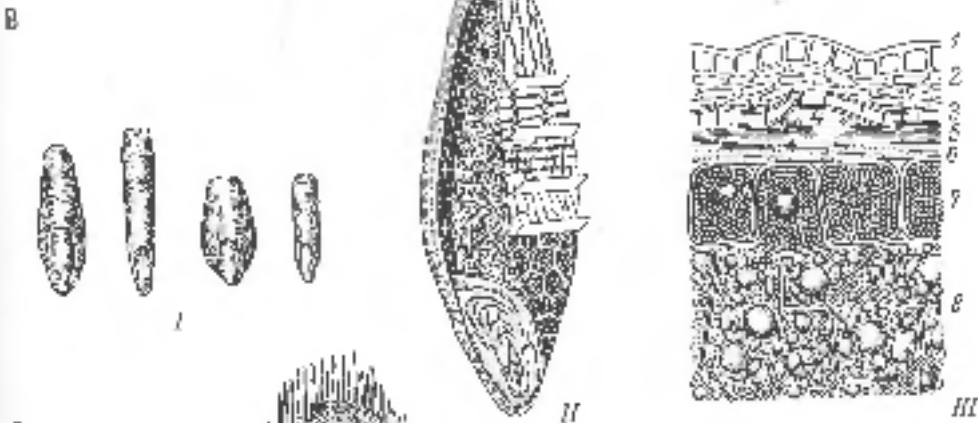


FIG. 67. [specimens].

Б



В



Г

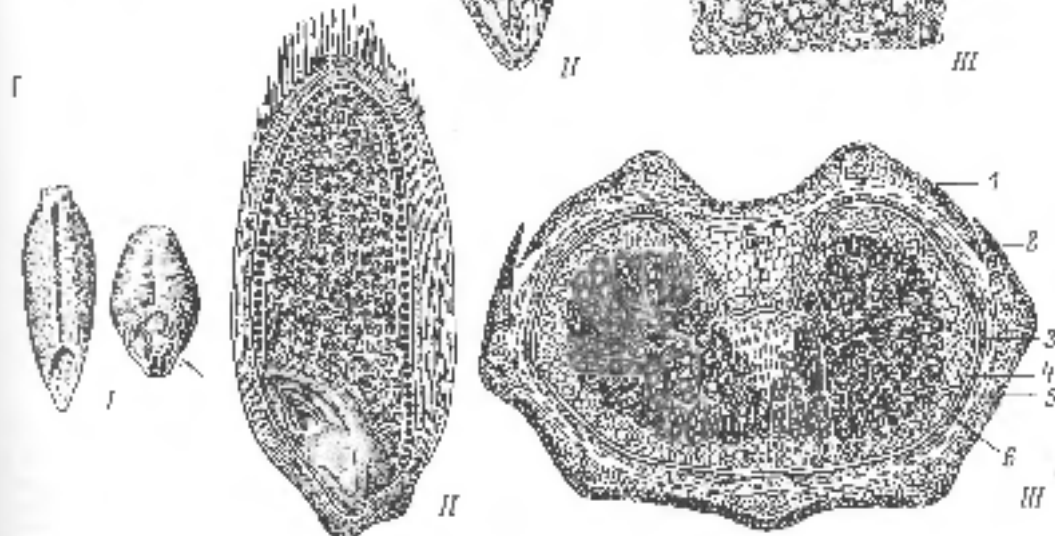


Рис. 86 (продолжение).



Рис. 68. Фазы развития кроста пшеницы. (По Руденко, 1969).

1 — выход, 2 — третий лист, 3 — кущение, 4 — выход в трубку, 5 — колосница, 6 — цветение, 7 — цветение спелости, 8 — зелёный спелость.

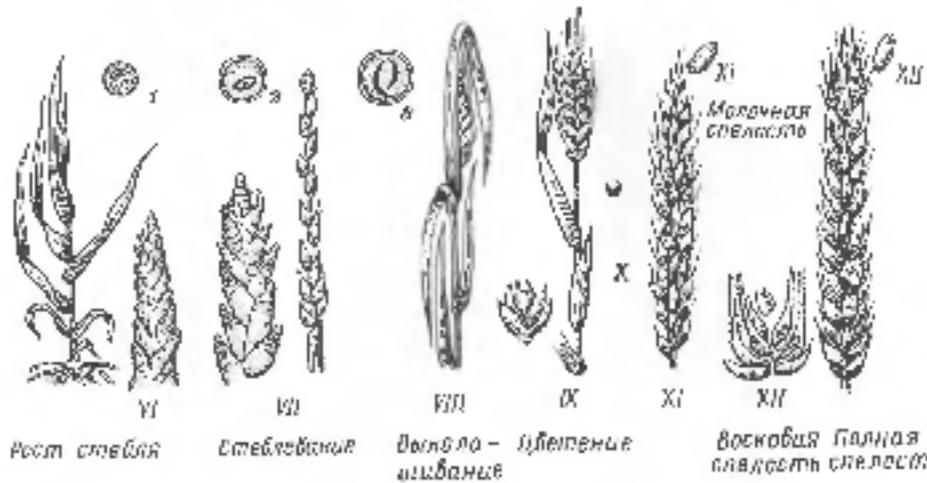


Рис. 69. Фазы развития и этапы органогенеза (I—XII) озимой пшеницы. (По Кушнераг, 1977).

I — неодифференцированный конус карпеляции, II — дифференциация зачаточного стебля на узлы и звеноузки (начало формирования пыльника), III — стеблевой этап, IV — начало формирования пыльниковых ножек-стамиля в флагеллярных зачаточных прядях листьев (Фрактей), V — начало формирования волосковых чешуек, VI — формирование пыльников (микроформации) и пыльника (мегаспирогенез), VII — формирование пыльниковых клеток (гаметогенез), рост чешуек хлороскового покрытия, непримых органов (цветков и цветков), VIII — пыльникопыльник, IX — притяжение, спонтанная физика, образование энзимов (-протеинов), X — формирование пыльников, XI — молочная спелость (разложение питательных веществ), XII — зеленая спелость (перевод питательных веществ в запасные в спорыни). I—V — дифференциация флагеллярных пыльников.

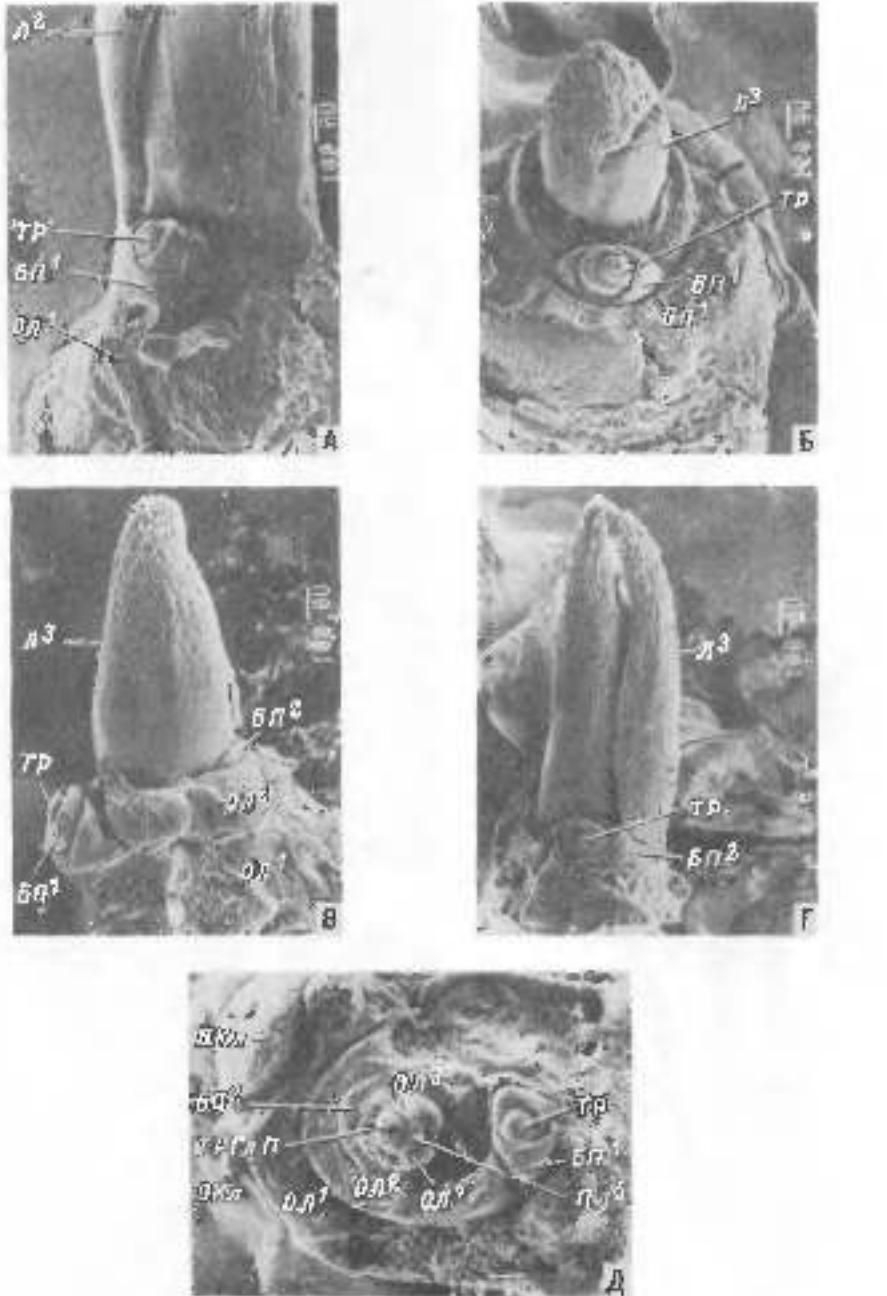


Рис. 90. Проросток листицца скрипа Ленинградка (А—Д). (По Рябовой, недопубл. материалы). СЭМ
 А — большие почки в пазухе 3-й листа; растущий 1-й лист и краевидные узелки; Б — те же (вид спереди); удалены 1-6 и 8-й листы; В — почки в пазухах 1-6 и 2-й листов; видно узкое пространство между зонами почек и почками 2-го листа, в которых формируются боковые почки; Г — почки в пазухе 2-го листа; Д — верхушка проростка с удаленным листом; видна боковая почка разного возраста и течем роста стебля и бокового побега; Е — почки и пазухи 1-го листа проростка; БЛ — почки в пазухе 3-го листа и проростка; ДЛ — боковая почка; ОК — отпечатки радиального полеоптического поля; Г³, Г², Г¹, Г⁰, Г⁻, Г⁻⁻ — различные узелки; 1—4-й растущие листья; ДЛ — боковая почка и пазуха побега; ТР/ДЛ — почка роста, главного побега.

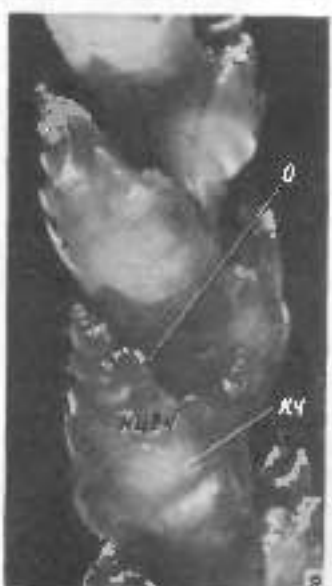
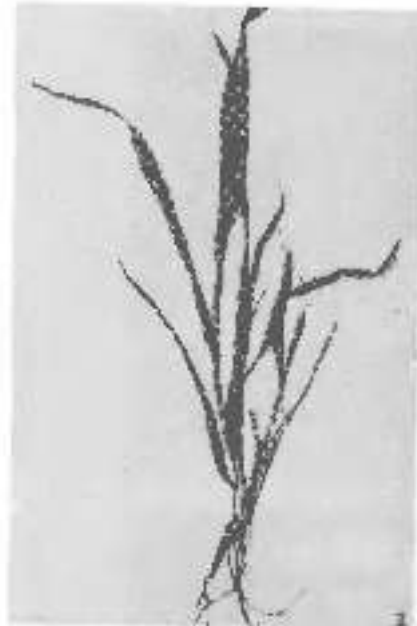


Рис. 91. Формирование колюка злаковыми сортами. Демонстрирует в фазах купания (1), находясь в трубке (2), на разных этапах его развития (3—9) с особенностью проросшими, проникающими в это края в сенсориальных органах (10—16). (По Баттаглини, 1974).

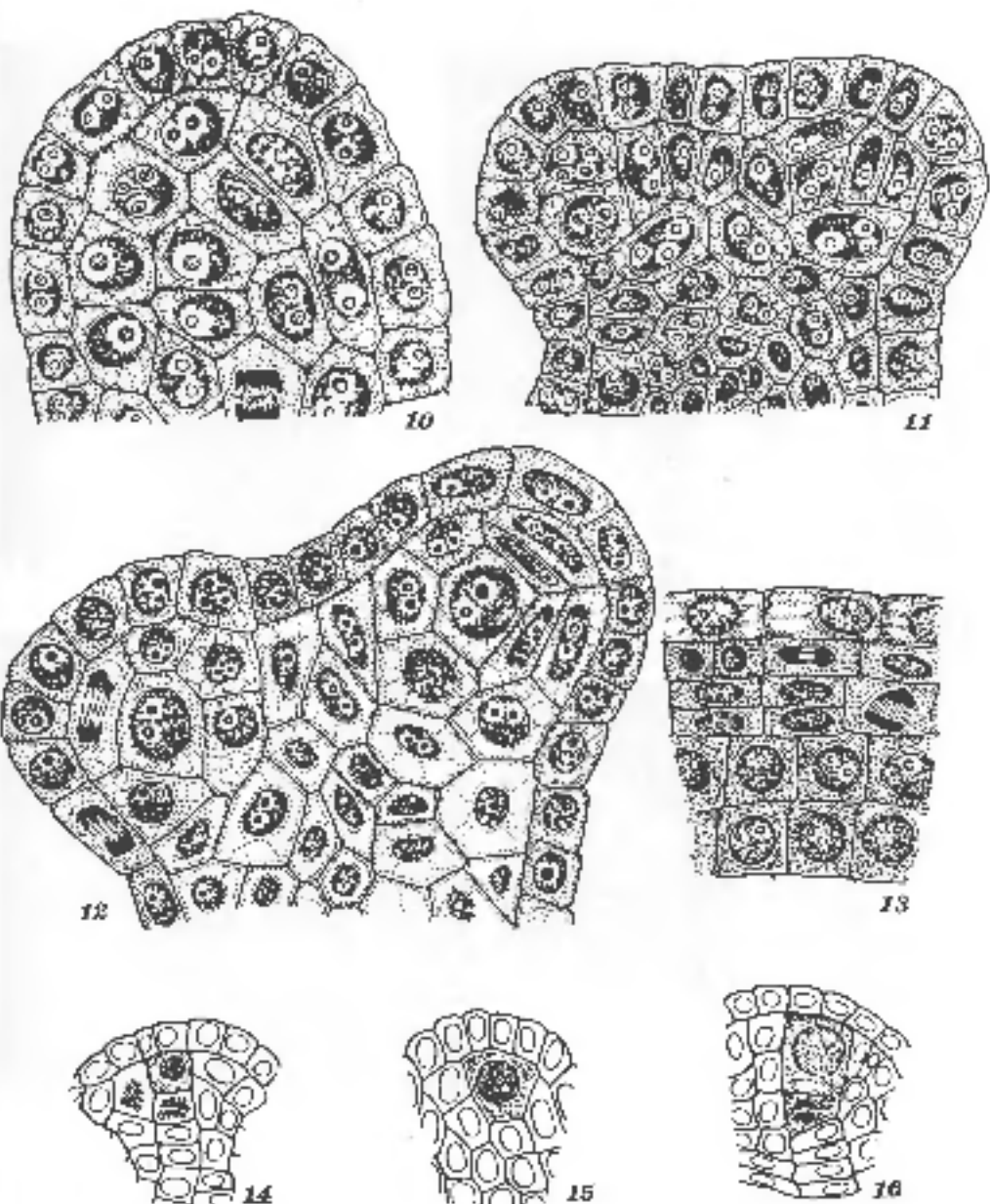


Рис. 91 (продолжение).

Kч — колпачковый членик, *НДвС* — наружная цианопластинная чешуя, *О* — отверстие, *ТР* — точка роста,
Цеб — цианопластинный бурсорок.

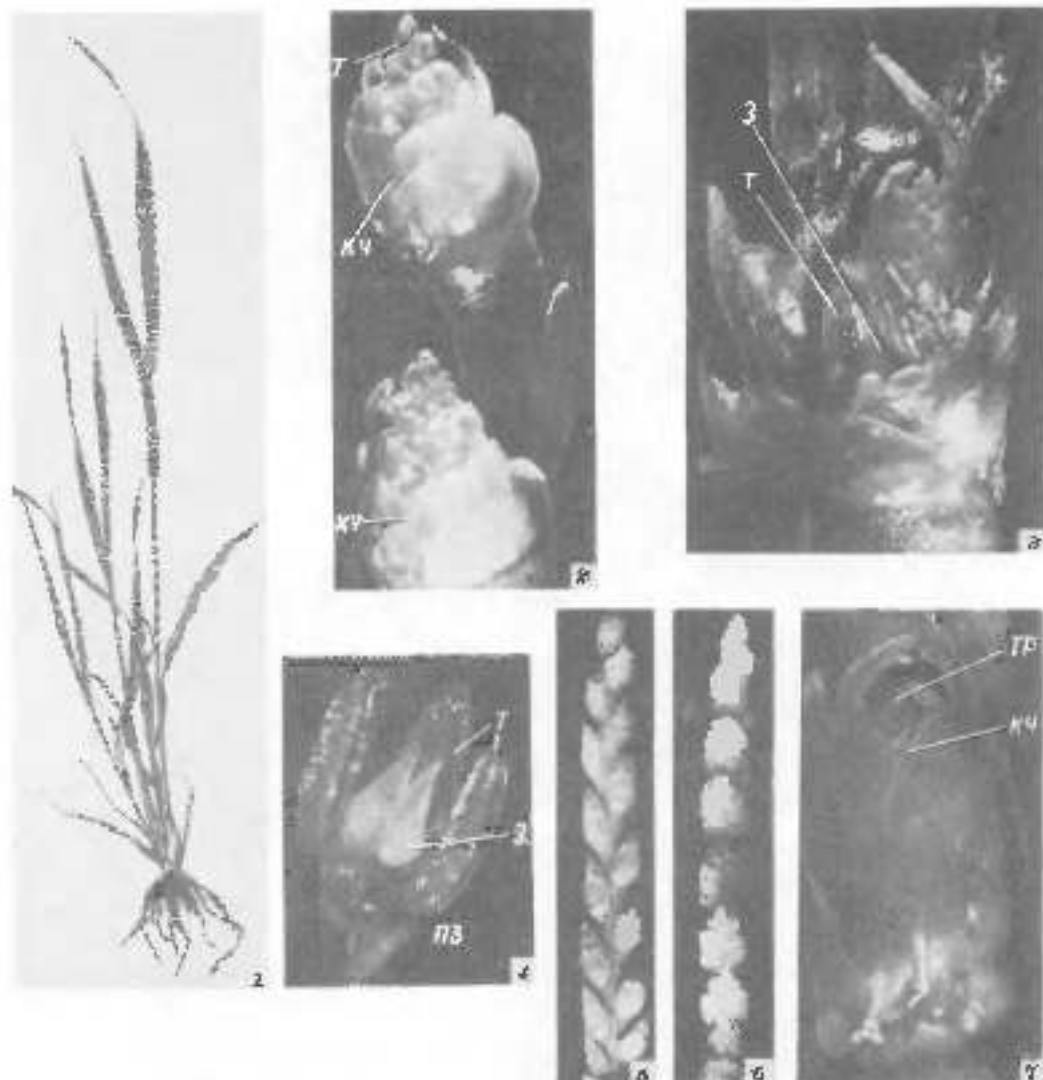
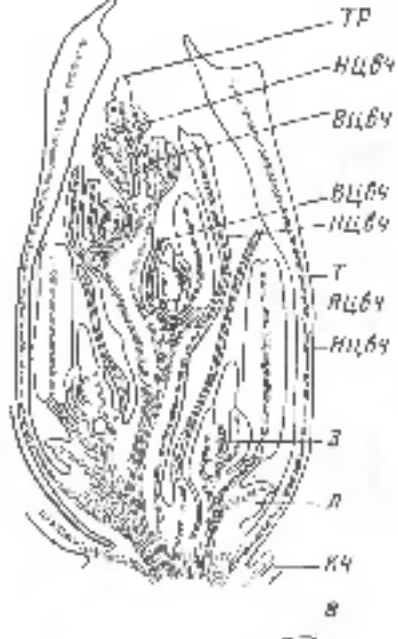
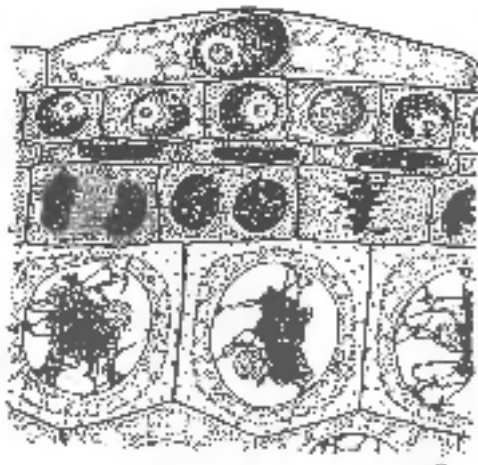


Рис. 92. Морфология рода Локсограмма. (По Батыревой, 1974).

1 — форма стебельковина; 2—7 — формирование колоса и его элементов; 5 — спорангий с гранулами пыльца; состоящего из 8 щетинок, на различных стадиях развития; 6—10 — зародышевые проростки, проникающие в яйцеклетку в генеративных органах. В ЦвЧ — куторневый чехол скрытой споры; 3 — листья; 7 — холмушка; ПЗ — папиллярные зерна. Остальные обозначения как на рис. 91.



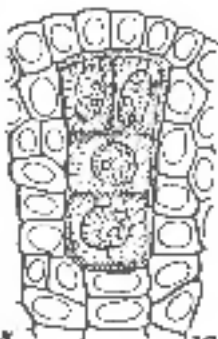
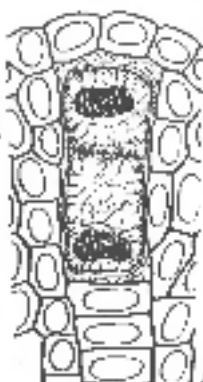
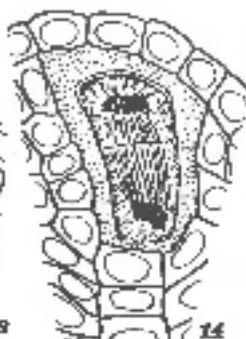
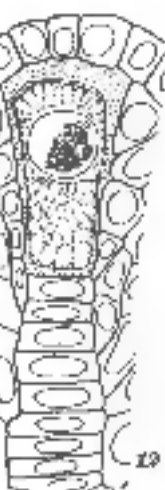
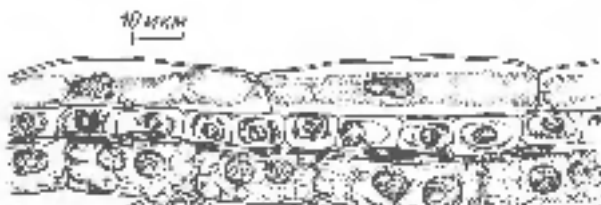
8



9



22



15

16

17

18

Рис. 98 (продовження).

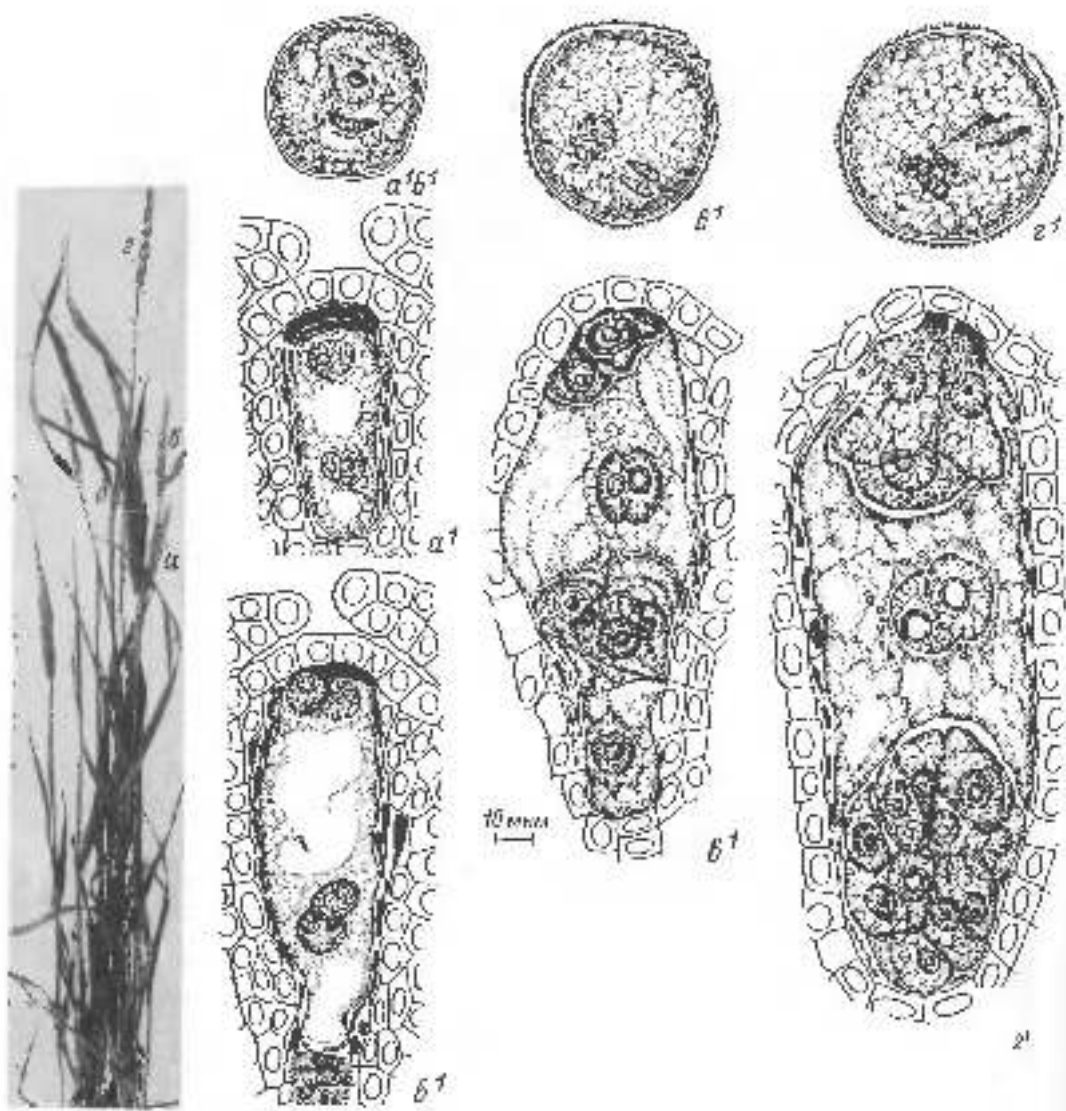


Рис. 96. Развитие колхоза пыльцевой споры Диаплоспоры в фазах колонизация и цвртение. (По Балыговой, 1971).

α - α - язвенные фазы колхоза язвах в α¹ - γ¹ - таберкуль-фазные стадии, происходящие в зем-

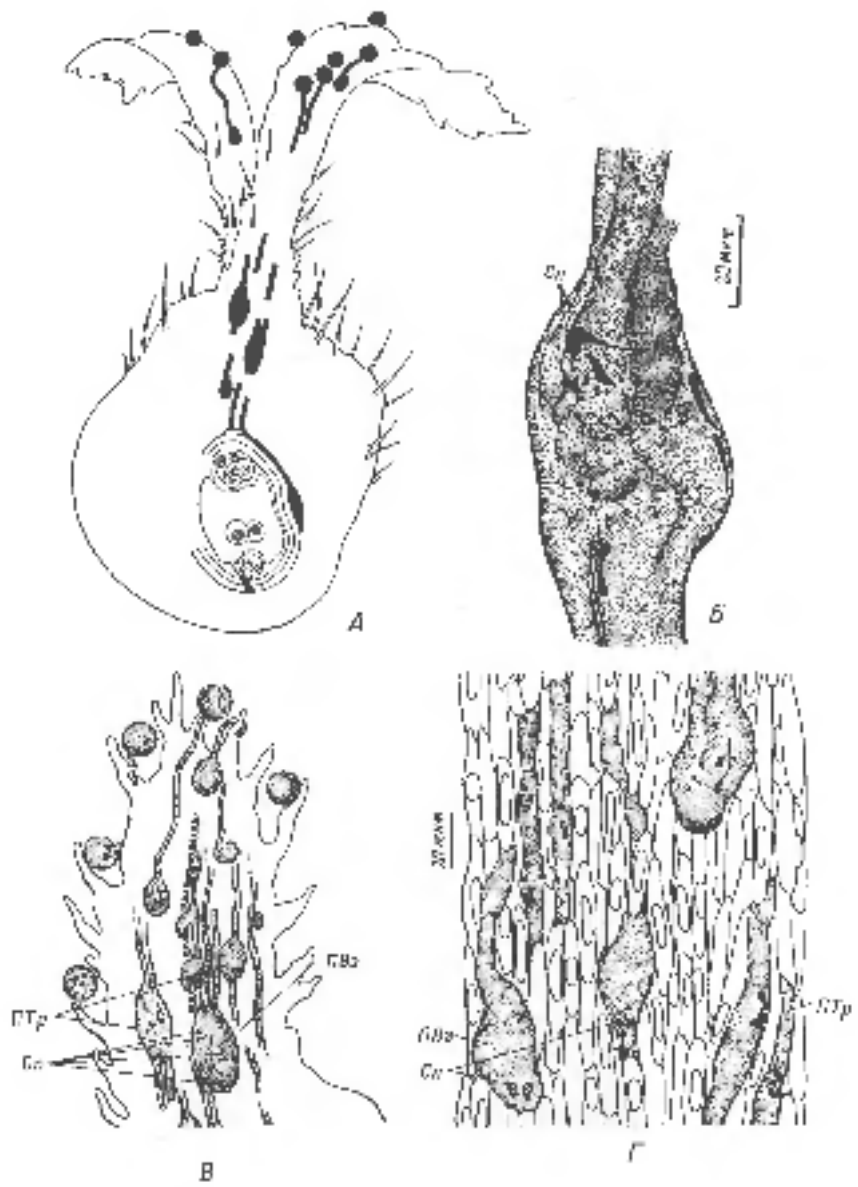


Рис. 94. Анатомический рост выдающихся трубок при становлении склеротизированных пленок. (По Батишиной, 1974)

A — общий вид хлопка: пленки с формирующими выдающимися трубками; *B* — кинетическое изображение, образованное несколькими выдающимися трубками; *C, F* — изображение, образованное при слиянии нескольких выдающихся трубок; *D* — выдающиеся трубы к рисунку; *PTp* — пыльник жгутика; *PTr* — выдающаяся трубка, прорастающая при росте после образования иззути; *Ca* — сперчай.

Д

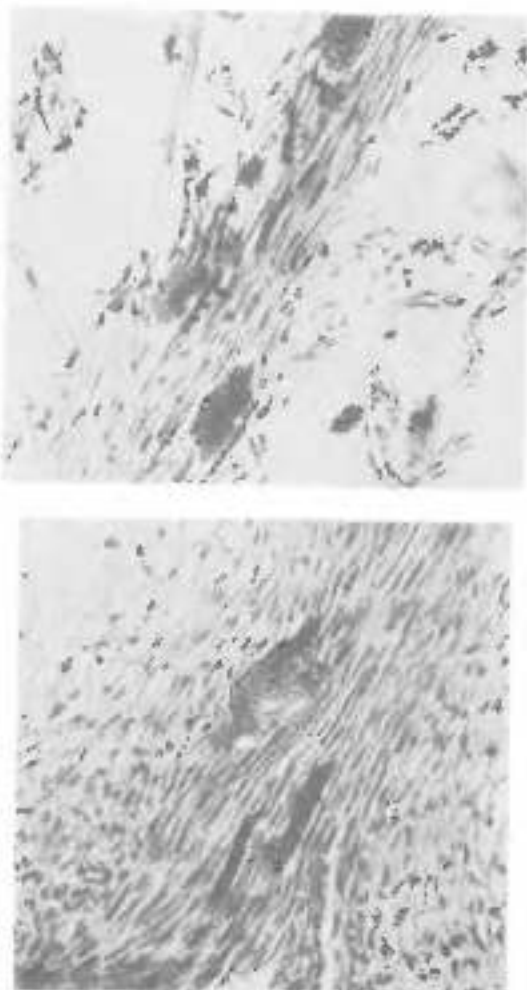


Рис. 94 (увеличение)

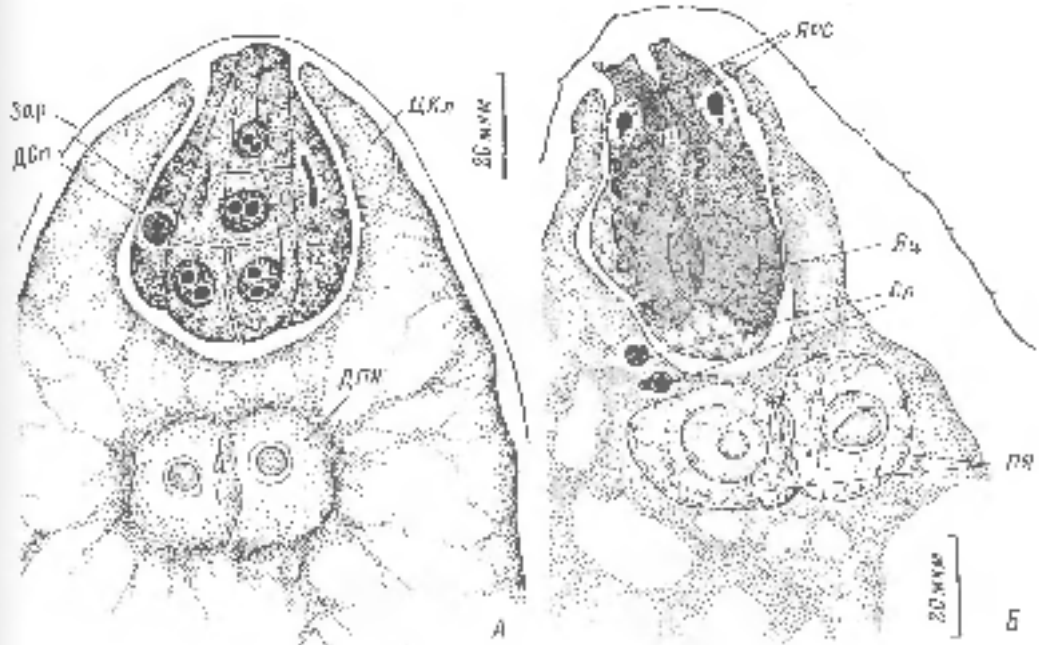
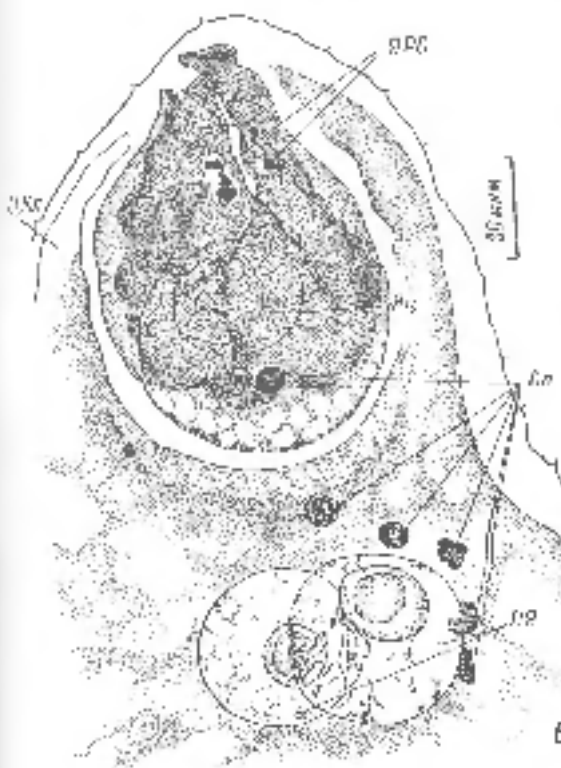


Рис. 66. Нарушение механизма размножения сперматоцитов в зародышах кошки. (По Батыгиной, 1974).



А — фрагмент зародышевого мешка *T. philadelphicus*, инфицированной гельминтом *T. spiralis*; центральная клетка остается неподвижной, женские клетки же оплакастворяются, 2 из которых находятся в центральной части (перекрест гениталий) с подкрайней брызгой Ж. Б — часть зародышевого мешка *T. spiralis*, зараженного через 2 ч после съемления гельминта *T. spiralis* из фелинуса, с покрытой липогликанами; В — первые клетки зародышевого мешка *T. spiralis* после съемки через 30 мин после отщепления пильной *T. spiralis*. В сперматоциты возвращены в центральную клетку, или же в синцитий (из Гейденгаузса). ДГК — дегенерирующие геморагии яичника, ДБп — дегенерирующий сперматоцит, Цар — зародыш, Лб — липогликаны яичка, Со — сюрприз, ВРС — ядро разрушающий синцитий. Ни — пищевод.

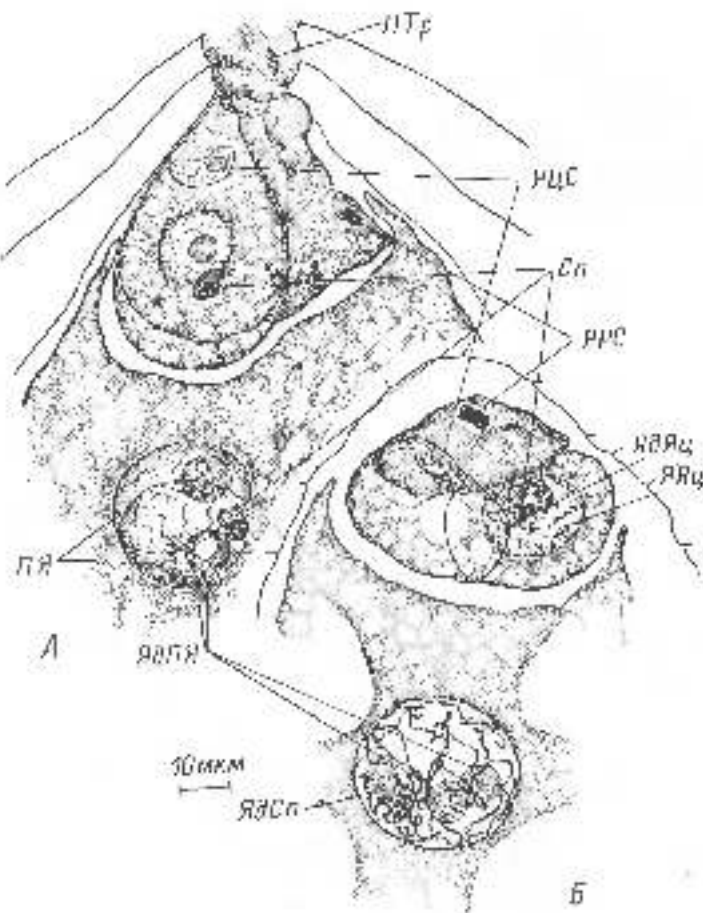
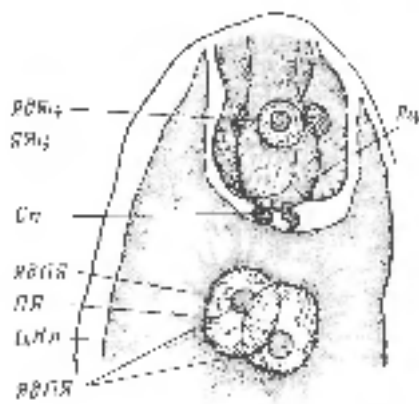


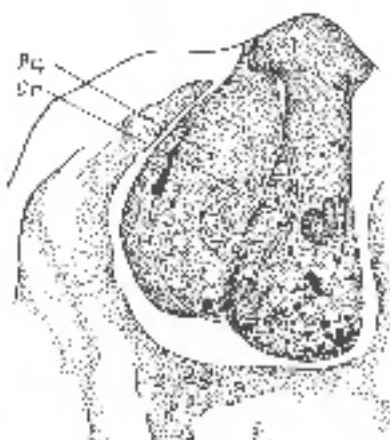
Рис. 96. Верхняя часть зернушкового зародыша *Trifolium repens*: через 5 ч после отхождения пыльцы *T. monogynum* (А), через 3 ч после опыления пыльцой *T. repens* (Б), через 90 мин (В). 2 ч (Г) и 4 сут (Д) позднее опыление *Trifolium monogynum* пыльцой *T. repens*, Е — то же, *T. pratense*, через 6 ч после опыления пыльцой *T. monogynum*. (По Бицкеной, 1974). А — окраинка гипокотилялом, Б — из Фёдорову, с гидратской лактограммой.

ЛТР — латекиновая трубка, НЛПР — наружные липопротеиновые протеины, ГИС — гипокотиляционные спиральки, РД — радиальный проросток, ПЛ — плаунево-плумеллярные клетки, ЯЭС — ядро эндосперма. Остальные обозначения как на рис. 94, III.



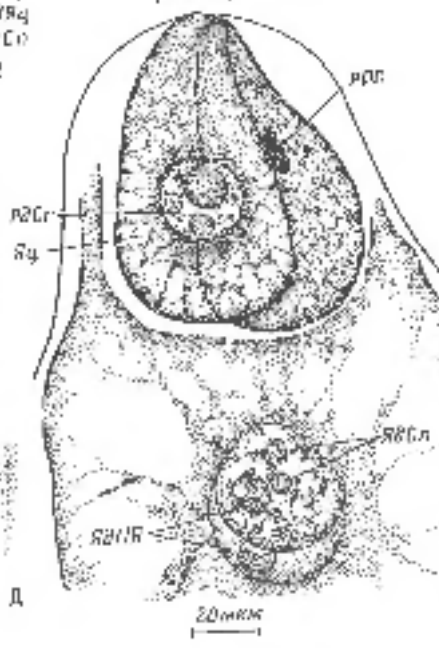
20 мкм

В



20 мкм

Г



20 мкм

Д

Е

Рис. 9б (продолжение).

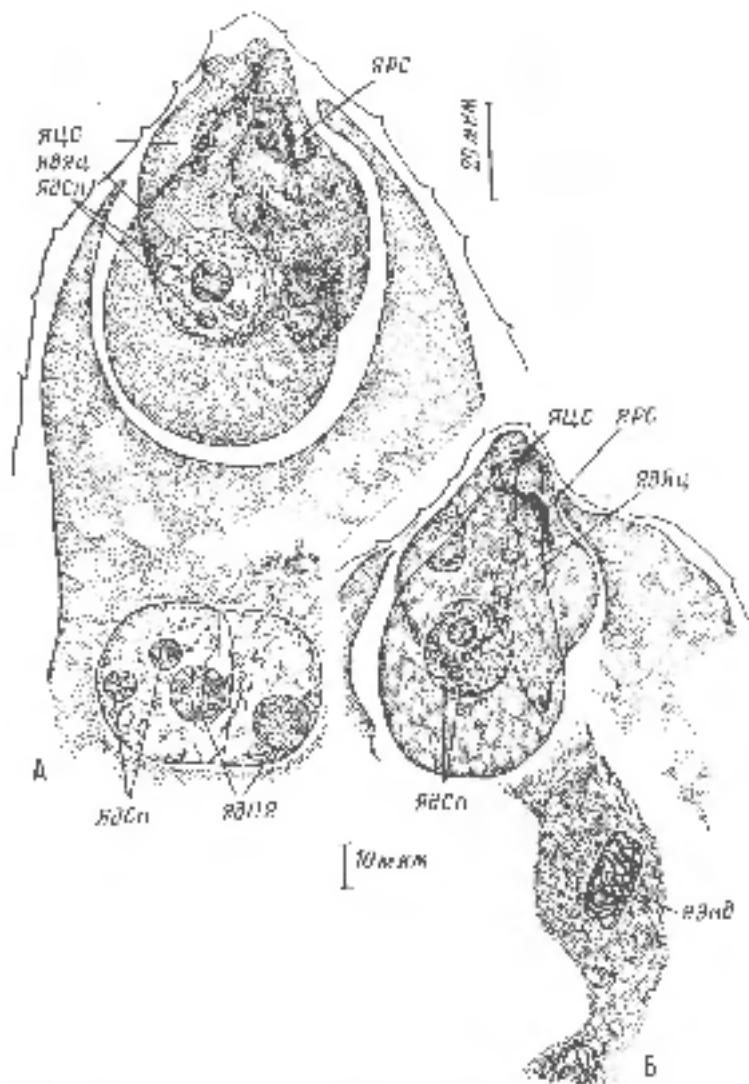


Рис. 97. Верхняя часть зародышевого конуса *Trifolium repens* через 7 ч после опыления пыльцой *T. repens* (А), пигета и центролипид клетка в интерфазе (оттиска генерализованной) и часть зародышевого конуса *T. repens* через 7 ч после опыления пыльцой этого же вида (Б), пигета и ядро, в эпоксидерме - яйцевидное ядро (по Фельгену, с подкраской зинктирином).
(По Батыршиной, 1974).

ЯДСН — ядерная дихроматовая окраска (обозначение как на рис. 95, 96)

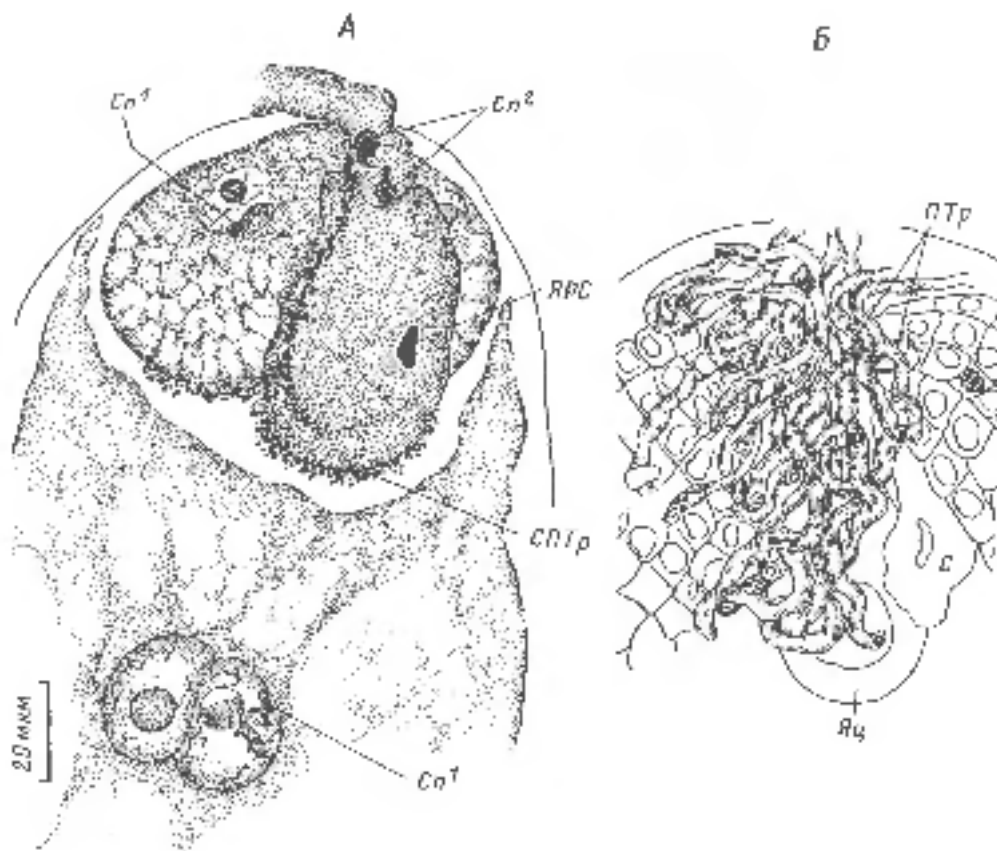


Рис. 98. Верхушка чешуи зародышевого гриба *Trichia tenuisporae*: через 60 мин после опыления пыльцой *T. aestivum*, в перводеловой методе пошли 2 прорастающие трубки (A), и большое число синаптических трубок с дегенерирующим сперматигеном в некапсулированном зародышевом грибке через 3 ч после опыления *T. tenuisporae* пыльцой *T. aestivum* (B). (По Батыгиной, 1974).

Сп¹ — сперматин первой пыльцевой трубки, *Сп²* — сперматин второго пыльцевой трубки, *СЛР* — спорангии пыльцевой трубки, *РРС* — ядро разрушающей сперматиды, *Лц* — липоплазма. Остальные обозначения как на рис. 96, №6.

A



Б



Рис. 99. Развитие зародыша *T. tenuisquam* × *T. lepidum* (А), *T. lepidum* × *T. tenuisquam* (Б) и именные гибридные зародыши, полученные от скрещивания *T. lepidum* с *T. tenuisquam*, через 20сут после оплодотворения (В) (По Балтигина, 1974).

1—14 — зародыш в дистрофентралином сечении (12а—б — это спиральное изображение), 15—19 — зародыш в билатеральном сечении (16а—19а — это спиральное изображение), 20—29 — зародыш в различных сечениях. На В, а — подобащий зародыш в зеркале, б — он же при большем увеличении. Эпр — эпидермис, ЭпКор — эпикальный меристема, Ка — калыхтикаль, Кар — карпел, Су — густинков, ТР — точка роста, Ш — шнток, Энд — эндосперм. Энд — эндосперм.

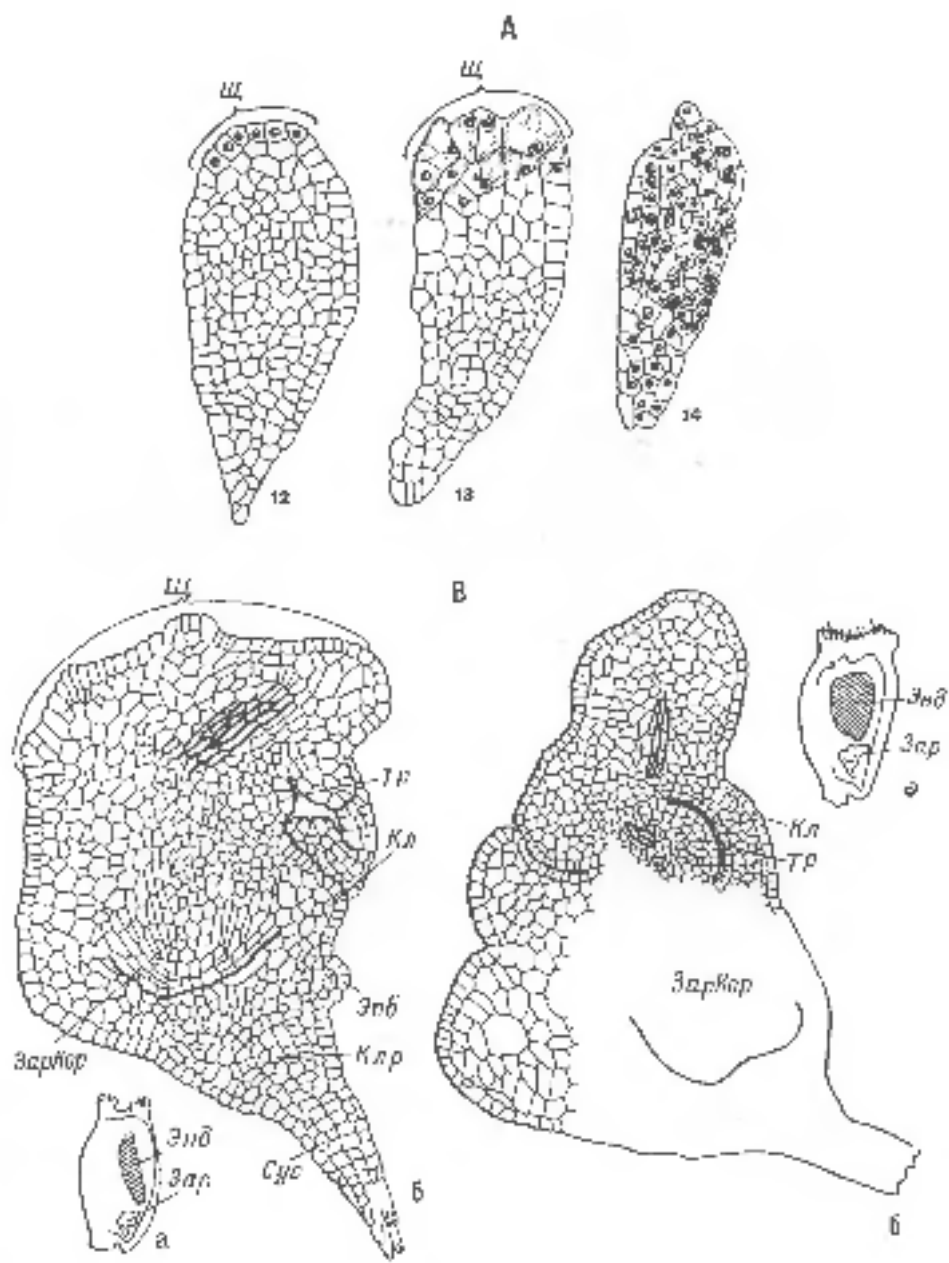


Рис. 93 (продолжение).

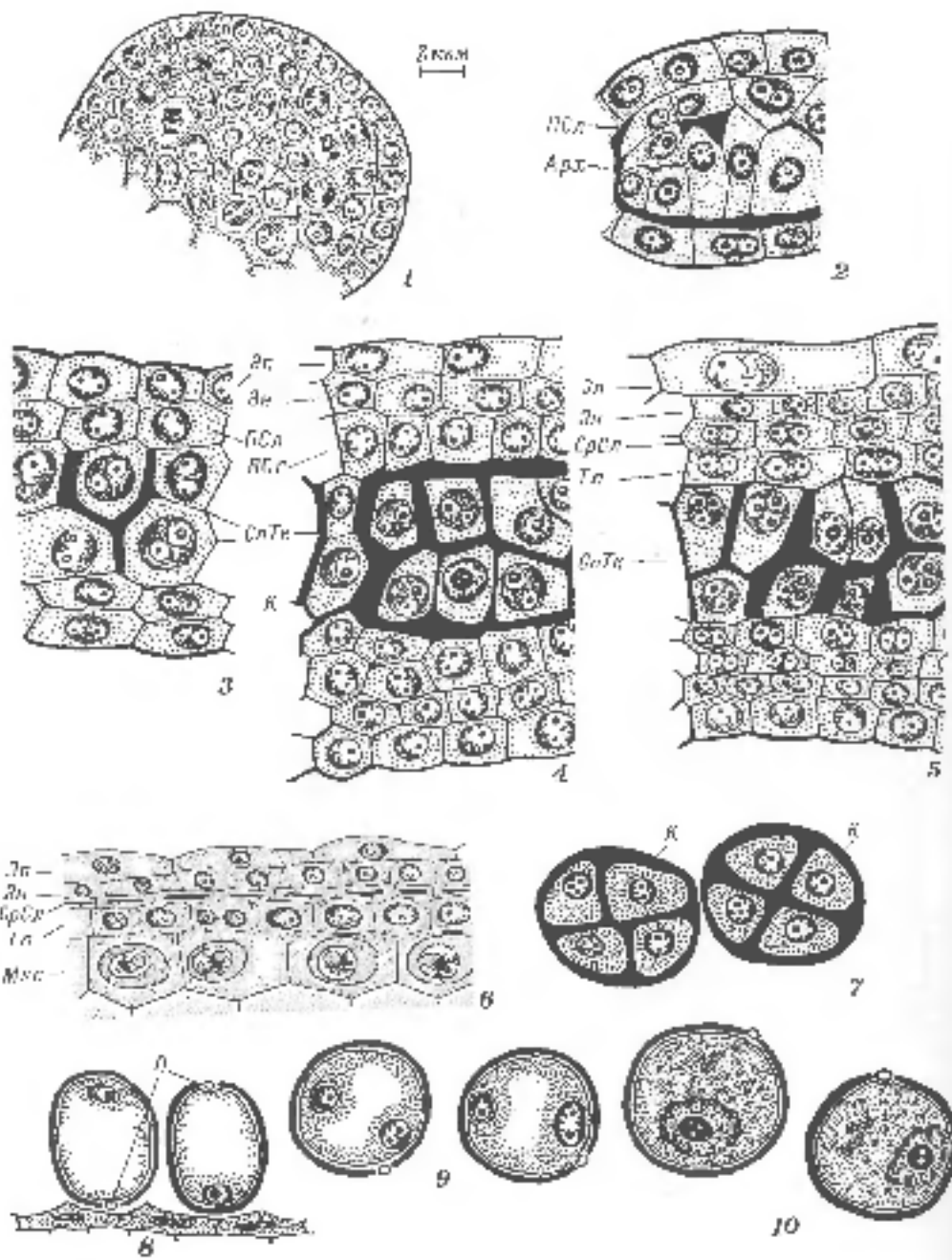


Рис. 100. Развитие шательника и пыльцевого зерна у *Trilecole A.D. 537*. (По Петрову, Батынскому, 1983).

1 — чешуйчатый будущий к яйцекам фазе изобиенности, 2 — чешуйчатый споровый шательник в той же фазе стеблевания, 3 — 2 слойная стена, 4 — 1 слойная стена, 5 — микроспорангии и пыльцеане в профазе мейоза в фазе изобиенности, 7 — награда, микроспоры и началь фаза шательника, 8 — микроспоры и яйцо в фазе, 9 — 2-клеточный пыльцевое зерно, 10 — краин шателька в фазу пыления. Арх. — археспорий, БСЛ — внутренний слой, К — камбий, МСС — микроспорангий. II — спора, III — парные гиподермиды слоя, СоТе — спорогониальная ткань, ГРСЛ — гиподермальный слой, Тп — телоспорум, Як — яйцекам.

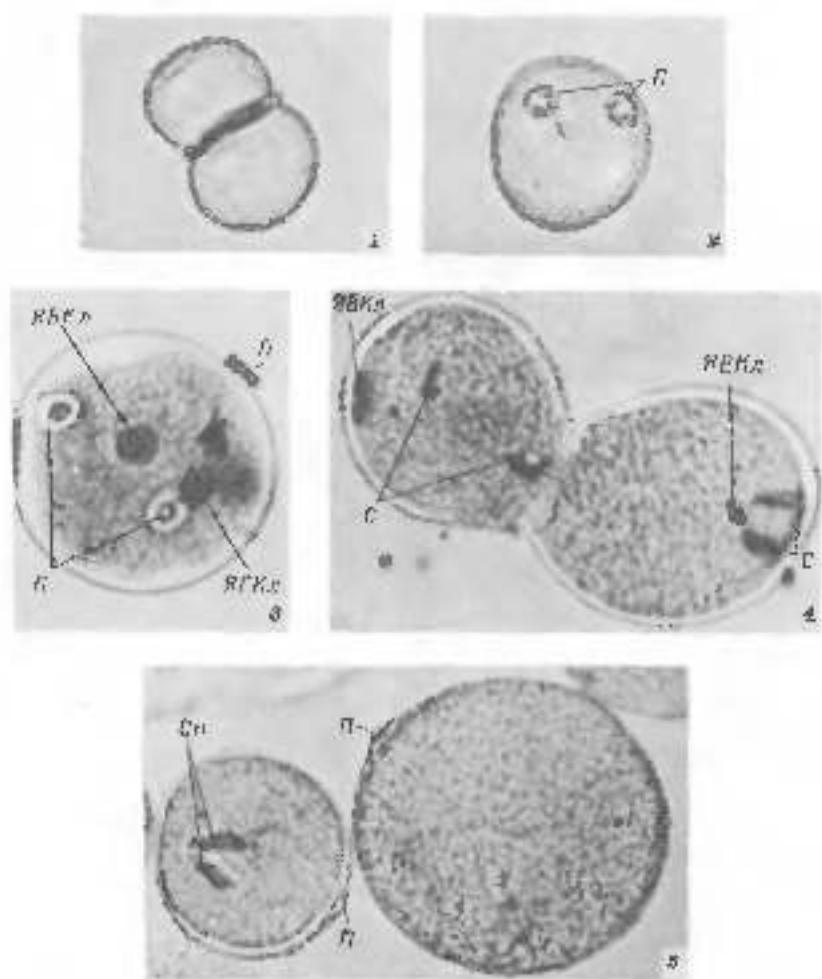


Рис. 161. Порушені та стиснені пасажирські яйця у умовических фієрн тритикуле в фазу густечності ($\times 600$). (По Тихомілу, зшукано з даними)

1 — дегенерувані яйця мікросемі (ЛЛ 322), 2 — згинута півростила (ЛЛ 322), 3 — яйця з порушенням ядро-яйфази (анфізії) інтрацитичної клітини, 4 — фертильні пасажирські яйця, ображені всіх в результаті нарушения антикінезії (ЛЛ 1аказілкіз), 5 — розчинні фертильні пасажирські яйця (ЛЛ Нанаджанія). Н — ядро, Сп — спермій, Nuclei — ядро кінегнативної клітини. Я/Да — парогенеративний ядро.

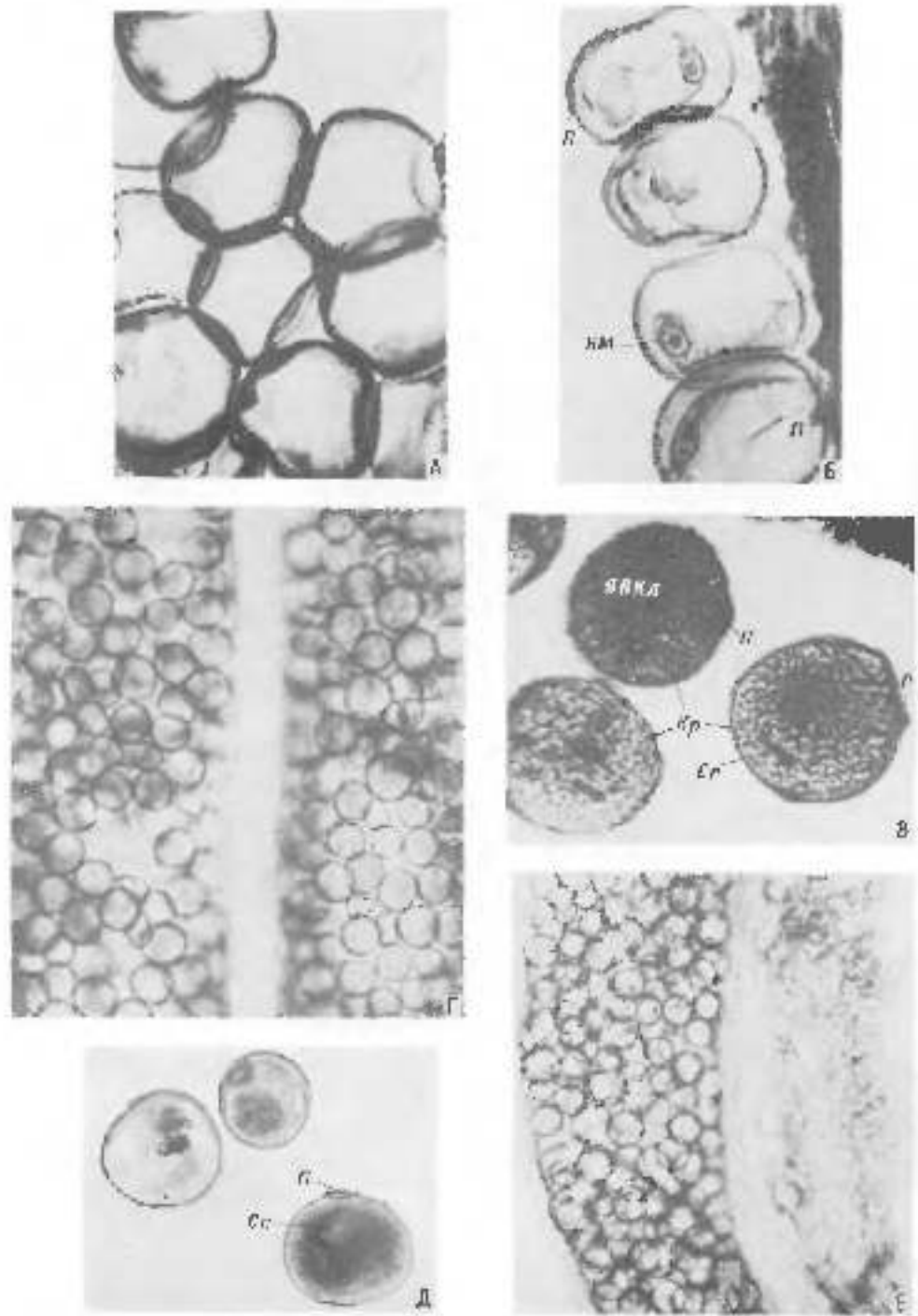


Рис. 102. Различные типы пыльцы и пыльники некоторых видов *Trifolie* (A—C — по Петрову, Батагиной, 1968; D—E — по Орловой, Рибаку, 1977).

A — стерильная пыльца в покоящиеся *Trifolium* АД 537 в фазе цветения. B — микроспора в покоящиеся *Trifolium* АД 537 в фазе колошения. C — fertилеское пыльничное ядро *Trifolium* АД 537 в фазе цветения, прикрепленные к KODI-лужам пыльцевых *Trifolium pratense* × *Sesbania sesban*. D — пыльничные ядра различной величины, часть из стерильных (*T. pratense* × *S. sesban*). E — почка пыльника с пыльничными разрушающимися спорангиями покоящегося *T. pratense* × *S. sesban*. КР — крахмал. Н — яйцо, С — спорынок, ЯВК — ядро vegetatивной канапки, ЯМ — ядро микроспоры.

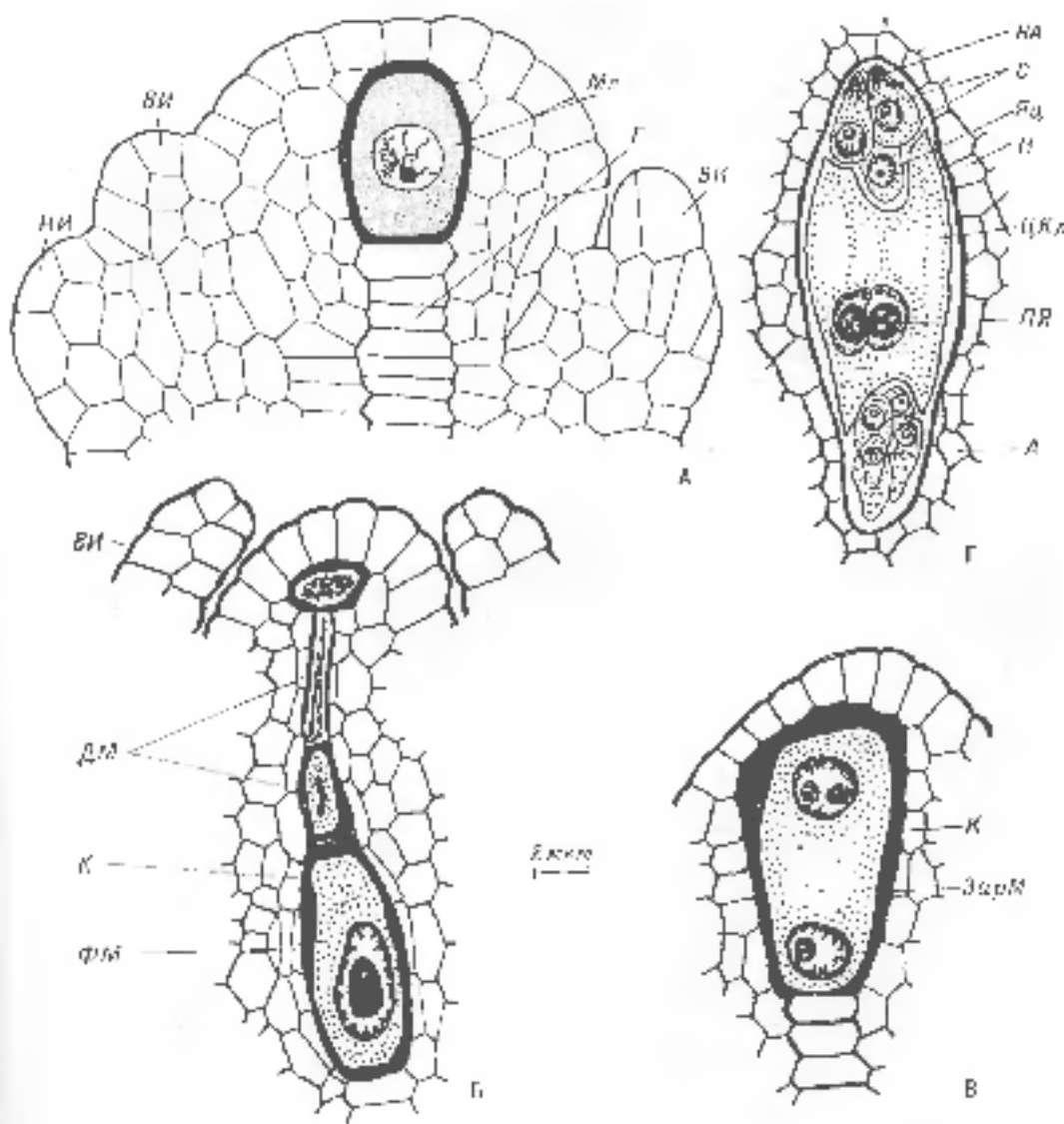


Рис. 103. Формирование зародышевого мешка у *Triticale* АД 537. (По Петрову, исправлено автором)

A — десхоронит в семени с куле (фаза залогования); *B* — развитие зародышевого мешка (фаза инкубации); *C* — 2 ядерный зародыш семени в фазе залога; *D* — зародыш семени в фазе прорастания; *ВИ* — внутренний нителукс, *Г* — гипотези, *ДМ* — дистомикропильная микропения, *ЗарМ* — зародышевый мешок, *К* — кулецы, *Мп* — кескапороды, *Н* — пушелукс, *НС* — эндотипные яйцеклетки, *НК* — зародышевый штегуник, *ПР* — плауродиции, *С* — синерезис, *фм* — функционирующая макропора, *Экспл* — дистрибутивный канал, *БИ* — оболочка.

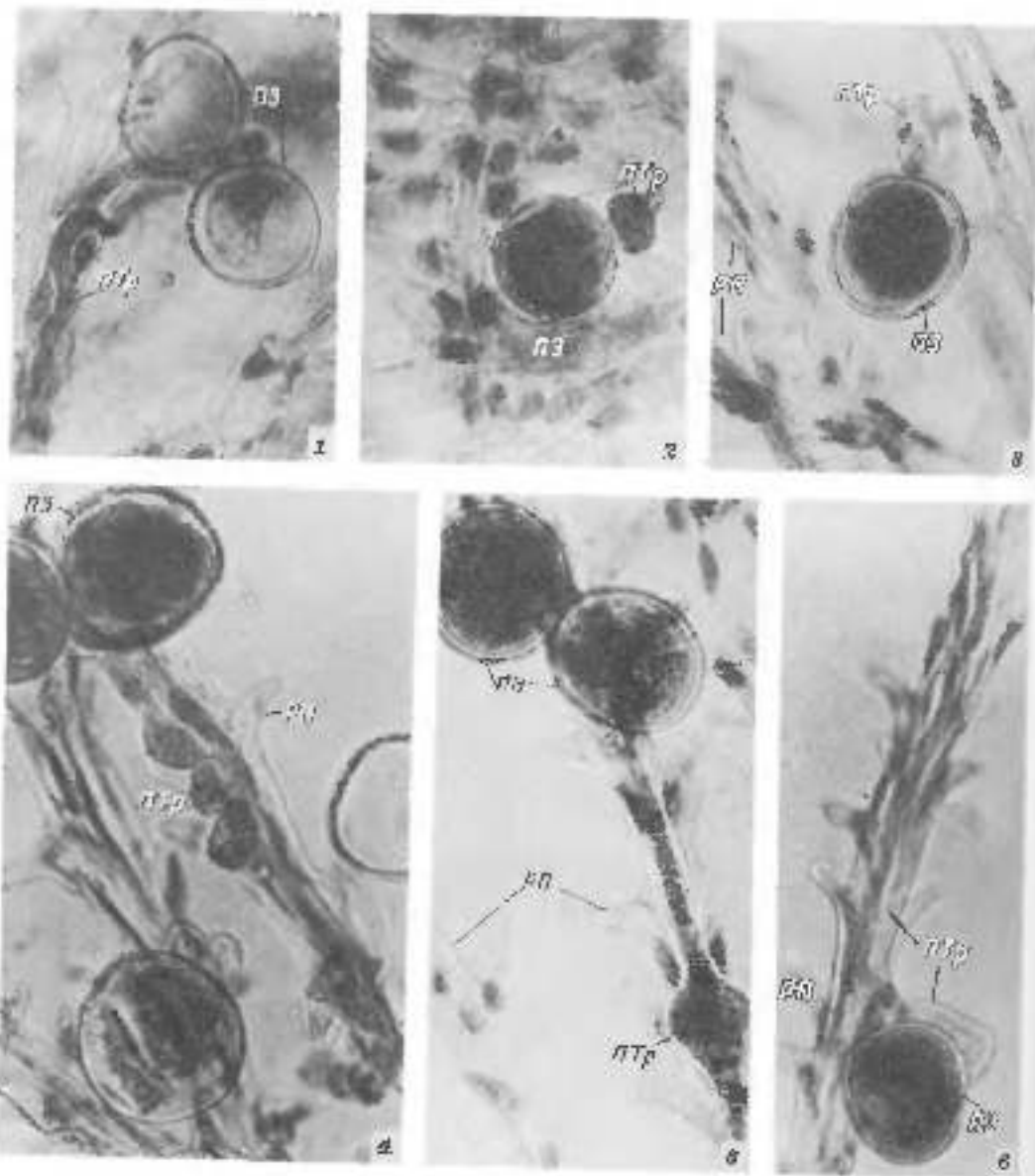


Рис. 104. Особенности роста гематоподовых трубок в тканях растения различных форм *Trifolium* ($\times 300$). (По Чеканко, Испутил, Ларине).

1 — выступающее (А.Д. Никандров); 2 — изогнувшаяся кистевидная пыльцевая трубка (А.Д. 200); 3 — спирально скрученная, вс. и-недрессированная ткань эпидермиса корня (А.Д. 322); 4 — скрученная гематоподовая трубка настника (А.Д. 200); 5 — образование бульбовидного валика (А.Д. Никандров); 6 — конец пищевого канала, прилегающий к споре, прикрепленный к споре (А.Д. 200). П.О. — пыльцевое зерно; ПТ — пыльцевая трубка; РН — волосок корня.

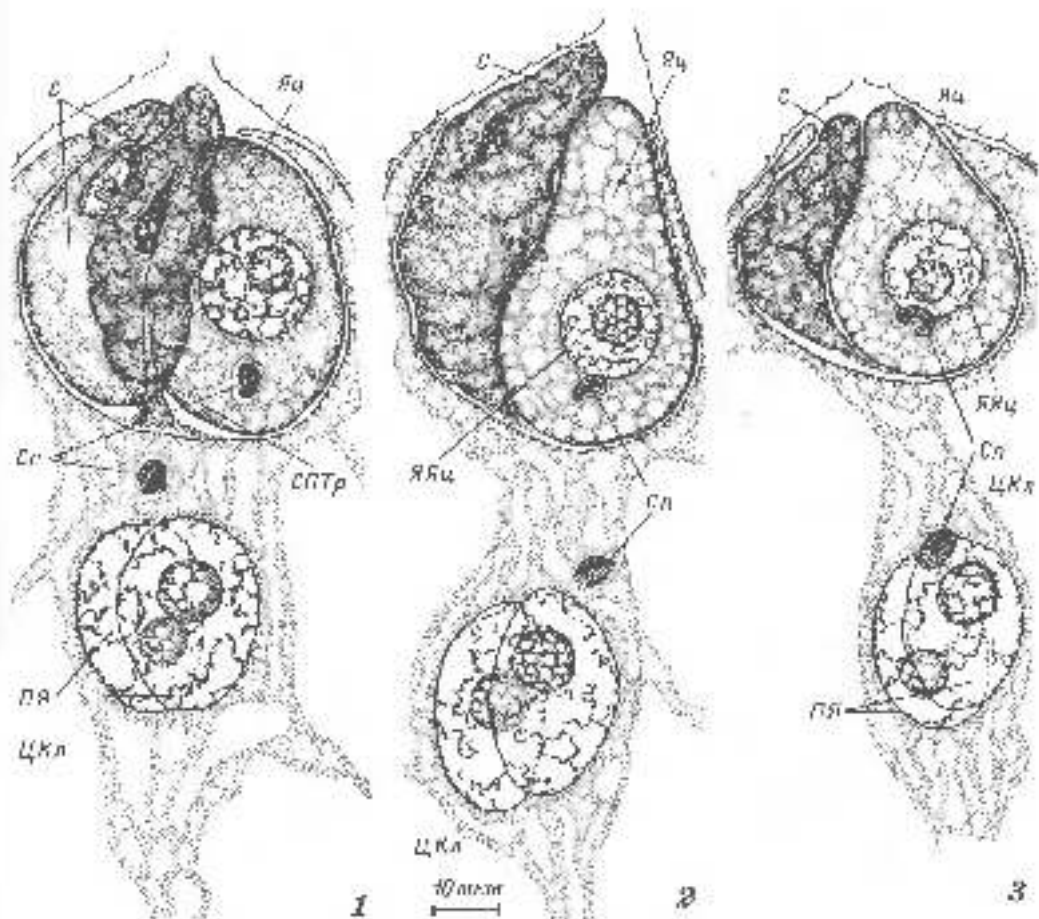


Рис. 106. Процесс оплодотворения у *Tritocereus AD 53r*. (По Хиенценко, 1965).

1 — через 6 ч от начала опыления, 2 — 10 час., 3 — 20 час., 4 — 110 час., 5 — 5 ч, 6 — 4 ч, 7 — 5 ч.
8 — 6 ч, 9 — 8 ч (изрежение). 10 — яйцо. СЛТр — секреторные вакуольные трубы, ЯБПР — первичное гомодермическое ядро, ЯБГБ — яйцышко спермина, ЯББГ — яйцышко яйцеклетки, ЯБц — ядро яйцеклетки. Остальные обозначения так же как на рис. 102, 103.

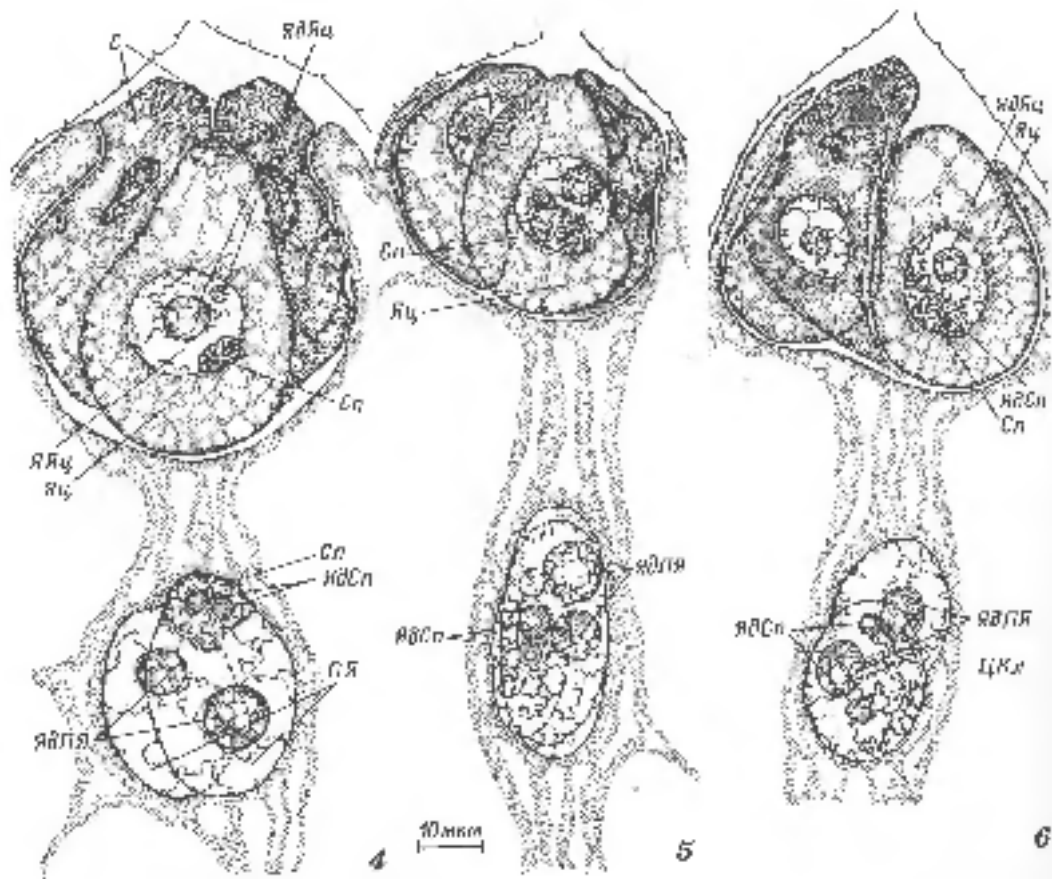


Рис. 105 (ларвация).

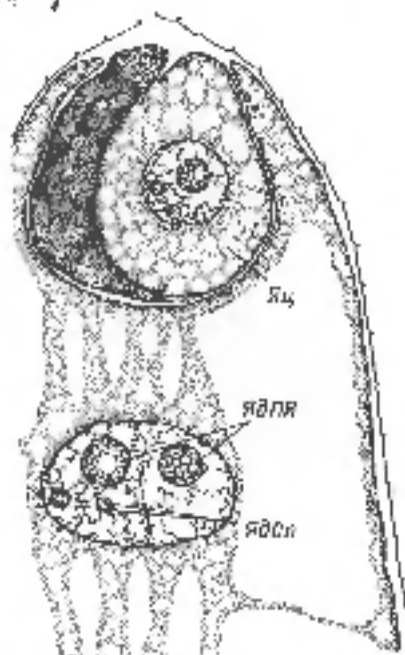
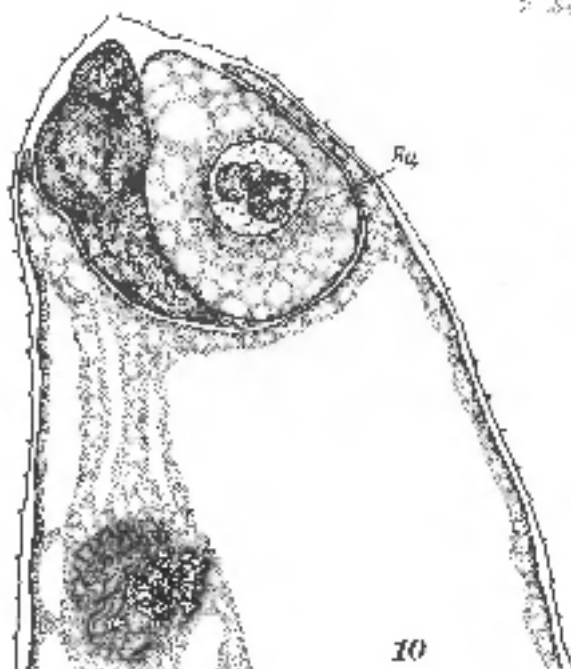


Рис. 105 (продолжение).

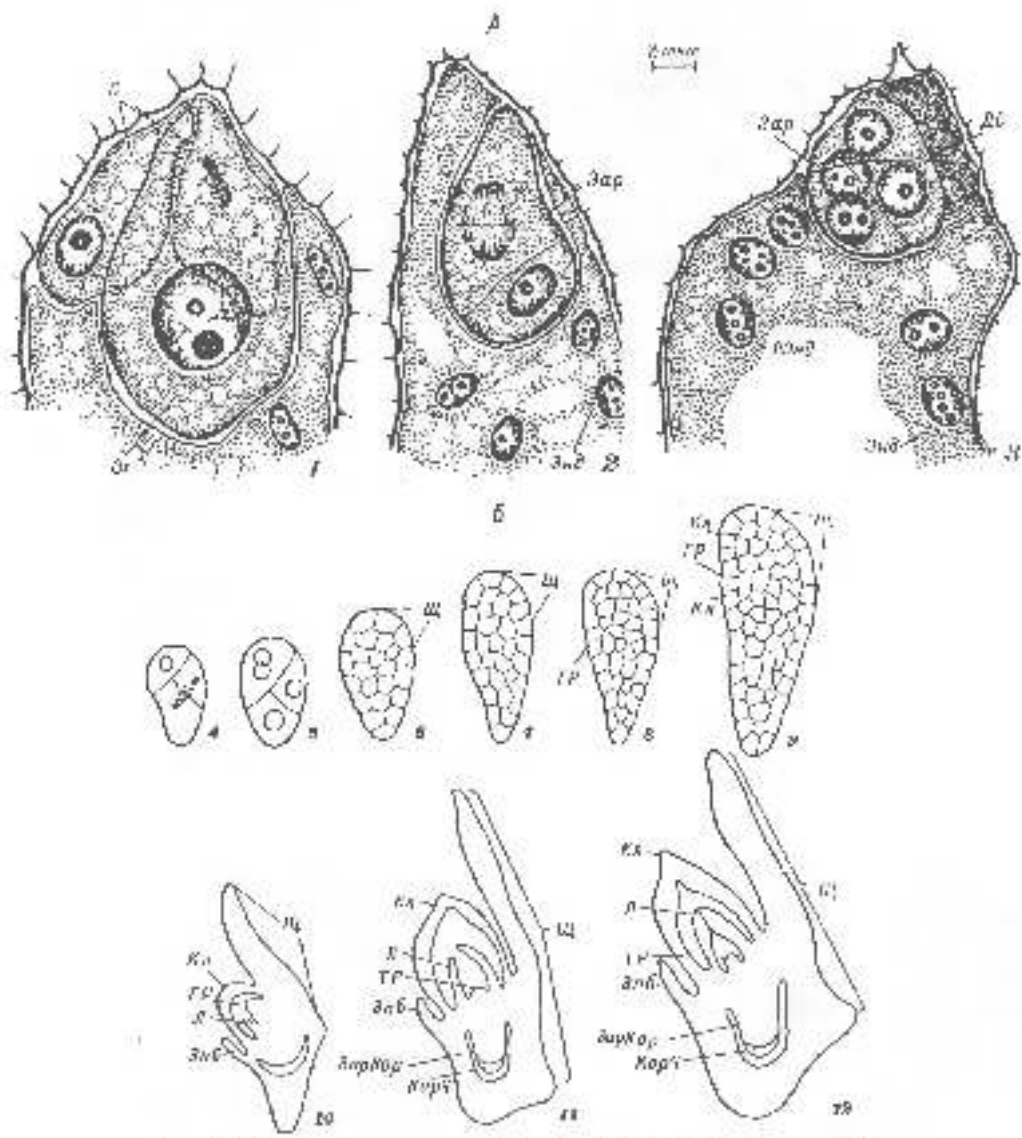
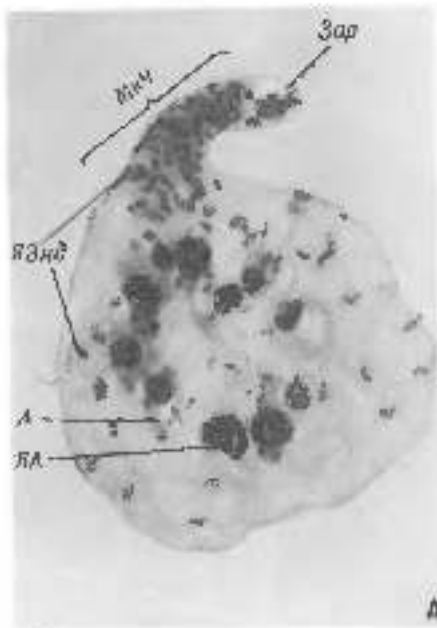
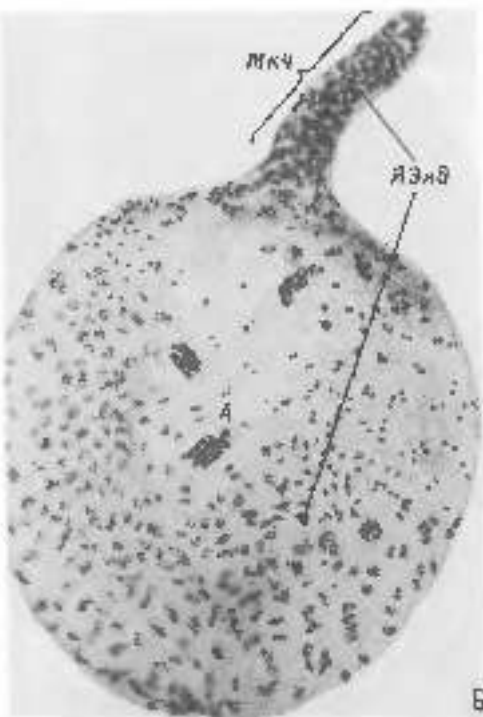


Рис. 106. Развитие зародыша у Тритонов АЛ, АЛ. (По Петрову, 1964).

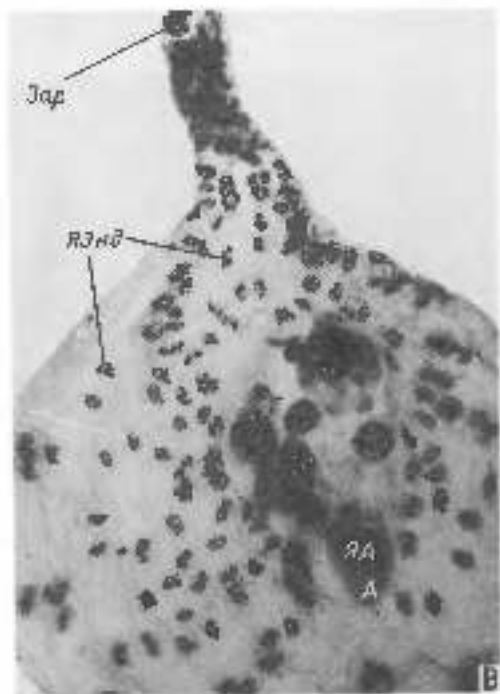
А: 1 — через 24 ч после оплодотворения, 2 — 42 ч, 3 — 60 ч; Б: 4 — 42 ч, 5 — 60 ч, 6 — 72 ч, 7 — 7 сут, 8 — 5 сут, 9 — 5 сут, 10 — 12 сут, 11 — 16 сут, 12 — 18 сут. ДС — дегенерирующая ксенохета, Эс — эпидермис, Корт — кортикаль, Л — лист, Эпид — эпидермис. Остальные обозначения как на рис. 62.



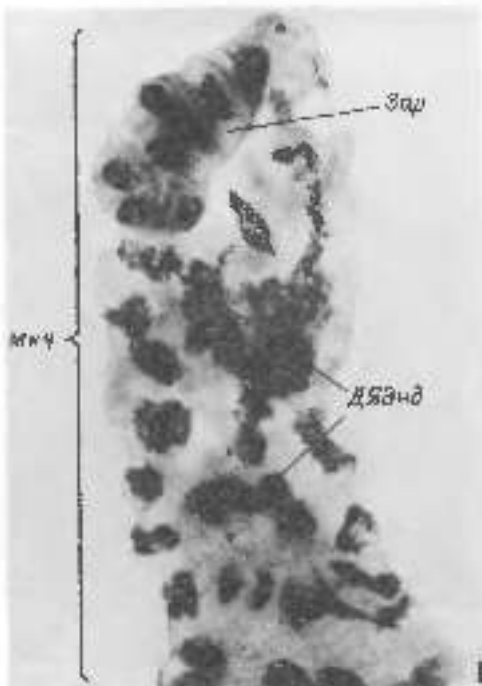
Д



Б



В



Г

Рис. 107. Изолированные апредитиальные клетки тритикале (*Triticum dicoccoides* × *S. cereale*) на стадии ядерного (А, В) и клеточного (Б) эндосперма и яйцеклетка в микропиллярной части эндоспермогенного шароцита (Г).

Я — ячейковид., ДБНД — дифференцирующиеся жгуты эндосперма, Эар — зародыш, МКЧ — микропиллярная часть, ЯД — ядро даттина, ЯЗНД — ядрышки эндосперма.

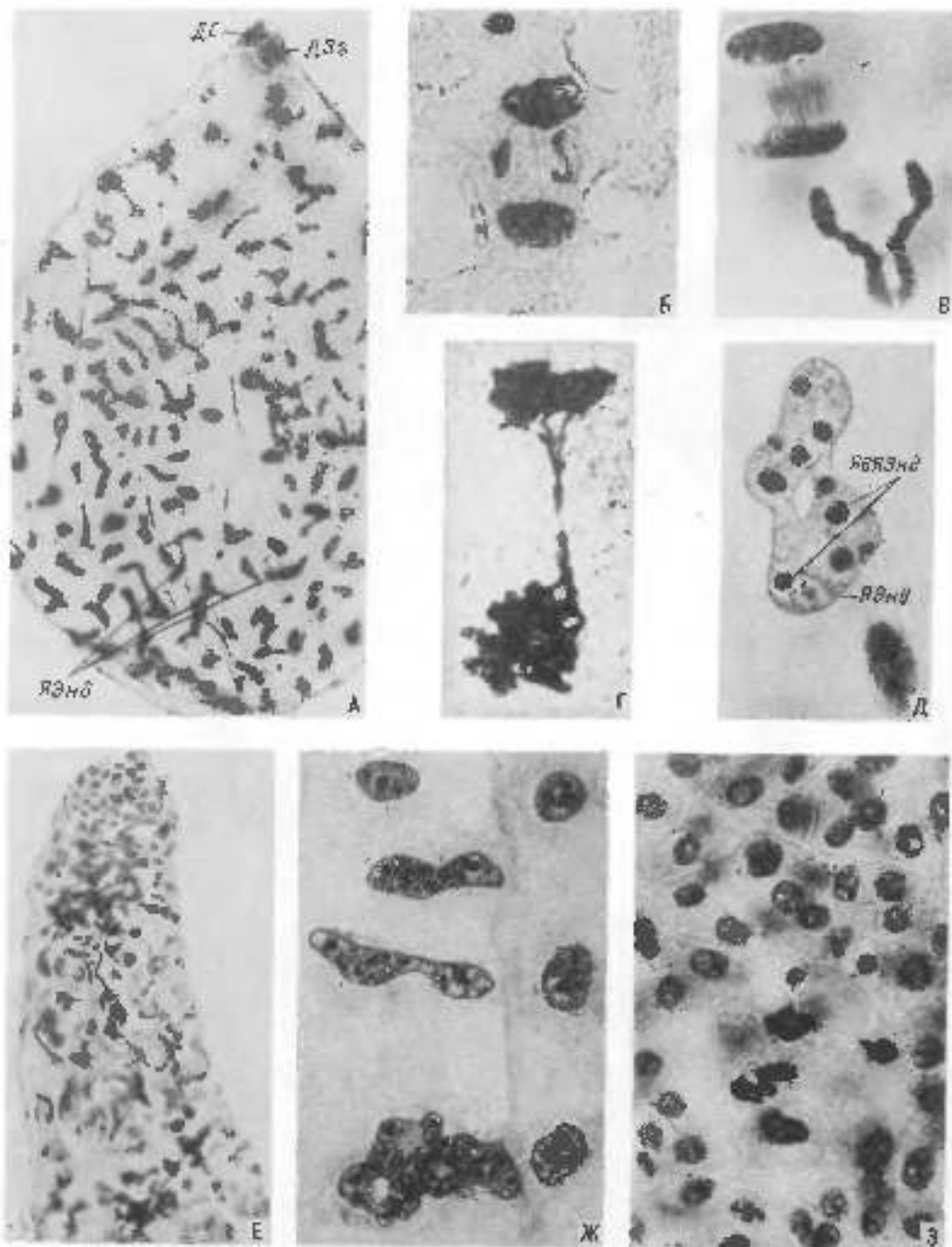


Рис. 158. Аномалии в развитии эндосперма тритикале (*Triticum dicoccoides* × *S. cereale*). (По Орловой, 1972).

А — зародышевый чешуй в фазе 12Р на 6 ч инкубации; большинство ядер ярохально, в ненормированной части видны дегенерированные синергиды и энготы, Б—Г — анафазные деления, пересекающие зернистость яйца; Г — ядра эндосперма разного состояния и величины с различными чихающими ячейками; Е, Ж — дегенерация ядер эндосперма в мицелиальной массе зародышевого чешуя; ДС — зиготифибринизованная спиральная, ЯЭНД — ядро эндосперма, БЭНД — ядро эндосперма.

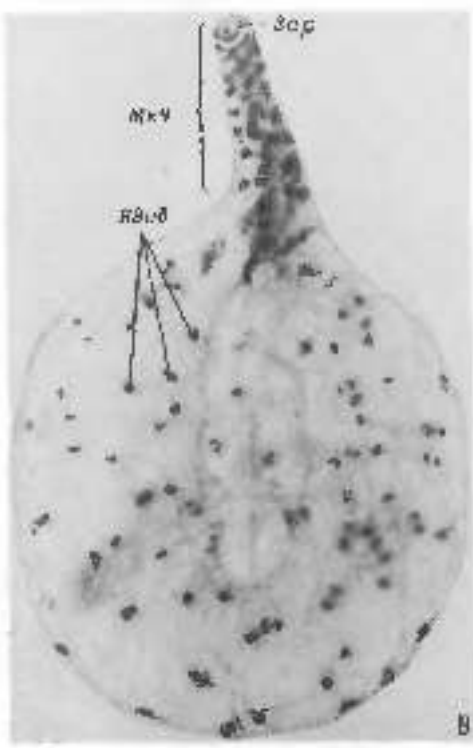
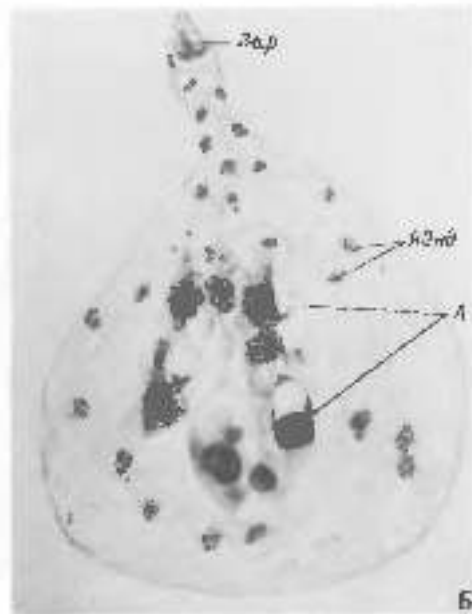
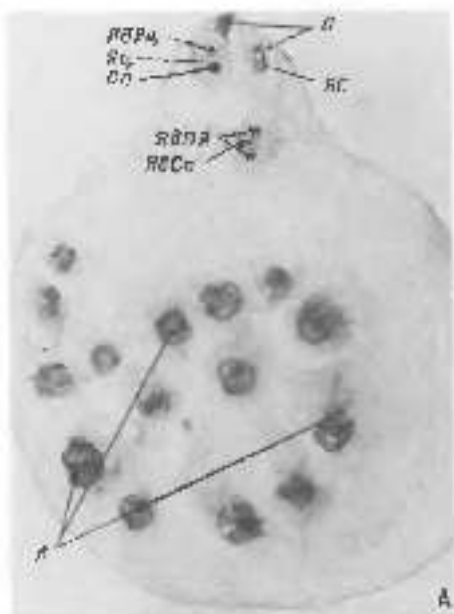


Рис. 109. Изолированные неродственные клетки *Tetralobus* АД 206 на стадии двойного склерогенеза (A), яйцеклетка (B) и на начальной стадии размножения клеток ледоставов; анти-анти- β -актитин (сервильное развитие). (По Орловой, Азаньевой, 1985).

RC — ядро с ядерной. Остальные обозначения так же, как на рис. 102, 106, 105, 107.

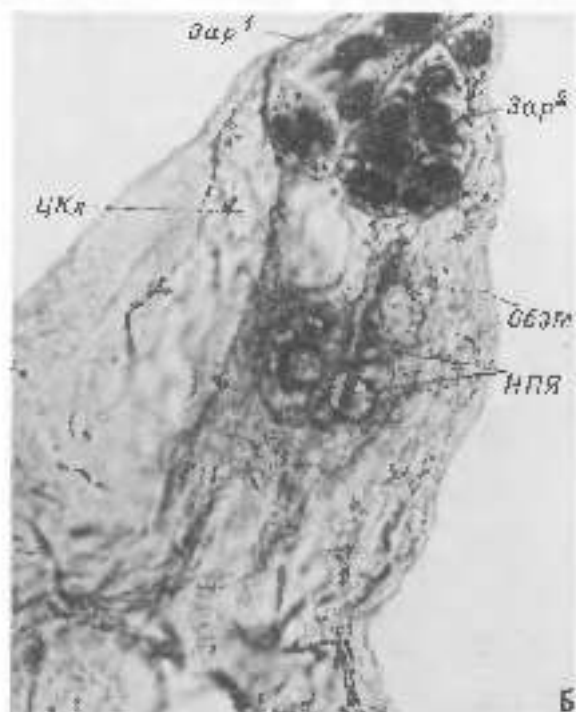
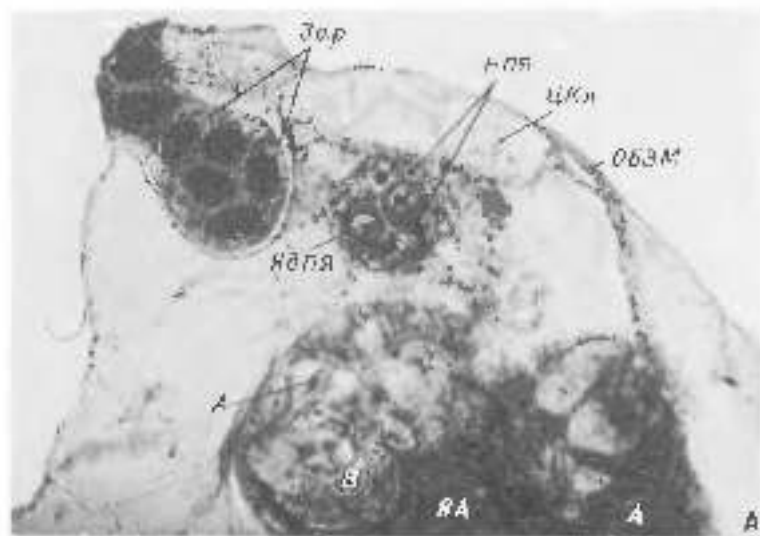


Рис. 110. Анемия в процессе оогенеза у *Tricholejeunea*. (По Орловой, Авдеиной, 1986).
 А — отсутствие трубного слизевика; яйцеклетка развивается нормально, В — 2 стадия оплодотворения яйцеклетки и сперматигиу, оплодотворение полиплазмическое; подпись к схеме аналогична рис. 109.

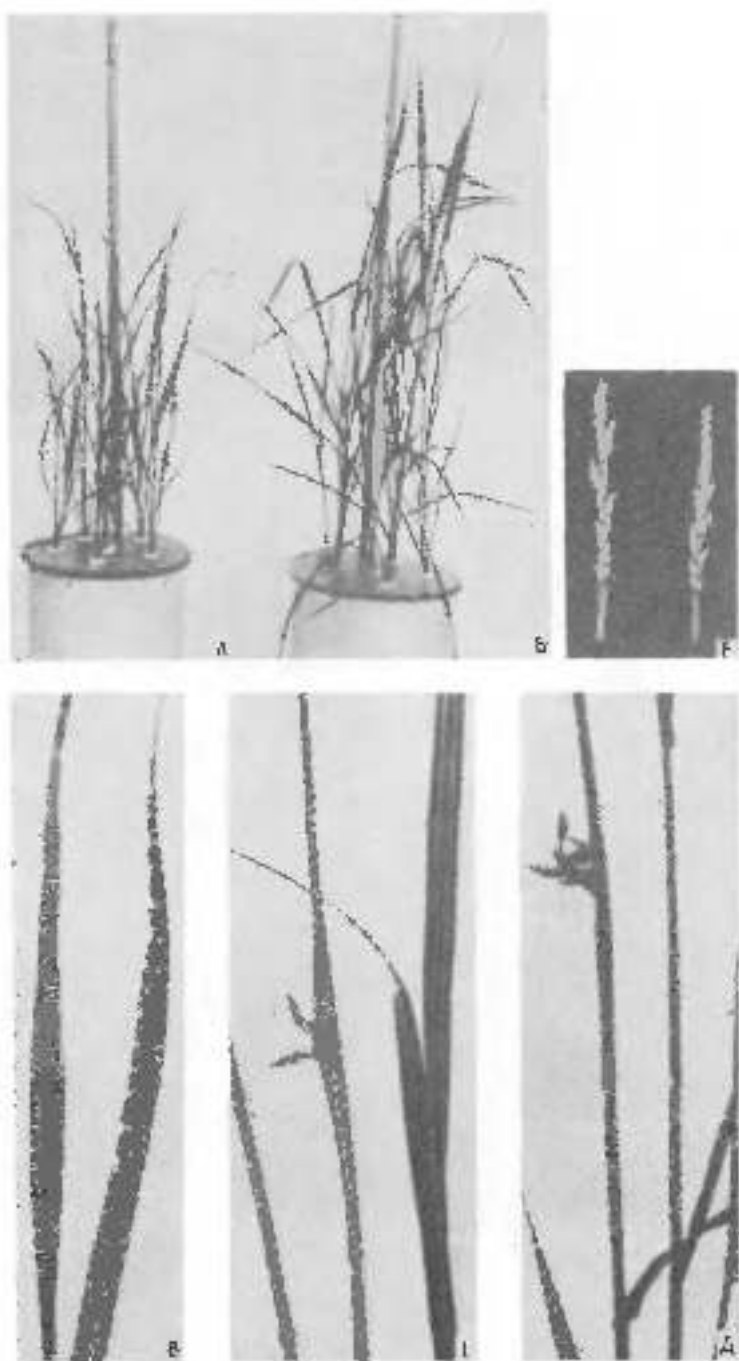


Рис. 111. Влияние бора на развитие пшеницы. (По Троицкой, Белягиной, 1951).

А — растение в 21 сутечном возрасте без бора, Б — то же в вареном. В — морфологические изменения листьев, Г, Д — поражения склероцистами, Е — зерновки в разнотипных побегах.

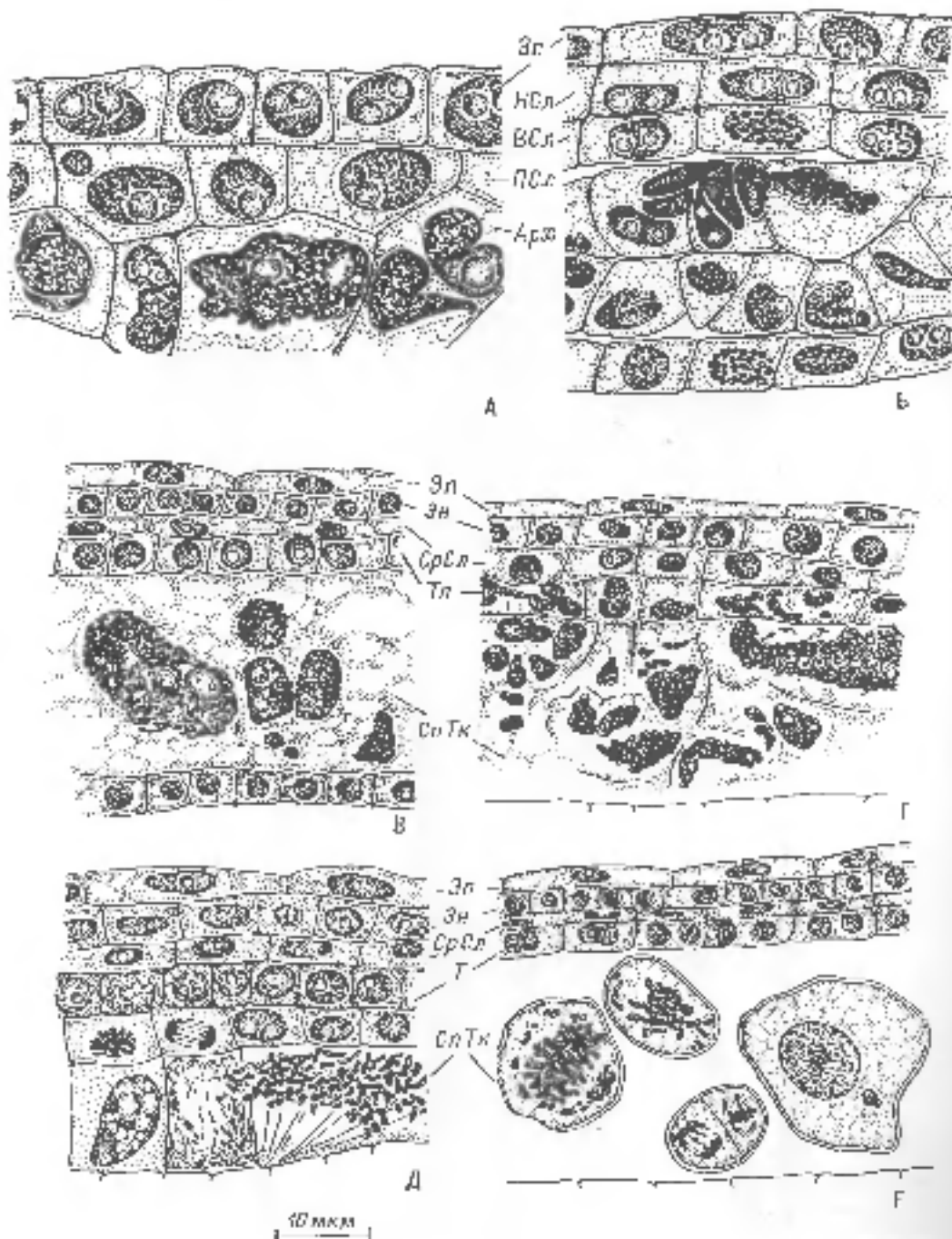


Рис. 112. Нарушенная структура покоящегося пыльника при отсутствии бора. (А—Е). (По Батыревой и др., 1966). По Фёльксену, с индикаторной эпоксидной смолой.

Представлено: сплошь через пыльник. Арх — археспорий. ПСл — перестающий слой. СрСл — склеротический слой. СрСл — склеротический слой. Тп — танецкий, Зп — эндотаний, Зи — эндоцерий.

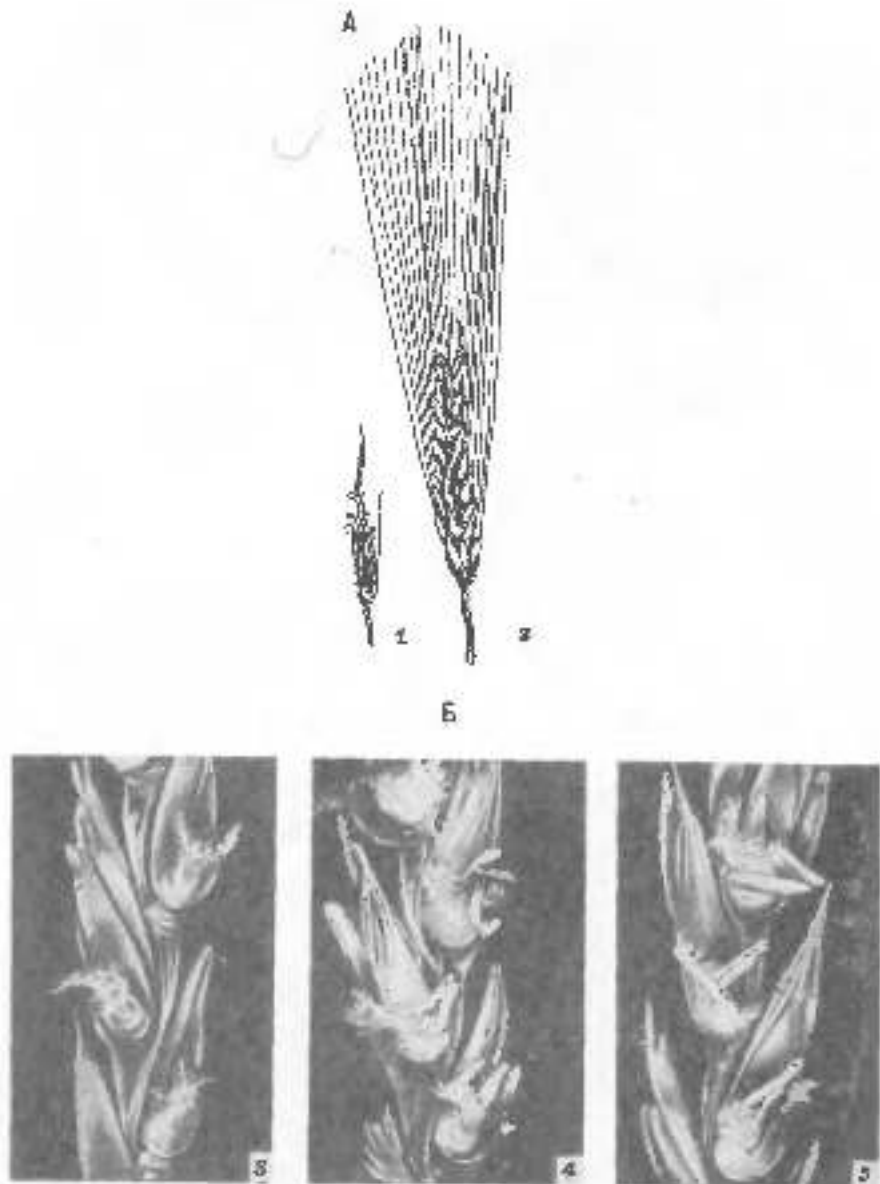


Рис. 153. Влияние бора на фильтрозоные репродуктивные органы планктонных организмов (А — по Шабданову, Мякотровой, 1957) и поганцы (Б — по Шабданову, Трапезной, 1962).

1 — каланхеевидные бородавки в 2-ме бородавках; 2 — цветки в изобиенных щенницах, выраженный х. отсутствие бора; личинки с земельными тканями опускаются; 3 — колонии в количествах оптимума, выращиваемые в струях бора при интенсивности ЕНК в скатертьном растворе; видны земельные гипоксантины; 4 — интенсивные колонии, выраженный х. растворенный в скатертьном растворе бор (боритрол), видны личинки.

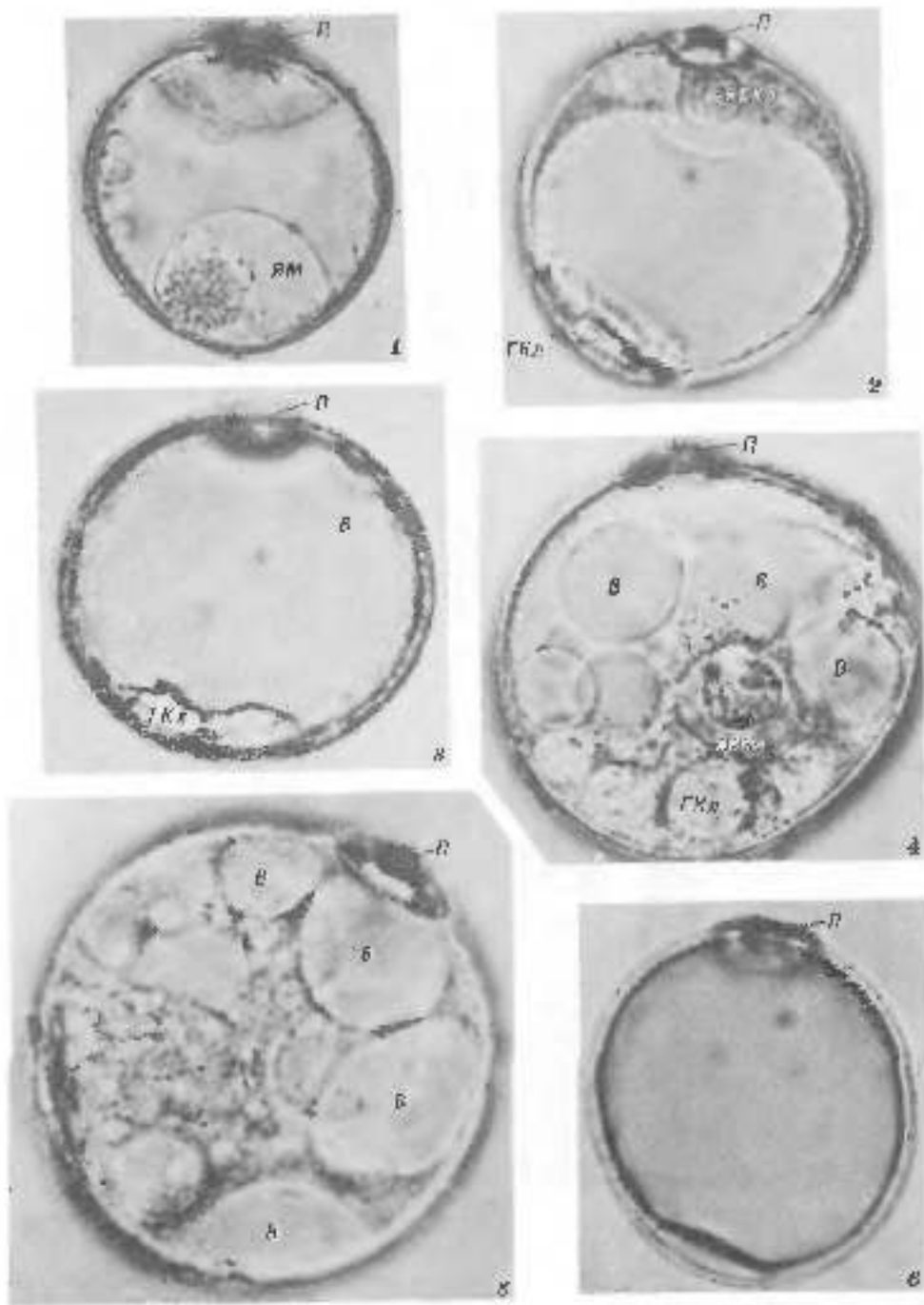


Рис. 114. Развитие нарушения и восстановление пинеального ядра пинеида при ЦМС. (По Орел, 1962). ЦМС

1 — микроскопия субактивируя для ядра (вариант 1); 2 — полость с ядром, вегетативной юношества и дегенерирующей генеративной клеткой; 3 — полость ядра с дегенерирующими ядрами вегетативных клеток, с генеративной ячейкой [имеет остатки генеративных клеток]; 4, 5 — полипозные ядра с сильно изменившимися злокачественными ядрами цитоплазмы; 6 — генеративные ядра с ядром, покрытым дегенерировавшими ядрами ядер. В — вакуоли, ГК — генеративных клетка, Я — ядро, ЯГК — ядро вегетативной ячейки, ЯМ — ядро эпикапсилии.

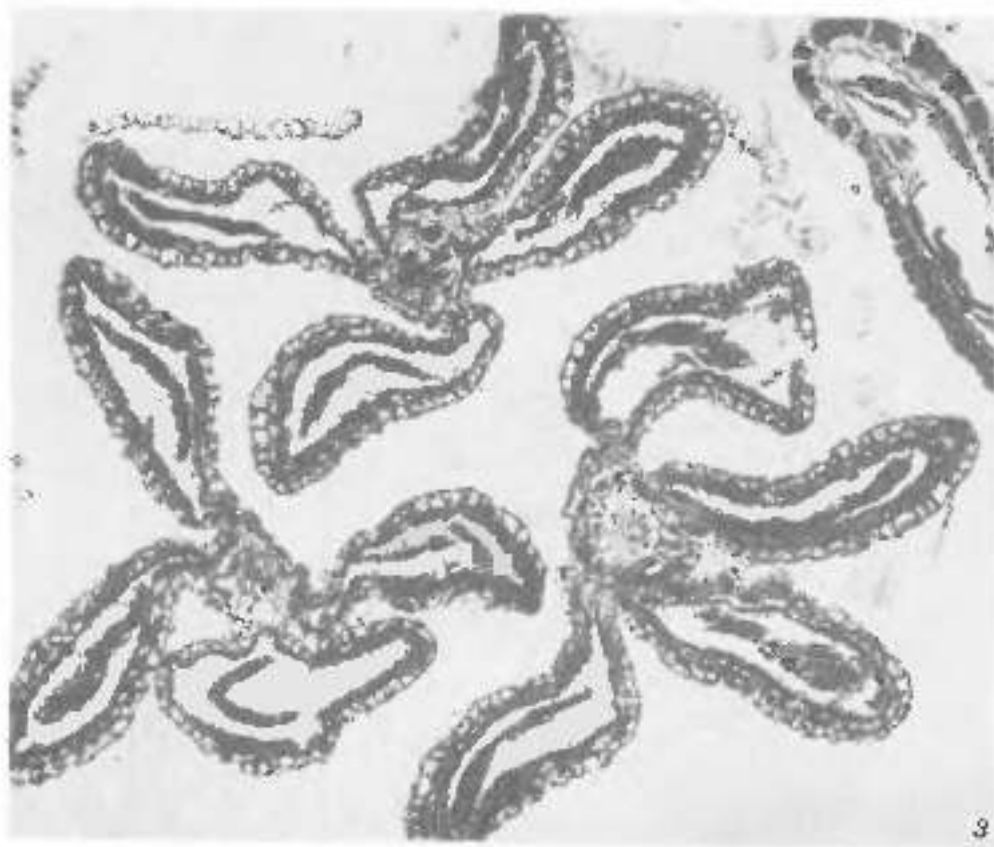
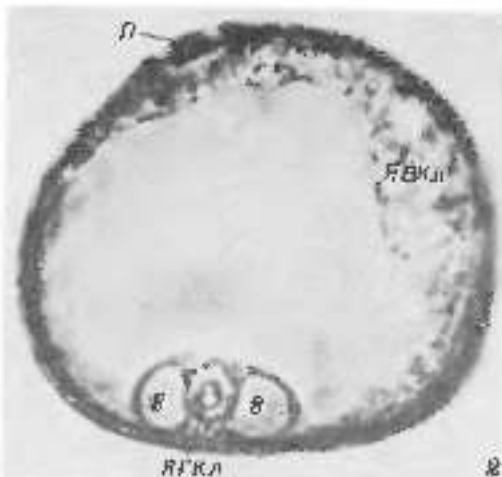
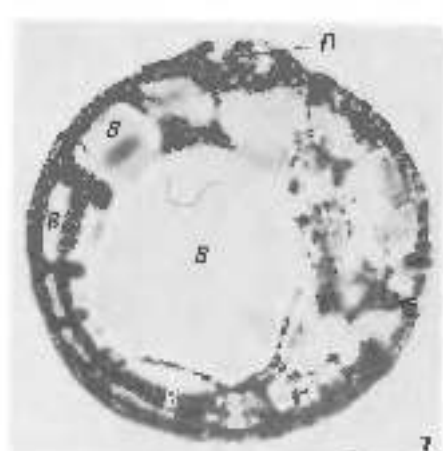


Рис. 115. Различные нарушения в развитии пыльцевых зерен кукурузы при ЦМС. 1, 2 — по Орби, 1972; 3 — по Семёнову, всходы, гибрид.

1, 2 — пыльцевые зерна при подвижном типе ЦМС с сильно искаженной цитоплазмой интегрированной клетки (1) и с гибким скрученным типом цитоплазмы (2); 3 — пыльцевый фрагмент шибера при текосской гибридной стерильности за пыльцах этого гибрида (линейка А № 17). В — пыльца, ЯГКЛ — ядро генетической линии.

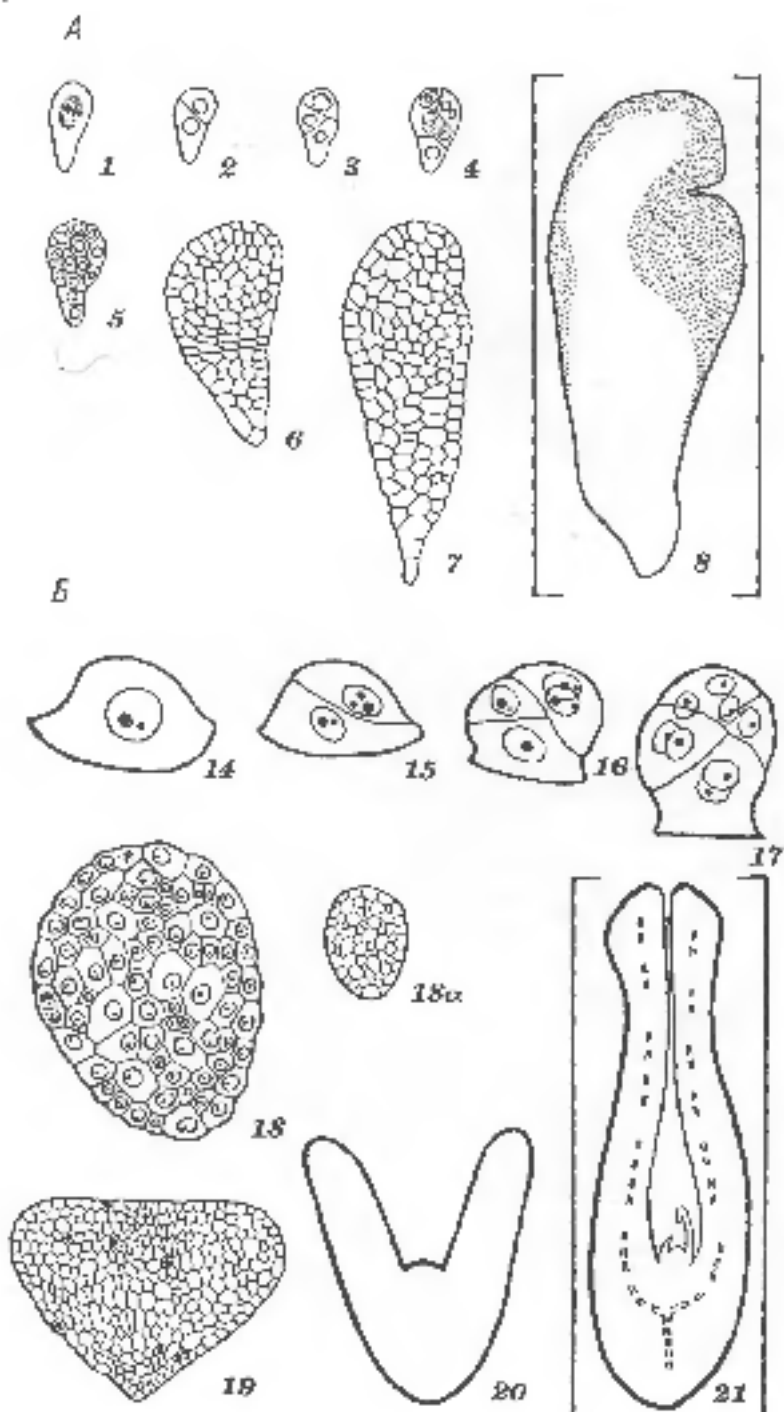


Рис. 116. Стадии личинковидности юнионии у различных покрытосемянник.

1-13 - энбриосемен *Ulmus*; 14-22 - энбрюосемен *Nelumbo* (8, 21 — стадия инфекционеская); 23 — склер. накопления при инфекционеской стадии нетоксигенности юнионии.

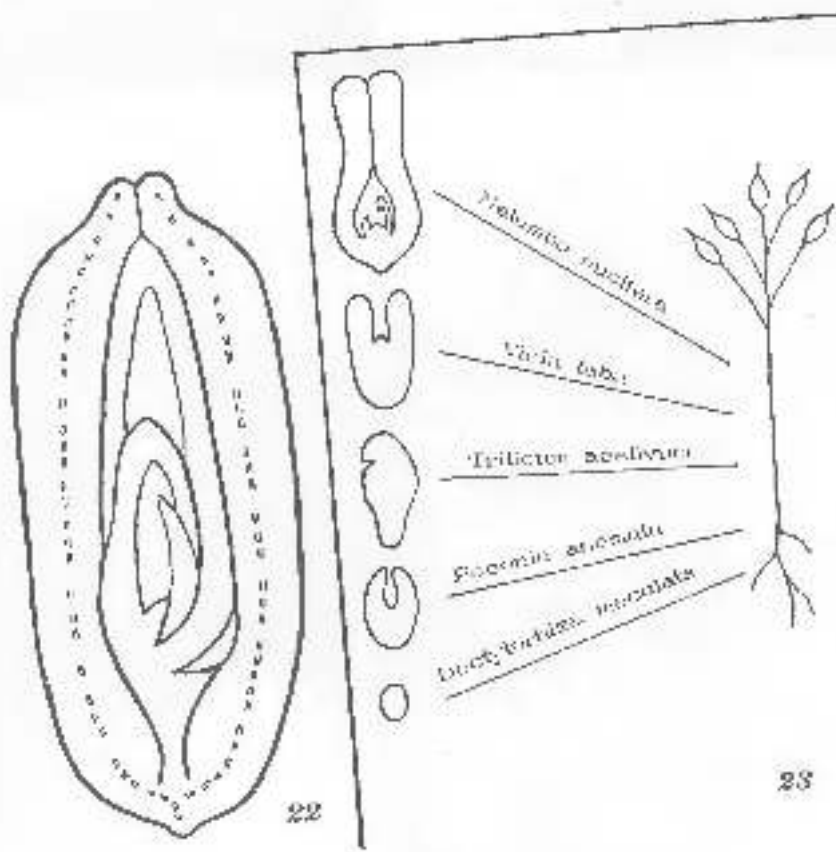
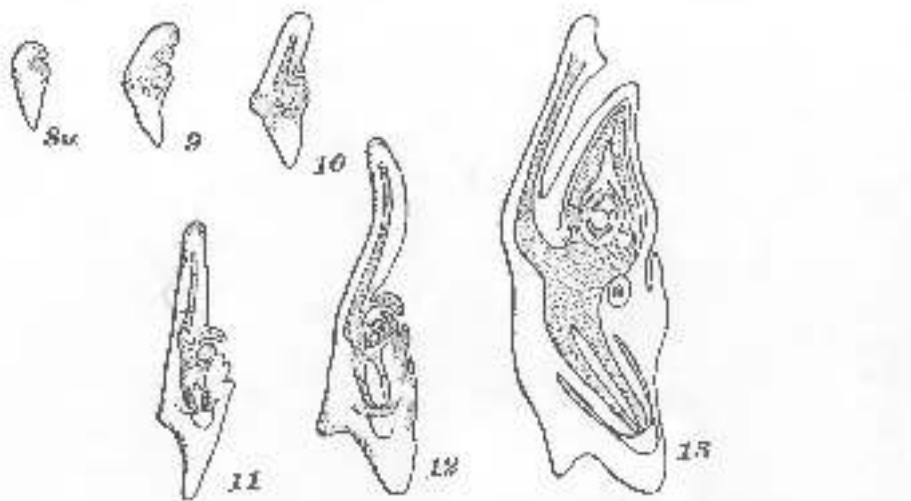


FIG. 116. *Liquaria secunda*.



Рис. 117. Конкурсное сортоизменение пшеницы для зерновых и кормовых целей на скрешивании *H. vulgare* с *H. chilense*. (По Левинсону, Игнатовой, 1982, с личн. добавл.).



Рис. 118. Развидные этапы получения гибридной тритикале в культуре пшеничной. (Ц: Красников, Дубинина, Чеснокова, Ганичев).

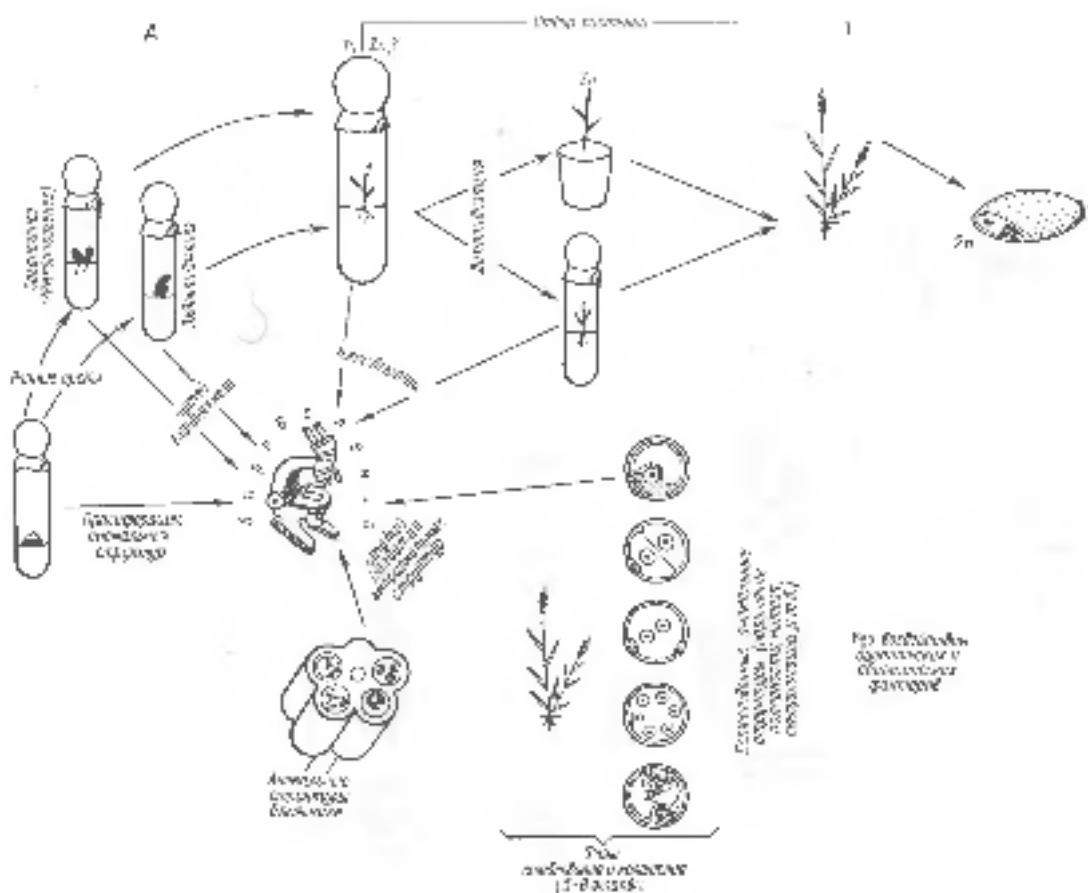


Рис. 118. Технологические способы получения гаптонетов из естественных аномалий (анхрофор и дихлетичных зерен) (А), изaleurонных структур, получаемых путем созревания из герминирующих нормальных микроспор и пыльцевых зерен (Б), из нормальных микроспор, 2- и 3-клеточных зародышевых зерен (В).

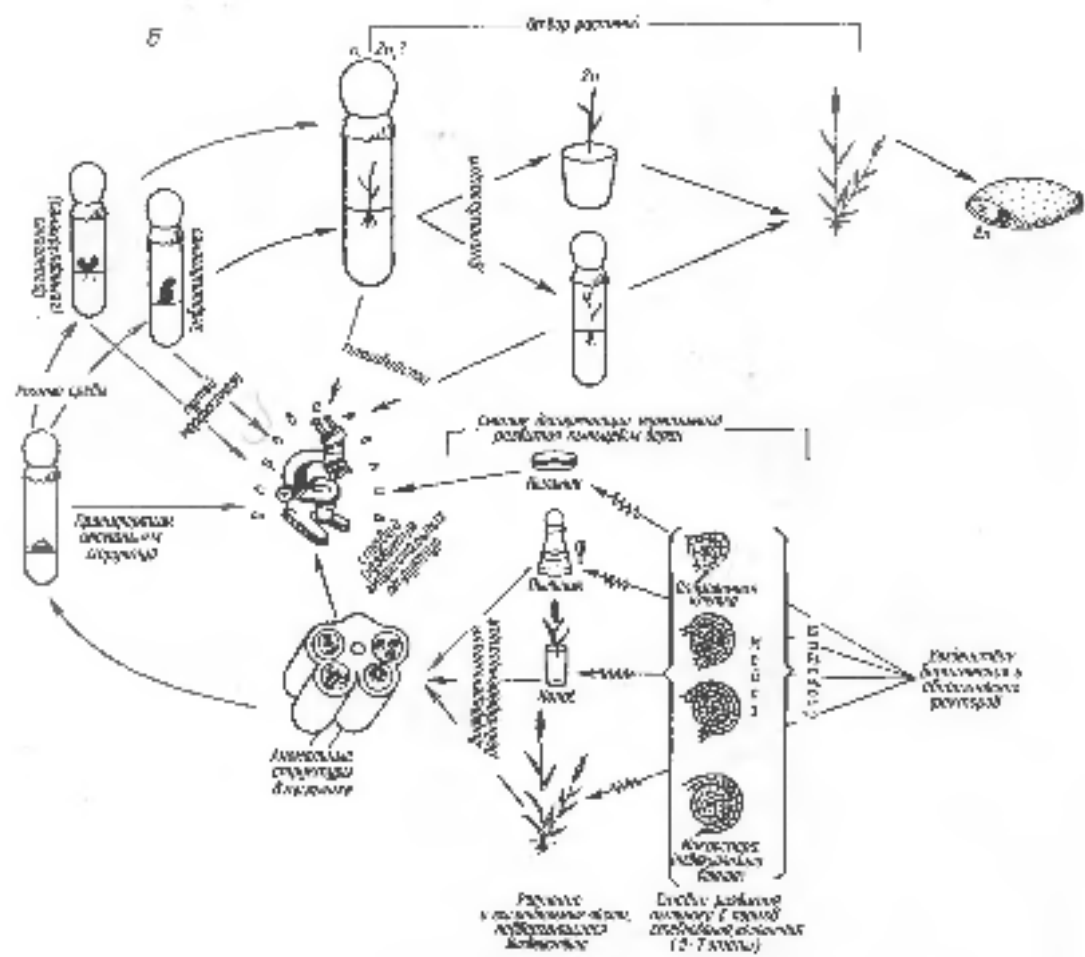


Рис. 7.16 (продолжение).

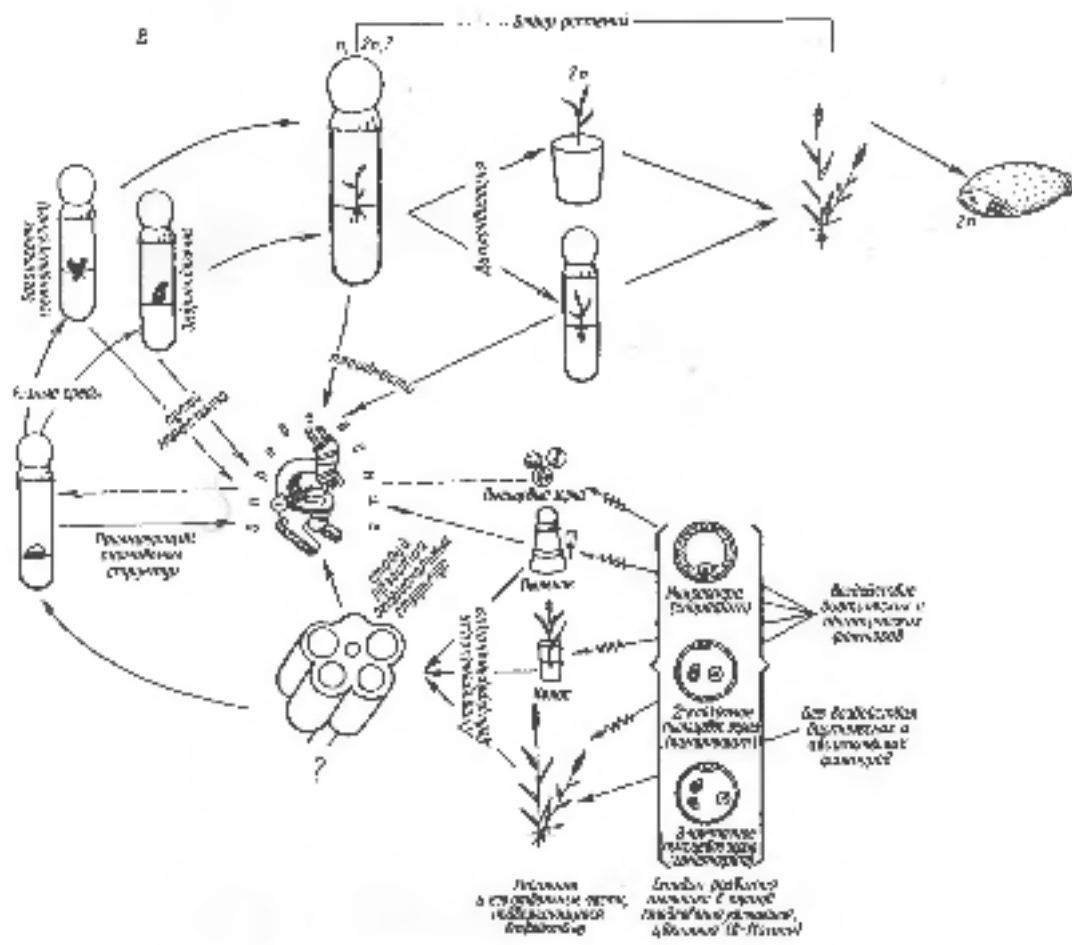


Рис. 118 (продолжение).

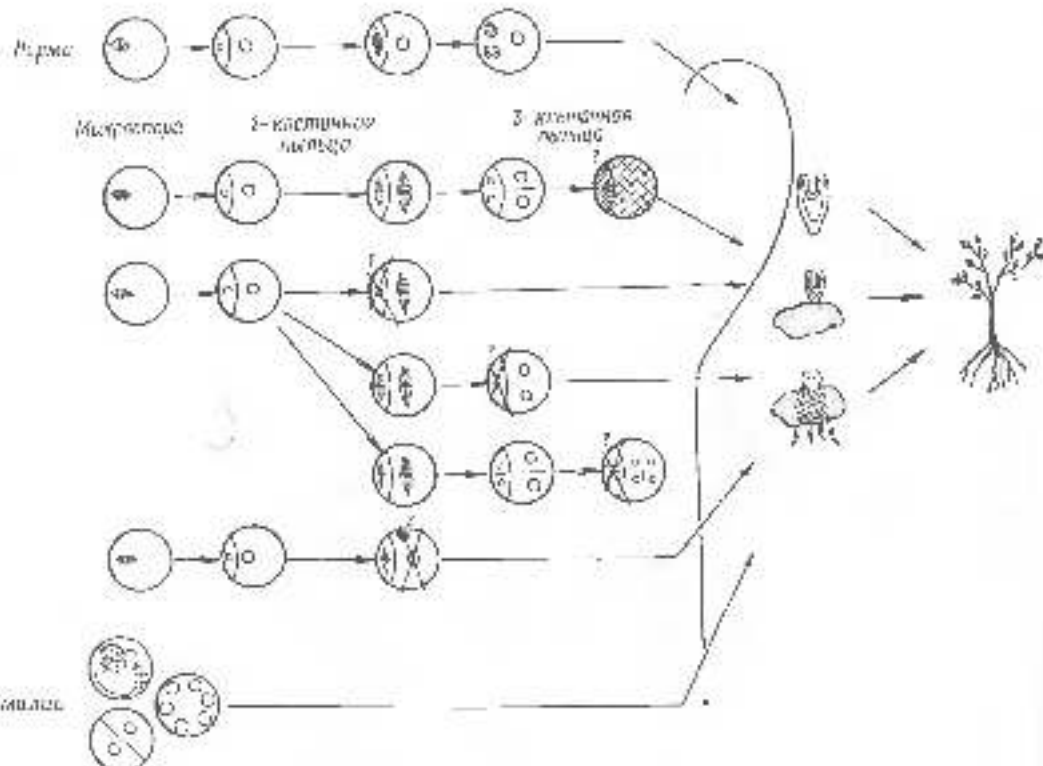
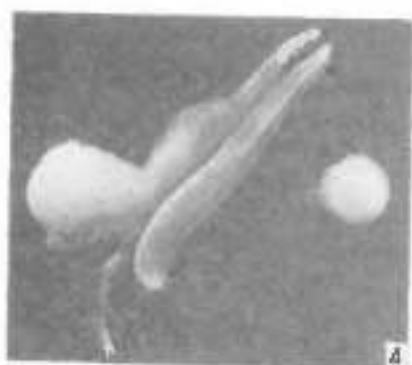


Рис. 110. Три основные патологические стадии в пути получения ягичератов из листьев в культуре *in vitro*. (По Nitsch, 1969, 1972; Sunderland, Wicks, 1969, 1971; Bernard, 1971; Clapham, 1971; Iyer, Ratin, 1972; Norrell, 1973; Pierard, 1973; Rashid, Street, 1973, 1974; Vasil, Nitsch, 1975; Sleznevskii, 1977; Igoshova, Lukishev, 1980; Neogiyanayam, George, 1982, et al.)



д



б

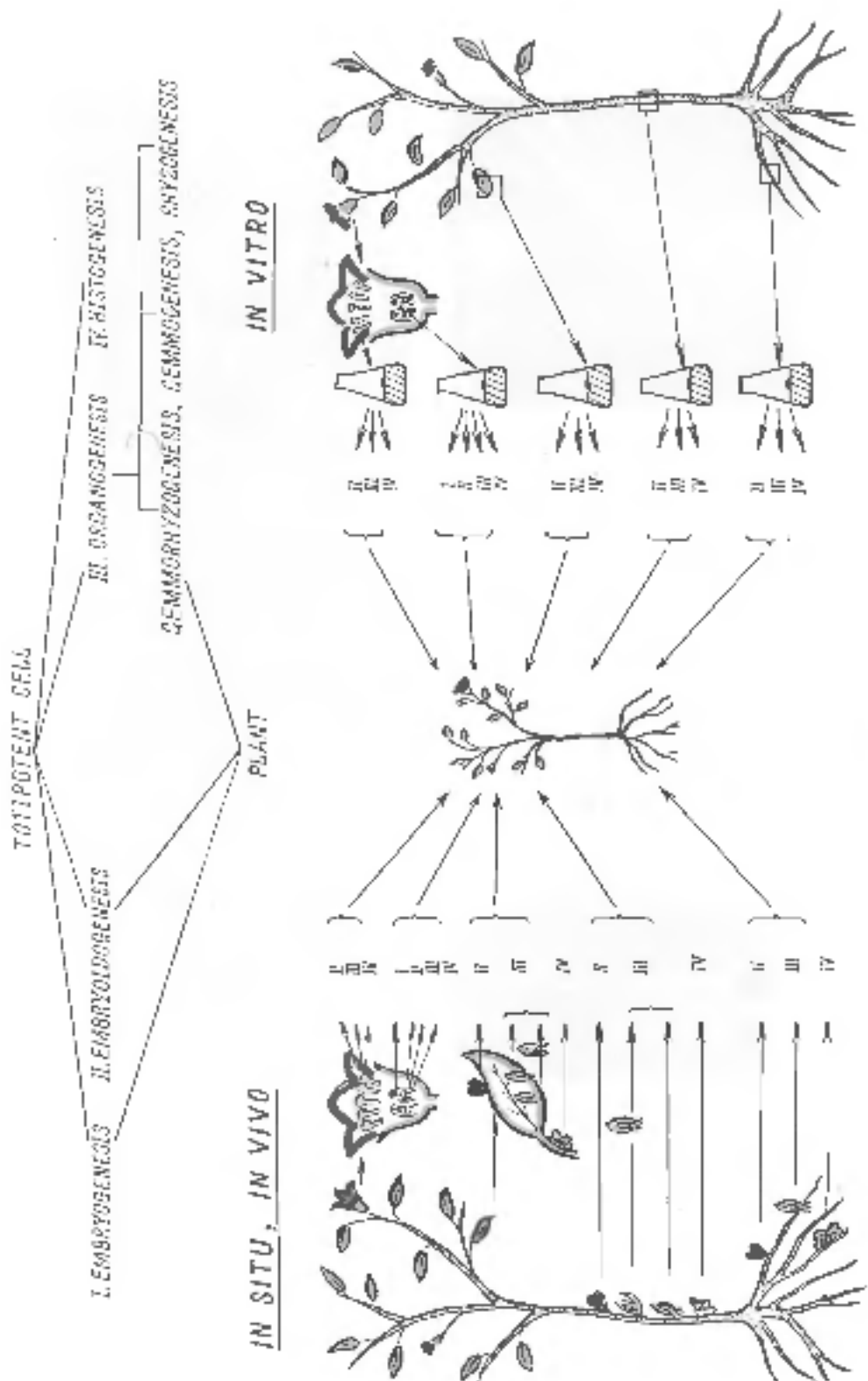


в



г

Рис. 121. Этапы размножения гемигиднотипных растений кинской пшеницы сорта Баласкен-1 в культуре цитокининов (По Приходько, 1980).
д — эмбриональные образований в питательной среде 25 сут культурирования; в, б — солидные растения; г — метафазная пристенка из корешков изолированных растений.



№ 152. Ученые-издатчики именем Юрия Гагарина в память о великом космонавте и
человеке-герое. [Л. И. Егоренко, Р. Т. Кузьмин]. Барыль, 1981.

- I - № 63 АКТЫ :
Ученые-издатчики СССР. Полтава.
II - № АКТЫ :
Акты изучения идей Юрия Гагарина. Монография (1957-1980). Ученые-издатчики СССР. Полтава. 1981.
- III - № АКТЫ :
? ? ?
— № КОДЫ :
Полиграфия УГМК. Полтава, Полтава. 1980.
- IV - № АКТЫ и др. :
? ? ?
— ГАИСОМ в Актах :
ГАИСОМ (1958-1970). Сборник документов, № 1-20. Полтава. 1981.
- № АКТЫ :
Сборник документов Акта Юрия Гагарина (1958-1980). № 1-20. Полтава (1969-1980) в 20 ч. № 1-20. Сборник документов Юрия Гагарина (1958-1980). № 1-20. Полтава (1969-1980) в 20 ч. № 1-20. Полтава (1969-1980) в 20 ч. № 1-20.
- V - № АКТЫ :
? ? ?
— № АКТЫ :
Сборник Актов (1960).
- I - № АКТЫ :
Акты Юрия Гагарина (1958), Полтава (1980), Полтава.
II - № АКТЫ :
Акты Юрия Гагарина (1958), Полтава (1980), Полтава.
— № АКТЫ :
Политическое большинство Юрия Гагарина (1980), Полтава.
- III - № АКТЫ :
Документы Карбата, Кирпичного завода, Полтава (1980), Полтава.
- IV - № АКТЫ :
Документы Карбата, Кирпичного завода, Полтава (1980), Полтава.
- V - № АКТЫ :
Документы Карбата, Кирпичного завода, Полтава (1980), Полтава.
- VI - № АКТЫ :
Документы Карбата, Кирпичного завода, Полтава (1980), Полтава.
- VII - № АКТЫ :
Документы Карбата, Кирпичного завода, Полтава (1980), Полтава.
- VIII - № АКТЫ :
Документы Карбата, Кирпичного завода, Полтава (1980), Полтава.
- IX - № АКТЫ :
Документы Карбата, Кирпичного завода, Полтава (1980), Полтава.
- X - № АКТЫ :
Документы Карбата, Кирпичного завода, Полтава (1980), Полтава.
- XI - № АКТЫ :
Документы Карбата, Кирпичного завода, Полтава (1980), Полтава.
- XII - № АКТЫ :
Документы Карбата, Кирпичного завода, Полтава (1980), Полтава.
- XIII - № АКТЫ :
Документы Карбата, Кирпичного завода, Полтава (1980), Полтава.
- XIV - № АКТЫ :
Документы Карбата, Кирпичного завода, Полтава (1980), Полтава.
- XV - № АКТЫ :
Документы Карбата, Кирпичного завода, Полтава (1980), Полтава.
- XVI - № АКТЫ :
Документы Карбата, Кирпичного завода, Полтава (1980), Полтава.
- XVII - № АКТЫ :
Документы Карбата, Кирпичного завода, Полтава (1980), Полтава.
- XVIII - № АКТЫ :
Документы Карбата, Кирпичного завода, Полтава (1980), Полтава.
- XIX - № АКТЫ :
Документы Карбата, Кирпичного завода, Полтава (1980), Полтава.
- XVI - № АКТЫ :
? ?
- XVII - № АКТЫ :
Документы Карбата, Н. А. ? ?
- XVIII - № АКТЫ :
? ?

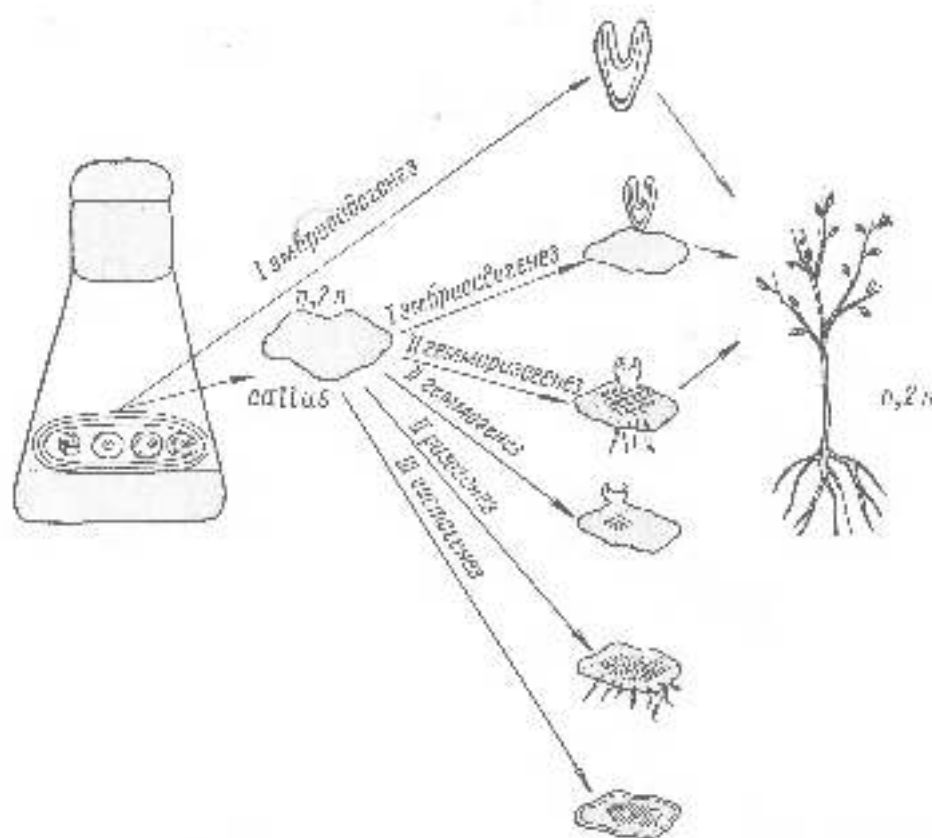


Рис. 123. Варианты путей морфогенеза в культуре штаммовой пшеничной тканевой расторпки (схема).
[Ги Балыгин, 1964].

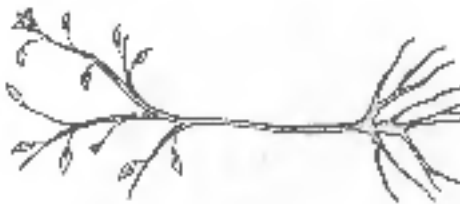
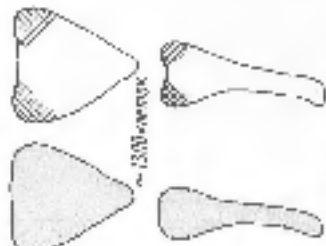
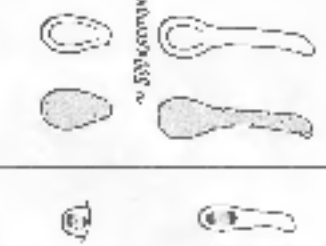
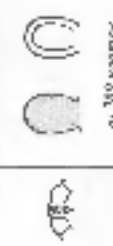
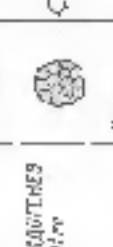
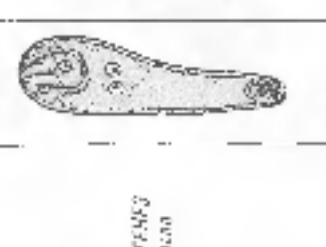
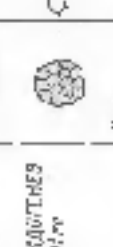
 Лимонник <i>Лимонник</i> (Citrus limon)	 Лимонник <i>Лимонник</i> (Citrus limon)	 Лимонник <i>Лимонник</i> (Citrus limon)
 Лимонник <i>Лимонник</i> (Citrus limon)	 Лимонник <i>Лимонник</i> (Citrus limon)	 Лимонник <i>Лимонник</i> (Citrus limon)
 Лимонник <i>Лимонник</i> (Citrus limon)	 Лимонник <i>Лимонник</i> (Citrus limon)	 Лимонник <i>Лимонник</i> (Citrus limon)
 Лимонник <i>Лимонник</i> (Citrus limon)	 Лимонник <i>Лимонник</i> (Citrus limon)	 Лимонник <i>Лимонник</i> (Citrus limon)

Рис. 124. Схематизированные морфологические типы в *in vivo* и *in vitro*. (По Бергштаду, 1961).



Рис. 125. Зародыш мыши желтой через 30 дней после оплодотворения. (Рис. Б. Н. Ветошкин.)
А — гематоксилин по Пьюстесу с подкраской овощной к. ф. Феликс, с подкраской хромограната.

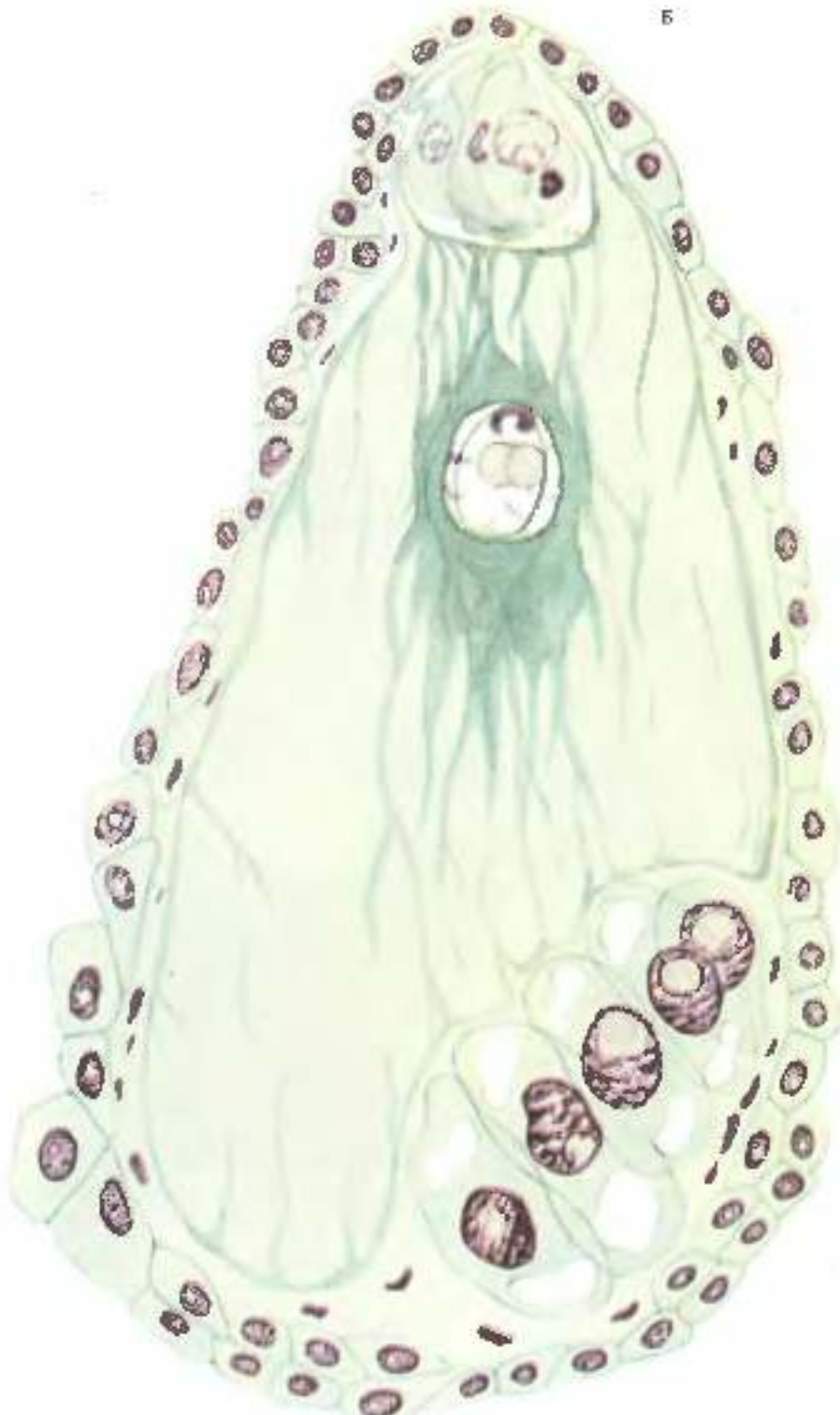


Рис. 125 (продолжение).

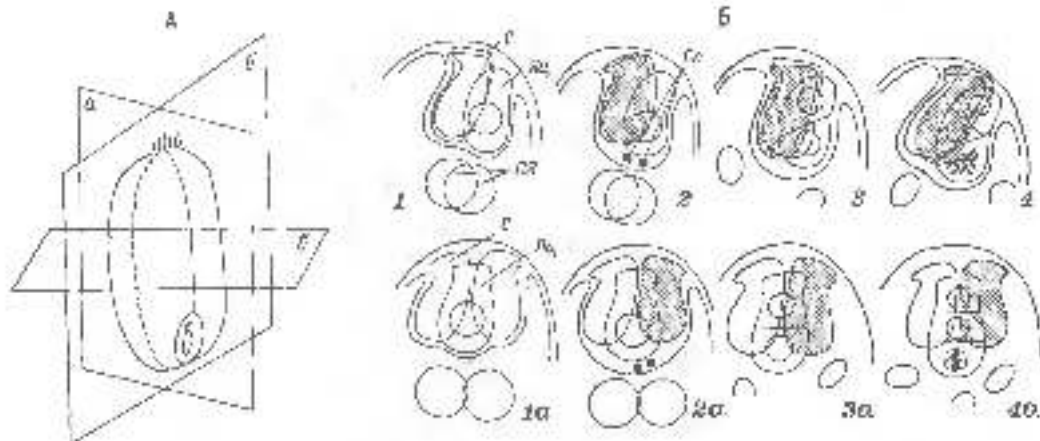


Рис. 126. Верхняя часть зародыша (A) и зародышевка Нешка (Б). Глоссик в зародышевыхсях (С, 1-4), латеральной (Б, 1а-4а) и трансперзальной (Б) сечениях.

1, 1а — до гастроцелеотрехии; 2, 2а — в момент одогорлательной, 3, 3а — 2-жабронный зародыш, 4, 4а — 3-жабронный зародыш. Гистологическая окраска гематоксилином. 192 — послеректальное ядро, С — спиральная, Сп — спиральный, Я — яйцевидное.

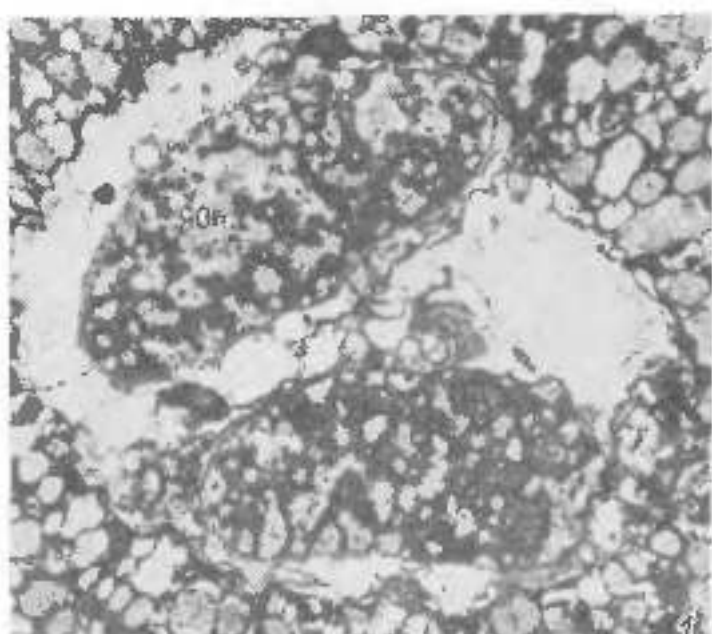
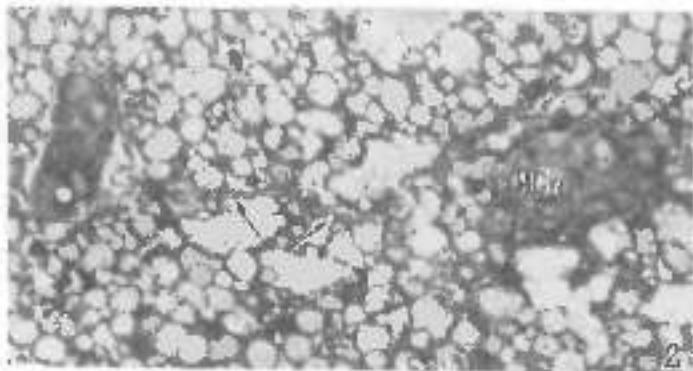
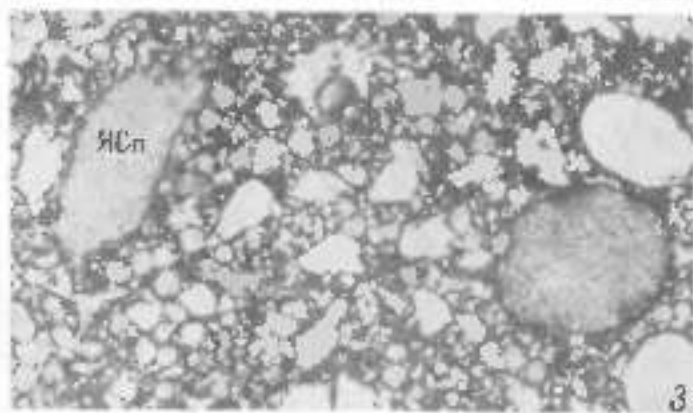


Рис. 127. Выявление различий между тонкой структурой сперматогенетических кластиков *Ranaeina vulgaris* (1, 3, 5 — по Mogensen, Raaebe, 1965, с изм.) и *Ranaeina catesbeiana* (4 — по Chi, Hu, 1981).

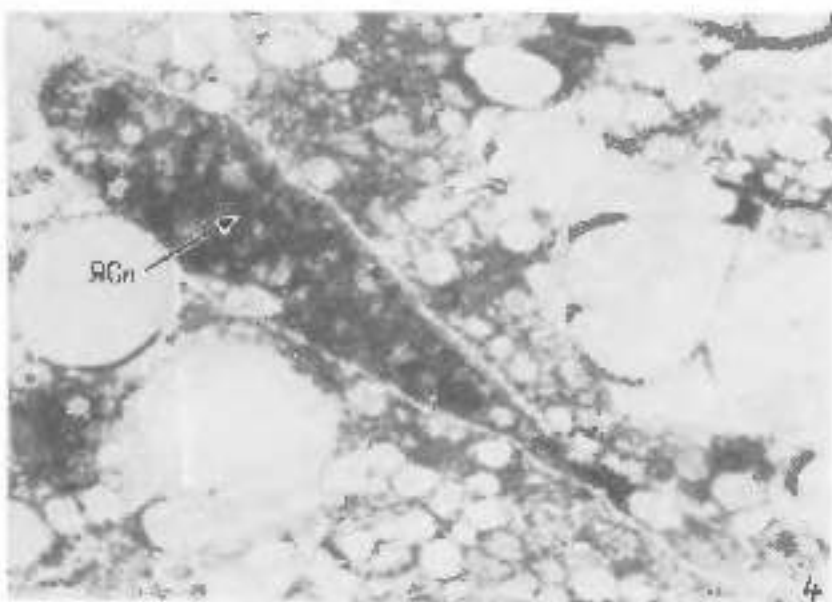
1 — первичные образованики клетки сперматогенетических кластиков ($\times 17700$); 2 — зоны кистин в пропищевом зерне на границе с базальной стенкой раковины; виды пропищевоматочного зерна (столбик), характерный для зоны 2 на границе с соседней клеткой сперматогенетического кластика; 3 — зрелые клетки сперматогенетических кластиков более тяжелый, чем ни более ранний (1а); 4 — раковина, опущающаяся из пропищевого зерна ($\times 12000$); 4 — ультраструктура утолщенной матки сперматогенетических кластиков в зерне; 5 — клетки сперматогенетических кластиков, боковые эпителиальные слоя сперматогенетических кластиков заняты клетками, в то время как матка покрыта; Метахидиодия, инвагинированные яйцами и фиброзные структуры — воспрепятствуют проникновению антибиотиков из внутренней полости яйца в и мезотектический кластик; 5 — характерный гранулоцитарный вид 5 — сперматогенетический сперматогенетический кластик, выделяющиеся с помощью яйцеклетки, сформированы из яйцеклетки, выделяющейся из яйцеклетки; яйцеклетка — яйцеклетка яйцеклетки; основные яйцеклетки — интегрирующие яйцеклетки из яйцеклетки яйцеклетки; яйцеклетка — яйцеклетка яйцеклетки из яйцеклетки яйцеклетки.



2

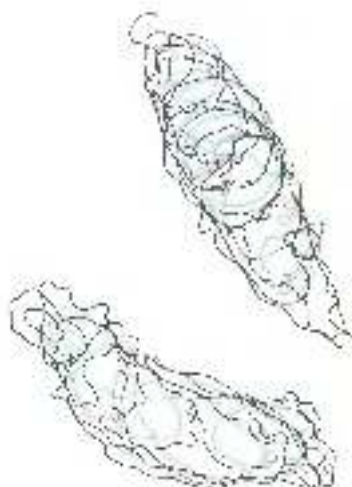
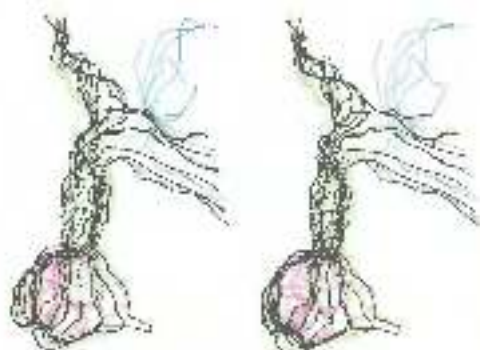
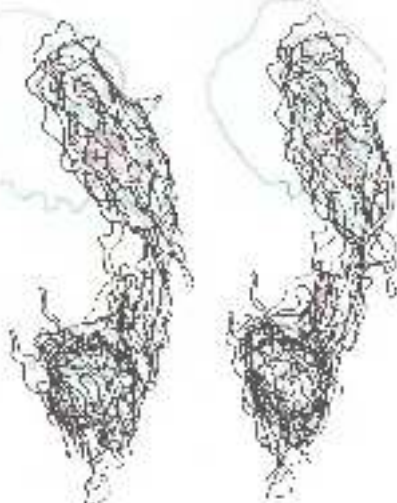
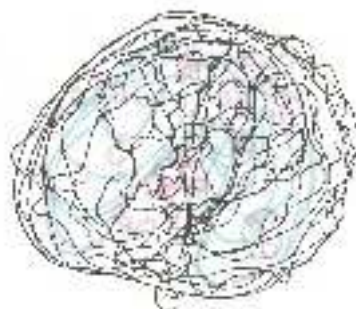


3



4

Pl. 127 (продолжение).

FIG. 127. (*maxima* sp.).